

Informacje na temat przekroczeń poziomów dopuszczalnych i docelowych substancji w powietrzu oraz pułapu stężenia ekspozycji wraz z podaniem zakresu naruszeń

1. Wielkości poziomów substancji w powietrzu w 2018 roku oraz okresu pięciu lat poprzedzających ten rok oraz w 2022 roku oraz w latach poprzedzających 2019 – 2021 wraz z podaniem zakresu przekroczeń poziomów dopuszczalnych i docelowych tych substancji

1.1. Strefa mazowiecka

1.1.1. Poziomy stężenie pyłu zawieszonego PM10 w strefie mazowieckiej w 2018 roku

W 2018 roku na żadnej z 8 stacji w strefie mazowieckiej nie odnotowano przekroczenia dopuszczalnej wartości stężenia średniorocznego pyłu zawieszonego PM10, najwyższe odnotowane stężenie średnioroczne wyniosło wartość 38 $\mu\text{g}/\text{m}^3$ na stacji w Otwocku. Natomiast przekroczenie dopuszczalnej ilości dni ze stężeniami dobowymi pyłu zawieszonego PM10 przekraczającymi 50 $\mu\text{g}/\text{m}^3$ wystąpiło na 6 stacjach. Najwyższą liczbę dni z przekroczeniami zanotowano na stacji w Otwocku (84 dni) i na tej stacji zanotowano najwyższe stężenie średniodobowego pyłu zawieszonego PM10 (74 $\mu\text{g}/\text{m}^3$).

Tabela 1 Poziomy stężenie pyłu zawieszonego PM10 w strefie mazowieckiej w 2018 roku

Lp.	Nazwa stacji	Kod krajowy stacji	PM10 24h $S_{365\text{max}}$	Wyś- szeń- nia $\mu\text{g}/\text{m}^3$	Licz- ba prze- kro- czeń	PM10 rok S_a $\mu\text{g}/\text{m}^3$	Kość prze- kro- czeń $\mu\text{g}/\text{m}^3$
1.	Guty Duże, gm. Czerwonka	MzGutyDuCzer	37	Brak przekroczenia	11	21	Brak przekroczenia
2.	Konstancin – Jeziorna, ul. Wierzejewskiego 12	MzKonJezMos	46	Brak przekroczenia	25	24	Brak przekroczenia
3.	Legionowo, ul. Zegrzyńska 38	MzLegZegrzyn	66	16	66	34	Brak przekroczenia
4.	Ostrołęka, ul. Hallera 12	MzOstroHalle	52	2	40	29	Brak przekroczenia
5.	Otwock, ul. Brzozowa 2	MzOtwoBrzozo	74	24	84	38	Brak przekroczenia
6.	Piastów, ul. Pułaskiego 6/8	MzPiasPulask	62	12	62	33	Brak przekroczenia
7.	Siedlce, ul. Konarskiego 11	MzSiedKonars	59	9	53	32	Brak przekroczenia

Lp.	Nazwa stacji	Kod krajowy stacji	PM10 24h S _{36max}	Średnia PM10 24h [µg/m ³]	Liczba ocen PM10 24h	PM10 rok S _a [µg/m ³]	Średnia PM10 S _a [µg/m ³]
8.	Żyrardów, ul. Roosevelta 2	MzZyraRoosev	64	14	73	36	Brak przekroczenia

1.1.2. Poziomy stężenie pyłu zawieszonego PM10 w strefie mazowieckiej w latach 2013–2017

Wyniki pomiarów wskazują, że w latach 2013–2017 na terenie strefy mazowieckiej, standard jakości powietrza wyrażony poziomem dopuszczalnym stężeń średniodobowych pyłu zawieszonego PM10 był regularnie przekraczany, na większości stacji pomiarowych. W 2013 r. najwyższe stężenie średniodobowego pyłu zawieszonego PM10 zanotowano na stacji w Wołominie (86,5 µg/m³), w 2014 r. i w 2015 r. na stacji w Otwocku (odpowiednio 78,6 i 83,0 µg/m³). W 2016 r. przekroczenia dopuszczalne stężeń średniodobowych pyłu zawieszonego PM10 miały miejsce tylko na 4 stacjach, co wiązało się ze spadkiem stężeń pyłu PM10 na wszystkich stacjach w strefie mazowieckiej. W 2017 r. najwyższa wartość stężenia średniodobowego pyłu zawieszonego PM10 miała miejsce na stacji w Żyrardowie (59,3 µg/m³) i Mławie (59,3 µg/m³). Najniższe (poniżej poziomu dopuszczalnego) średniodobowe wartości stężeń pyłu zawieszonego PM10 w latach 2013 i 2015 zanotowano na stacji Granica, w Kampinoskim Parku Narodowym, w 2014 roku na stacji w Ostrołęce, a w latach 2016-2017 na stacji w Gutach. W analizowanym okresie przekroczenie poziomu dopuszczalnego stężeń średniorocznych pyłu zawieszonego PM10 (40 µg/m³) wystąpiło tylko na stacji w Otwocku, w latach 2014 i 2015, a najwyższą wartość osiągnęło w 2015 roku (43,7 µg/m³).

Tabela 2 Poziomy stężenie pyłu zawieszonego PM10 w strefie mazowieckiej w 2013 roku

Lp.	Nazwa stacji	Kod krajowy stacji	PM10 24h S _{36max} [µg/m ³]	Średnia PM10 24h [µg/m ³]	Liczba ocen PM10 24h	PM10 S _a [µg/m ³]	Średnia PM10 S _a [µg/m ³]
1.	Otwock, ul. Brzozowa 2	MzOtwoBrzozowa	74,9	24,9	70	38,2	Brak przekroczenia
2.	Wołomin, ul. Ogrodowa 4	MzWolOgrodowa	86,5	36,5	45	Niepełna seria pomiarowa	Brak przekroczenia
3.	Granica, ul. Kampinoski Park Narodowy	MzGranicaKPN	39,9	Brak przekroczenia	16	21,5	Brak przekroczenia
4.	Żyrardów, ul. Roosevelta 2	MzZyrdRoosvel	65,8	15,8	73	37,2	Brak przekroczenia
5.	Ciechanów, ul. Strażacka 6	MzCiechStrazacka	50,8	0,8	34	27,6	Brak przekroczenia
6.	Belsk Duży Osiedla PAN 1	MzBelskIGPAN	54,2	4,2	40	31,8	Brak przekroczenia
7.	Ostrołęka, ul. Targowa 4	MzOstrolTargowa	46,0	Brak przekroczenia	17	24,9	Brak przekroczenia
8.	Piastów, ul. Pułaskiego 6/8	MzPiastowPulask	62,1	12,1	66	35,5	Brak przekroczenia

Lp.	Nazwa stacji	Kod krajowy stacji	PM10 24h S _{36max} [µg/m ³]	PM10 24h Liczba przekroczeń	PM10 S _a [µg/m ³]	PM10 S _a Liczba przekroczeń
9.	Siedlce, ul. Konarskiego 11	MzSiedlceKonar	59,7	9,7	53	32,7
10.	Legionowo, ul. Zegrzyńska 38	MzLegionZegIMGW	60,9	10,9	57	33,5
11.	Mława, ul. Ordon 14	MzMławaOrdon	62,2	12,2	49	32,5

Tabela 3 Poziomy stężenie pyłu zawieszonego PM10 w strefie mazowieckiej w 2014 roku

Lp.	Nazwa stacji	Kod krajowy stacji	PM10 24h S _{36max} [µg/m ³]	PM10 24h Wielkość przekroczenia [µg/m ³]	PM10 24h Liczba przekroczeń	PM10 S _a [µg/m ³]	PM10 S _a Wielkość przekroczenia [µg/m ³]
1.	Otwock, ul. Brzozowa 2	MzOtwoBrzozowa	78,6	28,6	98	41,9	1,9
2.	Granica, ul. Kampinoski Park Narodowy	MzGranicaKPN	46,8	Brak przekroczenia	27	25,3	Brak przekroczenia
3.	Żyrardów, ul. Roosevelta 2	MzŻyrardRoosvel	60,8	10,8	58	35,6	Brak przekroczenia
4.	Ciechanów, ul. Strażacka 6	MzCiechStrazacka	56,8	6,8	50	30,9	Brak przekroczenia
5.	Ostrołęka, ul. Targowa 4	MzOstrolTargowa	46,4	Brak przekroczenia	29	27,4	Brak przekroczenia
6.	Piastów, ul. Pułaskiego 6/8	MzPiastowPulask	59,9	9,9	65	36,2	Brak przekroczenia
7.	Siedlce, ul. Konarskiego 11 ¹	MzSiedlceKonar	60,3	10,3	48	32,3	Brak przekroczenia
8.	Siedlce, ul. Konarskiego 11 ²	MzSiedlceKonar	59,1	9,1	56	32,1	Brak przekroczenia
9.	Legionowo, ul. Zegrzyńska 38	MzLegionZegIMGW	67,1	17,1	70	35,6	Brak przekroczenia
10.	Mława, ul. Ordon 14	MzMławaOrdon	55,0	5,0	52	30,4	Brak przekroczenia

Tabela 4 Poziomy stężenie pyłu zawieszonego PM10 w strefie mazowieckiej w 2015 roku

Lp.	Nazwa stacji	Kod krajowy stacji	PM10 24h S _{36max} [µg/m ³]	PM10 24h Wielkość przekroczenia [µg/m ³]	PM10 24h Liczba przekroczeń	PM10 S _a [µg/m ³]	PM10 S _a Wielkość przekroczenia [µg/m ³]
1.	Otwock, ul. Brzozowa 2	MzOtwoBrzozo	83,0	33,0	90	43,7	3,7
2.	Granica, Kampinoski Park Narodowy	MzGranicaKPN	46,3	Brak przekroczenia	26	23,9	Brak przekroczenia
3.	Żyrardów, ul. Roosevelta 2	MzŻyrardRoosv	72,9	22,9	87	38,9	Brak przekroczenia
4.	Piastów, ul. Pułaskiego 6/8	MzPiastPulask	63,0	13,0	59	34,0	Brak przekroczenia
5.	Siedlce, ul. Konarskiego 11 ³	MzSiedKonars	55,0	5,0	48	30,4	Brak przekroczenia

1 pomiary prowadzone metodą automatyczną

2 pomiary prowadzone metodą manualną

Lp.	Nazwa stacji	Kod krajowy stacji	PM10 24h S _{36max} [µg/m ³]	PM10 24h Wielkość przekroczenia [µg/m ³]	PM10 24h Liczba przekroczeń	PM10 S _a [µg/m ³]	PM10 S _a Wielkość przekroczenia [µg/m ³]
6.	Siedlce, ul. Konarskiego 11 ⁴	MzSiedKonars	60,3	10,3	48	32,1	Brak przekroczenia
7.	Legionowo, ul. Zegrzyńska 38	MzLegZegrzyn	64,8	14,8	66	33,4	Brak przekroczenia
8.	Mława, ul. Ordona 14	MzMlawOrdona	65,5	15,5	64	33,0	Brak przekroczenia
9.	Ostrołęka, ul. Hallera 12	MzOstroHalle	52,4	2,4	39	28,3	Brak przekroczenia

Tabela 5 Poziomy stężenie pyłu zawieszonego PM10 w strefie mazowieckiej w 2016 roku

Lp.	Nazwa stacji	Kod krajowy stacji	PM10 24h S _{36max} [µg/m ³]	PM10 24h Wielkość przekroczenia [µg/m ³]	PM10 24h Liczba przekroczeń	PM10 S _a [µg/m ³]	PM10 S _a Wielkość przekroczenia [µg/m ³]
1.	Otwock, ul. Brzozowa 2	MzOtwoBrzozo	61,8	11,8	56	34,0	Brak przekroczenia
2.	Granica, Kampinoski Park Narodowy	MzGranicaKPN	37,9	Brak przekroczenia	13	22,6	Brak przekroczenia
3.	Żyrardów, ul. Roosevelta 2	MzZyrdRoosv	65,1	15,1	60	37,9	Brak przekroczenia
4.	Piastów, ul. Pułaskiego 6/8	MzPiastPulask	49,3	Brak przekroczenia	34	30,9	Brak przekroczenia
5.	Siedlce, ul. Konarskiego 11 ⁵	MzSiedKonars	51,6	1,6	38	30,1	Brak przekroczenia
6.	Siedlce, ul. Konarskiego 11 ⁶	MzSiedKonars	42,8	Brak przekroczenia	24	27,8	Brak przekroczenia
7.	Legionowo, ul. Zegrzyńska 38	MzLegZegrzyn	53,9	3,9	41	30,1	Brak przekroczenia
8.	Mława, ul. Ordona 14	MzMlawOrdona	48,3	Brak przekroczenia	31	31,0	Brak przekroczenia
9.	Ostrołęka, ul. Hallera 12	MzOstroHalle	42,8	Brak przekroczenia	18	26,7	Brak przekroczenia
10.	Guty Duże, gm. Czerwonka	MzGutyDuCzer	30,8	Brak przekroczenia	8	18,5	Brak przekroczenia

Tabela 6 Poziomy stężenie pyłu zawieszonego PM10 w strefie mazowieckiej w 2017 roku

Lp.	Nazwa stacji	Kod krajowy stacji	PM10 24h S _{36max} [µg/m ³]	PM10 24h Wielkość przekroczenia [µg/m ³]	PM10 24h Liczba przekroczeń	PM10 S _a [µg/m ³]	PM10 S _a Wielkość przekroczenia [µg/m ³]
1.	Otwock, ul. Brzozowa 2 ⁷	MzOtwoBrzozo	50,8	0,8	37	29,1	Brak przekroczenia
2.	Otwock, ul. Brzozowa 2 ⁸	MzOtwoBrzozo	55,9	5,9	45	30,0	Brak przekroczenia

3 pomiary prowadzone metodą automatyczną

4 pomiary prowadzone metodą manualną

5 pomiary prowadzone metodą automatyczną

6 pomiary prowadzone metodą manualną

7 pomiary prowadzone metodą automatyczną

Lp.	Nazwa stacji	Kod krajowy stacji	PM10 24h S _{36max} [µg/m ³]	PM10 24h Wielkość przekroczenia [µg/m ³]	PM10 24h Liczba przekroczeń	PM10 S _a [µg/m ³]	PM10 S _a Wielkość przekroczenia [µg/m ³]
3.	Żyrardów, ul. Roosevelta 2	MzZyrardRoosv	59,3	9,3	51	35,1	Brak przekroczenia
4.	Piastów, ul. Pułaskiego 6/8	MzPiastPulask	55,1	5,1	42	32,3	Brak przekroczenia
5.	Siedlce, ul. Konarskiego 11 ⁹	MzSiedKonars	51,0	1,0	36	29,0	Brak przekroczenia
6.	Siedlce, ul. Konarskiego 11 ¹⁰	MzSiedKonars	50,4	0,4	34	29,2	Brak przekroczenia
7.	Legionowo, ul. Zegrzyńska 38	MzLegZegrzyn	55,5	5,5	42	32,3	Brak przekroczenia
8.	Mława, ul. Ordona 14	MzMlawOrdona	59,3	9,3	48	31,7	Brak przekroczenia
9.	Ostrołęka, ul. Hallera 12	MzOstroHalle	45,2	Brak przekroczenia	29	26,0	Brak przekroczenia
10	Guty Duże, gm. Czerwonka	MzGutyDuCzer	33,9	Brak przekroczenia	14	19,0	Brak przekroczenia
11	Konstancin – Jeziorna, ul. Wierzejewskiego 12 ¹¹	MzKonJezWie	45,5	Brak przekroczenia	28	26,5	Brak przekroczenia
12	Konstancin – Jeziorna, ul. Wierzejewskiego 12 ¹²	MzKonJezWie	46,2	Brak przekroczenia	31	27,4	Brak przekroczenia

1.1.3. Poziomy stężenie pyłu zawieszonego PM10 w strefie mazowieckiej w latach 2019–2022

Wyniki pomiarów wskazują, że w latach 2019–2020 na terenie strefy mazowieckiej, standard jakości powietrza wyrażony poziomem dopuszczalnym stężenie średniodobowych pyłu zawieszonego PM10 był regularnie przekraczany na jednej stacji pomiarowej (w Otwocku). W 2019 i 2020 r. najwyższe stężenie średniodobowego pyłu zawieszonego PM10 zanotowano na stacji w Otwocku (52 µg/m³). Najniższe (poniżej poziomu dopuszczalnego) średniodobowe wartości stężenia pyłu zawieszonego PM10 w latach 2019 i 2020 zanotowano na stacji Guty Duże. W analizowanym okresie przekroczenie poziomu dopuszczalnego stężenia średniorocznych pyłu zawieszonego PM10 (40 µg/m³) nie wystąpiło na żadnej ze stacji.

Tabela 7 Poziomy stężenie pyłu zawieszonego PM10 w strefie mazowieckiej w 2019 roku

Lp.	Nazwa stacji	Kod krajowy stacji	PM10 24h S _{36max} [µg/m ³]	PM10 24h Wielkość przekroczenia [µg/m ³]	PM10 24h Liczba przekroczeń	PM10 S _a [µg/m ³]	PM10 S _a Wielkość przekroczenia [µg/m ³]
1.	Guty Duże	MzGutyDuCzer	29	Brak przekroczenia	4	17	Brak przekroczenia
2.	Konstancin-Jeziorna-Wierzejewskiego	MzKonJezMos	36	Brak przekroczenia	6	21	Brak przekroczenia
3.	Mińsk	MzMinMazKaziMOB	46	Brak	20	27	Brak

8 pomiary prowadzone metodą manualną

9 pomiary prowadzone metodą automatyczną

10 pomiary prowadzone metodą manualną

11 pomiary prowadzone metodą automatyczną

12 pomiary prowadzone metodą manualną

Lp.	Nazwa stacji	Kod krajowy stacji	PM10 24h S _{36max} [µg/m ³]	PM10 24h przekroczenia	PM10 24h dni	PM10 S _a [µg/m ³]	PM10 S _a przekroczenia
	Mazowiecki-Kazikowskiego			przekroczenia			przekroczenia
4.	Otwock-Brzozowa	MzOtwoBrzozo	52	2	40	28	Brak przekroczenia
5.	Żyrardów-Roosevelta	MzŻyraRoosv	41	Brak przekroczenia	21	24	Brak przekroczenia
6.	Ostrołęka-Hallera	MzOstroHalle	39	Brak przekroczenia	8	22	Brak przekroczenia
7.	Piastów-Pułaskiego	MzPiasPułask	44	Brak przekroczenia	18	26	Brak przekroczenia
8.	Siedlce-Konarskiego	MzSiedKonars	44	Brak przekroczenia	20	26	Brak przekroczenia
9.	Legionowo, ul. Zegrzyńska	MzLegZegrzyn	46	Brak przekroczenia	19	25	Brak przekroczenia

Tabela 8 Poziomy stężenie pyłu zawieszonego PM10 w strefie mazowieckiej w 2020 roku

Lp.	Nazwa stacji	Kod krajowy stacji	PM10 24h S _{36max} [µg/m ³]	PM10 24h przekroczenia	PM10 24h dni	PM10 S _a [µg/m ³]	PM10 S _a przekroczenia
1.	Guty Duże	MzGutyDuCzer	28	Brak przekroczenia	3	17	Brak przekroczenia
2.	Konstancin-Jeziorna-Wierzejewskiego	MzKonJezMos	31	Brak przekroczenia	4	19	Brak przekroczenia
3.	Mińsk Mazowiecki-Kazikowskiego	MzMinMazKaziMOB	40	Brak przekroczenia	15	24	Brak przekroczenia
4.	Otwock-Brzozowa	MzOtwoBrzozo	52	2	37	28	Brak przekroczenia
5.	Żyrardów-Roosevelta	MzŻyraRoosv	38	Brak przekroczenia	5	23	Brak przekroczenia
6.	Ostrołęka-Hallera	MzOstroHalle	37	Brak przekroczenia	12	22	Brak przekroczenia
7.	Piastów-Pułaskiego	MzPiasPułask	38	Brak przekroczenia	10	24	Brak przekroczenia
8.	Siedlce-Konarskiego	MzSiedKonars	41	Brak przekroczenia	17	25	Brak przekroczenia
9.	Legionowo, ul. Zegrzyńska	MzLegZegrzyn	43	Brak przekroczenia	16	24	Brak przekroczenia

W 2021 roku na żadnej z 11 stacji w strefie mazowieckiej nie odnotowano przekroczenia dopuszczalnej wartości stężenia średniorocznego pyłu zawieszonego PM10, najwyższe odnotowane stężenie średnioroczne wyniosło 28 µg/m³ i wystąpiło na 3 stacjach: w Otwocku, w Sierpcu i w Żyrardowie. Natomiast przekroczenie dopuszczalnej ilości dni ze stężeniami dobowymi pyłu zawieszonego PM10 przekraczającymi 50 µg/m³ wystąpiło na 2 stacjach. Najwyższą liczbę dni z przekroczeniami zanotowano na stacji w Żyrardowie (38 dni) oraz na stacji w Otwocku (36 dni), na których zanotowano najwyższe stężenie średniodobowego pyłu zawieszonego PM10 (51 µg/m³).

Tabela 9 Poziomy stężenie pyłu zawieszonego PM10 w strefie mazowieckiej w 2021 roku

Lp.	Nazwa stacji	Kod krajowy stacji	PM10 24h S _{36max}	Średnie stężenie PM10 24h [µg/m ³]	Liczba dni przekroczeń PM10 24h	Średnie stężenie PM10 rok S _a [µg/m ³]	Średnie stężenie PM10 S _a [µg/m ³]
1.	Bielsk Duży, IGF PAN	MzBiellIGFPAN	38	Brak przekroczenia	15	22	Brak przekroczenia
2.	Biała, ul. A. Kmicica	MzBiałaKmicicIMOB	49	Brak przekroczenia	30	26	Brak przekroczenia
3.	Guty Duże	MzGutyDuCzer	34	Brak przekroczenia	11	19	Brak przekroczenia
4.	Konstancin – Jeziorna, ul. Wierzejewskiego	MzKonJezWieMOB	39	Brak przekroczenia	12	23	Brak przekroczenia
5.	Legionowo, ul. Zegrzyńska	MzLegZegrzyn	46	Brak przekroczenia	28	26	Brak przekroczenia
6.	Ostrołęka, ul. Hallera	MzOstroHalle	42	Brak przekroczenia	19	24	Brak przekroczenia
7.	Otwock, ul. Brzozowa	MzOtwoBrzozo	51	1	36	28	Brak przekroczenia
8.	Piastów, ul. Pułaskiego	MzPiasPulask	45	Brak przekroczenia	22	26	Brak przekroczenia
9.	Siedlce, ul. Konarskiego	MzSiedKonars	46	Brak przekroczenia	24	26	Brak przekroczenia
10.	Sierpc, ul. Wiosny Ludów	MzSierWiosnyMOB	49	Brak przekroczenia	34	28	Brak przekroczenia
11.	Żyrardów, ul. Roosevelta	MzZyraRoosev	51	1	38	28	Brak przekroczenia

W 2022 roku, podobnie jak w 2021 roku, na żadnej z 11 stacji w strefie mazowieckiej nie odnotowano przekroczenia dopuszczalnej wartości stężenia średniorocznego pyłu zawieszonego PM10, najwyższe odnotowane stężenie średnioroczne wyniosło 27 µg/m³ i wystąpiło na stacji w Otwocku. Przekroczenie dopuszczalnej ilości dni ze stężeniami średnimi dobowymi pyłu zawieszonego PM10 przekraczającymi 50 µg/m³ również nie wystąpiło na żadnej ze stacji pomiarowych. Najwyższą liczbę dni z przekroczeniami zanotowano na stacji w Otwocku (27 dni), na której zanotowano najwyższe stężenie średniodobowego pyłu zawieszonego PM10, ale nie przekraczające poziomu dopuszczalnego tego zanieczyszczenia (49 µg/m³).

Tabela 10 Poziomy stężenie pyłu zawieszonego PM10 w strefie mazowieckiej w 2022 roku

Lp.	Nazwa stacji	Kod krajowy stacji	PM10 24h S _{36max}	liczba przekroczenia [1]	liczba ocen	PM10 rok S _a [µg/m ³]	liczba przekroczenia [1]
1.	Bielsk Duży, IGF PAN	MzBiellIGFPAN	33	Brak przekroczenia	1	19	Brak przekroczenia
2.	Biała, ul. A. Kmicica	MzBiałaKmicicIMOB	37	Brak przekroczenia	19	22	Brak przekroczenia
3.	Guty Duże	MzGutyDuCzer	28	Brak przekroczenia	3	16	Brak przekroczenia
4.	Konstancin – Jeziorna, ul. Wierzejewskiego	MzKonJezWieMOB	36	Brak przekroczenia	11	21	Brak przekroczenia
5.	Legionowo, ul. Zegrzyńska	MzLegZegrzyn	43	Brak przekroczenia	23	24	Brak przekroczenia
6.	Ostrołęka, ul. Hallera	MzOstroHalle	38	Brak przekroczenia	17	22	Brak przekroczenia
7.	Otwock, ul. Brzozowa	MzOtwoBrzozo	49	Brak przekroczenia	27	27	Brak przekroczenia
8.	Piastów, ul. Pułaskiego	MzPiasPulask	43	Brak przekroczenia	20	25	Brak przekroczenia
9.	Siedlce, ul. Konarskiego	MzSiedKonars	44	Brak przekroczenia	22	25	Brak przekroczenia
10.	Sierpc, ul. Wiosny Ludów	MzSierWiosnyMOB	45	Brak przekroczenia	25	24	Brak przekroczenia
11.	Żyrardów, ul. Roosevelta	MzZyraRoosev	43	Brak przekroczenia	23	25	Brak przekroczenia

1.1.4. Poziomy stężenie pyłu zawieszonego PM_{2,5} w strefie mazowieckiej w 2018 roku

W 2018 roku na dwóch stacjach pomiarowych zanotowano przekroczenie poziomu dopuszczalnego pyłu zawieszonego PM_{2,5}: w Otwocku o 2 µg/m³, a w Żyrardowie o 1 µg/m³. Jednak biorąc pod uwagę poziom dopuszczalny pyłu zawieszonego PM_{2,5} dla fazy II (20 µg/m³), który obowiązuje od 2020 roku, to przekroczenie tego poziomu zanotowano na wszystkich 6 stacjach mierzących pył zawieszony PM_{2,5} w strefie mazowieckiej.

Tabela 11 Poziomy stężenie pyłu zawieszonego PM_{2,5} w strefie mazowieckiej w 2018 roku

Lp.	Nazwa stacji	Kod krajowy stacji	PM _{2,5} S _a [µg/m ³]	PM _{2,5} S _a Wielkość przekroczenia [µg/m ³]	PM _{2,5} S _a Wielkość przekroczenia dla fazy II [µg/m ³]
1.	Konstancin –Jeziorna, ul. Wierzejewskiego 12	MzKonJezMos	22,0	Brak przekroczenia	2,0
2.	Legionowo, ul. Zegrzyńska 38	MzLegZegrzyn	25,0	Brak przekroczenia	5,0
3.	Otwock, ul. Brzozowa 2	MzOtwoBrzozo	27,0	2,0	7,0
4.	Piastów,	MzPiasPulask	25,0	Brak przekroczenia	5,0

Lp.	Nazwa stacji	Kod krajowy stacji	PM2,5 S _a [µg/m ³]	PM2,5 S _a Wielkość przekroczenia [µg/m ³]	PM2,5 S _a Wielkość przekroczenia dla fazy II [µg/m ³]
	ul. Pułaskiego 6/8				
5.	Siedlce, ul. Konarskiego 11	MzSiedKonars	22,0	Brak przekroczenia	2,0
6.	Żyrardów, ul. Roosevelta 2	MzZyraRoosev	26,0	1,0	6,0

1.1.5. Poziomy stężenie pyłu zawieszonego PM2,5 w strefie mazowieckiej w latach 2013–2017

Wyniki pomiarów średniorocznych pyłu zawieszonego PM2,5 wskazują, że w analizowanym okresie (w latach 2013 – 2017) najczęściej przekroczenie średniorocznego poziomu dopuszczalnego pyłu zawieszonego PM2,5 (25 µg/m³) występowało na stacji w Piastowie (4 razy). Najwyższa wartość stężenia średniodobowego pyłu zawieszonego PM2,5 miała miejsce w 2015 roku na stacji w Legionowie (32,2 µg/m³). Na wszystkich stacjach w omawianym okresie stężenia średnioroczne pyłu zawieszonego PM2,5 zawierały się w przedziale 21 – 33 µg/m³ i przekraczały poziom dopuszczalny dla fazy II.

Tabela 12 Poziomy stężenie pyłu zawieszonego PM2,5 w strefie mazowieckiej w 2013 roku

Lp.	Nazwa stacji	Kod krajowy stacji	PM2,5 S _a [µg/m ³]	PM2,5 S _a Wielkość przekroczenia [µg/m ³]
1.	Piastów, ul. Pułaskiego 6/8	MzPiastowPulask	27,1	2,1
2.	Siedlce, ul. Konarskiego 11	MzSiedlceKonar	28,1	3,1

Tabela 13 Poziomy stężenie pyłu zawieszonego PM2,5 w strefie mazowieckiej w 2014 roku

Lp.	Nazwa stacji	Kod krajowy stacji	PM2,5 S _a [µg/m ³]	PM2,5 S _a Wielkość przekroczenia [µg/m ³]
1.	Żyrardów, ul. Roosevelta 2	MzZyrardRoosvel	28,2	3,2
2.	Piastów, ul. Pułaskiego 6/8	MzPiastowPulask	27,6	2,6
3.	Siedlce, ul. Konarskiego 11	MzSiedlceKonar	26,5	1,5
4.	Legionowo, ul. Zegrzyńska 38	MzLegionZegIMGW	31,4	6,4

Tabela 14 Poziomy stężenie pyłu zawieszonego PM2,5 w strefie mazowieckiej w 2015 roku

Lp.	Nazwa stacji	Kod krajowy stacji	PM2,5 S _a [µg/m ³]	PM2,5 S _a Wielkość przekroczenia [µg/m ³]
1.	Żyrardów, ul. Roosevelta 2	MzZyrardRoosvel	30,1	5,1
2.	Piastów, ul. Pułaskiego 6/8	MzPiastowPulask	30,5	5,5
3.	Siedlce, ul. Konarskiego 11	MzSiedlceKonar	24,9	Brak przekroczenia
4.	Legionowo, ul. Zegrzyńska 38	MzLegionZegIMGW	32,2	7,2
5.	Ostrołęka, ul. Hallera 12	MzOstroHalle	21,0	Brak przekroczenia

Tabela 15 Poziomy stężenie pyłu zawieszonego PM2,5 w strefie mazowieckiej w 2016 roku

Lp.	Nazwa stacji	Kod krajowy stacji	PM2,5 S _a [µg/m ³]	PM2,5 S _a Wielkość przekroczenia [µg/m ³]
1.	Żyrardów, ul. Roosevelta 2	MzZyrardRoosv	24,3	Brak przekroczenia
2.	Piastów, ul. Pułaskiego 6/8	MzPiastPulask	24,7	Brak przekroczenia
3.	Siedlce, ul. Konarskiego 11	MzSiedKonars	27,0	2,0
4.	Legionowo, ul. Zegrzyńska 38	MzLegZegrzyn	26,4	1,4

Tabela 16 Poziomy stężenie pyłu zawieszonego PM2,5 w strefie mazowieckiej w 2017 roku

Lp.	Nazwa stacji	Kod krajowy stacji	PM2,5 S _a [µg/m ³]	PM2,5 S _a Wielkość przekroczenia [µg/m ³]
1.	Otwock, ul. Brzozowa 2	MzOtwoBrzozo	27,1	2,1
2.	Żyrardów, ul. Roosevelta 2	MzZyrardRoosv	24,3	Brak przekroczenia
3.	Piastów, ul. Pułaskiego 6/8	MzPiastPulask	25,1	0,1

Lp.	Nazwa stacji	Kod krajowy stacji	PM2,5 S _a [µg/m ³]	PM2,5 S _a Wielkość przekroczenia [µg/m ³]
4.	Siedlce, ul. Konarskiego 11	MzSiedKonars	23,0	Brak przekroczenia
5.	Legionowo, ul. Zegrzyńska 38	MzLegZegrzyn	23,1	Brak przekroczenia
6.	Konstancin – Jeziorna, ul. Wierzejewskiego 12	MzKonJezWie	22,0	Brak przekroczenia

1.1.6. Poziomy stężenie pyłu zawieszonego PM_{2,5} w strefie mazowieckiej w latach 2019–2022

W latach 2019-2020 na żadnej ze stacji w strefie mazowieckiej nie zanotowano przekroczenia poziomu dopuszczalnego pyłu PM_{2,5}. Biorąc pod uwagę poziom dopuszczalny pyłu PM_{2,5} dla fazy II (20 µg/m³), obowiązującej od 2020 roku, to przekroczenie tego poziomu zanotowano na trzech stacjach w 2019 roku i na jednej rok później.

Tabela 17 Poziomy stężenie pyłu zawieszonego PM_{2,5} w strefie mazowieckiej w 2019 roku

Lp.	Nazwa stacji	Kod krajowy stacji	PM2,5 S _a [µg/m ³]	PM2,5 S _a Wielkość przekroczenia [µg/m ³]	PM2,5 S _a Wielkość przekroczenia dla fazy II [µg/m ³]
1.	Konstancin-Jeziorna-Wierzejewskiego	MzKonJezMos	17	Brak przekroczenia	Brak przekroczenia
2.	Legionowo-Zegrzyńska	MzLegZegrzyn	21	Brak przekroczenia	1,0
3.	Mińsk Mazowiecki-Kazikowskiego	MzMinMazKaziMOB	21	Brak przekroczenia	1,0
4.	Otwock- Brzozowa	MzOtwoBrzozo	23	Brak przekroczenia	3,0
5.	Piastów- Pułaskiego	MzPiasPulask	20	Brak przekroczenia	Brak przekroczenia
6.	Siedlce- Konarskiego	MzSiedKonars	20	Brak przekroczenia	Brak przekroczenia
7.	Żyrardów-Roosevelta	MzZyraRoosev	18	Brak przekroczenia	Brak przekroczenia

Tabela 18 Poziomy stężenie pyłu zawieszonego PM_{2,5} w strefie mazowieckiej w 2020 roku

Lp.	Nazwa stacji	Kod krajowy stacji	PM2,5 S _a [µg/m ³]	PM2,5 S _a Wielkość przekroczenia [µg/m ³]	PM2,5 S _a Wielkość przekroczenia dla fazy II [µg/m ³]
1.	Guty Duże	MzGutyDuCzer	13	Brak przekroczenia	Brak przekroczenia
2.	Konstancin-Jeziorna-Wierzejewskiego	MzKonJezMos	16	Brak przekroczenia	Brak przekroczenia
3.	Legionowo-Zegrzyńska	MzLegZegrzyn	18	Brak przekroczenia	Brak przekroczenia
4.	Mińsk Mazowiecki-Kazikowskiego	MzMinMazKaziMOB	19	Brak przekroczenia	Brak przekroczenia
5.	Otwock- Brzozowa	MzOtwoBrzozo	21	Brak przekroczenia	1,0
6.	Piastów- Pułaskiego	MzPiasPulask	17	Brak przekroczenia	Brak przekroczenia
7.	Siedlce-Konarskiego	MzSiedKonars	18	Brak przekroczenia	Brak przekroczenia
8.	Żyrardów-Roosevelta	MzZyraRoosev	17	Brak przekroczenia	Brak przekroczenia

W 2021 roku na żadnej ze stacji pomiarowych nie wystąpiło przekroczenie poziomu dopuszczalnego pyłu zawieszonego PM_{2,5} dla fazy I (25 µg/m³). Natomiast dla fazy II (20 µg/m³) na czterech stacjach zanotowano przekroczenie poziomu dopuszczalnego pyłu zawieszonego PM_{2,5}. Największe przekroczenie miało miejsce na stacji w Sierpcu i w Żyrardowie – o 2 µg/m³.

Tabela 19 Poziomy stężenie pyłu zawieszonego PM_{2,5} w strefie mazowieckiej w 2021 roku

Lp.	Nazwa stacji	Kod krajowy stacji	PM2,5 S _a [µg/m ³]	PM2,5 S _a Wielkość przekroczenia [µg/m ³]	PM2,5 S _a Wielkość przekroczenia dla fazy II [µg/m ³]
1.	Guty Duże	MzGutyDuCzer	13,0	Brak przekroczenia	Brak przekroczenia
2.	Konstancin –Jeziorna, ul. Wierzejewskiego	MzKonJezWieMOB	17,0	Brak przekroczenia	Brak przekroczenia
3.	Legionowo, ul. Zegrzyńska	MzLegZegrzyn	21,0	Brak przekroczenia	1,0
4.	Otwock, ul. Brzozowa	MzOtwoBrzozo	21,0	Brak przekroczenia	1,0
5.	Piastów, ul. Pułaskiego	MzPiasPulask	19,0	Brak przekroczenia	Brak przekroczenia
6.	Siedlce, ul. Konarskiego	MzSiedKonars	20,0	Brak przekroczenia	Brak przekroczenia
7.	Sierpc, ul. Wiosny Ludów	MzSierWiosnyMOB	22,0	Brak przekroczenia	2,0
8.	Żyrardów, ul. Roosevelta	MzZyraRoosev	22,0	Brak przekroczenia	2,0

W 2022 roku na żadnej ze stacji pomiarowych nie wystąpiło przekroczenie poziomu dopuszczalnego pyłu zawieszonego PM_{2,5} dla fazy I (25 µg/m³) oraz dla fazy II (20 µg/m³). Najwyższą średnioroczną wartość średniorocznego stężenia pyłu PM_{2,5} zanotowano na stacji w Legionowie – 19 µg/m³.

Tabela 20 Poziomy stężenie pyłu zawieszonego PM_{2,5} w strefie mazowieckiej w 2022 roku

Lp.	Nazwa stacji	Kod krajowy stacji	PM2,5 S _a [µg/m ³]	PM2,5 S _a Wielkość przekroczenia [µg/m ³]	PM2,5 S _a Wielkość przekroczenia dla fazy II [µg/m ³]
1.	Guty Duże	MzGutyDuCzer	11,5	Brak przekroczenia	Brak przekroczenia
2.	Konstancin –Jeziorna, ul. Wierzejewskiego	MzKonJezWieMOB	14,7	Brak przekroczenia	Brak przekroczenia
3.	Legionowo, ul. Zegrzyńska	MzLegZegrzyn	18,7	Brak przekroczenia	Brak przekroczenia
4.	Otwock, ul. Brzozowa	MzOtwoBrzozo	18,4	Brak przekroczenia	Brak przekroczenia
5.	Piastów, ul. Pułaskiego	MzPiasPulask	16,6	Brak przekroczenia	Brak przekroczenia
6.	Siedlce, ul. Konarskiego	MzSiedKonars	16,5	Brak przekroczenia	Brak przekroczenia
7.	Sierpc, ul. Wiosny Ludów	MzSierWiosnyMOB	18,1	Brak przekroczenia	Brak przekroczenia
8.	Żyrardów, ul. Roosevelta	MzZyraRoosev	17,5	Brak przekroczenia	Brak przekroczenia

1.1.7. Poziomy stężenie benzo(a)pirenu w strefie mazowieckiej w 2018 roku

W 2018 roku na wszystkich stacjach mierzących B(a)P, oprócz stacji w Gutach Dużych (stacja tła) zanotowano przekroczenie poziomu docelowego tego zanieczyszczenia. W 2018 roku na stacji w Otwocku wystąpiło najwyższe stężenie średnioroczne benzo(a)pirenu - 5 ng/m³.

Tabela 21 Poziomy stężenie benzo(a)pirenu w strefie mazowieckiej w 2018 roku

Lp.	Nazwa stacji	Kod krajowy stacji	Benzo(a)piren S _a [ng/m ³]	Benzo(a)piren S _a Wielkość przekroczenia [ng/m ³]
1.	Guty Duże, Guty Duże 4	MzGutyDuCzer	1	Brak przekroczenia

Lp.	Nazwa stacji	Kod krajowy stacji	Benzo(a)piren S _a [ng/m ³]	Benzo(a)piren S _a Wielkość przekroczenia [ng/m ³]
2.	Konstancin –Jeziorna, ul. Wierzejewskiego 12	MzKonJezMos	2	1
3.	Legionowo, ul. Zegrzyńska 38	MzLegZegrzyn	4	3
4.	Ostrołęka, ul. Hallera 12	MzOstroHalle	2	1
5.	Otwock, ul. Brzozowa 2	MzOtwoBrzozo	5	4
6.	Piastów, ul. Pułaskiego 6/8	MzPiasPulask	3	2
7.	Siedlce, ul. Konarskiego 11	MzSiedKonars	3	2

1.1.8. Poziomy stężenie benzo(a)pirenu w strefie mazowieckiej w latach 2013–2017

W latach 2013–2017 na wszystkich stacjach pomiarowych benzo(a)pirenu w strefie mazowieckiej występowały przekroczenia poziomu docelowego tego stężenia. Najwyższe stężenie B(a)P zanotowano w Otwocku w 2014 roku (8 ng/m³), najniższe na stacji w Gutach w 2017 roku (1,1 ng/m³). W latach 2016-2017 w stosunku do lat poprzednich wielkość stężeń B(a)P w strefie mazowieckiej nieznacznie spadła.

Tabela 22 Poziomy stężenie benzo(a)pirenu w strefie mazowieckiej w 2013 roku

Lp.	Nazwa stacji	Kod krajowy stacji	Benzo(a)piren S _a [ng/m ³]	Benzo(a)piren S _a Wielkość przekroczenia [ng/m ³]
1.	Otwock, ul. Brzozowa 2	MzOtwoBrzozowa	4,8	3,8
2.	Ciechanów, ul. Strażacka 6	MzCiechStrazacka	3,2	2,2
3.	Ostrołęka, ul. Targowa 4	MzOstrolTargowa	1,9	0,9
4.	Piastów, ul. Pułaskiego 6/8	MzPiastowPulask	4,4	3,4
5.	Siedlce, ul. Konarskiego 11	MzSiedlceKonar	4,9	3,9
6.	Legionowo, ul. Zegrzyńska 38	MzLegionZegIMGW	5,4	4,4
7.	Mława, ul. Ordon 14	MzMławaOrdon	4,0	3,0

Tabela 23 Poziomy stężenie benzo(a)pirenu w strefie mazowieckiej w 2014 roku

Lp.	Nazwa stacji	Kod krajowy stacji	Benzo(a)piren S _a [ng/m ³]	Benzo(a)piren S _a Wielkość przekroczenia [ng/m ³]
1.	Otwock, ul. Brzozowa 2	MzOtwoBrzozowa	8,0	7,0
2.	Ciechanów, ul. Strażacka 6	MzCiechStrazacka	5,0	4,0
3.	Ostrołęka, ul. Targowa 4	MzOstrolTargowa	2,2	1,2
4.	Piastów, ul. Pułaskiego 6/8	MzPiastowPulask	4,5	3,5
5.	Siedlce, ul. Konarskiego 11	MzSiedlceKonar	5,1	4,1
6.	Legionowo, ul. Zegrzyńska 38	MzLegionZegIMGW	6,4	5,4
7.	Mława, ul. Ordon 14	MzMławaOrdon	6,0	5,0

Tabela 24 Poziomy stężenie benzo(a)pirenu w strefie mazowieckiej w 2015 roku

Lp.	Nazwa stacji	Kod krajowy stacji	Benzo(a)piren S _a [ng/m ³]	Benzo(a)piren S _a Wielkość przekroczenia [ng/m ³]
1.	Otwock, ul. Brzozowa 2	MzOtwoBrzozo	5,4	4,4
2.	Granica, Kampinoski Park Narodowy	MzGranicaKPN	1,5	0,5
3.	Piastów, ul. Pułaskiego 6/8	MzPiastowPulask	3,6	2,6
4.	Siedlce, ul. Konarskiego 11	MzSiedlceKonar	3,5	2,5
5.	Legionowo, ul. Zegrzyńska 38	MzLegZegrzyn	4,2	3,2
6.	Mława, ul. Ordon 14	MzMławaOrdon	2,9	1,9
7.	Ostrołęka, ul. Hallera 12	MzOstroHalle	1,8	0,8

Tabela 25 Poziomy stężenie benzo(a)pirenu w strefie mazowieckiej w 2016 roku

Lp.	Nazwa stacji	Kod krajowy stacji	Benzo(a)piren S _a [ng/m ³]	Benzo(a)piren S _a Wielkość przekroczenia [ng/m ³]
1.	Otwock, ul. Brzozowa 2	MzOtwoBrzozo	3,8	2,8
2.	Granica, Kampinoski Park Narodowy	MzGranicaKPN	1,9	0,9
3.	Piastów, ul. Pułaskiego 6/8	MzPiastPulask	3,0	2,0
4.	Siedlce, ul. Konarskiego 11	MzSiedKonars	3,7	2,7
5.	Legionowo, ul. Zegrzyńska 38	MzLegZegrzyn	3,8	2,8
6.	Mława, ul. Ordon 14	MzMlawOrdon	2,8	1,8
7.	Ostrołęka, ul. Hallera 12	MzOstroHalle	2,2	1,2
8.	Guty Duże, Guty Duże 4	MzGutyDuCzer	1,2	0,2

Tabela 26 Poziomy stężenie benzo(a)pirenu w strefie mazowieckiej w 2017 roku

Lp.	Nazwa stacji	Kod krajowy stacji	Benzo(a)piren S _a [ng/m ³]	Benzo(a)piren S _a Wielkość przekroczenia [ng/m ³]
1.	Otwock, ul. Brzozowa 2	MzOtwoBrzozo	4,2	3,2
2.	Piastów, ul. Pułaskiego 6/8	MzPiastPulask	3,6	2,6
3.	Siedlce, ul. Konarskiego 11	MzSiedKonars	3,0	2,0
4.	Legionowo, ul. Zegrzyńska 38	MzLegZegrzyn	3,7	2,7
5.	Mława, ul. Ordon 14	MzMlawOrdon	3,0	2,0
6.	Ostrołęka, ul. Hallera 12	MzOstroHalle	1,7	0,7
7.	Guty Duże, Guty Duże 4	MzGutyDuCzer	1,1	0,1
8.	Konstancin – Jeziorna, ul. Wierzejewskiego 12	MzKonJezWie	2,3	1,3

1.1.9. Poziomy stężenie benzo(a)pirenu w strefie mazowieckiej w latach 2019–2022

W latach 2019–2020 niemal na większości stacji pomiarowych benzo(a)pirenu w strefie mazowieckiej występowały przekroczenia poziomu docelowego tego zanieczyszczenia. Najwyższe stężenie B(a)P zanotowano w Legionowie i Otwocku (2019 i 2020 r.) oraz w Mińsku Mazowieckim (2020 r.) - 3 ng/m³. Najniższe stężenia, a przy tym brak przekroczeń w analizowanym okresie, notowano w Gutach, Ostrołęce oraz Konstancinie-Jeziornej.

Tabela 27 Poziomy stężenie benzo(a)pirenu w strefie mazowieckiej w 2019 roku

Lp.	Nazwa stacji	Kod krajowy stacji	Benzo(a)piren S _a [ng/m ³]	Benzo(a)piren S _a Wielkość przekroczenia [ng/m ³]
1.	Guty Duże	MzGutyDuCzer	1	Brak przekroczenia
2.	Konstancin–Jeziorna-Wierzejewskiego	MzKonJezMos	2	1
3.	Legionowo- Zegrzyńska	MzLegZegrzyn	3	2
4.	Mińsk Mazowiecki-Kazikowskiego	MzMinMazKaziMOB	2	1
5.	Ostrołęka- Hallera	MzOstroHalle	1	Brak przekroczenia
6.	Otwock- Brzozowa	MzOtwoBrzozo	3	2
7.	Piastów- Pułaskiego	MzPiasPulask	2	1
8.	Siedlce- Konarskiego	MzSiedKonars	2	1

Tabela 28 Poziomy stężenie benzo(a)pirenu w strefie mazowieckiej w 2020 roku

Lp.	Nazwa stacji	Kod krajowy stacji	Benzo(a)piren S _a [ng/m ³]	Benzo(a)piren S _a Wielkość przekroczenia [ng/m ³]
1.	Konstancin–Jeziorna-Wierzejewskiego	MzKonJezMos	1	Brak przekroczenia
2.	Legionowo- Zegrzyńska	MzLegZegrzyn	3	2
3.	Mińsk Mazowiecki-Kazikowskiego	MzMinMazKaziMOB	3	2
4.	Ostrołęka- Hallera	MzOstroHalle	1	Brak przekroczenia
5.	Otwock- Brzozowa	MzOtwoBrzozo	3	2
6.	Piastów- Pułaskiego	MzPiasPulask	2	1
7.	Siedlce- Konarskiego	MzSiedKonars	2	1

W 2021 roku na wszystkich stacjach pomiarowych benzo(a)pirenu odnotowano przekroczenie poziomu docelowego. Najwyższa wartość wystąpiła na stacji w Otwocku, gdzie zanotowano 4-krotne przekroczenie poziomu docelowego tego zanieczyszczenia.

Tabela 29 Poziomy stężenie benzo(a)pirenu w strefie mazowieckiej w 2021 roku

Lp.	Nazwa stacji	Kod krajowy stacji	Benzo(a)piren S _a [ng/m ³]	Benzo(a)piren S _a Wielkość przekroczenia [ng/m ³]
1.	Konstancin –Jeziorna, ul. Wierzejewskiego	MzKonJezWieMOB	2	1
2.	Legionowo, ul. Zegrzyńska	MzLegZegrzyn	3	2
3.	Ostrołęka, ul. Hallera	MzOstroHalle	2	1
4.	Otwock, ul. Brzozowa	MzOtwoBrzozo	4	3
5.	Piastów, ul. Pułaskiego	MzPiasPulask	2	1
6.	Siedlce, ul. Konarskiego	MzSiedKonars	2	1
7.	Sierpc, ul. Wiosny Ludów	MzSierWiosnyMOB	3	2

W 2022 roku tylko na dwóch stacjach pomiarowych benzo(a)pirenu nie odnotowano przekroczenia średniorocznego poziomu docelowego tego zanieczyszczenia – na stacji w Konstancinie-Jeziornie i na stacji w Ostrołęce. Najwyższe stężenie B(a)P w 2022 roku wystąpiło na stacji w Otwocku, gdzie zanotowano 3-krotne przekroczenie poziomu docelowego tego zanieczyszczenia.

Tabela 30 Poziomy stężenie benzo(a)pirenu w strefie mazowieckiej w 2022 roku

Lp.	Nazwa stacji	Kod krajowy stacji	Benzo(a)piren S _a [ng/m ³]	Benzo(a)piren S _a Wielkość przekroczenia [ng/m ³]
1.	Konstancin –Jeziorna, ul. Wierzejewskiego	MzKonJezWieMOB	1	Brak przekroczenia
2.	Legionowo, ul. Zegrzyńska	MzLegZegrzyn	2	1
3.	Ostrołęka, ul. Hallera	MzOstroHalle	1	Brak przekroczenia
4.	Otwock, ul. Brzozowa	MzOtwoBrzozo	3	2
5.	Piastów, ul. Pułaskiego	MzPiasPulask	2	1
6.	Siedlce, ul. Konarskiego	MzSiedKonars	2	1

1.2. Strefa aglomeracja warszawska

1.2.1. Poziomy stężenie pyłu zawieszonego PM10 w strefie aglomeracja warszawska w 2018 roku

W 2018 roku najwyższe stężenie średniodobowe pyłu zawieszonego PM10, wynoszące 73 µg/m³, przekraczające poziom dopuszczalny, zanotowano na stacji pomiarowej na Al. Niepodległości, jednak na wszystkich stacjach wystąpiło przekroczenie poziomu dopuszczalnego pyłu zawieszonego PM10 24h. W analizowanym roku największa liczba dni z przekroczeniami 50 µg/m³ pyłu zawieszonego PM10 miała również miejsce na stacji na Al. Niepodległości, było to 112 dni. Przekroczenie poziomu dopuszczalnego stężeń średniorocznych pyłu zawieszonego PM10 wystąpiło jedynie na stacji na Al. Niepodległości (44 µg/m³).

Tabela 31 Poziomy stężenie pyłu zawieszonego PM10 w strefie aglomeracja warszawska w 2018 roku

Lp.	Nazwa stacji	Kod krajowy stacji	PM10 24h S _{avg} [µg/m ³]	PM10 24h Wielkość przekroczenia [µg/m ³]	PM10 24h Liczba przekroczeń	PM10 rok S _a [µg/m ³]	PM10 S _a Wielkość przekroczenia [µg/m ³]
1.	Warszawa,	MzWarAKrzwon	58	8	54	32	Brak

Lp.	Nazwa stacji	Kod krajowy stacji	PM10 24h S _{36max} [µg/m ³]	PM10 24h Wielkość przekroczenia [µg/m ³]	PM10 24h Liczba przekroczeń	PM10 rok S _a [µg/m ³]	PM10 S _a Wielkość przekroczenia [µg/m ³]
	ul. Anieli Krzywoń						przekroczenia
2.	Warszawa, al. Niepodległości 227/233	MzWarAlNiepo	73	23	112	44	4
3.	Warszawa, ul. Kondratowicza 8	MzWarKondrat	55	5	49	30	Brak przekroczenia
4.	Warszawa, ul. Tołstoja 2	MzWarTolstoj	54	4	43	30	Brak przekroczenia
5.	Warszawa, ul. Wokalna 1	MzWarWokalna	60	10	62	36	Brak przekroczenia

1.2.2. Poziomy stężenie pyłu zawieszonego PM10 w strefie aglomeracja warszawska w latach 2013–2017

W latach 2013–2017 w strefie aglomeracja warszawska najwyższe stężenia średniodobowe pyłu zawieszonego PM10 odnotowano na stacji na Al. Niepodległości. Maksymalne stężenie wystąpiło w 2017 roku – 73,1 µg/m³. W 2013 roku na 5 stacjach zanotowano przekroczenia poziomu dopuszczalnego stężenia średniodobowego pyłu zawieszonego PM10, a w 2017 roku na 6. Jedynie na stacji na Al. Niepodległości w latach 2014-2017 zanotowano przekroczenie średniorocznego poziomu dopuszczalnego pyłu zawieszonego PM10 o około 2 µg/m³. Na pozostałych stacjach nie notowano przekroczenia poziomu dopuszczalnego stężenia średniorocznego pyłu zawieszonego PM10.

Tabela 32 Poziomy stężenie pyłu zawieszonego PM10 w strefie aglomeracja warszawska w 2013 roku

Lp.	Nazwa stacji	Kod krajowy stacji	PM10 24h S _{36max} [µg/m ³]	PM10 24h Wielkość przekroczenia [µg/m ³]	PM10 24h Liczba przekroczeń	PM10 S _a [µg/m ³]	PM10 S _a Wielkość przekroczenia [µg/m ³]
1.	Warszawa, ul. Kondratowicza 8	MzWarTarKondra	52,6	2,6	38	32,0	Brak przekroczenia
2.	Warszawa, ul. Wokalna 1	MzWarUrsynow	55,2	5,2	46	33,8	Brak przekroczenia
3.	Warszawa, Al. Niepodległości 227/233	MzWarNiepodKom	64,9	14,9	75	39,7	Brak przekroczenia
4.	Warszawa, ul. Anieli Krzywoń	MzWarszAKrzywon	53,7	3,7	37	30,5	Brak przekroczenia
5.	Warszawa, ul. Tołstoja 2	MzWarzBielany	53,4	3,4	40	30,3	Brak przekroczenia

Tabela 33 Poziomy stężenie pyłu zawieszonego PM10 w strefie aglomeracja warszawska w 2014 roku

Lp.	Nazwa stacji	Kod krajowy stacji	PM10 24h S _{96max} [µg/m ³]	PM10 24h Wielkość przekroczenia [µg/m ³]	PM10 24h Liczba przekroczeń	PM10 S _a [µg/m ³]	PM10 S _a Wielkość przekroczenia [µg/m ³]
1.	Warszawa, ul. Kondratowicza 8	MzWarTarKondra	56,6	6,6	61	33,7	Brak przekroczenia
2.	Warszawa, ul. Wokalna 1	MzWarszUrsynow	51,0	1,0	36	29,3	Brak przekroczenia
3.	Warszawa, Al. Niepodległości 227/233	MzWarNiepodKom	64,5	14,5	84	41,7	1,7
4.	Warszawa, ul. Anieli Krzywoń	MzWarszAKrzywon	53,4	3,4	58	33,1	Brak przekroczenia
5.	Warszawa, ul. Tolstoja 2	MzWarszBielany	51,5	1,5	40	30,7	Brak przekroczenia

Tabela 34 Poziomy stężenie pyłu zawieszonego PM10 w strefie aglomeracja warszawska w 2015 roku

Lp.	Nazwa stacji	Kod krajowy stacji	PM10 24h S _{96max} [µg/m ³]	PM10 24h Wielkość przekroczenia [µg/m ³]	PM10 24h Liczba	PM10 S _a [µg/m ³]	PM10 S _a Wielkość przekroczenia [µg/m ³]
1.	Warszawa, ul. Kondratowicza 8	MzWarKondrat	54,8	4,8	49	30,1	Brak przekroczenia
2.	Warszawa, Al. Niepodległości 227/233	MzWarAlNiepo	71,4	21,4	80	41,1	1,1
3.	Warszawa, ul. Anieli Krzywoń	MzWarAKrzywo	59,2	9,2	53	32,6	Brak przekroczenia
4.	Warszawa, ul. Tolstoja 2	MzWarTolstoj	51,2	1,2	37	30,7	Brak przekroczenia

Tabela 35 Poziomy stężenie pyłu zawieszonego PM10 w strefie aglomeracja warszawska w 2016 roku

Lp.	Nazwa stacji	Kod krajowy stacji	PM10 24h S _{96max} [µg/m ³]	PM10 24h Wielkość przekroczenia [µg/m ³]	PM10 24h Liczba	PM10 S _a [µg/m ³]	PM10 S _a Wielkość przekroczenia [µg/m ³]
1.	Warszawa, ul. Kondratowicza 8	MzWarKondrat	48,4	Brak przekroczenia	28	29,8	Brak przekroczenia
2.	Warszawa, ul. Wokalna 1	MzWarWokalna	46,0	Brak przekroczenia	26	27,5	Brak przekroczenia
3.	Warszawa, Al. Niepodległości 227/233 ¹³	MzWarAlNiepo	64,8	14,8	85	41,6	1,6
4.	Warszawa, Al. Niepodległości 227/233 ¹⁴	MzWarAlNiepo	62,6	12,6	76	41,0	1,0
5.	Warszawa, ul. Anieli Krzywoń	MzWarszAKrzywo	47,4	Brak przekroczenia	29	29,5	Brak przekroczenia
6.	Warszawa, ul. Marszałkowska 68	MzWarszMarszal	57,6	7,6	63	37,1	Brak przekroczenia
7.	Warszawa,	MzWarTolstoj	45,4	Brak	25	28,1	Brak

13 pomiary prowadzone metodą automatyczną

14 pomiary prowadzone metodą manualną

Lp.	Nazwa stacji	Kod krajowy stacji	$[\mu\text{g}/\text{m}^3]$ PM10 24h $S_{365\text{max}}$	PM10 24h Wielkość przekroczenia $[\mu\text{g}/\text{m}^3]$	PM10 24h Liczba	PM10 S_a $[\mu\text{g}/\text{m}^3]$	PM10 S_a Wielkość przekroczenia $[\mu\text{g}/\text{m}^3]$
	ul. Tolstoja 2			przekroczenia			przekroczenia

Tabela 36 Poziomy stężenie pyłu zawieszonego PM10 w strefie aglomeracja warszawska w 2017 roku

Lp.	Nazwa stacji	Kod krajowy stacji	$[\mu\text{g}/\text{m}^3]$ PM10 24h $S_{365\text{max}}$	PM10 24h Wielkość przekroczenia $[\mu\text{g}/\text{m}^3]$	PM10 24h Liczba	PM10 S_a $[\mu\text{g}/\text{m}^3]$	PM10 S_a Wielkość przekroczenia $[\mu\text{g}/\text{m}^3]$
1.	Warszawa, ul. Kondratowicza 8	MzWarKondrat	62,1	12,1	50	33,6	Brak przekroczenia
2.	Warszawa, ul. Wokalna 1	MzWarWokalna	53,2	2,3	42	31,7	Brak przekroczenia
3.	Warszawa, Al. Niepodległości 227/233 ¹⁵	MzWarAlNiepo	73,1	23,1	87	42,1	2,1
4.	Warszawa, Al. Niepodległości 227/233 ¹⁶	MzWarAlNiepo	69,5	19,5	79	41,8	1,8
5.	Warszawa, ul. Anieli Krzywoń	MzWarszAKrzywo	54,3	4,3	39	31,2	Brak przekroczenia
6.	Warszawa, ul. Marszałkowska 68	MzWarszMarszal	64,0	14,0	71	38,7	Brak przekroczenia
7.	Warszawa, ul. Tolstoja	MzWarTolstoj	50,4	0,4	35	28,8	Brak przekroczenia

1.2.3. Poziomy stężenie pyłu zawieszonego PM10 w strefie aglomeracja warszawska w latach 2019–2022

W latach 2019–2020 w strefie aglomeracja warszawska najwyższe stężenia średniodobowe pyłu zawieszonego PM10 odnotowano na stacji Al. Niepodległości, gdzie maksymalne stężenie wystąpiło w 2019 roku – $60 \mu\text{g}/\text{m}^3$. Na żadnej ze stacji w strefie aglomeracja warszawska, w omawianym okresie nie notowano przekroczenia poziomu dopuszczalnego stężenia średniorocznego pyłu zawieszonego PM10.

¹⁵ pomiary prowadzone metodą automatyczną

¹⁶ pomiary prowadzone metodą manualną

Tabela 37 Poziomy stężenie pyłu zawieszonego PM10 w strefie aglomeracja warszawska w 2019 roku

Lp.	Nazwa stacji	Kod krajowy stacji	PM10 24h S _{36max} [µg/m ³]	PM10 24h Wielkość przekroczenia [µg/m ³]	PM10 24h Liczba przekroczeń	PM10 S _a [µg/m ³]	PM10 S _a Wielkość przekroczenia [µg/m ³]
1.	Warszawa- Targówek	MzWarKondra	40	Brak przekroczenia	10	22	Brak przekroczenia
2.	Warszawa- Ursynów	MzWarWokalna	37	Brak przekroczenia	7	22	Brak przekroczenia
3.	Warszawa- Komunikacyjna	MzWarAlNiepo	60	10	64	37	Brak przekroczenia
4.	Warszawa- Anieli Krzywoń	MzWarAKrzywo	42	Brak przekroczenia	14	26	Brak przekroczenia
5.	Warszawa- Bajkowa	MzWarBajkowa	47	Brak przekroczenia	26	28	Brak przekroczenia
6.	Warszawa- Chrościckiego	MzWarChrosci	44	Brak przekroczenia	12	25	Brak przekroczenia
7.	Warszawa- Tolstoja	MzWarTolstoj	42	Brak przekroczenia	9	24	Brak przekroczenia

Tabela 38 Poziomy stężenie pyłu zawieszonego PM10 w strefie aglomeracja warszawska w 2020 roku

Lp.	Nazwa stacji	Kod krajowy stacji	PM10 24h S _{36max}	PM10 24h Wielkość przekroczenia [µg/m ³]	PM10 24h Liczba przekroczeń	PM10 S _a [µg/m ³]	PM10 S _a Wielkość przekroczenia [µg/m ³]
1.	Warszawa- Ursynów	MzWarWokalna	38	Brak przekroczenia	7	25	Brak przekroczenia
2.	Warszawa- Komunikacyjna	MzWarAlNiepo	54	4	50	35	Brak przekroczenia
3.	Warszawa- Anieli Krzywoń	MzWarAKrzywo	37	Brak przekroczenia	4	22	Brak przekroczenia
4.	Warszawa – Bajkowa	MzWarBajkowa	44	Brak przekroczenia	20	25	Brak przekroczenia
5.	Warszawa- Chrościckiego	MzWarChrosci	40	Brak przekroczenia	13	24	Brak przekroczenia
6.	Warszawa- Tolstoja	MzWarTolstoj	36	Brak przekroczenia	4	23	Brak przekroczenia

W 2021 roku najwyższe stężenie średniodobowe pyłu zawieszonego PM10, przekraczające poziom dopuszczalny, zanotowano na jednej stacji pomiarowej – Al. Niepodległości w strefie aglomeracja warszawska. Na stacji tej wystąpiła również największa liczba dni z przekroczeniami pyłu PM10 i było to 82 dni. W analizowanym okresie nie odnotowano przekroczenia dopuszczalnej wartości stężenia średniorocznego tego zanieczyszczenia.

Tabela 39 Poziomy stężenie pyłu zawieszonego PM10 w strefie aglomeracja warszawska w 2021 roku

Lp.	Nazwa stacji	Kod krajowy stacji	PM10 24h S _{g, max} [µg/m ³]	PM10 24h Wielkość przekroczenia [µg/m ³]	PM10 24h Liczba przekroczeń	PM10 rok S _a [µg/m ³]	PM10 S _a Wielkość przekroczenia [µg/m ³]
1.	Warszawa, ul. Anieli Krzywoń	MzWarAKrzwon	43	Brak przekroczenia	18	25	Brak przekroczenia
2.	Warszawa, al. Niepodległości	MzWarAlNiepo	61	11	82	40	Brak przekroczenia
3.	Warszawa, ul. Bajkowa	MzWarBajkowa	48	Brak przekroczenia	26	26	Brak przekroczenia
4.	Warszawa, ul. Chrościckiego	MzWarChrosci	43	Brak przekroczenia	17	25	Brak przekroczenia
5.	Warszawa, ul. Tolstoja	MzWarTolstoj	43	Brak przekroczenia	17	25	Brak przekroczenia
6.	Warszawa, ul. Wokalna	MzWarwokalna	40	Brak przekroczenia	12	23	Brak przekroczenia

W 2022 roku, podobnie jak w 2021 roku, najwyższe stężenie średniodobowe pyłu zawieszonego PM10, przekraczające poziom dopuszczalny, zanotowano na jednej stacji pomiarowej w strefie aglomeracja warszawska – Al. Niepodległości. Na stacji tej wystąpiła również największa liczba dni z przekroczeniami pyłu PM10 i było to 48 dni.

W analizowanym okresie nie odnotowano przekroczenia dopuszczalnej wartości stężenia średniorocznego pyłu zawieszonego PM10 na żadnej ze stacji pomiarowych w strefie.

Tabela 40 Poziomy stężenie pyłu zawieszonego PM10 w strefie aglomeracja warszawska w 2022 roku

Lp.	Nazwa stacji	Kod krajowy stacji	PM10 24h S _{g, max} [µg/m ³]	PM10 24h Wielkość przekroczenia [µg/m ³]	PM10 24h Liczba przekroczeń	PM10 rok S _a [µg/m ³]	PM10 S _a Wielkość przekroczenia [µg/m ³]
1.	Warszawa, ul. Anieli Krzywoń	MzWarAKrzwon	42	Brak przekroczenia	9	24	Brak przekroczenia
2.	Warszawa, al. Niepodległości	MzWarAlNiepo	58	8	48	35	Brak przekroczenia
3.	Warszawa, ul. Bajkowa	MzWarBajkowa	44	Brak przekroczenia	22	24	Brak przekroczenia
4.	Warszawa, ul. Chrościckiego	MzWarChrosci	41	Brak przekroczenia	16	24	Brak przekroczenia
5.	Warszawa, ul. Tolstoja	MzWarTolstoj	36	Brak przekroczenia	10	21	Brak przekroczenia
6.	Warszawa, ul. Wokalna	MzWarwokalna	36	Brak przekroczenia	9	21	Brak przekroczenia

1.2.4. Poziomy stężenie pyłu zawieszonego PM2,5 w strefie aglomeracja warszawska w 2018 roku

W 2018 roku w strefie aglomeracja warszawska nie odnotowano przekroczenia poziomu dopuszczalnego pyłu zawieszonego PM2,5, jednak wartość 25 µg/m³, która została zmierzona na Al. Niepodległości jest wartością graniczną. Na trzech stacjach zanotowano przekroczenie poziomu dopuszczalnego pyłu zawieszonego PM2,5 dla fazy II (20 µg/m³).

Tabela 41 Poziomy stężenie pyłu zawieszonego PM_{2,5} w strefie aglomeracja warszawska w 2018 roku

Lp.	Nazwa stacji	Kod krajowy stacji	PM _{2,5} S _a [µg/m ³]	PM _{2,5} rok Wielkość przekroczenia [µg/m ³]	PM _{2,5} rok Wielkość przekroczenia dla fazy II [µg/m ³]
1.	Warszawa, Al. Niepodległości 227/233	MzWarAlNiepo	25	Brak przekroczenia	5,0
2.	Warszawa, ul. Kondratowicza 8	MzWarKondrat	20	Brak przekroczenia	Brak przekroczenia
3.	Warszawa, ul. Tolstoja 2	MzWarTolstoj	23	Brak przekroczenia	3,0
4.	Warszawa, ul. Wokalna 1	MzWarwokalna	21	Brak przekroczenia	1,0

1.2.5. Poziomy stężenie pyłu zawieszonego PM_{2,5} w strefie aglomeracja warszawska w latach 2013–2017

W strefie aglomeracja warszawska przekroczenie poziomu dopuszczalnego pyłu zawieszonego PM_{2,5} zanotowano na Al. Niepodległości w latach 2013-2014 oraz 2016-2017 na ul. Marszałkowskiej. Najwyższe stężenie średnioroczne pyłu zawieszonego PM_{2,5} odnotowano na Al. Niepodległości w 2013 roku - 31,2 µg/m³. Od 2013 do 2016 roku stężenia pyłu zawieszonego PM_{2,5} corocznie spadały, jednak w 2017 roku w stosunku do 2016 nieznacznie wzrosły.

Tabela 42 Poziomy stężenie pyłu zawieszonego PM_{2,5} w strefie aglomeracja warszawska w 2013 roku

Lp.	Nazwa stacji	Kod krajowy stacji	PM _{2,5} S _a [µg/m ³]	PM _{2,5} S _a Wielkość przekroczenia [µg/m ³]
1.	Warszawa, ul. Kondratowicza 8	MzWarTarKondra	23,6	Brak przekroczenia
2.	Warszawa, ul. Wokalna 1	MzWarzUrsynow	22,4	Brak przekroczenia
3.	Warszawa, Al. Niepodległości 227/233	MzWarNiepodKom	31,2	6,2

Tabela 43 Poziomy stężenie pyłu zawieszonego PM_{2,5} w strefie aglomeracja warszawska w 2014 roku

Lp.	Nazwa stacji	Kod krajowy stacji	PM _{2,5} rok S _a [µg/m ³]	PM _{2,5} S _a Wielkość przekroczenia [µg/m ³]
1.	Warszawa, ul. Kondratowicza 8	MzWarTarKondra	25,5	0,5
2.	Warszawa, ul. Wokalna 1 ¹⁷	MzWarszUrsynow	23,7	Brak przekroczenia
3.	Warszawa, ul. Wokalna 1 ¹⁸	MzWarszUrsynow	23,0	Brak przekroczenia
4.	Warszawa, Al. Niepodległości 227/233	MzWarNiepodKom	30,0	5,0

Tabela 44 Poziomy stężenie pyłu zawieszonego PM_{2,5} w strefie aglomeracja warszawska w 2015 roku

Lp.	Nazwa stacji	Kod krajowy stacji	PM _{2,5} S _a [µg/m ³]	PM _{2,5} S _a Wielkość przekroczenia [µg/m ³]
1.	Warszawa, ul. Kondratowicza 8 ¹⁹	MzWarKondrat	23,5	Brak przekroczenia
2.	Warszawa,	MzWarKondrat	23,6	Brak przekroczenia

17 pomiary prowadzone metodą automatyczną

18 pomiary prowadzone metodą manualną

Lp.	Nazwa stacji	Kod krajowy stacji	PM2,5 S _a [µg/m ³]	PM2,5 S _a Wielkość przekroczenia [µg/m ³]
	ul. Kondratowicza 8 ²⁰			
3.	Warszawa, ul. Wokalna 1 ²¹	MzWarWokalna	21,3	Brak przekroczenia
4.	Warszawa, ul. Wokalna 1 ²²	MzWarWokalna	21,0	Brak przekroczenia
5.	Warszawa, Al. Niepodległości 227/233	MzWarAlNiepo	24,1	Brak przekroczenia

Tabela 45 Poziomy stężenie pyłu zawieszonego PM2,5 w strefie aglomeracja warszawska w 2016 roku

Lp.	Nazwa stacji	Kod krajowy stacji	PM2,5 S _a [µg/m ³]	PM2,5 S _a Wielkość przekroczenia [µg/m ³]
1.	Warszawa, ul. Kondratowicza 8 ²³	MzWarKondrat	24,1	Brak przekroczenia
2.	Warszawa, ul. Kondratowicza 8 ²⁴	MzWarKondrat	21,8	Brak przekroczenia
3.	Warszawa, ul. Wokalna 1 ²⁵	MzWarWokalna	18,9	Brak przekroczenia
4.	Warszawa, ul. Wokalna 1 ²⁶	MzWarWokalna	19,4	Brak przekroczenia
5.	Warszawa, Al. Niepodległości 227/233	MzWarAlNiepo	25,6	0,6
6.	Warszawa, ul. Marszałkowska 68	MzWarszMarszal	24,0	Brak przekroczenia

Tabela 46 Poziomy stężenie pyłu zawieszonego PM2,5 w strefie aglomeracja warszawska w 2017 roku

Lp.	Nazwa stacji	Kod krajowy stacji	PM2,5 S _a [µg/m ³]	PM2,5 S _a Wielkość przekroczenia [µg/m ³]
1.	Warszawa, ul. Kondratowicza 8	MzWarKondrat	21,4	Brak przekroczenia
2.	Warszawa, ul. Wokalna 1 ²⁷	MzWarWokalna	21,0	Brak przekroczenia
3.	Warszawa, ul. Wokalna 1 ²⁸	MzWarWokalna	21,1	Brak przekroczenia
4.	Warszawa, Al. Niepodległości 227/233	MzWarAlNiepo	27,6	2,6
5.	Warszawa, ul. Marszałkowska 68	MzWarszMarszal	27,6	2,6

1.2.6. Poziomy stężenie pyłu zawieszonego PM2,5 w strefie aglomeracja warszawska w latach 2019–2022

W strefie aglomeracja warszawska przekroczenie poziomu dopuszczalnego pyłu zawieszonego PM2,5 (faza I) nie zanotowano na żadnej ze stacji w latach 2019-2020. W 2019 roku jedynie na stacji Al. Niepodległości (Warszawa- Komunikacyjna) został przekroczony poziom dopuszczalny pyłu PM2,5 dla fazy II o 5 µg/m³.

Tabela 47 Poziomy stężenie pyłu zawieszonego PM2,5 w strefie aglomeracja warszawska w 2019 roku

-
- 19 pomiary prowadzone metodą automatyczną
 - 20 pomiary prowadzone metodą manualną
 - 21 pomiary prowadzone metodą automatyczną
 - 22 pomiary prowadzone metodą manualną
 - 23 pomiary prowadzone metodą automatyczną
 - 24 pomiary prowadzone metodą manualną
 - 25 pomiary prowadzone metodą automatyczną
 - 26 pomiary prowadzone metodą manualną
 - 27 pomiary prowadzone metodą automatyczną
 - 28 pomiary prowadzone metodą manualną

Lp.	Nazwa stacji	Kod krajowy stacji	PM2,5 S _a [µg/m ³]	PM2,5 S _a Wielkość przekroczenia [µg/m ³]	PM2,5 rok Wielkość przekroczenia dla fazy II [µg/m ³]
1.	Warszawa- Targówek	MzWarKondrat	16	Brak przekroczenia	Brak przekroczenia
2.	Warszawa- Ursynów	MzWarWokalna	16	Brak przekroczenia	Brak przekroczenia
3.	Warszawa- Komunikacyjna	MzWarAlNiepo	25	Brak przekroczenia	5,0
4.	Warszawa- Bajkowa	MzWarBajkowa	19	Brak przekroczenia	Brak przekroczenia
5.	Warszawa- Chrościckiego	MzWarChrosci	19	Brak przekroczenia	Brak przekroczenia
6.	Warszawa- Tolstoja	MzWarTolstoj	19	Brak przekroczenia	Brak przekroczenia

Tabela 48 Poziomy stężenie pyłu zawieszonego PM2,5 w strefie aglomeracja warszawska w 2020 roku

Lp.	Nazwa stacji	Kod krajowy stacji	PM2,5 S _a [µg/m ³]	PM2,5 S _a Wielkość przekroczenia [µg/m ³]	PM2,5 rok Wielkość przekroczenia dla fazy II [µg/m ³]
1.	Warszawa- Targówek	MzWarKondrat	15	Brak przekroczenia	Brak przekroczenia
2.	Warszawa- Ursynów	MzWarWokalna	14	Brak przekroczenia	Brak przekroczenia
3.	Warszawa- Komunikacyjna	MzWarAlNiepo	18	Brak przekroczenia	Brak przekroczenia
4.	Warszawa- Bajkowa	MzWarBajkowa	18	Brak przekroczenia	Brak przekroczenia
5.	Warszawa- Chrościckiego	MzWarChrosci	17	Brak przekroczenia	Brak przekroczenia
6.	Warszawa- Tolstoja	MzWarTolstoj	15	Brak przekroczenia	Brak przekroczenia

W 2021 roku w strefie aglomeracja warszawska nie notowano przekroczeń poziomu dopuszczalnego pyłu zawieszonego PM2,5 faza I (25 µg/m³). Poziom dopuszczalny pyłu PM2,5 dla fazy II (20 µg/m³) był przekroczony na niemal wszystkich stacjach pomiarowych w aglomeracji, poza stacją na ul. Bajkowa. Największe przekroczenie – o 3 µg/m³ miało miejsce na stacji przy ul. Tolstoja 2 w Warszawie.

Tabela 49 Poziomy stężenie pyłu zawieszonego PM2,5 w strefie aglomeracja warszawska w 2021 roku

Lp.	Nazwa stacji	Kod krajowy stacji	PM2,5 S _a [µg/m ³]	PM2,5 rok Wielkość przekroczenia [µg/m ³]	PM2,5 rok Wielkość przekroczenia dla fazy II [µg/m ³]
1.	Warszawa, al. Niepodległości	MzWarAlNiepo	21	Brak przekroczenia	1,0
2.	Warszawa, ul. Bajkowa	MzWarBajkowa	19	Brak przekroczenia	Brak przekroczenia
3.	Warszawa,	MzWarTolstoj	23	Brak przekroczenia	3,0

Lp.	Nazwa stacji	Kod krajowy stacji	PM2,5 S _a [µg/m ³]	PM2,5 rok Wielkość przekroczenia [µg/m ³]	PM2,5 rok Wielkość przekroczenia dla fazy II [µg/m ³]
	ul. Tolstoja 2				
4.	Warszawa, ul. Wokalna 1	MzWarwokalna	21	Brak przekroczenia	1,0

W 2022 roku w strefie aglomeracja warszawska nie notowano przekroczeń poziomu dopuszczalnego pyłu zawieszonego PM2,5 faza I (25 µg/m³) oraz dla fazy II (20 µg/m³). Najwyższą średnioroczną wartość stężenia pyłu zawieszonego PM2,5 zanotowano na stacji przy Al. Niepodległości – 17 µg/m³.

Tabela 50 Poziomy stężenie pyłu zawieszonego PM2,5 w strefie aglomeracja warszawska w 2022 roku

Lp.	Nazwa stacji	Kod krajowy stacji	PM2,5 S _a [µg/m ³]	PM2,5 rok Wielkość przekroczenia [µg/m ³]	PM2,5 rok Wielkość przekroczenia dla fazy II [µg/m ³]
1.	Warszawa, al. Niepodległości	MzWarAlNiepo	17	Brak przekroczenia	Brak przekroczenia
2.	Warszawa, ul. Bajkowa	MzWarBajkowa	15	Brak przekroczenia	Brak przekroczenia
3.	Warszawa, ul. Chrościckiego	MzWarChrosci	15	Brak przekroczenia	Brak przekroczenia
4.	Warszawa, ul. Tolstoja 2	MzWarTolstoj	15	Brak przekroczenia	Brak przekroczenia
5.	Warszawa, ul. Wokalna 1	MzWarwokalna	13	Brak przekroczenia	Brak przekroczenia

1.2.7. Poziomy stężenie ditlenku azotu w strefie aglomeracja warszawska w 2018 roku

W 2018 roku jednogodzinny poziom dopuszczalny NO₂ nie został przekroczony na żadnej stacji pomiarowej w strefie aglomeracja warszawska. Najwyższą wartość odnotowano na stacji pomiarowej zlokalizowanej przy Al. Niepodległości 227/233, która znajduje się w pobliżu głównego węzła komunikacyjnego w Warszawie. Również na stacji przy Al. Niepodległości został przekroczony średnioroczny poziom dopuszczalny ditlenku azotu o 10 µg/m³.

Tabela 51 Poziomy stężenie ditlenku azotu w strefie aglomeracja warszawska w 2018 roku

Lp.	Nazwa stacji	Kod krajowy stacji	[µg/m ³] NO ₂ 1h S _{9max}	NO ₂ 1h Wielkość przekroczenia [µg/m ³]	liczba NO ₂ 1h	NO ₂ S _a [µg/m ³]	NO ₂ rok Wielkość przekroczenia [µg/m ³]
1.	Warszawa, al. Niepodległości 227/233	MzWarAlNiepo	169	Brak przekroczenia	5	50	10
2.	Warszawa, ul. Kondratowicza 8	MzWarKondrat	102	Brak przekroczenia	0	26	Brak przekroczenia
3.	Warszawa, ul. Wokalna 1	MzWarWokalna	121	Brak przekroczenia	0	27	Brak przekroczenia

1.2.8. Poziomy stężenie ditlenku azotu w strefie aglomeracja warszawska w latach 2013– 2017

W strefie aglomeracja warszawska na żadnej stacji pomiarowej nie wystąpiło przekroczenie jednogodzinnego poziomu dopuszczalnego ditlenku azotu. Najwyższą wartość zmierzono na stacji pomiarowej, na Al. Niepodległości - 184,0 µg/m³ w 2015 roku,

a najniższą na ul. Kondratowicza ($93,8 \mu\text{g}/\text{m}^3$) w 2014 roku. W każdym roku w okresie 2013– 2017 występowało przekroczenie średniorocznego poziomu dopuszczalnego NO_2 na stacji pomiarowej na Al. Niepodległości. Najwyższe stężenie zanotowano w 2015 roku - $59,2 \mu\text{g}/\text{m}^3$. Na ul. Marszałkowskiej od 2014 roku prowadzone są pomiary ditlenku azotu i tam również do 2016 roku występowały przekroczenia poziomu dopuszczalnego NO_2 rok, jednak notowane stężenia tego zanieczyszczenia były znacznie niższe niż na Al. Niepodległości.

Tabela 52 Poziomy stężenie ditlenku azotu w strefie aglomeracja warszawska w 2013 roku

Lp.	Nazwa stacji	Kod krajowy stacji	NO_2 1h [$\mu\text{g}/\text{m}^3$]	NO_2 1h Wielkość przekroczenia [$\mu\text{g}/\text{m}^3$]	NO_2 1h Liczba	NO_2 S _a [$\mu\text{g}/\text{m}^3$]	NO_2 S _a Wielkość przekroczenia [$\mu\text{g}/\text{m}^3$]
1.	Warszawa, ul. Kondratowicza 8	MzWarTarKondra	107,8	Brak przekroczenia	0	24,5	Brak przekroczenia
2.	Warszawa, ul. Wokalna 1	MzWarUrsynow	94,9	Brak przekroczenia	0	24,0	Brak przekroczenia
3.	Warszawa, Al. Niepodległości 227/233	MzWarNiepodKom	179,6	Brak przekroczenia	8	56,3	16,3

Tabela 53 Poziomy stężenie ditlenku azotu w strefie aglomeracja warszawska w 2014 roku

Lp.	Nazwa stacji	Kod krajowy stacji	NO_2 1h [$\mu\text{g}/\text{m}^3$]	NO_2 1h Wielkość przekroczenia [$\mu\text{g}/\text{m}^3$]	NO_2 1h Liczba	NO_2 S _a [$\mu\text{g}/\text{m}^3$]	NO_2 S _a Wielkość przekroczenia [$\mu\text{g}/\text{m}^3$]
1.	Warszawa, ul. Kondratowicza 8	MzWarTarKondra	93,8	Brak przekroczenia	0	22,9	Brak przekroczenia
2.	Warszawa, ul. Wokalna 1	MzWarszUrsynow	105,4	Brak przekroczenia	0	22,2	Brak przekroczenia
3.	Warszawa, Al. Niepodległości 227/233	MzWarNiepodKom	164,4	Brak przekroczenia	1	49,0	9,0
4.	Warszawa, ul. Marszałkowska 68	MzWarszMarsz	153,1	Brak przekroczenia	1	48,5	8,5

Tabela 54 Poziomy stężenie ditlenku azotu w strefie aglomeracja warszawska w 2015 roku

Lp.	Nazwa stacji	Kod krajowy stacji	NO_2 1h [$\mu\text{g}/\text{m}^3$]	NO_2 1h Wielkość przekroczenia [$\mu\text{g}/\text{m}^3$]	NO_2 1h Liczba przekroczeń	NO_2 S _a [$\mu\text{g}/\text{m}^3$]	NO_2 S _a Wielkość przekroczenia [$\mu\text{g}/\text{m}^3$]
1.	Warszawa, ul. Kondratowicza 8	MzWarKondrat	114,5	Brak przekroczenia	0	27,6	Brak przekroczenia
2.	Warszawa, ul. Wokalna 1	MzWarWokalna	119,6	Brak przekroczenia	0	24,1	Brak przekroczenia
3.	Warszawa, Al. Niepodległości 227/233	MzWarAlNiepo	184,0	Brak przekroczenia	6	59,2	19,2
4.	Warszawa, ul. Marszałkowska 68	MzWarszMarsz	141,8	Brak przekroczenia	0	43,3	3,3

Tabela 55 Poziomy stężenie ditlenku azotu w strefie aglomeracja warszawska w 2016 roku

Lp.	Nazwa stacji	Kod krajowy stacji	NO ₂ 1h [µg/m ³]	NO ₂ 1h Wielkość przekroczenia [µg/m ³]	NO ₂ 1h Liczba	NO ₂ S _a [µg/m ³]	NO ₂ S _a Wielkość przekroczenia [µg/m ³]
1.	Warszawa, ul. Kondratowicza 8	MzWarKondrat	111,9	Brak przekroczenia	0	28,6	Brak przekroczenia
2.	Warszawa, ul. Wokalna 1	MzWarWokalna	98,0	Brak przekroczenia	0	23,0	Brak przekroczenia
3.	Warszawa, Al. Niepodległości 227/233	MzWarAlNiepo	176,5	Brak przekroczenia	3	56,7	16,7
4.	Warszawa, ul. Marszałkowska 68	MzWarszMarszal	119,6	Brak przekroczenia	0	40,4	0,4

Tabela 56 Poziomy stężenie ditlenku azotu w strefie aglomeracja warszawska w 2017 roku

Lp.	Nazwa stacji	Kod krajowy stacji	NO ₂ 1h [µg/m ³]	NO ₂ 1h Wielkość przekroczenia [µg/m ³]	NO ₂ 1h Liczba	NO ₂ S _a [µg/m ³]	NO ₂ S _a Wielkość przekroczenia [µg/m ³]
1.	Warszawa, ul. Kondratowicza 8	MzWarKondrat	99,2	Brak przekroczenia	0	26,0	Brak przekroczenia
2.	Warszawa, ul. Wokalna 1	MzWarWokalna	103,5	Brak przekroczenia	0	22,9	Brak przekroczenia
3.	Warszawa, Al. Niepodległości 227/233	MzWarAlNiepo	147,5	Brak przekroczenia	0	51,7	11,7
4.	Warszawa, ul. Marszałkowska 68	MzWarszMarszal	112,3	Brak przekroczenia	0	37,7	Brak przekroczenia

1.2.9. Poziomy stężenie ditlenku azotu w strefie aglomeracja warszawska w latach 2019– 2022.

W strefie aglomeracja warszawska na żadnej stacji pomiarowej nie wystąpiło przekroczenie jednogodzinnego poziomu dopuszczalnego ditlenku azotu. Najwyższą wartość zmierzono na stacji pomiarowej, na Al. Niepodległości - 138 µg/m³ w 2019 roku, a najniższą na ul. Chrościckiego (77 µg/m³) także w 2019 roku. Jedynie w 2019 roku i tylko na stacji pomiarowej na Al. Niepodległości wystąpiło przekroczenie średniorocznego poziomu dopuszczalnego NO₂ na stacji pomiarowej na Al. Niepodległości. Najwyższe stężenie wówczas przekroczyło średnioroczny poziom dopuszczalny o 10 µg/m³.

Tabela 57 Poziomy stężenie ditlenku azotu w strefie aglomeracja warszawska w 2019 roku

Lp.	Nazwa stacji	Kod krajowy stacji	NO ₂ 1h [µg/m ³]	NO ₂ 1h Wielkość przekroczenia [µg/m ³]	NO ₂ 1h Liczba	NO ₂ S _a [µg/m ³]	NO ₂ rok Wielkość przekroczenia [µg/m ³]
1.	Warszawa- Komunikacyjna	MzWarAlNiepo	138	Brak przekroczenia	0	50	10
2.	Warszawa- Chrościckiego	MzWarChrosci	77	Brak przekroczenia	0	22	Brak przekroczenia
3.	Warszawa- Targówek	MzWarKondrat	96	Brak przekroczenia	0	25	Brak przekroczenia

Lp.	Nazwa stacji	Kod krajowy stacji	$[\mu\text{g}/\text{m}^3]$ NO_2 1h $S_{9\text{max}}$	NO_2 1h Wielkość przekroczenia $[\mu\text{g}/\text{m}^3]$	dnia NO_2 1h Liczba	NO_2 S_a $[\mu\text{g}/\text{m}^3]$	NO_2 rok Wielkość przekroczenia $[\mu\text{g}/\text{m}^3]$
4.	Warszawa- Ursynów	MzWarWokalna	86	Brak przekroczenia	0	22	Brak przekroczenia

Tabela 58 Poziomy stężenie ditlenku azotu w strefie aglomeracja warszawska w 2020 roku

Lp.	Nazwa stacji	Kod krajowy stacji	$[\mu\text{g}/\text{m}^3]$ NO_2 1h $S_{9\text{max}}$	NO_2 1h Wielkość przekroczenia $[\mu\text{g}/\text{m}^3]$	dnia NO_2 1h Liczba	NO_2 S_a $[\mu\text{g}/\text{m}^3]$	NO_2 rok Wielkość przekroczenia $[\mu\text{g}/\text{m}^3]$
1.	Warszawa- Komunikacyjna	MzWarAlNiepo	118	Brak przekroczenia	0	37	Brak przekroczenia
2.	Warszawa- Chrościckiego	MzWarChrosci	86	Brak przekroczenia	0	21	Brak przekroczenia
3.	Warszawa- Targówek	MzWarKondrat	98	Brak przekroczenia	0	24	Brak przekroczenia
4.	Warszawa- Ursynów	MzWarWokalna	87	Brak przekroczenia	0	18	Brak przekroczenia

W 2021 roku nie notowano przekroczeń jednogodzinnego poziomu dopuszczalnego ditlenku węgla. Przekroczony został natomiast średnioroczny poziom dopuszczalny tego zanieczyszczenia na stacji przy Al. Niepodległości. Poziom ten został przekroczony wówczas o $3 \mu\text{g}/\text{m}^3$.

Tabela 59 Poziomy stężenie ditlenku azotu w strefie aglomeracja warszawska w 2021 roku

Lp.	Nazwa stacji	Kod krajowy stacji	$[\mu\text{g}/\text{m}^3]$ NO_2 1h $S_{9\text{max}}$	NO_2 1h Wielkość przekroczenia $[\mu\text{g}/\text{m}^3]$	dnia NO_2 1h Liczba	NO_2 S_a $[\mu\text{g}/\text{m}^3]$	NO_2 rok Wielkość przekroczenia $[\mu\text{g}/\text{m}^3]$
1.	Warszawa, al. Niepodległości	MzWarAlNiepo	120	Brak przekroczenia	0	43	3
2.	Warszawa, ul. Chrościckiego	MzWarChrosci	88	Brak przekroczenia	0	21	Brak przekroczenia
3.	Warszawa, ul. Kondratowicza	MzWarKondrat	85	Brak przekroczenia	0	20	Brak przekroczenia
4.	Warszawa, ul. Wokalna	MzWarWokalna	84	Brak przekroczenia	0	19	Brak przekroczenia

W 2022 roku nie notowano przekroczeń jednogodzinnego poziomu dopuszczalnego ditlenku azotu w strefie aglomeracja warszawska. Przekroczony został natomiast średnioroczny poziom dopuszczalny tego zanieczyszczenia (o $1 \mu\text{g}/\text{m}^3$) na stacji przy Al. Niepodległości.

Tabela 60 Poziomy stężenie ditlenku azotu w strefie aglomeracja warszawska w 2022 roku

Lp.	Nazwa stacji	Kod krajowy stacji	NO_2 1h S_{10max} [$\mu g/m^3$]	NO_2 1h Wielkość przekroczenia [$\mu g/m^3$]	liczba dni NO_2 1h	NO_2 S_a [$\mu g/m^3$]	NO_2 rok Wielkość przekroczenia [$\mu g/m^3$]
1.	Warszawa, al. Niepodległości	MzWarAlNiepo	125	Brak przekroczenia	0	41	1
2.	Warszawa, ul. Chrościckiego	MzWarChrosci	99	Brak przekroczenia	0	20	Brak przekroczenia
3.	Warszawa, ul. Kondratowicza	MzWarKondrat	97	Brak przekroczenia	0	20	Brak przekroczenia

1.2.10. Poziomy stężenie benzo(a)pirenu w strefie aglomeracja warszawska w 2018 roku

W 2018 roku w strefie aglomeracja warszawska benzo(a)piren był mierzony na dwóch stacjach, przy czym na jednym, na ul. Anieli Krzywoń, zanotowano niewielkie przekroczenie poziomu docelowego, a na drugim przekroczenie nie wystąpiło.

Tabela 61 Poziomy stężenie benzo(a)pirenu w strefie aglomeracja warszawska w 2018 roku

Lp	Nazwa stacji	Kod krajowy stacji	Benzo(a)piren S_a [ng/m^3]	Benzo(a)piren S_a Wielkość przekroczenia [ng/m^3]
1.	Warszawa, ul. Anieli Krzywoń	MzWarAKrzwon	2	1
2.	Warszawa, Al. Niepodległości 227/233	MzWarAlNiepo	1	Brak przekroczenia

1.2.11. Poziomy stężenie benzo(a)pirenu w strefie aglomeracja warszawska w latach 2013–2017

Wyniki pomiarów benzo(a)pirenu wskazują na przekroczenia poziomu docelowego tego zanieczyszczenia w latach 2013–2017 na wszystkich stacjach pomiarowych, na których było mierzone to zanieczyszczenie w strefie aglomeracja warszawska. Najwyższe stężenie benzo(a)pirenu zanotowano na stacji pomiarowej na ul. Anieli Krzywoń w 2014 roku ($2,8 ng/m^3$). W latach 2013-2015 stężenia średnioroczne B(a)P utrzymywały się na poziomie powyżej $2 ng/m^3$, natomiast w latach 2016-2017 spadły do poziomu ok. $1,5 ng/m^3$.

Tabela 62 Poziomy stężenie benzo(a)pirenu w strefie aglomeracja warszawska w 2013 roku

Lp	Nazwa stacji	Kod krajowy stacji	Benzo(a)piren S_a [ng/m^3]	Benzo(a)piren S_a Wielkość przekroczenia [ng/m^3]
1.	Warszawa, ul. Anieli Krzywoń	MzWarszAKrzywon	2,8	1,8
2.	Warszawa, ul. Tołstoja 2	MzWarszBielany	2,6	1,6

Tabela 63 Poziomy stężenie benzo(a)pirenu w strefie aglomeracja warszawska w 2014 roku

Lp	Nazwa stacji	Kod krajowy stacji	Benzo(a)piren S_a [ng/m^3]	Benzo(a)piren S_a Wielkość przekroczenia [ng/m^3]
1.	Warszawa, ul. Anieli Krzywoń	MzWarszAKrzywon	2,8	1,8
2.	Warszawa, ul. Tołstoja 2	MzWarszBielany	2,5	1,5

Tabela 64 Poziomy stężenie benzo(a)pirenu w strefie aglomeracja warszawska w 2015 roku

Lp	Nazwa stacji	Kod krajowy stacji	Benzo(a)piren S _a [ng/m ³]	Benzo(a)piren S _a Wielkość przekroczenia [ng/m ³]
1.	Warszawa, ul. Anieli Krzywoń	MzWarAKrzywo	2,5	1,5
2.	Warszawa, ul. Tołstoja 2	MzWarTolstoj	2,0	1,0

Tabela 65 Poziomy stężenie benzo(a)pirenu w strefie aglomeracja warszawska w 2016 rok

Lp	Nazwa stacji	Kod krajowy stacji	Benzo(a)piren S _a [ng/m ³]	Benzo(a)piren S _a Wielkość przekroczenia [ng/m ³]
1.	Warszawa, Al. Niepodległości 227/233	MzWarAlNiepo	1,5	0,5
2.	Warszawa, ul. Anieli Krzywoń	MzWarszAKrzywo	1,6	0,6
3.	Warszawa, ul. Tołstoja 2	MzWarTolstoj	1,7	0,7

Tabela 66 Poziomy stężenie benzo(a)pirenu w strefie aglomeracja warszawska w 2017 roku

Lp	Nazwa stacji	Kod krajowy stacji	Benzo(a)piren S _a [ng/m ³]	Benzo(a)piren S _a Wielkość przekroczenia [ng/m ³]
1.	Warszawa, Al. Niepodległości 227/233	MzWarAlNiepo	1,4	0,4
2.	Warszawa, ul. Tołstoja	MzWarTolstoj	1,5	0,5

1.2.12. Poziomy stężenie benzo(a)pirenu w strefie aglomeracja warszawska w latach 2019–2022

Wyniki pomiarów benzo(a)pirenu wskazują na przekroczenia poziomu docelowego tego zanieczyszczenia w latach 2019–2020 na jednej stacji pomiarowej (na ul. Bajkowej) w strefie aglomeracja warszawska. Na pozostałych stacjach stężenia średnioroczne B(a)P utrzymywały się na poziomie nieprzekraczającym poziomu docelowego.

Tabela 67 Poziomy stężenie benzo(a)pirenu w strefie aglomeracja warszawska w 2019 roku

Lp	Nazwa stacji	Kod krajowy stacji	Benzo(a)piren S _a [ng/m ³]	Benzo(a)piren S _a Wielkość przekroczenia [ng/m ³]
1.	Warszawa- Anieli Krzywoń	MzWarAKrzywo	1	Brak przekroczenia
2.	Warszawa- Komunikacyjna	MzWarAlNiepo	1	Brak przekroczenia
3.	Warszawa- Bajkowa	MzWarBajkowa	2	1
4.	Warszawa- Chrościckiego	MzWarChrosci	1	Brak przekroczenia

Tabela 68 Poziomy stężenie benzo(a)pirenu w strefie aglomeracja warszawska w 2020 roku

Lp	Nazwa stacji	Kod krajowy stacji	Benzo(a)piren S _a [ng/m ³]	Benzo(a)piren S _a Wielkość przekroczenia [ng/m ³]
1.	Warszawa- Anieli Krzywoń	MzWarAKrzywo	1	Brak przekroczenia
2.	Warszawa- Bajkowa	MzWarBajkowa	2	1
3.	Warszawa- Chrościckiego	MzWarChrosci	1	Brak przekroczenia

W 2021 roku w strefie aglomeracja warszawska pomiary benzo(a)pirenu były prowadzone na trzech stacjach pomiarowych, z których na dwóch (przy ul. Bajkowej i ul. Chrościckiego) notowano przekroczenia poziomu docelowego tego zanieczyszczenia.

Tabela 69 Poziomy stężenie benzo(a)pirenu w strefie aglomeracja warszawska w 2021 roku

Lp	Nazwa stacji	Kod krajowy stacji	Benzo(a)piren S _a [ng/m ³]	Benzo(a)piren S _a Wielkość przekroczenia [ng/m ³]
1.	Warszawa, ul. Krzywoń	MzWarAKrzywo	1	Brak przekroczenia
2.	Warszawa, ul. Bajkowa	MzWarBajkowa	2	1
3.	Warszawa, ul. Chrościckiego	MzWarChrosci	2	1

W 2022 roku w strefie aglomeracja warszawska pomiary benzo(a)pirenu były prowadzone na trzech stacjach pomiarowych. Na żadnej ze stacji nie notowano przekroczenia poziomu docelowego tego zanieczyszczenia.

Tabela 70 Poziomy stężenie benzo(a)pirenu w strefie aglomeracja warszawska w 2022 roku

Lp	Nazwa stacji	Kod krajowy stacji	Benzo(a)piren S _a [ng/m ³]	Benzo(a)piren S _a Wielkość przekroczenia [ng/m ³]
1.	Warszawa, ul. Krzywoń	MzWarAKrzywo	1	Brak przekroczenia
2.	Warszawa, ul. Bajkowa	MzWarBajkowa	1	Brak przekroczenia
3.	Warszawa, ul. Chrościckiego	MzWarChrosci	1	Brak przekroczenia

1.3. Strefa miasto Płock

1.3.1. Poziomy stężenie pyłu zawieszonego PM₁₀ w strefie miasto Płock w 2018 roku

W 2018 roku w strefie miasto Płock pomiary zanieczyszczeń były prowadzone na dwóch stacjach: na ul. Królowej Jadwigi 4 i ul. Reja 28. Średniodobowy poziom dopuszczalny pyłu zawieszonego PM₁₀ został przekroczony na obydwu stacjach: na ul. Królowej Jadwigi o 5 µg/m³, a na ul. Reja o 3 µg/m³. Największa liczba dni ze stężeniami średniodobowymi pyłu zawieszonego PM₁₀ przekraczającymi 50 µg/m³ wystąpiła na stacji

pomiarowej na ul. Królowej Jadwigi - 51 dni. Na żadnej stacji nie odnotowano przekroczenia średniorocznego poziomu dopuszczalnego pyłu zawieszonego PM10.

Tabela 71 Poziomy stężenie pyłu zawieszonego PM10 w strefie miasto Płock w 2018 roku

Lp.	Nazwa stacji	Kod krajowy stacji	PM10 24h S _{6max} [µg/m ³]	PM10 24h Wielkość przekroczenia [µg/m ³]	PM10 24h Liczba przekroczeń	PM10 S _a [µg/m ³]	PM10 S _a Wielkość przekroczenia [µg/m ³]
1.	Płock, ul. Królowej Jadwigi 4	MzPlockKroJad	55	5	51	31	Brak przekroczenia
2.	Płock, ul. Reja 28	MzPlockMiReja	53	3	42	30	Brak przekroczenia

1.3.2. Poziomy stężenie pyłu zawieszonego PM10 w strefie miasto Płock w latach 2013– 2017

W 2013 roku na żadnym z dwóch stacji pomiarowych w strefie miasto Płock nie wystąpiło przekroczenie poziomu dopuszczalnego stężenia średniodobowego pyłu zawieszonego PM10. Natomiast w kolejnych latach (2014-2017) na stacji na ul. Reja występowały przekroczenia poziomu dopuszczalnego pyłu PM10 24h, najwyższe stężenie odnotowano w 2015 roku - 57,4 µg/m³. Na stacji na ul. Królowej Jadwigi w okresie 2013–2017 zanotowano przekroczenie średniodobowego poziomu dopuszczalnego tego zanieczyszczenia tylko w 2014 i 2015 roku. W omawianym okresie na stacjach pomiarowych w strefie miasto Płock nie zanotowano przekroczenia poziomu dopuszczalnego stężenia średniorocznego pyłu zawieszonego PM10.

Tabela 72 Poziomy stężenie pyłu zawieszonego PM10 w strefie miasto Płock w 2013 roku

Lp.	Nazwa stacji	Kod krajowy stacji	PM10 24h S _{6max} [µg/m ³]	PM10 24h Wielkość przekroczenia [µg/m ³]	PM10 24h Liczba przekroczeń	PM10 S _a [µg/m ³]	PM10 S _a Wielkość przekroczenia [µg/m ³]
1.	Płock, ul. Reja 28	MzPlockReja	48,1	Brak przekroczenia	30	28,5	Brak przekroczenia
2.	Płock, ul. Królowej Jadwigi 4	MzPlockPKN	50,0	Brak przekroczenia	35	27,4	Brak przekroczenia

Tabela 73 Poziomy stężenie pyłu zawieszonego PM10 w strefie miasto Płock w 2014 roku

Lp.	Nazwa stacji	Kod krajowy stacji	PM10 24h S _{6max} [µg/m ³]	PM10 24h Wielkość przekroczenia [µg/m ³]	PM10 24h Liczba przekroczeń	PM10 S _a [µg/m ³]	PM10 S _a Wielkość przekroczenia [µg/m ³]
1.	Płock, ul. Reja 28	MzPlockReja	54,0	4,0	43	30,4	Brak przekroczenia
2.	Płock, ul. Królowej Jadwigi 4	MzPlockPKN	52,6	2,6	44	31,9	Brak przekroczenia

Tabela 74 Poziomy stężenie pyłu zawieszonego PM10 w strefie miasto Płock w 2015 roku

Lp.	Nazwa stacji	Kod krajowy stacji	PM10 24h S _{36max} [µg/m ³]	PM10 24h Wielkość przekroczenia [µg/m ³]	Liczba przekroczeń PM10 24h	PM10 S _a [µg/m ³]	PM10 S _a Wielkość przekroczenia [µg/m ³]
1.	Płock, ul. Reja 28	MzPlockReja	57,4	7,4	54	32,0	Brak przekroczenia
2.	Płock, ul. Królowej Jadwigi 4	MzPlockPKN	52,4	2,4	38	28,9	Brak przekroczenia

Tabela 75 Poziomy stężenie pyłu zawieszonego PM10 w strefie miasto Płock w 2016 roku

Lp.	Nazwa stacji	Kod krajowy stacji	PM10 24h S _{36max} [µg/m ³]	PM10 24h Wielkość przekroczenia [µg/m ³]	Liczba przekroczeń PM10 24h	PM10 S _a [µg/m ³]	PM10 S _a Wielkość przekroczenia [µg/m ³]
1.	Płock, ul. Reja 28	MzPlocMiReja	50,8	0,8	38	30,1	Brak przekroczenia
2.	Płock, ul. Królowej Jadwigi 4	MzPlockKroJad	44,8	Brak przekroczenia	22	27,4	Brak przekroczenia

Tabela 76 Poziomy stężenie pyłu zawieszonego PM10 w strefie miasto Płock w 2017 roku

Lp.	Nazwa stacji	Kod krajowy stacji	PM10 24h S _{36max} [µg/m ³]	PM10 24h Wielkość przekroczenia [µg/m ³]	Liczba przekroczeń PM10 24h	PM10 S _a [µg/m ³]	PM10 S _a Wielkość przekroczenia [µg/m ³]
1.	Płock, ul. Reja 28	MzPlockReja	50,8	0,8	36	31,5	Brak przekroczenia
2.	Płock, ul. Królowej Jadwigi 4	MzPlockPKN	47,4	Brak przekroczenia	26	28,9	Brak przekroczenia

1.3.3. Poziomy stężenie pyłu zawieszonego PM10 w strefie miasto Płock w latach 2019– 2022

W latach 2019-2020 na żadnym z dwóch stacji pomiarowych w strefie miasto Płock nie wystąpiło przekroczenie poziomu dopuszczalnego stężenia średniodobowego pyłu zawieszonego PM10. W omawianym okresie na stacjach pomiarowych nie zanotowano również przekroczenia poziomu dopuszczalnego stężenia średniorocznego pyłu PM10.

Tabela 77 Poziomy stężenie pyłu zawieszonego PM10 w strefie miasto Płock w 2019 roku

Lp.	Nazwa stacji	Kod krajowy stacji	PM10 24h S _{36max} [µg/m ³]	PM10 24h Wielkość przekroczenia [µg/m ³]	Liczba przekroczeń PM10 24h	PM10 S _a [µg/m ³]	PM10 S _a Wielkość przekroczenia [µg/m ³]
1.	Płock- Reja	MzPlocMiReja	42	Brak przekroczenia	14	25	Brak przekroczenia
2.	Płock- Gimnazjum	MzPlockKroJad	41	Brak przekroczenia	13	22	Brak przekroczenia

Tabela 78 Poziomy stężenie pyłu zawieszonego PM10 w strefie miasto Płock w 2020 roku

Lp.	Nazwa stacji	Kod krajowy stacji	PM10 24h S _{36max} [µg/m ³]	PM10 24h Wielkość przekroczenia [µg/m ³]	PM10 24h Liczba przekroczeń	PM10 S _a [µg/m ³]	PM10 S _a Wielkość przekroczenia [µg/m ³]
1.	Płock- Reja	MzPlocMiReja	37	Brak przekroczenia	5	23	Brak przekroczenia
2.	Płock- Gimnazjum	MzPlocKroJad	34	Brak przekroczenia	4	19	Brak przekroczenia

W 2021 roku w strefie miasto Płock średniodobowy poziom dopuszczalny pyłu zawieszonego PM10 nie został przekroczony na żadnej z dwóch stacji prowadzących pomiary tego zanieczyszczenia. Również na żadnej stacji nie zanotowano przekroczenia średniorocznego poziomu dopuszczalnego pyłu PM10.

Tabela 79 Poziomy stężenie pyłu zawieszonego PM10 w strefie miasto Płock w 2021 roku

Lp.	Nazwa stacji	Kod krajowy stacji	PM10 24h S _{36max} [µg/m ³]	PM10 24h Wielkość przekroczenia [µg/m ³]	PM10 24h Liczba przekroczeń	PM10 S _a [µg/m ³]	PM10 S _a Wielkość przekroczenia [µg/m ³]
1.	Płock, ul. Królowej Jadwigi	MzPlocKroJad	44	Brak przekroczenia	19	23	Brak przekroczenia
2.	Płock, ul. Reja	MzPlocMiReja	39	Brak przekroczenia	19	23	Brak przekroczenia

W 2022 roku, podobnie jak w 2021 roku, w strefie miasto Płock średniodobowy poziom dopuszczalny pyłu zawieszonego PM10 nie został przekroczony na żadnej z dwóch stacji prowadzących pomiary tego zanieczyszczenia. Również na żadnej stacji nie zanotowano przekroczenia średniorocznego poziomu dopuszczalnego pyłu zawieszonego PM10.

Tabela 80 Poziomy stężenie pyłu zawieszonego PM10 w strefie miasto Płock w 2022 roku

Lp.	Nazwa stacji	Kod krajowy stacji	PM10 24h S _{36max} [µg/m ³]	PM10 24h Wielkość przekroczenia [µg/m ³]	PM10 24h Liczba przekroczeń	PM10 S _a [µg/m ³]	PM10 S _a Wielkość przekroczenia [µg/m ³]
1.	Płock, ul. Królowej Jadwigi	MzPlocKroJad	39	Brak przekroczenia	12	22	Brak przekroczenia
2.	Płock, ul. Reja	MzPlocMiReja	39	Brak przekroczenia	17	22	Brak przekroczenia

1.3.4. Poziomy stężenie pyłu zawieszonego PM2,5 w strefie miasto Płock w 2018 roku

Na żadnej z dwóch stacji pomiarowych w strefie miasto Płock nie odnotowano w 2018 roku przekroczenia średniorocznego poziomu dopuszczalnego pyłu zawieszonego PM2,5.

Tabela 81 Poziomy stężenie pyłu zawieszonego PM_{2,5} w strefie miasto Płock w 2018 roku

Lp	Nazwa stacji	Kod krajowy stacji	PM _{2,5} S _a [µg/m ³]	PM _{2,5} S _a Wielkość przekroczenia [µg/m ³]	PM _{2,5} S _a Wielkość przekroczenia dla fazy II [µg/m ³]
1.	Płock, ul. Królowej Jadwigi 4	MzPlockKroJad	24	Brak przekroczenia	4
2.	Płock, ul. Reja 28	MzPlockMiReja	20	Brak przekroczenia	Brak przekroczenia

1.3.5. Poziomy stężenie pyłu zawieszonego PM_{2,5} w strefie miasto Płock w latach 2013–2017

W latach 2013–2017 na stanowiskach pomiarowych w strefie miasto Płock nie zanotowano przekroczenia poziomu dopuszczalnego stężenia średniorocznego pyłu zawieszonego PM_{2,5}.

Tabela 82 Poziomy stężenie pyłu zawieszonego PM_{2,5} w strefie miasto Płock w 2013 roku

Lp	Nazwa stacji	Kod krajowy stacji	PM _{2,5} S _a [µg/m ³]	PM _{2,5} S _a Wielkość przekroczenia [µg/m ³]
1.	Płock, ul. Reja 28	MzPlockReja	21,5	Brak przekroczenia
2.	Płock, ul. Królowej Jadwigi 4	MzPlockPKN	22,1	Brak przekroczenia

Tabela 83 Poziomy stężenie pyłu zawieszonego PM_{2,5} w strefie miasto Płock w 2014 roku

Lp	Nazwa stacji	Kod krajowy stacji	PM _{2,5} S _a [µg/m ³]	PM _{2,5} S _a Wielkość przekroczenia [µg/m ³]
1.	Płock, ul. Reja 28	MzPlockReja	24,3	Brak przekroczenia
2.	Płock, ul. Królowej Jadwigi 4	MzPlockPKN	24,0	Brak przekroczenia

Tabela 84 Poziomy stężenie pyłu zawieszonego PM_{2,5} w strefie miasto Płock w 2015 roku

Lp	Nazwa stacji	Kod krajowy stacji	PM _{2,5} S _a [µg/m ³]	PM _{2,5} S _a Wielkość przekroczenia [µg/m ³]
1.	Płock, ul. Reja 28	MzPlockReja	21,5	Brak przekroczenia
2.	Płock, ul. Królowej Jadwigi 4	MzPlockPKN	21,4	Brak przekroczenia

Tabela 85 Poziomy stężenie pyłu zawieszonego PM_{2,5} w strefie miasto Płock w 2016 roku

Lp	Nazwa stacji	Kod krajowy stacji	PM _{2,5} rok S _a [µg/m ³]	PM _{2,5} S _a Wielkość przekroczenia [µg/m ³]
1.	Płock, ul. Reja 28	MzPlockMiReja	20,4	Brak przekroczenia
2.	Płock, ul. Królowej Jadwigi 4	MzPlockKroJad	21,9	Brak przekroczenia

Tabela 86 Poziomy stężenie pyłu zawieszonego PM_{2,5} w strefie miasto Płock w 2017 roku

Lp	Nazwa stacji	Kod krajowy stacji	PM _{2,5} S _a [µg/m ³]	PM _{2,5} S _a Wielkość przekroczenia [µg/m ³]
1.	Płock, ul. Reja 28	MzPlockReja	21,9	Brak przekroczenia
2.	Płock, ul. Królowej Jadwigi 4	MzPlockPKN	21,4	Brak przekroczenia

1.3.6. Poziomy stężenie pyłu zawieszonego PM_{2,5} w strefie miasto Płock w latach 2019–2022

W latach 2019–2020 na stanowiskach pomiarowych w strefie miasto Płock nie zanotowano przekroczenia poziomu dopuszczalnego stężenia średniorocznego pyłu zawieszonego PM_{2,5}. Średnioroczny poziom dopuszczalny pyłu PM_{2,5} dla fazy II również nie został przekroczony.

Tabela 87 Poziomy stężenie pyłu zawieszonego PM_{2,5} w strefie miasto Płock w 2019 roku

Lp.	Nazwa stacji	Kod krajowy stacji	PM _{2,5} S _a [µg/m ³]	PM _{2,5} S _a Wielkość przekroczenia [µg/m ³]	PM _{2,5} S _a Wielkość przekroczenia dla fazy II [µg/m ³]
1.	Płock- Reja	MzPlocMiReja	18	Brak przekroczenia	Brak przekroczenia
2.	Płock- Gimnazjum	MzPlocKroJad	18	Brak przekroczenia	Brak przekroczenia

Tabela 88 Poziomy stężenie pyłu zawieszonego PM_{2,5} w strefie miasto Płock w 2020 roku

Lp.	Nazwa stacji	Kod krajowy stacji	PM _{2,5} S _a [µg/m ³]	PM _{2,5} S _a Wielkość przekroczenia [µg/m ³]	PM _{2,5} S _a Wielkość przekroczenia dla fazy II [µg/m ³]
1.	Płock- Reja	MzPlocMiReja	15	Brak przekroczenia	Brak przekroczenia
2.	Płock- Gimnazjum	MzPlocKroJad	15	Brak przekroczenia	Brak przekroczenia

W 2021 roku na żadnej z dwóch stacji mierzących pył zawieszony PM_{2,5} w strefie miasto Płock nie zanotowano przekroczenia średniorocznego poziomu dopuszczalnego tego zanieczyszczenia.

Tabela 89 Poziomy stężenie pyłu zawieszonego PM_{2,5} w strefie miasto Płock w 2021 roku

Lp	Nazwa stacji	Kod krajowy stacji	PM _{2,5} S _a [µg/m ³]	PM _{2,5} S _a Wielkość przekroczenia [µg/m ³]	PM _{2,5} S _a Wielkość przekroczenia dla fazy II [µg/m ³]
1.	Płock, ul. Królowej Jadwigi	MzPlocKroJad	17	Brak przekroczenia	Brak przekroczenia
2.	Płock, ul. Reja	MzPlocMiReja	17	Brak przekroczenia	Brak przekroczenia

W 2022 roku, podobnie jak w 2021 roku, na żadnej z dwóch stacji mierzących pył zawieszony PM_{2,5} w strefie miasto Płock nie zanotowano przekroczenia średniorocznego poziomu dopuszczalnego tego zanieczyszczenia, zarówno dla fazy I, jak i fazy II.

Tabela 90 Poziomy stężenie pyłu zawieszonego PM_{2,5} w strefie miasto Płock w 2022 roku

Lp	Nazwa stacji	Kod krajowy stacji	PM _{2,5} S _a [µg/m ³]	PM _{2,5} S _a Wielkość przekroczenia [µg/m ³]	PM _{2,5} S _a Wielkość przekroczenia dla fazy II [µg/m ³]
1.	Płock, ul. Królowej Jadwigi	MzPlocKroJad	16	Brak przekroczenia	Brak przekroczenia
2.	Płock, ul. Reja	MzPlocMiReja	14	Brak przekroczenia	Brak przekroczenia

1.3.7. Poziomy stężenie benzo(a)pirenu w strefie miasto Płock w 2018 roku

W 2018 roku w strefie miasto Płock średnioroczne stężenie benzo(a)pirenu przekroczyło poziom docelowy o 100%.

Tabela 91 Poziomy stężenie benzo(a)pirenu w strefie miasto Płock w 2018 roku

Lp	Nazwa stacji	Kod krajowy stacji	Benzo(a)piren S _a [ng/m ³]	Benzo(a)piren S _a Wielkość przekroczenia [ng/m ³]
1.	Płock, ul. Królowej Jadwigi 4	MzPlocKroJad	2	1

1.3.8. Poziomy stężenie benzo(a)pirenu w strefie miasto Płock w latach 2013–2017

W latach 2013–2017 w strefie miasto Płock stężenia średnioroczne benzo(a)pirenu corocznie przekraczały poziom docelowy. Najwyższą wartość tego zanieczyszczenia odnotowano w 2014 roku (3,2 ng/m³), natomiast w latach 2015-2017 utrzymywała się na poziomie poniżej 2 ng/m³.

Tabela 92 Poziomy stężenie benzo(a)pirenu w strefie miasto Płock w 2013 roku

Lp	Nazwa stacji	Kod krajowy stacji	Benzo(a)piren S _a [ng/m ³]	Benzo(a)piren S _a Wielkość przekroczenia [ng/m ³]
1.	Płock, ul. Królowej Jadwigi 4	MzPlockPKN	3,1	2,1

Tabela 93 Poziomy stężenie benzo(a)pirenu w strefie miasto Płock w 2014 roku

Lp	Nazwa stacji	Kod krajowy stacji	Benzo(a)piren S _a [ng/m ³]	Benzo(a)piren S _a Wielkość przekroczenia [ng/m ³]
1.	Płock, ul. Królowej Jadwigi 4	MzPlockPKN	3,2	2,2

Tabela 94 Poziomy stężenie benzo(a)pirenu w strefie miasto Płock w 2015 roku

Lp	Nazwa stacji	Kod krajowy stacji	Benzo(a)piren S _a [ng/m ³]	Benzo(a)piren S _a Wielkość przekroczenia [ng/m ³]
1.	Płock, ul. Królowej Jadwigi 4	MzPlockPKN	1,8	0,8

Tabela 95 Poziomy stężenie benzo(a)pirenu w strefie miasto Płock w 2016 roku

Lp	Nazwa stacji	Kod krajowy stacji	Benzo(a)piren S _a [ng/m ³]	Benzo(a)piren S _a Wielkość przekroczenia [ng/m ³]
1.	Płock, ul. Królowej Jadwigi 4	MzPlockKroJad	1,6	0,6

Tabela 96 Poziomy stężenie benzo(a)pirenu w strefie miasto Płock w 2017 roku

Lp	Nazwa stacji	Kod krajowy stacji	Benzo(a)piren S _a [ng/m ³]	Benzo(a)piren S _a Wielkość przekroczenia [ng/m ³]
1.	Płock, ul. Królowej Jadwigi 4	MzPlockPKN	1,9	0,9

1.3.9. Poziomy stężenie benzo(a)pirenu w strefie miasto Płock w latach 2019–2022

W latach 2019–2020 w strefie miasto Płock stężenia średnioroczne benzo(a)pirenu nie przekraczały poziomu docelowego - utrzymywała się na poziomie nie przekraczającym 1 ng/m³.

Tabela 97 Poziomy stężenie benzo(a)pirenu w strefie miasto Płock w 2019 roku

Lp	Nazwa stacji	Kod krajowy stacji	Benzo(a)piren S _a [ng/m ³]	Benzo(a)piren S _a Wielkość przekroczenia [ng/m ³]
1.	Płock- Gimnazjum	MzPlockKroJad	1	Brak przekroczenia

Tabela 98 Poziomy stężenie benzo(a)pirenu w strefie miasto Płock w 2020 roku

Lp	Nazwa stacji	Kod krajowy stacji	Benzo(a)piren S _a [ng/m ³]	Benzo(a)piren S _a Wielkość przekroczenia [ng/m ³]
1.	Płock- Gimnazjum	MzPlockKroJad	1	Brak przekroczenia

W 2021 roku nie notowano przekroczenia średniorocznego poziomu docelowego benzo(a)pirenu w strefie miasto Płock.

Tabela 99 Poziomy stężenie benzo(a)pirenu w strefie miasto Płock w 2021 roku

Lp	Nazwa stacji	Kod krajowy stacji	Benzo(a)piren S _a [ng/m ³]	Benzo(a)piren S _a Wielkość przekroczenia [ng/m ³]
1.	Płock, ul. Królowej Jadwigi	MzPlockKroJad	1	Brak przekroczenia

W 2022 roku, podobnie jak w 2021 roku, nie notowano przekroczenia średniorocznego poziomu docelowego benzo(a)pirenu w strefie miasto Płock.

Tabela 100 Poziomy stężen benzo(a)pirenu w strefie miasto Płock w 2022 roku

Lp.	Nazwa stacji	Kod krajowy stacji	Benzo(a)piren S _a [ng/m ³]	Benzo(a)piren S _a Wielkość przekroczenia [ng/m ³]
1.	Płock, ul. Królowej Jadwigi	MzPlocKroJad	1	Brak przekroczenia

1.4. Strefa miasto Radom

1.4.1. Poziomy stężen pyłu zawieszonego PM10 w strefie miasto Radom w 2018 roku

W 2018 roku na obydwu stacjach mierzących pył zawieszony PM10 w strefie miasto Radom wystąpiło przekroczenie średniodobowego poziomu dopuszczalnego tego zanieczyszczenia. Wyższą wartość 72 µg/m³ oraz większą liczbę przekroczeń – 78 zanotowano na stacji na ul. Tochtermana. W 2018 roku w strefie miasto Radom nie wystąpiło przekroczenie średniorocznego poziomu dopuszczalnego pyłu zawieszonego PM10.

Tabela 101 Poziomy stężen pyłu zawieszonego PM10 w strefie miasto Radom w 2018 roku

Lp.	Nazwa stacji	Kod krajowy stacji	PM10 24h S _{36max} [µg/m ³]	PM10 24h Wielkość przekroczenia [µg/m ³]	PM10 24h Liczba przekroczeń	PM10 S _a [µg/m ³]	PM10 S _a Wielkość przekroczenia [µg/m ³]
1.	Radom, ul. Tochtermana 1	MzRadTochter	72	22	78	38	Brak przekroczenia
2.	Radom, ul. 25 Czerwca 1976 70	MzRad25Czerw	65	15	60	35	Brak przekroczenia

1.4.2. Poziomy stężen pyłu zawieszonego PM10 w strefie miasto Radom w latach 2013– 2017

W latach 2013–2017, w strefie miasto Radom najwyższe średniodobowe stężenie pyłu zawieszonego PM10 (68,5 µg/m³) zanotowano w 2015 roku na stacji pomiarowej na ul. 25 Czerwca. Ponadto we wszystkich omawianych latach na stacji na ul. Tochtermana wystąpiło przekroczenie średniodobowego poziomu dopuszczalnego pyłu zawieszonego PM10. Na stacji pomiarowej na ul. 25 Czerwca tylko w 2016 roku nie zanotowano przekroczenia średniodobowego poziomu dopuszczalnego tego zanieczyszczenia. W latach 2013–2017, w strefie miasto Radom średnioroczny poziom dopuszczalny pyłu PM10 nie był przekraczany. Najwyższe stężenie średnioroczne pyłu zawieszonego PM10 zmierzono na stacji na ul. 25 Czerwca (39,4 µg/m³), w 2015 roku.

Tabela 102 Poziomy stężen pyłu zawieszonego PM10 w strefie miasto Radom w 2013 roku

Lp.	Nazwa stacji	Kod krajowy stacji	PM10 24h S _{36max} [µg/m ³]	PM10 24h S _{36max} Wielkość przekroczenia [µg/m ³]	PM10 24h Liczba przekroczeń	PM10 S _a [µg/m ³]	PM10 S _a Wielkość przekroczenia [µg/m ³]
1.	Radom, ul. Tochtermana 1	MzRadomTochter	64,7	14,7	67	37,4	Brak przekroczenia
2.	Radom, ul. 25 Czerwca 1976 70	MzRadomCzerwca	56,2	6,2	47	33,5	Brak przekroczenia

Tabela 103 Poziomy stężenie pyłu zawieszonego PM10 w strefie miasto Radom w 2014 roku

Lp.	Nazwa stacji	Kod krajowy stacji	PM10 24h S _{36max} [µg/m ³]	PM10 24h S _{36max} Wielkość przekroczenia [µg/m ³]	PM10 24h Liczba przekroczeń	PM10 S _a [µg/m ³]	PM10 S _a Wielkość przekroczenia [µg/m ³]
1.	Radom, ul. Tochtermana 1	MzRadomTochter	63,1	13,1	74	36,1	Brak przekroczenia
2.	Radom, ul. 25 Czerwca 1976 70	MzRadomCzerwca	62,0	12,0	65	35,1	Brak przekroczenia

Tabela 104 Poziomy stężenie pyłu zawieszonego PM10 w strefie miasto Radom w 2015 roku

Lp.	Nazwa stacji	Kod krajowy stacji	PM10 24h S _{36max} [µg/m ³]	PM10 24h S _{36max} Wielkość przekroczenia [µg/m ³]	PM10 24h Liczba przekroczeń	PM10 S _a [µg/m ³]	PM10 S _a Wielkość przekroczenia [µg/m ³]
1.	Radom, ul. Tochtermana 1	MzRadTochter	59,5	9,5	49	33,0	Brak przekroczenia
2.	Radom, ul. 25 Czerwca 1976 70	MzRad25Czerw	68,5	18,5	83	39,4	Brak przekroczenia

Tabela 105 Poziomy stężenie pyłu zawieszonego PM10 w strefie miasto Radom w 2016 roku

Lp.	Nazwa stacji	Kod krajowy stacji	PM10 24h S _{36max} [µg/m ³]	PM10 24h S _{36max} Wielkość przekroczenia [µg/m ³]	PM10 24h Liczba przekroczeń	PM10 S _a [µg/m ³]	PM10 S _a Wielkość przekroczenia [µg/m ³]
1.	Radom, ul. Tochtermana 1	MzRadTochter	59,0	9,0	52	34,5	Brak przekroczenia
2.	Radom, ul. 25 Czerwca 1976 70	MzRad25Czerw	49,4	Brak przekroczenia	33	30,6	Brak przekroczenia

Tabela 106 Poziomy stężenie pyłu zawieszonego PM10 w strefie miasto Radom w 2017 roku

Lp.	Nazwa stacji	Kod krajowy stacji	PM10 24h S _{36max} [µg/m ³]	PM10 24h S _{36max} Wielkość przekroczenia [µg/m ³]	PM10 24h Liczba przekroczeń	PM10 S _a [µg/m ³]	PM10 S _a Wielkość przekroczenia [µg/m ³]
1.	Radom, ul. Tochtermana 1	MzRadTochter	55,4	5,4	47	32,4	Brak przekroczenia
2.	Radom, ul. 25 Czerwca 1976 70	MzRad25Czerw	58,4	8,4	46	32,9	Brak przekroczenia

1.4.3. Poziomy stężenie pyłu zawieszonego PM10 w strefie miasto Radom w latach 2019– 2022

W latach 2019–2020, w strefie miasto Radom nie notowano przekroczeń średniodobowego poziomu dopuszczalnego pyłu zawieszonego PM10. W analizowanym okresie średnioroczny poziom dopuszczalny pyłu PM10 również nie był przekraczany.

Najwyższe stężenie średnioroczne pyłu zawieszonego PM10 zmierzono na stacji na ul. Tochtermana ($27,6 \mu\text{g}/\text{m}^3$), w 2019 roku.

Tabela 107 Poziomy stężen pyłu zawieszonego PM10 w strefie miasto Radom w 2019 roku

Lp.	Nazwa stacji	Kod krajowy stacji	PM10 24h $S_{96\text{max}}$ [$\mu\text{g}/\text{m}^3$]	PM10 24h $S_{96\text{max}}$ Wielkość przekroczenia [$\mu\text{g}/\text{m}^3$]	PM10 24h Liczba	PM10 S_a [$\mu\text{g}/\text{m}^3$]	PM10 S_a Wielkość przekroczenia [$\mu\text{g}/\text{m}^3$]
1.	Radom- Tochtermana	MzRadTochter	49	Brak przekroczenia	32	28	Brak przekroczenia
2.	Radom- Czerwca	MzRad25Czerw	49	Brak przekroczenia	33	27	Brak przekroczenia

Tabela 108 Poziomy stężen pyłu zawieszonego PM10 w strefie miasto Radom w 2020 roku

Lp.	Nazwa stacji	Kod krajowy stacji	PM10 24h $S_{96\text{max}}$ [$\mu\text{g}/\text{m}^3$]	PM10 24h $S_{96\text{max}}$ Wielkość przekroczenia [$\mu\text{g}/\text{m}^3$]	PM10 24h Liczba przekroczeń	PM10 S_a [$\mu\text{g}/\text{m}^3$]	PM10 S_a Wielkość przekroczenia [$\mu\text{g}/\text{m}^3$]
1.	Radom- Tochtermana	MzRadTochter	44	Brak przekroczenia	23	27	Brak przekroczenia
2.	Radom- Czerwca	MzRad25Czerw	43	Brak przekroczenia	16	26	Brak przekroczenia

W 2021 roku na żadnej ze stacji pomiarowych pyłu zawieszonego PM10 nie wystąpiło przekroczenie średniodobowego poziomu dopuszczalnego tego zanieczyszczenia. W strefie miasto Radom nie odnotowano również przekroczenia średnioroczного poziomu dopuszczalnego pyłu zawieszonego PM10.

Tabela 109 Poziomy stężen pyłu zawieszonego PM10 w strefie miasto Radom w 2021 roku

Lp.	Nazwa stacji	Kod krajowy stacji	PM10 24h [$\mu\text{g}/\text{m}^3$]	PM10 24h Wielkość przekroczenia [$\mu\text{g}/\text{m}^3$]	PM10 24h Liczba przekroczeń	PM10 S_a [$\mu\text{g}/\text{m}^3$]	PM10 S_a Wielkość przekroczenia [$\mu\text{g}/\text{m}^3$]
1.	Radom, ul. Tochtermana	MzRadTochter	47	Brak przekroczenia	29	29	Brak przekroczenia
2.	Radom, ul. 25 Czerwca	MzRad25Czerw	49	Brak przekroczenia	33	29	Brak przekroczenia

W 2022 roku na żadnej ze stacji pomiarowych pyłu zawieszonego PM10 w strefie miasto Radom nie wystąpiło przekroczenie średniodobowego poziomu dopuszczalnego tego zanieczyszczenia. Nie odnotowano również przekroczenia średnioroczного poziomu dopuszczalnego pyłu zawieszonego PM10.

Tabela 110 Poziomy stężen pyłu zawieszonego PM10 w strefie miasto Radom w 2022 roku

Lp.	Nazwa stacji	Kod krajowy stacji	PM10 [µg/m ³]	PM10 24h Wielkość przekroczenia [µg/m ³]	PM10 24h Liczba przekroczeń	PM10 S _a [µg/m ³]	PM10 S _a Wielkość przekroczenia [µg/m ³]
1.	Radom, ul. Tochtermana	MzRadTochter	44	Brak przekroczenia	24	26	Brak przekroczenia
2.	Radom, ul. 25 Czerwca	MzRad25Czerw	46	Brak przekroczenia	26	26	Brak przekroczenia

1.4.4. Poziomy stężen pyłu zawieszonego PM_{2,5} w strefie miasto Radom w 2018 roku

W 2018 roku w strefie miasto Radom zarówno na stacji pomiarowej na ul. Tochtermana jak i na ul. Hallera średnioroczne stężenie pyłu zawieszonego PM_{2,5} wyniosło 25 µg/m³ nie przekraczając poziomu dopuszczalnego. Jednak o 5 µg/m³ na obydwu stacjach został przekroczony poziom dopuszczalny tego zanieczyszczenia dla fazy II.

Tabela 111 Poziomy stężen pyłu zawieszonego PM_{2,5} w strefie miasto Radom w 2018 roku

Lp	Nazwa stacji	Kod krajowy stacji	PM _{2,5} S _a [µg/m ³]	PM _{2,5} S _a Wielkość przekroczenia [µg/m ³]	PM _{2,5} S _a Wielkość przekroczenia dla fazy II [µg/m ³]
1.	Radom, ul. Tochtermana 1	MzRadTochter	25	Brak przekroczenia	5
2.	Radom, ul. Hallera	MzRadHallera	25	Brak przekroczenia	5

1.4.5. Poziomy stężen pyłu zawieszonego PM_{2,5} w strefie miasto Radom w latach 2013–2017

W okresie 2013–2017 w strefie miasto Radom przekroczenie średniorocznego poziomu dopuszczalnego pyłu zawieszonego PM_{2,5} wystąpiło w latach 2014 – 2017 na stacji na ul. Tochtermana (pomiar rozpoczęto w 2014 roku), najwyższą wartością zanotowano w 2014 roku – 29,5 µg/m³. Na stacji na ul. Hallera, w omawianym okresie nie wystąpiło przekroczenie poziomu dopuszczalnego tego zanieczyszczenia.

Tabela 112 Poziomy stężen pyłu zawieszonego PM_{2,5} w strefie miasto Radom w 2013 roku

Lp	Nazwa stacji	Kod krajowy stacji	PM _{2,5} S _a [µg/m ³]	PM _{2,5} S _a Wielkość przekroczenia [µg/m ³]
1.	Radom, ul. Hallera	MzRadomHallera	24,3	Brak przekroczenia

Tabela 113 Poziomy stężen pyłu zawieszonego PM_{2,5} w strefie miasto Radom w 2014 roku

Lp	Nazwa stacji	Kod krajowy stacji	PM _{2,5} S _a [µg/m ³]	PM _{2,5} S _a Wielkość przekroczenia [µg/m ³]
1.	Radom, ul. Tochtermana 1	MzRadomTochter	29,5	4,5
2.	Radom, ul. Hallera	MzRadomHallera	24,5	Brak przekroczenia

Tabela 114 Poziomy stężen pyłu zawieszonego PM_{2,5} w strefie miasto Radom w 2015 roku

Lp	Nazwa stacji	Kod krajowy stacji	PM _{2,5} S _a [µg/m ³]	PM _{2,5} S _a Wielkość przekroczenia [µg/m ³]
1.	Radom, ul. Tochtermana 1	MzRadTochter	28,1	3,1
2.	Radom, ul. Hallera	MzRadHallera	25,0	Brak przekroczenia

Tabela 115 Poziomy stężen pyłu zawieszonego PM_{2,5} w strefie miasto Radom w 2016 roku

Lp	Nazwa stacji	Kod krajowy stacji	PM _{2,5} S _a [µg/m ³]	PM _{2,5} S _a Wielkość przekroczenia [µg/m ³]
1.	Radom, ul. Tochtermana 1	MzRadTochter	25,6	0,6
2.	Radom, ul. Hallera	MzRadHallera	23,1	Brak przekroczenia

Tabela 116 Poziomy stężenie pyłu zawieszonego PM_{2,5} w strefie miasto Radom w 2017 roku

Lp.	Nazwa stacji	Kod krajowy stacji	PM _{2,5} S _a [µg/m ³]	PM _{2,5} S _a Wielkość przekroczenia [µg/m ³]
1.	Radom, ul. Tochtermana 1	MzRadTochter	26,8	1,8
2.	Radom, ul. Hallera	MzRadHallera	24,5	Brak przekroczenia

1.4.6. Poziomy stężenie pyłu zawieszonego PM_{2,5} w strefie miasto Radom w latach 2019–2022.

W okresie 2019–2020 w strefie miasto Radom przekroczenie średniorocznego poziomu dopuszczalnego pyłu zawieszonego PM_{2,5} nie wystąpiło. W omawianym okresie odnotowano natomiast przekroczenie poziomu dopuszczalnego tego zanieczyszczenia dla fazy II na stacji przy ul. Tochtermana w 2019 roku.

Tabela 117 Poziomy stężenie pyłu zawieszonego PM_{2,5} w strefie miasto Radom w 2019 roku

Lp.	Nazwa stacji	Kod krajowy stacji	PM _{2,5} S _a [µg/m ³]	PM _{2,5} S _a Wielkość przekroczenia [µg/m ³]	PM _{2,5} S _a Wielkość przekroczenia dla fazy II [µg/m ³]
1.	Radom- Tochtermana	MzRadTochter	21	Brak przekroczenia	1
2.	Radom- Hallera	MzRadHallera	20	Brak przekroczenia	Brak przekroczenia

Tabela 118 Poziomy stężenie pyłu zawieszonego PM_{2,5} w strefie miasto Radom w 2020 roku

Lp.	Nazwa stacji	Kod krajowy stacji	PM _{2,5} S _a [µg/m ³]	PM _{2,5} S _a Wielkość przekroczenia [µg/m ³]	PM _{2,5} S _a Wielkość przekroczenia dla fazy II [µg/m ³]
1.	Radom- Tochtermana	MzRadTochter	19	Brak przekroczenia	Brak przekroczenia
2.	Radom- Hallera	MzRadHallera	18	Brak przekroczenia	Brak przekroczenia

W 2021 roku na obu stacjach pomiarowych mierzących pył zawieszony PM_{2,5} w strefie miasto Radom średnioroczny poziom dopuszczalny tego zanieczyszczenia nie został przekroczony. Na stacjach tych odnotowano natomiast niewielkie (o 1 µg/m³) przekroczenie poziomu dopuszczalnego pyłu PM_{2,5} dla fazy II.

Tabela 119 Poziomy stężenie pyłu zawieszonego PM_{2,5} w strefie miasto Radom w 2021 roku

Lp.	Nazwa stacji	Kod krajowy stacji	PM _{2,5} S _a [µg/m ³]	PM _{2,5} S _a Wielkość przekroczenia [µg/m ³]	PM _{2,5} S _a Wielkość przekroczenia dla fazy II [µg/m ³]
1.	Radom, ul. Tochtermana	MzRadTochter	21	Brak przekroczenia	1
2.	Radom, ul. Hallera	MzRadHallera	21	Brak przekroczenia	1

W 2022 roku na żadnej ze stacji pomiarowych pyłu zawieszonego PM_{2,5} w strefie miasto Radom średnioroczny poziom dopuszczalny tego zanieczyszczenia nie został przekroczony. Na stacjach tych nie odnotowano również przekroczenia poziomu dopuszczalnego pyłu PM_{2,5} dla fazy II.

Tabela 120 Poziomy stężenie pyłu zawieszonego PM_{2,5} w strefie miasto Radom w 2022 roku

Lp.	Nazwa stacji	Kod krajowy stacji	PM _{2,5} S _a [µg/m ³]	PM _{2,5} S _a Wielkość przekroczenia [µg/m ³]	PM _{2,5} S _a Wielkość przekroczenia dla fazy II [µg/m ³]
1.	Radom, ul. Tochtermana	MzRadTochter	18	Brak przekroczenia	Brak przekroczenia
2.	Radom, ul. Hallera	MzRadHallera	18	Brak przekroczenia	Brak przekroczenia

1.4.7. Poziomy stężenie benzo(a)pirenu w strefie miasto Radom w 2018 roku

W 2018 roku stężenie średnioroczne benzo(a)pirenu na stacji w Radomiu na ul. 25 Czerwca 1976 przekroczyło poziom docelowy i wyniosło 3 ng/m³.

Tabela 121 Poziomy stężenie benzo(a)pirenu w strefie miasto Radom w 2018 roku

Lp.	Nazwa stacji	Kod krajowy stacji	Benzo(a)piren S _a [ng/m ³]	Benzo(a)piren S _a Wielkość przekroczenia [ng/m ³]
1.	Radom, ul. 25 Czerwca 1976 70	MzRad25Czerw	3,0	2,0

1.4.8. Poziomy stężenie benzo(a)pirenu w strefie miasto Radom w latach 2013–2017

W latach 2013–2017 stężenie benzo(a)pirenu było mierzone w strefie miasto Radom na jednej stacji pomiarowej na ul. 25 Czerwca 1976. Najwyższe przekroczenie poziomu docelowego stężenia średniorocznego benzo(a)pirenu - o 4,1 ng/m³, odnotowano w 2013 roku. W pozostałych latach średnioroczne stężenie B(a)P w Radomiu wynosiło ponad 3 ng/m³ przekraczając poziom docelowy.

Tabela 122 Poziomy stężenie benzo(a)pirenu w strefie miasto Radom w 2013 roku

Lp.	Nazwa stacji	Kod krajowy stacji	Benzo(a)piren S _a [ng/m ³]	Benzo(a)piren S _a Wielkość przekroczenia [ng/m ³]
1.	Radom, ul. 25 Czerwca 1976 70	MzRadomCzerwca	5,1	4,1

Tabela 123 Poziomy stężenie benzo(a)pirenu w strefie miasto Radom w 2014 roku

Lp.	Nazwa stacji	Kod krajowy stacji	Benzo(a)piren S _a [ng/m ³]	Benzo(a)piren S _a Wielkość przekroczenia [ng/m ³]
1.	Radom, ul. 25 Czerwca 1976 70	MzRadomCzerwca	3,9	2,9

Tabela 124 Poziomy stężenie benzo(a)pirenu w strefie miasto Radom w 2015 roku

Lp.	Nazwa stacji	Kod krajowy stacji	Benzo(a)piren S _a [ng/m ³]	Benzo(a)piren S _a Wielkość przekroczenia [ng/m ³]
1.	Radom, ul. 25 Czerwca 1976 70	MzRad25Czerw	3,2	2,2

Tabela 125 Poziomy stężenie benzo(a)pirenu w strefie miasto Radom w 2016 roku

Lp.	Nazwa stacji	Kod krajowy stacji	Benzo(a)piren S _a [ng/m ³]	Benzo(a)piren S _a Wielkość przekroczenia [ng/m ³]
1.	Radom, ul. 25 Czerwca 1976 70	MzRad25Czerw	3,0	2,0

Tabela 126 Poziomy stężenie benzo(a)pirenu w strefie miasto Radom w 2017 roku

Lp.	Nazwa stacji	Kod krajowy stacji	Benzo(a)piren S _a [ng/m ³]	Benzo(a)piren S _a Wielkość przekroczenia [ng/m ³]
1.	Radom, ul. 25 Czerwca 1976 70	MzRad25Czerw	3,4	2,4

1.4.9. Poziomy stężenie benzo(a)pirenu w strefie miasto Radom w latach 2019–2022.

W latach 2019–2020 stężenie benzo(a)pirenu było mierzone w strefie miasto Radom na jednej stacji pomiarowej - na ul. 25 Czerwca. W omawianym okresie odnotowano niewielkie przekroczenie poziomu docelowego stężenia średniorocznego benzo(a)pirenu - o 1 ng/m³, w obu analizowanych latach.

Tabela 127 Poziomy stężenie benzo(a)pirenu w strefie miasto Radom w 2019 roku

Lp	Nazwa stacji	Kod krajowy stacji	Benzo(a)piren S _a [ng/m ³]	Benzo(a)piren S _a Wielkość przekroczenia [ng/m ³]
1.	Radom- Czerwca	MzRad25Czerw	2	1

Tabela 128 Poziomy stężenie benzo(a)pirenu w strefie miasto Radom w 2020 roku

Lp.	Nazwa stacji	Kod krajowy stacji	Benzo(a)piren S _a [ng/m ³]	Benzo(a)piren S _a Wielkość przekroczenia [ng/m ³]
1.	Radom- Czerwca	MzRad25Czerw	2	1

W 2021 roku średnioroczne stężenie benzo(a)pirenu w strefie miasto Radom przekroczyło poziom docelowy o 1 ng/m³.

Tabela 129 Poziomy stężenie benzo(a)pirenu w strefie miasto Radom w 2021 roku

Lp	Nazwa stacji	Kod krajowy stacji	Benzo(a)piren S _a [ng/m ³]	Benzo(a)piren S _a Wielkość przekroczenia [ng/m ³]
1.	Radom, ul. 25 Czerwca	MzRad25Czerw	2,0	1,0

W 2022 roku zanotowano przekroczenie poziomu docelowego benzo(a)pirenu. Wówczas średnioroczne stężenie tego zanieczyszczenia w strefie miasto Radom wyniosło 2 ng/m³.

Tabela 130 Poziomy stężenie benzo(a)pirenu w strefie miasto Radom w 2022 roku

Lp	Nazwa stacji	Kod krajowy stacji	Benzo(a)piren S _a [ng/m ³]	Benzo(a)piren S _a Wielkość przekroczenia [ng/m ³]
1.	Radom, ul. 25 Czerwca	MzRad25Czerw	2,0	1,0

2. Ocena dotrzymania pułapu stężenia ekspozycji

Zgodnie z załącznikiem nr 6 rozporządzeniem Ministra Środowiska z dnia 24 sierpnia 2012 r. w sprawie poziomów niektórych substancji w powietrzu (Dz. U. z 2021 r., poz. 845) dla pyłu zawieszonego PM_{2,5} określono pułap stężenia ekspozycji, czyli poziom wyznaczony na podstawie wartości krajowego wskaźnika średniego narażenia, w celu ograniczenia szkodliwych skutków dla zdrowia ludzi. Pułap stężenia ekspozycji wynosi 20 µg/m³ i powinien zostać osiągnięty do 2015 r.

Zgodnie z obwieszczeniem Ministra Środowiska z dnia 17 września 2019 r. w sprawie wykazu miast o liczbie mieszkańców większej niż 100 tysięcy i aglomeracji, w których wartość wskaźnika średniego narażenia dla miast o liczbie mieszkańców większej niż 100 tysięcy i aglomeracji przekracza wartość pułapu stężenia ekspozycji oraz wykazu miast o liczbie mieszkańców większej niż 100 tysięcy i aglomeracji, w których wartość wskaźnika średniego narażenia dla miast o liczbie mieszkańców większej niż 100 tysięcy i aglomeracji nie przekracza wartości pułapu stężenia ekspozycji, wartość średniego wskaźnika narażenia w 2018 roku wyniosła dla:

- aglomeracji warszawskiej – 21 µg/m³,
- miasta Płock – 22 µg/m³,
- miasta Radom – 24 µg/m³.

Zgodnie z obwieszczeniem Ministra Środowiska z dnia 25 sierpnia 2022 r. w sprawie wykazu miast o liczbie mieszkańców większej niż 100 tysięcy i aglomeracji, w których wartość wskaźnika średniego narażenia dla miast o liczbie mieszkańców większej niż 100 tysięcy i aglomeracji przekracza wartość pułapu stężenia ekspozycji oraz wykazu miast

o liczbie mieszkańców większej niż 100 tysięcy i aglomeracji, w których wartość wskaźnika średniego narażenia dla miast o liczbie mieszkańców większej niż 100 tysięcy i aglomeracji nie przekracza wartości pułapu stężenia ekspozycji, wartość średniego wskaźnika narażenia w 2021 roku wyniosła dla:

- aglomeracji warszawskiej – 16 $\mu\text{g}/\text{m}^3$,
- miasta Płock – 17 $\mu\text{g}/\text{m}^3$,
- miasta Radom – 20 $\mu\text{g}/\text{m}^3$.

W 2018 roku we wszystkich powyższych strefach wartość średniego wskaźnika narażenia była wyższa niż pułap stężenia ekspozycji, tak więc pułap stężenia ekspozycji nie był dotrzymany w strefach województwa mazowieckiego. W 2021 roku natomiast wartość średniego wskaźnika narażenia nie przekroczył pułapu stężenia ekspozycji w żadnej z ww. stref województwa mazowieckiego, tak więc pułap stężenia ekspozycji został dotrzymany.

Dla strefy mazowieckiej nie wyznacza się pułapu stężenia ekspozycji, gdyż jest to poziom substancji w powietrzu wyznaczony na podstawie wartości krajowego wskaźnika średniego narażenia, który z kolei jest wyznaczany w oparciu o wskaźnik średniego narażenia dla miast o liczbie mieszkańców większej niż 100 tysięcy i aglomeracji. Miasta o liczbie mieszkańców większej niż 100 tysięcy i aglomeracje są osobnymi strefami i nie wchodzi w skład strefy mazowieckiej.

3. Ocena dotrzymania krajowego celu redukcji narażenia

Każdy kraj członkowski UE (Unii Europejskiej) w oparciu o krajowy wskaźnik średniego narażenia oraz kryteria określone w dyrektywie Parlamentu Europejskiego i Rady 2008/50/WE z dnia 21 maja 2008 roku w sprawie jakości powietrza i czystsze powietrze dla Europy musi określić krajowy cel redukcji narażenia na pył zawieszony PM_{2,5}.

Krajowy cel redukcji narażenia jest to procentowe zmniejszenie krajowego wskaźnika średniego narażenia dla roku odniesienia, w celu ograniczenia szkodliwego wpływu danej substancji na zdrowie ludzi, który ma być osiągnięty w określonym terminie.

Zgodnie z rozporządzeniem Ministra Środowiska z dnia 14 sierpnia 2012 r. w sprawie krajowego celu redukcji narażenia (Dz.U. 2012, poz. 1030) krajowy cel redukcji narażenia planowany do osiągnięcia w terminie do dnia 1 stycznia 2020 r. dla stężenia pyłu zawieszonego PM_{2,5} w powietrzu wynosi 18 $\mu\text{g}/\text{m}^3$.

Krajowy wskaźnik średniego narażenia na pył PM_{2,5} dla roku 2018 liczony jako średnia z lat 2016-2018 wyniósł 22 $\mu\text{g}/\text{m}^3$, w związku z tym krajowy cel redukcji narażenia nie był dotrzymany.

Krajowy wskaźnik średniego narażenia na pył PM_{2,5} dla roku 2021 liczony jako średnia z lat 2019-2021 wyniósł 17 $\mu\text{g}/\text{m}^3$, co oznacza dotrzymanie krajowego celu redukcji narażenia.

4. Metody stosowane przy ocenie poziomów substancji w powietrzu

Zgodnie z ustawą z dnia 13 czerwca 2019 r. o zmianie ustawy - Prawo ochrony środowiska oraz ustawy o zarządzaniu kryzysowym (Dz. U. poz. 1211, z późn. zm.), podstawą do sporządzenia Programu były wyniki „Rocznej oceny jakości powietrza w województwie mazowieckim – raport wojewódzki za rok 2018”, a Aktualizacji Programu wyniki „Rocznej oceny jakości powietrza w województwie mazowieckim – raport wojewódzki za rok 2021” dokonanych przez Głównego Inspektora Ochrony Środowiska.

Do oceny rocznej jakości powietrza za 2018 i 2021 rok w strefach województwa mazowieckiego²⁹ wykorzystano następujące metody:

- codzienne pomiary manualne prowadzone w stałych punktach (dla pyłu zawieszonego PM10 i PM2,5),
- pomiary manualne prowadzone codziennie w stałych punktach (dla substancji w pyłe PM10: ołowiu (Pb), arsenu (As), kadmu (Cd), niklu (Ni), benzo(a)pirenu (B(a)P) oznaczane w próbach łączonych),
- pomiary wysokiej jakości, automatyczne ciągłe (dla substancji: dwutlenku siarki (SO₂), ditlenku azotu (NO₂), tlenków azotu (NO_x), tlenku węgla (CO), benzenu (C₆H₆), ozonu (O₃), pyłów zawieszonych PM10 i PM2,5),
- obliczenia stężeń substancji przy powierzchni ziemi modelem jakości powietrza GEM-AQ dla: dwutlenku siarki (SO₂), ditlenku azotu (NO₂), ozonu (O₃) wykonane przez Instytut Ochrony Środowiska – Państwowy Instytut Badawczy,
- obiektywne szacowanie – dla benzenu w strefie mazowieckiej, oparte na pomiarze w punkcie pomiarowym w strefie sąsiedniej; obliczenia stężeń substancji modelem matematycznym Calpuff dla pyłów zawieszonych PM10, PM2,5 i benzo(a)pirenu (B(a)P) wykonane przez ATMOTERM S.A. w ramach wspomaganie ocen jakości powietrza z użyciem modelowania dla lat 2015, 2016 i 2017.

Podstawą do przygotowania Programu i jego aktualizacji są również rozporządzenia Ministra Środowiska z dnia 14 czerwca 2019 r. w sprawie programów ochrony powietrza oraz planów działań krótkoterminowych (Dz. U. poz. 1159) oraz rozporządzenia Ministra Klimatu i Środowiska z dnia 15 lutego 2023 r. w sprawie zakresu i sposobu przekazywania informacji dotyczących zanieczyszczenia powietrza (Dz.U. poz. 350). Powyższe rozporządzenia narzucają wymogi odnośnie analiz dotyczących udziałów źródeł emisji w stężeniach substancji w obszarach przekroczeń poziomów dopuszczalnych i docelowych.

Obszary przekroczeń zostały określone w rocznej ocenie jakości powietrza za 2018 rok. Jednakże w celu dokonania diagnozy, tj. wyznaczenia w obszarach przekroczeń poziomów dopuszczalnych określonych dla ditlenku azotu, pyłów zawieszonych PM10 i PM2,5 oraz poziomu docelowego benzo(a)pirenu udziałów szacunkowego poziomu tła regionalnego, przyrostu tła miejskiego oraz przyrostu lokalnego stężeń substancji w powietrzu, niezbędne było wykonanie dodatkowych analiz z uwzględnieniem takiego układu, jaki został określony w ww. rozporządzeniach, tzn. wg następującego podziału:

- 1) tło regionalne: całkowite, w podziale na źródła krajowe, transgraniczne, naturalne oraz inne;
- 2) tło miejskie: całkowite, w podziale na transport drogowy, przemysł oraz produkcję ciepła i energii elektrycznej, usługi, rzemiosło, rolnictwo, sektor handlowy i mieszkaniowy, żeglugę, terenowe maszyny jezdne, źródła naturalne, transgraniczne oraz inne;
- 3) przyrost lokalny stężeń substancji w powietrzu ogółem, w podziale na transport drogowy, przemysł oraz produkcję ciepła i energii elektrycznej, usługi, rzemiosło, rolnictwo, sektor handlowy i mieszkaniowy, żeglugę, terenowe maszyny jezdne, źródła naturalne, transgraniczne oraz inne.

W celu wyznaczenia w obszarach przekroczeń poziomów dopuszczalnych określonych dla ditlenku azotu, pyłów zawieszonych PM10 i PM2,5 oraz poziomu

²⁹ Główny Inspektorat Ochrony Środowiska, Departament Monitoringu Środowiska, Roczna Ocena Jakości Powietrza

w województwie Mazowieckim, Raport Wojewódzki za rok 2018, Warszawa, kwiecień 2019, Główny Inspektorat Ochrony Środowiska, Departament Monitoringu Środowiska, Roczna Ocena Jakości Powietrza w województwie Mazowieckim, Raport Wojewódzki za rok 2021, Warszawa, kwiecień 2022

docelowego benzo(a)pirenu udziałów szacunkowego poziomu tła regionalnego, przyrostu tła miejskiego oraz przyrostu lokalnego stężeń substancji w powietrzu niezbędne było wykonanie szczegółowych analiz. Zastosowana w analizie metodyka opierała się o dodatkowe modelowanie matematyczne wykonane wyłącznie w obszarach z przekroczonymi poziomami normatywnymi. W tym celu w oparciu o dane dostarczone przez Głównego Inspektora Ochrony Środowiska wybrano punkty zlokalizowane w ww. obszarach, w których w ocenie rocznej oszacowano najwyższe stężenia (punkty recepcyjne z modelowania w skali województwa lub punkty pomiarowe). Wybór punktów wynika z rozporządzenia Ministra Środowiska z dnia 14 czerwca 2019 r. w sprawie programów ochrony powietrza oraz planów działań krótkoterminowych. Do modelowania wykorzystano dwa modele – model CAMx do obliczeń w skali krajowej i wojewódzkiej oraz model CALPUFF do obliczeń w skali lokalnej. Podział tła zanieczyszczeń na transgraniczne, krajowe oraz wojewódzkie wyznaczono w oparciu o wyniki obliczeń z modelu fotochemicznego (CAMx) z włączonym modułem PSAT w podziale na źródła wg kategorii SNAP oraz z uwzględnieniem wpływu emisji z poszczególnych województw. Ocena przyrostu tła miejskiego (wpływ zanieczyszczeń pochodzących od źródeł emisji zlokalizowanych poza obszarem przekroczeń, ale w obszarze miejskim) oraz przyrost tła lokalnego stężeń (wpływ źródeł zlokalizowanych w obszarze przekroczeń) wykonano w oparciu o wyniki modelowania modelem CALPUFF dla poszczególnych kategorii źródeł, przy czym dla każdej z substancji uwzględniono wielkość każdego z obszarów.

Wyniki obliczeń z obu przebiegów modelowania zostały ze sobą połączone w sposób statystyczny uwzględniając wyniki modelowania z rocznej oceny jakości powietrza za rok 2017 i 2018 przekazanych przez Głównego Inspektora Ochrony Środowiska. Poziomy stężeń zgodnie z podziałem podanym w §3 ust. 2 e-g rozporządzenia Ministra Środowiska z dnia 14 czerwca 2019 r. w sprawie programów ochrony powietrza oraz planów działań krótkoterminowych zostały określone w każdym obszarze przekroczeń w receptorze z maksymalnym stężeniem danego zanieczyszczenia.

Tę samą metodę zastosowano do wyznaczenia stężeń zanieczyszczeń po realizacji działań naprawczych oraz do określenia poziomów tych stężeń zgodnie z ww. rozporządzeniem. W tym celu przeanalizowano wpływ określonych scenariuszy naprawczych na poszczególne składowe maksymalne stężenia określając konieczny stopień redukcji a następnie zasięg i wielkość działań. Prognozowane stężenia pyłu PM10, PM2,5, NO₂ i B(a)P obliczono modelowo biorąc pod uwagę warunki meteorologiczne z 2018 roku oraz wielkość emisji ww. zanieczyszczeń zredukowaną w wyniku realizacji działań naprawczych. Założono, że uzyskanie w tych receptorach wystarczającego efektu ekologicznego pozwalającego na obniżenie stężeń zanieczyszczeń poniżej odpowiednich poziomów normatywnych, pozwoli na dotrzymanie tego poziomu również na pozostałym obszarze.

Do wyznaczania rocznej wielkości emisji dla poszczególnych źródeł ciepła stosowanych na terenie województwa mazowieckiego do ogrzewania mieszkań, wykorzystano wskaźniki emisji odniesione do powierzchni ogrzewanej.

Tabela 131 Wskaźniki emisji dla powierzchni ogrzewanych poszczególnymi typami kotłów

Typ kotła	PM10 [kg/m ² rok]	PM2,5 [kg/m ² rok]	B(a)P [kg/m ² rok]
Kocioł starego typu opalany węglem kamiennym	0,75	0,5625	0,00028050
Kocioł starego typu opalany węglem brunatnym	0,9058	0,6794	0,00048697
Kocioł klasy 3 i 4 opalany węglem kamiennym	0,3701	0,2776	0,00026803

Typ kotła	PM10 [kg/m ² rok]	PM2,5 [kg/m ² rok]	B(a)P [kg/m ² rok]
Kocioł węglowy klasy 5	0,0374	0,0355	0,00001160
Kocioł starego typu opalany drewnem	0,654	0,62969	0,00016715
Kocioł klasy 3 i 4 opalany drewnem	0,1474	0,1424	0,00002507
Kocioł klasy 5 opalany peletem	0,00364	0,00352	0,00000977
Kocioł gazowy	0,0001684	0,000168	0
Kocioł olejowy	0,01624	0,0162	0,00000005
Kocioł opalany gazem LPG	0,000444	0,000444	0

Źródło: Opracowanie BSiPP „Ekometria” na podstawie: Wskaźniki emisji zanieczyszczeń powietrza ze źródeł spalania paliw w sektorze bytowo-komunalnym, przygotowane na zlecenie Ministra Środowiska przez Krajowy Ośrodek Bilansowania i Zarządzania Emisjami, funkcjonujący w strukturach Instytutu Ochrony Środowiska – Państwowego Instytutu Badawczego (KOBiZE-PIB) oraz dane GUS zakresie gospodarki mieszkaniowej i zużycia paliw 2017 r.

W celu wyznaczenia efektu ekologicznego polegającego na redukcji emisji wykorzystano poniższe wzory.

- a. Określenie rocznej wielkości emisji ze źródła pierwotnie ogrzewającego daną powierzchnię użytkową wg wzoru:

$$E_p = F \cdot W_e,$$

gdzie:

E_p – wielkość emisji przed zmianą [kg/rok],

F – powierzchnia użytkowa, jaka była ogrzewana danym źródłem [m²],

W_e - wskaźnik emisji dla źródła stosowanego w obiekcie przed zmianą wg powyższej tabeli [kg/m²rok].

- b. Określenie rocznej wielkości emisji (E_n) dla nowego źródła zastosowanego w analizowanym obiekcie wg metody opisanej w punkcie a.
- c. Różnica $E_p - E_n$ określająca wielkość uzyskanego efektu ekologicznego.

W przypadku źródeł bezemisyjnych takich jak ogrzewanie z sieci ciepłowniczej, ogrzewanie prądem lub z wykorzystaniem OZE efekt ekologiczny stanowi równowartość określonej emisji ze źródła pierwotnie ogrzewającego daną powierzchnię użytkową.

Modele CALMET i WRF³⁰.

Częścią systemu modelowania CALMET/CALPUFF, odpowiedzialną za przygotowanie pierwotnej informacji o terenie oraz danych meteorologicznych na wejście modelu CALPUFF jest preprocesor CALMET. Informacja niezbędna na wejściu modelu CALMET:

- 1) informacja o terenie (rzeźba i użytkowanie),
- 2) dane meteorologiczne.

Na podstawie powyższych danych wejściowych CALMET tworzy dwu- lub trójwymiarowe pola metrologiczne wybranych parametrów. Pozyskanie danych meteorologicznych wejściowych do modelu jest istotnym problemem. Sieć pomiarowa parametrów meteorologicznych na terenie Polski, w szczególności sondaży aerologicznych, jest dość rzadka i opieranie się wyłącznie na wynikach pomiarów dawałoby zniekształcony obraz pól meteorologicznych, co niewątpliwie nie pozostałoby bez wpływu na wyniki obliczeń dyspersji

³⁰ User's Guide for the Advanced Research WRF (ARW) Modeling System Version 4.0, June 8, 2018, Mesoscale and Microscale Meteorology Laboratory National Center for Atmospheric Research

zanieczyszczeń. W obliczeniach wykorzystano dane meteorologiczne z rutynowo pracującego modelu meteorologicznego - amerykańskiego modelu globalnego WRF. Model WRF - NCAR Weather Research and Forecasting - jest mezoskalowym numerycznym modelem dynamicznym z asymilacją danych - zaprojektowanym do symulacji i prognozowania cyrkulacji atmosferycznej. Jako dane wejściowe stosuje się informację pochodzącą z ogólnodostępnego projektu NCEP/NCAR Reanalysis, które to dane uwzględniają wszelkie informacje pomiarowe z sieci pomiarów naziemnych, aerologicznych i opadowych oraz dane z sondażu i obserwacji satelitarnych.

Model CAMx³¹

Model CAMx jest nowoczesnym eulerowskim, fotochemicznym modelem dyspersji przeznaczonym do kompleksowej („one-atmosphere”) oceny jakości powietrza w zakresie zanieczyszczeń gazowych i pyłu (ozon, PM10, PM2,5, zanieczyszczenia gazowe, gazy trujące, rtęć). Model opracowany został przez firmę ENVIRON International Corporation (USA). Model CAMx wykonuje obliczenia w siatce trójwymiarowej. Jest to model wieloskalowy, od obszarów podmiejskich do kontynentalnych, prowadzący obliczenia w odwzorowaniu geograficznym, UTM lub Lambert Conic Conformal. Przyjmuje dane meteorologiczne z wielu modeli meteorologicznych, takich jak MM5, WRF, RAMS. Model uwzględnia depozycję suchą i mokrą oraz przemiany chemiczne.

Model CALPUFF³²

CALPUFF jest zaawansowanym gaussowskim modelem obłoku. Odznacza się dużą wrażliwością na przestrzenne charakterystyki środowiska oraz zmienność pola meteorologicznego. Posiada wbudowane moduły umożliwiające m.in. uwzględnienie transportu zanieczyszczeń nad obszarami wodnymi oraz wpływu dużych zbiorników wodnych (morza), omywania budynków, suchej i mokrej depozycji, prostych, liniowych przemian chemicznych związków azotu i siarki w obecności ozonu i amoniaku, rozprzestrzeniania się zanieczyszczeń w złożonym terenie oraz uwzględniania warunków brzegowych.

Model CALPUFF przyjmuje informacje o emisji ze źródeł:

- punktowych,
- powierzchniowych,
- objętościowych,
- wypornościowych powierzchniowych i liniowych (np. pożary lasów).

Dla wszystkich typów źródeł użytkownik może zastosować współczynniki zmienności czasowej emisji (miesięczne, dobowe, sezonowe i godzinne, zależne od temperatury, zależne od prędkości wiatru i klasy równowagi atmosfery).

Dla niektórych typów źródeł, model dopuszcza również przygotowanie informacji emisyjnej w postaci szeregów czasowych cogodzinnych.

Model CALPUFF pozwala na przeprowadzanie obliczeń osobno dla każdego rodzaju typu emisji tzn. dla emisji liniowej, powierzchniowej i punktowej lub dla różnych źródeł, a następnie sumowanie wyników z poszczególnych przebiegów. Stężenia substancji obliczane są w regularnej siatce analogicznej do pola meteorologicznego lub w receptorach

31 User's Guide COMPREHENSIVE AIR QUALITY MODEL WITH EXTENSIONS Version 6.50, Ramboll Environment and Health, Novato, California, 2018

32 Scire, J. S., D. G. Strimaitis and R. J. Yamartino, A user's guide for the CALPUFF dispersion model. Eartch Tech, Concord, MA., 2000

zdefiniowanych przez użytkownika. W modelu CALMET/CALPUFF na każdym etapie przetwarzania wykorzystywane są czasowe serie godzinne obliczane dla każdego pola siatki lub danego receptora. Oznacza to, że w każdym polu siatki (receptorze) określone są godzinne szeregi czasowe parametrów meteorologicznych i stężeń zanieczyszczeń. Szeregi te są następnie zapisywane do plików wyjściowych i mogą być wielokrotnie przetwarzane przy użyciu specjalnego postprocesora CALPOST lub wielofunkcyjnego programu przygotowanego w firmie BSiPP „Ekometria”, ułatwiającego wyznaczenie wszystkich niezbędnych charakterystyk.

Zdolność uwzględniania czasowej i przestrzennej zmienności pól meteorologicznych decyduje o zasięgu modelu określanym od kilkudziesięciu metrów do kilkuset kilometrów odległości źródło – receptor.

Podobnie jak w przypadku innych modeli rekomendowanych przez EPA, dokładność modelu jest obwarowana wieloma zastrzeżeniami i jest szacowana na 70-80% dla wartości średniorocznych substancji (błąd oszacowania definiowany, jako maksymalne odchylenie mierzonych i obliczanych poziomów substancji wynosi 20%-30%), czyli spełnia wymagania określone w rozporządzeniu Ministra Środowiska z dnia 8 czerwca 2018 r. w sprawie dokonywania oceny poziomów substancji w powietrzu (Dz. U. poz. 1119). Dokładność modelowania zależy przede wszystkim od jakości dostarczanych danych wejściowych o emisji, meteorologii i szczegółowości informacji o terenie oraz od wdrożenia systemów zapewnienia jakości pomiarów, z których wynikami porównywane są rezultaty obliczeń.

W Programie szacunkową ilość kotłów do wymiany w działaniu WMaOePow - ograniczenie emisji substancji z procesu wytwarzania energii cieplnej dla potrzeb ogrzewania i przygotowania ciepłej wody w lokalach mieszkalnych, handlowych, usługowych oraz użyteczności publicznej w strefach województwa mazowieckiego określono na podstawie:

- Bazy Danych Obiektów Topograficznych województwa mazowieckiego w skali 1:10 000 (BDOT10k) udostępnionej przez Wojewódzki Ośrodek Dokumentacji Geodezyjnej i Kartograficznej w Warszawie, z której uzyskano informacje o budynkach (lokalizacji, typie budynku – wielo- lub jednorodzinny oraz o ilości kondygnacji);
- Danych z Banku Danych Lokalnych GUS w zakresie Gospodarki Mieszkaniowej - liczby budynków mieszkalnych i powierzchni zabudowy mieszkalnej oraz liczby odbiorców gazu i ilości gazu wykorzystywanego w celach grzewczych;
- Danych z Narodowego Spisu Powszechnego Ludności i Mieszkań z 2011 roku (wiek budynków);
- Bazy danych o powierzchniach ogrzewanych poszczególnymi typami paliw oraz emisji powierzchniowej utworzonej na potrzeby modelowania;
- sprawozdań z realizacji działań naprawczych;
- wielkości przekroczeń poziomów dopuszczalnego pyłu PM10, PM2,5 i docelowego B(a)P.

W każdej gminie oszacowano średnią powierzchnię grzewczą przypadającą na kocioł lub piec, a następnie odniesiono ją do powierzchni ogrzewanej węglem lub drewnem w kotłach bezklasowych, szacując w ten sposób liczbę kotłów do wymiany. Przy czym podziału ilości kotłów na poszczególne lata dokonano zakładając, że ze względu na ograniczenia, zakazy i terminy wskazane w mazowieckiej uchwale antysmogowej³³, większość nieekologicznych kotłów zostanie wymieniona do końca 2022 r. Obowiązująca

³³ Uchwała nr 162/17 Sejmiku Województwa Mazowieckiego z dnia 24 października 2017 r. w sprawie wprowadzenia na obszarze województwa mazowieckiego ograniczeń i zakazów w zakresie eksploatacji instalacji, w których następuje spalanie paliw (Dz. Urz. Woj. Mazowieckiego poz. 9600)

w województwie uchwała antysmogowa wprowadza bowiem m.in. zakaz montowania kotłów nie spełniających norm emisyjnych zgodnych z wymogami ekoprojektu od 11 listopada 2017 roku, zakaz używania bezklasowych kotłów na paliwa stałe od 1 stycznia 2023 roku, a także zakaz używania kotłów na paliwa stałe nie spełniających wymogów dla klas 3,4 według normy PN-EN 303-5:2012 od 1 stycznia 2028 roku.

Przekazane przez Ministerstwo Środowiska wskaźniki dla emisji z ogrzewania indywidualnego odnosiły się do zużycia ciepła, a nie do powierzchni ogrzewanych niezbędne było ich przeliczenie przyjmując średnie zużycie paliwa oraz średnią wartość opałową w zależności od zastosowanego paliwa. Przyjęto, że średnie zapotrzebowanie na ciepło budynku wynosi około 200 kWh/m². Założenie takie zostało przyjęte na podstawie stanu wiekowego zabudowy w województwie mazowieckim, który przekłada się na stan termomodernizacji, a więc na zapotrzebowanie na ciepło. W zależności od sprawności kotła określono zużycie paliw. Dla węgla i drewna przyjęto zapotrzebowanie na ciepło na poziomie 1200-1800 MJ/m² (w zależności od sprawności źródła), dla oleju około 850 MJ/m², natomiast dla gazu około 350 MJ/m².

Aktualizacja programu

Podstawą aktualizacji Programu dla województwa mazowieckiego jest Program uchwalony w 2020 roku, dane dotyczące stężeń zanieczyszczeń z pomiarów i modelowania, oraz dane emisyjne i wskaźniki emisji obowiązujące w 2018 r.

W aktualizacji Programu liczbę kotłów wskazaną do wymiany w latach 2024-2026 wyznaczono dla każdej gminy biorąc pod uwagę sprawozdania samorządów gminnych z realizacji działania WMaOePow w latach 2021-2022 oraz wyniki inwentaryzacji źródeł ogrzewania wykonane przez poszczególne samorzady w ramach poddziałania (w działaniu WMaOePow): „szczegółowa inwentaryzacja źródeł niskiej emisji – ogrzewania lokali mieszkalnych, handlowych, usługowych oraz użyteczności publicznej w gminach województwa mazowieckiego” wg stanu na rok 2022 oraz liczbę kotłów zaplanowaną do wymiany w roku 2023. Dla wyznaczenia efektu ekologicznego realizacji działania „Ograniczenie emisji substancji z procesu wytwarzania energii cieplnej dla potrzeb ogrzewania i przygotowania ciepłej wody w lokalach mieszkalnych, handlowych, usługowych oraz użyteczności publicznej” (kod działania WmaOePow), wykorzystano te same wskaźniki efektu ekologicznego, co w wersji Programu sprzed aktualizacji. Pozwoliło to na zachowanie spójności i ciągłości w obliczeniach prognozowanych emisji i stężeń zanieczyszczeń, a więc zachowanie spójności metodycznej i merytorycznej.

5. Wykaz substancji w powietrzu, ze względu na które konieczne było opracowanie programu

Opracowanie programu ochrony powietrza w strefach: mazowieckiej, miasto Płock i miasto Radom było konieczne ze względu na:

- pył zawieszony PM10,
- pył zawieszony PM2,5,
- benzo(a)piren.

Opracowanie programu ochrony powietrza w strefie aglomeracja warszawska było konieczne ze względu na:

- pył zawieszony PM10,
- pył zawieszony PM2,5,
- ditlenek azotu,

- benzo(a)piren.

5.1. Poziomy kryterialne jakości powietrza ustanowione ze względu na ochronę zdrowia ludności.

W tabeli poniżej przedstawiono dopuszczalne i docelowe poziomy stężeń substancji, dla których opracowano Program, wyróżnione ze względu na ochronę zdrowia ludzi – do osiągnięcia i utrzymania w województwie mazowieckim, a także dopuszczalną częstość ich przekraczania oraz terminy osiągnięcia, zgodnie z rozporządzeniem Ministra Środowiska z dnia 24 sierpnia 2012 r. w sprawie poziomów niektórych substancji w powietrzu (Dz. U. z 2021 r., poz. 845).

Zgodnie z definicją zamieszczoną w ustawie Prawo ochrony środowiska, poziom dopuszczalny jest to poziom substancji, który ma być osiągnięty w określonym terminie i który po tym terminie nie powinien być przekraczany. Poziom dopuszczalny jest standardem jakości powietrza. Poziom docelowy natomiast jest to poziom substancji, który ma być osiągnięty w określonym czasie za pomocą ekonomicznie uzasadnionych działań technicznych i technologicznych. Poziom docelowy został ustalony w celu unikania, zapobiegania lub ograniczania szkodliwego wpływu danej substancji na zdrowie ludzi lub środowisko jako całość. Poziom docelowy nie jest standardem jakości powietrza.

Tabela 132 Poziomy dopuszczalne i docelowe substancji w powietrzu, termin osiągnięcia oraz dopuszczalne częstości przekraczania³⁴

Substancja	Okres uśredniania	Dopuszczalna liczba przekroczeń	Jednostka	Stężenie	Termin osiągnięcia	Rodzaj poziomu
Pył PM2,5	rok	Nie określono	[$\mu\text{g}/\text{m}^3$]	25 ³⁵	2015	dopuszczalny
Pył PM2,5	rok	Nie określono	[$\mu\text{g}/\text{m}^3$]	20 ³⁶	2020	dopuszczalny
Pył PM10	24h	35	[$\mu\text{g}/\text{m}^3$]	50	2005	dopuszczalny
Pył PM10	rok	Nie określono	[$\mu\text{g}/\text{m}^3$]	40	2005	dopuszczalny
NO ₂	1h	18	[$\mu\text{g}/\text{m}^3$]	200	2010	dopuszczalny
NO ₂	rok	Nie określono	[$\mu\text{g}/\text{m}^3$]	40	2010	dopuszczalny
B(a)P	rok	Nie określono	[ng/m^3]	1	2013	docelowy

Dla standardu jakości powietrza odnoszącego się do stężeń średniorocznych pyłu zawieszonego PM2,5 określony został poziom dopuszczalny, który został podzielony na dwie fazy. W fazie I obowiązuje poziom dopuszczalny średniorocznego stężenia pyłu zawieszonego PM2,5 wynoszący $25 \mu\text{g}/\text{m}^3$, natomiast w fazie II, która rozpocznie się od 1 stycznia 2020 r. obowiązywać będzie średnioroczny poziom dopuszczalny wynoszący $20 \mu\text{g}/\text{m}^3$.

Załącznik nr 6 ww. rozporządzenia dla pyłu zawieszonego PM2,5 określa ponadto pułap stężenia ekspozycji, czyli poziom określony na podstawie wartości krajowego wskaźnika średniego narażenia, w celu ograniczenia szkodliwych skutków dla zdrowia ludzi. Pułap stężenia ekspozycji wynosi $20 \mu\text{g}/\text{m}^3$ i powinien zostać osiągnięty do 2015 r. Pułap stężenia ekspozycji jest standardem jakości powietrza.

5.2. Źródła pochodzenia zanieczyszczeń i ich wpływ na zdrowie

Pył zawieszony

³⁴ Źródło: Rozporządzenie Ministra Środowiska z dnia 24 sierpnia 2012 r. w sprawie poziomów niektórych substancji w powietrzu (Dz. U. z 2021 r., poz. 845).

³⁵ stężenie dla fazy I - poziom dopuszczalny do osiągnięcia do dnia 1 stycznia 2015 r.

³⁶ stężenie dla fazy II - poziom dopuszczalny do osiągnięcia do dnia 1 stycznia 2020 r.

Pył zawieszony, w tym pyły PM10 i PM2,5, jest mieszaniną bardzo drobnych cząstek stałych i ciekłych, które mogą pochodzić z emisji bezpośredniej (pył pierwotny) lub też powstają w wyniku reakcji między substancjami znajdującymi się w atmosferze (pył wtórny). Pył zawieszony PM2,5 to w głównej mierze pył wtórny oraz bardzo drobne cząstki węgla w postaci węgla elementarnego oraz organicznego. Pewien udział w pyłe bardzo drobnym stanowi materia mineralna. Prekursorami pyłów wtórnych są przede wszystkim tlenki siarki, tlenki azotu i amoniak. W zależności od typu źródła emisji udział frakcji pyłu zawieszzonego PM2,5 w pyłe zawieszonym PM10 stanowi od kilkunastu do ponad 90%. Pozostałą część pyłu zawieszzonego PM10 stanowi pył emitowany pierwotnie ze źródeł lub większe cząstki mineralne. Największym udziałem frakcji PM2,5 w pyłe PM10 charakteryzują się kategorie źródeł związane ze spalaniem paliw (czyli ogrzewanie indywidualne, spalanie w silnikach pojazdów itp.). To one są głównym źródłem emisji cząstek, które mogą ulegać przemianom oraz koagulacji tworząc tzw. aerozol nieorganiczny. Znacznie mniejszy udział mają procesy związane z produkcją lub rolnictwem, gdyż tam mamy do czynienia głównie z pyłem mineralnym, którego średnica przeważnie jest już większa niż 2,5 mikrometra.

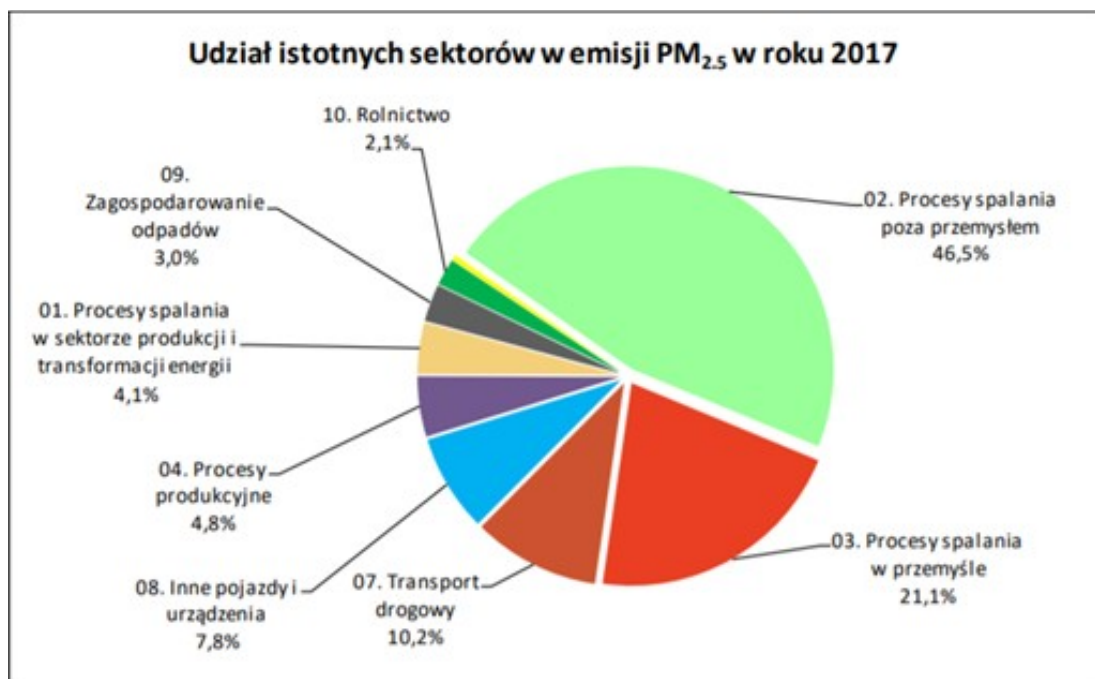
Źródła pyłu zawieszzonego w powietrzu można podzielić na antropogeniczne i naturalne. Wśród antropogenicznych wymienić należy:

- źródła przemysłowe (energetyczne spalanie paliw i źródła technologiczne),
- transport samochodowy (pył ze ścierania opon oraz pył unoszony z powierzchni drogi),
- spalanie paliw w sektorze bytowo-gospodarczym.

Źródła naturalne to przede wszystkim:

- pylenie roślin,
- erozja gleb,
- wietrzenie skał,
- aerozol morski.

Według rocznych krajowych raportów wykonywanych przez Krajowy Ośrodek Bilansowania i Zarządzania Emisjami największy udział w bilansie całkowitym emisji pyłów drobnych i bardzo drobnych ma sektor spalania paliw poza przemysłem, czyli między innymi ogrzewanie indywidualne budynków.



Rysunek 1 Udziały poszczególnych rodzajów emitentów w emisji pyłu zawieszonego PM_{2,5}³⁷

Czynnikiem sprzyjającym szkodliwemu oddziaływaniu pyłu na zdrowie jest przede wszystkim wielkość cząstek. W pyłe zawieszonym całkowitym (TSP - ang. Total Suspended Particles), ze względu na wielkość cząstek, wyróżnia się frakcje o ziarnach: powyżej 10 μm oraz poniżej 10 μm (pył zawieszony PM₁₀). Małe cząstki o średnicy mniejszej niż 10 mikrometrów (tj. 1/10 milimetra), mające średnicę zaledwie 2,5 mikrometra, są niezwykle niebezpieczne dla naszego zdrowia.

Raporty Światowej Organizacji Zdrowia (WHO – ang. World Health Organization) wskazują na znaczący wpływ pyłu zawieszonego PM_{2,5} na zdrowie ludzi. Według WHO frakcja PM_{2,5} uważana jest za wywołującą poważne konsekwencje zdrowotne, ponieważ ziarna o tak niewielkich średnicach mają zdolność łatwego wnikania do pęcherzyków płucnych, a stąd do układu krążenia, powodując dolegliwości począwszy od małych zmian chorobowych górnych dróg oddechowych i zaburzeniu czynności płuc, poprzez zwiększenie ryzyka objawów wymagających przyjęcia na izbę przyjęć lub podjęcia leczenia szpitalnego, do zwiększonego ryzyka zgonu przez obciążony układ krążenia i układ oddechowy oraz raka płuc. W szczególności skutkami długoterminowej ekspozycji na pył jest skrócona długość życia, która jest szczególnie powiązana z obecnością pyłu drobnego. Grupami wysokiego ryzyka są osoby starsze, dzieci oraz osoby mające problemy z układem krwionośnym i oddechowym. Pył może powodować następujące problemy ze zdrowiem:

- podrażnienie górnych dróg oddechowych,
- kaszel,
- podrażnienie naskórka i śluzówki,
- alergię,
- trudności w oddychaniu,
- zmniejszenie czynności płuc,
- astmę,
- rozwój przewlekłego zapalenia oskrzeli,

³⁷ Źródło: IOŚ-PIB KOBiZE, Krajowy Bilans Emisji SO₂, NO_x, CO, NH₃, NMLZO, pyłów, metali ciężkich i TZO za lata 2015-2017 w Układzie Klasyfikacji SNAP Raport Syntetyczny, Warszawa 2019

- arytmie serca,
- atak serca,
- nowotwory płuc, gardła i krtani,
- przedwczesną śmierć związaną z niewydolnością serca lub chorobą płuc.

Jak wynika z raportów Światowej Organizacji Zdrowia (WHO), długotrwałe narażenie na działanie pyłu zawieszonego PM_{2,5} skutkuje skróceniem średniej długości życia. Szacuje się, że życie przeciętnego mieszkańca Unii Europejskiej jest krótsze z tego powodu o ponad 8 miesięcy. Życie statystycznego mieszkańca Polski, w stosunku do mieszkańca pozostałych krajów w Unii Europejskiej, jest krótsze o kolejne 2 miesiące z uwagi na występujące w naszym kraju większe zanieczyszczenie pyłem.

Pyły oddziałują szkodliwie nie tylko na zdrowie ludzkie, ale także na roślinność, glebę i wodę. W przypadku roślin pył, który osadza się na ich powierzchni, zatyka aparaty szparkowe oraz blokuje dostęp światła utrudniając tym samym fotosyntezę. Nie bez znaczenia jest też wpływ pyłu na inne elementy środowiska: obecność pyłu może prowadzić do ograniczenia widoczności (powstawanie mgieł), cząstki pyłu przenoszone są przez wiatr na duże odległości (do 2 500 km) i osiadają na powierzchni gleby lub wody, zanieczyszczając je. Skutki zanieczyszczenia drobnym pyłem obejmują zmianę pH wód (podwyższenie kwasowości jezior i wód płynących), zmiany w bilansie składników pokarmowych w wodach przybrzeżnych i dużych dorzeczach, zanik składników odżywczych w glebie, wyniszczenie wrażliwych gatunków roślin na terenie lasów i upraw rolnych, a także niekorzystny wpływ na różnorodność ekosystemów.

Pył obecny w powietrzu może mieć również negatywny wpływ na walory estetyczne otaczającego krajobrazu. Zanieczyszczenia mogą uszkodzić kamień i inne materiały, w tym ważnych kulturowo obiektów takich jak rzeźby czy pomniki i budowle historyczne.

Benzo(a)piren

Benzo(a)piren jest głównym przedstawicielem wielopierścieniowych węglowodorów aromatycznych (WWA), których źródłem może być: spalanie paliw w silnikach spalinowych, spalanie odpadów w spalarniach, procesy przemysłowe (np. produkcja koksu), pożary lasów, dym tytoniowy, a także wszelkie procesy rozkładu termicznego związków organicznych przebiegające przy niewystarczającej ilości tlenu (np. ogrzewanie indywidualne paliwami stałymi, tzw. niska emisja). Nośnikiem benzo(a)pirenu w powietrzu jest pył, dlatego jego szkodliwe oddziaływanie jest ściśle związane z oddziaływaniem pyłu oraz jego specyficznymi właściwościami fizycznymi i chemicznymi.

Benzo(a)piren oddziałuje szkodliwie nie tylko na zdrowie ludzkie, ale także na roślinność, glebę i wodę. Wykazuje on małą toksyczność ostrą, zaś dużą toksyczność przewlekłą, co związane jest z jego zdolnością kumulacji w organizmie. Podobnie jak inne WWA, jest kancerogenem chemicznym, a mechanizm jego działania jest genotoksyczny, co oznacza, że reaguje z DNA, przy czym działa po aktywacji metabolicznej. W wyniku przemian metabolicznych benzo(a)pirenu w organizmie człowieka dochodzi do powstania i gromadzenia hydroksypochodnych benzo(a)pirenu o bardzo silnym działaniu rakotwórczym. Przeciętny okres między pierwszym kontaktem z czynnikiem rakotwórczym, a powstaniem zmian nowotworowych wynosi ok. 15 lat, ale może być krótszy. Benzo(a)piren, podobnie jak inne wielopierścieniowe węglowodory aromatyczne, wykazuje toksyczność układową, powodując uszkodzenie nadnerczy, układu chłonnego, krwiotwórczego i oddechowego.

Poza wymienionymi na wstępie źródłami powstawania wielopierścieniowych węglowodorów aromatycznych, w tym benzo(a)pirenu, podkreślić należy również, że mogą się one tworzyć podczas obróbki kulinarnej, kiedy topiący się tłuszcz (ulegający pirolizie)

ścieka na źródło ciepła. Do pirolizy dochodzi także podczas obróbki żywności w temperaturze powyżej 200°C. Ilość tworzących się podczas obróbki szkodliwych związków (wielopierścieniowych węglowodorów aromatycznych) zależy od czasu trwania procesu, źródła ciepła i odległości pomiędzy żywnością a źródłem ciepła.

Benzo(a)piren jest zanieczyszczeniem powietrza, wody i gleby. Jego stężenie jest normowane w każdym z tych komponentów:

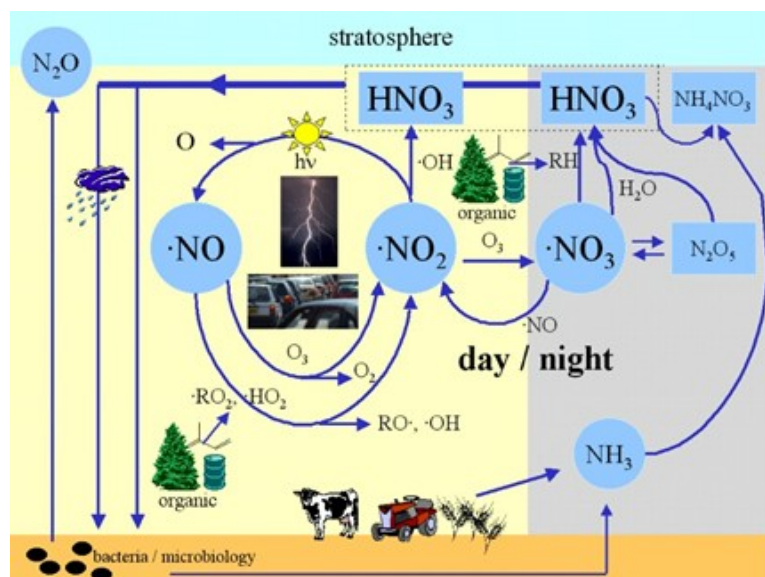
- w powietrzu normowane jest stężenie benzo(a)pirenu zawartego w pyłe zawieszonym PM10 – norma – 1 ng/m³,
- w wodzie pitnej – norma – 10 ng/dm³,
- w glebie – norma – 0,02 mg/kg suchej masy (gleby klasy A) i 0,03 mg/kg suchej masy (gleby klasy B).

W powietrzu wielopierścieniowe węglowodory aromatyczne ulegają, pod wpływem działania promieni słonecznych, zjawisku fotoindukcji, które powoduje wzrost podatności do tworzenia się połączeń z materiałem genetycznym – DNA. Badania toksykologiczne i epidemiologiczne wskazują na wyraźną zależność pomiędzy ekspozycją na te związki, a wzrostem ryzyka powstawania nowotworów. Skrócenie statystycznej długości życia ludzkiego w Europie wynosi średnio 8,6 miesiąca (od ok. 3 miesięcy w Finlandii do ponad 13 miesięcy w Belgii, w Polsce ok. 8,5 miesiąca) (wg. oszacowań programu CAFE).

Ditlenek azotu

W powietrzu występuje mieszanina różnych tlenków azotu (głównie NO i NO₂) – NO_x, jednak standaryzowany, jako zanieczyszczenie jest ditlenek azotu (NO₂), dla którego określone są poziomy dopuszczalne.

Ditlenek azotu jest to gaz niepalny, silnie toksyczny, nie tworzy mieszaniny wybuchowej z powietrzem, jest silnie utleniający. Tlenki azotu są prekursorami powstających w glebie związków rakotwórczych i mutagennych. Po utlenieniu w obecności pary wodnej, mają również udział w tworzeniu kwaśnych deszczy i ich niszczącym działaniu.



Rysunek 2 Schemat pokazujący niektóre ważne reakcje chemiczne zachodzące w powietrzu z udziałem tlenków azotu

Objaśnienia: day – dzień, night – noc, organic – materia organiczna, bacteria – bakterie

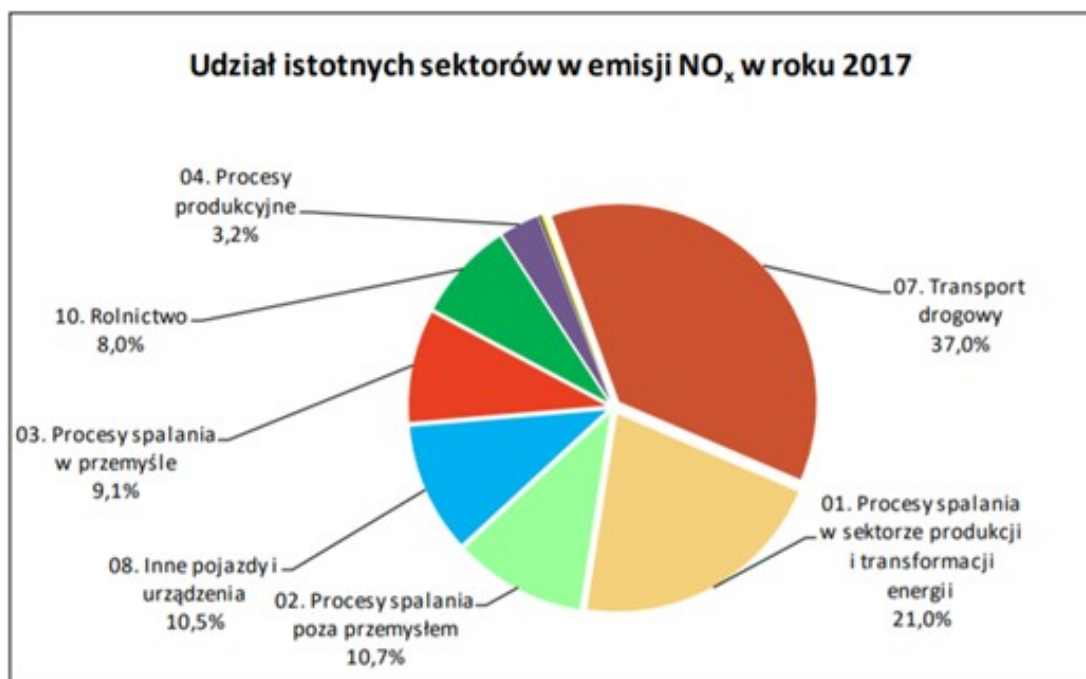
Autor: Elmar Uherek

NO_x ($\text{NO} + \text{NO}_2$) bierze udział w bardzo wielu reakcjach chemicznych zachodzących w atmosferze. Tlenki azotu są jednymi z groźniejszych składników zanieczyszczających atmosferę. Uważa się je za prawie dziesięciokrotnie bardziej szkodliwe od tlenku węgla, a kilkukrotnie od tlenków siarki. Cały szereg reakcji fotochemicznych, w których uczestniczą tlenki azotu, uważa się za odpowiedzialne za powstanie tzw. smogu, zjawiska klimatycznego dezorganizującego normalną działalność człowieka i szczególnie niebezpiecznego dla żywych organizmów.

Trójhydrat kwasu azotowego tworzy cząsteczki, powodujące powstawanie dziury ozonowej. Tlenki azotu jako gazy pełnią istotną rolę w tworzeniu się i rozpadzie ozonu w troposferze. Tlenek azotu i ditlenek azotu obecne w powietrzu atmosferycznym powstają zarówno w wyniku naturalnych zjawisk, takich jak wyładowania elektryczne, wybuchy wulkanów, aktywność bakterii jak i procesów wywołanych działalnością człowieka. Głównym źródłem emisji zarówno tlenku, jak i ditlenku azotu są zjawiska naturalne, jednak pod względem szkodliwego wpływu na ludzkie zdrowie źródła te można uznać za mało istotne. Związki te występują przede wszystkim w środowiskach miejskich, gdzie powstają na skutek działalności człowieka. Źródłem ich emisji są wymagające wysokich temperatur procesy spalania z dostępem powietrza. Oba te związki występują w gazach spalinowych, ale przeważa tlenek azotu.

Głównymi antropogenicznymi źródłami emisji ditlenku azotu do atmosfery są:

- 1) spalanie paliw stałych, ciekłych i gazowych lub ich mieszanin, w rezultacie, których otrzymuje się energię cieplną – energetyka przemysłowa;
- 2) reakcje spalania przebiegające w ruchomych lub stacjonarnych silnikach spalinowych – środki transportu;
- 3) procesy, w których wysoka temperatura jest niezbędnym warunkiem prawidłowego przebiegu operacji technologicznych – proces wielkopiecowy w hutnictwie żelaza i stali, proces martenowski i konwertorowy, proces realizowany w elektrycznych łukowych piecach hutniczych, spawanie elektryczne i gazowe;
- 4) techniki, które emitują tlenki azotu w następstwie reakcji chemicznych – przemysł syntezy chemicznej;
- 5) reakcje pełnego lub powierzchniowego roztwarzania metali lub ich stopów w kwasie azotowym – przemysł odczynnikowy lub obróbki gotowych detali;
- 6) wydzielanie do atmosfery w sposób okresowy lub ciągły, o stałym lub zmieniającym się w czasie natężeniu emisji:
 - materiały wybuchowe,
 - gazy postrzałowe, występujące w kopalniach,
 - odpadki rolnicze – tlenki azotu są emitowane do powietrza atmosferycznego w wyniku szybkiego rozkładu materiału roślinnego, zachodzącego w zielonych silosach,
 - palenie papierosów.



Rysunek 3 Udziały poszczególnych rodzajów emitentów w emisji tlenków azotu³⁸

Według rocznych krajowych raportów wykonywanych przez Krajowy Ośrodek Bilansowania i Zarządzania Emisjami (KOBiZE) największy udział w bilansie całkowitym emisji tlenków azotu ma sektor transportu drogowego, na drugim miejscu uplasowały się procesy spalania w sektorze produkcji i transformacji energii.

Ditlenek azotu w wysokich stężeniach może być bardzo niebezpieczny dla zdrowia. Przy krótkim narażeniu działa on drażniąco na spojówki oraz śluzówki nosa i gardła. Podrażnia także układ oddechowy, może wywołać duszności, kłucie w klatce piersiowej, przyczynić się do skrócenia oddechu i zwiększyć podatność na infekcje dróg oddechowych – szczególnie w przypadku dzieci i osób z obniżoną odpornością. U osób cierpiących na astmę ditlenek azotu może powodować zwiększenie reaktywności oskrzeli, a u osób zmagających się z przewlekłą chorobą obturacyjną płuc dodatkowo ograniczyć sprawność tego narządu.

Skutki długotrwałej ekspozycji na nadmierne stężenie ditlenku azotu są bardziej poważne. Mają wpływ na rozwój poważnych schorzeń, takich jak:

- astma oskrzelowa,
- przewlekła obturacyjna choroba płuc,
- choroby układu sercowo-naczyniowego,
- nowotwory, w szczególności płuc i piersi.

W samej Polsce liczba zgonów przypisywanych długotrwałej ekspozycji na ditlenek azotu szacowana jest na 1,6 tys. rocznie. Warto nadmienić, że tlenki azotu szkodzą nam również w sposób pośredni. Są one bowiem prekursorami powstających w glebach związków rakotwórczych, które mogą przenikać do żywności. W tym przypadku ich wpływ na zapadalność na choroby przewlekłe i w konsekwencji, śmiertelność jest bardzo trudny do oszacowania.

³⁸ Źródło: IOŚ-PIB KOBiZE, Krajowy Bilans Emisji SO₂, NO_x, CO, NH₃, NMLZO, pyłów, metali ciężkich i TZO za lata 2015-2017 w układzie klasyfikacji SNAP Raport Syntetyczny, Warszawa 2019

6. Źródła emisji substancji w powietrzu lub główne grupy tych źródeł, odpowiedzialne za przekroczenia poziomów dopuszczalnych i docelowych

Poniżej pokazano rozkład emisji pyłów zawieszonych PM10 i PM2,5 oraz benzo(a)pirenu dla wszystkich stref województwa mazowieckiego oraz ditlenku azotu w strefie aglomeracji warszawskiej opracowany na podstawie wielkości emisji określonych przez Krajowy Ośrodek Bilansowania i Zarządzania Emisjami i wykorzystanych przez Instytut Ochrony Środowiska w Warszawie do modelowania w ocenie jakości powietrza dla województwa mazowieckiego za 2018 i 2021 rok³⁹. Jeżeli w rocznej ocenie jakości powietrza za 2021 rok Krajowy Ośrodek Bilansowania i Zarządzania Emisjami nie inwentaryzował jakiegoś rodzaju emisji (np. SNAP 06 - Zastosowanie rozpuszczalników i innych produktów), to w rysunkach nie będzie odniesienia do tego typu emisji.

Dodatkowo informacje o napływowej emisji zanieczyszczeń z terenu Białorusi uzyskano z danych opublikowanych na stronie <http://www.emep.int/>. Na ich podstawie utworzono katastry emisji dla poszczególnych grup źródeł wg kategoryzacji źródeł SNAP.

6.1. Strefa mazowiecka

Tabela 133 Emisja substancji w powietrzu w strefie mazowieckiej w 2018 roku

Typ emisji	SNAP	Pył zawieszony PM10 [Mg/rok]	Udział [%] pyłu PM10 w łącznej emisji	Pył zawieszony PM2,5 [Mg/rok]	Udział [%] pyłu PM2,5 w łącznej emisji	B(a)P [kg/rok]	Udział [%] B(a)P w łącznej emisji
Procesy spalania w sektorze produkcji i transformacji energii	01	520,848	1,4	283,124	1,0	337,324	2,4
Sektor komunalny i mieszkaniowy z wyj. 0202	02	693,25	1,8	275,814	1,0	159,3	1,2
Mieszkalnictwo i usługi	0202	23278,027	61,6	22925,339	80,9	12973,6	94,0
Procesy spalania w przemyśle	03	325,231	0,9	415,111	1,5	293,469	2,1
Procesy produkcyjne	04	64,234	0,2	10,295	0,0	4,806	0,0
Wydobycie i dystrybucja paliw kopalnych	05	1504,557	4,0	357,045	1,3	Nie występuje	Nie występuje
Zastosowanie rozpuszczalników i innych produktów	06	5,49	0,0	0,787	0,0	0,2003	0,0
Transport drogowy	07	2325,734	6,2	1810,654	6,4	34,1	0,2
Koleje	0802	28,2130	0,1	27,901	0,1	0,2003	0,0
Transport powietrzny	0805	0,4164	0,0	0,4118	0,0	Nie występuje	Nie występuje
Ciągniki rolnicze	0806	1557,651	4,1	1540,399	5,4	Nie występuje	Nie występuje

³⁹ Główny Inspektorat Ochrony Środowiska, Departament Monitoringu Środowiska, Roczna Ocena Jakości Powietrza w województwie mazowieckim Raport Wojewódzki za rok 2018, Warszawa, kwiecień 2019; Główny Inspektorat Ochrony Środowiska, Departament Monitoringu Środowiska, Roczna Ocena Jakości Powietrza w województwie mazowieckim Raport Wojewódzki za rok 2021, Warszawa, kwiecień 2022

Typ emisji	SNAP	Pył zawieszony PM10 [Mg/rok]	Udział [%] pyłu PM10 w łącznej emisji	Pył zawieszony PM2,5 [Mg/rok]	Udział [%] pyłu PM2,5 w łącznej emisji	B(a)P [kg/rok]	Udział [%] B(a)P w łącznej emisji
Zagospodarowanie odpadów	09	22,52	0,1	16,47	0,1	Nie występuje	Nie występuje
Rolnictwo	10	4437,359	11,7	564,188	2,0	Nie występuje	Nie występuje
Inne źródła emisji i pochłaniania zanieczyszczeń	11	3049,502	8,1	118,947	0,4	Nie występuje	Nie występuje
Suma	Nie dotyczy	37813,032	100	28346,49	100	13803	100

Tabela 134 Emisja substancji w powietrzu w strefie mazowieckiej w 2021 roku

Typ emisji	SNAP	Pył zawieszony PM10 [Mg/rok]	Udział [%] pyłu PM10 w łącznej emisji	Pył zawieszony PM2,5 [Mg/rok]	Udział [%] pyłu PM2,5 w łącznej emisji	B(a)P [kg/rok]	Udział [%] B(a)P w łącznej emisji
Procesy spalania w sektorze produkcji i transformacji energii	01	545,551	1,5	291,178	1,1	122,5	0,8
Procesy spalania w sektorze usług oraz rolnictwie i leśnictwie z wyj. 0202	02 bez 0202	114,737	0,3	91,263	0,3	38,7	0,3
Mieszkalnictwo	0202	25010,934	69,4	24547,386	88,8	15230,8	98,5
Procesy spalania w przemyśle	03	316,362	0,9	245,726	0,9	23,9	0,2
Procesy produkcyjne	04	236,741	0,7	122,135	0,4	11,6	0,1
Wydobycie i dystrybucja paliw kopalnych	05	779,404	2,2	187,013	0,7	Nie występuje	Nie występuje
Zastosowanie rozpuszczalników i innych produktów	06	0,081	0,0	0,049	0,0	Nie występuje	Nie występuje
Transport drogowy	07	1645,341	4,6	1298,630	4,7	29,2	0,2
Koleje	0802	8,081	0,0	7,779	0,0	0,2	0,0
Transport powietrzny	0805	0,232	0,0	0,234	0,0	Nie występuje	Nie występuje
Ciągniki rolnicze	0806	158,565	0,4	160,447	0,6	Nie występuje	Nie występuje
Zagospodarowanie odpadów	09	0,180	0,0	0,027	0,0	Nie występuje	Nie występuje
Rolnictwo	10	4349,997	12,1	574,204	2,1	Nie występuje	Nie występuje
Inne źródła emisji i pochłaniania zanieczyszczeń	11	2862,147	7,9	115,500	0,4	Nie występuje	Nie występuje
Suma		36028,347	100	27641,572	100	15456,9	100

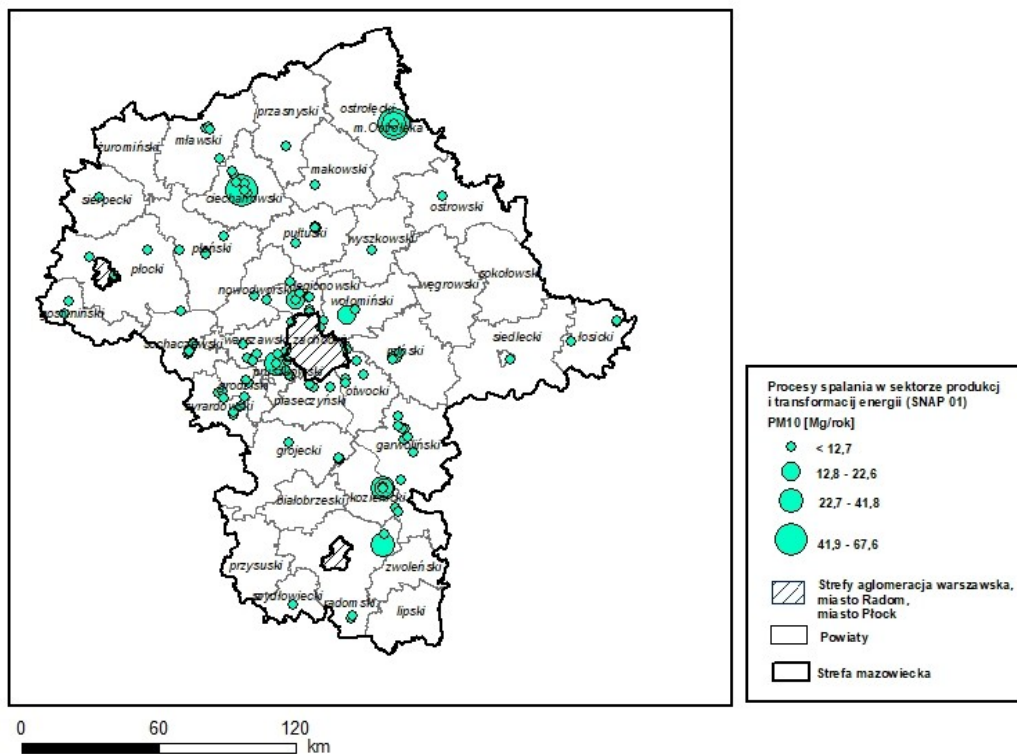
Tabela 135 Emisja substancji w powietrzu poza strefą mazowiecką (w odległości 30 km wokół strefy) w 2018 roku

Typ emisji w promieniu 30 km wokół strefy mazowieckiej	SNAP	PM10 [Mg/rok]	PM10 %	PM2,5 [Mg/rok]	PM25 %	B(a)P [kg/rok]	B(a)P %
Procesy spalania w sektorze produkcji i transformacji energii	01	1193,4	3,8	649,6	3,3	121,8	3,1
Procesy spalania w sektorze komunalnym i mieszkalnictwie	02	12947,4	41,4	8243,7	42,4	3625,5	93,0
Procesy spalania w przemyśle	03	9932,3	31,7	6983,6	35,9	10	0,3
Zastosowanie rozpuszczalników i innych substancji	06	107,9	0,3	74,1	0,4	0,3	0,0
Transport drogowy	07	2285,2	7,3	1779,9	9,2	31,1	0,8
Inne pojazdy i urządzenia	08	1273,1	4,1	1273,1	6,5	54,8	1,4
Zagospodarowanie odpadów	09	101	0,3	43	0,2	7,9	0,2
Rolnictwo	10	3466,1	11,1	398,2	2,0	47,8	1,2
SUMA	Nie dotyczy	31306,4	100	19445,2	100	3899,2	100

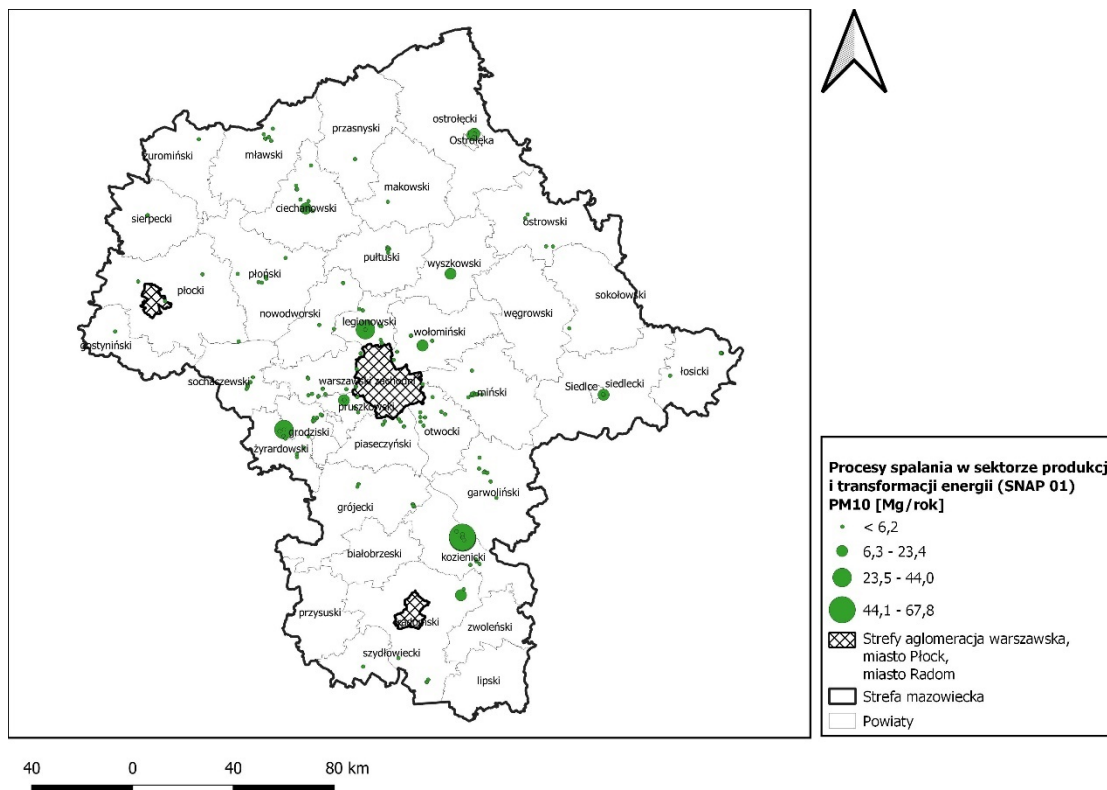
Tabela 136 Emisja substancji w powietrzu poza strefą mazowiecką (w odległości 30 km wokół strefy) w 2021 roku

Typ emisji w promieniu 30 km wokół strefy mazowieckiej	SNAP	PM10 [Mg/rok]	PM10 %	PM2,5 [Mg/rok]	PM25 %	B(a)P [kg/rok]	B(a)P %
Procesy spalania w sektorze produkcji i transformacji energii	01	678,0	2,4	388,2	1,6	52,6	0,4
Procesy spalania w sektorze usług oraz rolnictwie i leśnictwie z wyj. 0202	02 bez 0202	21 074,4	74,3	20 673,8	87,5	12 526,3	98,7
Mieszkalnictwo	0202	79,3	0,3	68,8	0,3	35,1	0,3
Procesy spalania w przemyśle	03	571,7	2,0	435,4	1,8	46,9	0,4
Zastosowanie rozpuszczalników i innych substancji	06	9,7	0,0	2,3	0,0	0,0	0,0
Transport drogowy	07	1 618,7	5,7	1 273,9	5,4	30,1	0,2
Inne pojazdy i urządzenia	08	195,1	0,7	194,2	0,8	2,1	0,0
Zagospodarowanie odpadów	09	24,0	0,1	20,9	0,1	1,3	0,0
Rolnictwo	10	4 100,7	14,5	577,8	2,4	0,0	0,0
SUMA		28 351,6	100	23 635,3	100	12 694,5	100

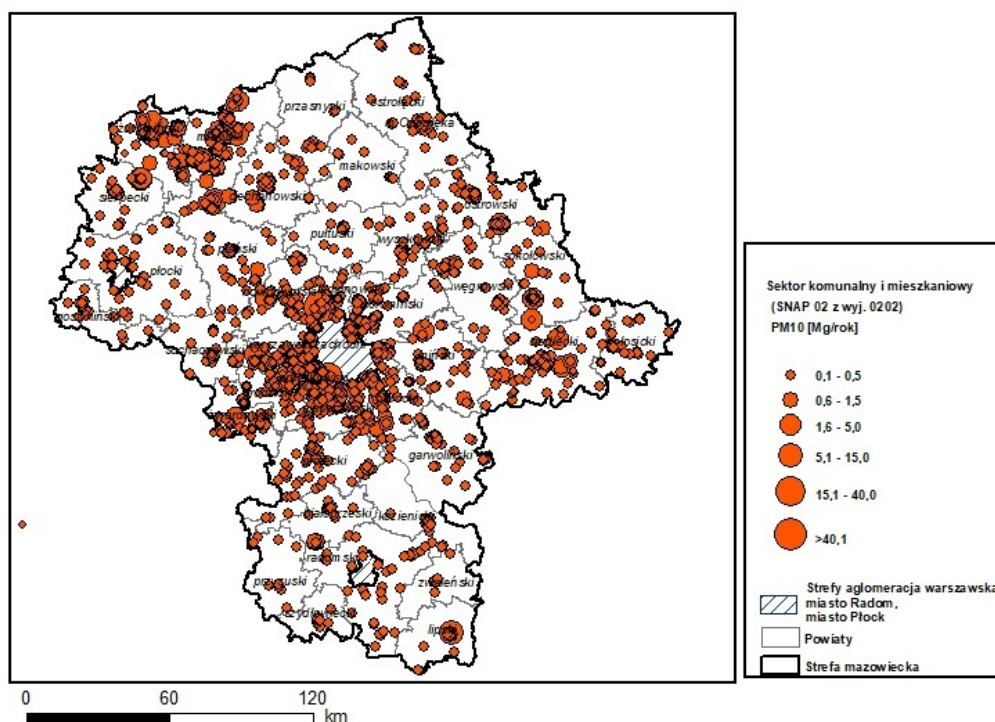
Emisja pyłu zawieszonego PM10



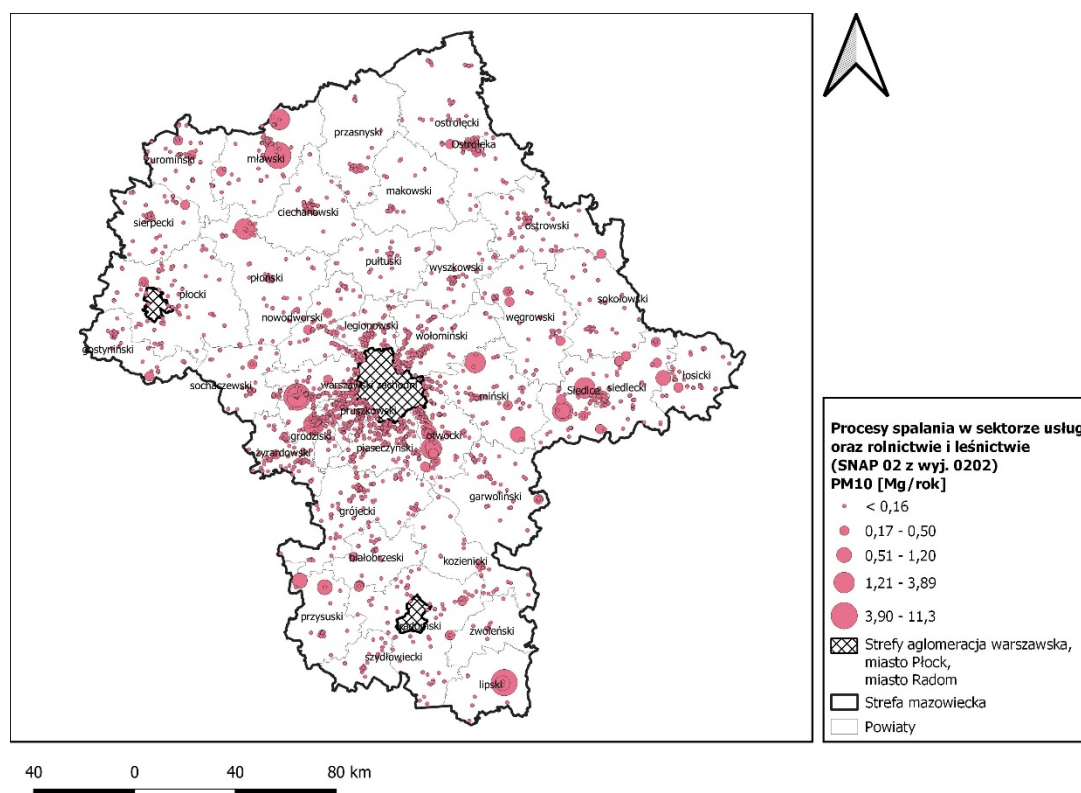
Rysunek 4 Rozmieszczenie oraz ładunki emisji punktowej pyłu zawieszonego PM10 w sektorze produkcji i transformacji energii (SNAP 01) w strefie mazowieckiej w 2018 roku



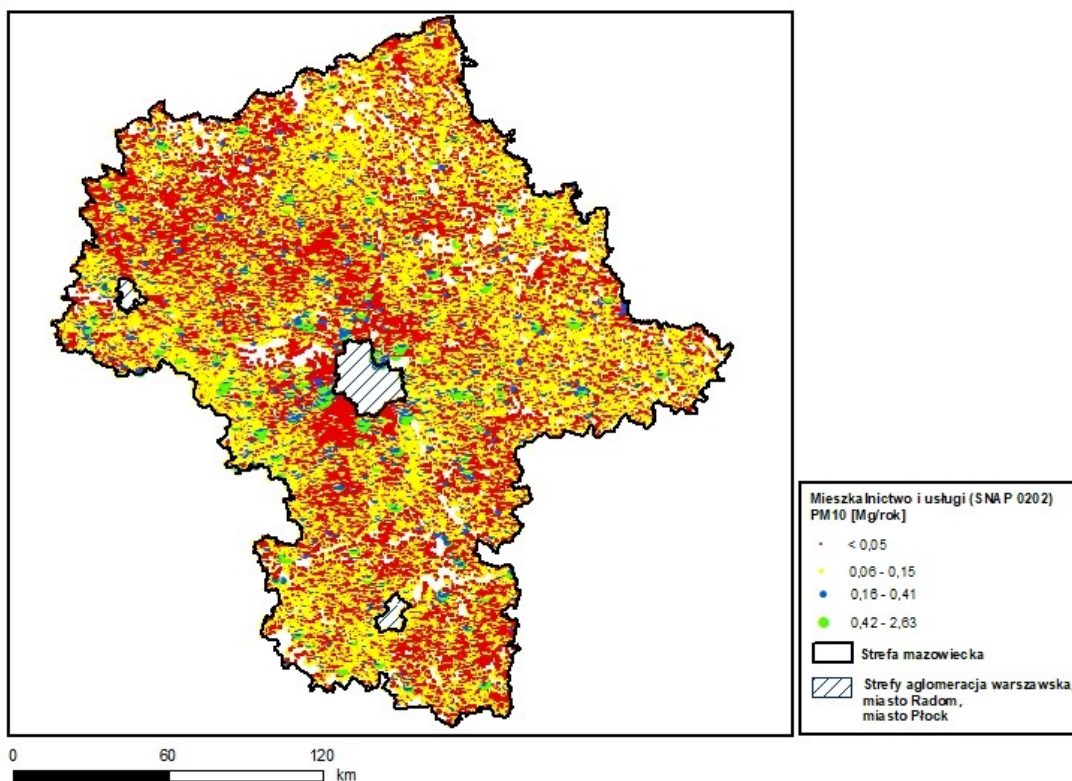
Rysunek 5 Rozmieszczenie oraz ładunki emisji punktowej pyłu zawieszonego PM10 w sektorze produkcji i transformacji energii (SNAP 01) w strefie mazowieckiej w 2021 roku



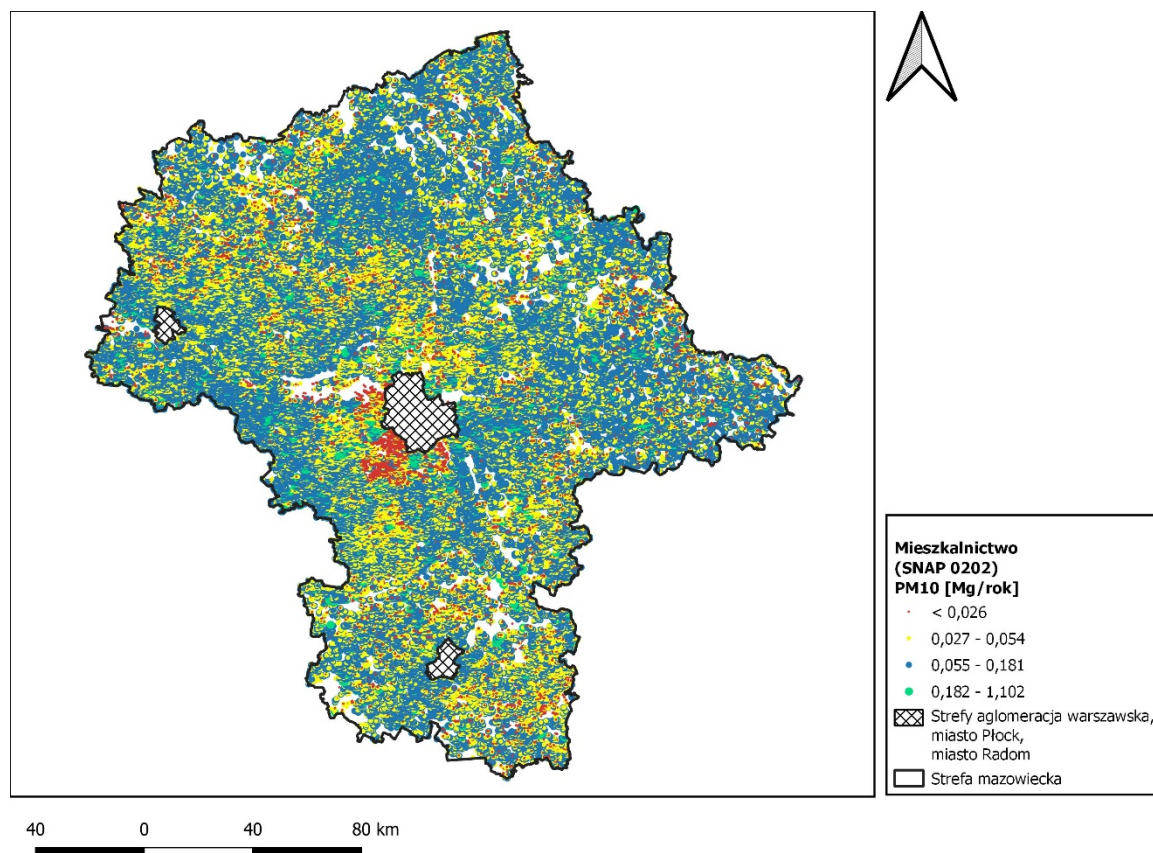
Rysunek 6 Rozmieszczenie oraz ładunki emisji pyłu zawieszonego PM10 w sektorze komunalnym i mieszkaniowym (SNAP 02 z wyjątkiem 0202) w strefie mazowieckiej w 2018 roku



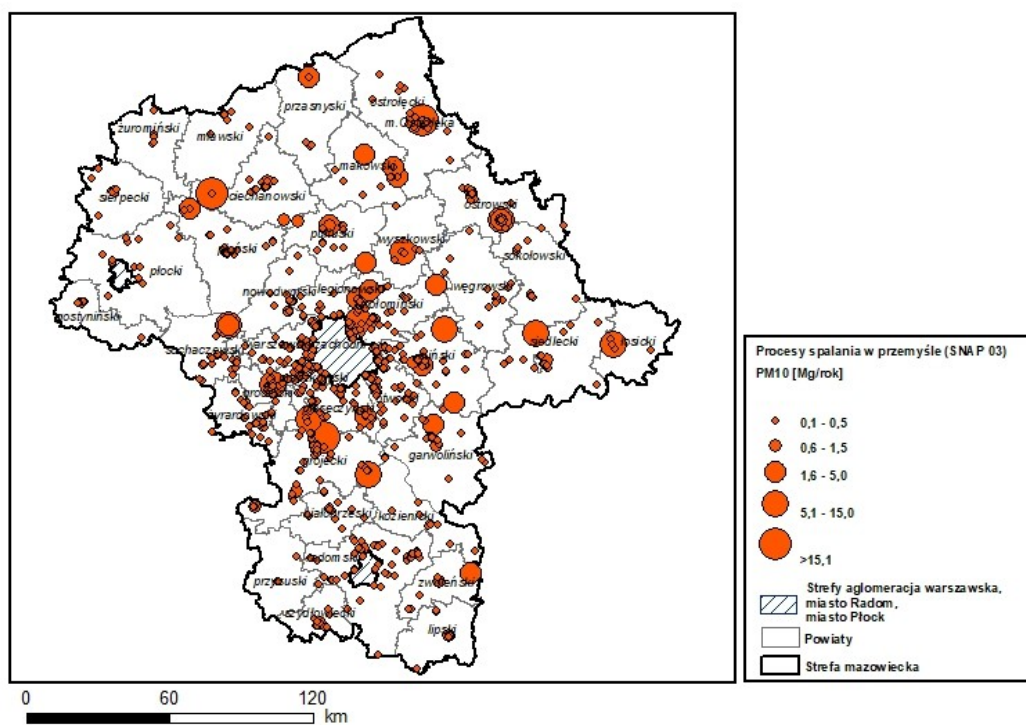
Rysunek 7 Rozmieszczenie oraz ładunki emisji pyłu zawieszonego PM10 w sektorze usług oraz rolnictwie i leśnictwie (SNAP 02 z wyjątkiem 0202) w strefie mazowieckiej w 2021 roku



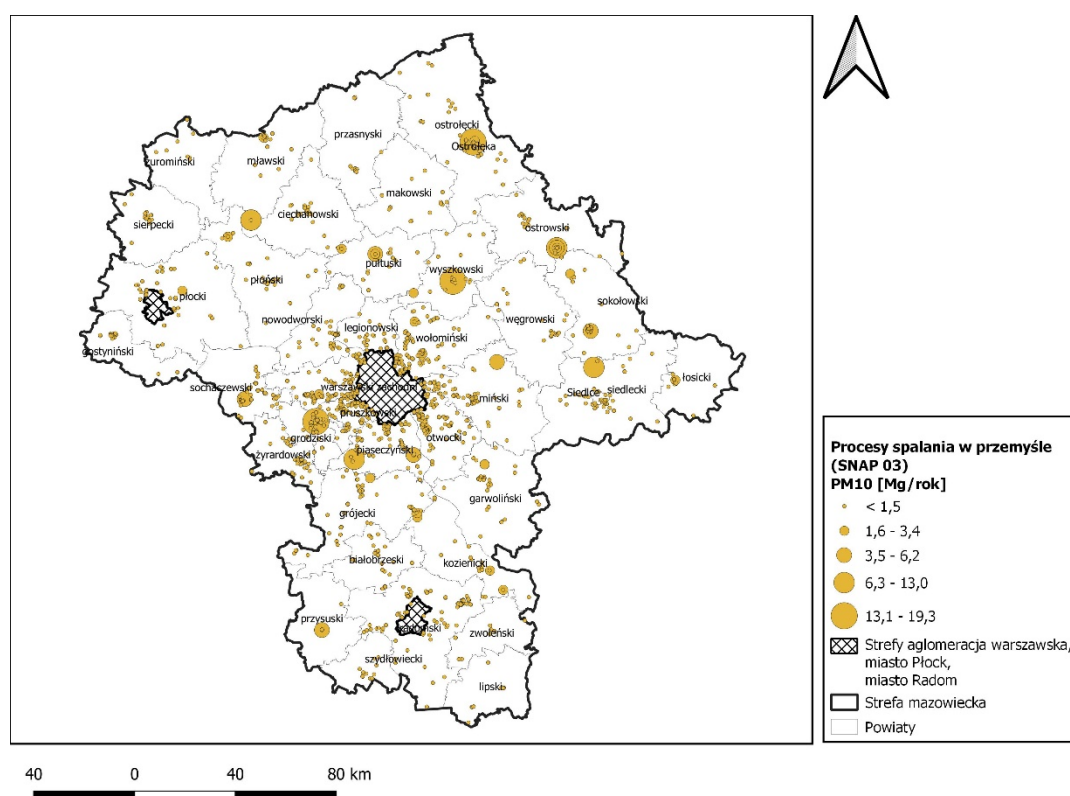
Rysunek 8 Rozmieszczenie oraz ładunki emisji pyłu zawieszonego PM10 w sektorze mieszkalnictwo i usługi (SNAP 0202) w strefie mazowieckiej w 2018 roku



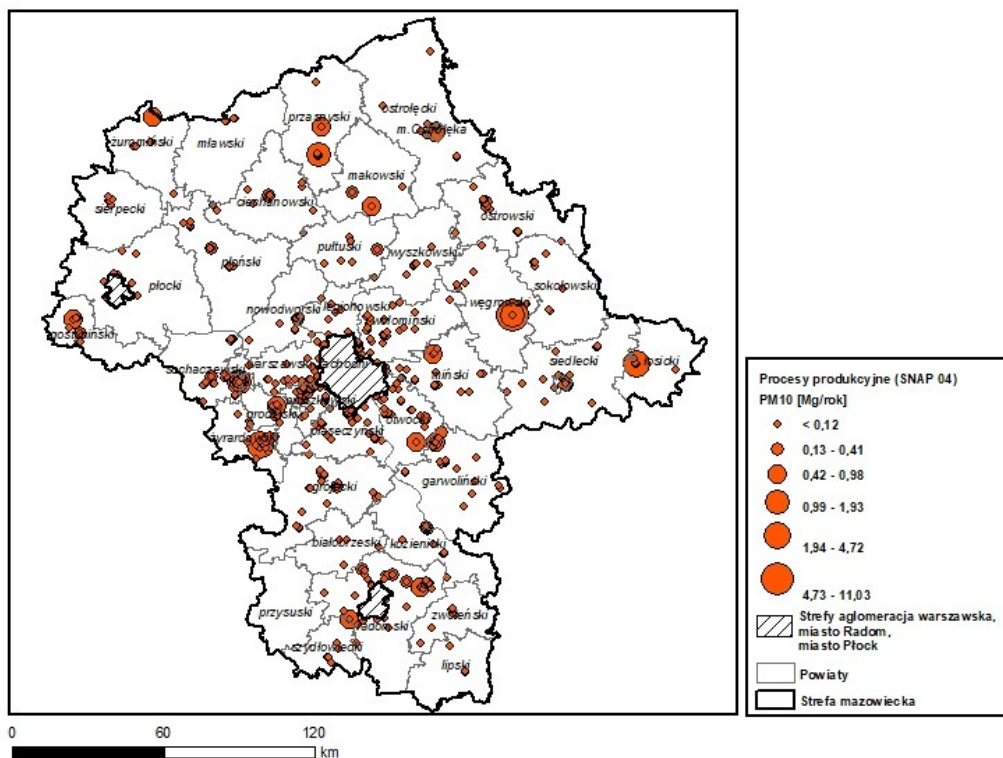
Rysunek 9 Rozmieszczenie oraz ładunki emisji pyłu zawieszonego PM10 w sektorze mieszkalnictwo (SNAP 0202) w strefie mazowieckiej w 2021 roku



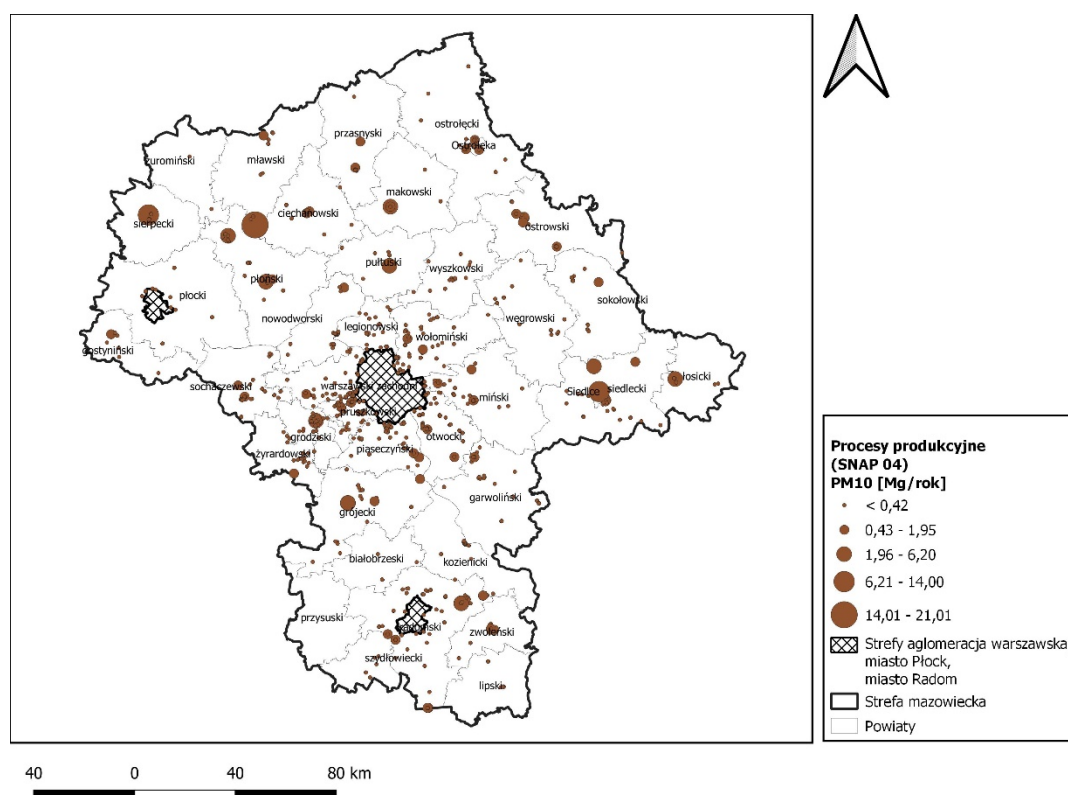
Rysunek 10 Rozmieszczenie oraz ładunki emisji pyłu zawieszonego PM10 z procesów spalania w przemyśle (SNAP 03) w strefie mazowieckiej w 2018 roku



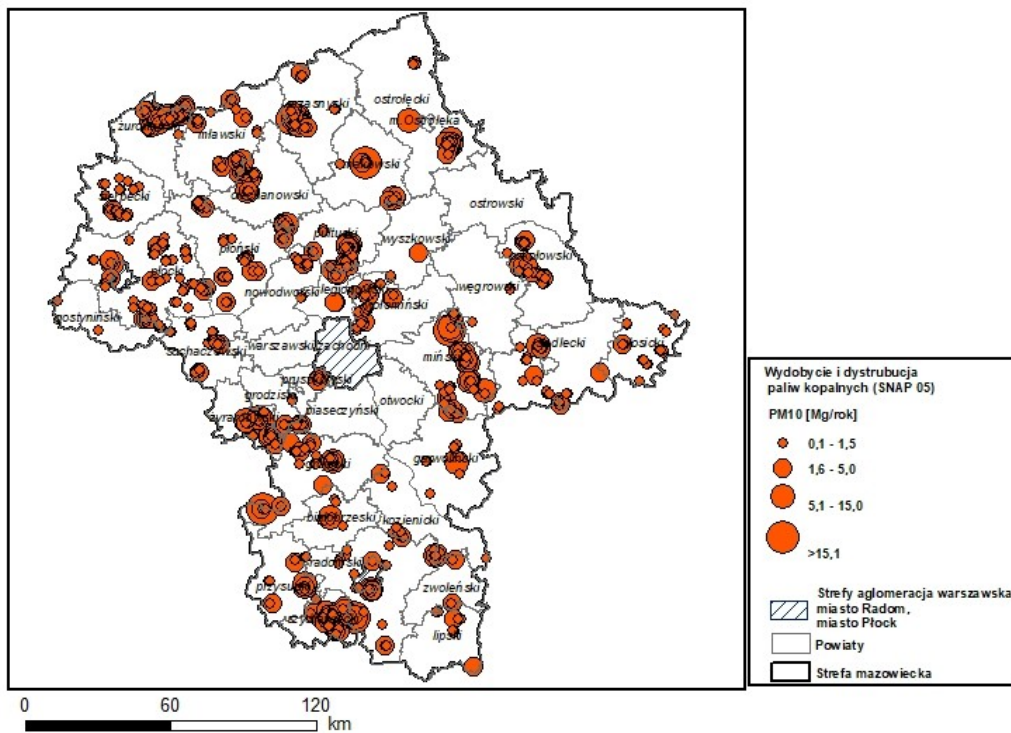
Rysunek 11 Rozmieszczenie oraz ładunki emisji pyłu zawieszonego PM10 z procesów spalania w przemyśle (SNAP 03) w strefie mazowieckiej w 2021 roku



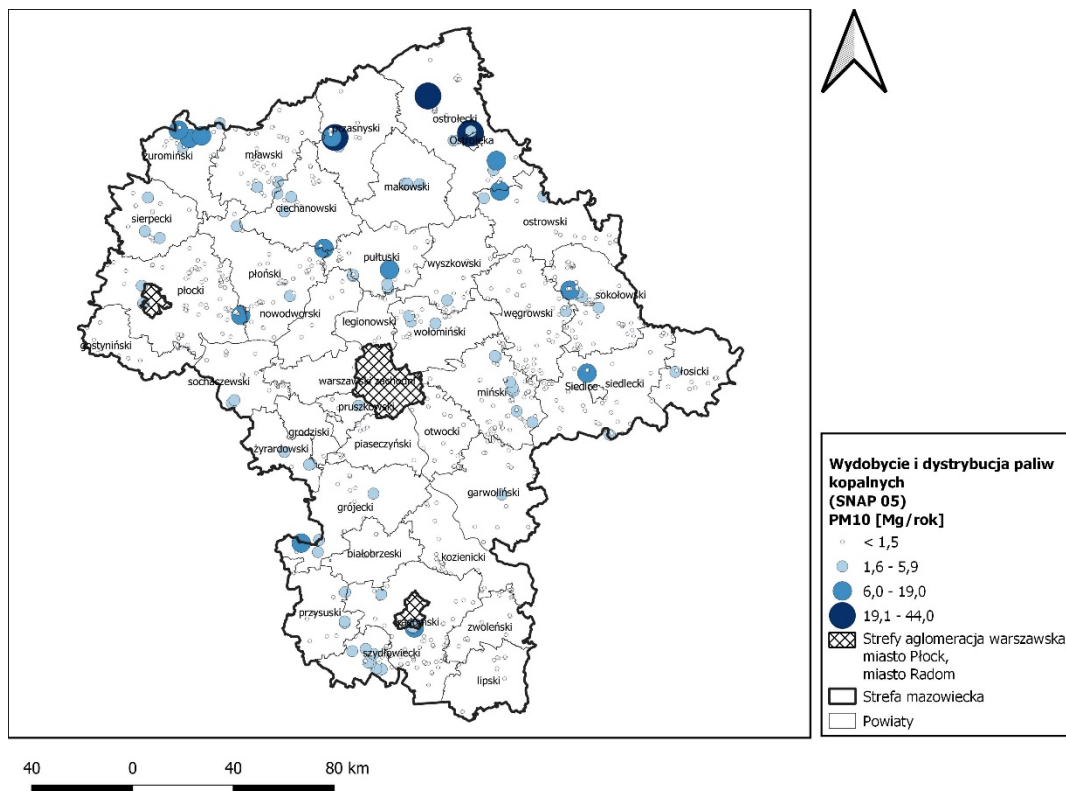
Rysunek 12 Rozmieszczenie oraz ładunki emisji pyłu zawieszonego PM10 z procesów produkcyjnych (SNAP 04) w strefie mazowieckiej w 2018 roku



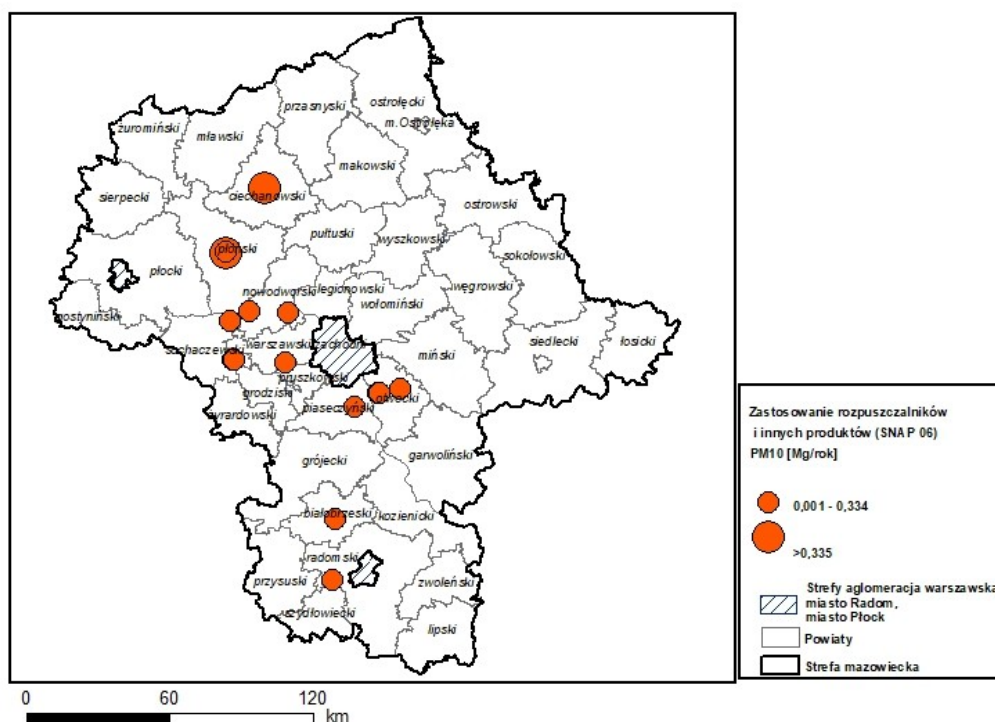
Rysunek 13 Rozmieszczenie oraz ładunki emisji pyłu zawieszonego PM10 z procesów produkcyjnych (SNAP 04) w strefie mazowieckiej w 2021 roku



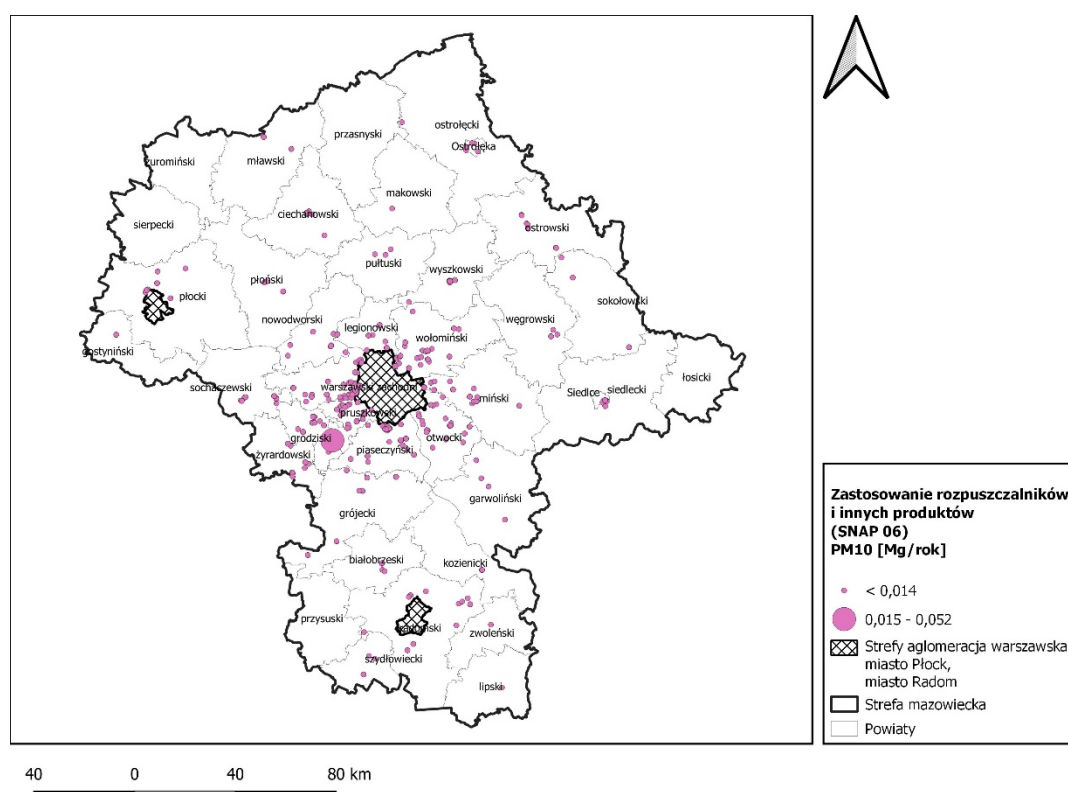
Rysunek 14 Rozmieszczenie oraz ładunki emisji pyłu zawieszonego PM10 z wydobycia i dystrybucji paliw kopalnych (SNAP 05) w strefie mazowieckiej w 2018 roku



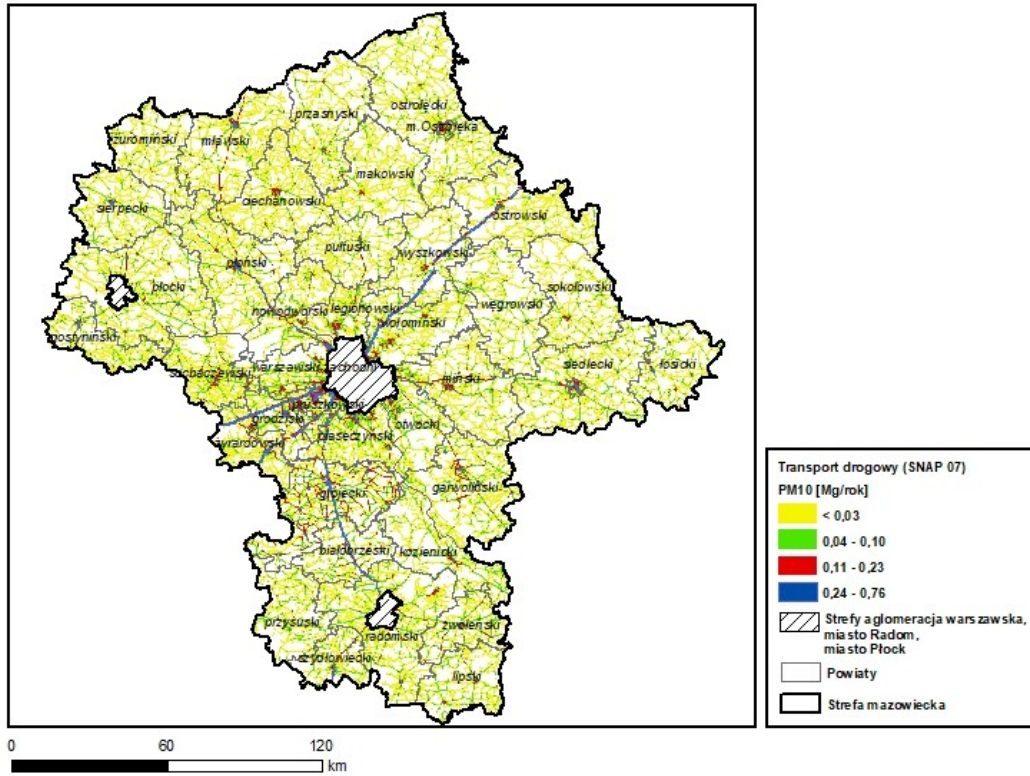
Rysunek 15 Rozmieszczenie oraz ładunki emisji pyłu zawieszonego PM10 z wydobycia i dystrybucji paliw kopalnych (SNAP 05) w strefie mazowieckiej w 2021 roku



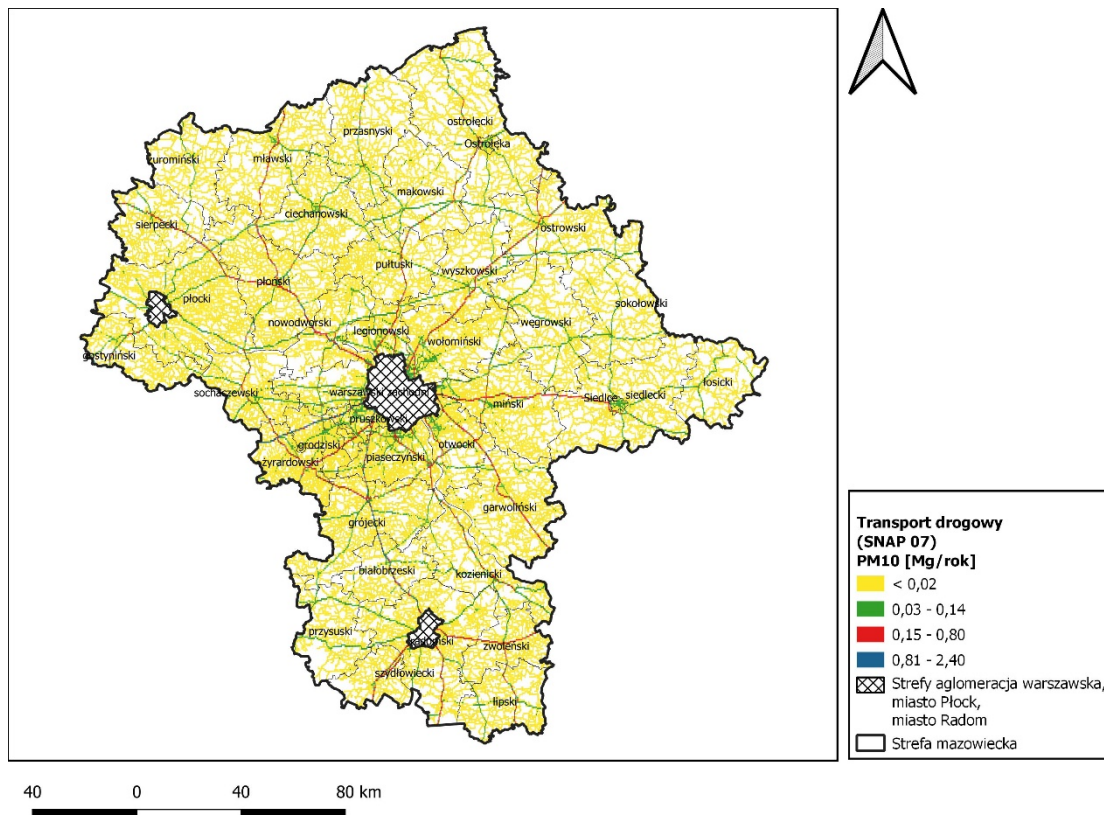
Rysunek 16 Rozmieszczenie oraz ładunki emisji pyłu zawieszzonego PM10 z zastosowania rozpuszczalników i innych produktów (SNAP 06) w strefie mazowieckiej w 2018 roku



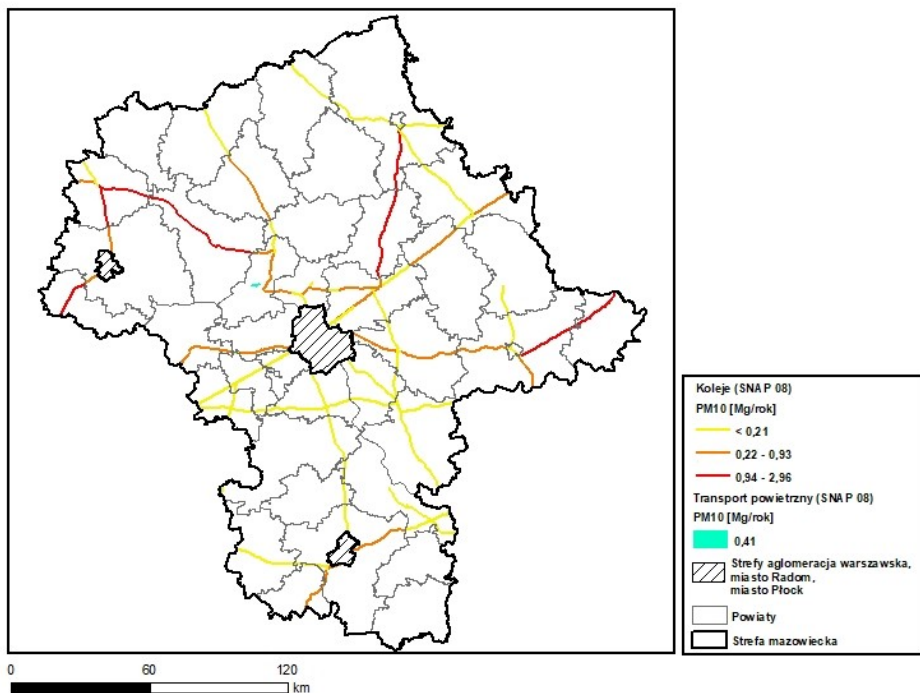
Rysunek 17 Rozmieszczenie oraz ładunki emisji pyłu zawieszzonego PM10 z zastosowania rozpuszczalników i innych produktów (SNAP 06) w strefie mazowieckiej w 2021 roku



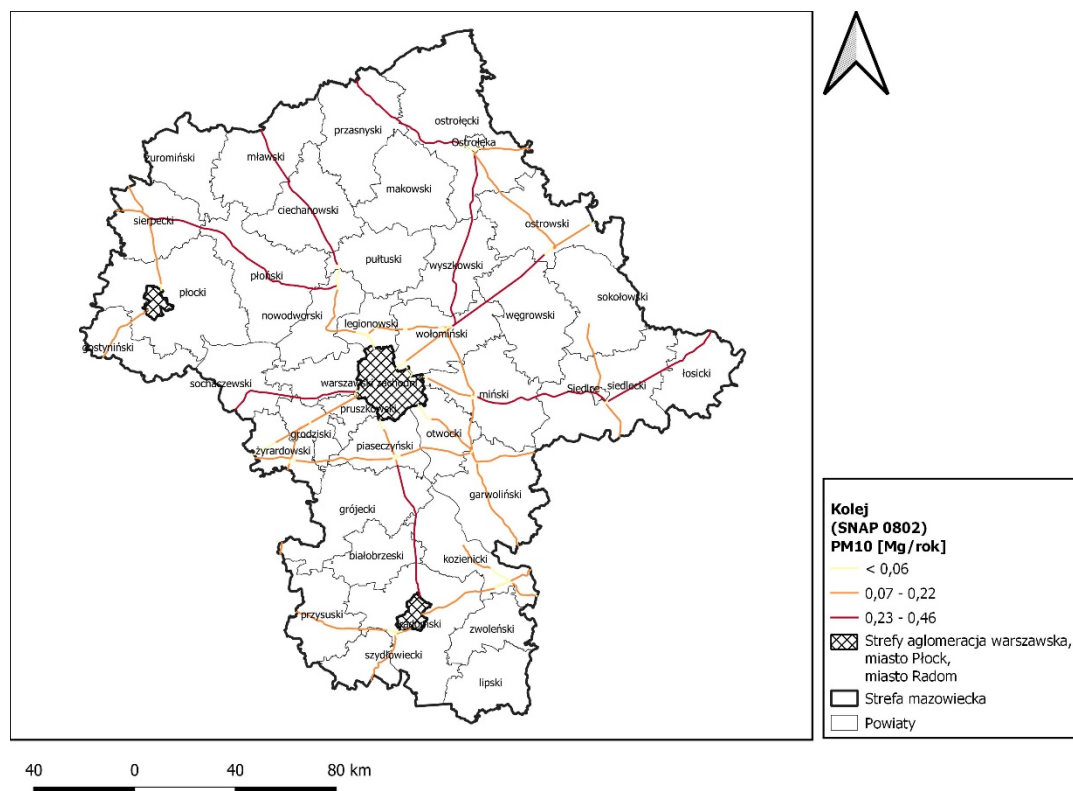
Rysunek 18 Rozmieszczenie oraz ładunki emisji pyłu zawieszzonego PM10 z transportu drogowego (SNAP 07) w strefie mazowieckiej w 2018 roku



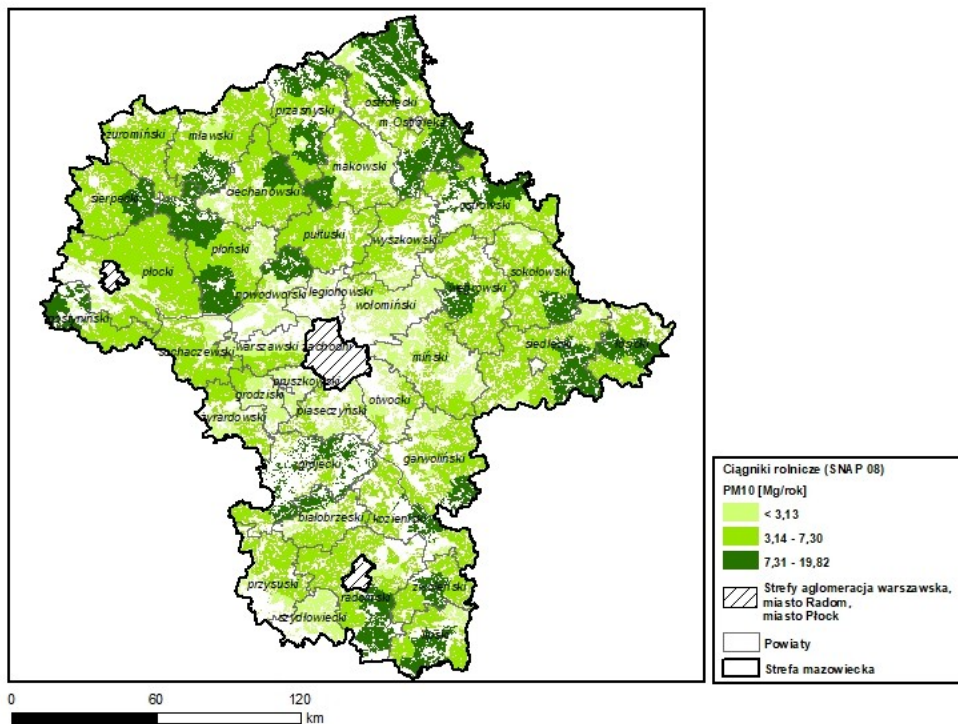
Rysunek 19 Rozmieszczenie oraz ładunki emisji pyłu zawieszzonego PM10 z transportu drogowego (SNAP 07) w strefie mazowieckiej w 2021 roku



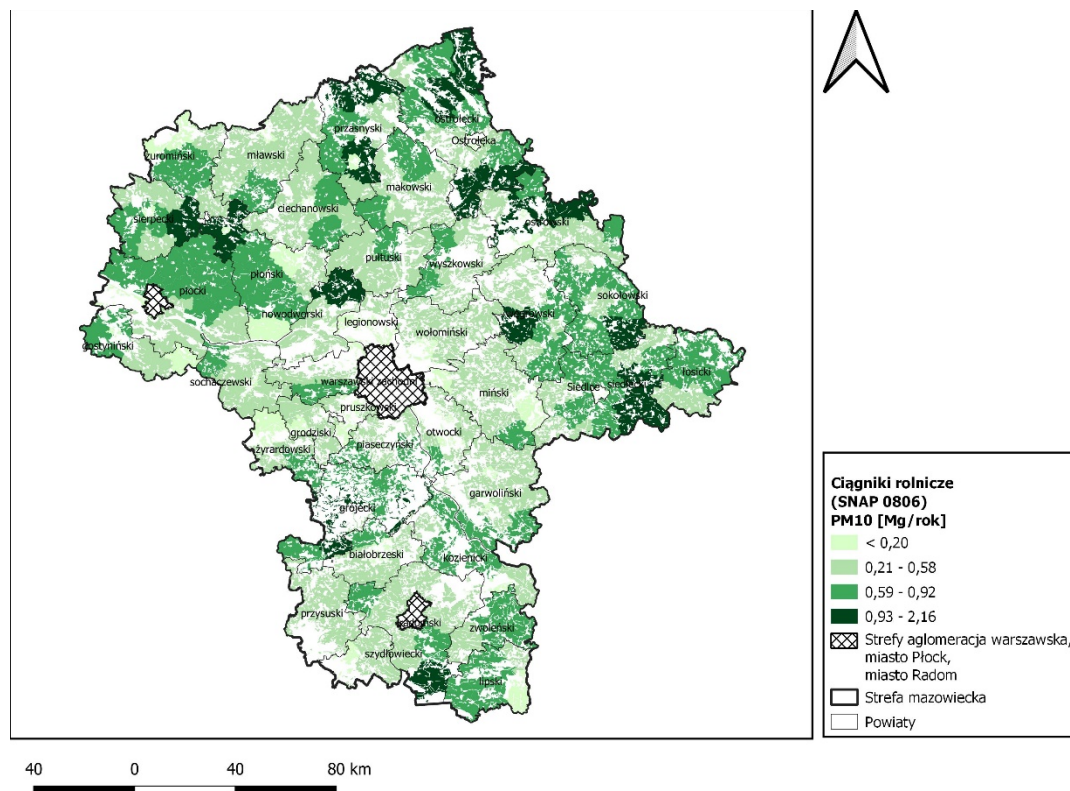
Rysunek 20 Rozmieszczenie oraz ładunki emisji pyłu zawieszono PM10 z transportu kolejowego (SNAP 0802) w strefie mazowieckiej w 2018 roku



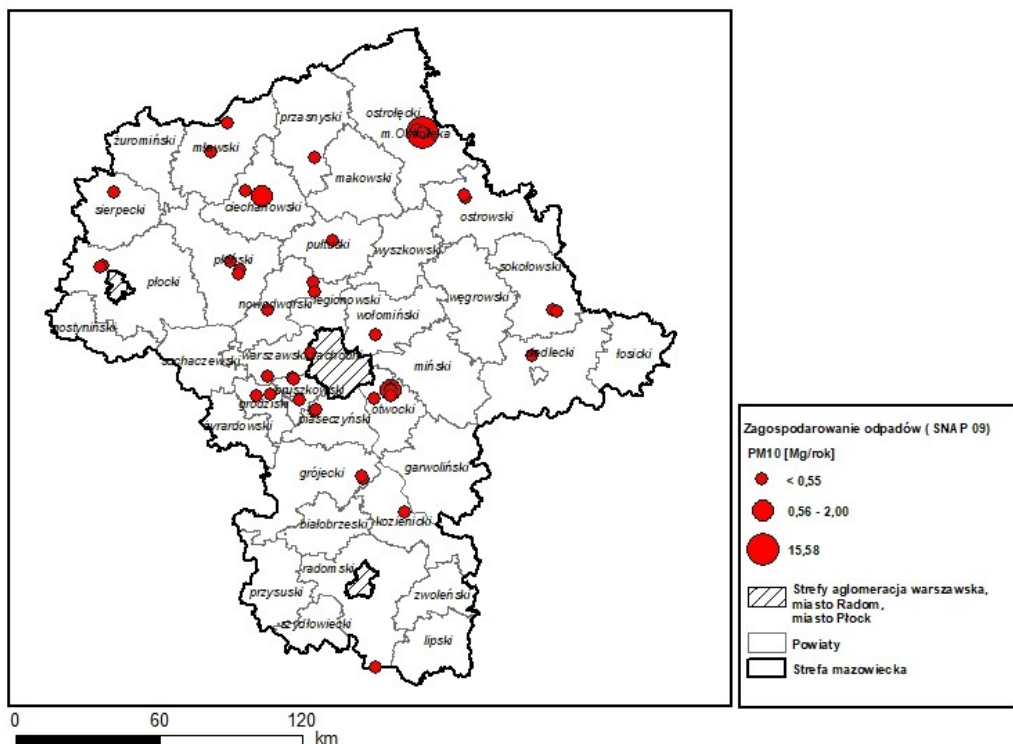
Rysunek 21 Rozmieszczenie oraz ładunki emisji pyłu zawieszono PM10 z transportu kolejowego (SNAP 0802) w strefie mazowieckiej w 2021 roku



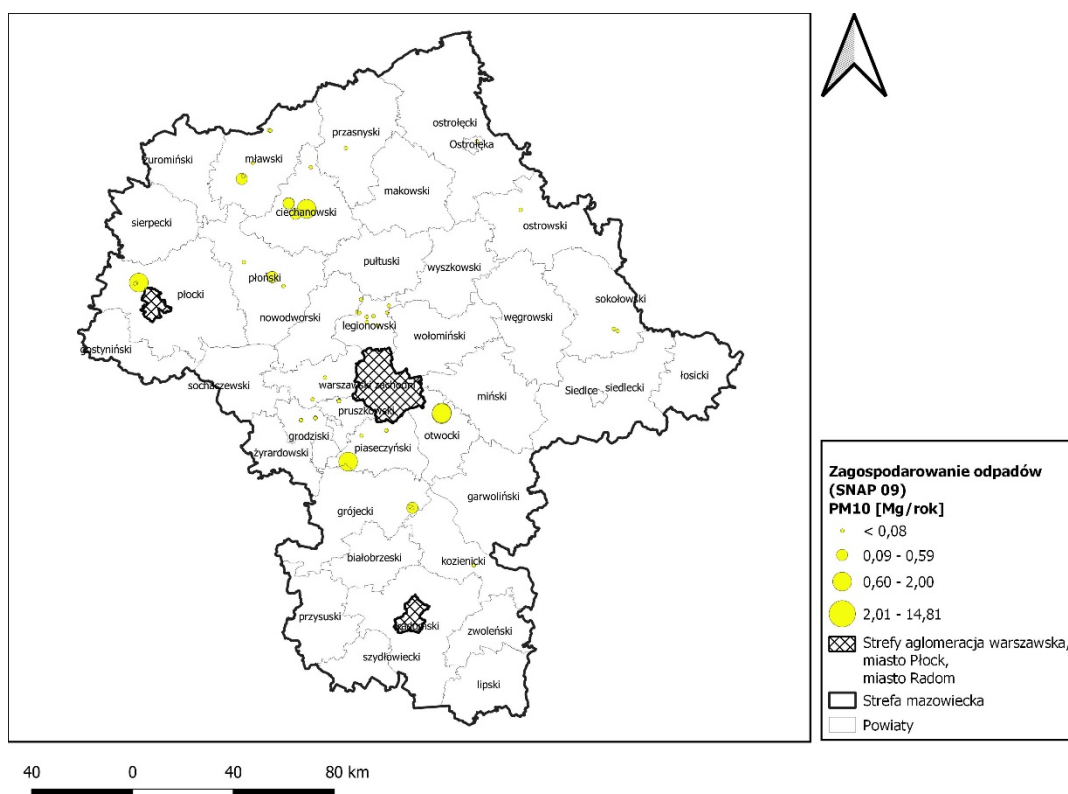
Rysunek 22 Rozmieszczenie oraz ładunki emisji pyłu zawieszono PM10 z ciągników rolniczych (SNAP 0806) w strefie mazowieckiej w 2018 roku



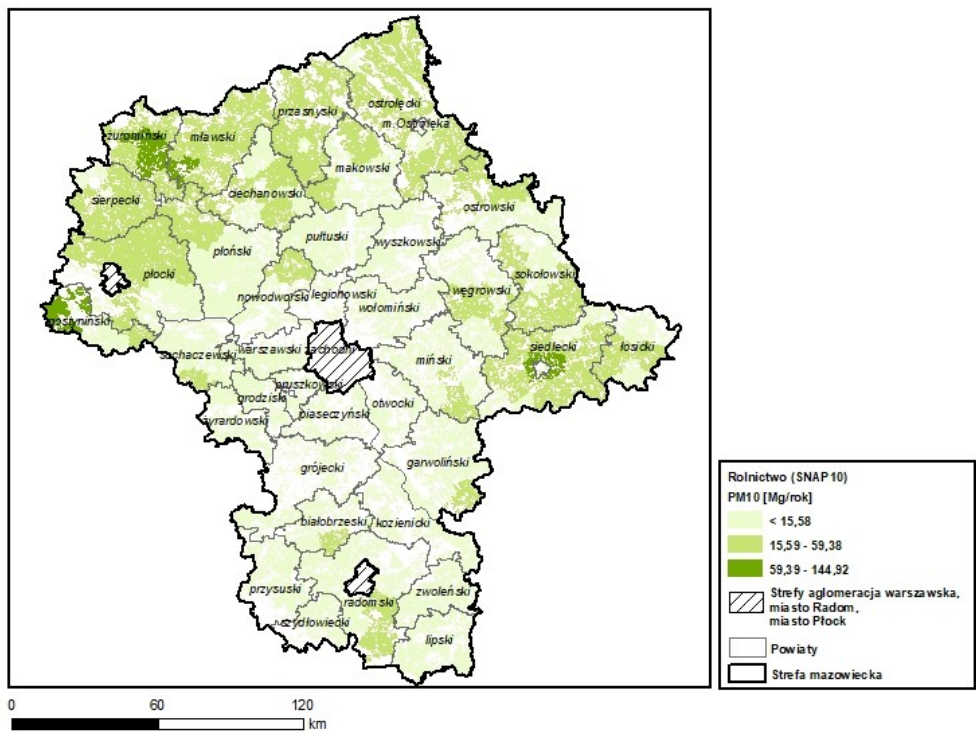
Rysunek 23 Rozmieszczenie oraz ładunki emisji pyłu zawieszono PM10 z ciągników rolniczych (SNAP 0806) w strefie mazowieckiej w 2021 roku



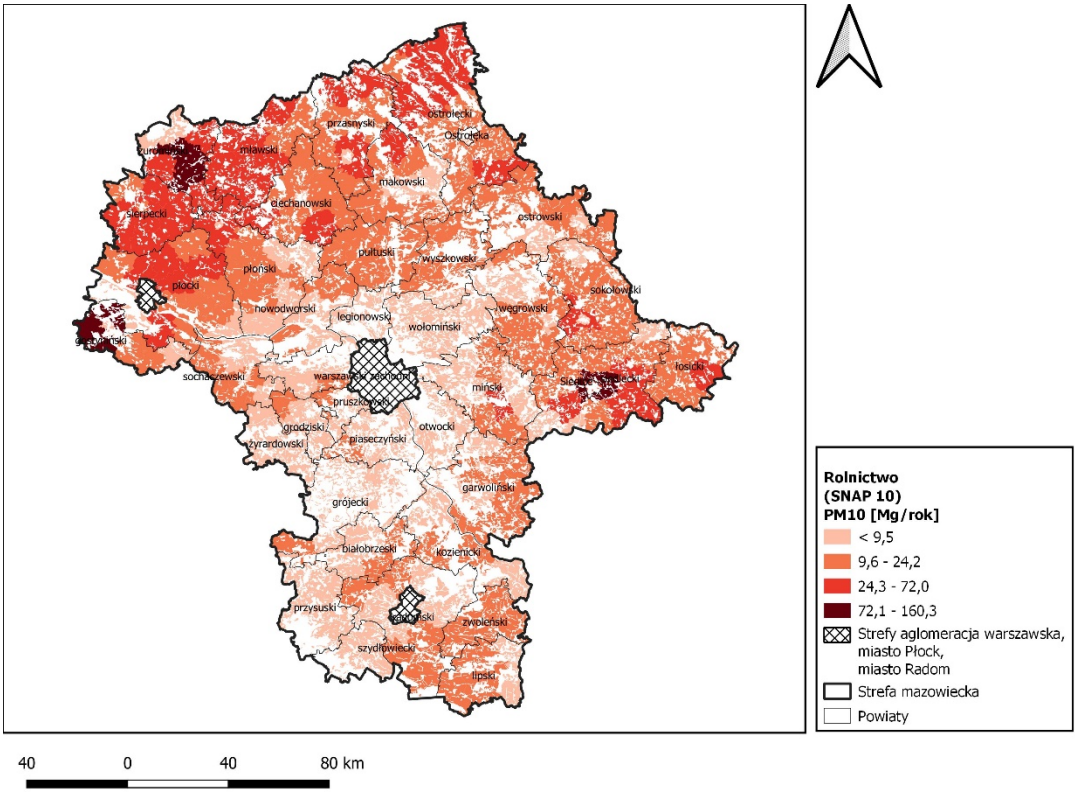
Rysunek 24 Rozmieszczenie oraz ładunki emisji pyłu zawieszonego PM10 z zagospodarowania odpadów (SNAP 09) w strefie mazowieckiej w 2018 roku



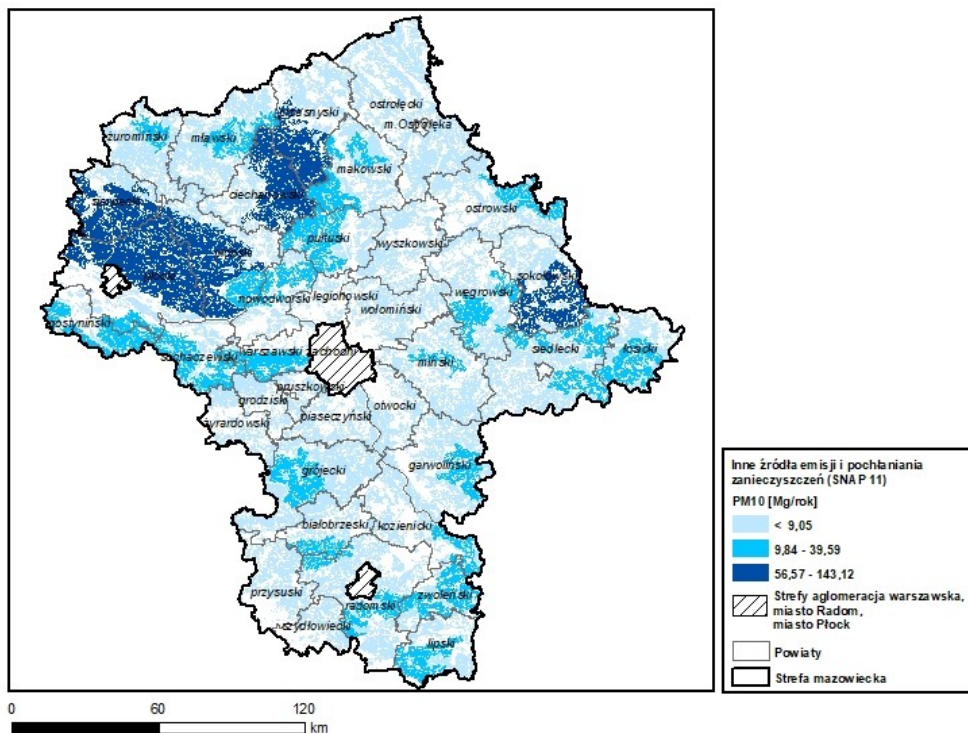
Rysunek 25 Rozmieszczenie oraz ładunki emisji pyłu zawieszonego PM10 z zagospodarowania odpadów (SNAP 09) w strefie mazowieckiej w 2021 roku



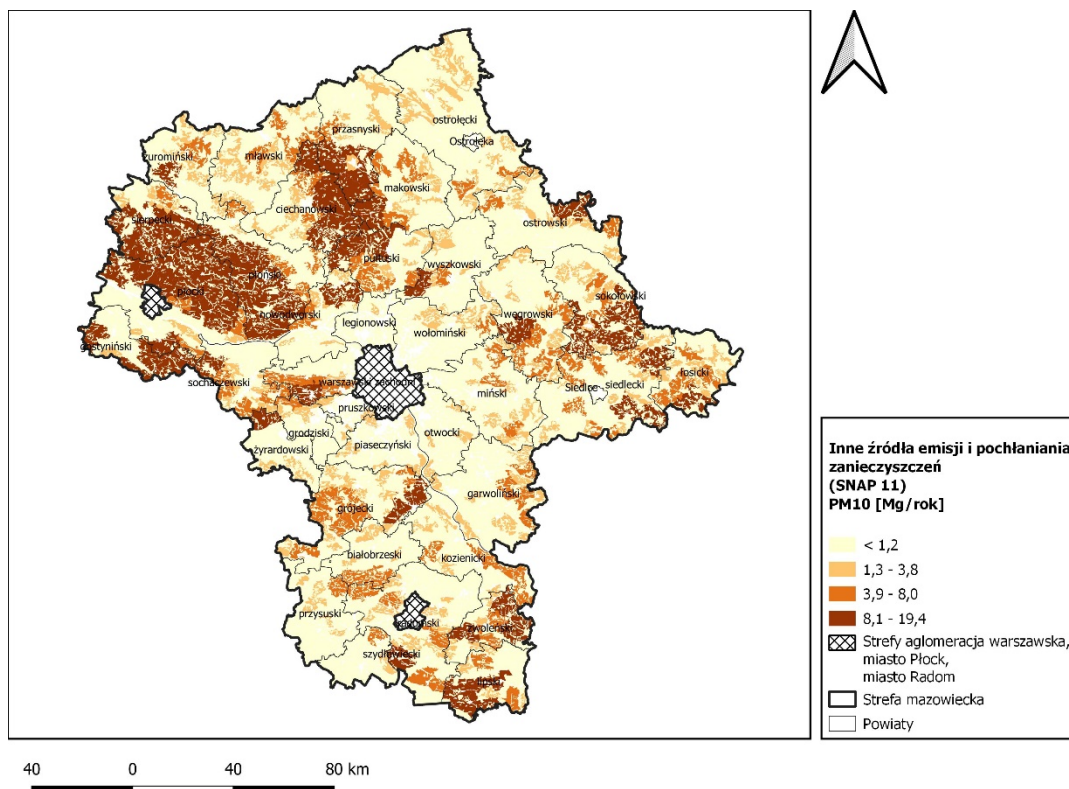
Rysunek 26 Przestrzenny rozkład oraz ładunki emisji pyłu zawieszono PM10 z rolnictwa (SNAP 10) w strefie mazowieckiej w 2018 roku



Rysunek 27 Przestrzenny rozkład oraz ładunki emisji pyłu zawieszono PM10 z rolnictwa (SNAP 10) w strefie mazowieckiej w 2021 roku

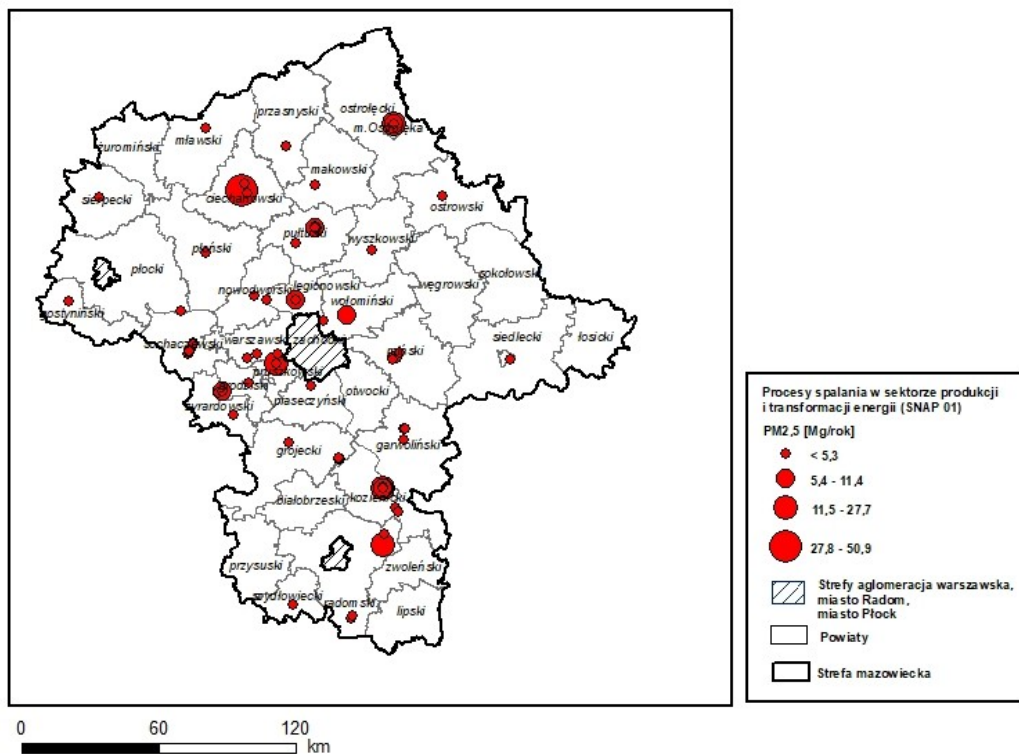


Rysunek 28 Przestrzenny rozkład oraz ładunki emisji pyłu zawieszonego PM10 z innych źródeł emisji i pochłaniania zanieczyszczeń (SNAP 11) w strefie mazowieckiej w 2018 roku

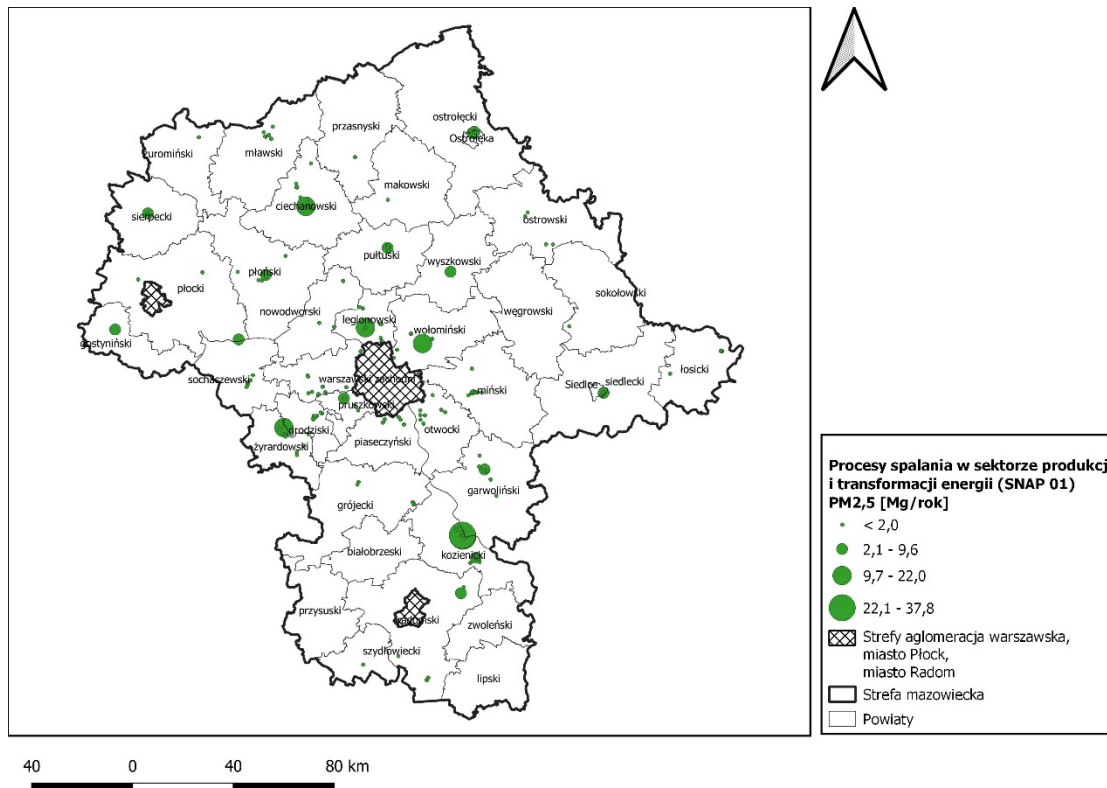


Rysunek 29 Przestrzenny rozkład oraz ładunki emisji pyłu zawieszonego PM10 z innych źródeł emisji i pochłaniania zanieczyszczeń (SNAP 11) w strefie mazowieckiej w 2021 roku

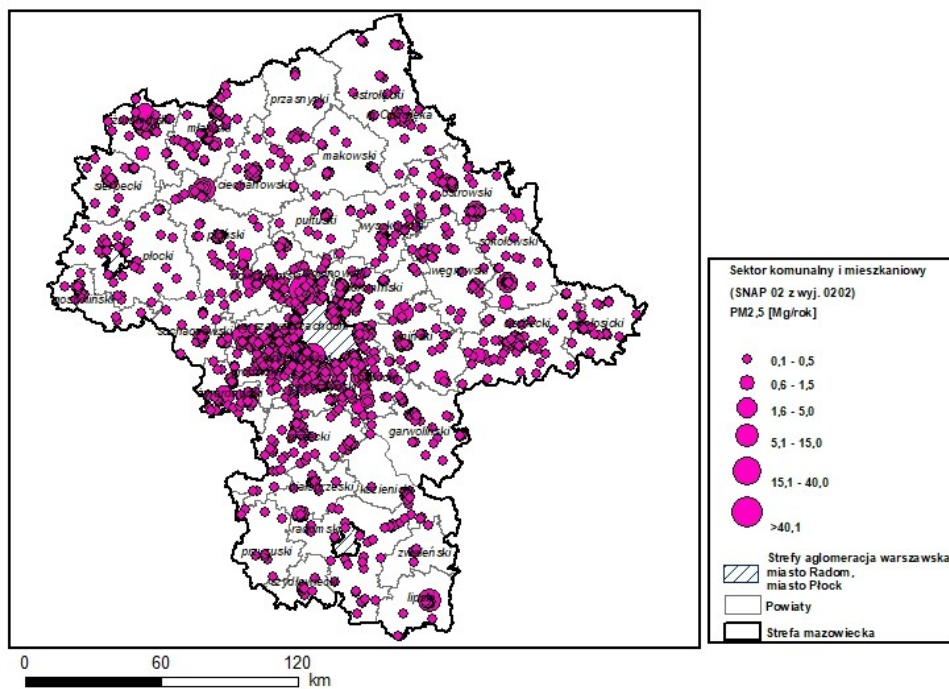
Emisja pyłu zawieszonego PM_{2,5}



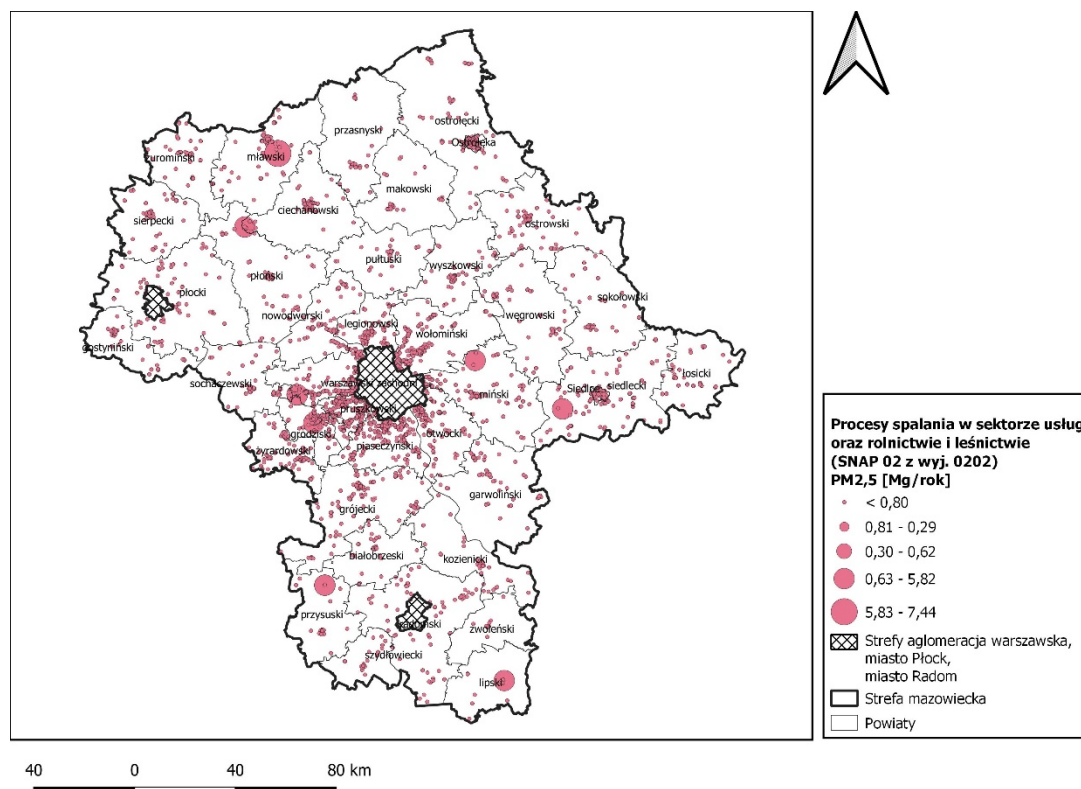
Rysunek 30 Rozmieszczenie oraz ładunki emisji punktowej pyłu zawieszonego PM_{2,5} w sektorze produkcji i transformacji energii (SNAP 01) w strefie mazowieckiej w 2018 roku



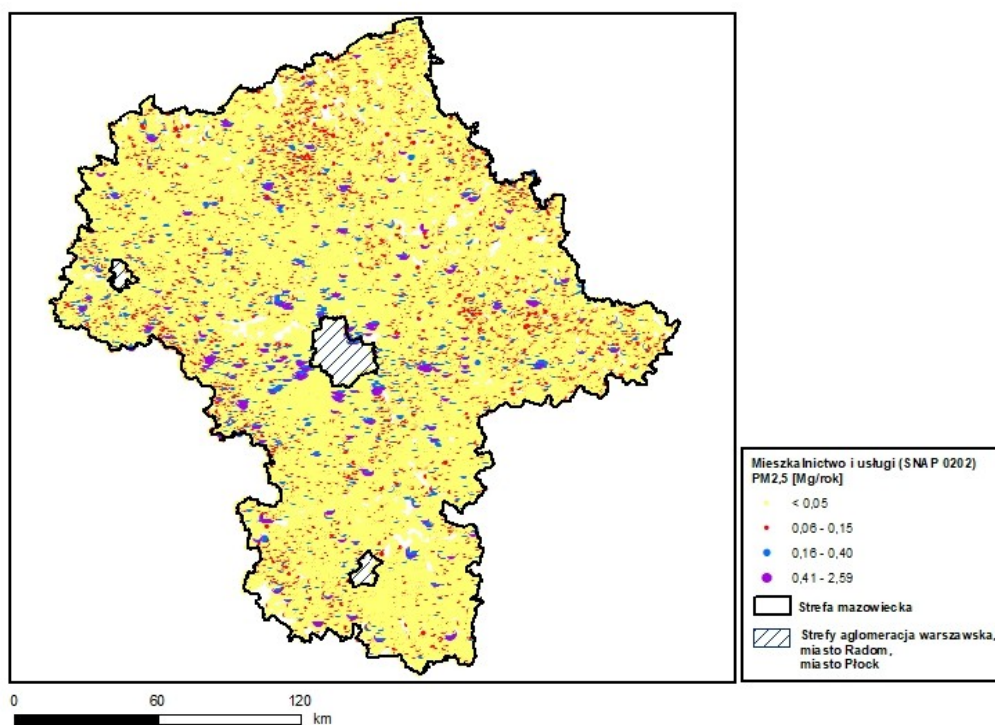
Rysunek 31 Rozmieszczenie oraz ładunki emisji punktowej pyłu zawieszonego PM_{2,5} w sektorze produkcji i transformacji energii (SNAP 01) w strefie mazowieckiej w 2021 roku



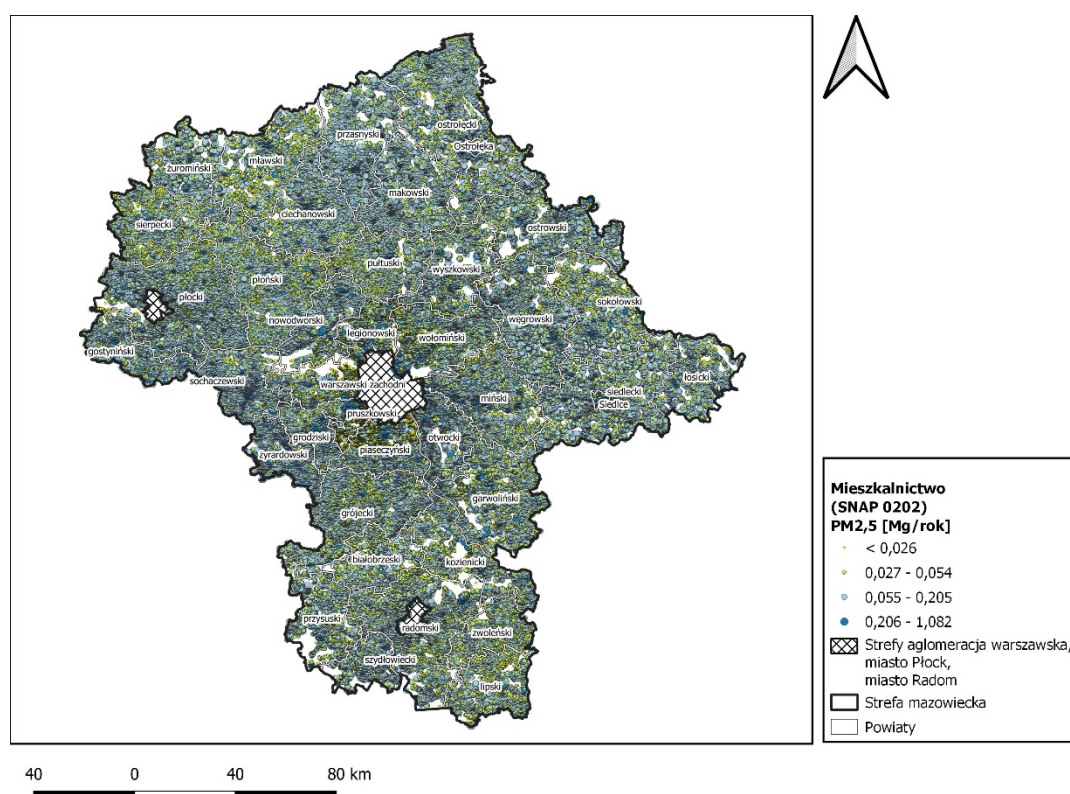
Rysunek 32 Rozmieszczenie oraz ładunki emisji pyłu zawieszzonego PM_{2,5} w sektorze komunalnym i mieszkaniowym (SNAP 02 z wyjątkiem 0202) w strefie mazowieckiej w 2018 roku



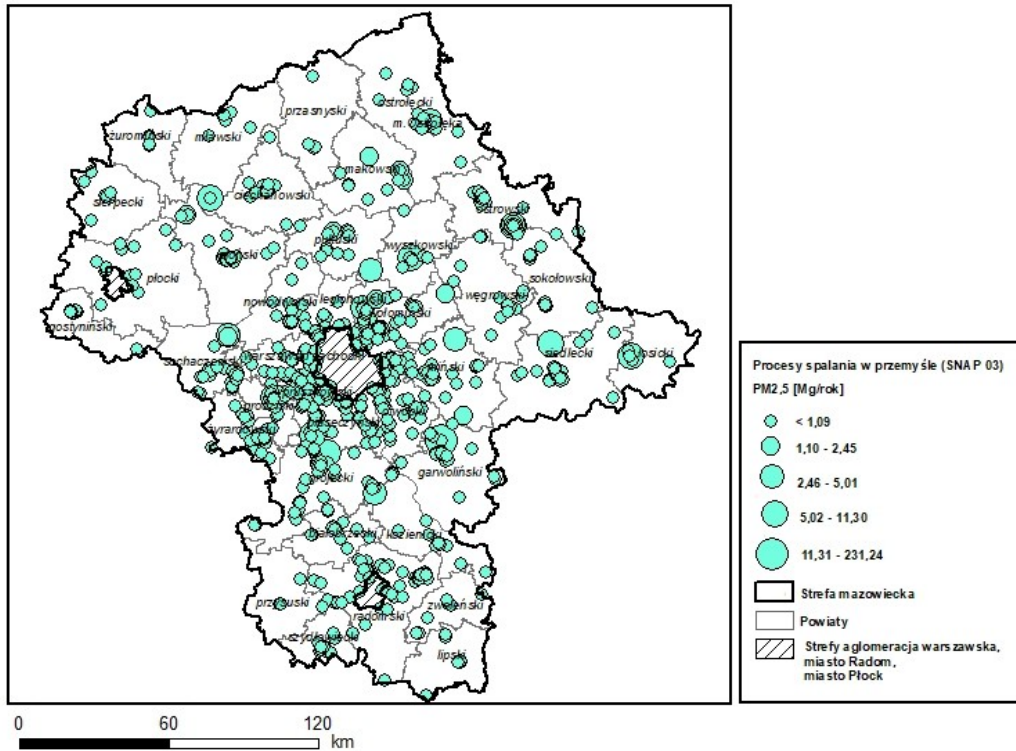
Rysunek 33 Rozmieszczenie oraz ładunki emisji pyłu zawieszzonego PM_{2,5} w sektorze usług oraz rolnictwie i leśnictwie (SNAP 02 z wyjątkiem 0202) w strefie mazowieckiej w 2021 roku



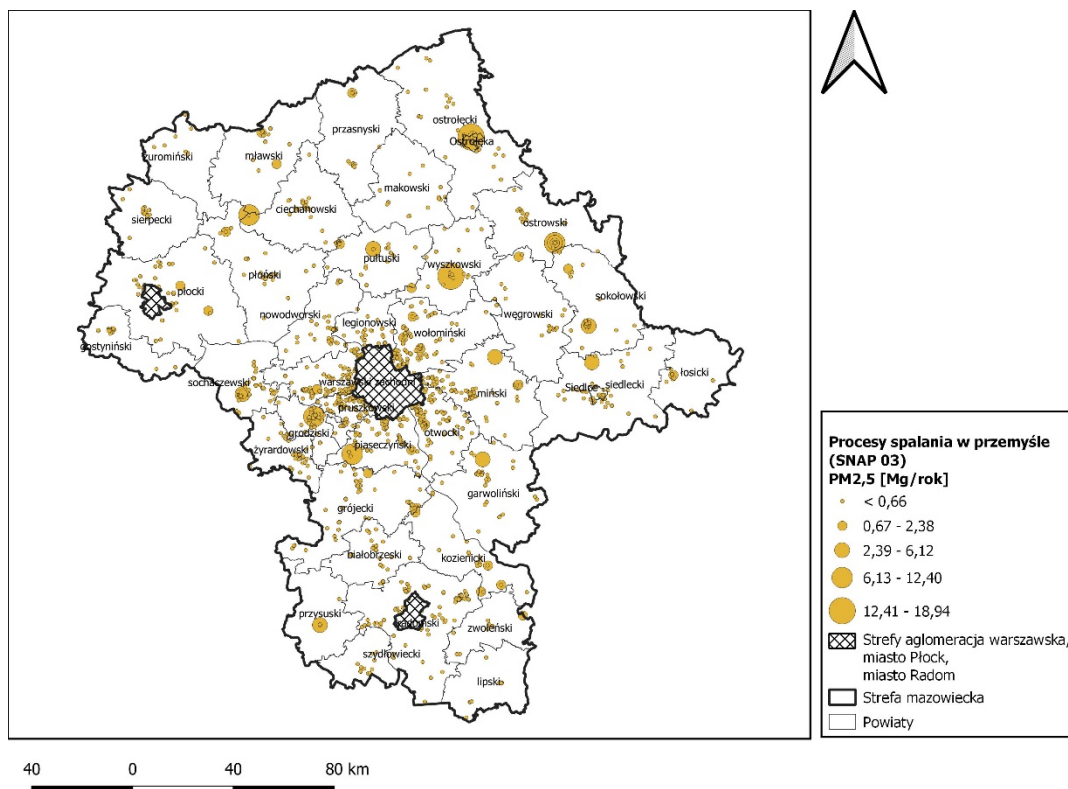
Rysunek 34 Rozmieszczenie oraz ładunki emisji pyłu zawieszzonego PM_{2,5} w sektorze mieszkalnictwa i usług (SNAP 0202) w strefie mazowieckiej w 2018 roku



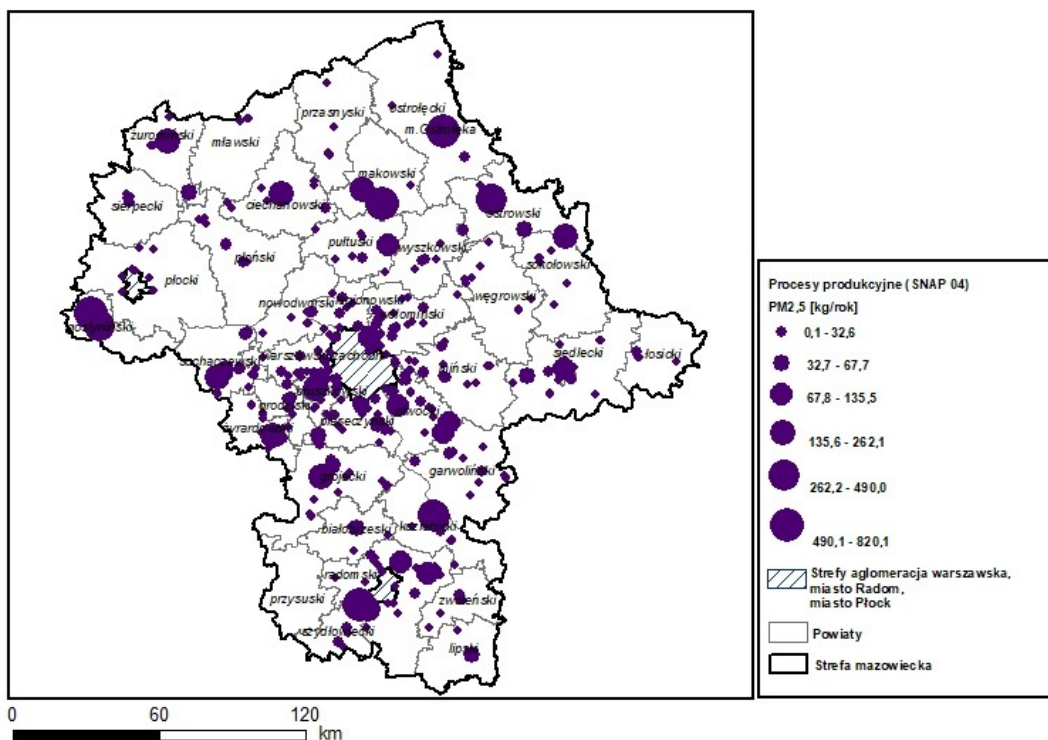
Rysunek 35 Rozmieszczenie oraz ładunki emisji pyłu zawieszzonego PM_{2,5} w sektorze mieszkalnictwa (SNAP 0202) w strefie mazowieckiej w 2021 roku



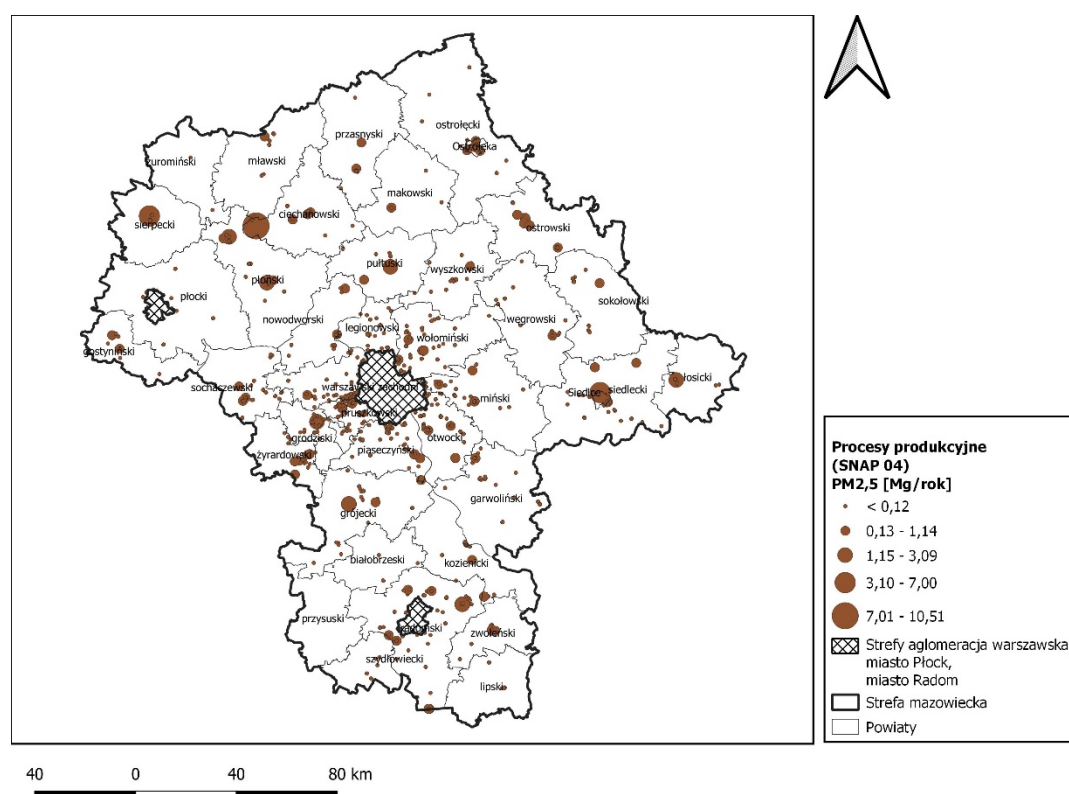
Rysunek 36 Rozmieszczenie oraz ładunki emisji pyłu zawieszzonego PM_{2,5} z procesów spalania paliw (SNAP 03) w strefie mazowieckiej w 2018 roku



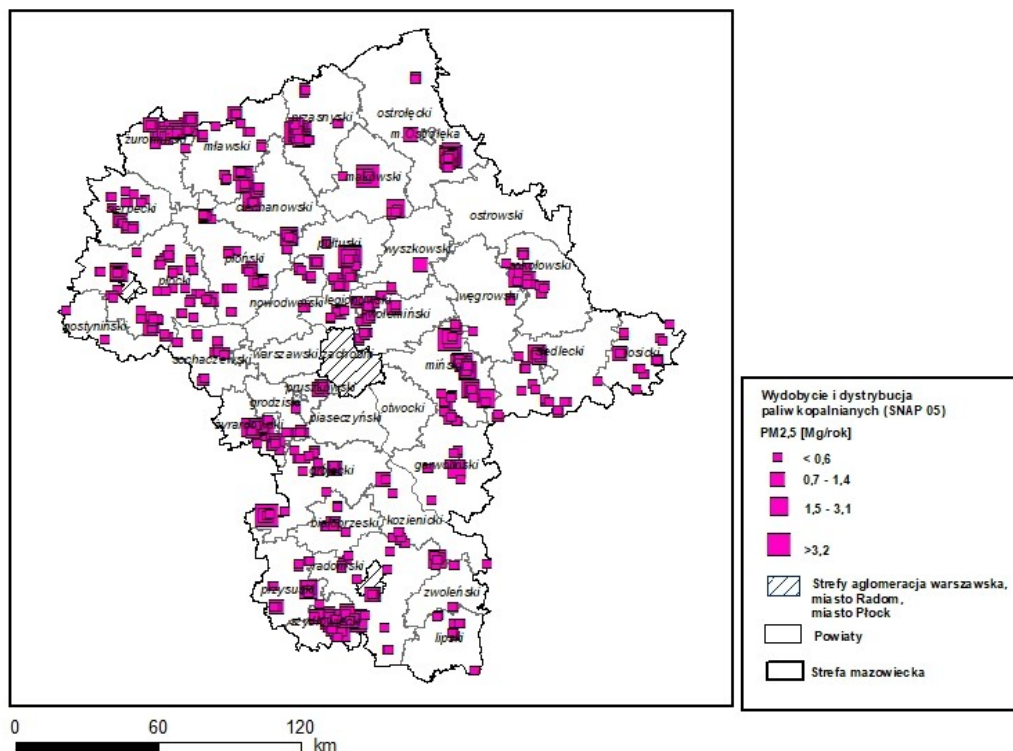
Rysunek 37 Rozmieszczenie oraz ładunki emisji pyłu zawieszzonego PM_{2,5} z procesów spalania paliw (SNAP 03) w strefie mazowieckiej w 2021 roku



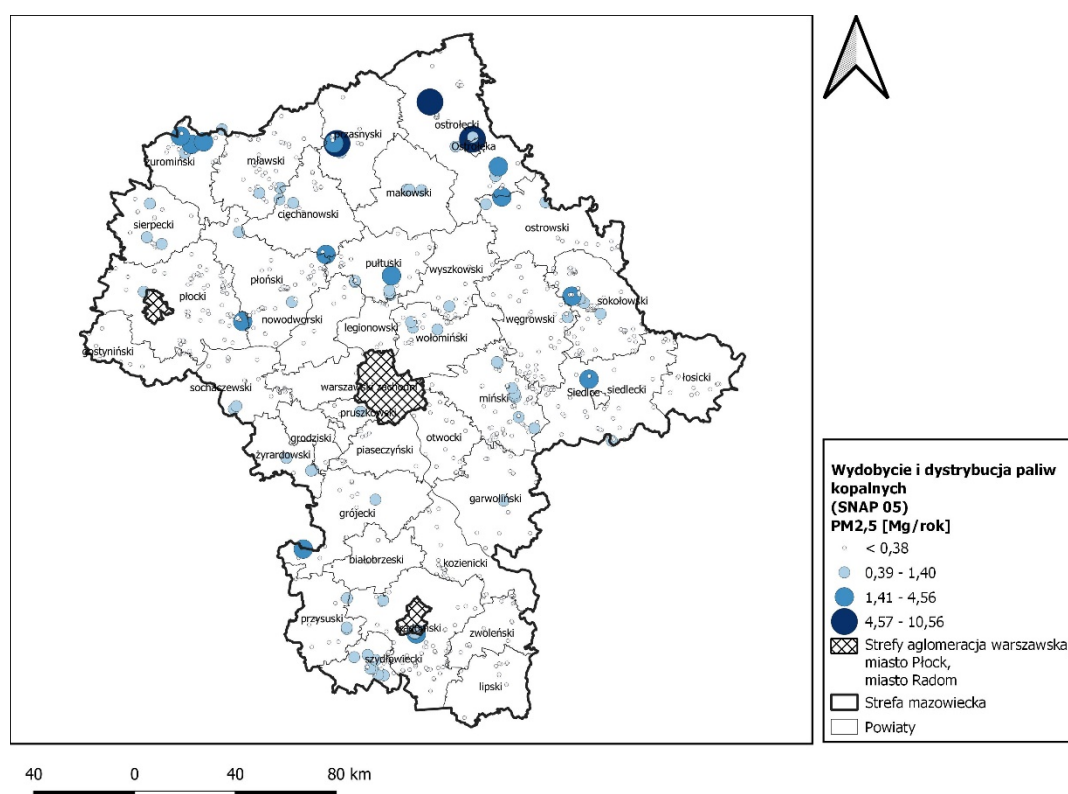
Rysunek 38 Rozmieszczenie oraz ładunki emisji pyłu zawieszonego PM_{2,5} z procesów produkcyjnych (SNAP 04) w strefie mazowieckiej w 2018 roku



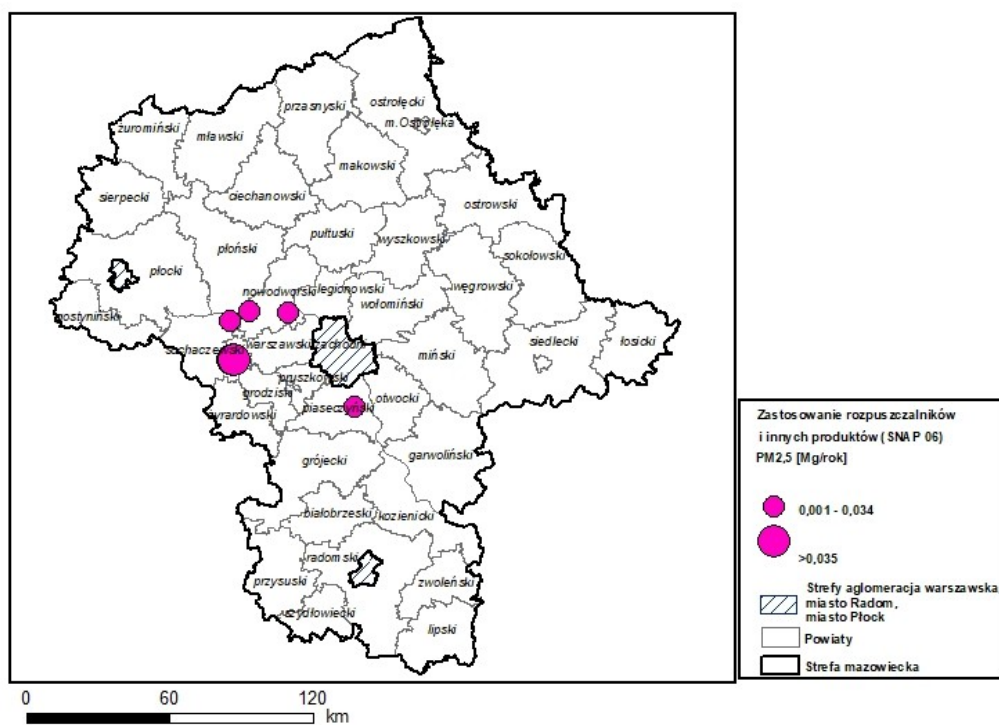
Rysunek 39 Rozmieszczenie oraz ładunki emisji pyłu zawieszonego PM_{2,5} z procesów produkcyjnych (SNAP 04) w strefie mazowieckiej w 2021 roku



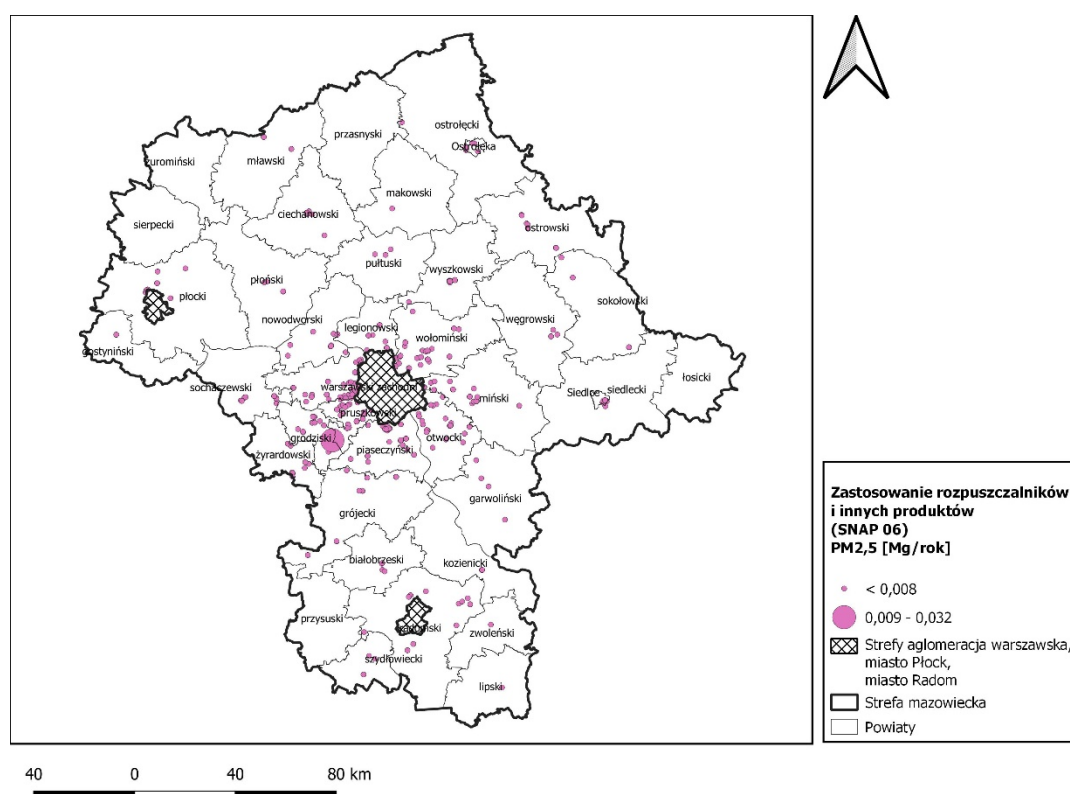
Rysunek 40 Rozmieszczenie oraz ładunki emisji pyłu zawieszonego PM2,5 z wydobycia i dystrybucji paliw kopalnych (SNAP 05) w strefie mazowieckiej w 2018 roku



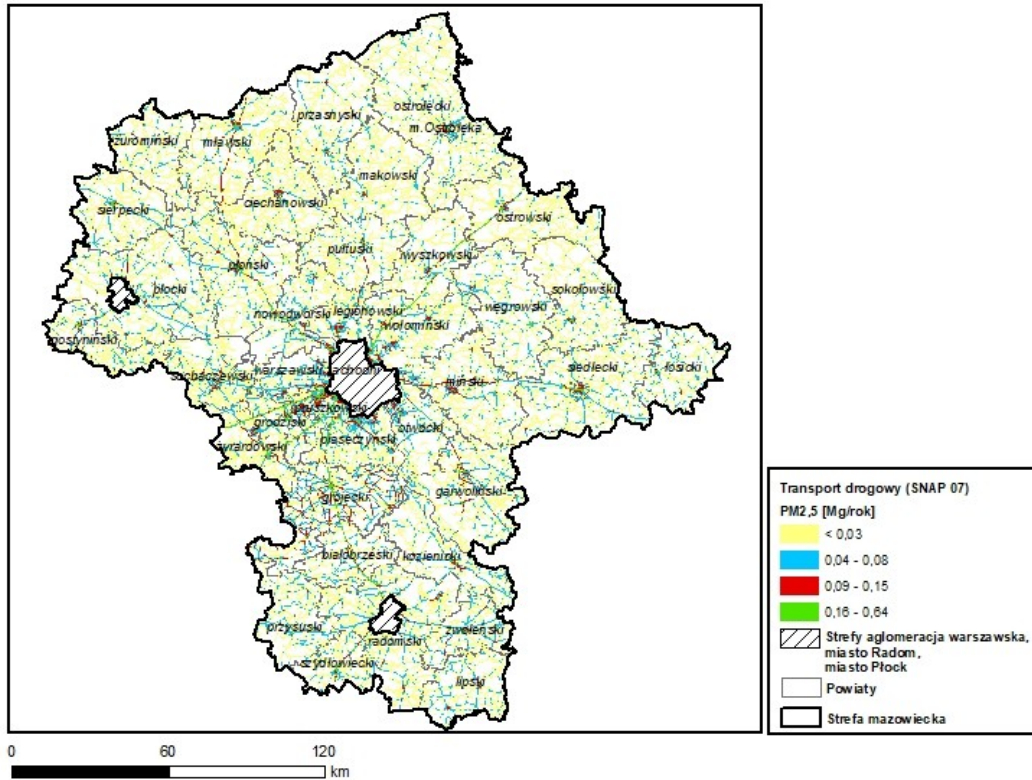
Rysunek 41 Rozmieszczenie oraz ładunki emisji pyłu zawieszonego PM2,5 z wydobycia i dystrybucji paliw kopalnych (SNAP 05) w strefie mazowieckiej w 2021 roku



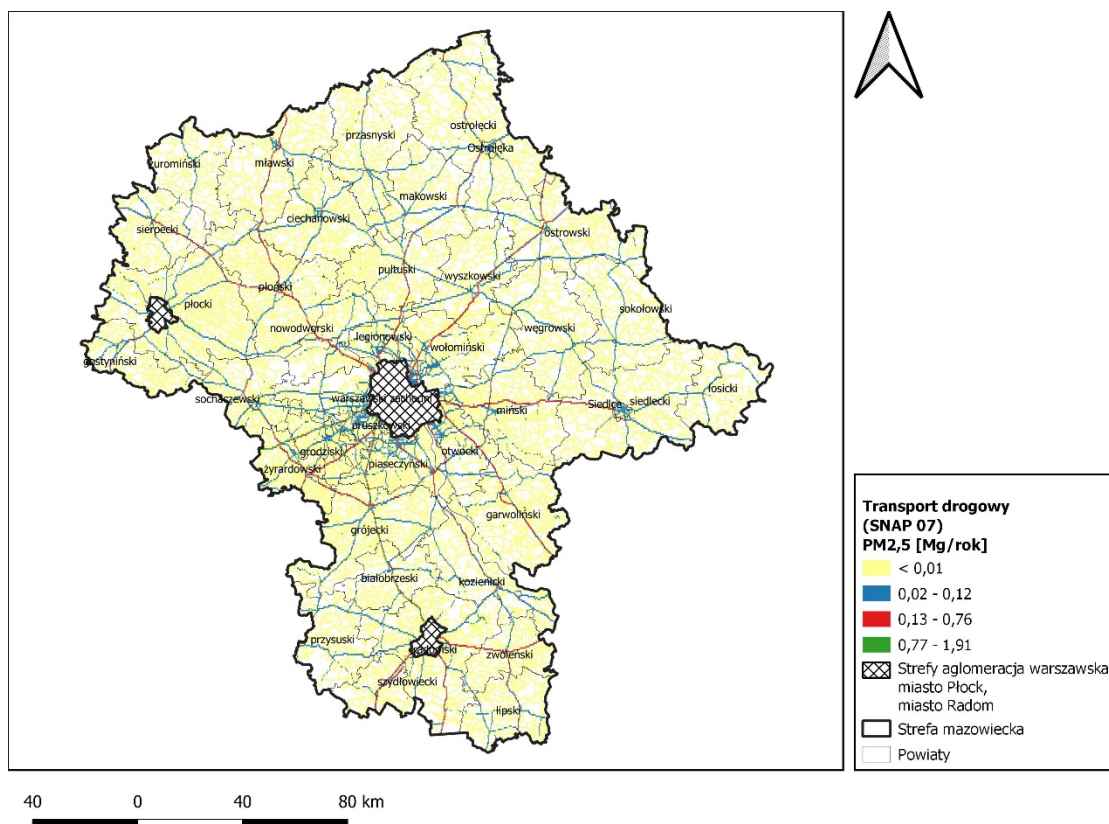
Rysunek 42 Rozmieszczenie oraz ładunki emisji pyłu zawieszonego PM2,5 z zastosowania rozpuszczalników i innych produktów (SNAP 06) w strefie mazowieckiej w 2018 roku



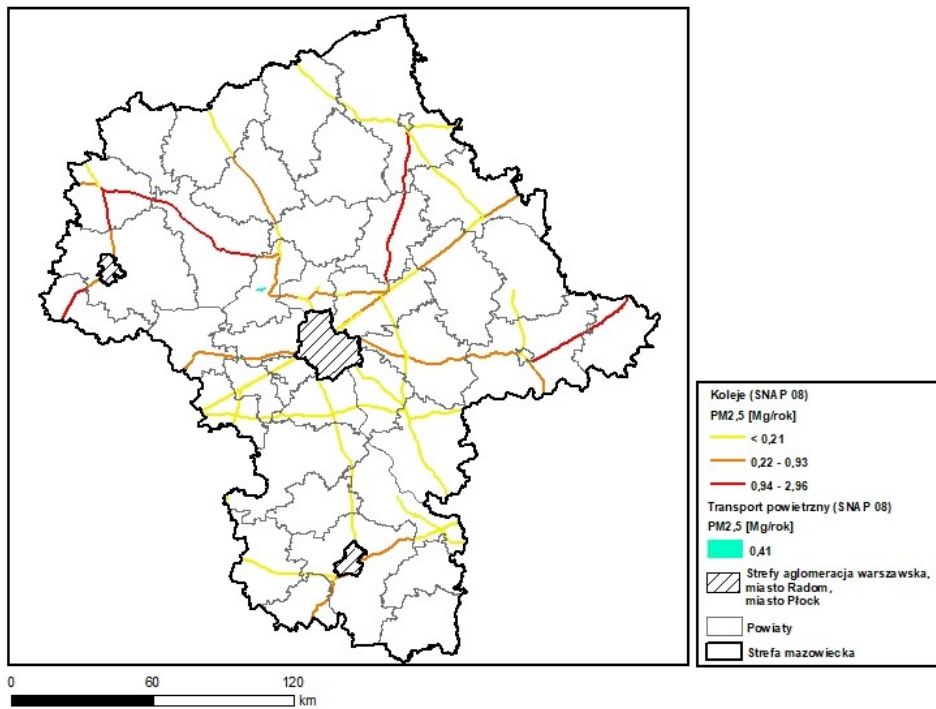
Rysunek 43 Rozmieszczenie oraz ładunki emisji pyłu zawieszonego PM2,5 z zastosowania rozpuszczalników i innych produktów (SNAP 06) w strefie mazowieckiej w 2021 roku



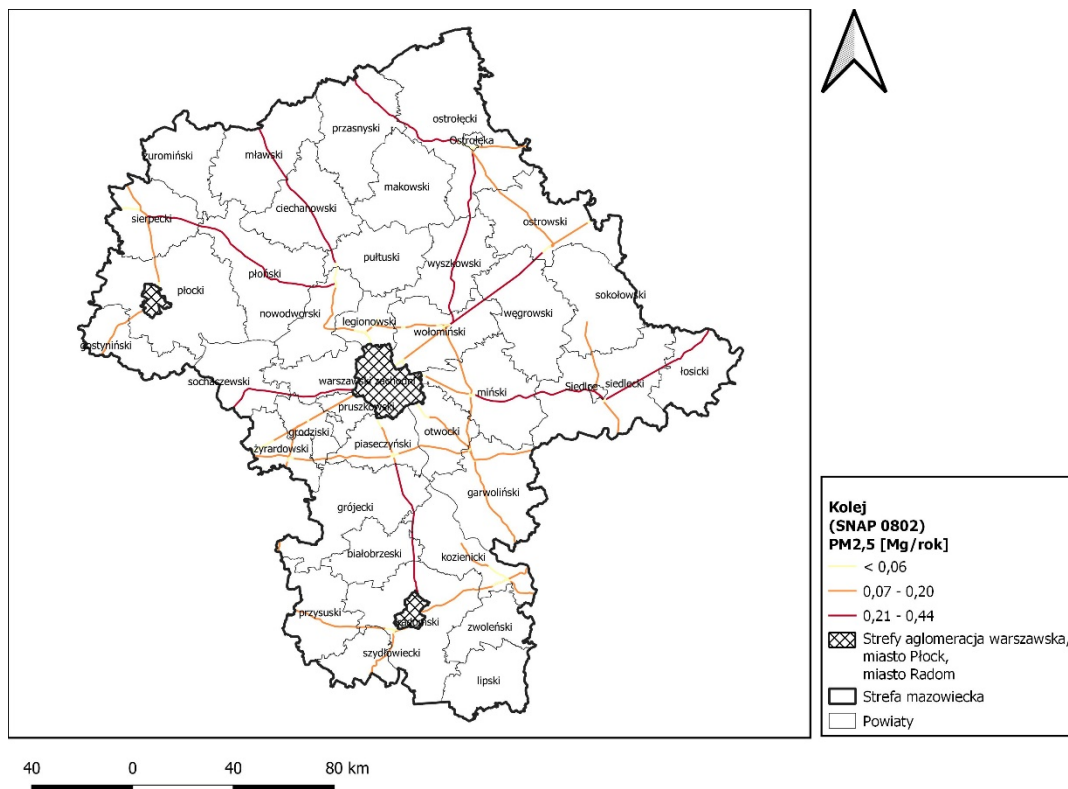
Rysunek 44 Rozmieszczenie oraz ładunki emisji pyłu zawieszonego PM_{2,5} z transportu drogowego (SNAP 07) w strefie mazowieckiej w 2018 roku



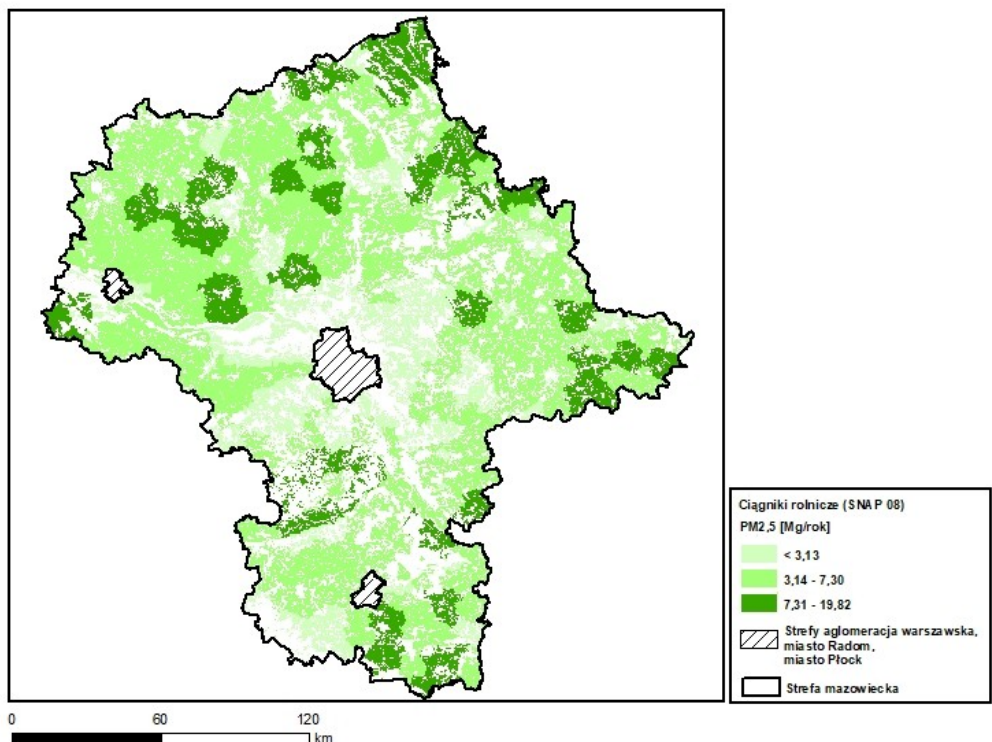
Rysunek 45 Rozmieszczenie oraz ładunki emisji pyłu zawieszonego PM_{2,5} z transportu drogowego (SNAP 07) w strefie mazowieckiej w 2021 roku



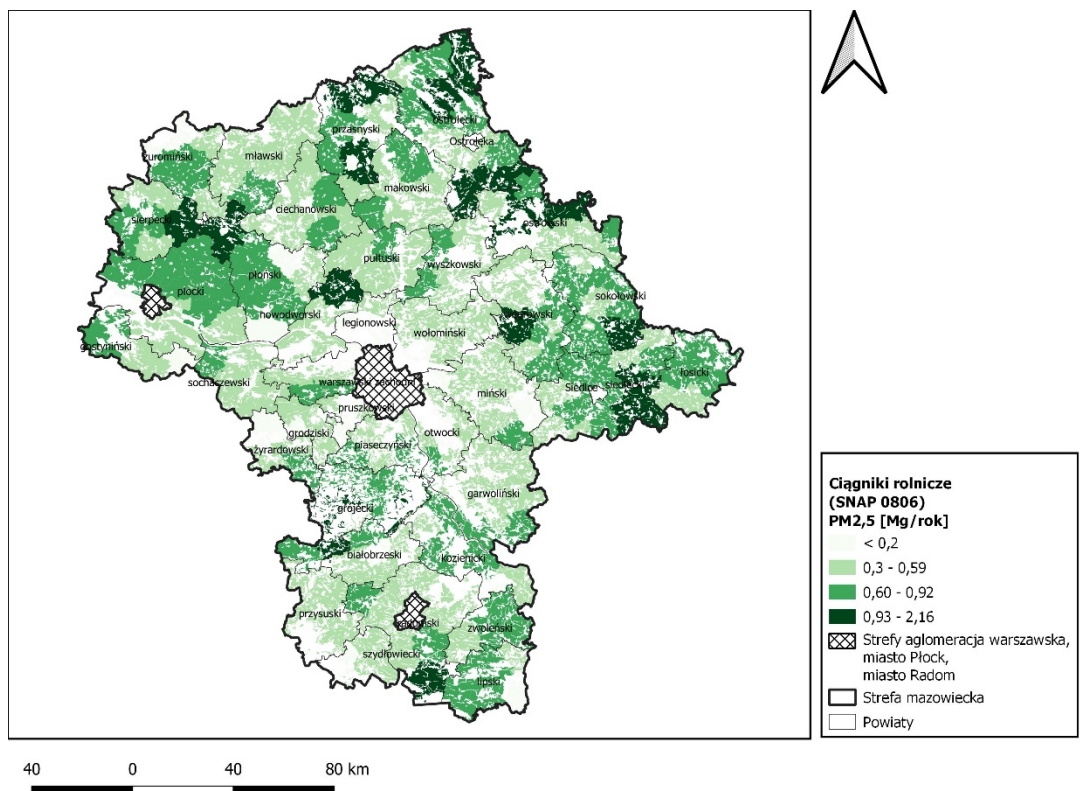
Rysunek 46 Rozmieszczenie oraz ładunki emisji pyłu zawieszonego PM2,5 z transportu kolejowego (SNAP 0802) w strefie mazowieckiej w 2018 roku



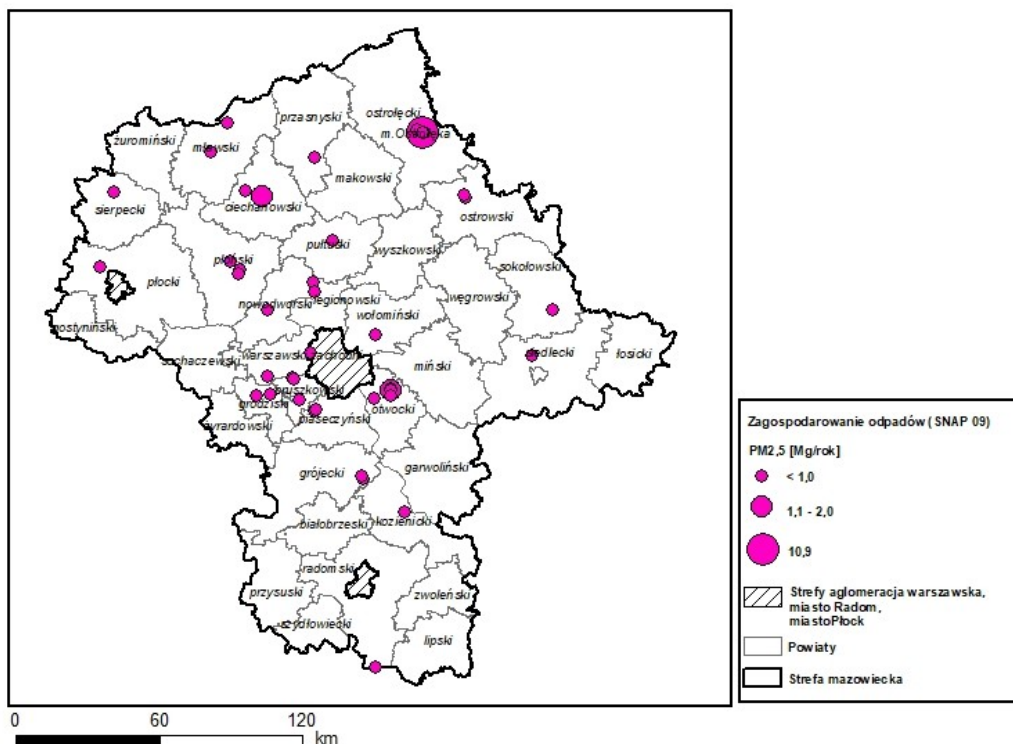
Rysunek 47 Rozmieszczenie oraz ładunki emisji pyłu zawieszonego PM2,5 z transportu kolejowego (SNAP 0802) w strefie mazowieckiej w 2021 roku



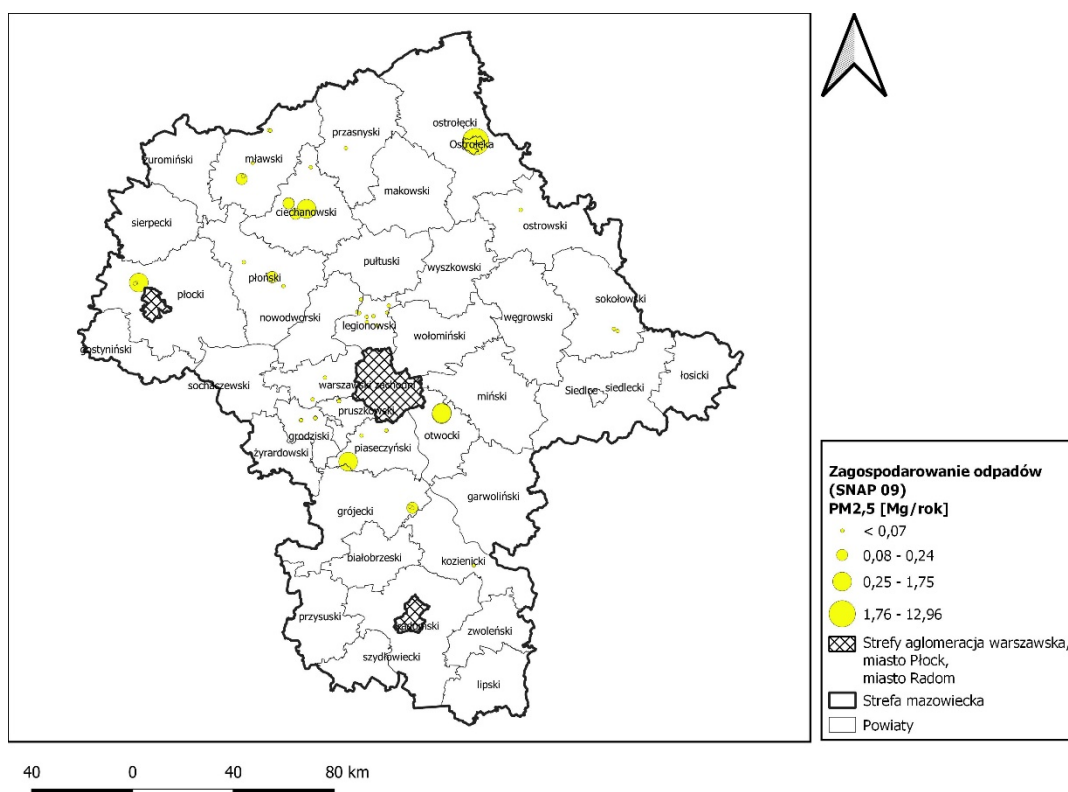
Rysunek 48 Rozmieszczenie oraz ładunki emisji pyłu zawieszonego PM2,5 z ciągników rolniczych (SNAP 0806) w strefie mazowieckiej w 2018 roku



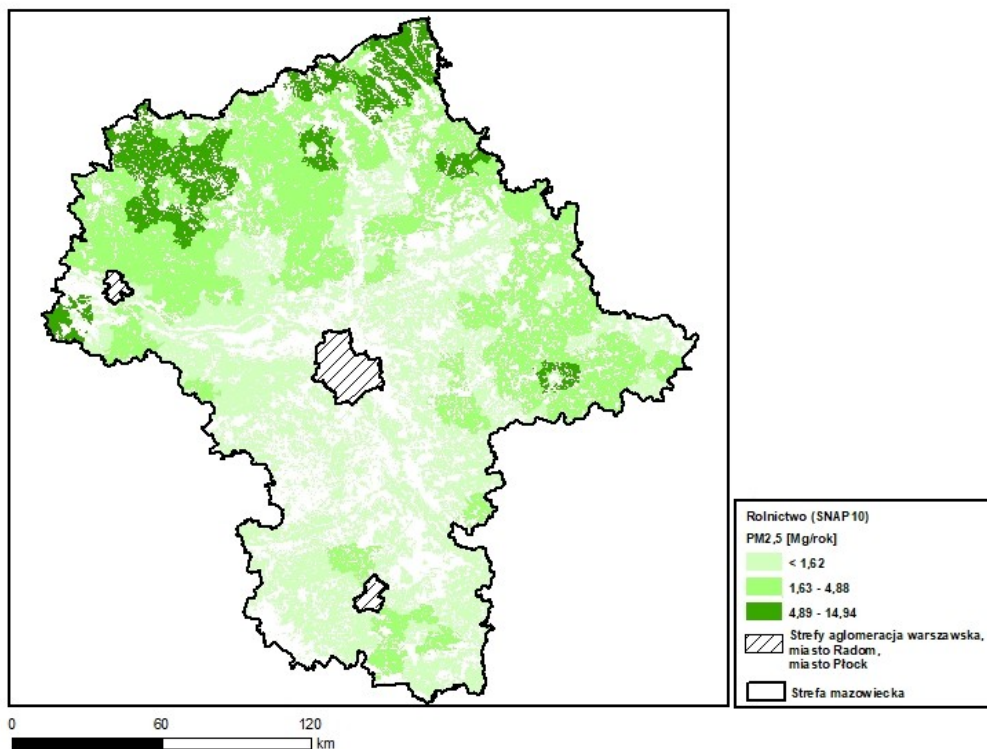
Rysunek 49 Rozmieszczenie oraz ładunki emisji pyłu zawieszonego PM2,5 z ciągników rolniczych (SNAP 0806) w strefie mazowieckiej w 2021 roku



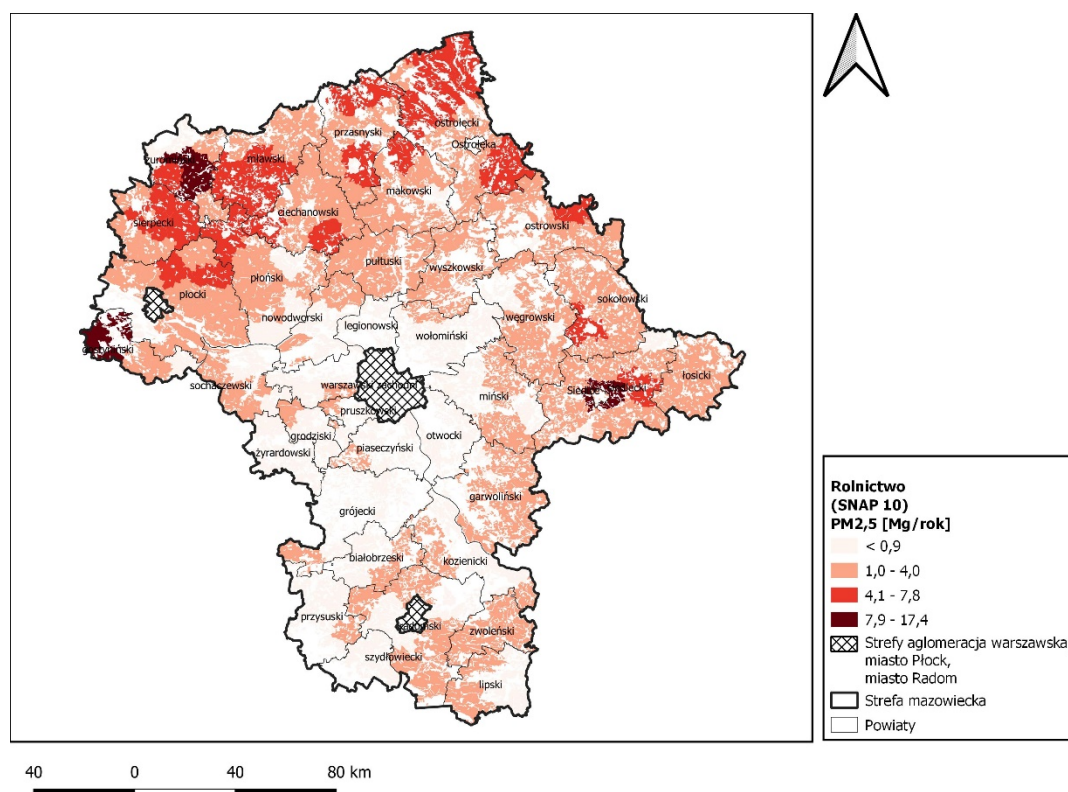
Rysunek 50 Rozmieszczenie oraz ładunki emisji pyłu zawieszonego PM2,5 z zagospodarowania odpadów (SNAP 09) w strefie mazowieckiej w 2018 roku



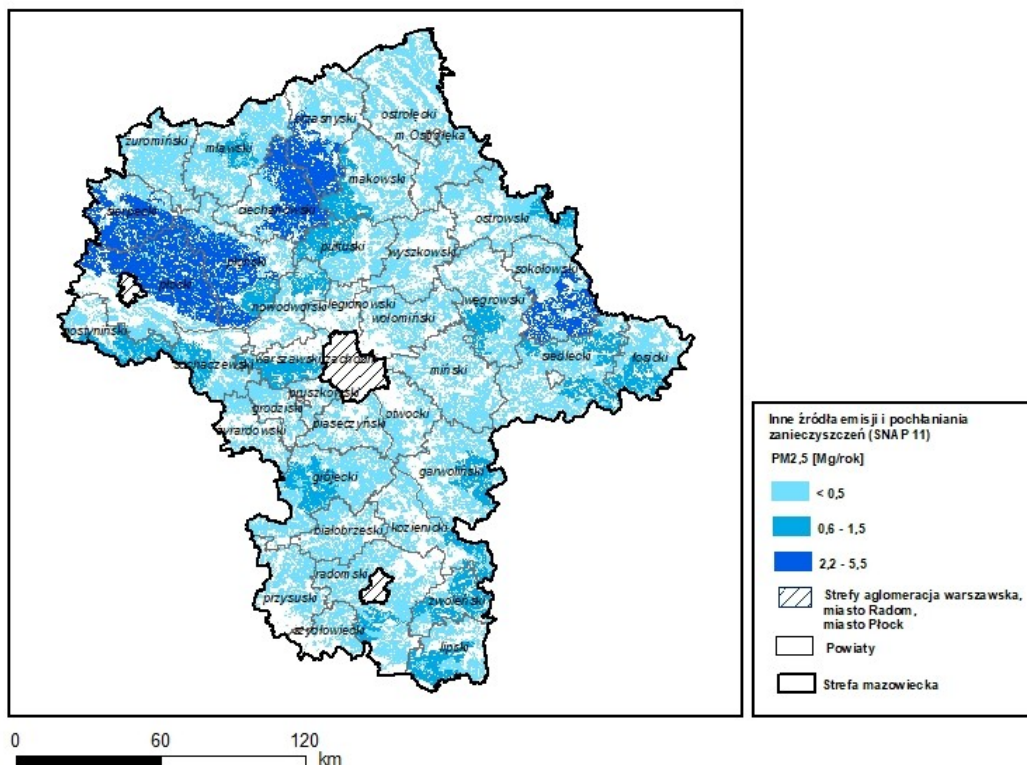
Rysunek 51 Rozmieszczenie oraz ładunki emisji pyłu zawieszonego PM2,5 z zagospodarowania odpadów (SNAP 09) w strefie mazowieckiej w 2021 roku



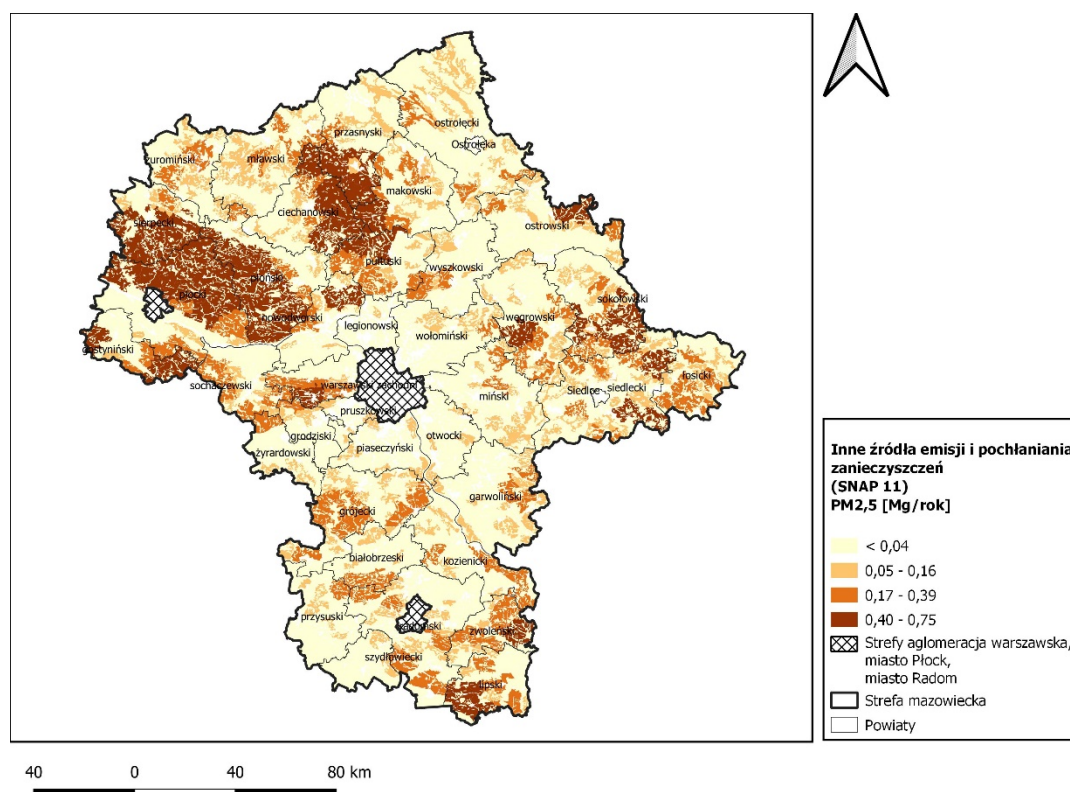
Rysunek 52 Przestrzenny rozkład oraz ładunki emisji pyłu zawieszonego PM_{2,5} z rolnictwa (SNAP 10) w strefie mazowieckiej w 2018 roku



Rysunek 53 Przestrzenny rozkład oraz ładunki emisji pyłu zawieszonego PM_{2,5} z rolnictwa (SNAP 10) w strefie mazowieckiej w 2021 roku

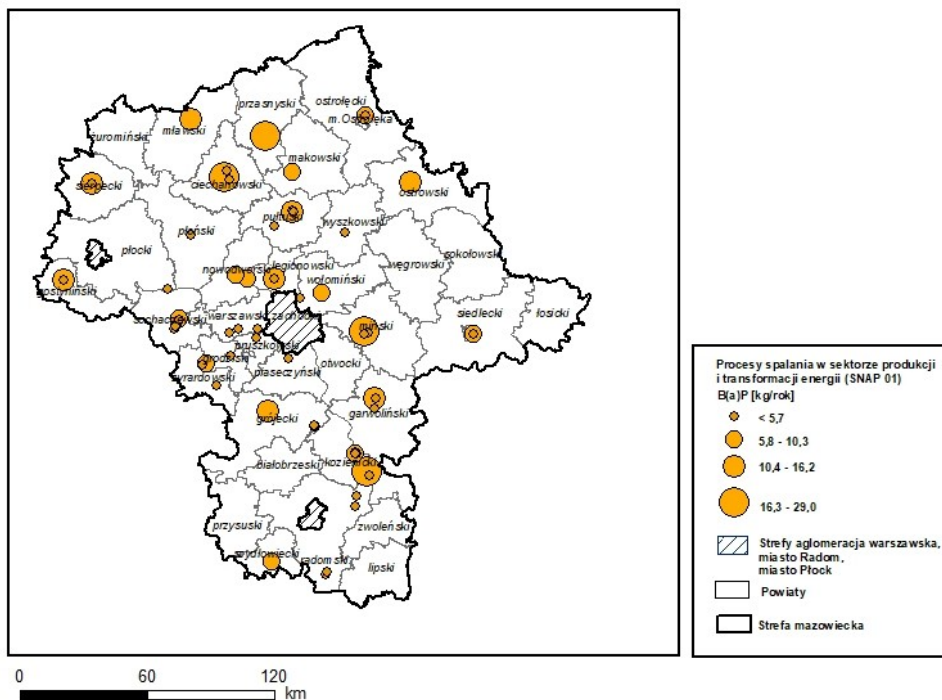


Rysunek 54 Przestrzenny rozkład oraz ładunki emisji pyłu zawieszonego PM_{2,5} z innych źródeł emisji i pochłaniania zanieczyszczeń (SNAP 11) w strefie mazowieckiej w 2018 roku

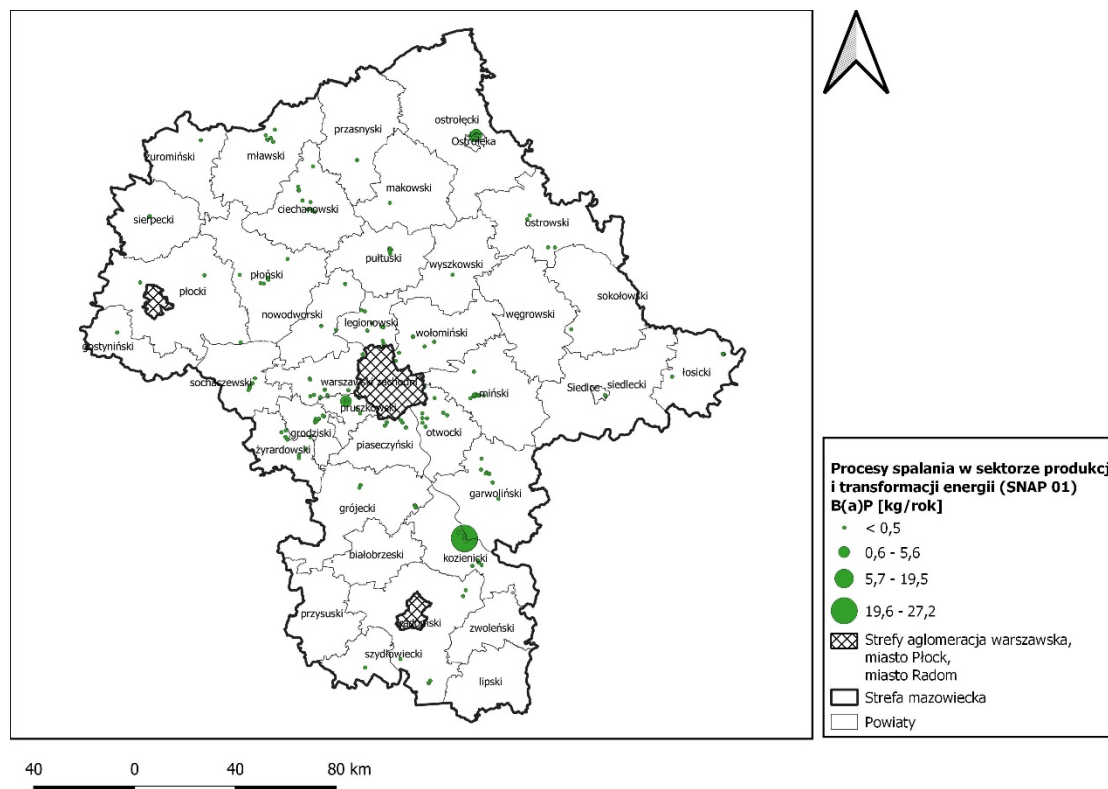


Rysunek 55 Przestrzenny rozkład oraz ładunki emisji pyłu zawieszonego PM_{2,5} z innych źródeł emisji i pochłaniania zanieczyszczeń (SNAP 11) w strefie mazowieckiej w 2021 roku

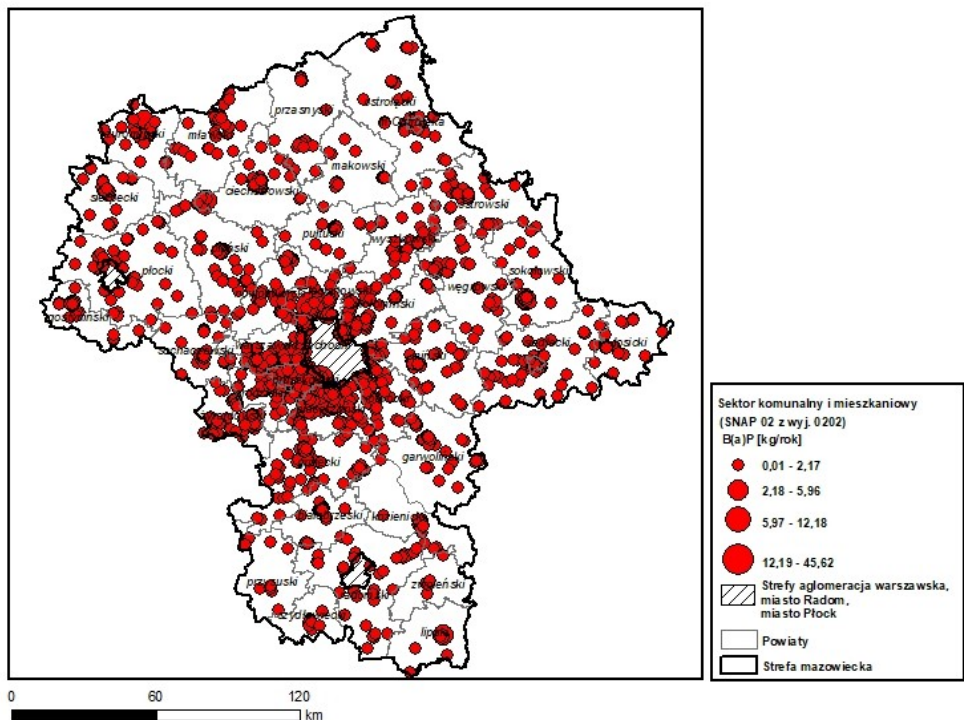
Emisja benzo(a)pirenu



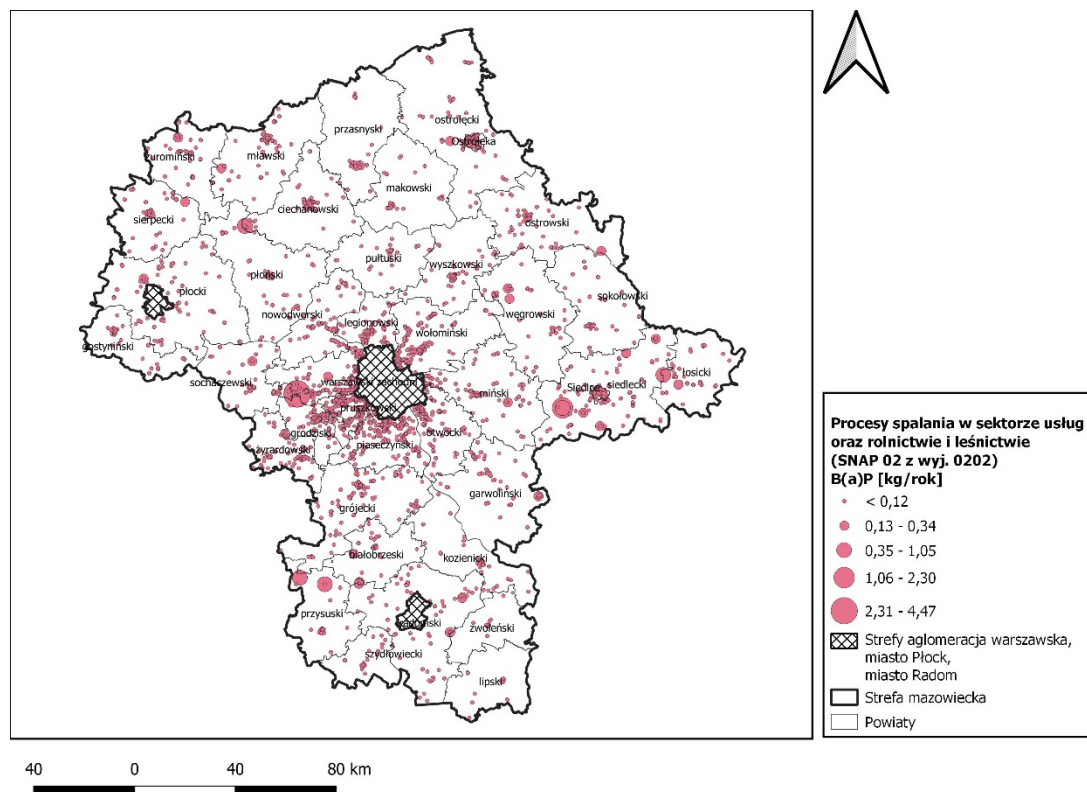
Rysunek 56 Rozmieszczenie oraz ładunki emisji benzo(a)pirenu w sektorze produkcji i transformacji energii (SNAP 01) w strefie mazowieckiej w 2018 roku



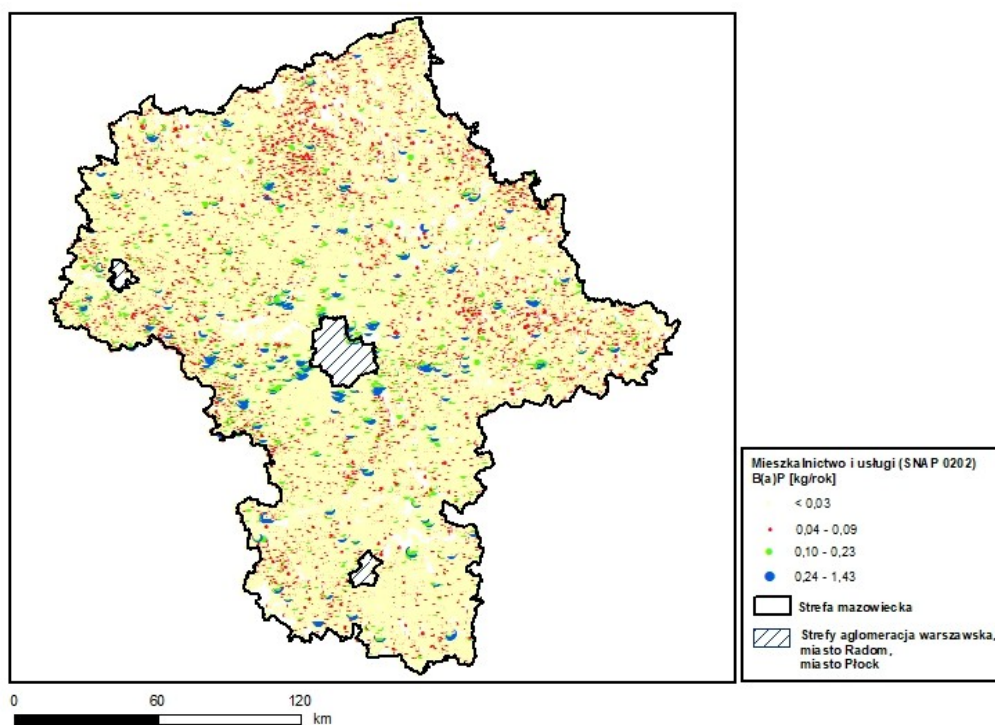
Rysunek 57 Rozmieszczenie oraz ładunki emisji benzo(a)pirenu w sektorze produkcji i transformacji energii (SNAP 01) w strefie mazowieckiej w 2021 roku



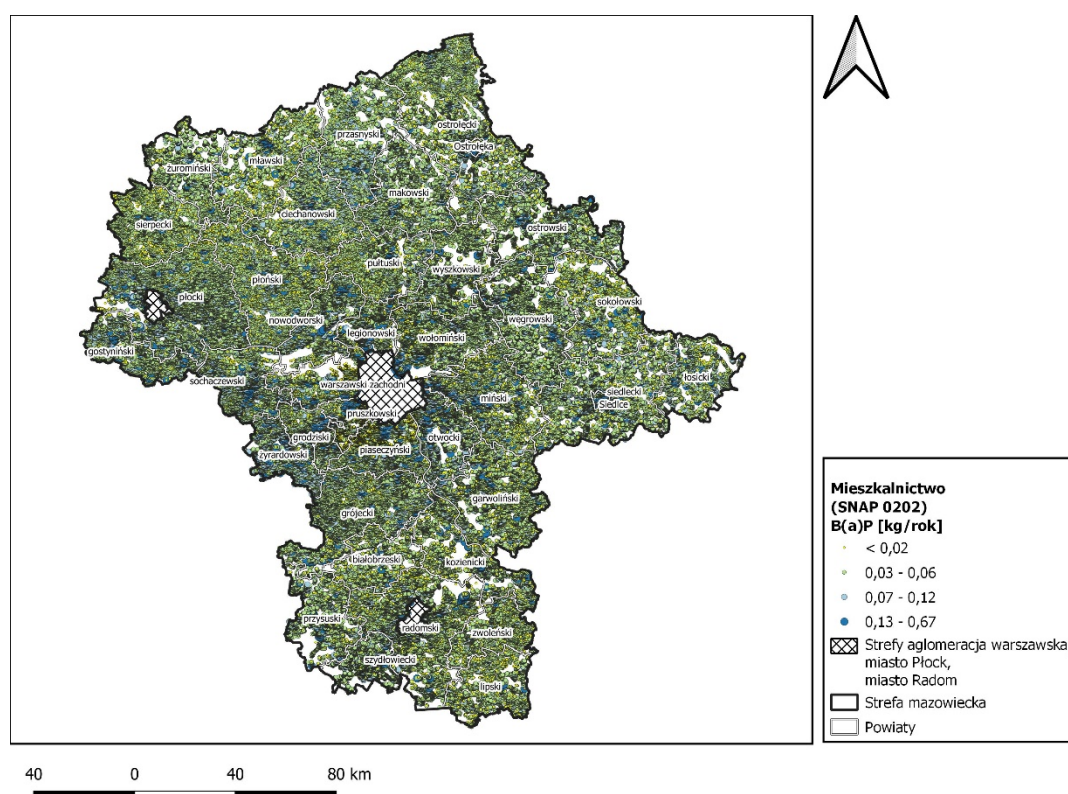
Rysunek 58 Rozmieszczenie oraz ładunki emisji benzo(a)pirenu w sektorze komunalnym i mieszkaniowym (SNAP 02 z wyjątkiem 0202) w strefie mazowieckiej w 2018 roku



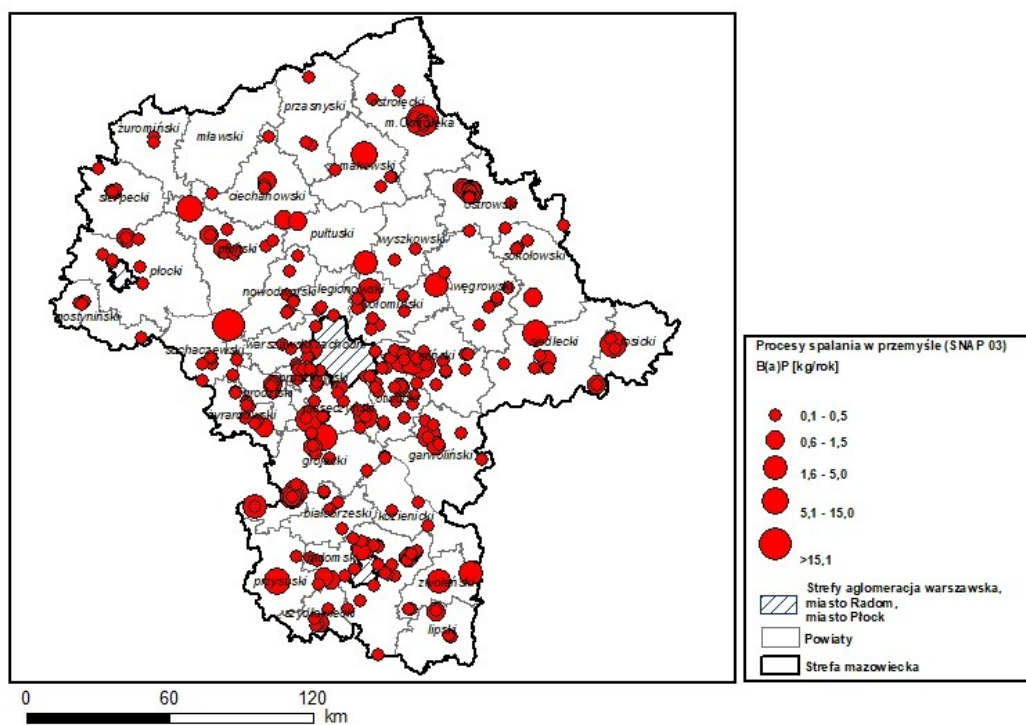
Rysunek 59 Rozmieszczenie oraz ładunki emisji benzo(a)pirenu w sektorze usług oraz rolnictwie i leśnictwie (SNAP 02 z wyjątkiem 0202) w strefie mazowieckiej w 2021 roku



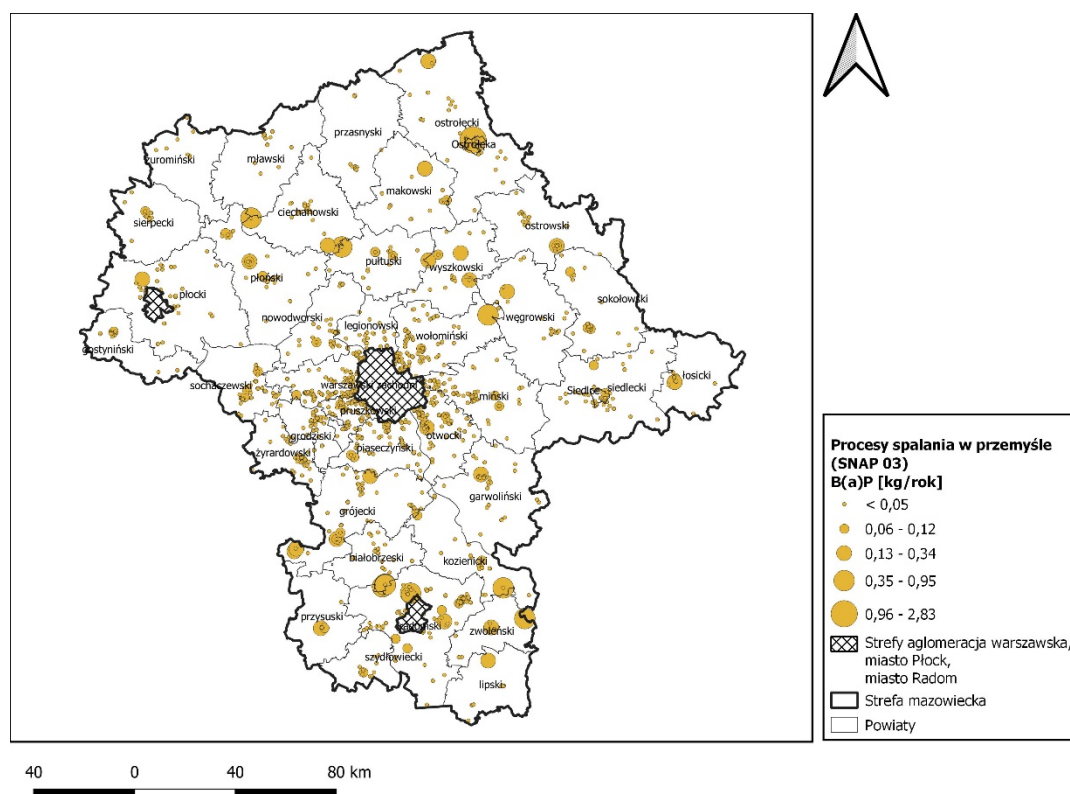
Rysunek 60 Rozmieszczenie oraz ładunki emisji benzo(a)pirenu w mieszkalnictwie i usługach (SNAP 0202) w strefie mazowieckiej w 2018 roku



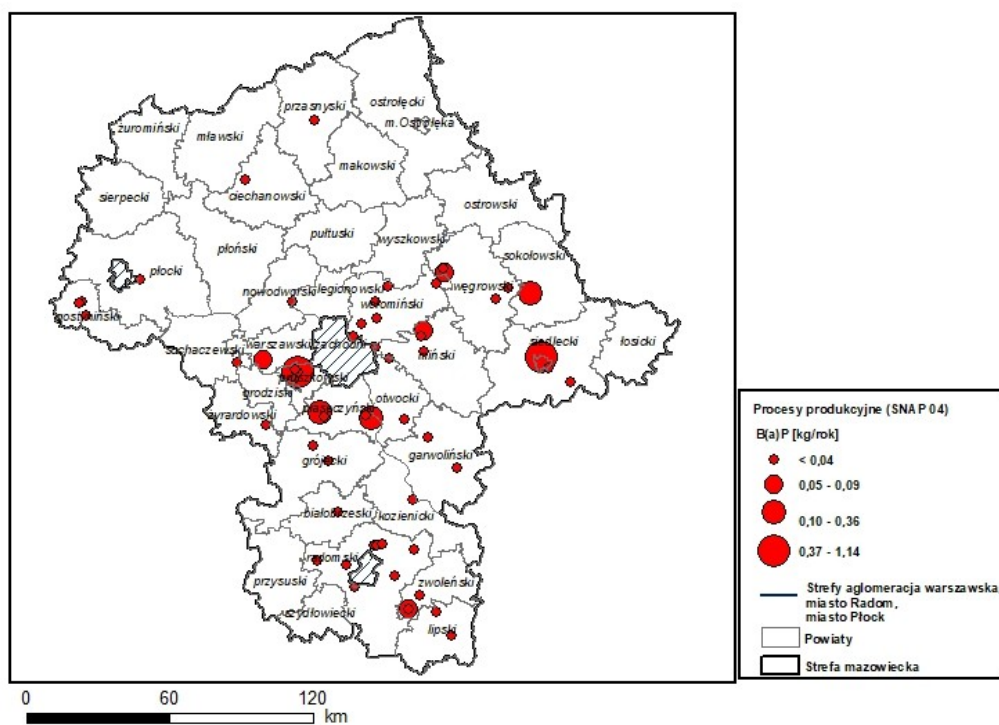
Rysunek 61 Rozmieszczenie oraz ładunki emisji benzo(a)pirenu w mieszkalnictwie (SNAP 0202) w strefie mazowieckiej w 2021 roku



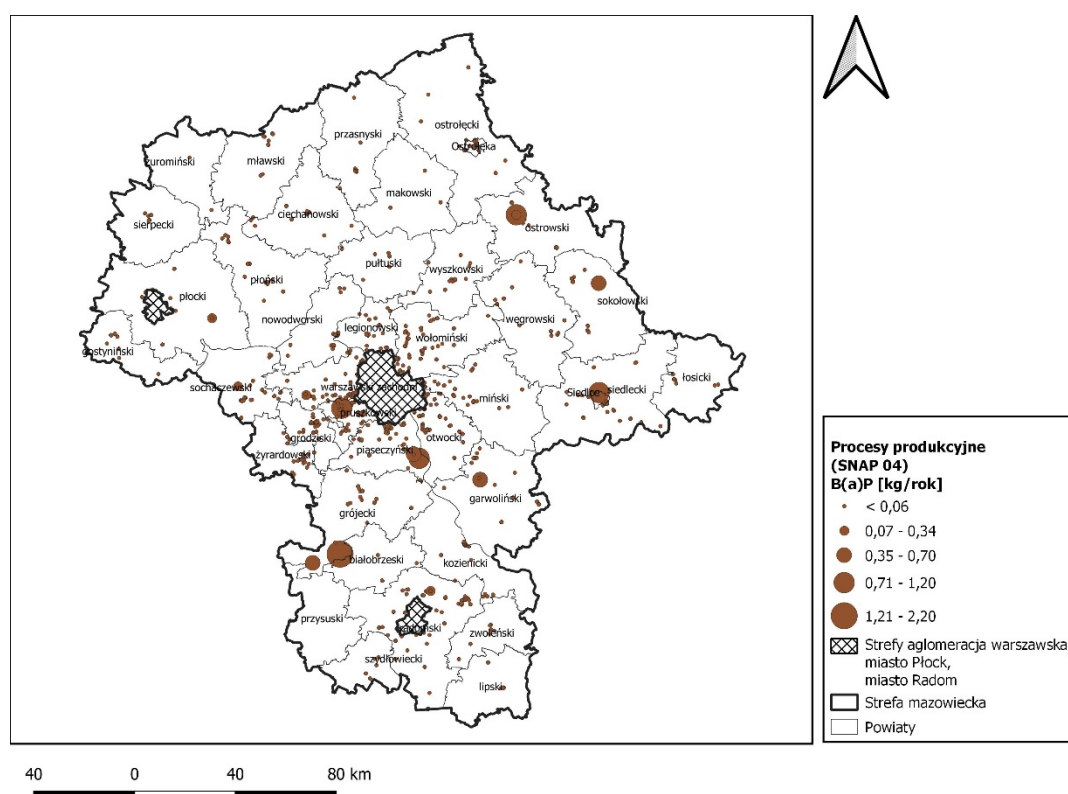
Rysunek 62 Rozmieszczenie oraz ładunki emisji benzo(a)pirenu z procesów spalania w przemyśle (SNAP 03) w strefie mazowieckiej w 2018 roku



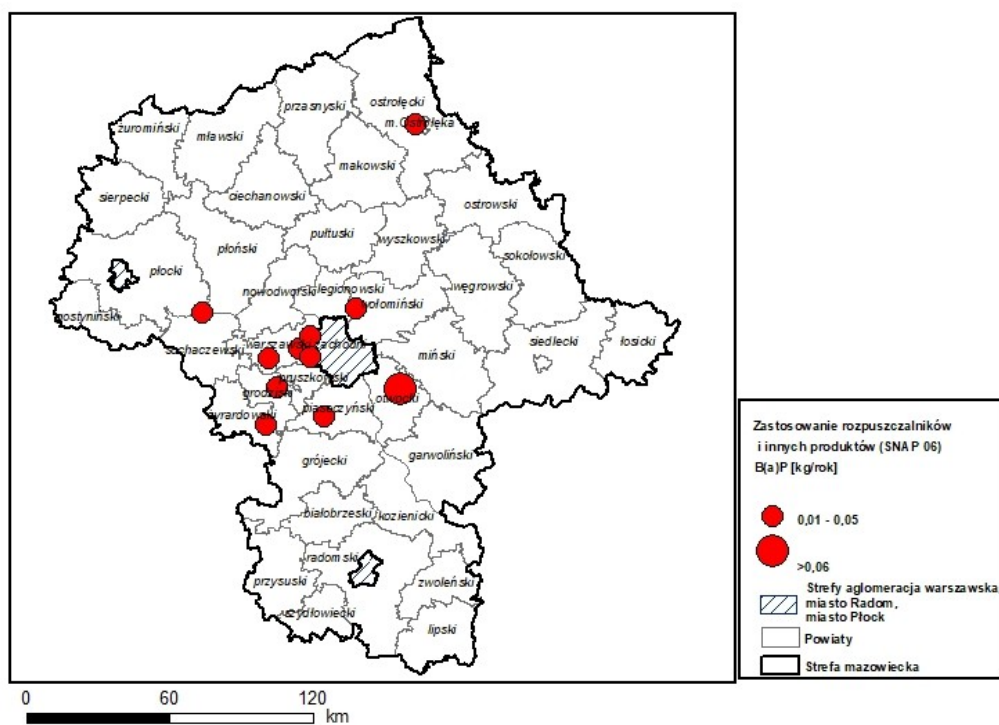
Rysunek 63 Rozmieszczenie oraz ładunki emisji benzo(a)pirenu z procesów spalania w przemyśle (SNAP 03) w strefie mazowieckiej w 2021 roku



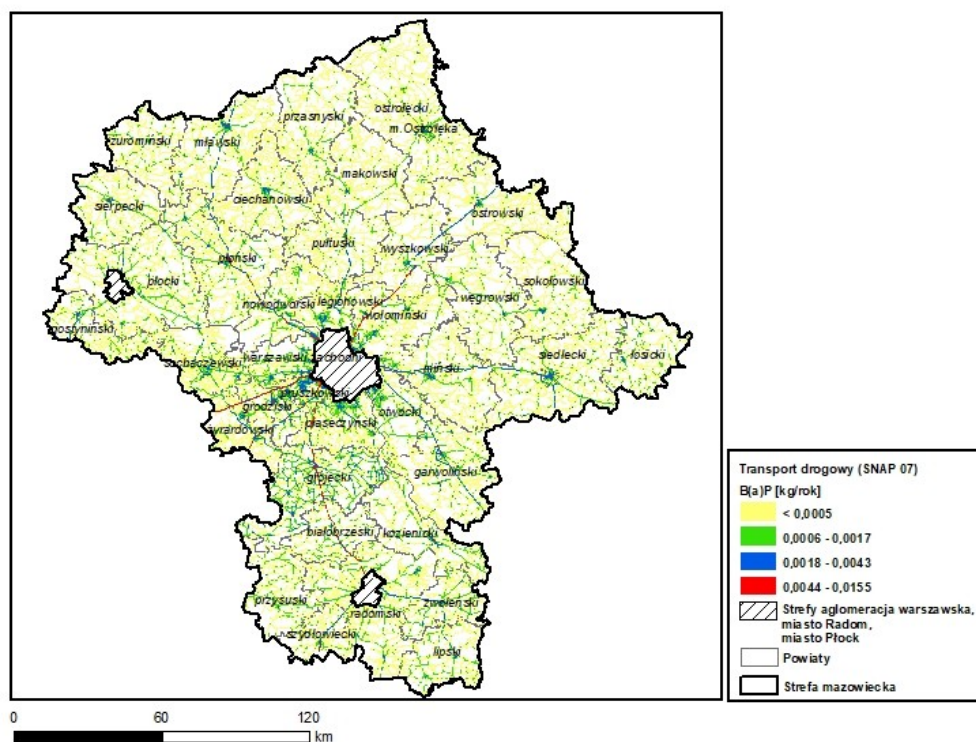
Rysunek 64 Rozmieszczenie oraz ładunki emisji benzo(a)pirenu z procesów produkcyjnych (SNAP 04) w strefie mazowieckiej w 2018 roku



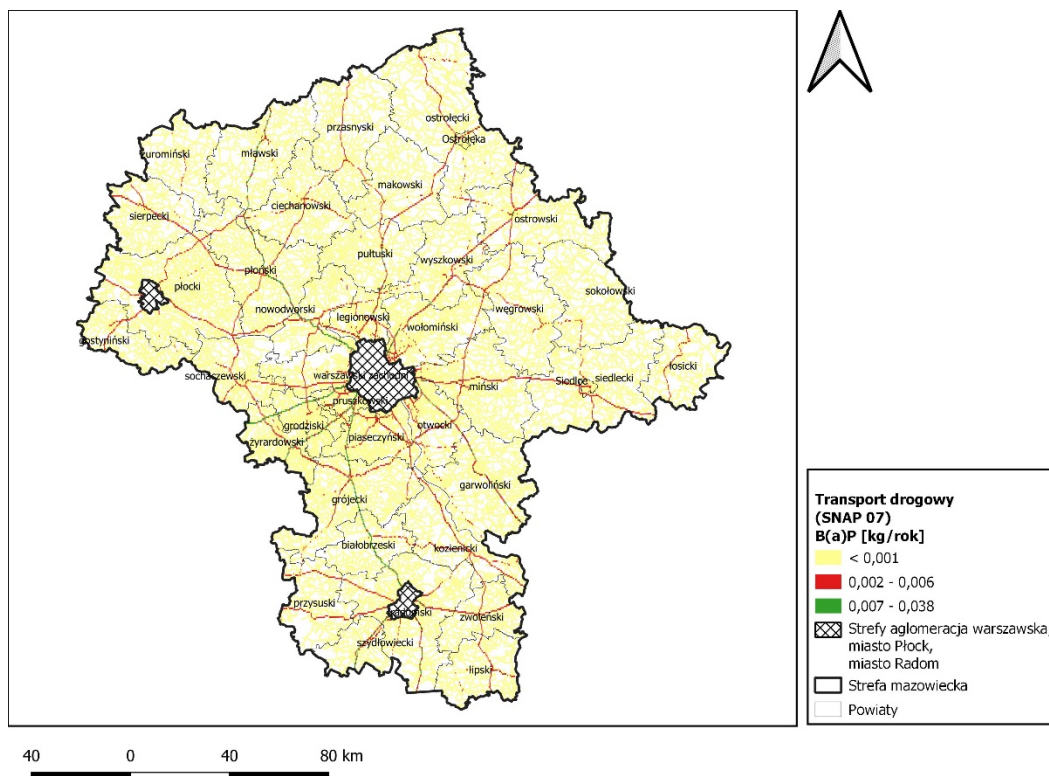
Rysunek 65 Rozmieszczenie oraz ładunki emisji benzo(a)pirenu z procesów produkcyjnych (SNAP 04) w strefie mazowieckiej w 2021 roku



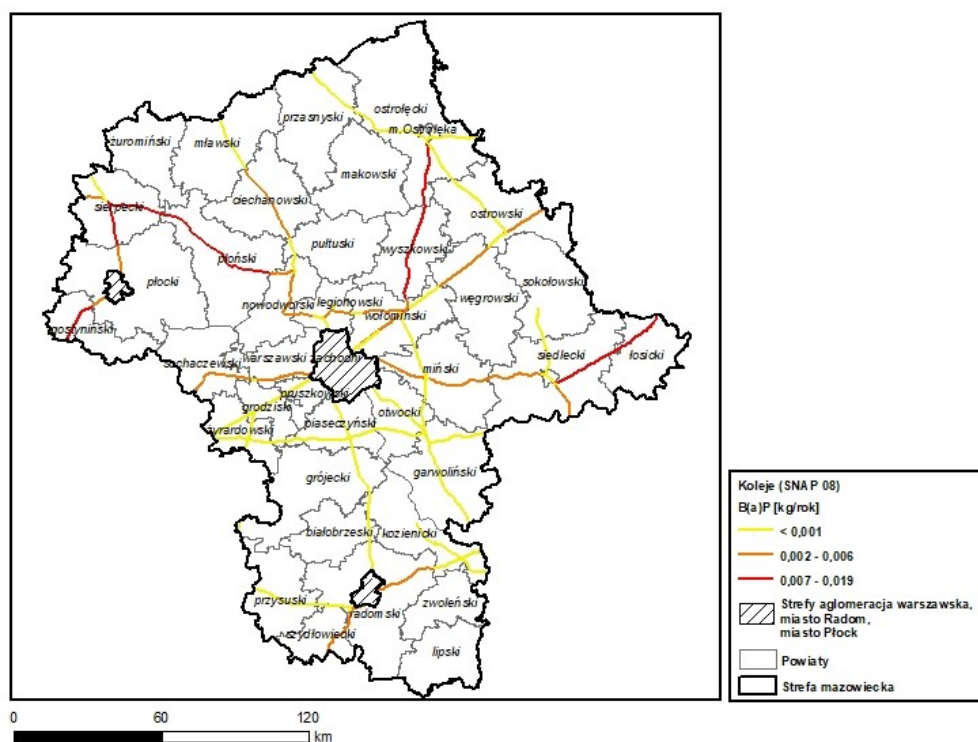
Rysunek 66 Rozmieszczenie oraz ładunki emisji benzo(a)pirenu z zastosowania rozpuszczalników i innych produktów (SNAP 06) w strefie mazowieckiej w 2018 roku



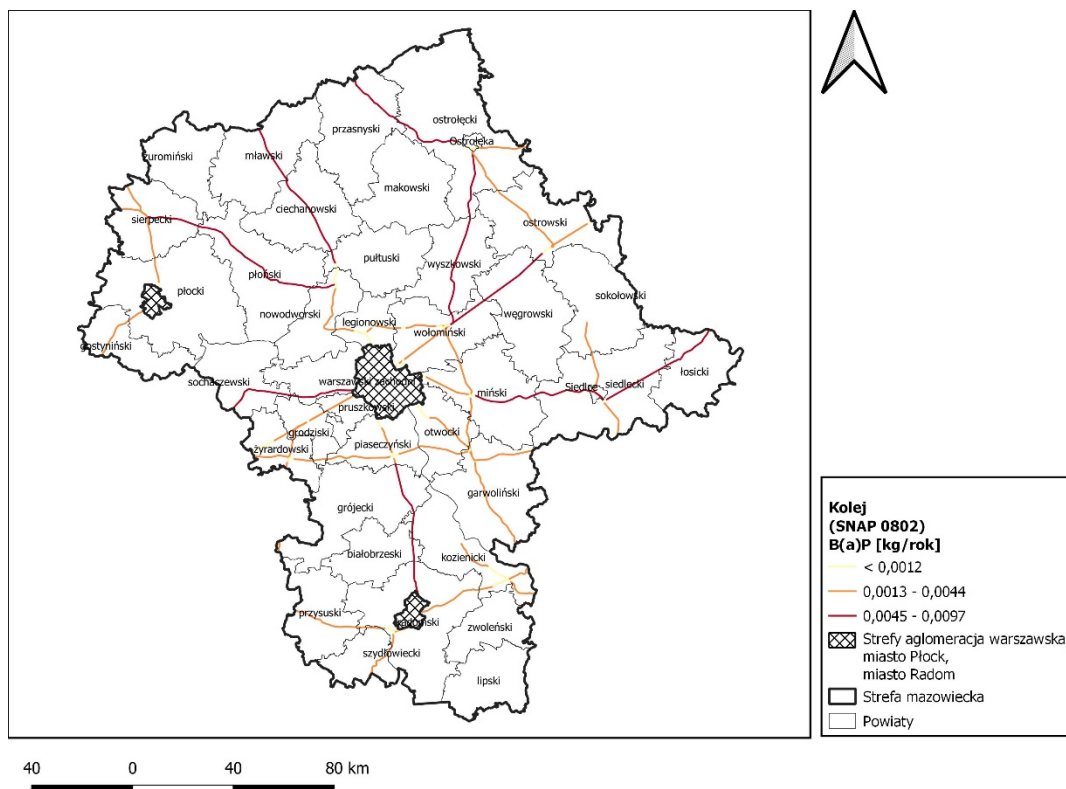
Rysunek 67 Rozmieszczenie oraz ładunki emisji benzo(a)pirenu z transportu drogowego (SNAP 07) w strefie mazowieckiej w 2018 roku



Rysunek 68 Rozmieszczenie oraz ładunki emisji benzo(a)pirenu z transportu drogowego (SNAP 07) w strefie mazowieckiej w 2021 roku



Rysunek 69 Rozmieszczenie oraz ładunki emisji benzo(a)pirenu z transportu kolejowego (SNAP 0802) w strefie mazowieckiej w 2018 roku



Rysunek 70 Rozmieszczenie oraz ładunki emisji benzo(a)pirenu z transportu kolejowego (SNAP 0802) w strefie mazowieckiej w 2021 roku

6.2. Strefa aglomeracja warszawska

Tabela 137 Emisja substancji w powietrzu w strefie aglomeracja warszawska w 2018 roku

Typ emisji	SNAP	Pył zawieszony PM10 [Mg/rok]	Udział [%] pyłu PM10 w łącznej emisji	Pył zawieszony PM2,5 [Mg/rok]	Udział [%] pyłu PM2,5 w łącznej emisji	B(a)P [kg/rok]	Udział [%] B(a)P w łącznej emisji	NO ₂ [Mg/rok]	Udział [%] NO ₂ w łącznej emisji
Procesy spalania w sektorze produkcji i transformacji energii	01	310,471	19,9	157,171	12,2	17,736	3,6	4959,027	42,8
Procesy spalania w sektorze komunalnym i mieszkaniowym z wyj. SNAP 0202	02	28,106	1,8	26,563	2,1	18,437	3,7	136,798	1,2
Mieszkalnictwo i usługi	0202	813,116	52,1	800,948	62,3	450,4	91,4	570,042	4,9
Procesy spalania w przemyśle	03	1,305	0,1	0,70166	0,1	1,002	0,2	137,598	1,2
Procesy produkcyjne	04	25,797	1,7	19,346	1,5	0,1002	0,0	96,399	0,8
Wydobycie i dystrybucja paliw kopalnych	05	0,0003	0,0	0,0003	0,0	0,0070	0,0	0,8999	0,0
Zastosowanie rozpuszczalników i innych produktów	06	0,1004	0,0	0,0401	0,0	0,01	0,0	1,6	0,0
Transport drogowy	07	339,311	21,7	263,133	20,5	4,9	1,0	4922,127	42,5
Koleje	0802	1,929	0,1	1,925	0,1	0,007014	0,0	21,439	0,2

Typ emisji	SNAP	Pył zawieszony PM10 [Mg/rok]	Udział [%] pyłu PM10 w łącznej emisji	Pył zawieszony PM2,5 [Mg/rok]	Udział [%] pyłu PM2,5 w łącznej emisji	B(a)P [kg/rok]	Udział [%] B(a)P w łącznej emisji	NO ₂ [Mg/rok]	Udział [%] NO ₂ w łącznej emisji
Transport powietrzny	0805	4,015	0,3	4,009	0,3	Nie występuje	Nie występuje	630,191	5,4
Ciągniki rolnicze	0806	7,177	0,5	7,286	0,6	Nie występuje	Nie występuje	46,399	0,4
Zagospodarowanie odpadów	09	6,756	0,4	3,198	0,2	Nie występuje	Nie występuje	28,76	0,3
Rolnictwo	10	14,451	0,9	0,812	0,1	Nie występuje	Nie występuje	25,2	0,2
Inne źródła emisji i pochłaniania zanieczyszczeń	11	7,933	0,6	0,311	0,0	Nie występuje	Nie występuje	Nie występuje	Nie występuje
SUMA	Nie dotyczy	1560,466	100	1285,444	100	492,6	100	11576,48	100

Tabela 138 Emisja substancji w powietrzu w strefie aglomeracja warszawska w 2021 roku

Typ emisji	SNAP	Pył zawieszony PM10 [Mg/rok]	Udział [%] pyłu PM10 w łącznej emisji	Pył zawieszony PM2,5 [Mg/rok]	Udział [%] pyłu PM2,5 w łącznej emisji	B(a)P [kg/rok]	Udział [%] B(a)P w łącznej emisji	NO ₂ [Mg/rok]	Udział [%] NO ₂ w łącznej emisji
Procesy spalania w sektorze produkcji i transformacji energii	01	234,804	12,0	148,159	8,6	41,5	5,0	4 482,1	38,9
Procesy spalania w sektorze usług oraz rolnictwie i leśnictwie z wyj. 0202	02 bez 0202	3,391	0,2	3,065	0,2	0,5	0,1	95,6	0,8
Mieszkalnictwo	0202	1275,509	65,2	1251,932	73,0	774,0	94,0	723,521	6,3
Procesy spalania w przemyśle	03	2,568	0,1	2,272	0,1	0,5	0,1	120,0	1,0
Procesy produkcyjne	04	34,630	1,8	25,877	1,5	0,1	0,0	90,6	0,8
Wydobycie i dystrybucja paliw kopalnych	05	20,190	1,0	4,845	0,3	Nie występuje	Nie występuje	Nie występuje	Nie występuje
Zastosowanie rozpuszczalników i innych produktów	06	0,024	0,0	0,024	0,0	Nie występuje	Nie występuje	0,0	0,0
Transport drogowy	07	358,386	18,3	271,142	15,8	6,5	0,8	5616,423	48,8
Koleje	0802	1,140	0,1	1,112	0,1	0,0	0,0	41,7	0,4
Transport powietrzny	0805	1,747	0,1	1,791	0,1	Nie występuje	Nie występuje	274,2	2,4
Ciągniki rolnicze	0806	0,761	0,0	0,780	0,0	Nie występuje	Nie występuje	18,2	0,2
Zagospodarowanie odpadów	09	4,066	0,2	3,558	0,2	Nie występuje	Nie występuje	30,7	0,3
Rolnictwo	10	13,327	0,7	0,779	0,0	Nie występuje	Nie występuje	23,7	0,2
Inne źródła emisji i pochłaniania zanieczyszczeń	11	6,125	0,3	0,268	0,0	Nie występuje	Nie występuje	Nie występuje	Nie występuje
SUMA		1956,668	100	1715 603	100	823,2	100	11516,803	100

Tabela 139 Emisja substancji w powietrzu poza strefą aglomeracja warszawska (w odległości 30 km wokół strefy) w 2018 roku

Typ emisji w promieniu 30 km od strefy aglomeracja warszawska	SNAP	Pył zawieszony PM10 [Mg/rok]	Pył zawieszony PM10 [%]	Pył zawieszony PM2,5 [Mg/rok]	Pył zawieszony PM2,5 [%]	B(a)P [kg/rok]	B(a)P [%]	NO ₂ [Mg/rok]	NO ₂ [%]
Procesy spalania w sektorze produkcji i transformacji energii	01	91,3	1,0	50,9	0,6	71,2	1,7	447,0	2,7
Procesy spalania w sektorze komunalnym i	02	169,6	1,8	149,4	1,8	85,3	2,1	304,3	1,8

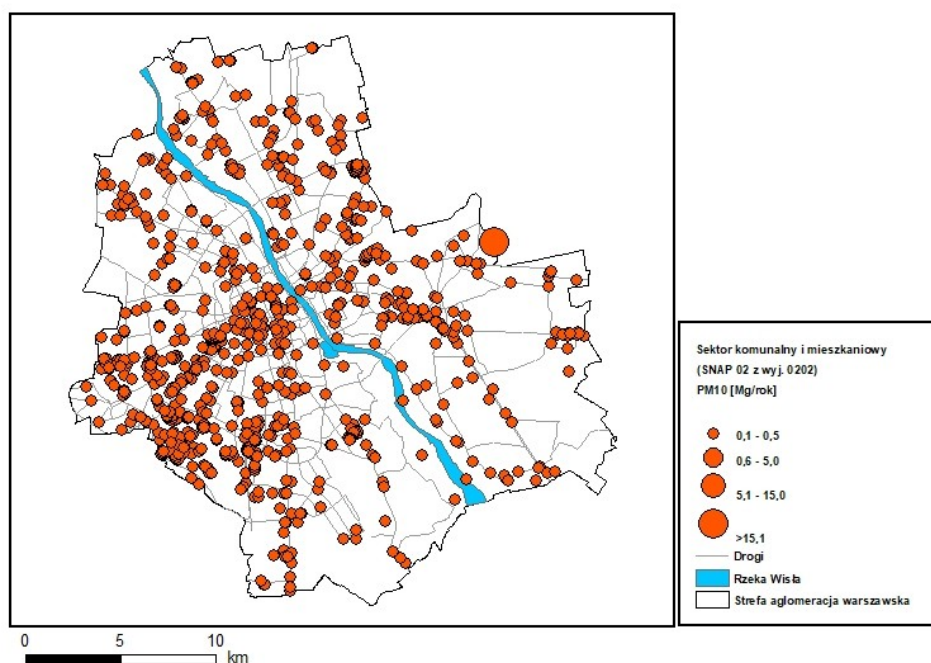
Typ emisji w promieniu 30 km od strefy aglomeracja warszawska	SNAP	Pył zawieszony PM10 [Mg/rok]	Pył zawieszony PM10 [%]	Pył zawieszony PM2,5 [Mg/rok]	Pył zawieszony PM2,5 [%]	B(a)P [kg/rok]	B(a)P [%]	NO ₂ [Mg/rok]	NO ₂ [%]
mieszaniowym z wyj. 0202									
Mieszkalnictwo i usługi	0202	7065,3	74,5	6957,5	86,1	3898,1	94,5	2706,2	16,1
Procesy spalania w przemyśle	03	65,2	0,7	42,9	0,5	56,9	1,4	178,4	1,1
Procesy produkcyjne	04	16,1	0,2	2,0	0,0	2,1	0,1	102,6	0,6
Wydobycie i dystrybucja paliw kopalnych	05	205,9	2,2	49,4	0,6	0,0	0,0	0,2	0,0
Zastosowanie rozpuszczalników i innych produktów	06	0,7	0,0	0,0	0,0	0,2	0,0	23,6	0,1
Transport drogowy	07	687,1	7,2	540,5	6,7	10,4	0,3	10825,6	64,3
Koleje	0802	6,6	0,1	6,6	0,1	0,0	0,0	73,1	0,4
Transport powietrzny	0805	0,4	0,0	0,4	0,0	0,0	0,0	74,5	0,4
Ciągniki rolnicze	080600	203,5	2,1	203,5	2,5	0,0	0,0	1348,2	8,0
Zagospodarowanie odpadów	09	2,4	0,0	2,3	0,0	0,0	0,0	0,9	0,0
Rolnictwo	10	511,1	5,4	53,9	0,7	0,0	0,0	746,5	4,4
Inne źródła emisji i pochłaniania zanieczyszczeń	11	459,2	4,8	18,0	0,2	0,0	0,0	0,0	0,0
SUMA	Nie dotyczy	9484,4	100	8077,3	100	4124,2	100	16831,1	100

Tabela 140 Emisja substancji w powietrzu poza strefą aglomeracja warszawska (w odległości 30 km wokół strefy) w 2021 roku

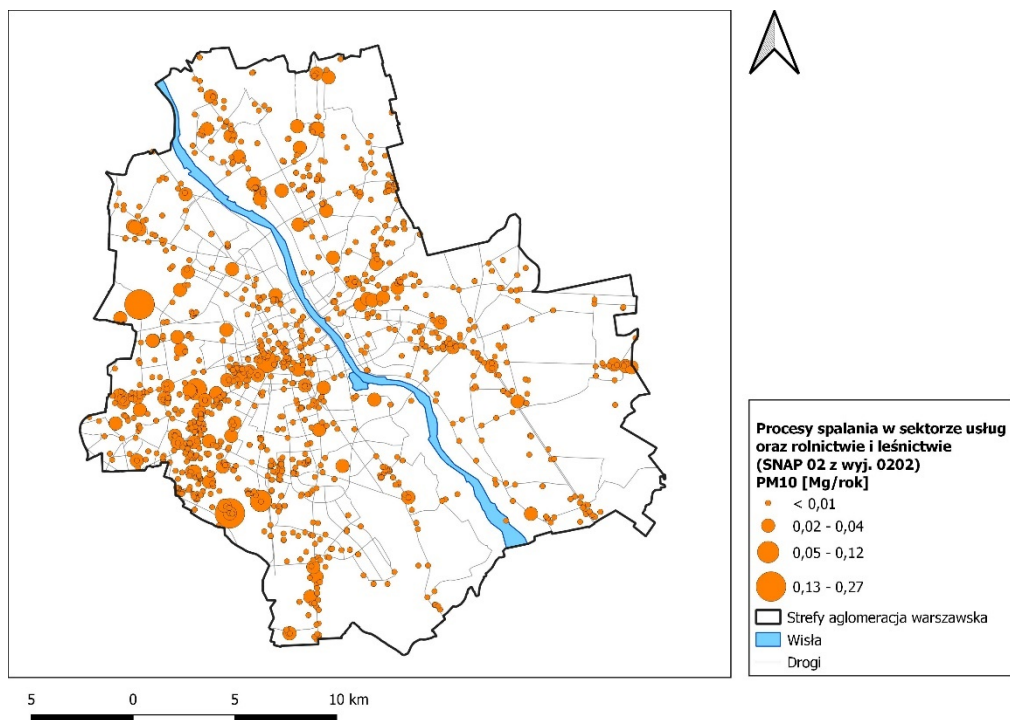
Typ emisji w promieniu 30 km od strefy aglomeracja warszawska	SNAP	Pył zawieszony PM10 [Mg/rok]	Pył zawieszony PM10 [%]	Pył zawieszony PM2,5 [Mg/rok]	Pył zawieszony PM2,5 [%]	B(a)P [kg/rok]	B(a)P [%]	NO ₂ [Mg/rok]	NO ₂ [%]
Procesy spalania w sektorze produkcji i transformacji energii	01	111,1	1,1	66,6	0,8	2,8	0,1	458,5	2,6
Procesy spalania w sektorze usług oraz rolnictwie i leśnictwie z wyj. 0202	02 bez 0202	34,4	0,4	27,8	0,3	14,8	0,3	245,8	1,4
Mieszkalnictwo	0202	7 569,9	78,1	7 429,2	89,8	4 588,1	99,2	2 452,0	13,9
Procesy spalania w przemyśle	03	63,3	0,7	44,5	0,5	2,3	0,0	333,0	1,9
Procesy produkcyjne	04	45,5	0,5	24,9	0,3	2,9	0,1	114,5	0,6
Wydobycie i dystrybucja paliw kopalnych	05	88,9	0,9	21,3	0,3	0,0	0,0	0,0	0,0
Zastosowanie rozpuszczalników i innych produktów	06	0,1	0,0	0,0	0,0	0,0	0,0	0,0	0,0
Transport drogowy	07	689,6	7,1	543,2	6,6	11,9	0,3	11 901,6	67,3
Koleje	0802	4,6	0,0	4,4	0,1	0,1	0,0	167,0	0,9
Transport powietrzny	0805	0,2	0,0	0,2	0,0	0,0	0,0	36,2	0,2
Ciągniki rolnicze	080600	33,1	0,3	33,1	0,4	0,0	0,0	790,1	4,5
Zagospodarowanie	09	4,8	0,0	4,2	0,1	0,0	0,0	0,3	0,0

Typ emisji w promieniu 30 km od strefy aglomeracja warszawska	SNAP	Pył zawieszony PM10 [Mg/rok]	Pył zawieszony PM10 [%]	Pył zawieszony PM2,5 [Mg/rok]	Pył zawieszony PM2,5 [%]	B(a)P [kg/rok]	B(a)P [%]	NO ₂ [Mg/rok]	NO ₂ [%]
odpadów									
Rolnictwo	10	528,2	5,4	57,1	0,7	0,0	0,0	1 187,2	6,7
Inne źródła emisji i pochłaniania zanieczyszczeń	11	520,6	5,4	20,7	0,3	0,0	0,0	0,0	0,0
SUMA		9 694,3	100	8 277,3	100	4 622,9	100	17 686,3	100

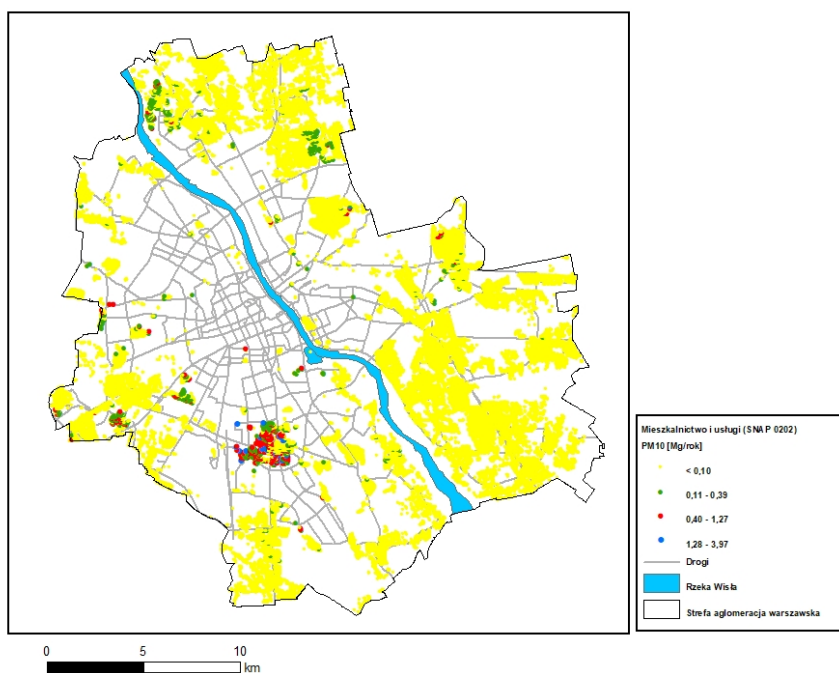
Emisja pyłu zawieszonego PM10



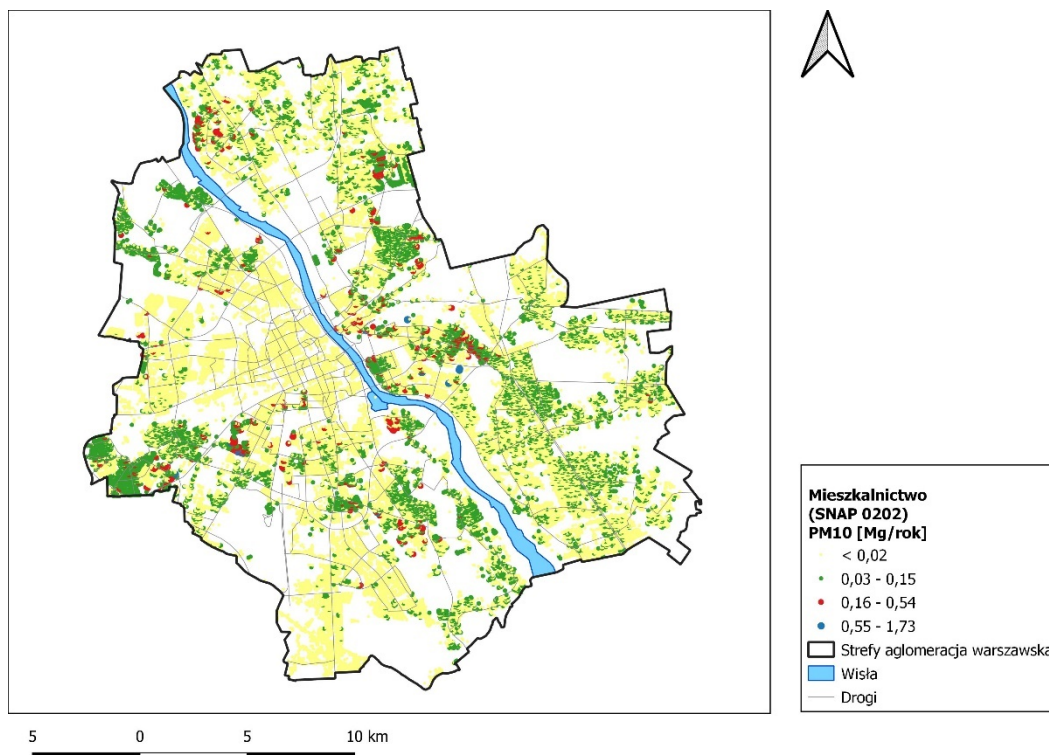
Rysunek 71 Rozmieszczenie oraz ładunki emisji pyłu zawieszonego PM10 w sektorze komunalnym i mieszkaniowym (SNAP 02 z wyjątkiem 0202) w strefie aglomeracja warszawska w 2018 roku



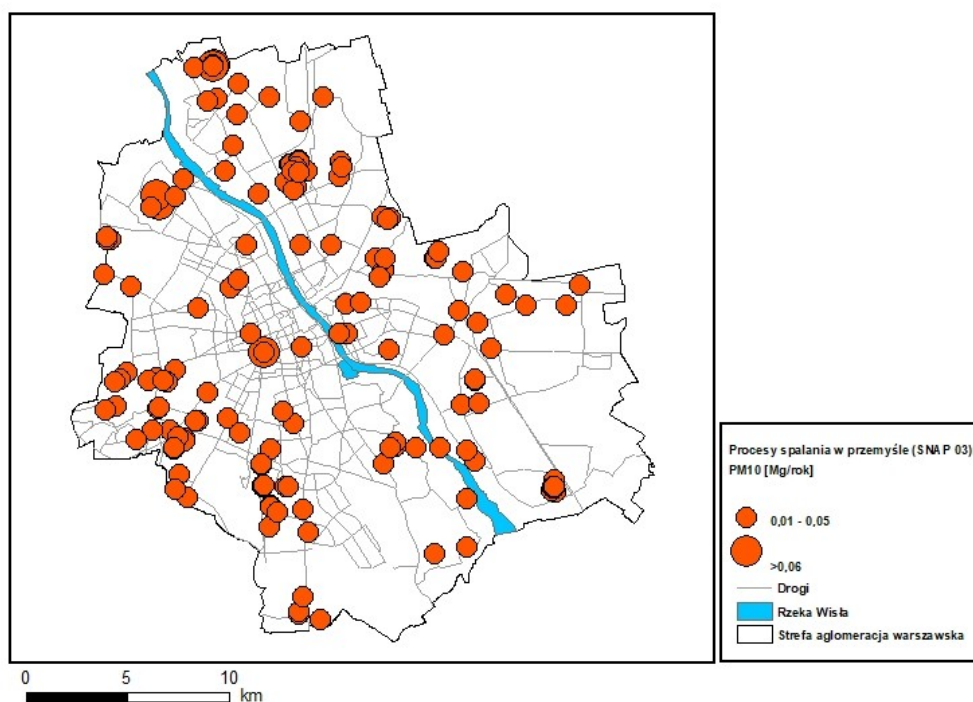
Rysunek 72 Rozmieszczenie oraz ładunki emisji pyłu zawieszzonego PM10 w sektorze usług oraz rolnictwie i leśnictwie (SNAP 02 z wyjątkiem 0202) w strefie aglomeracja warszawska w 2021 roku



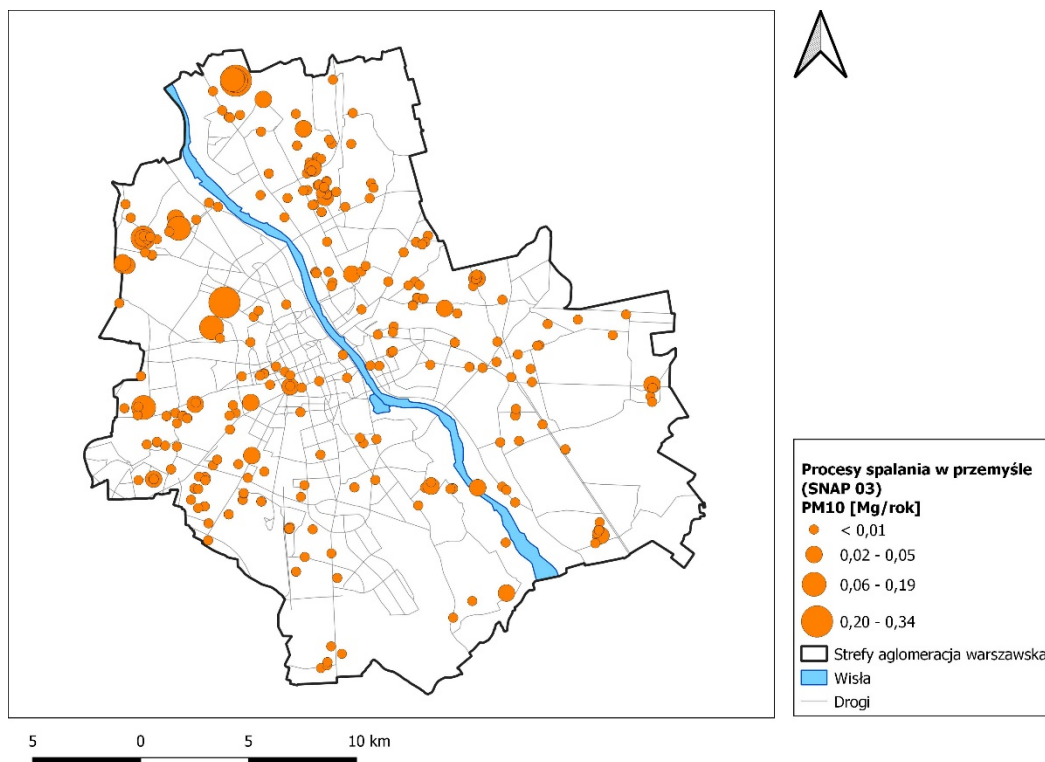
Rysunek 73 Rozmieszczenie oraz ładunki emisji pyłu zawieszzonego PM10 w mieszkalnictwie i usługach (SNAP 0202) w strefie aglomeracja warszawska w 2018 roku



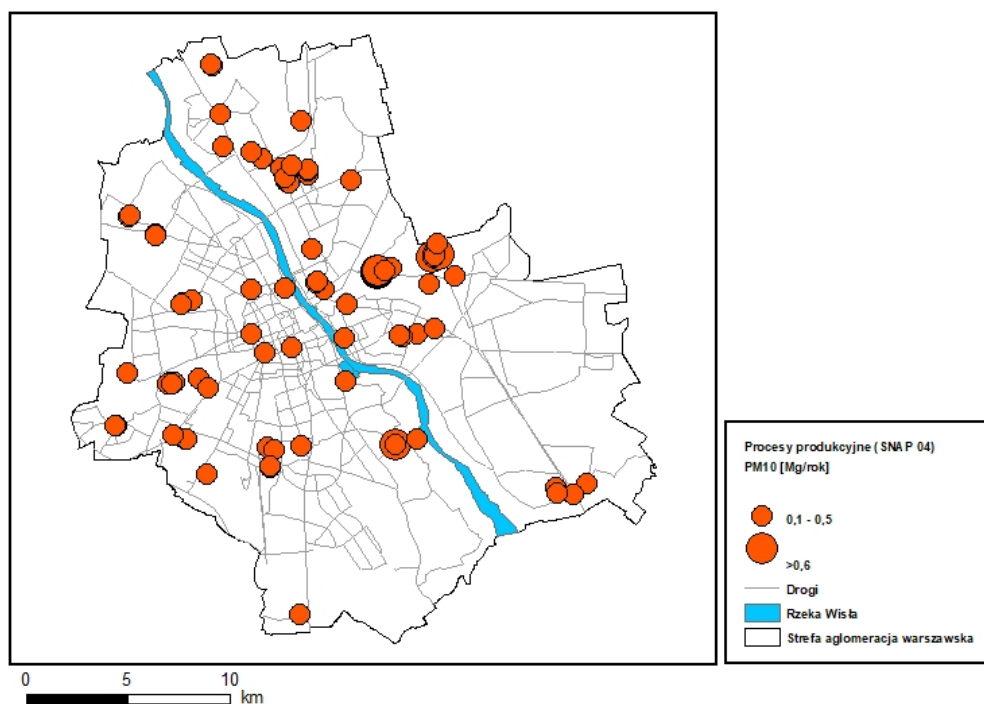
Rysunek 74 Rozmieszczenie oraz ładunki emisji pyłu zawieszonego PM10 w mieszkalnictwie (SNAP 0202) w strefie aglomeracja warszawska w 2021 roku



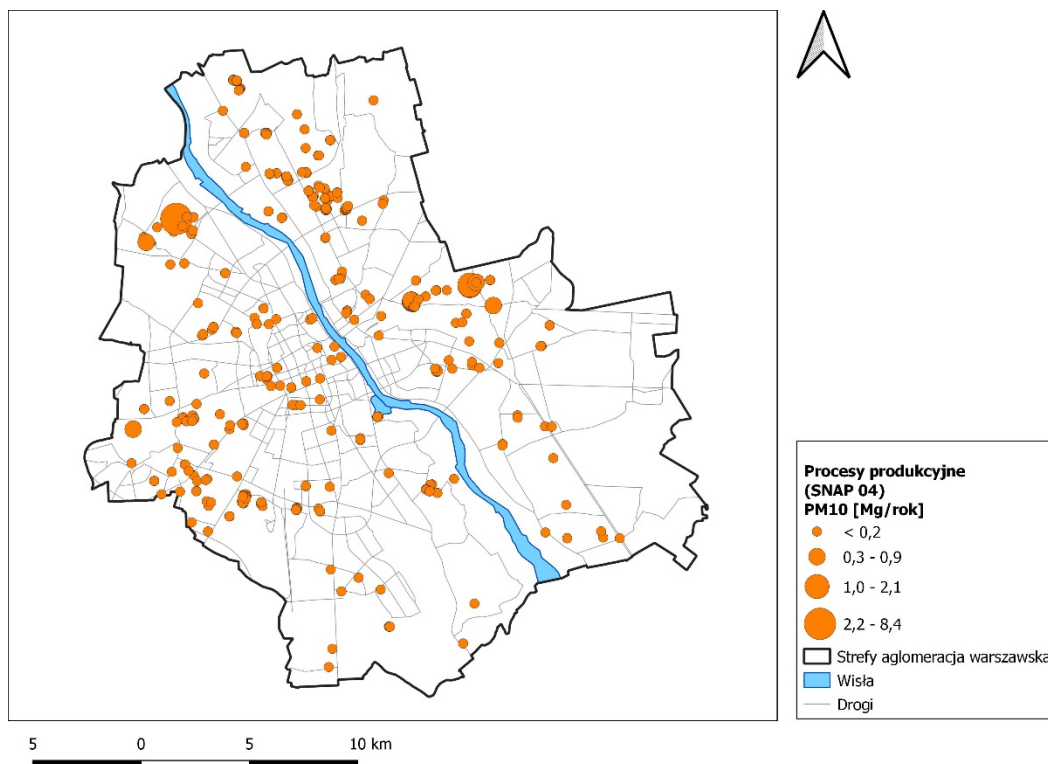
Rysunek 75 Rozmieszczenie oraz ładunki emisji pyłu zawieszonego PM10 z procesów spalania w przemyśle (SNAP 03) w strefie aglomeracja warszawska w 2018 roku



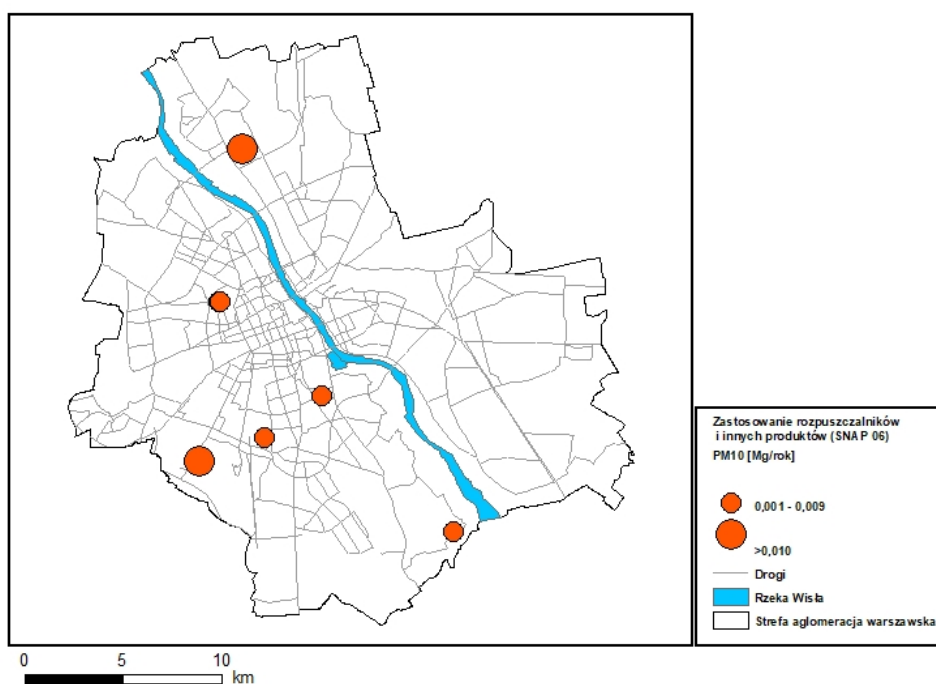
Rysunek 76 Rozmieszczenie oraz ładunki emisji pyłu zawieszonego PM10 z procesów spalania w przemyśle (SNAP 03) w strefie aglomeracja warszawska w 2021 roku



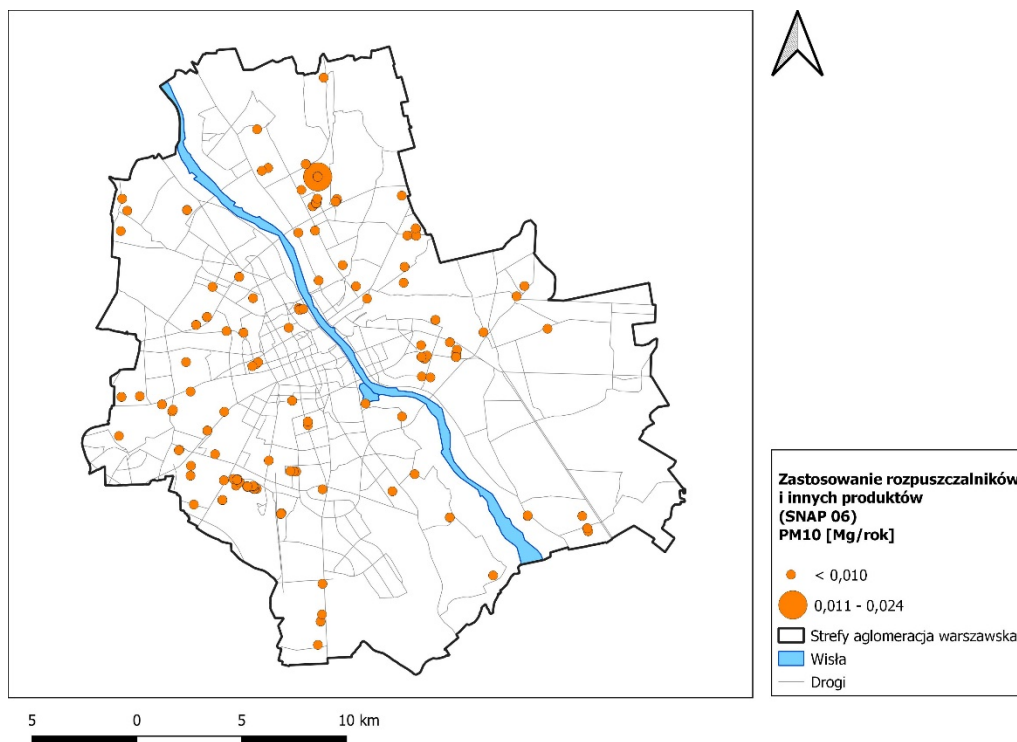
Rysunek 77 Rozmieszczenie oraz ładunki emisji pyłu zawieszonego PM10 z procesów produkcyjnych (SNAP 04) w strefie aglomeracja warszawska w 2018 roku



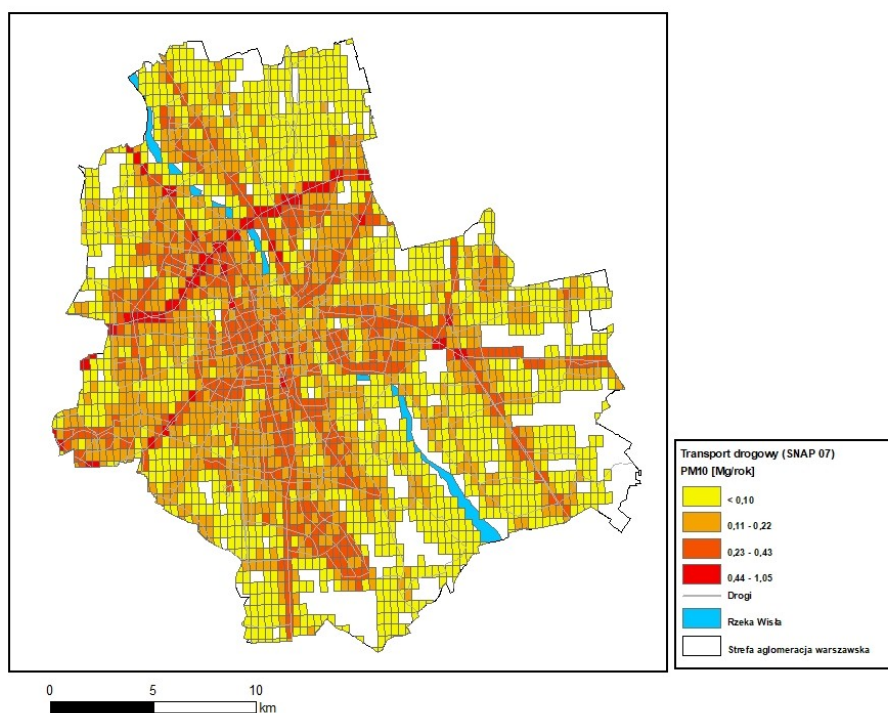
Rysunek 78 Rozmieszczenie oraz ładunki emisji pyłu zawieszonego PM10 z procesów produkcyjnych (SNAP 04) w strefie aglomeracja warszawska w 2021 roku



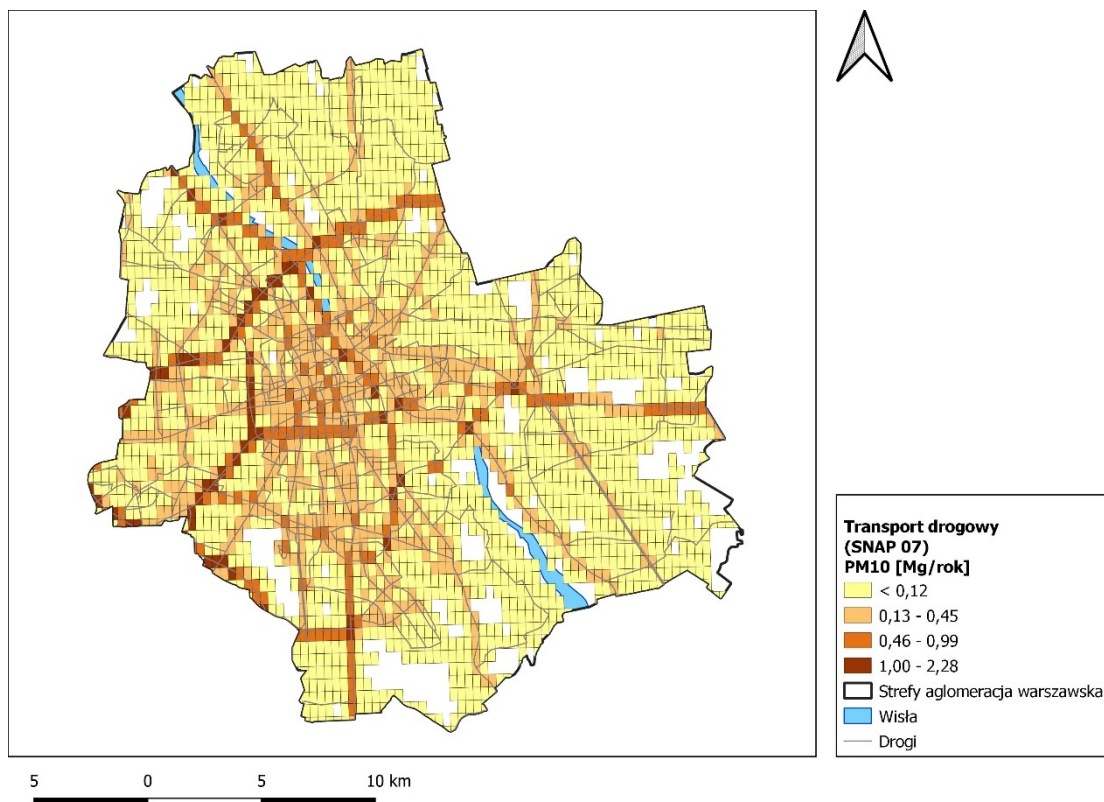
Rysunek 79 Rozmieszczenie oraz ładunki emisji pyłu zawieszonego PM10 z zastosowania rozpuszczalników i innych produktów (SNAP 06) w strefie aglomeracja warszawska w 2018 roku



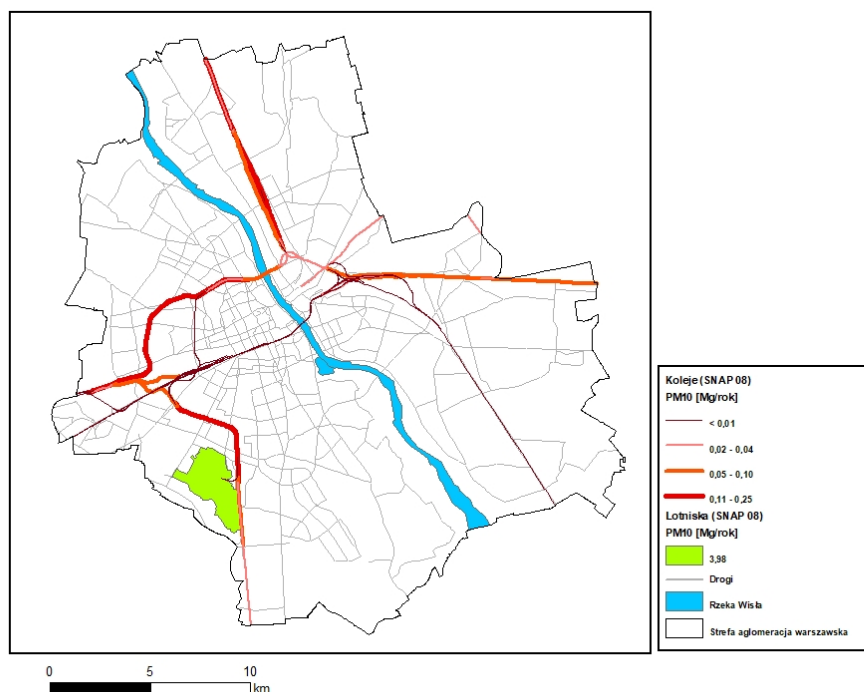
Rysunek 80 Rozmieszczenie oraz ładunki emisji pyłu zawieszonego PM10 z zastosowania rozpuszczalników i innych produktów (SNAP 06) w strefie aglomeracja warszawska w 2021 roku



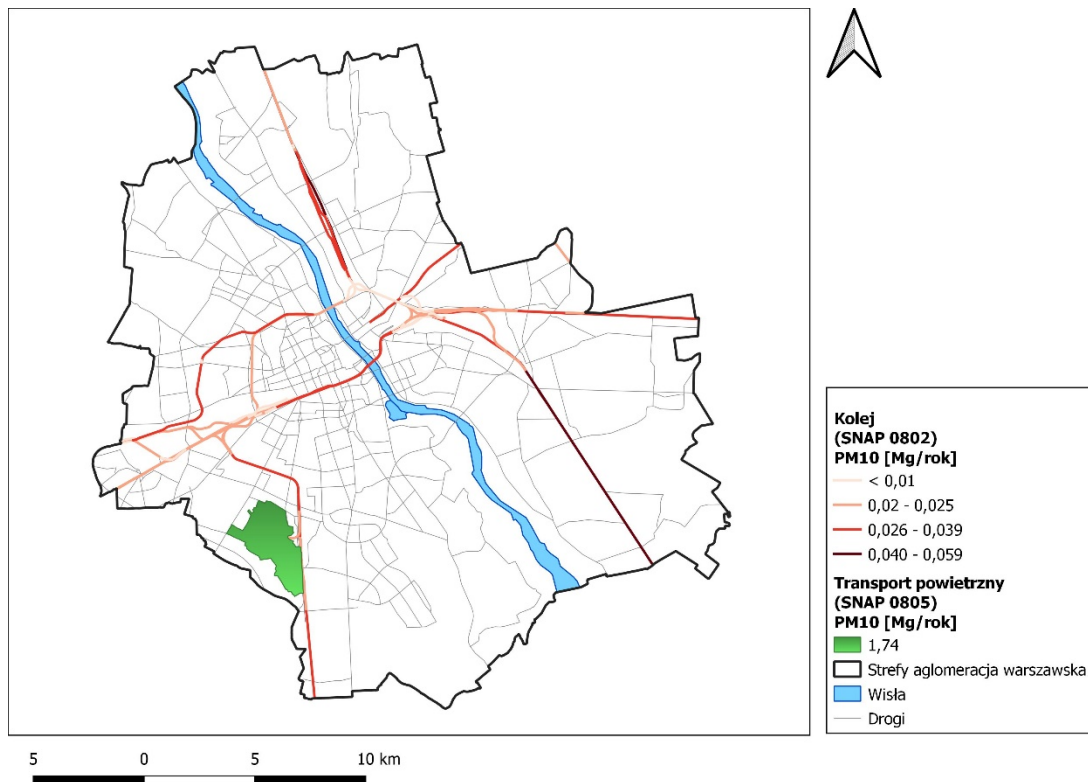
Rysunek 81 Rozmieszczenie oraz ładunki emisji pyłu zawieszonego PM10 z transportu drogowego (SNAP 07) w strefie aglomeracja warszawska w 2018 roku



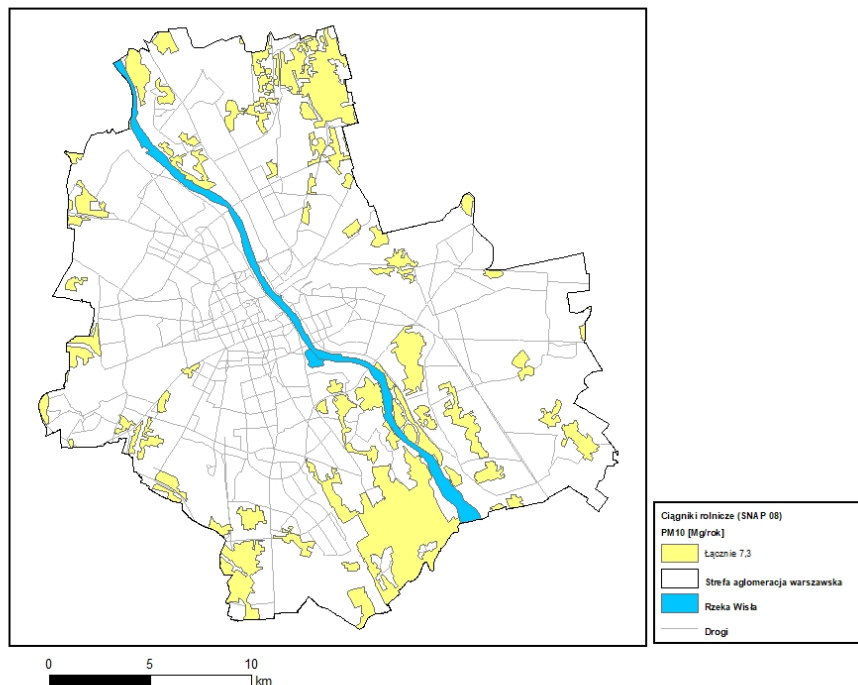
Rysunek 82 Rozmieszczenie oraz ładunki emisji pyłu zawieszonego PM10 z transportu drogowego (SNAP 07) w strefie aglomeracja warszawska w 2021 roku



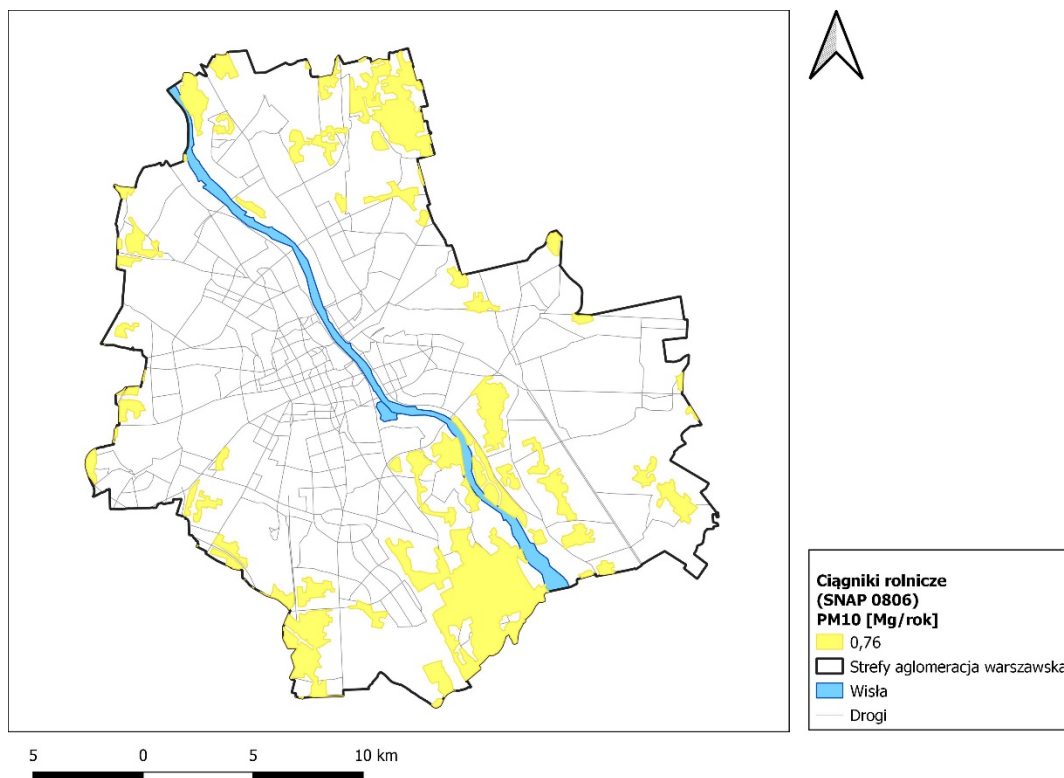
Rysunek 83 Rozmieszczenie oraz ładunki emisji pyłu zawieszonego PM10 z transportu kolejowego oraz lotniska (SNAP 0802 i 0805) w strefie aglomeracja warszawska w 2018 roku



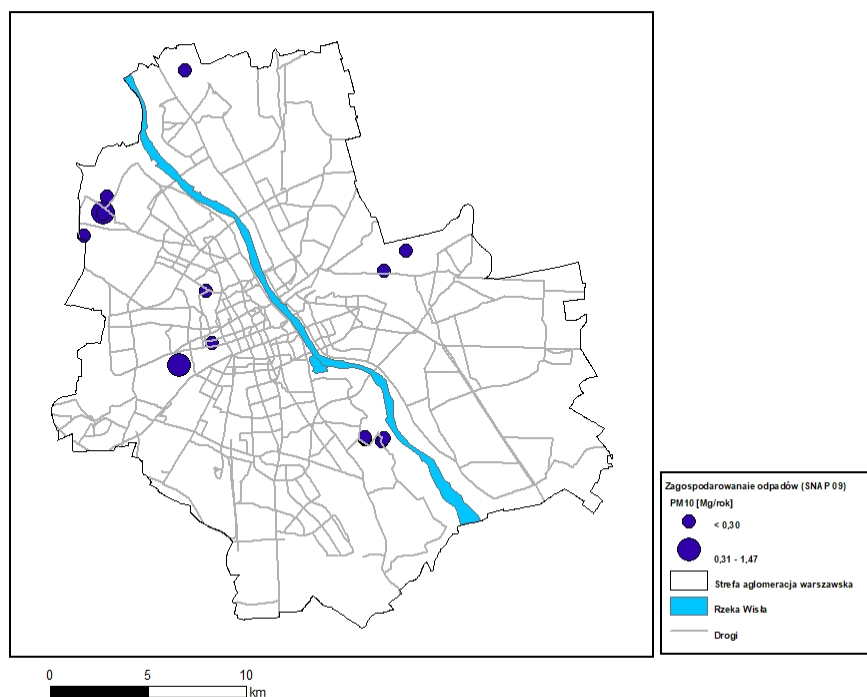
Rysunek 84 Rozmieszczenie oraz ładunki emisji pyłu zawieszonego PM10 z transportu kolejowego oraz lotniska (SNAP 0802 i 0805) w strefie aglomeracja warszawska w 2021 roku



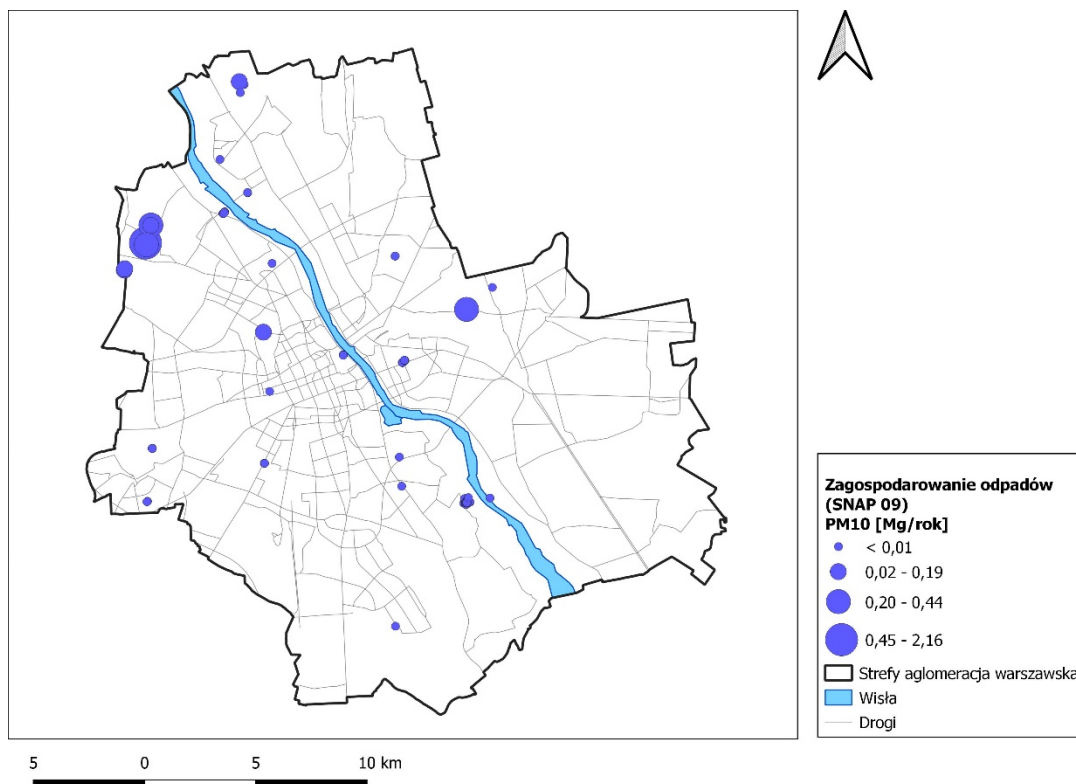
Rysunek 85 Przestrzenny rozkład oraz ładunki emisji pyłu zawieszonego PM10 z ciągników rolniczych (SNAP 0806) w strefie aglomeracja warszawska w 2018 roku



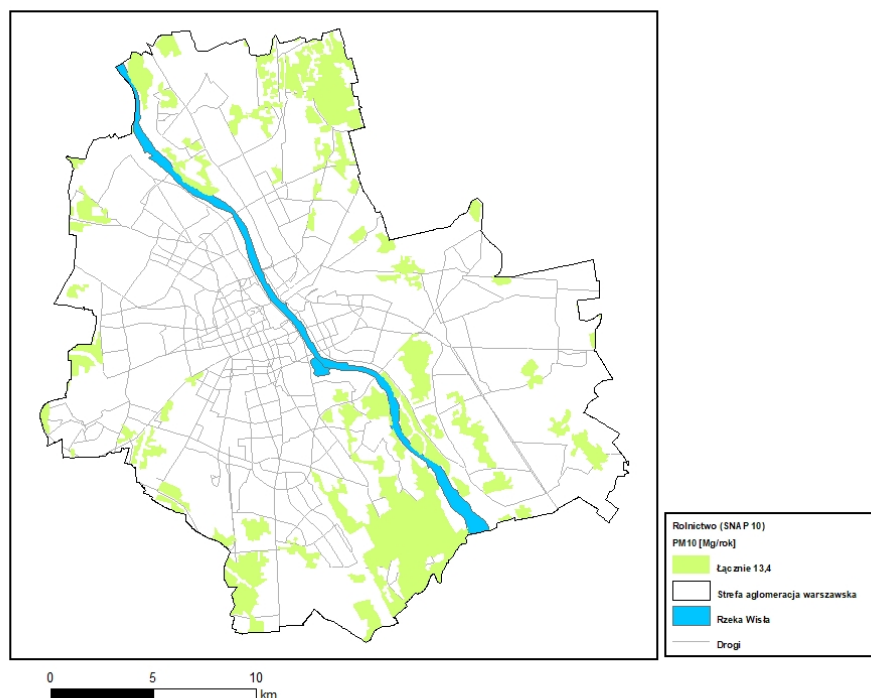
Rysunek 86 Przestrzenny rozkład oraz ładunki emisji pyłu zawieszonego PM10 z ciągników rolniczych (SNAP 0806) w strefie aglomeracja warszawska w 2021 roku



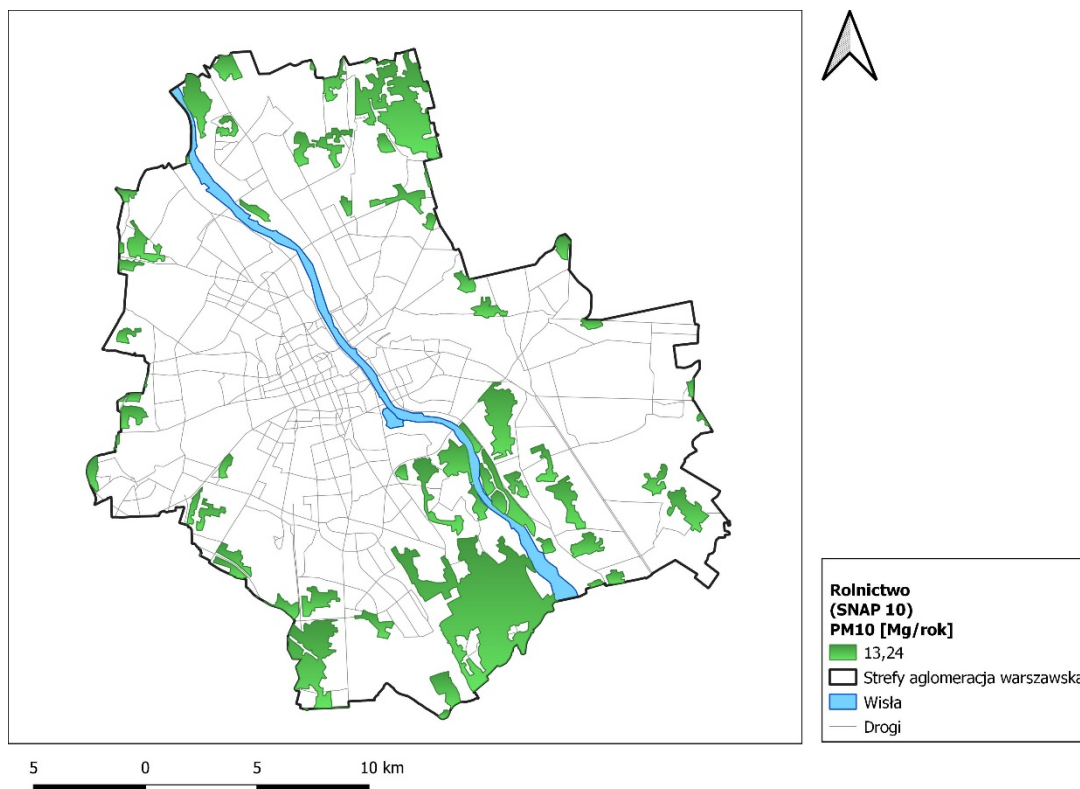
Rysunek 87 Przestrzenny rozkład oraz ładunki emisji pyłu zawieszonego PM10 z zagospodarowania odpadów (SNAP 09) w strefie aglomeracja warszawska w 2018 roku



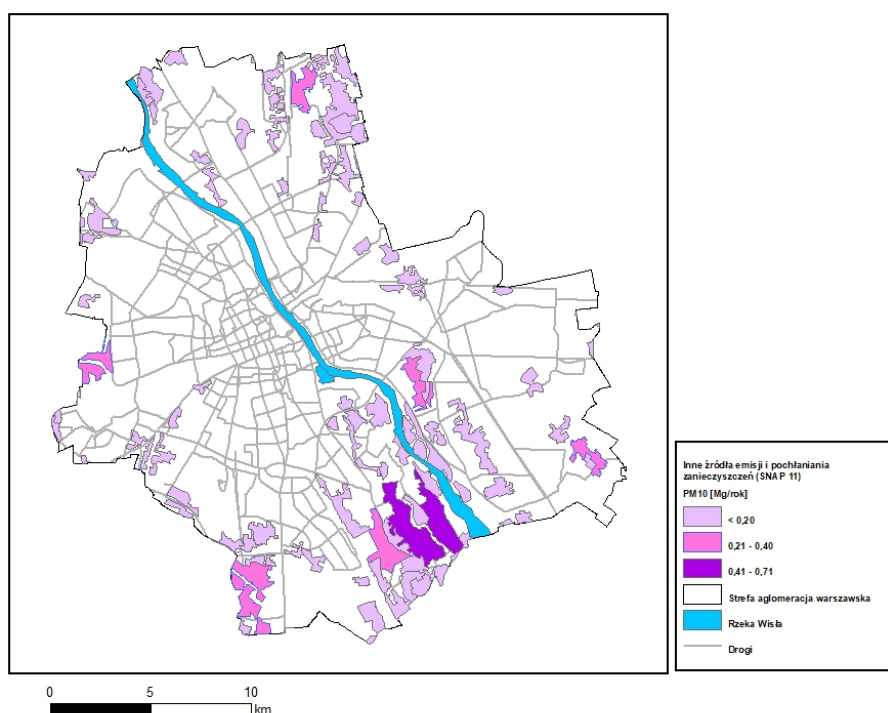
Rysunek 88 Przestrzenny rozkład oraz ładunki emisji pyłu zawieszonego PM10 z zagospodarowania odpadów (SNAP 09) w strefie aglomeracja warszawska w 2021 roku



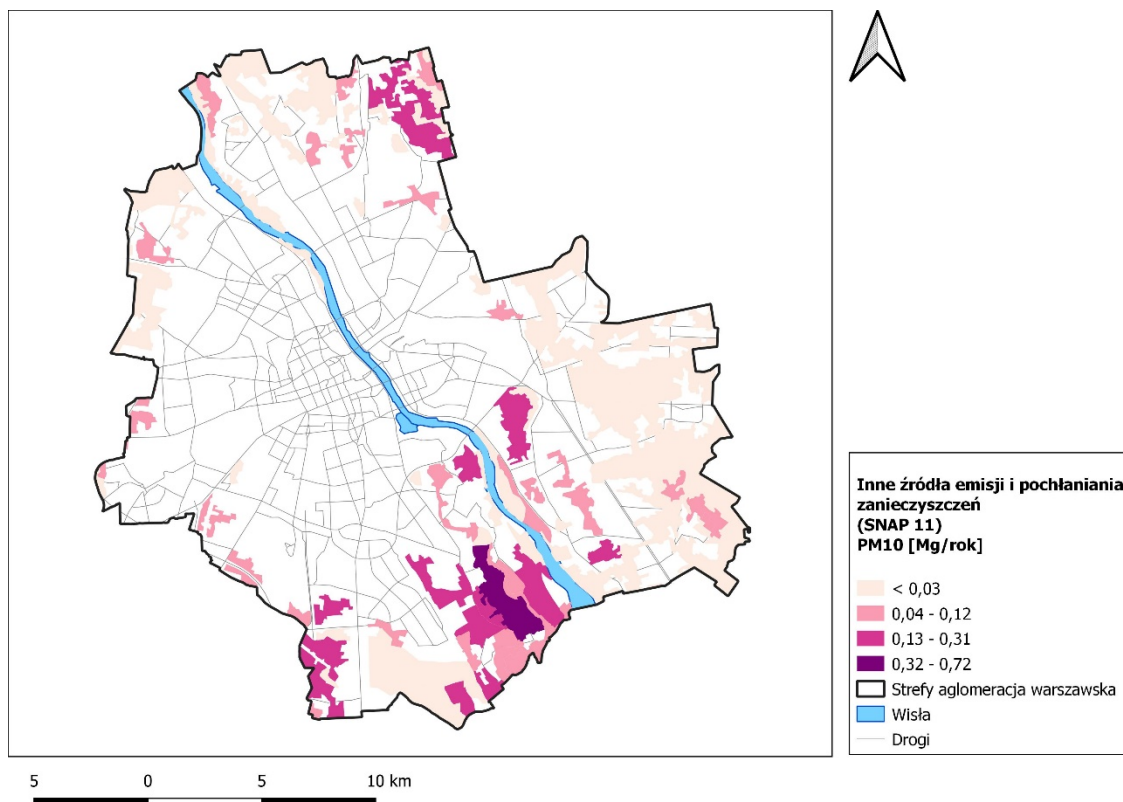
Rysunek 89 Przestrzenny rozkład oraz ładunki emisji pyłu zawieszonego PM10 z rolnictwa (SNAP 10) w strefie aglomeracja warszawska w 2018 roku



Rysunek 90 Przestrzenny rozkład oraz ładunki emisji pyłu zawieszonego PM10 z rolnictwa (SNAP 10) w strefie aglomeracja warszawska w 2021 roku

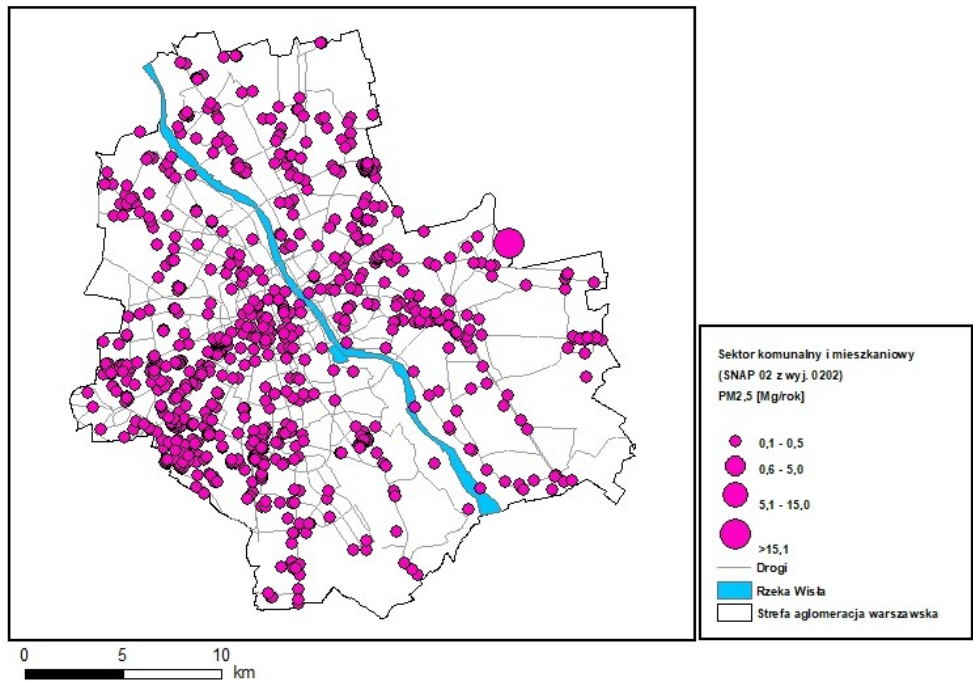


Rysunek 91 Przestrzenny rozkład oraz ładunki emisji pyłu zawieszonego PM10 z innych źródeł emisji i pochłaniania zanieczyszczeń (SNAP 11) w strefie aglomeracja warszawska w 2018 roku

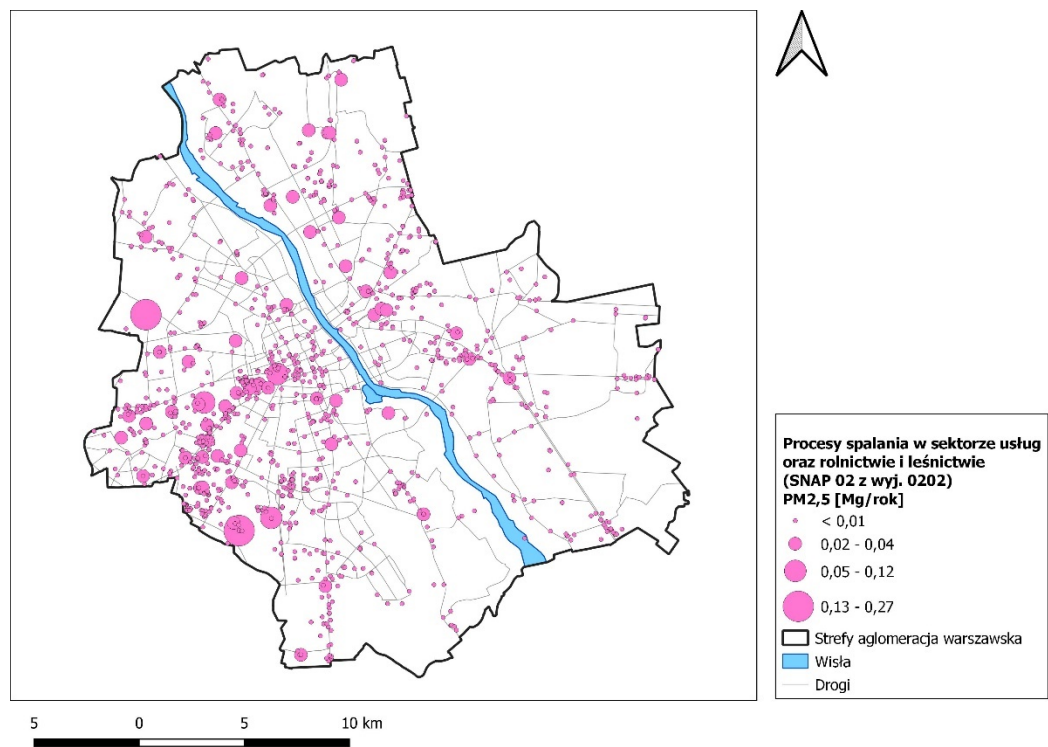


Rysunek 92 Przestrzenny rozkład oraz ładunki emisji pyłu zawieszonego PM10 z innych źródeł emisji i pochłaniania zanieczyszczeń (SNAP 11) w strefie aglomeracja warszawska w 2021 roku

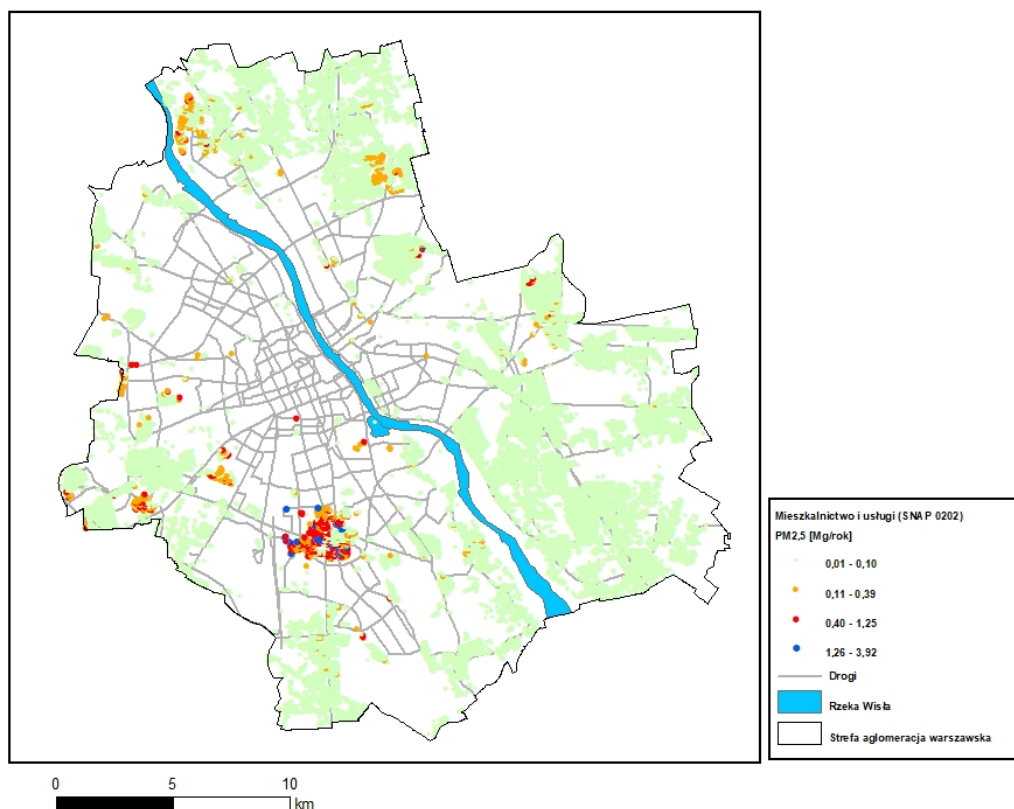
Emisja pyłu zawieszonego PM2,5



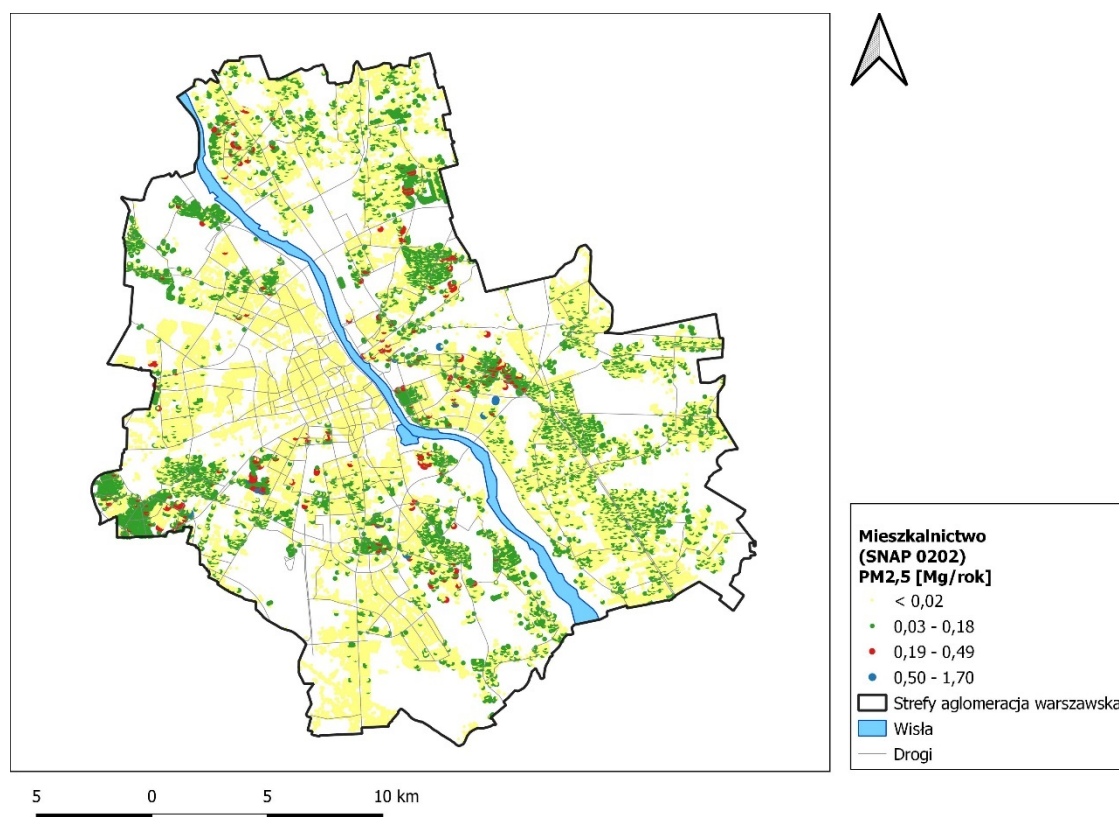
Rysunek 93 Rozmieszczenie oraz ładunki emisji pyłu zawieszonego PM2,5 w sektorze komunalnym i mieszkaniowym (SNAP 02 z wyjątkiem 0202) w strefie aglomeracja warszawska w 2018 roku



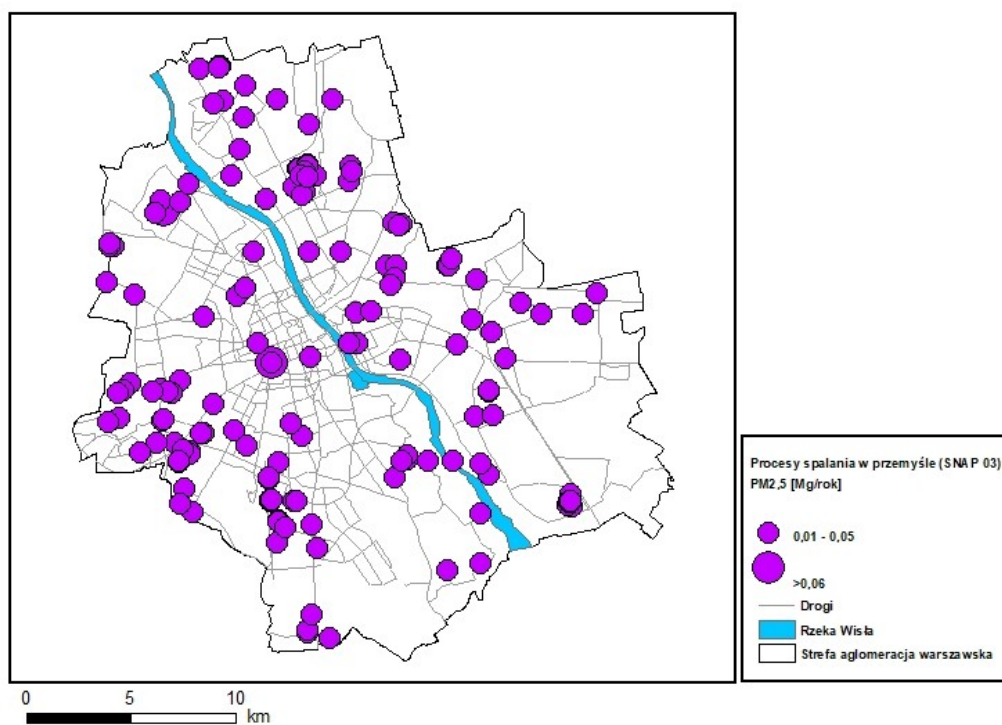
Rysunek 94 Rozmieszczenie oraz ładunki emisji pyłu zawieszonego PM2,5 w sektorze usług oraz rolnictwie i leśnictwie (SNAP 02 z wyjątkiem 0202) w strefie aglomeracja warszawska w 2021 roku



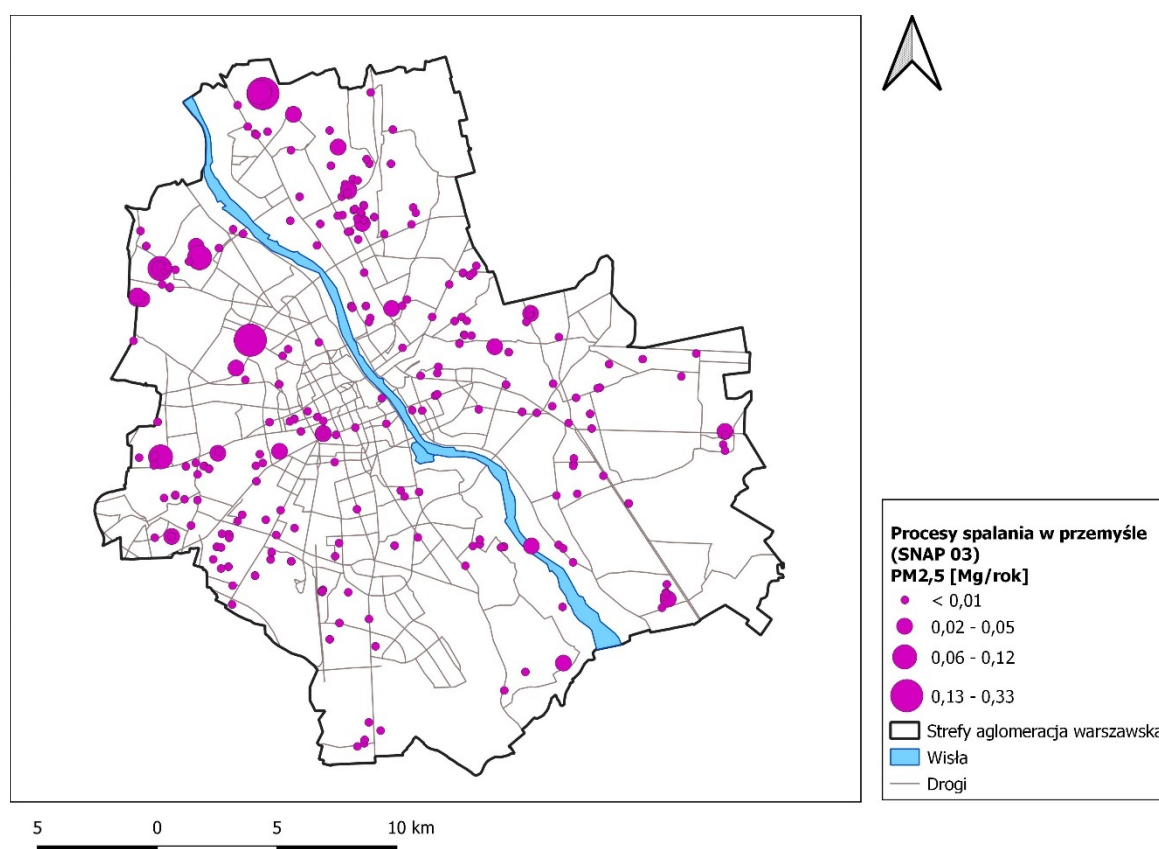
Rysunek 95 Rozmieszczenie oraz ładunki emisji pyłu zawieszonego PM2,5 w mieszkalnictwie i usługach (SNAP 0202) w strefie aglomeracja warszawska w 2018 roku



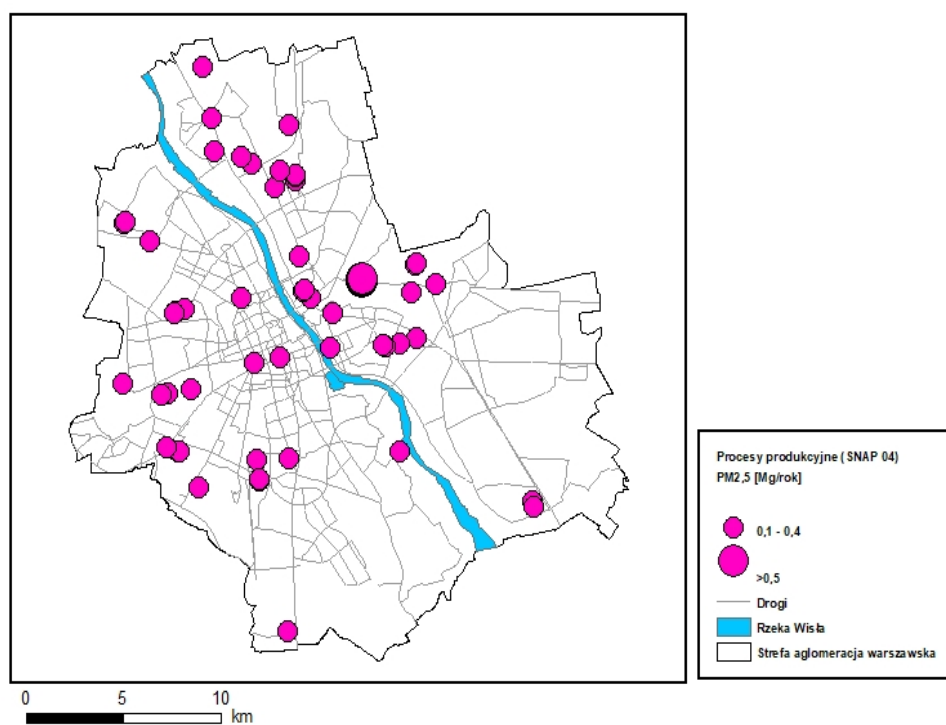
Rysunek 96 Rozmieszczenie oraz ładunki emisji pyłu zawieszonego PM2,5 w mieszkalnictwie (SNAP 0202) w strefie aglomeracja warszawska w 2021 roku



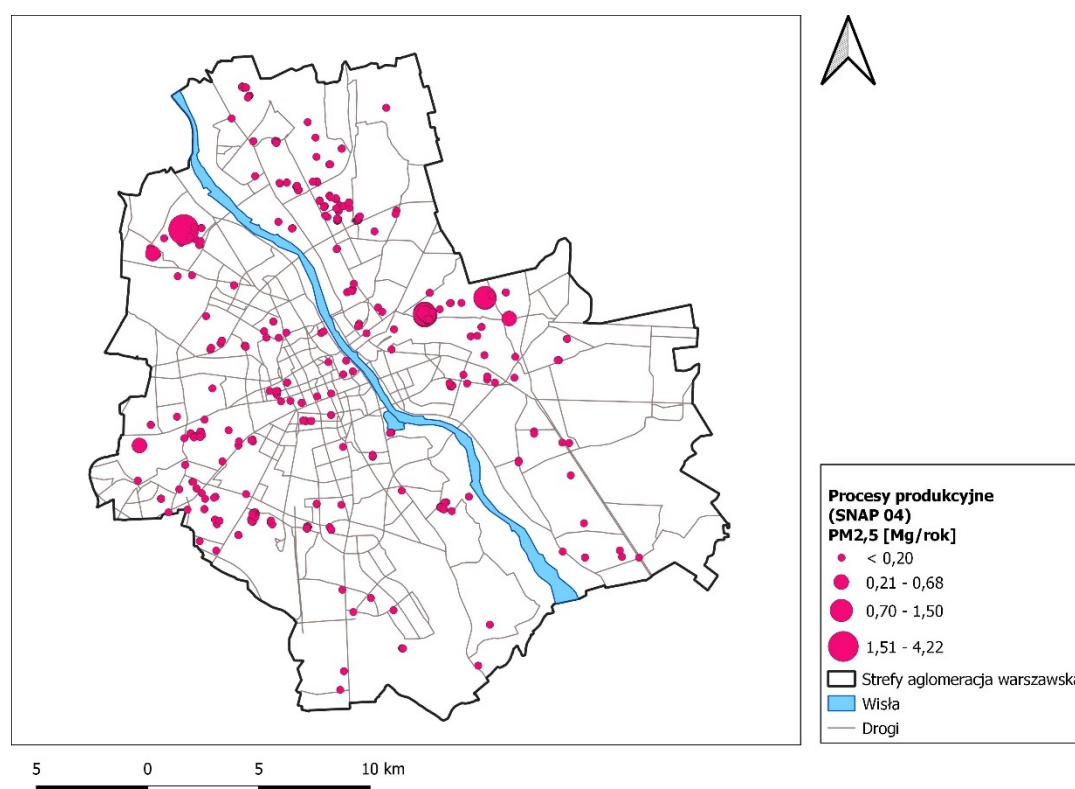
Rysunek 97 Rozmieszczenie oraz ładunki emisji pyłu zawieszonego PM2,5 z procesów spalania w przemyśle (SNAP 03) w strefie aglomeracja warszawska w 2018 roku



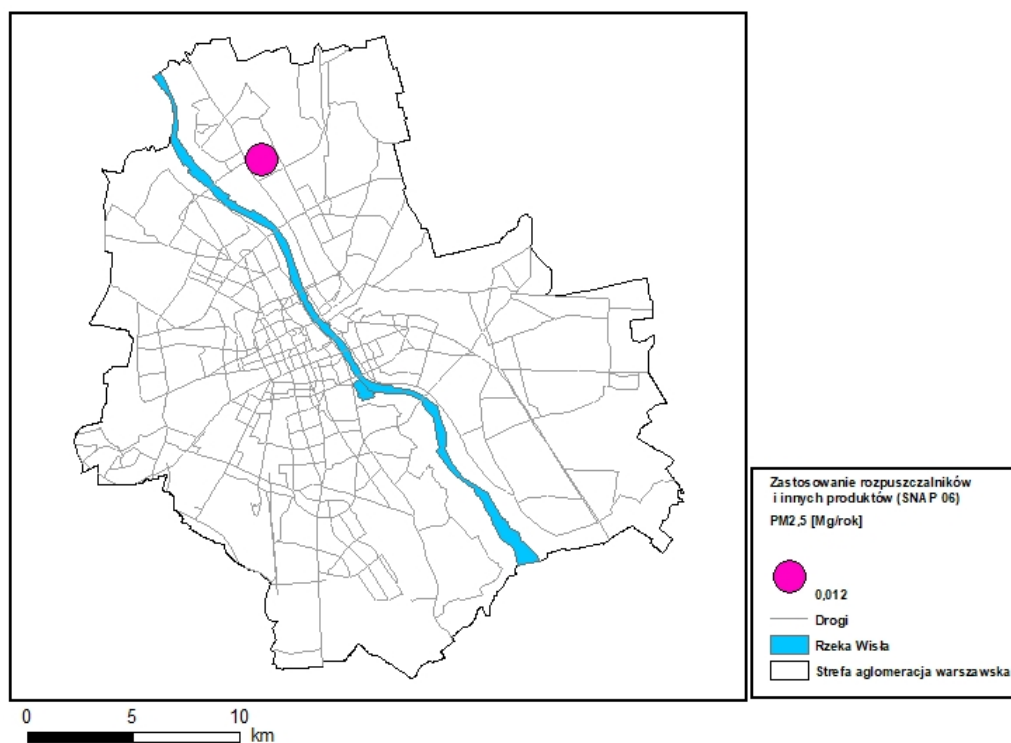
Rysunek 98 Rozmieszczenie oraz ładunki emisji pyłu zawieszonego PM2,5 z procesów spalania w przemyśle (SNAP 03) w strefie aglomeracja warszawska w 2021 roku



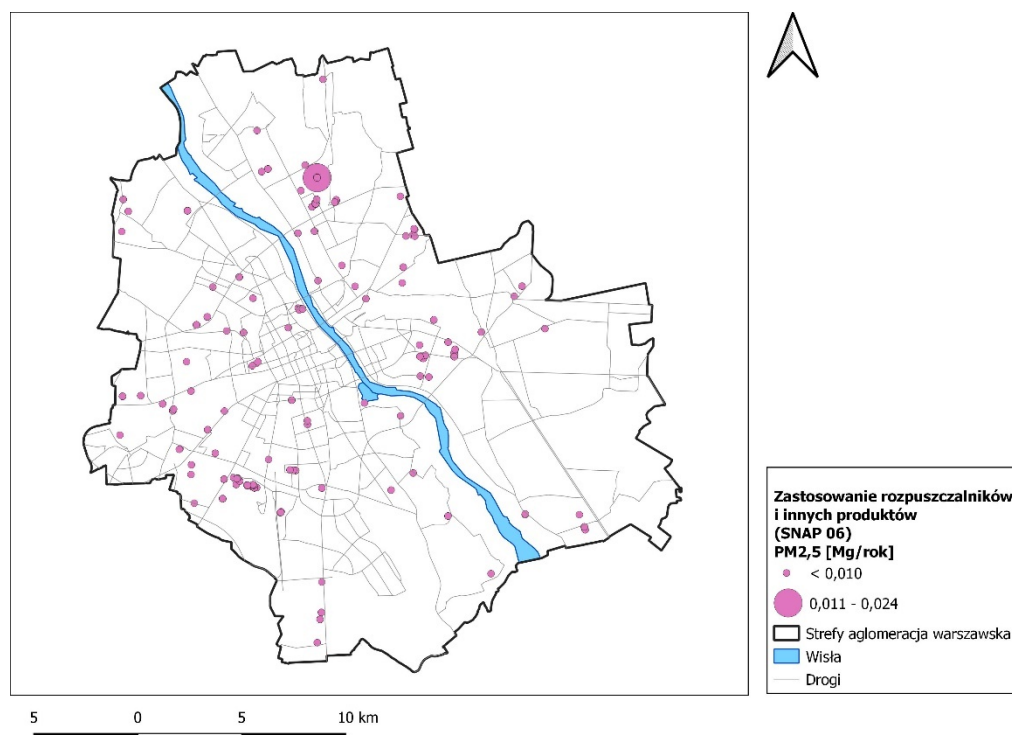
Rysunek 99 Rozmieszczenie oraz ładunki emisji pyłu zawieszonego PM2,5 z procesów produkcyjnych (SNAP 04) w strefie aglomeracja warszawska w 2018 roku



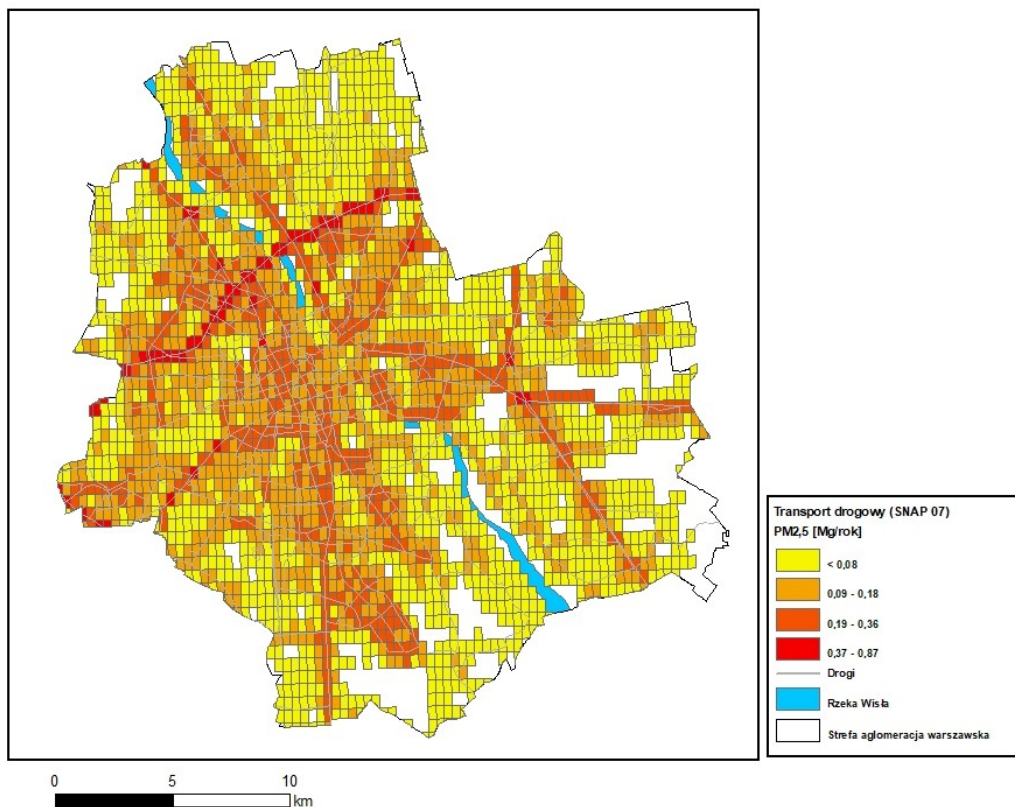
Rysunek 100 Rozmieszczenie oraz ładunki emisji pyłu zawieszonego PM2,5 z procesów produkcyjnych (SNAP 04) w strefie aglomeracja warszawska w 2021 roku



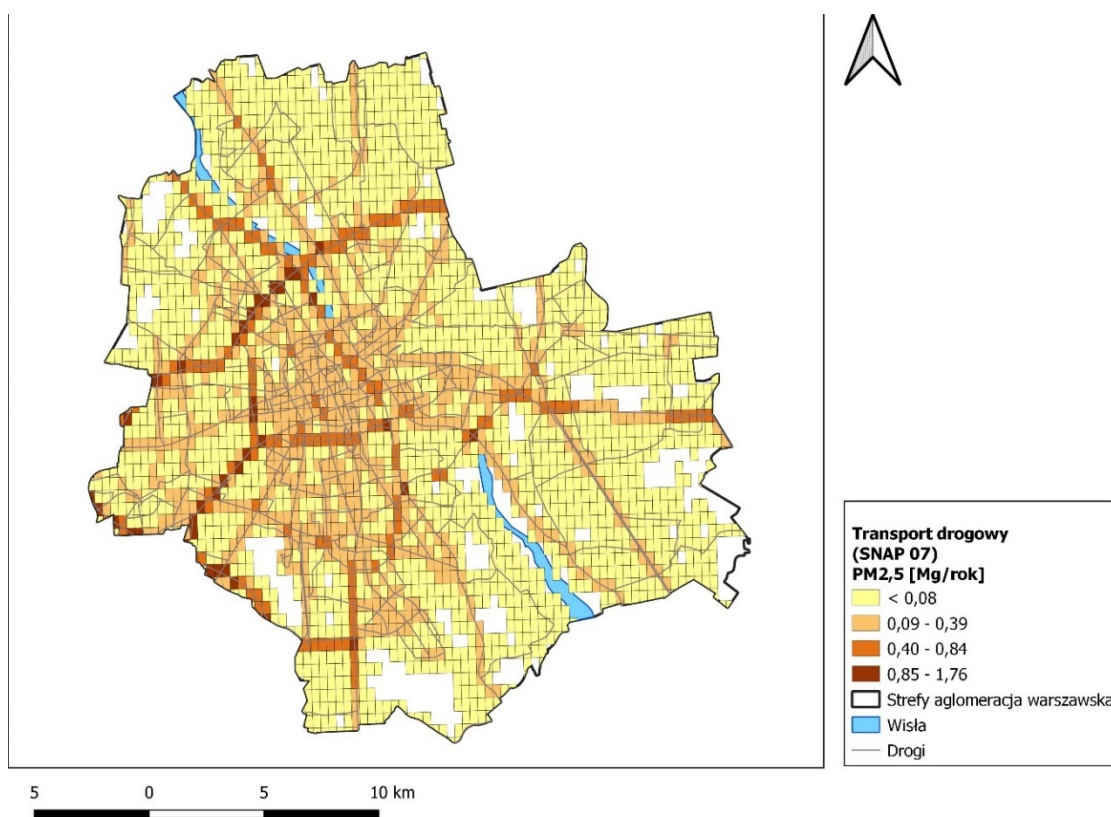
Rysunek 101 Rozmieszczenie oraz ładunki emisji pyłu zawieszonego PM2,5 z zastosowania rozpuszczalników i innych produktów (SNAP 06) w strefie aglomeracja warszawska w 2018 roku



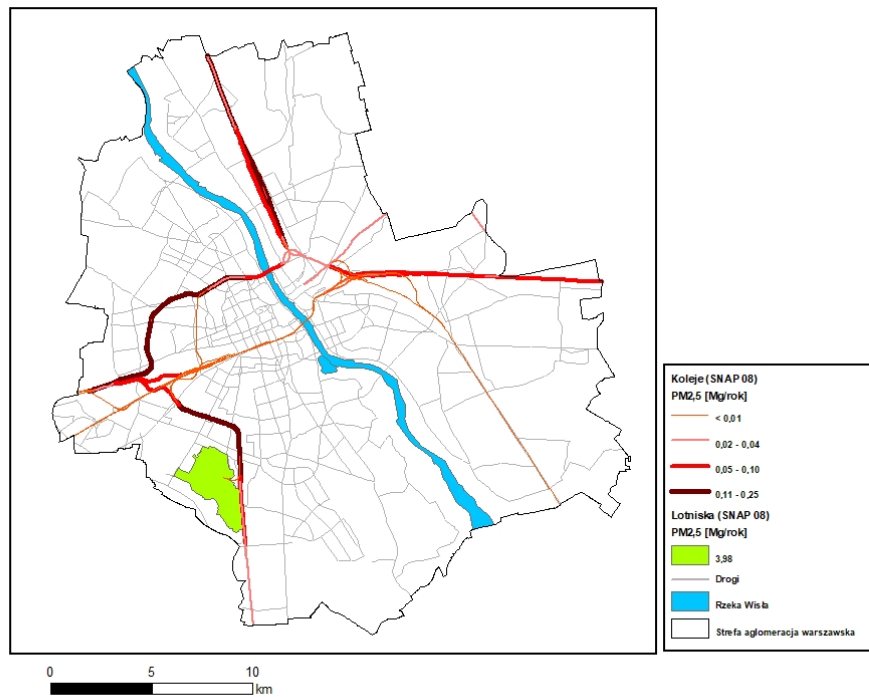
Rysunek 102 Rozmieszczenie oraz ładunki emisji pyłu zawieszonego PM2,5 z zastosowania rozpuszczalników i innych produktów (SNAP 06) w strefie aglomeracja warszawska w 2021 roku



Rysunek 103 Rozmieszczenie oraz ładunki emisji pyłu zawieszonego PM2,5 z transportu drogowego (SNAP 07) w strefie aglomeracja warszawska w 2018 roku

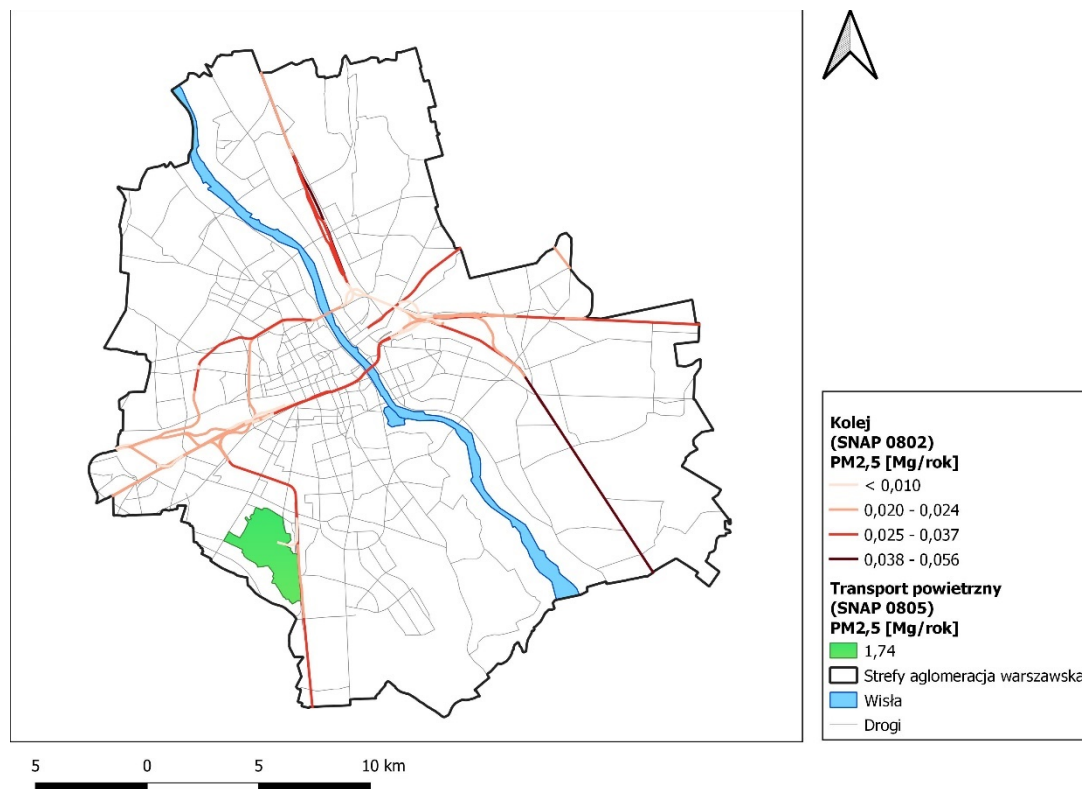


Rysunek 104 Rozmieszczenie oraz ładunki emisji pyłu zawieszonego PM2,5 z transportu drogowego (SNAP 07) w strefie aglomeracja warszawska w 2021 roku

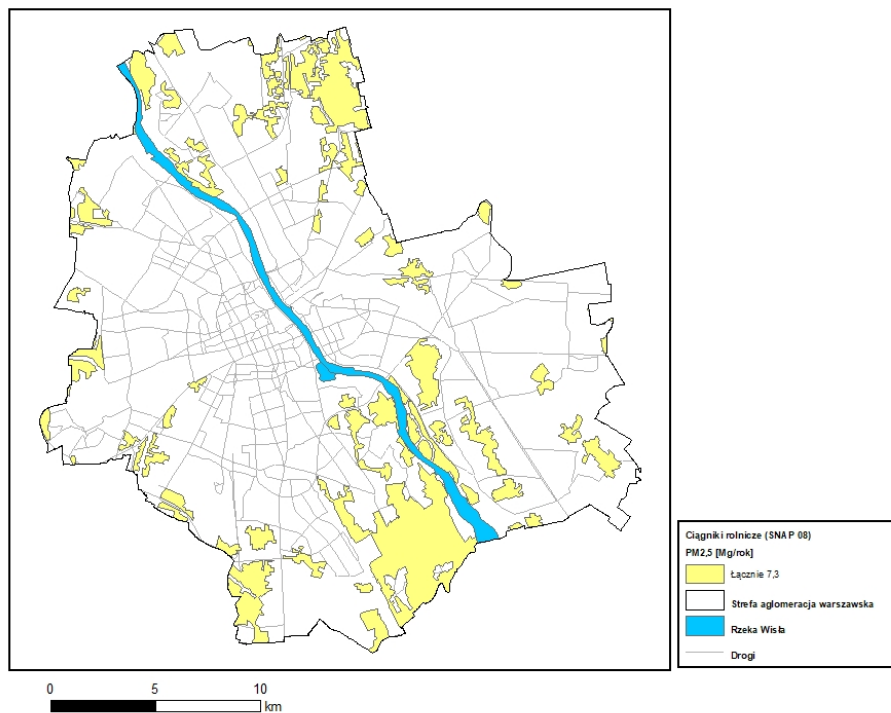


Rysu

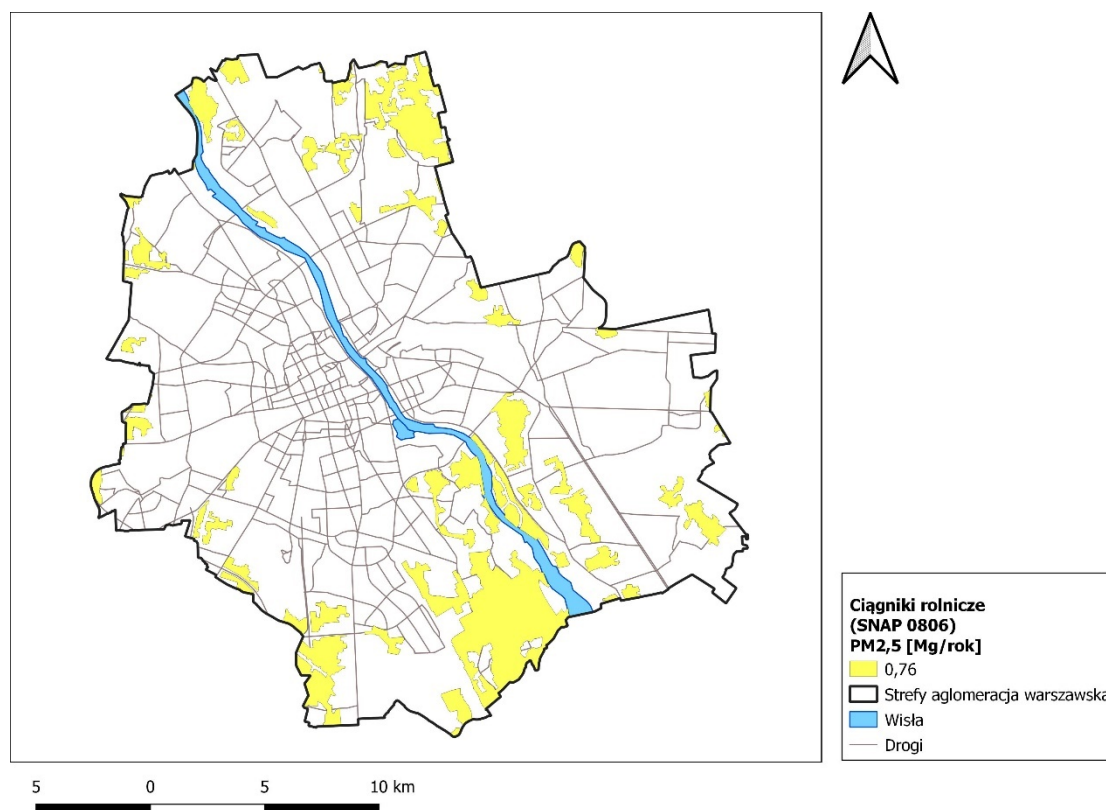
nek 105 Rozmieszczenie oraz ładunki emisji pyłu zawieszonego PM2,5 z transportu kolejowego oraz lotniska (SNAP 0802 i 0805) w strefie aglomeracja warszawska w 2018 roku



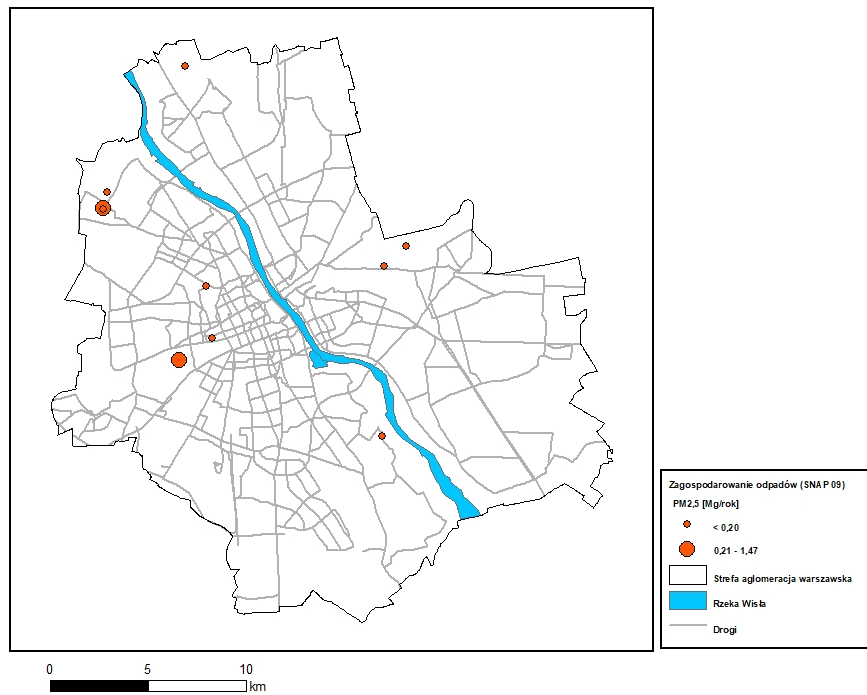
Rysunek 106 Rozmieszczenie oraz ładunki emisji pyłu zawieszonego PM2,5 z transportu kolejowego oraz lotniska (SNAP 0802 i 0805) w strefie aglomeracja warszawska w 2021 roku



Rysunek 107 Rozmieszczenie oraz ładunki emisji pyłu zawieszonego PM2,5 z ciągników rolniczych (SNAP 0806) w strefie aglomeracja warszawska w 2018 roku

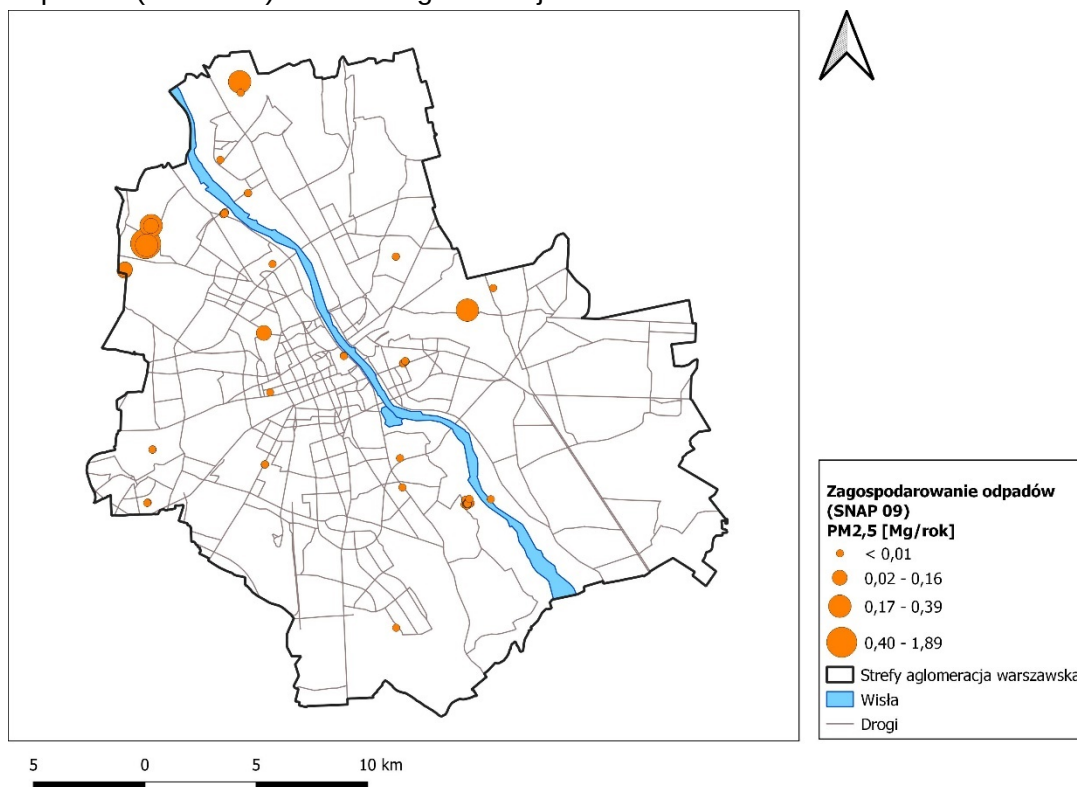


Rysunek 108 Rozmieszczenie oraz ładunki emisji pyłu zawieszonego PM2,5 z ciągników rolniczych (SNAP 0806) w strefie aglomeracja warszawska w 2021 roku

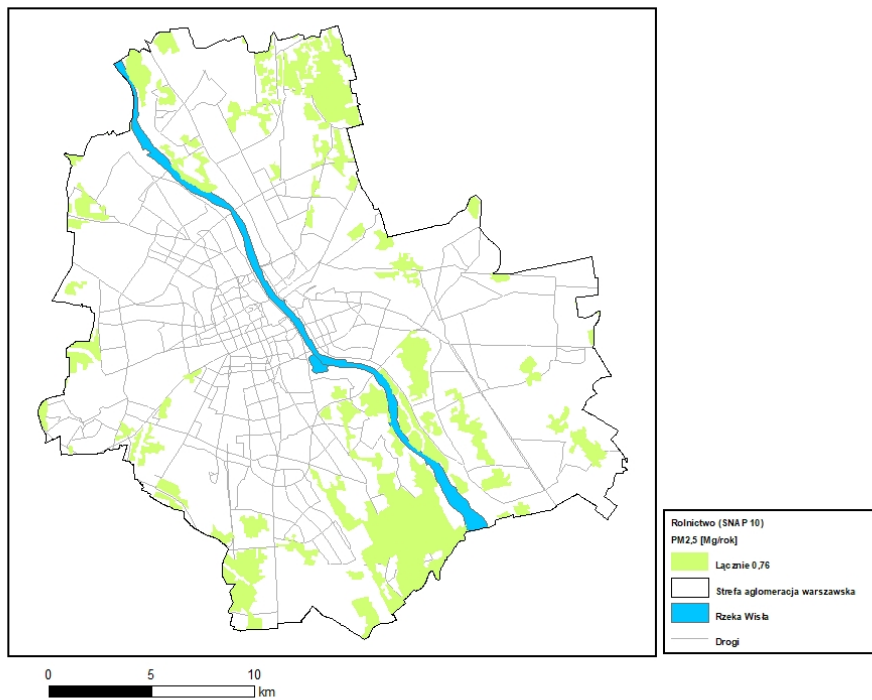


Rysun

ek 109 Rozmieszczenie oraz ładunki emisji pyłu zawieszonego PM_{2,5} z zagospodarowania odpadów (SNAP 09) w strefie aglomeracja warszawska w 2018 roku

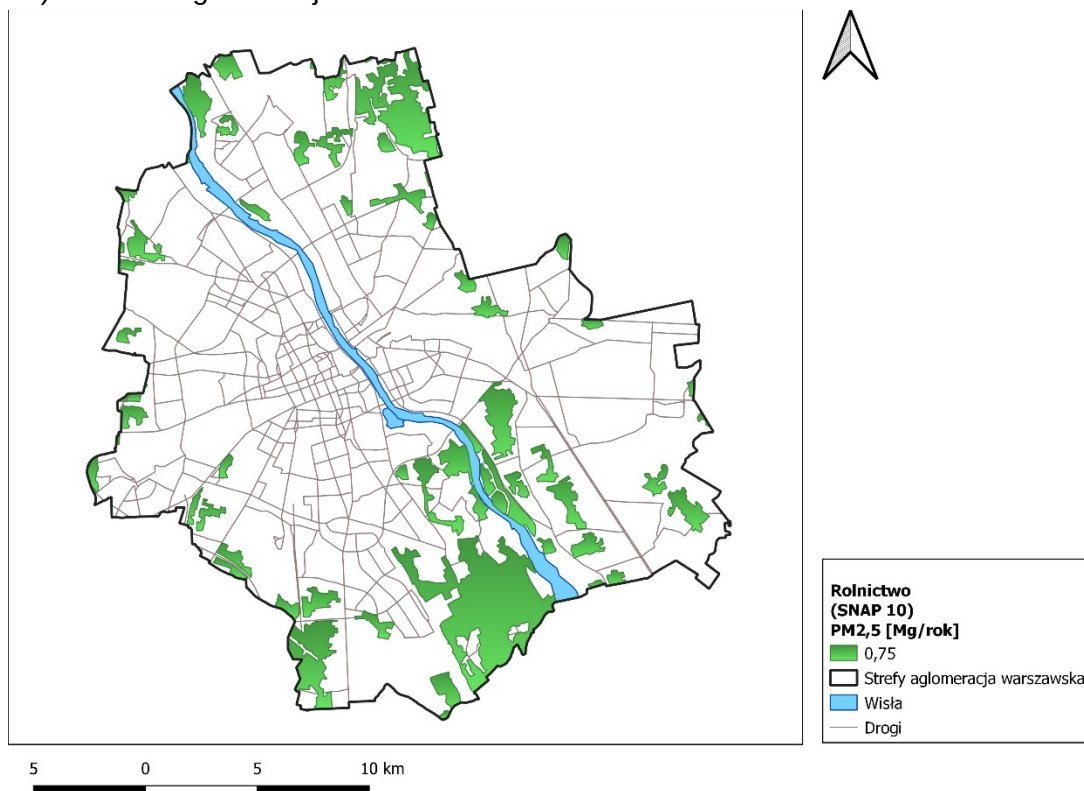


Rysunek 110 Rozmieszczenie oraz ładunki emisji pyłu zawieszonego PM_{2,5} z zagospodarowania odpadów (SNAP 09) w strefie aglomeracja warszawska w 2021 roku

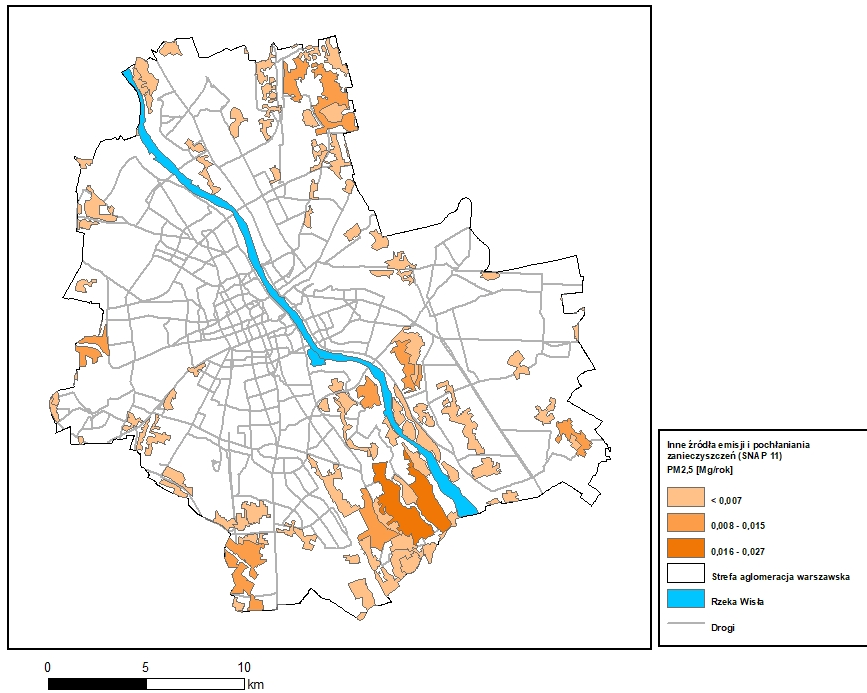


Rysu

nek 111 Rozmieszczenie oraz ładunki emisji pyłu zawieszonego PM2,5 z rolnictwa (SNAP 10) w strefie aglomeracja warszawska w 2018 roku

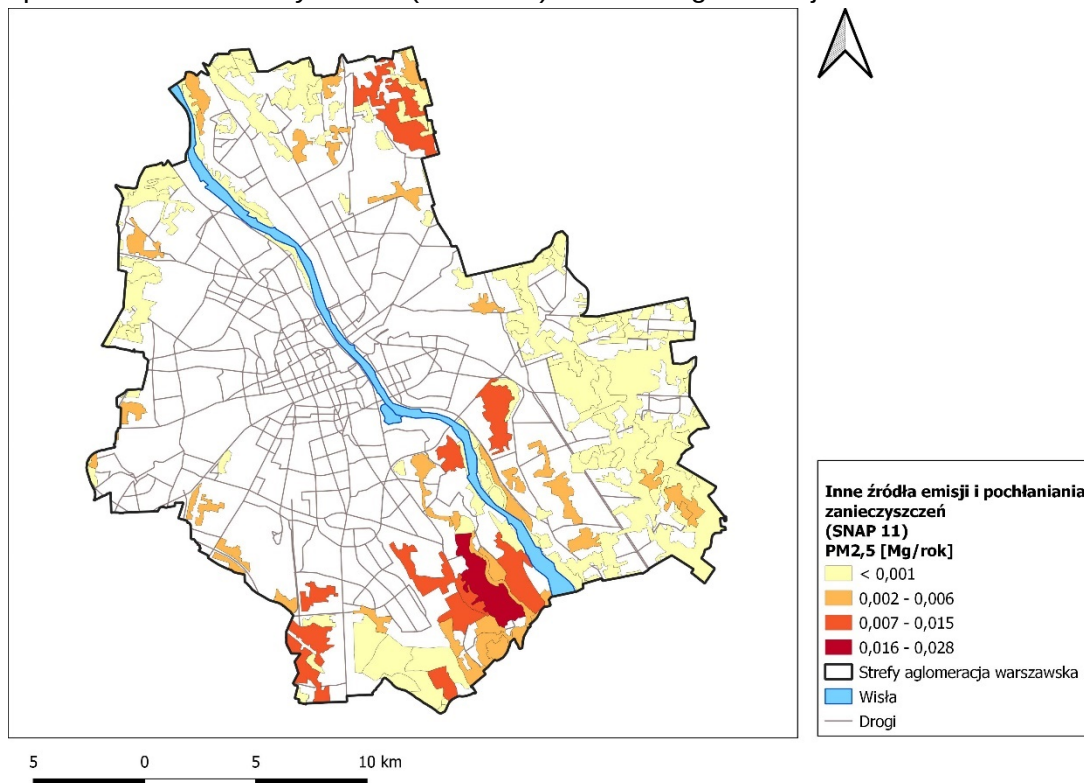


Rysunek 112 Rozmieszczenie oraz ładunki emisji pyłu zawieszonego PM2,5 z rolnictwa (SNAP 10) w strefie aglomeracja warszawska w 2021 roku



Rysun

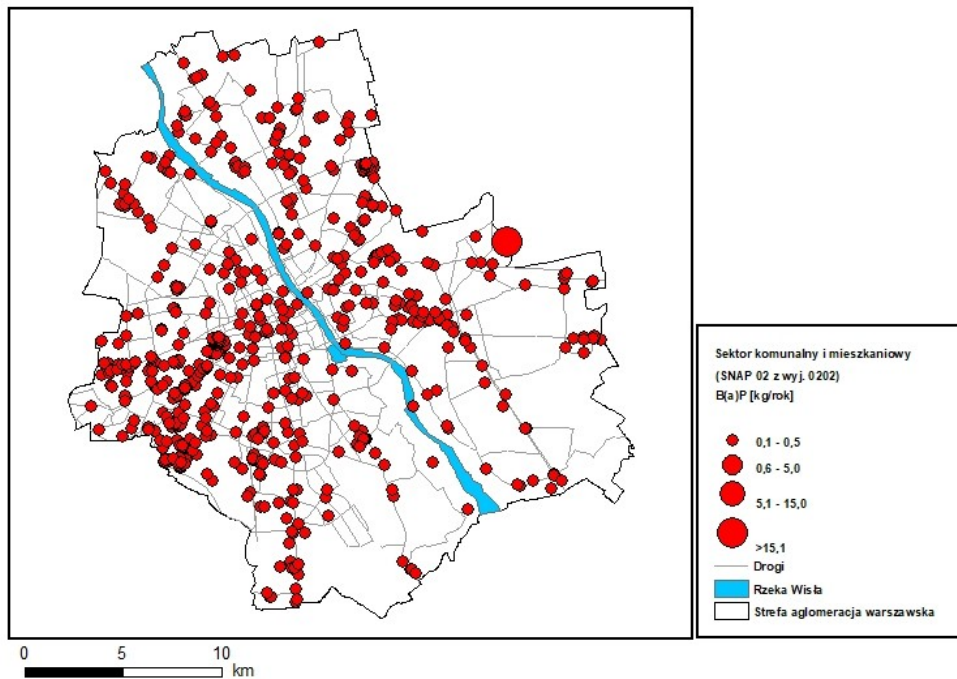
ek 113 Rozmieszczenie oraz ładunki emisji pyłu zawieszonego PM_{2,5} z innych źródeł emisji i pochłaniania zanieczyszczeń (SNAP 11) w strefie aglomeracja warszawska w 2018 roku



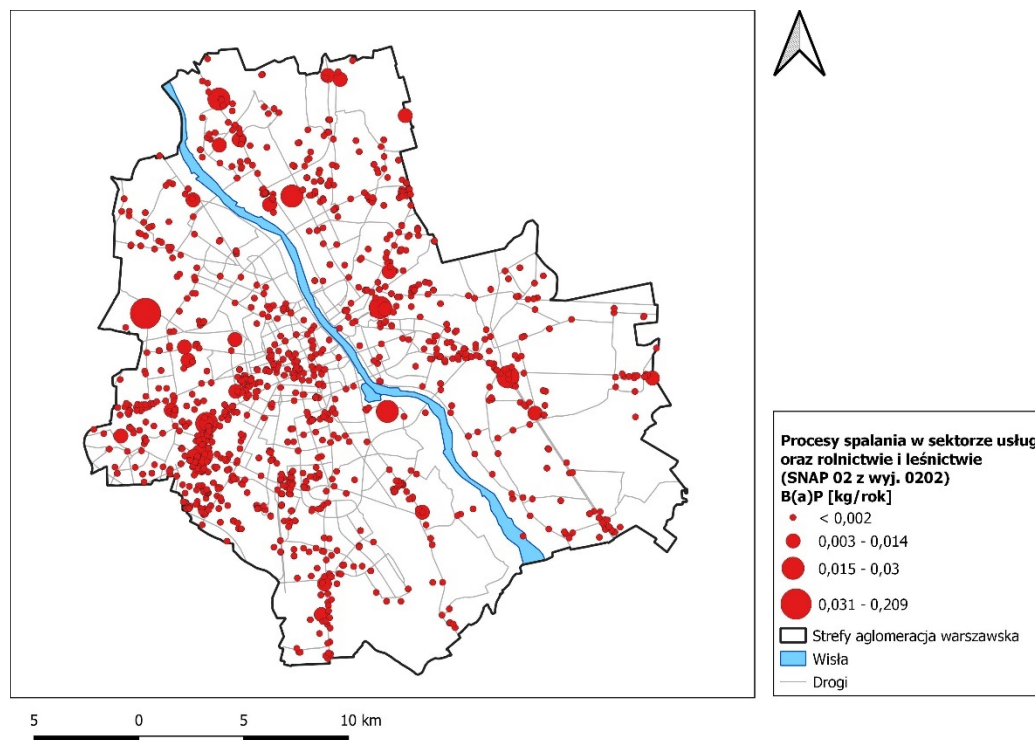
Rysun

ek 114 Rozmieszczenie oraz ładunki emisji pyłu zawieszonego PM_{2,5} z innych źródeł emisji i pochłaniania zanieczyszczeń (SNAP 11) w strefie aglomeracja warszawska w 2021 roku

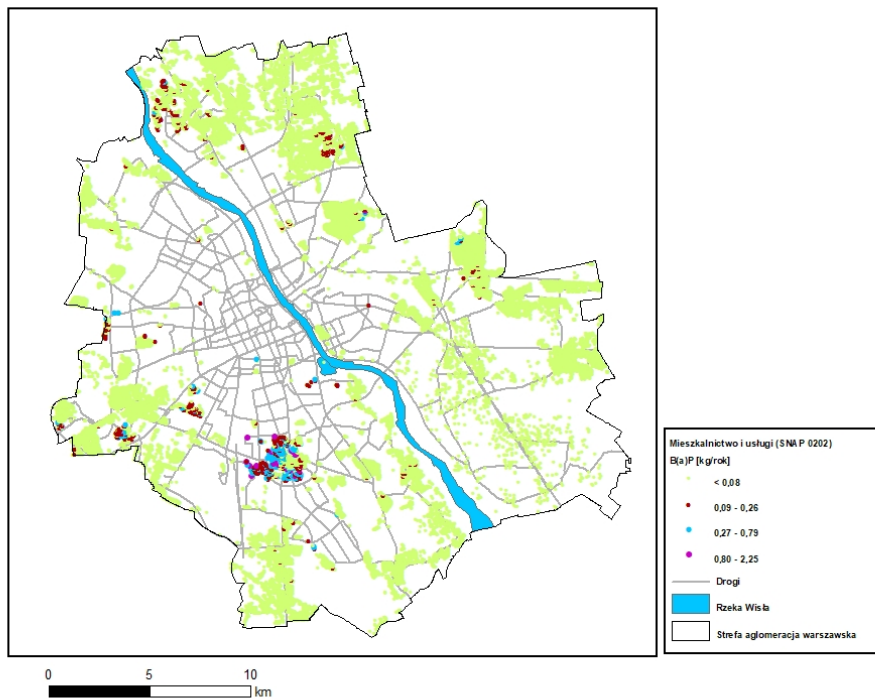
Emisja benzo(a)pirenu



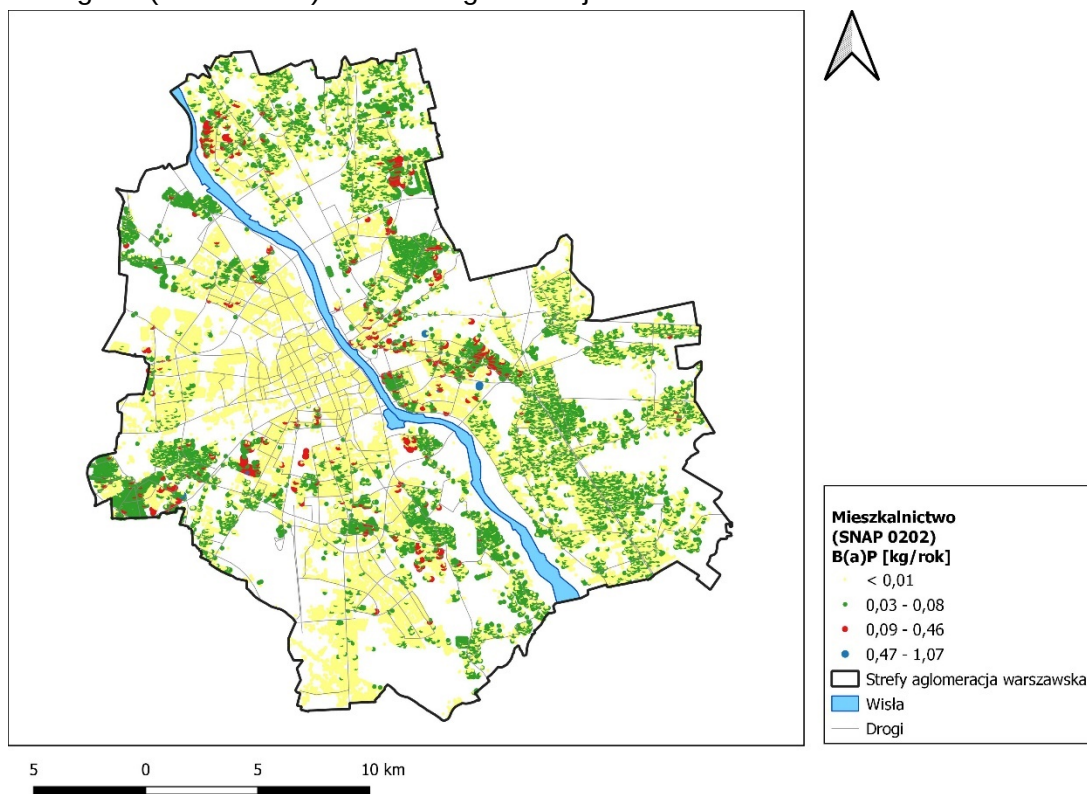
Rysunek 115 Rozmieszczenie oraz ładunki emisji benzo(a)pirenu w sektorze komunalnym i mieszkaniowym (SNAP 02 z wyjątkiem 0202) w strefie aglomeracja warszawska w 2018 roku



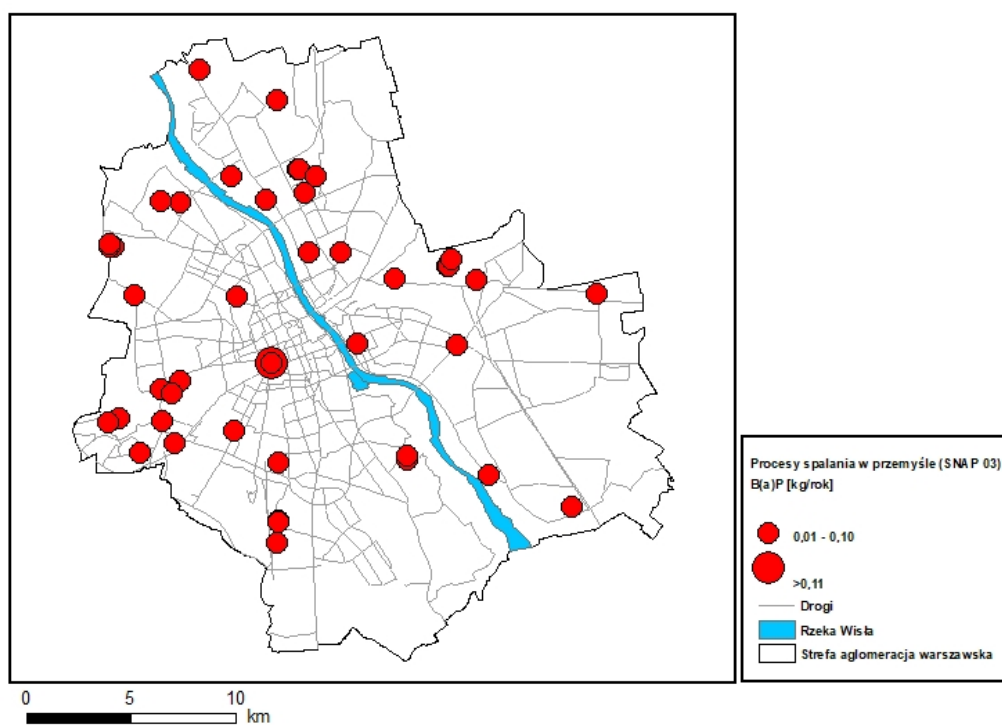
Rysunek 116 Rozmieszczenie oraz ładunki emisji benzo(a)pirenu w sektorze usług oraz rolnictwie i leśnictwie (SNAP 02 z wyjątkiem 0202) w strefie aglomeracja warszawska w 2021 roku



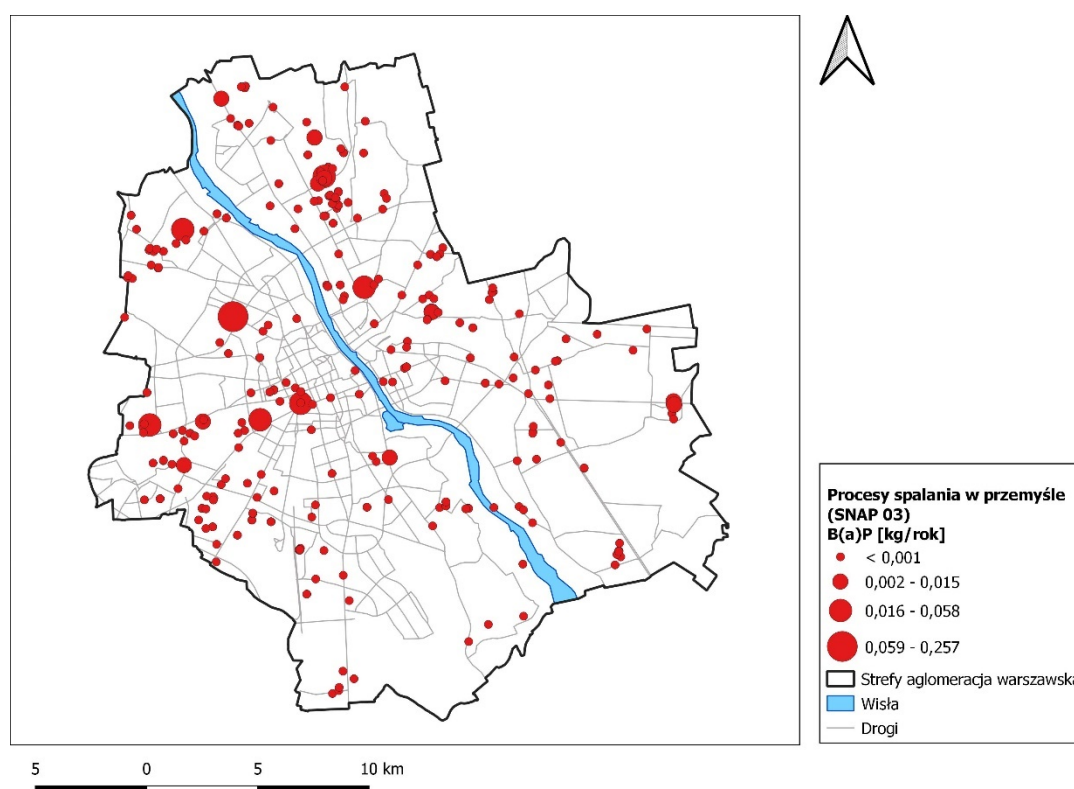
Rysunek 117 Rozmieszczenie oraz ładunki emisji benzo(a)pirenu w mieszkalnictwie i usługach (SNAP 0202) w strefie aglomeracja warszawska w 2018 roku



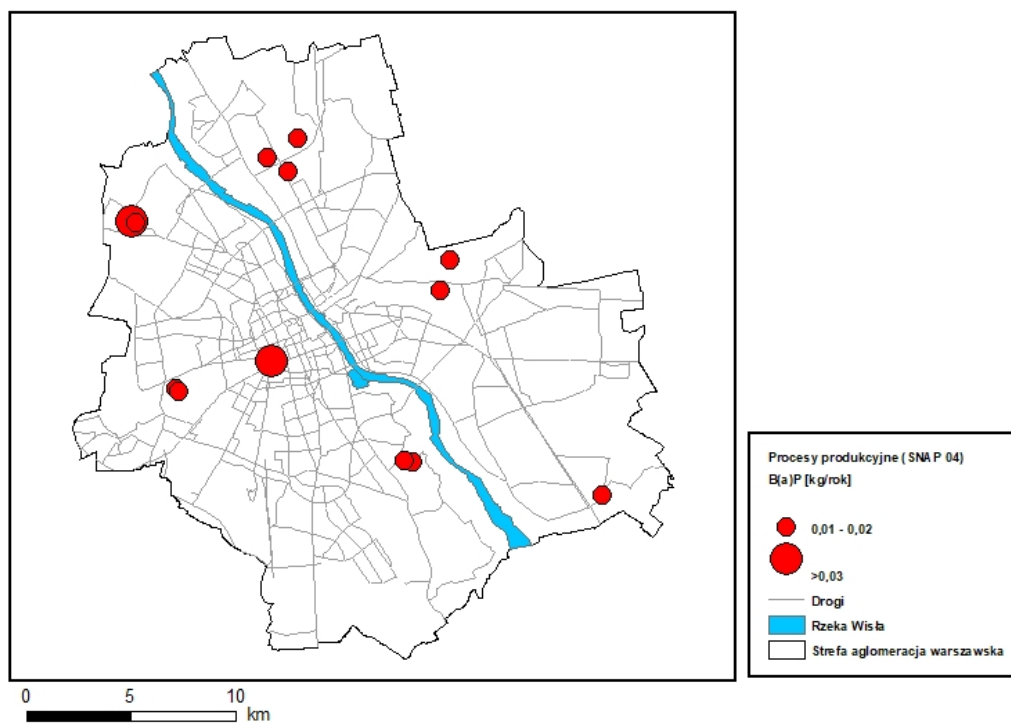
Rysunek 118 Rozmieszczenie oraz ładunki emisji benzo(a)pirenu w mieszkalnictwie (SNAP 0202) w strefie aglomeracja warszawska w 2021 roku



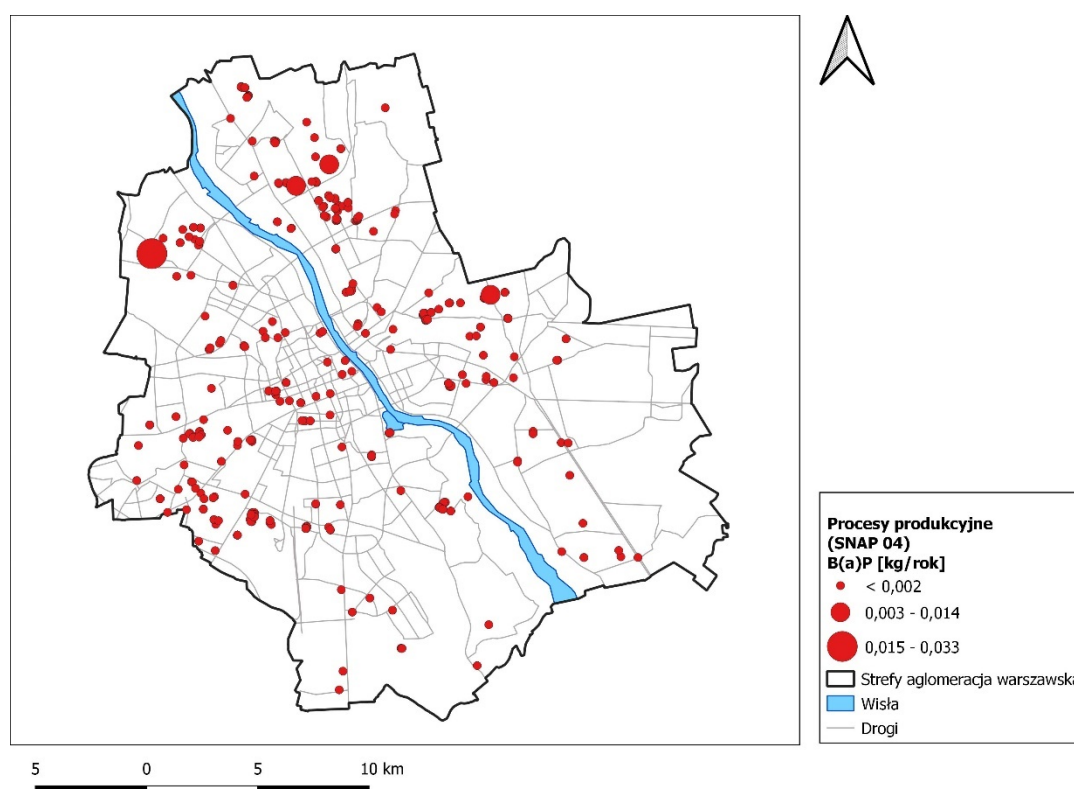
Rysunek 119 Rozmieszczenie oraz ładunki emisji benzo(a)pirenu z procesów spalania w przemyśle (SNAP 03) w strefie aglomeracja warszawska w 2018 roku



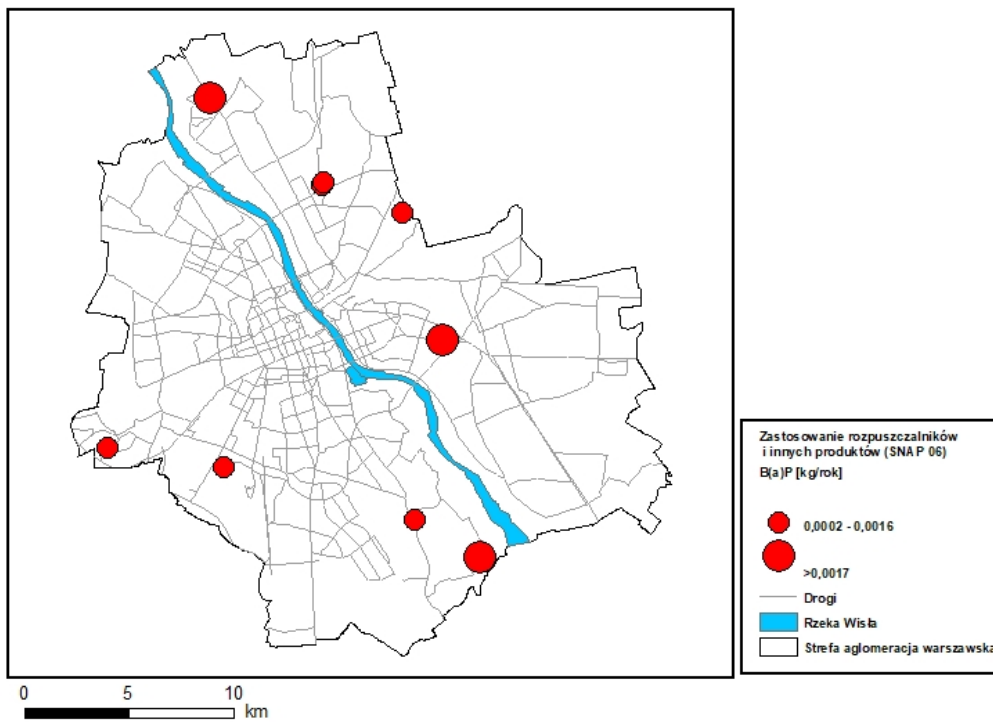
Rysunek 120 Rozmieszczenie oraz ładunki emisji benzo(a)pirenu z procesów spalania w przemyśle (SNAP 03) w strefie aglomeracja warszawska w 2021 roku



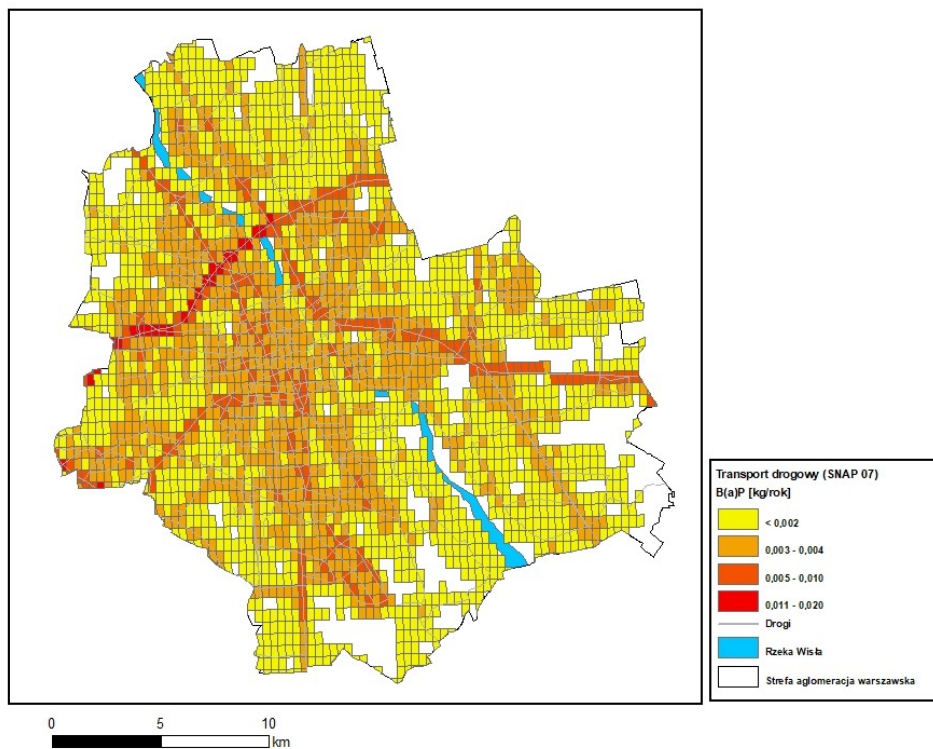
Rysunek 121 Rozmieszczenie oraz ładunki emisji benzo(a)pirenu z procesów produkcyjnych (SNAP 04) w strefie aglomeracja warszawska w 2018 roku



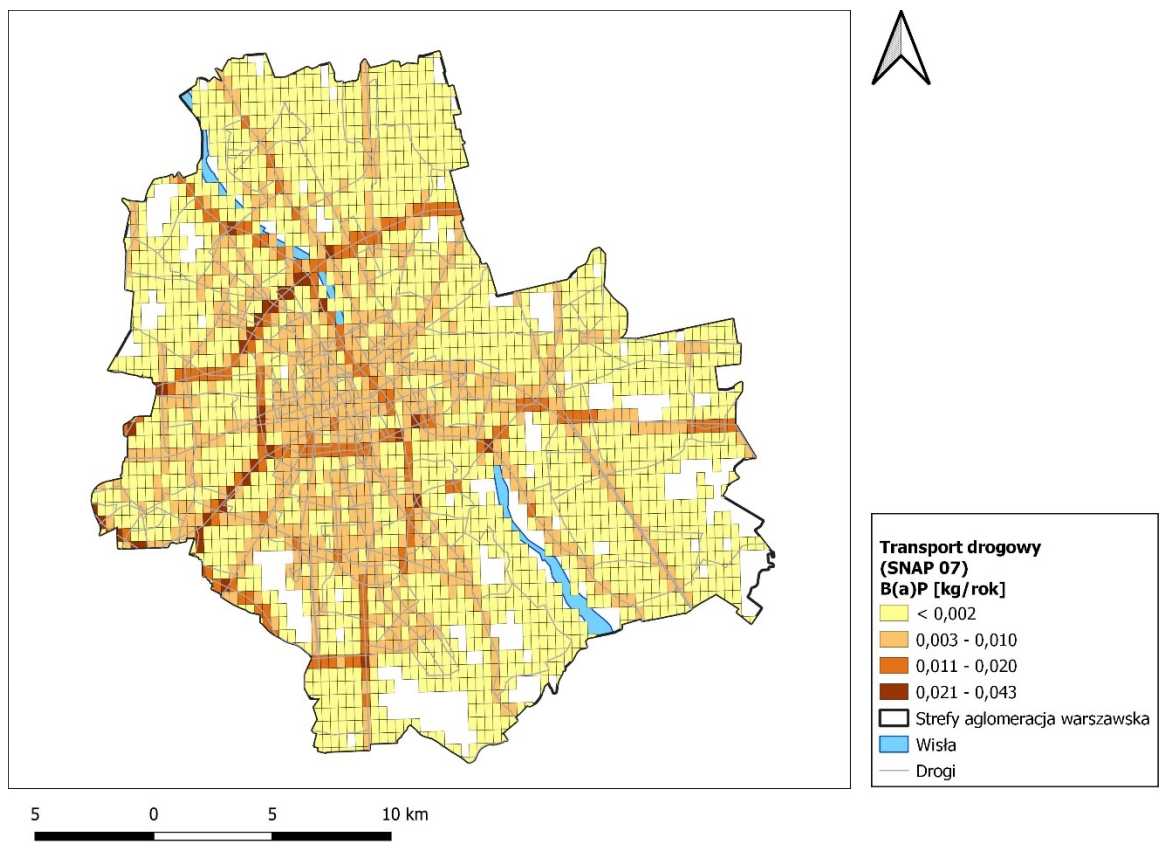
Rysunek 122 Rozmieszczenie oraz ładunki emisji benzo(a)pirenu z procesów produkcyjnych (SNAP 04) w strefie aglomeracja warszawska w 2021 roku



Rysunek 123 Rozmieszczenie oraz ładunki emisji benzo(a)pirenu z zastosowania rozpuszczalników i innych produktów (SNAP 06) w strefie aglomeracja warszawska w 2018 roku

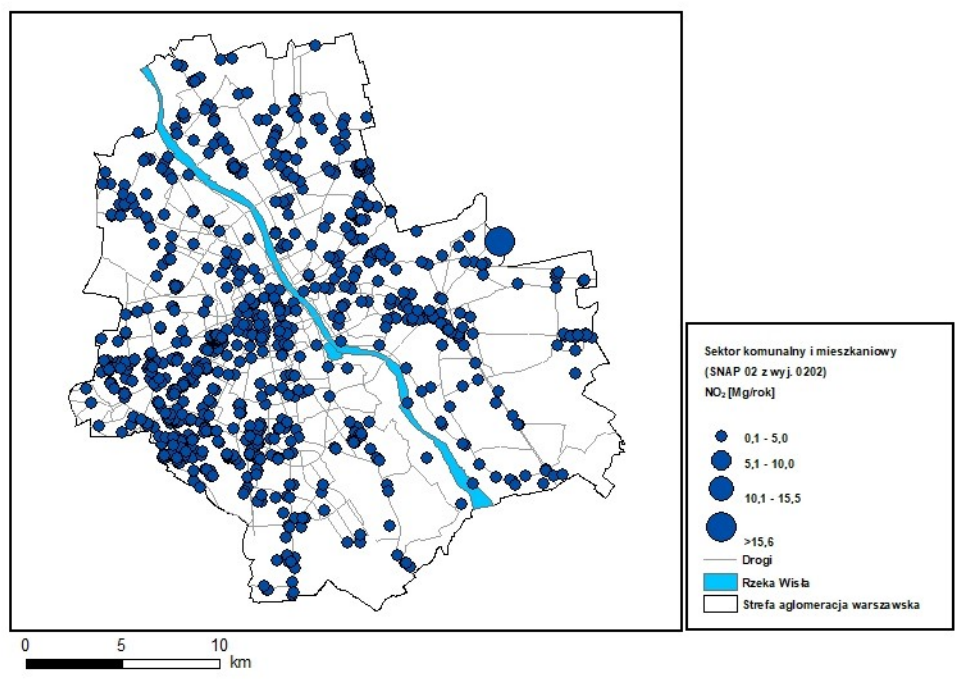


Rysunek 124 Rozkład przestrzenny oraz ładunki emisji benzo(a)pirenu z transportu drogowego (SNAP 07) w strefie aglomeracja warszawska w 2018 roku

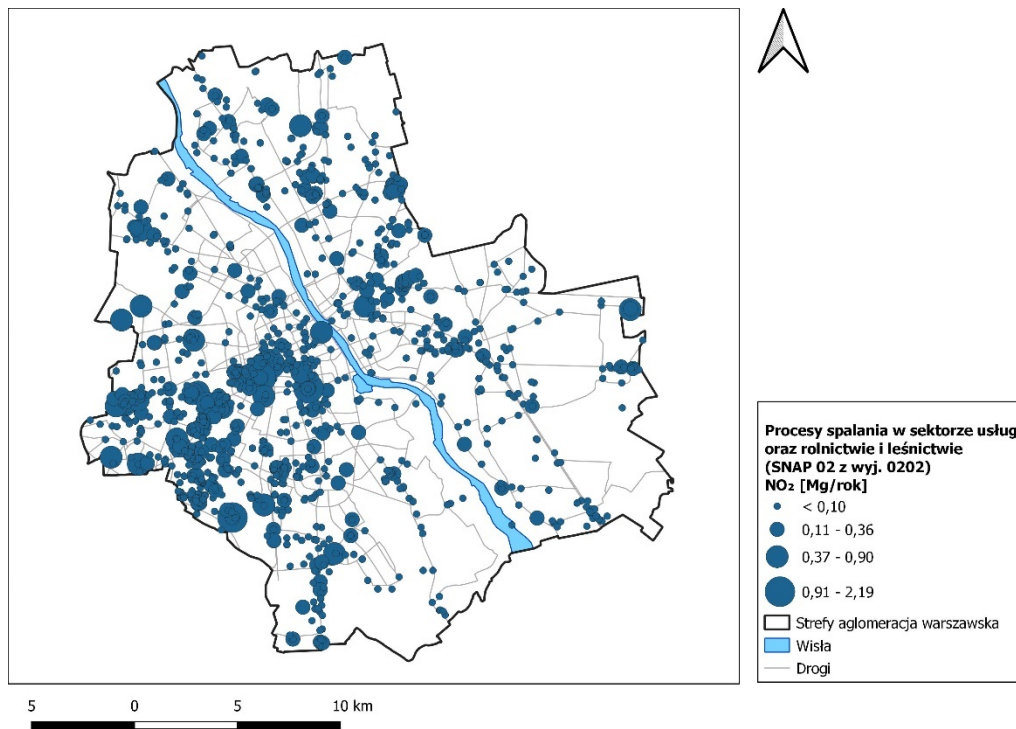


Rysunek 125 Rozkład przestrzenny oraz ładunki emisji benzo(a)pirenu z transportu drogowego (SNAP 07) w strefie aglomeracja warszawska w 2021 roku

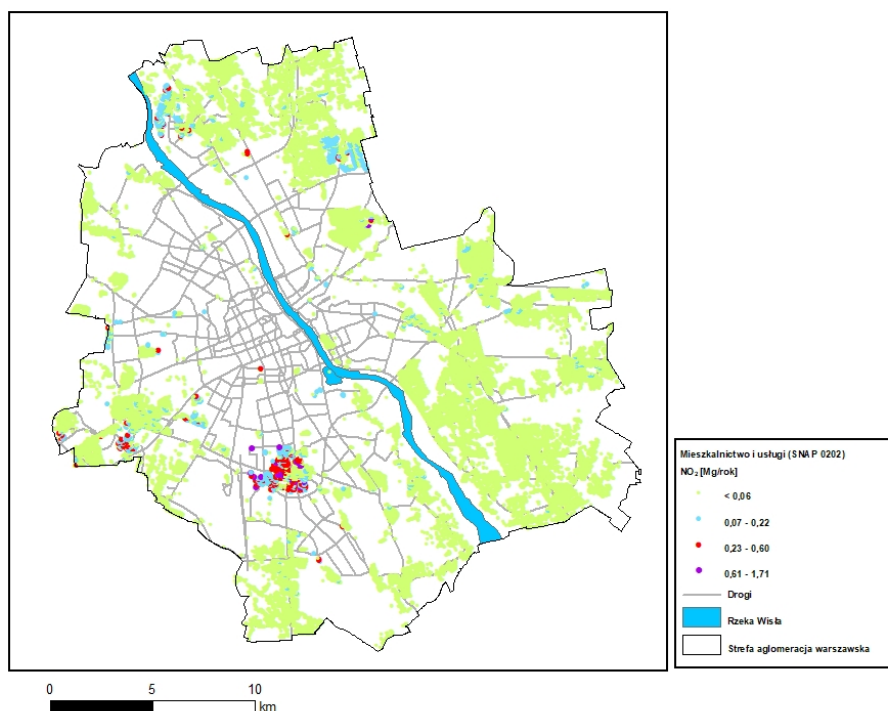
Emisja ditlenku azotu



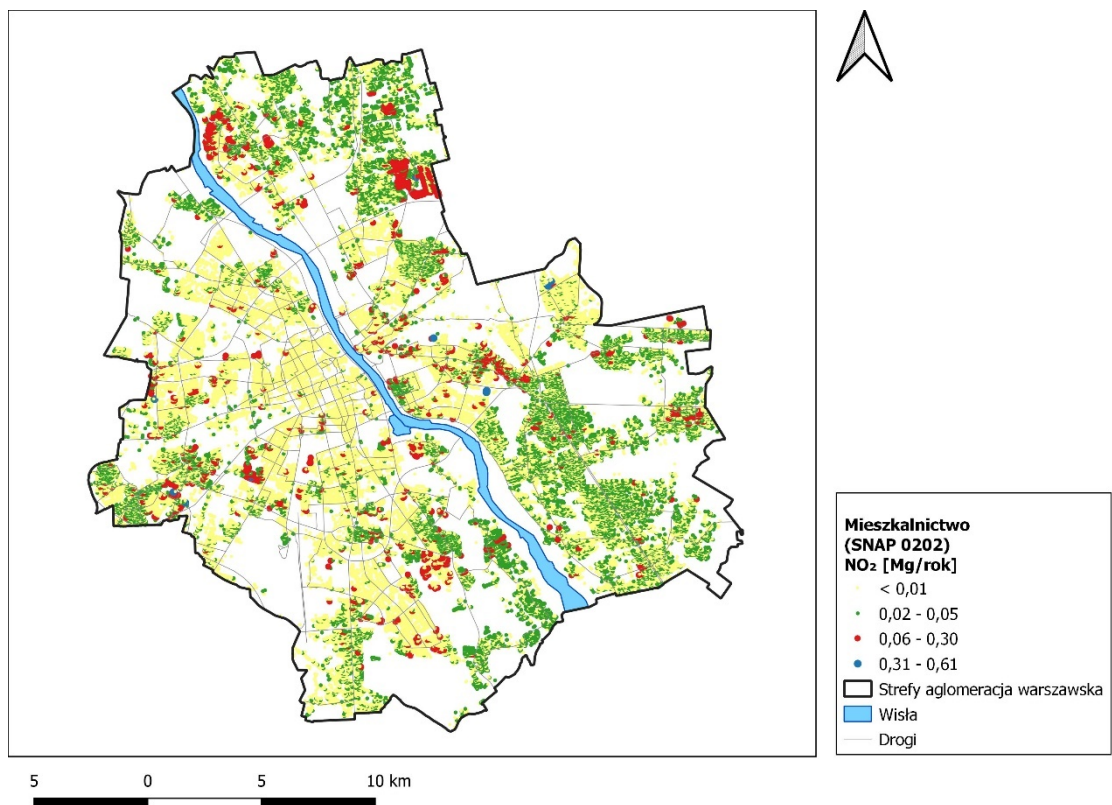
Rysunek 126 Rozmieszczenie oraz ładunki emisji ditlenku azotu w sektorze komunalnym i mieszkaniowym (SNAP 02 z wyjątkiem 0202) w strefie aglomeracja warszawska w 2018 roku



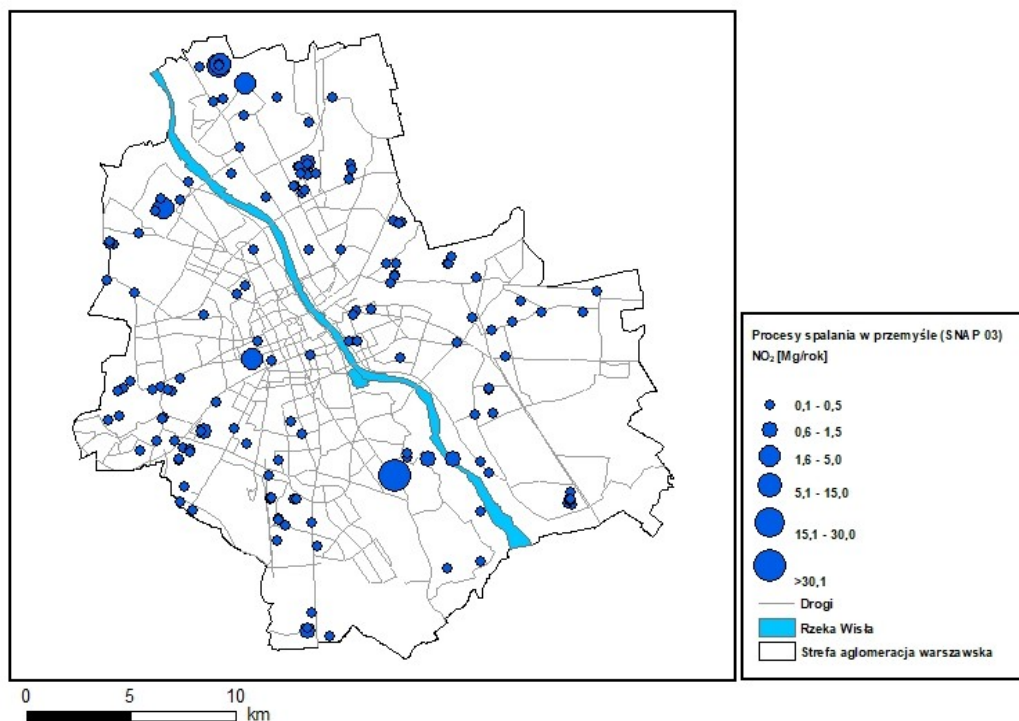
Rysunek 127 Rozmieszczenie oraz ładunki emisji ditlenku azotu w sektorze usług oraz rolnictwie i leśnictwie (SNAP 02 z wyjątkiem 0202) w strefie aglomeracja warszawska w 2021 roku



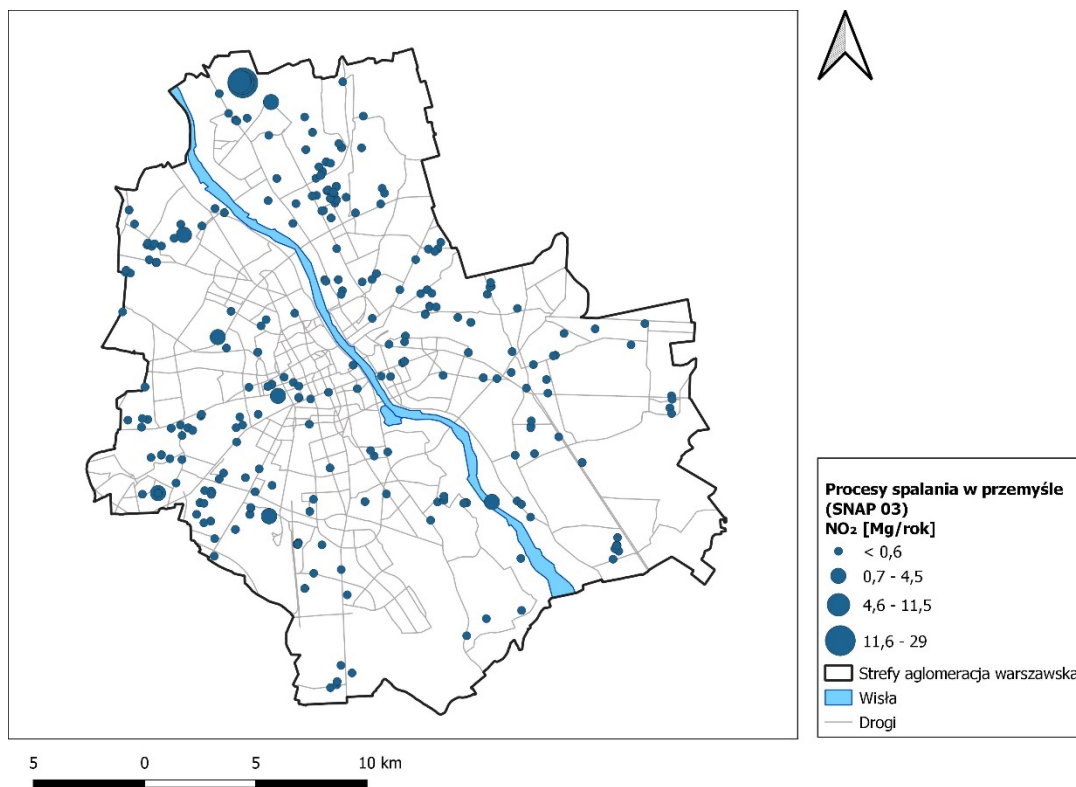
Rysunek 128 Rozmieszczenie oraz ładunki emisji ditlenku azotu w mieszkalnictwie i usługach (SNAP 0202) w strefie aglomeracja warszawska w 2018 roku



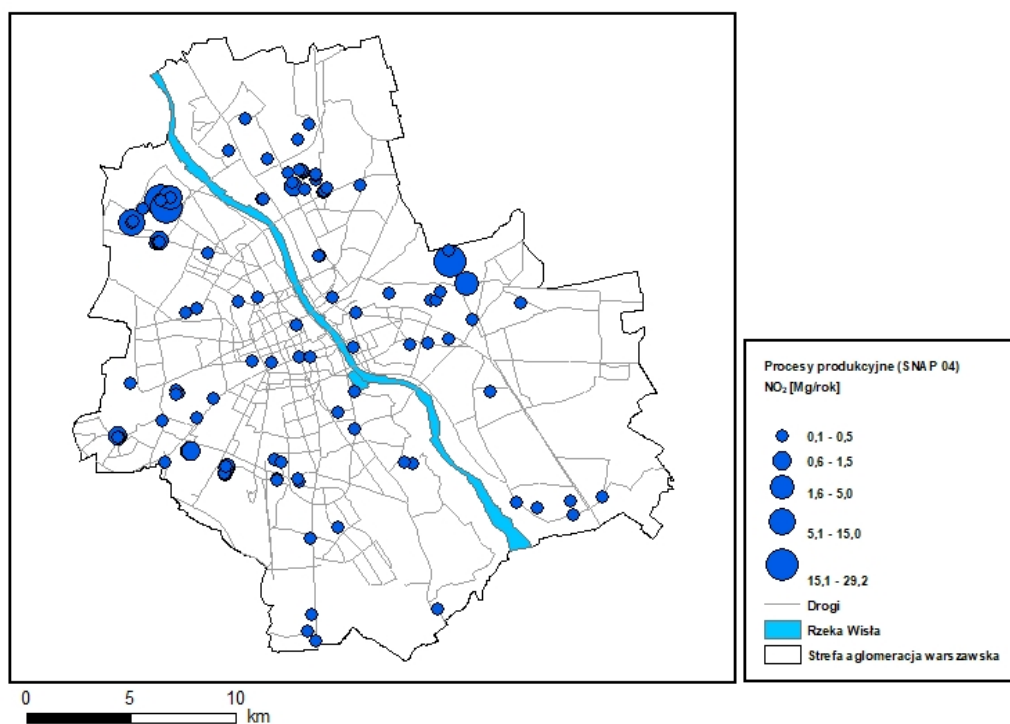
Rysunek 129 Rozmieszczenie oraz ładunki emisji ditlenku azotu w mieszkalnictwie (SNAP 0202) w strefie aglomeracja warszawska w 2021 roku



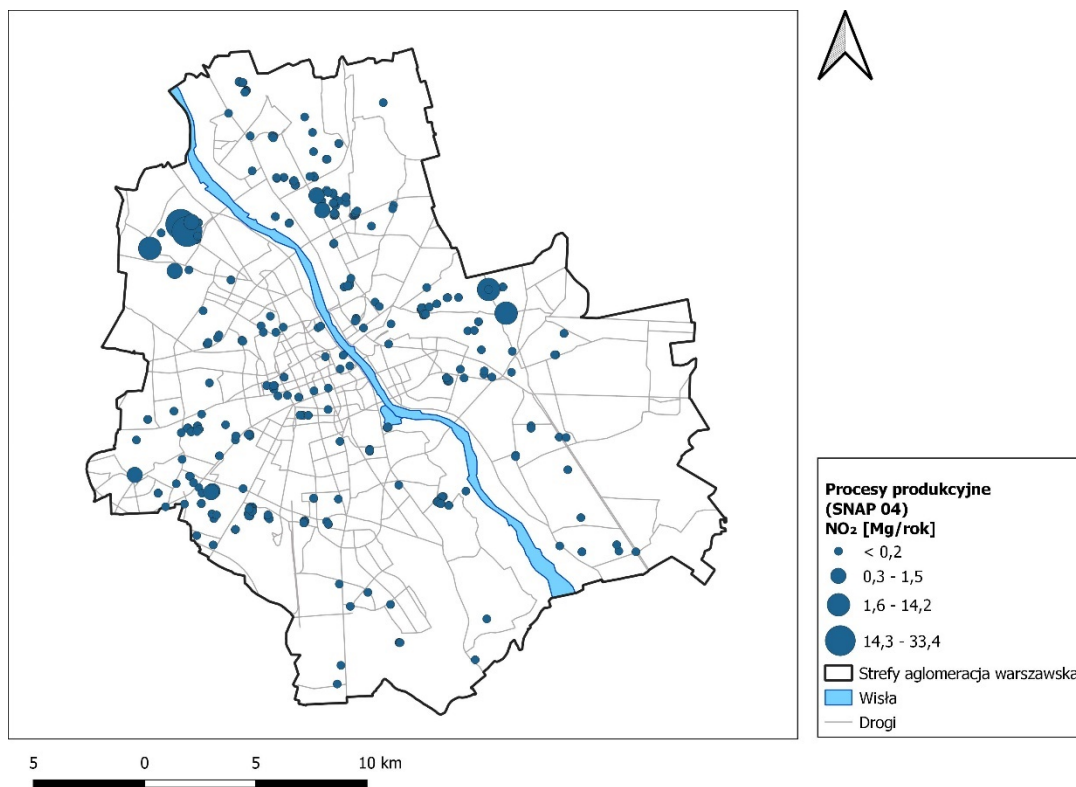
Rysunek 130 Rozmieszczenie oraz ładunki emisji ditlenku azotu z procesów spalania przemysł (SNAP 03) w strefie aglomeracja warszawska w 2018 roku



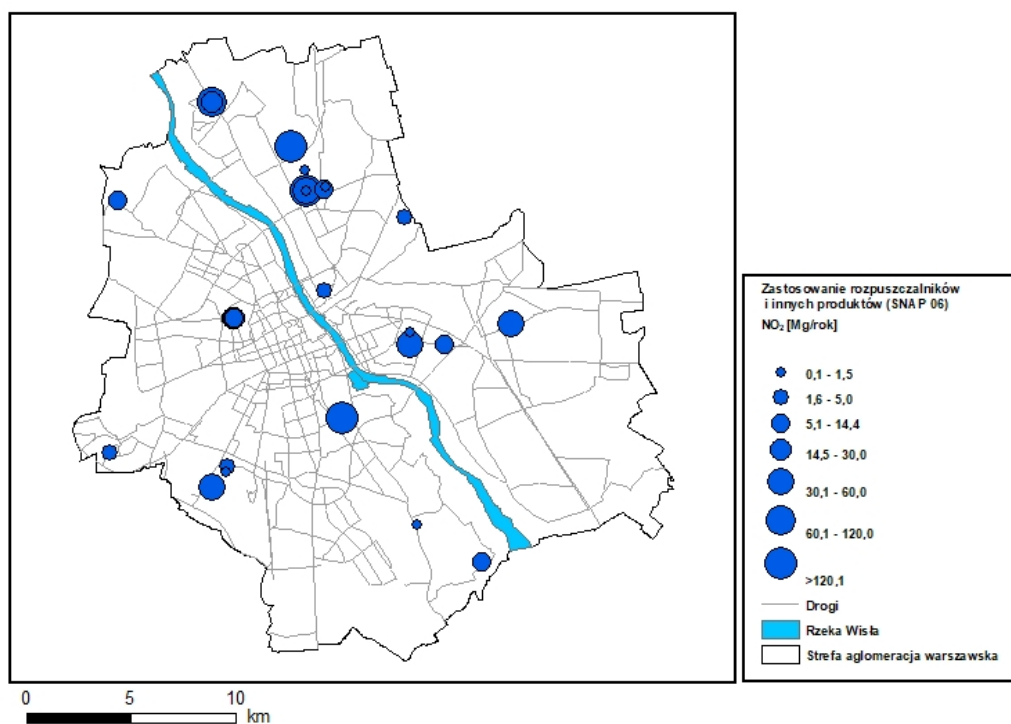
Rysunek 131 Rozmieszczenie oraz ładunki emisji ditlenku azotu z procesów spalania w przemyśle (SNAP 03) w strefie aglomeracja warszawska w 2021 roku



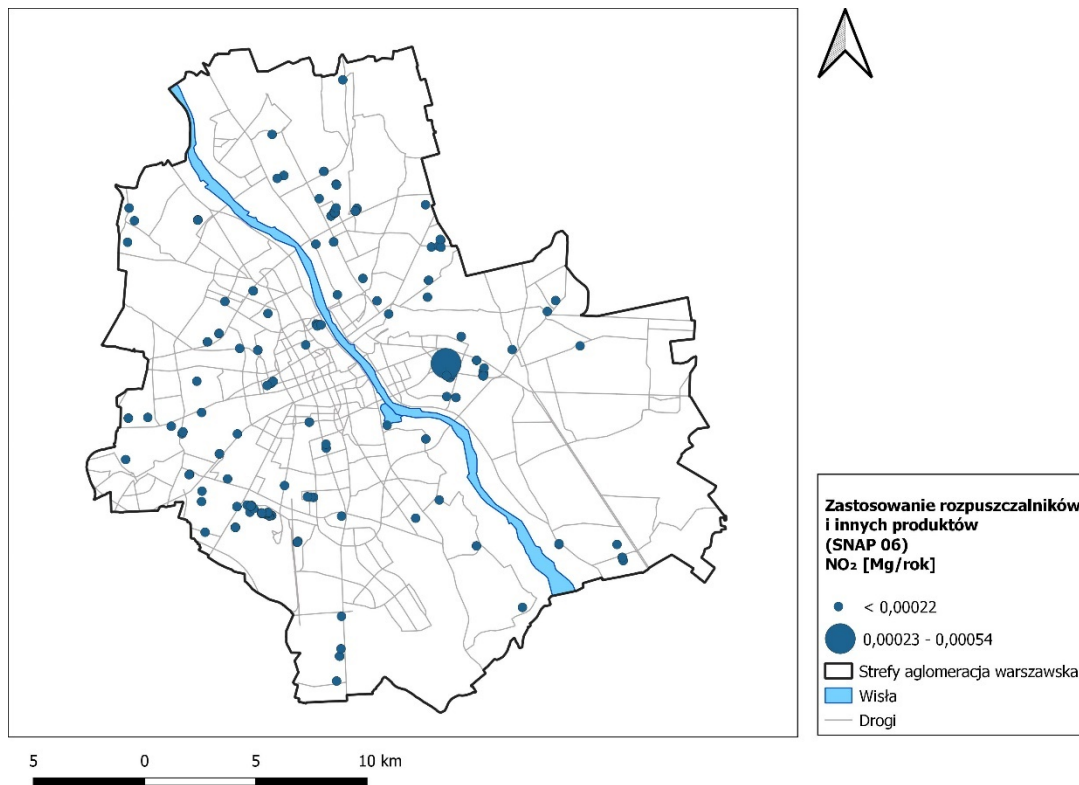
Rysunek 132 Rozmieszczenie oraz ładunki emisji ditlenku azotu z procesów produkcyjnych (SNAP 04) w strefie aglomeracja warszawska w 2018 roku



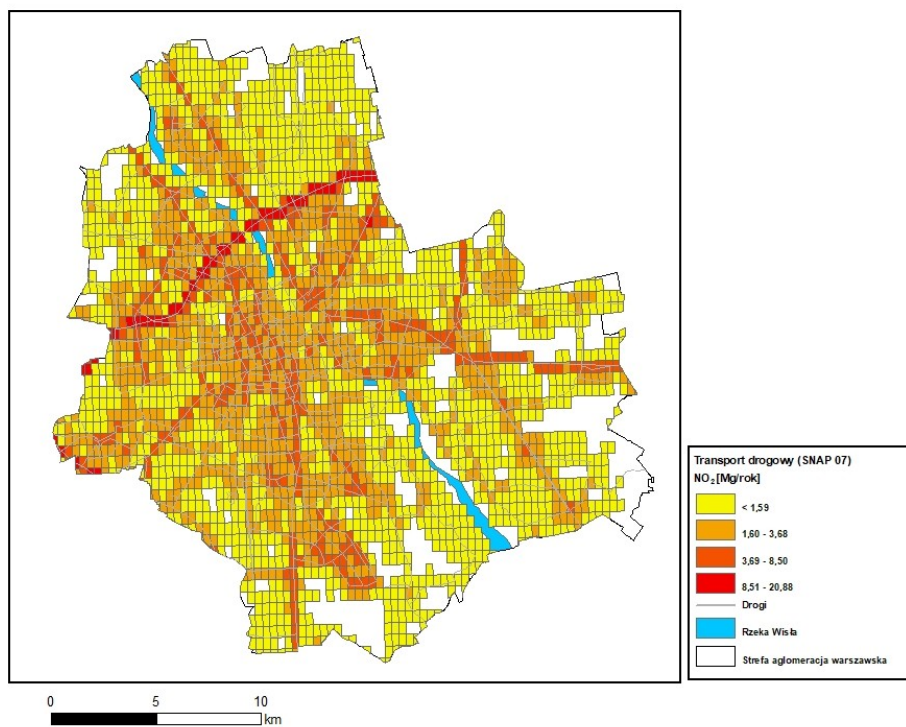
Rysunek 133 Rozmieszczenie oraz ładunki emisji ditlenku azotu z procesów produkcyjnych (SNAP 04) w strefie aglomeracja warszawska w 2021 roku



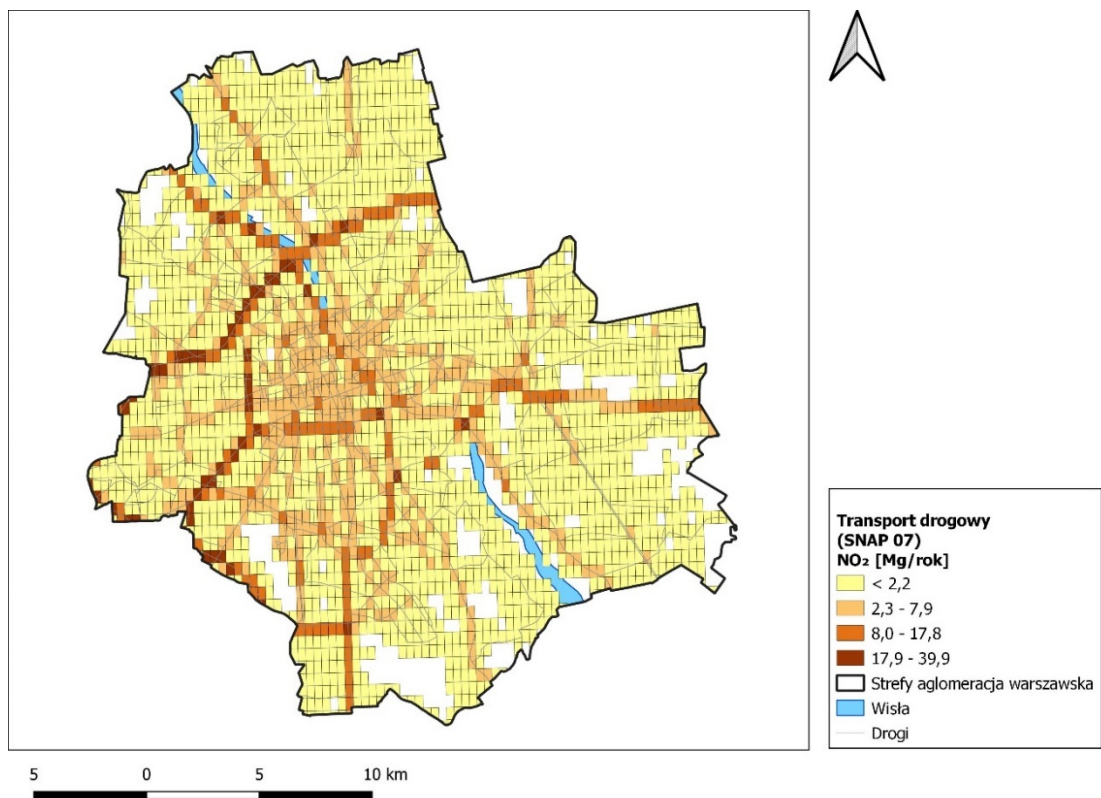
Rysunek 134 Rozmieszczenie oraz ładunki emisji ditlenku azotu z zastosowania rozpuszczalników i innych produktów (SNAP 06) w strefie aglomeracja warszawska w 2018 roku



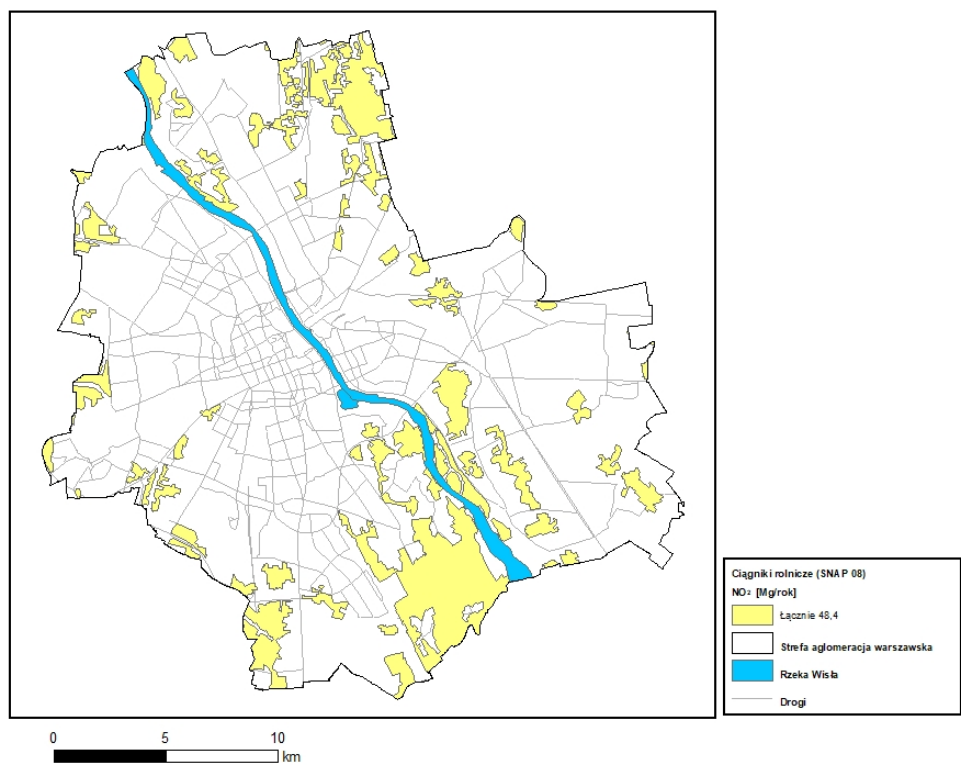
Rysunek 135 Rozmieszczenie oraz ładunki emisji ditlenku azotu z zastosowania rozpuszczalników i innych produktów (SNAP 06) w strefie aglomeracja warszawska w 2021 roku



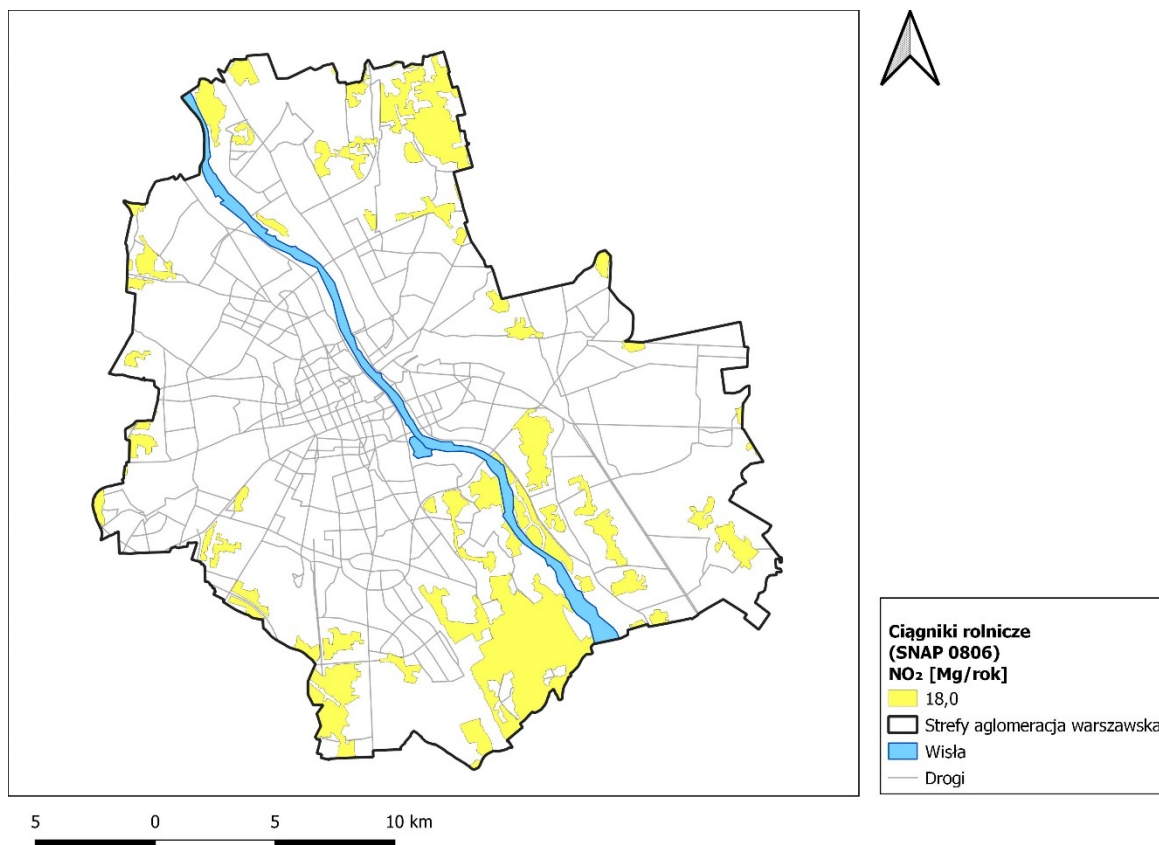
Rysunek 136 Rozmieszczenie oraz ładunki emisji ditlenku azotu z transportu drogowego (SNAP 07) w strefie aglomeracja warszawska w 2018 roku



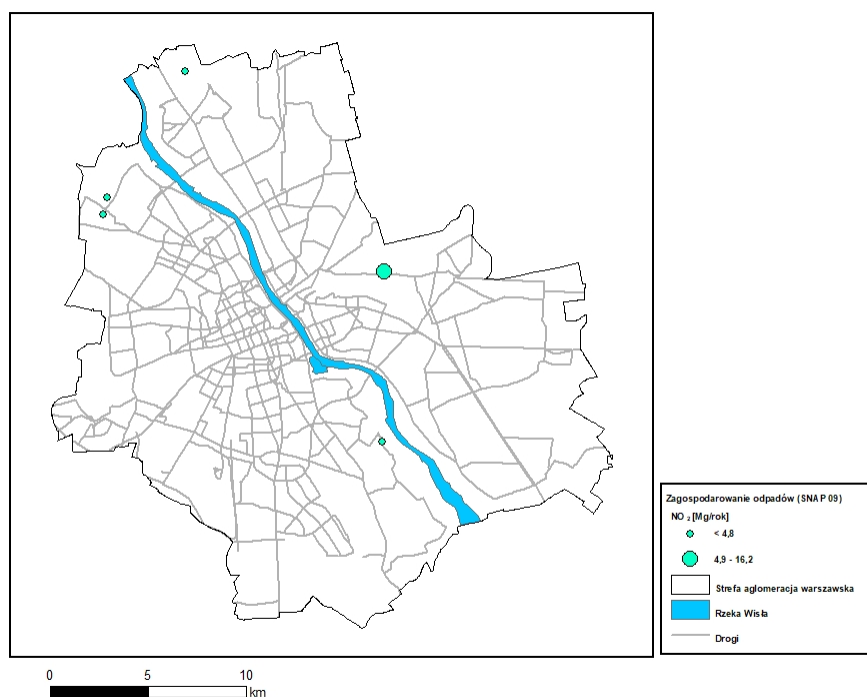
Rysunek 137 Rozmieszczenie oraz ładunki emisji ditlenku azotu z transportu drogowego (SNAP 07) w strefie aglomeracja warszawska w 2021 roku



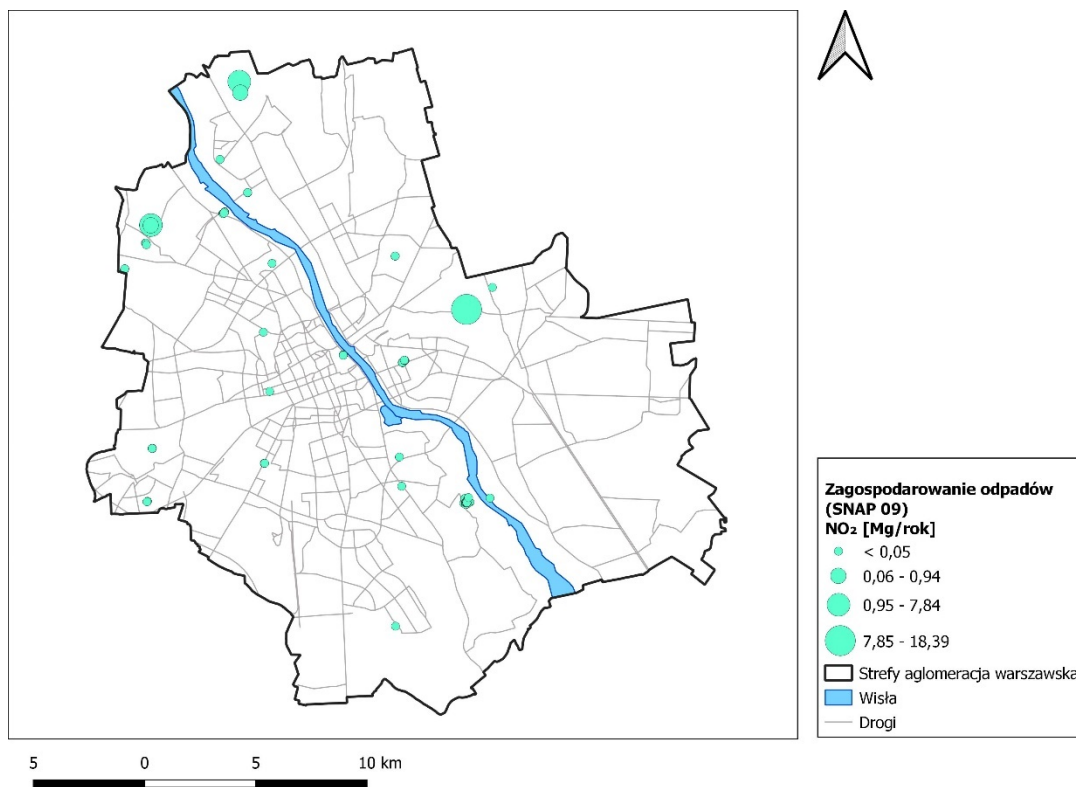
Rysunek 138 Rozmieszczenie oraz ładunki emisji ditlenku azotu z ciągników rolniczych (SNAP 0806) w strefie aglomeracja warszawska w 2018 roku



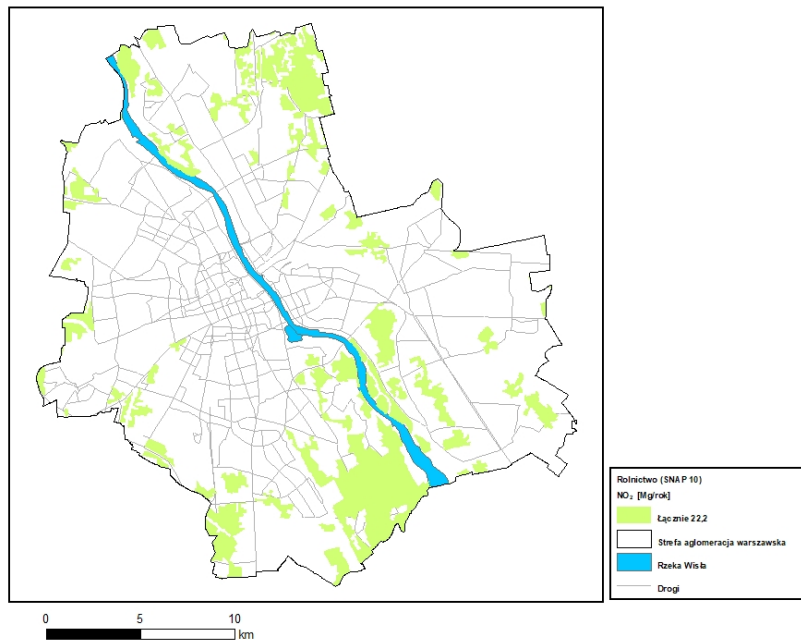
Rysunek 139 Rozmieszczenie oraz ładunki emisji ditlenku azotu z ciągników rolniczych (SNAP 0806) w strefie aglomeracja warszawska w 2021 roku



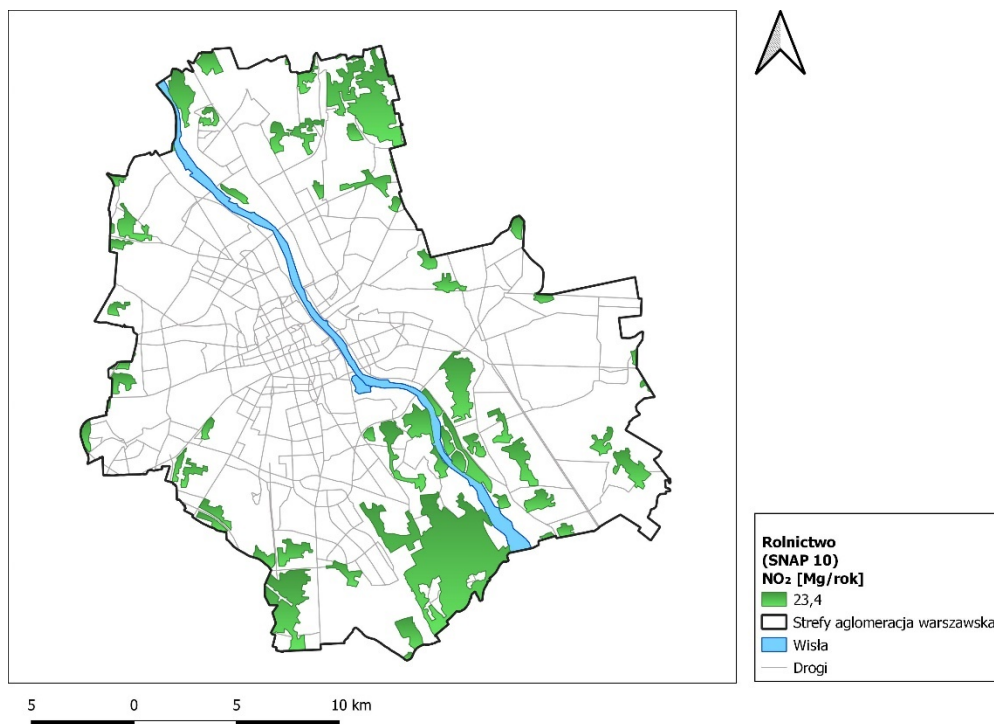
Rysunek 140 Rozmieszczenie oraz ładunki emisji ditlenku azotu z zagospodarowania odpadów (SNAP 09) w strefie aglomeracja warszawska w 2018 roku



Rysunek 141 Rozmieszczenie oraz ładunki emisji ditlenku azotu z zagospodarowania odpadów (SNAP 09) w strefie aglomeracja warszawska w 2021 roku



Rysunek 142 Rozmieszczenie oraz ładunki emisji ditlenku azotu z rolnictwa (SNAP 10) w strefie aglomeracja warszawska w 2018 roku



Rysunek 143 Rozmieszczenie oraz ładunki emisji ditlenku azotu z rolnictwa (SNAP 10) w strefie aglomeracja warszawska w 2021 roku

6.3. Strefa miasto Płock

Tabela 141 Emisja substancji w powietrzu w strefie miasto Płock w 2018 roku

Typ emisji	SNAP	Pył zawieszony PM10 [Mg/rok]	Udział [%] pyłu PM10 w łącznej emisji	Pył zawieszony PM2,5 [Mg/rok]	Udział [%] pyłu PM2,5 w łącznej emisji	B(a)P [kg/rok]	Udział [%] B(a)P w łącznej emisji
Procesy spalania w sektorze produkcji i transformacji energii	01	29,104	4,3	7,78	3,0	3,294	2,4
Sektor komunalny i mieszkaniowy z wyj. 0202	02	2,246	0,3	1,653	0,6	1,397	1,0
Mieszkalnictwo i usługi	0202	233,578	34,4	230,062	87,3	131,0	95,9
Procesy spalania w przemyśle	03	0,3743	0,1	2,212	0,8	0,499	0,4
Procesy produkcyjne	04	325,384	48,0	0	0,0017	0,1	0,1
Wydobycie i dystrybucja paliw kopalnych	05	3,275	0,5	0,83	0,3	Nie występuje	Nie występuje
Zastosowanie rozpuszczalników i innych produktów	06	Brak danych	Brak danych	Brak danych	Brak danych	Nie występuje	Nie występuje
Transport drogowy	07	21,858	3,2	16,752	6,4	0,3	0,2
Koleje	0802	0,936	0,1	0,965	0,4	0,00998	0,0
Transport powietrzny	0805	Brak danych	Brak danych	Brak danych	Brak danych	Nie występuje	Nie występuje
Ciągniki rolnicze	0806	1,965	0,3	1,671	0,6	Nie występuje	Nie występuje

Typ emisji	SNAP	Pył zawieszony PM10 [Mg/rok]	Udział [%] pyłu PM10 w łącznej emisji	Pył zawieszony PM2,5 [Mg/rok]	Udział [%] pyłu PM2,5 w łącznej emisji	B(a)P [kg/rok]	Udział [%] B(a)P w łącznej emisji
Zagospodarowanie odpadów	09	28,73	4,2	0,31	0,1	Nie występuje	Nie występuje
Rolnictwo	10	26,671	3,9	1,141	0,4	Nie występuje	Nie występuje
Inne źródła emisji i pochłaniania zanieczyszczeń	11	4,118	0,6	0,091	0,0	Nie występuje	Nie występuje
SUMA	Nie dotyczy	678,239	100	263,467	100	136,6	100

Tabela 142 Emisja substancji w powietrzu w strefie miasto Płock w 2021 roku

Typ emisji	SNAP	Pył zawieszony PM10 [Mg/rok]	Udział [%] pyłu PM10 w łącznej emisji	Pył zawieszony PM2,5 [Mg/rok]	Udział [%] pyłu PM2,5 w łącznej emisji	B(a)P [kg/rok]	Udział [%] B(a)P w łącznej emisji
Procesy spalania w sektorze produkcji i transformacji energii	01	0,010	0,0	0,010	0,0	0,0	0,0
Procesy spalania w sektorze usług oraz rolnictwie i leśnictwie z wyj. 0202	02 bez 0202	0,520	0,1	0,475	0,2	0,2	0,2
Mieszkalnictwo	0202	197,703	47,9	194,042	64,5	120,5	97,0
Procesy spalania w przemyśle	03	66,722	16,2	42,987	14,3	3,2	2,6
Procesy produkcyjne	04	102,201	24,7	51,132	17,0	0,0	0,0
Wydobycie i dystrybucja paliw kopalnych	05	1,213	0,3	0,291	0,1	Nie występuje	Nie występuje
Zastosowanie rozpuszczalników i innych produktów	06	Brak danych	Brak danych	Brak danych	Brak danych	Nie występuje	Nie występuje
Transport drogowy	07	11,646	2,8	8,735	2,9	0,2	0,2
Koleje	0802	0,075	0,0	0,072	0,0	0,0	0,0
Transport powietrzny	0805	Brak danych	Brak danych	Brak danych	Brak danych	Nie występuje	Nie występuje
Ciągniki rolnicze	0806	0,217	0,1	0,219	0,1	Nie występuje	Nie występuje
Zagospodarowanie odpadów	09	0,000	0,0	0,000	0,0	Nie występuje	Nie występuje
Rolnictwo	10	28,672	6,9	2,569	0,9	Nie występuje	Nie występuje
Inne źródła emisji i pochłaniania zanieczyszczeń	11	4,061	1,0	0,169	0,1	Nie występuje	Nie występuje
SUMA		413,040	100	300,700	100	124,2	100

Tabela 143 Emisja substancji w powietrzu poza strefą miasto Płock (w odległości 30 km wokół strefy) w 2018 roku

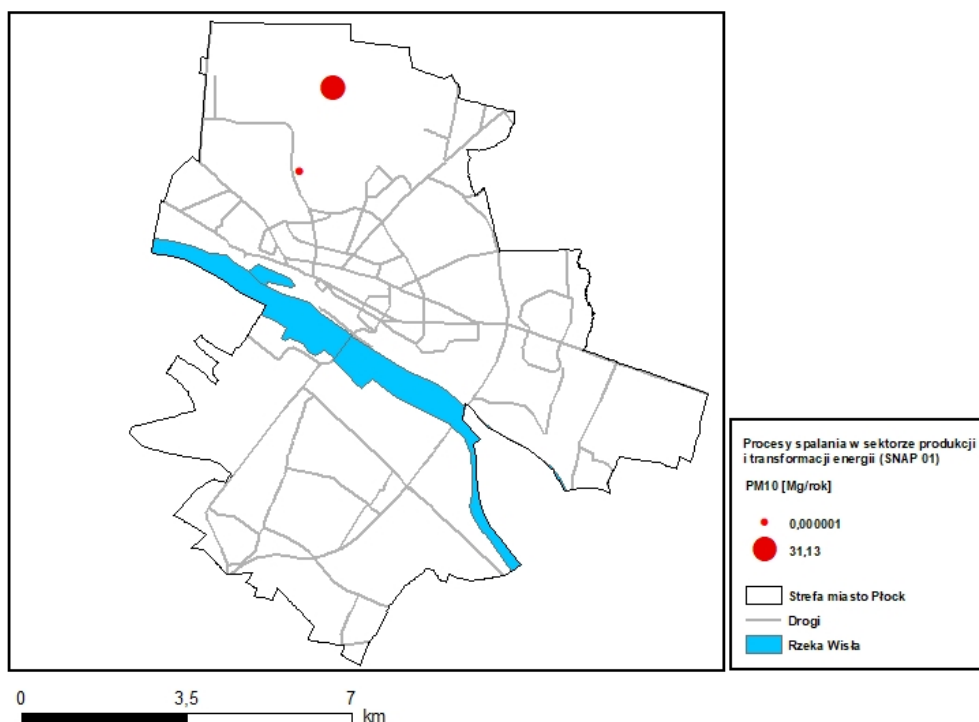
Typ emisji w promieniu 30 km od strefy miasto Płock	SNAP	Pył zawieszony PM10 [Mg/rok]	Pył zawieszony PM10 [%]	Pył zawieszony PM2,5 [Mg/rok]	Pył zawieszony PM2,5 [%]	B(a)P [kg/rok]	B(a)P [%]
Procesy spalania w sektorze produkcji i transformacji energii	01	2,9	0,1	2,1	0,1	29,3	2,8
Procesy spalania w sektorze komunalnym i mieszkaniowym z wyj. 0202	02	2,0	0,1	1,2	0,1	0,6	0,1
Mieszkalnictwo i usługi	0202	1833,3	52,9	1805,6	82,6	1027,5	96,8
Procesy spalania w przemyśle	03	1,1	0,0	0,6	0,0	1,2	0,1
Procesy produkcyjne	04	1,7	0,0	1,7	0,1	0,1	0,0
Wydobycie i dystrybucja paliw kopalnych	05	92,7	2,7	22,2	1,0	Nie dotyczy	0,0
Zastosowanie rozpuszczalników i innych produktów	06	Brak danych	Brak danych	Brak danych	Brak danych	Nie występuje	Nie występuje
Transport drogowy	07	185,6	5,4	43,3	2,0	2,7	0,3
Koleje	0802	8,8	0,3	8,8	0,4	0,1	0,0
Transport powietrzny	0805	Nie występuje	Nie występuje	Nie występuje	Nie występuje	Nie występuje	Nie występuje
Ciągniki rolnicze	0806	197,2	5,7	197,2	9,0	Nie występuje	Nie występuje
Zagospodarowanie odpadów	09	0,7	0,0	0,1	0,0	Nie występuje	Nie występuje
Rolnictwo	10	693,9	20,0	86,2	3,9	Nie występuje	Nie występuje
Inne źródła emisji i pochłaniania zanieczyszczeń	11	445,1	12,8	17,2	0,8	Nie występuje	Nie występuje
SUMA	Nie dotyczy	3465,0	100	2186,2	100	1061,5	100

Tabela 144 Emisja substancji w powietrzu poza strefą miasto Płock (w odległości 30 km wokół strefy) w 2021 roku

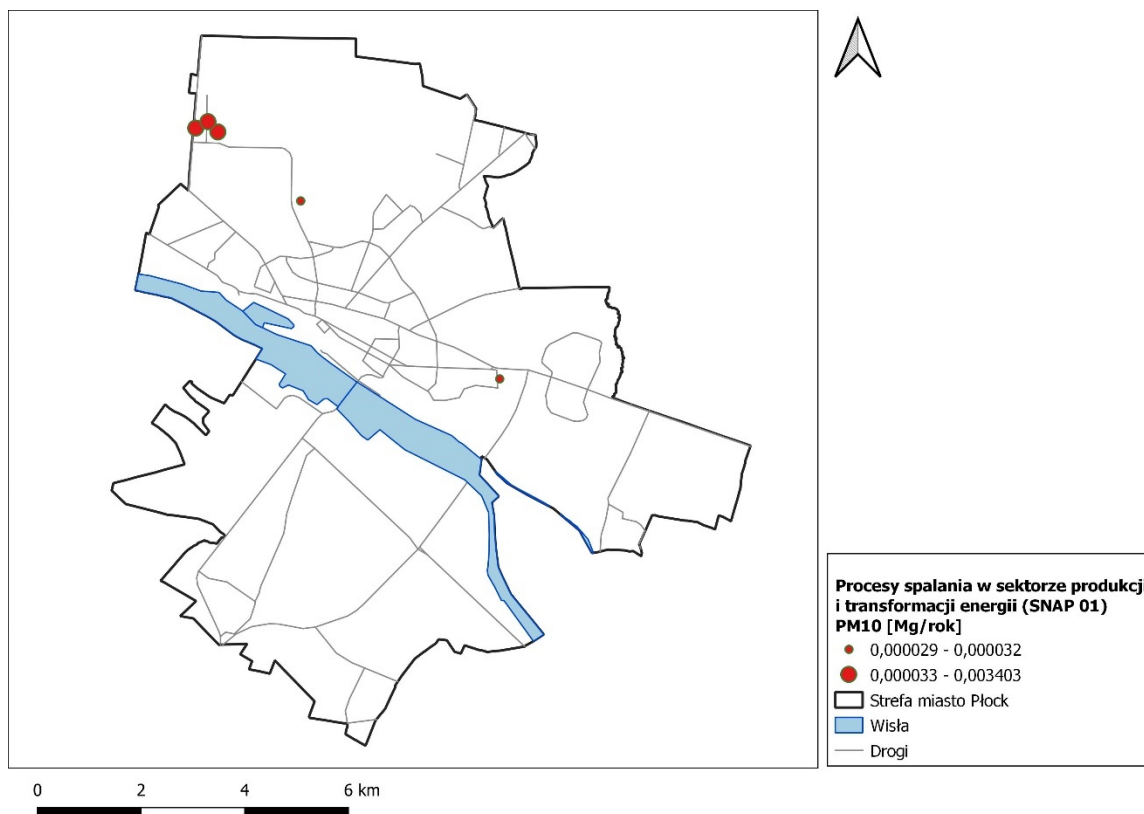
Typ emisji w promieniu 30 km od strefy miasto Płock	SNAP	Pył zawieszony PM10 [Mg/rok]	Pył zawieszony PM10 [%]	Pył zawieszony PM2,5 [Mg/rok]	Pył zawieszony PM2,5 [%]	B(a)P [kg/rok]	B(a)P [%]
Procesy spalania w sektorze produkcji i transformacji energii	01	15,0	0,3	9,0	0,3	0,4	0,0
Procesy spalania w sektorze usług oraz rolnictwie i leśnictwie z wyj. 0202	02 bez 0202	4,9	0,1	4,5	0,2	2,2	0,1
Mieszkalnictwo	0202	2 484,1	55,6	2 438,1	85,8	1 517,6	99,5
Procesy spalania w przemyśle	03	22,1	0,5	18,9	0,7	1,6	0,1
Procesy produkcyjne	04	21,6	0,5	10,9	0,4	0,4	0,0
Wydobycie i dystrybucja paliw kopalnych	05	63,1	1,4	15,1	0,5	Nie występuje	0,0
Zastosowanie rozpuszczalników i innych	06	Nie występuje	0,0	Nie występuje	0,0	Nie występuje	0,0

Typ emisji w promieniu 30 km od strefy miasto Płock	SNAP	Pył zawieszony PM10 [Mg/rok]	Pył zawieszony PM10 [%]	Pył zawieszony PM2,5 [Mg/rok]	Pył zawieszony PM2,5 [%]	B(a)P [kg/rok]	B(a)P [%]
produktów							
Transport drogowy	07	192,2	4,3	155,6	5,5	2,9	0,2
Koleje	0802	1,4	0,0	1,4	0,0	0,0	0,0
Transport powietrzny	0805	Nie występuje	0,0	Nie występuje	0,0	Nie występuje	0,0
Ciągniki rolnicze	0806	30,2	0,7	30,2	1,1	Nie występuje	0,0
Zagospodarowanie odpadów	09	0,6	0,0	0,6	0,0	Nie występuje	0,0
Rolnictwo	10	1 023,0	22,9	132,3	4,7	Nie występuje	0,0
Inne źródła emisji i pochłaniania zanieczyszczeń	11	606,3	13,6	23,7	0,8	Nie występuje	0,0
SUMA		4 464,5	100	2 840,3	100	1 525,2	100

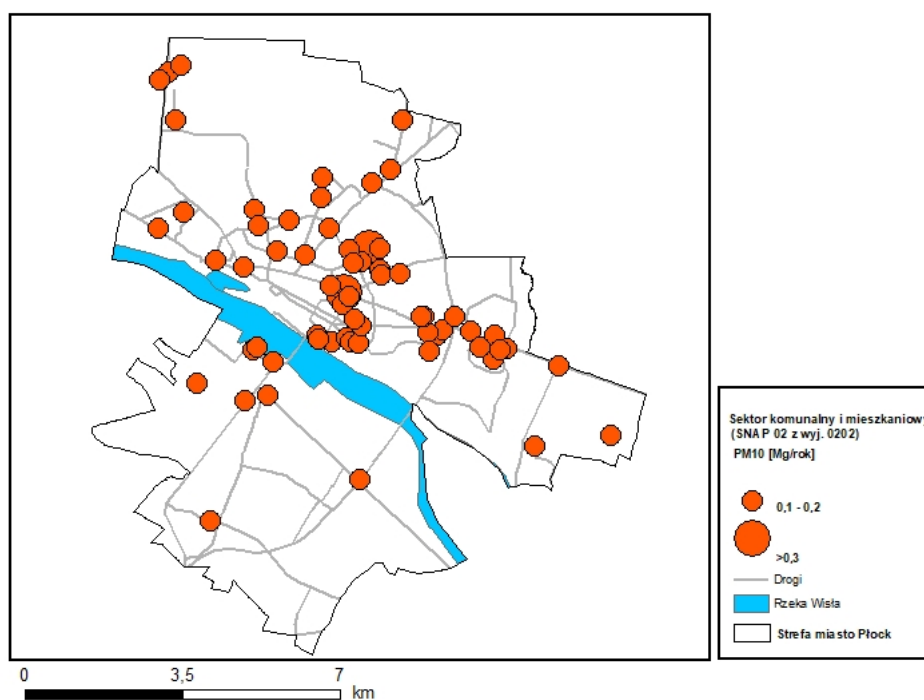
Emisja pyłu zawieszonego PM10



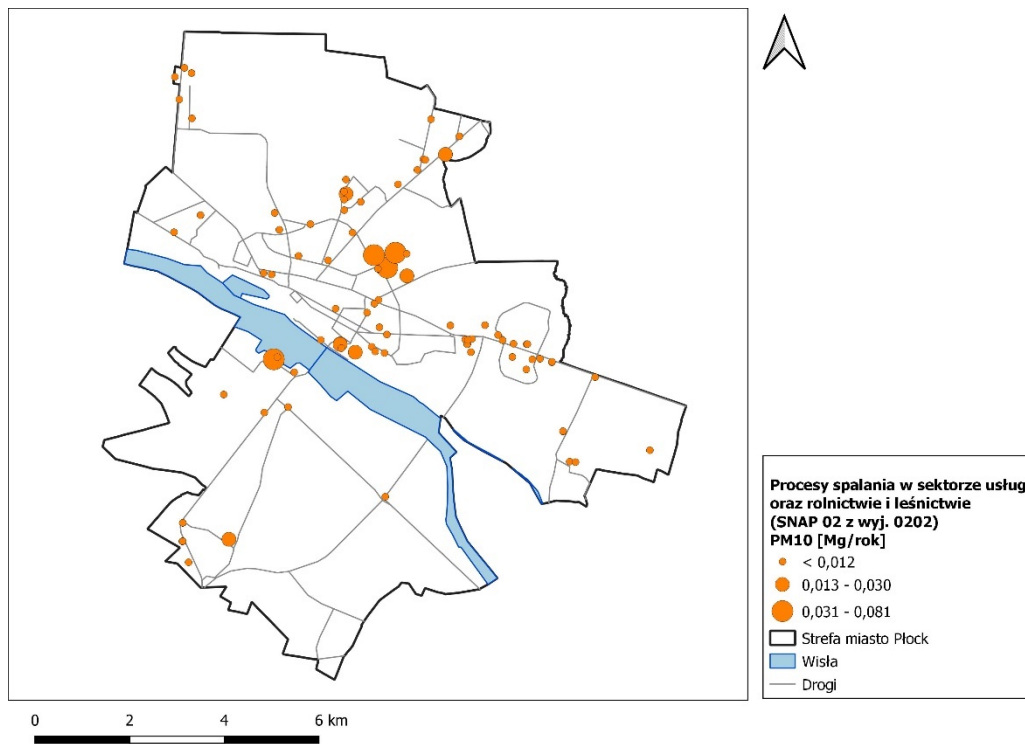
Rysunek 144 Rozmieszczenie oraz ładunki emisji pyłu zawieszonego PM10 z procesów spalania w sektorze produkcji i transformacji energii (SNAP 01) w strefie miasto Płock w 2018 roku



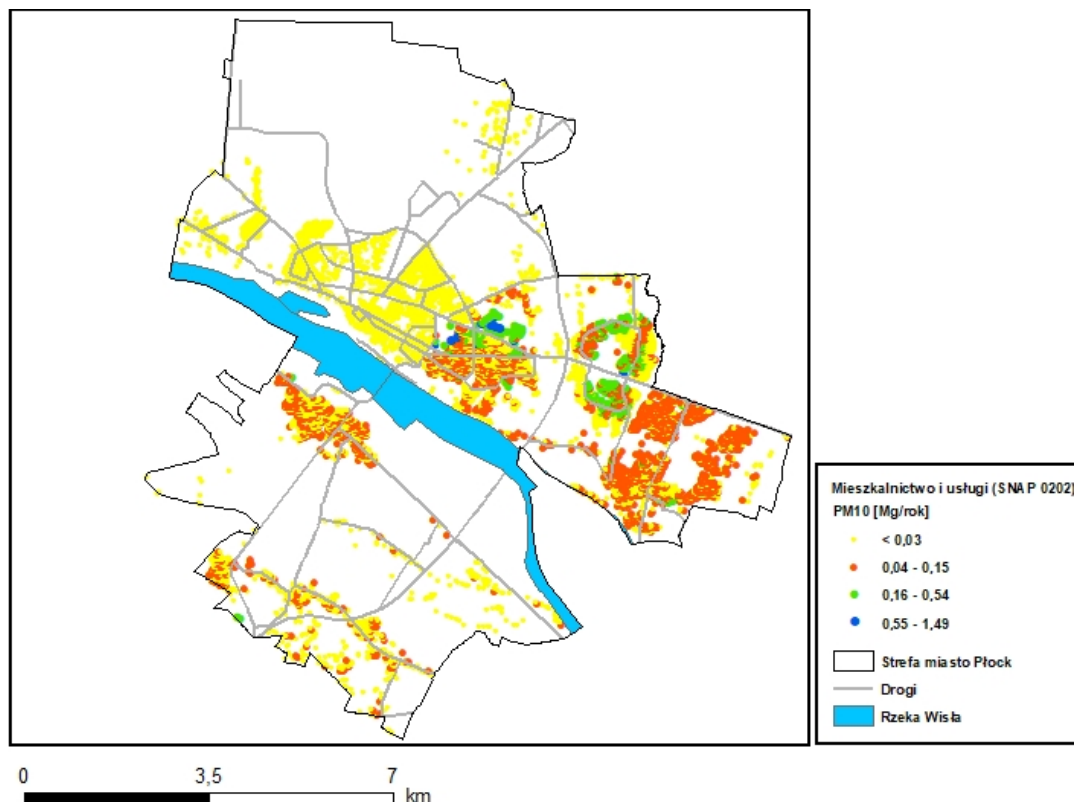
Rysunek 145 Rozmieszczenie oraz ładunki emisji pyłu zawieszonego PM10 z procesów spalania w sektorze produkcji i transformacji energii (SNAP 01) w strefie miasto Płock w 2021 roku



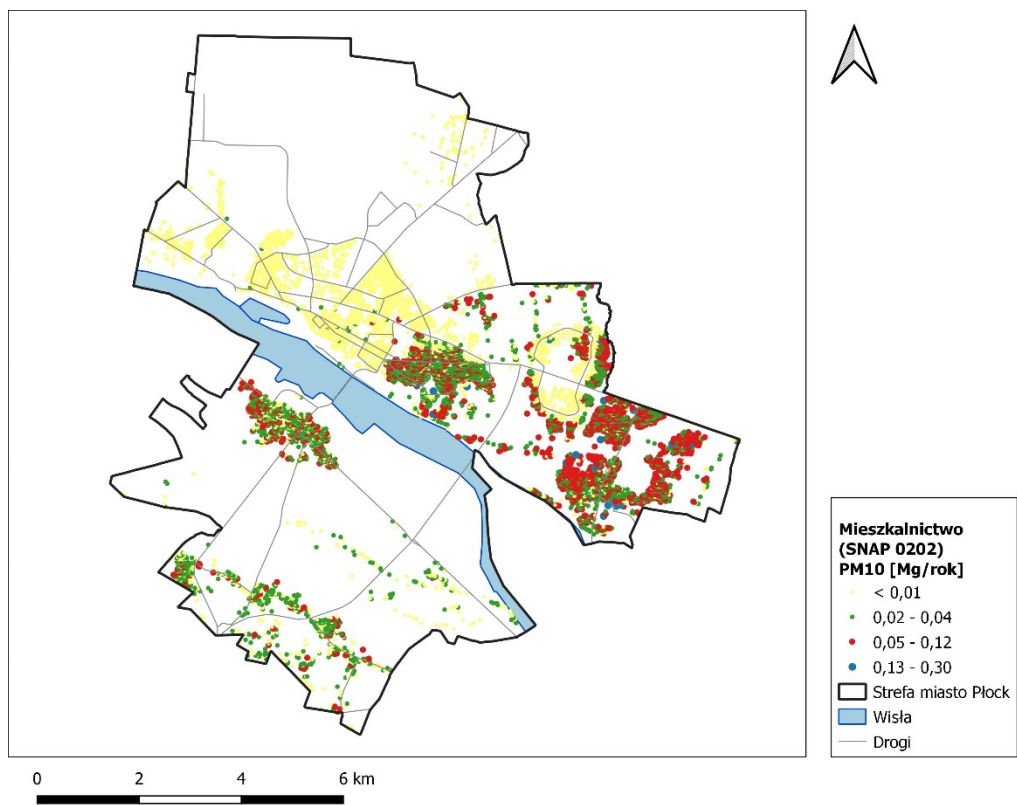
Rysunek 146 Rozmieszczenie oraz ładunki emisji pyłu zawieszonego PM10 z sektora komunalnego i mieszkaniowego (SNAP 02 z wyjątkiem 0202) w strefie miasto Płock w 2018 roku



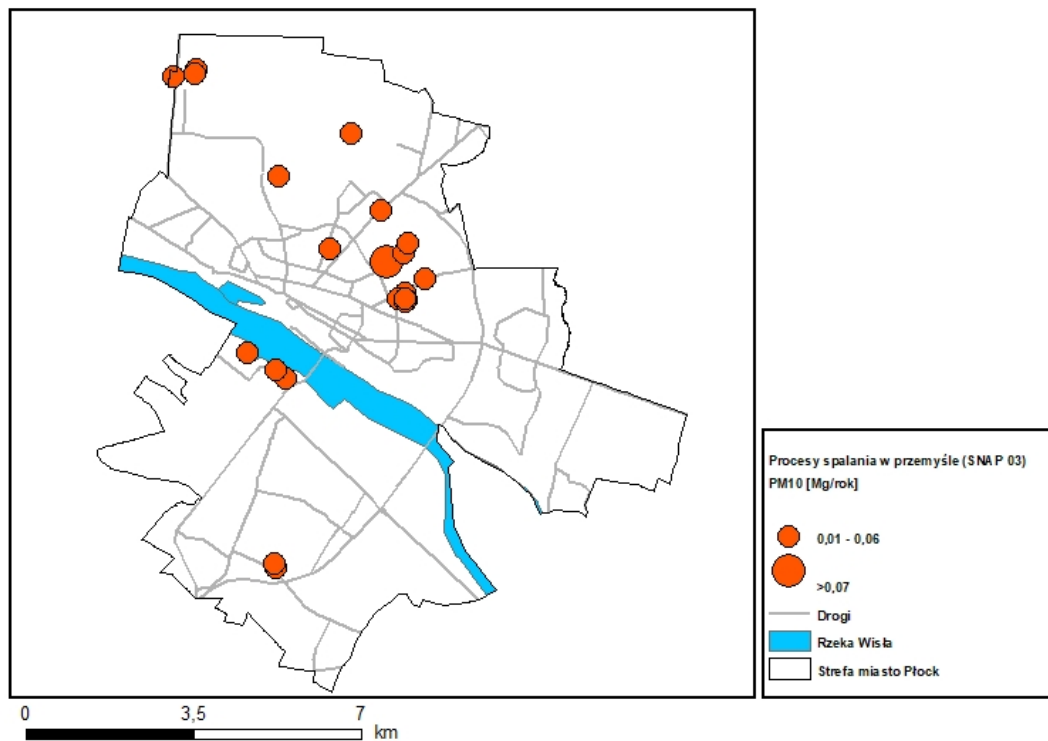
Rysunek 147 Rozmieszczenie oraz ładunki emisji pyłu zawieszonego PM10 z sektora usług oraz rolnictwie i leśnictwie (SNAP 02 z wyjątkiem 0202) w strefie miasto Płock w 2021 roku



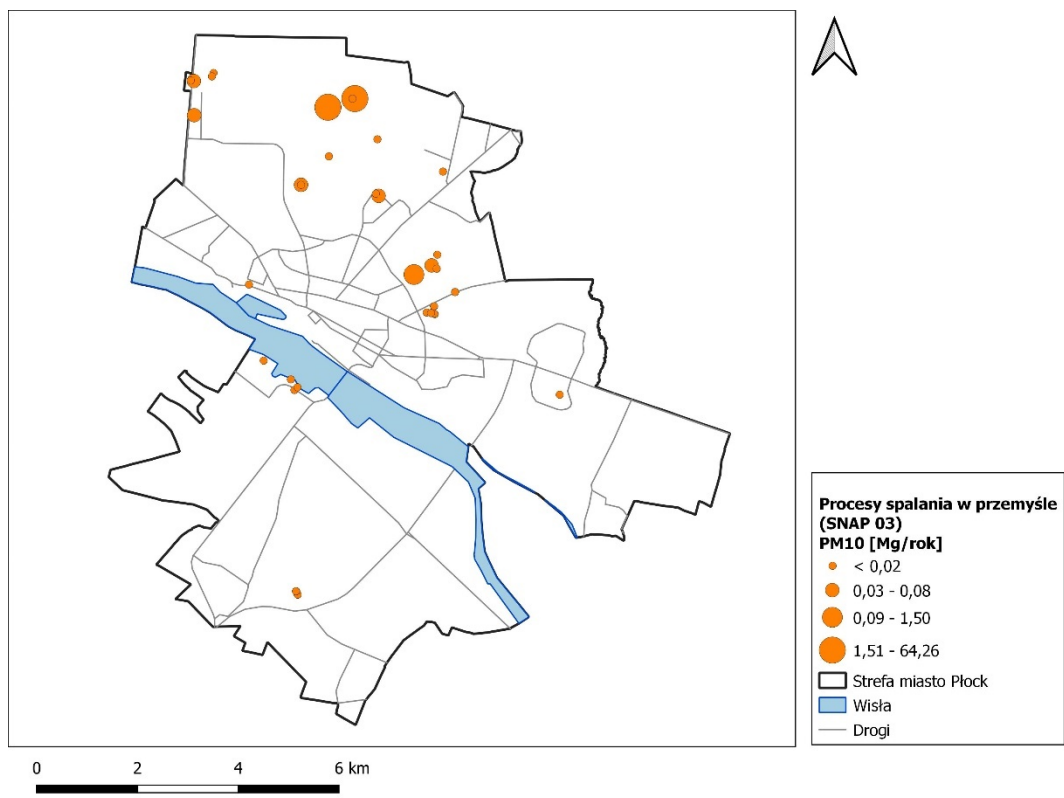
Rysunek 148 Rozmieszczenie oraz ładunki emisji pyłu zawieszonego PM10 z mieszkalnictwa i usług (SNAP 0202) w strefie miasto Płock w 2018 roku



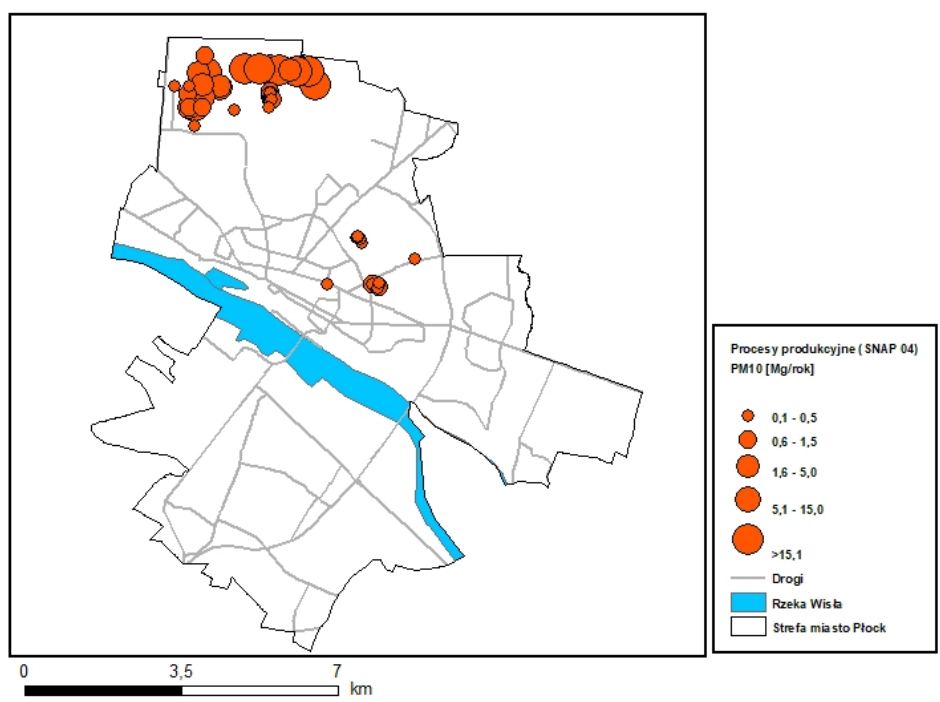
Rysunek 149 Rozmieszczenie oraz ładunki emisji pyłu zawieszonego PM10 z mieszkalnictwa (SNAP 0202) w strefie miasto Płock w 2021 roku



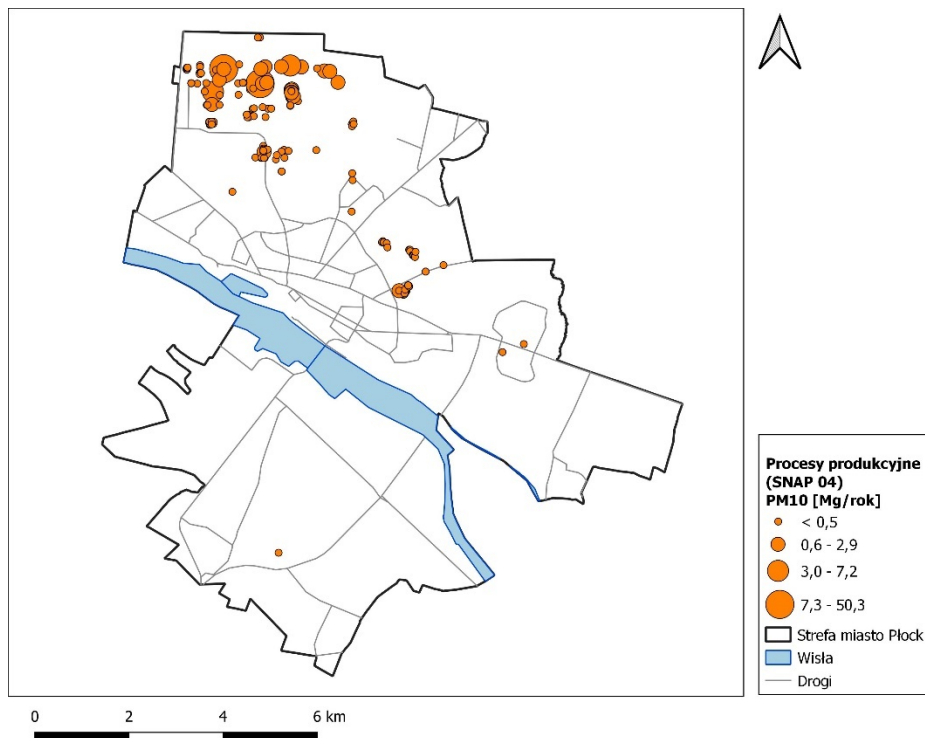
Rysunek 150 Rozmieszczenie oraz ładunki emisji pyłu zawieszonego PM10 z procesów spalania w przemyśle (SNAP 03) w strefie miasto Płock w 2018 roku



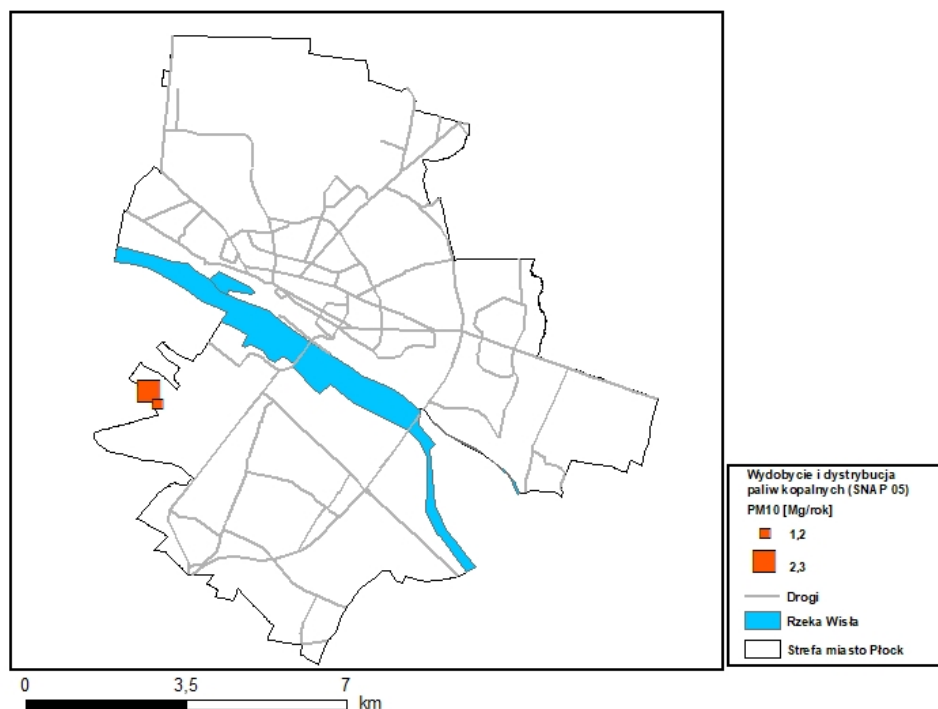
Rysunek 151 Rozmieszczenie oraz ładunki emisji pyłu zawieszonego PM10 z procesów spalania w przemyśle (SNAP 03) w strefie miasto Plock w 2021 roku



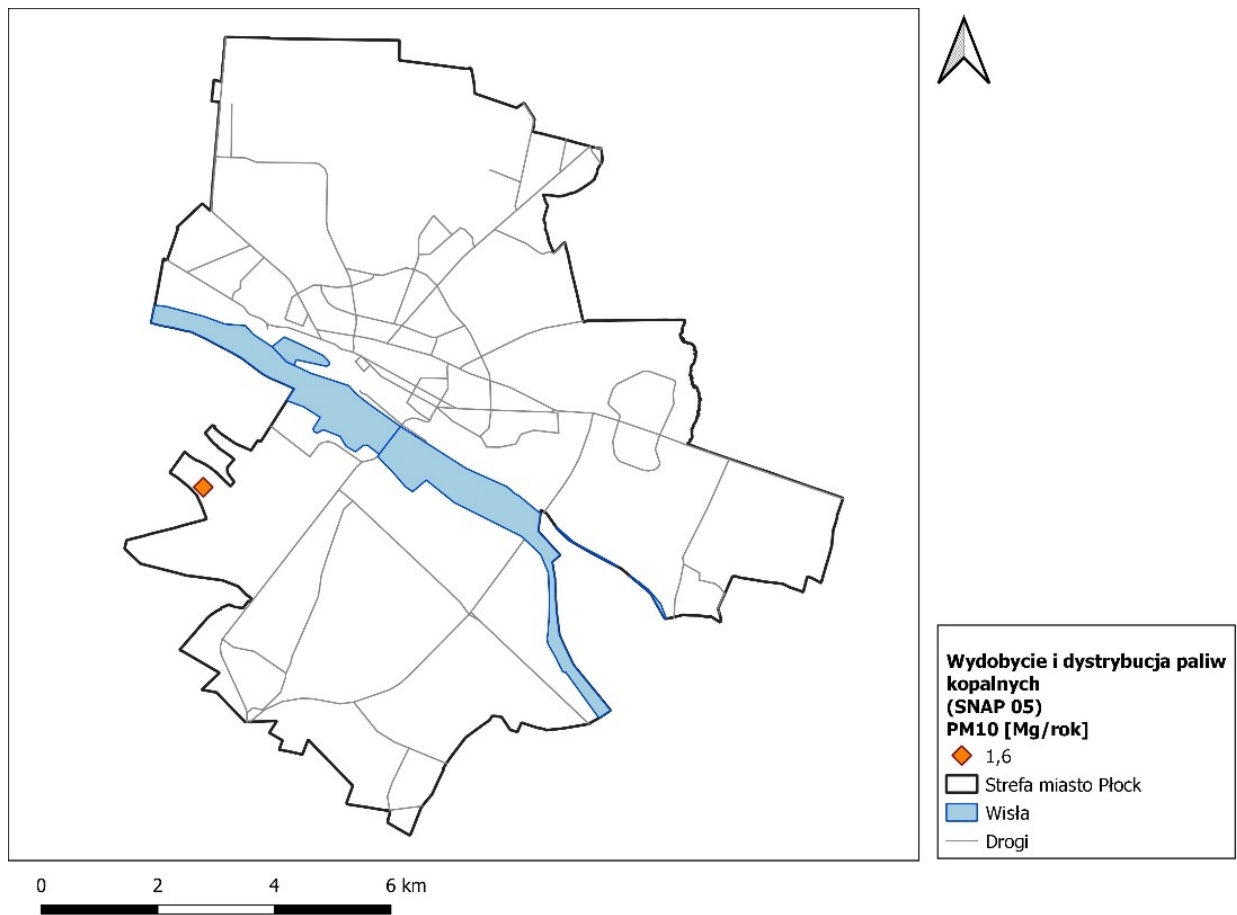
Rysunek 152 Rozmieszczenie oraz ładunki emisji pyłu zawieszonego PM10 z procesów produkcyjnych (SNAP 04) w strefie miasto Plock w 2018 roku



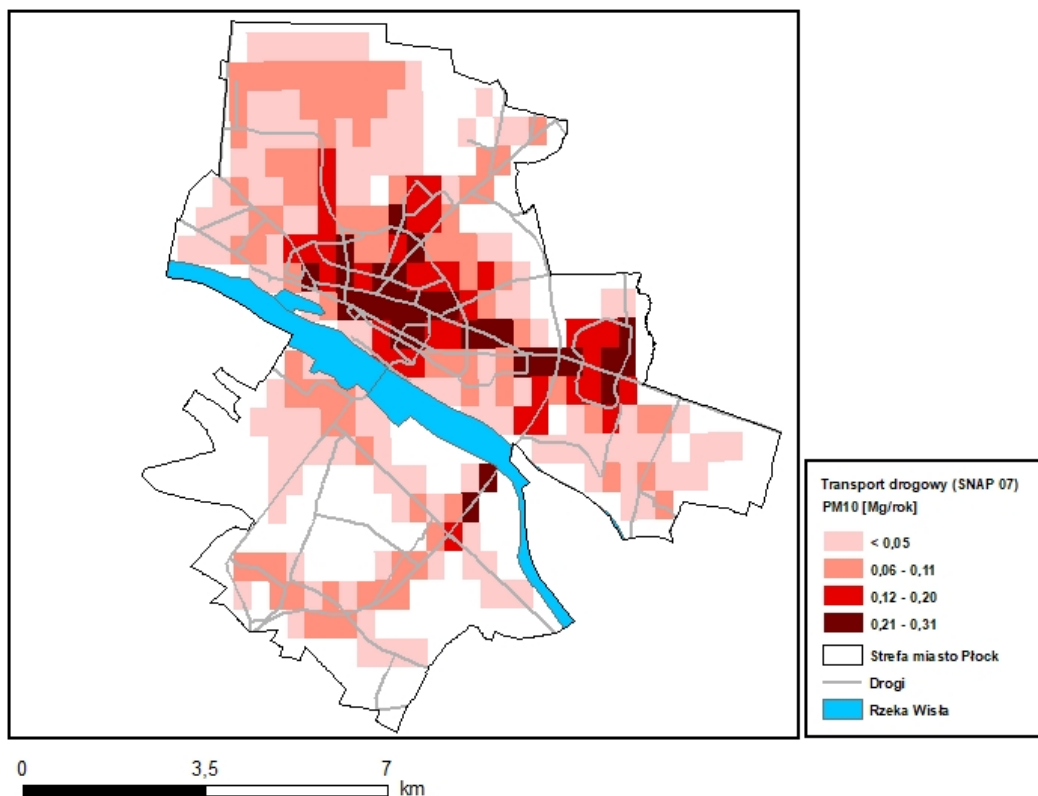
Rysunek 153 Rozmieszczenie oraz ładunki emisji pyłu zawieszonego PM10 z procesów produkcyjnych (SNAP 04) w strefie miasto Plock w 2021 roku



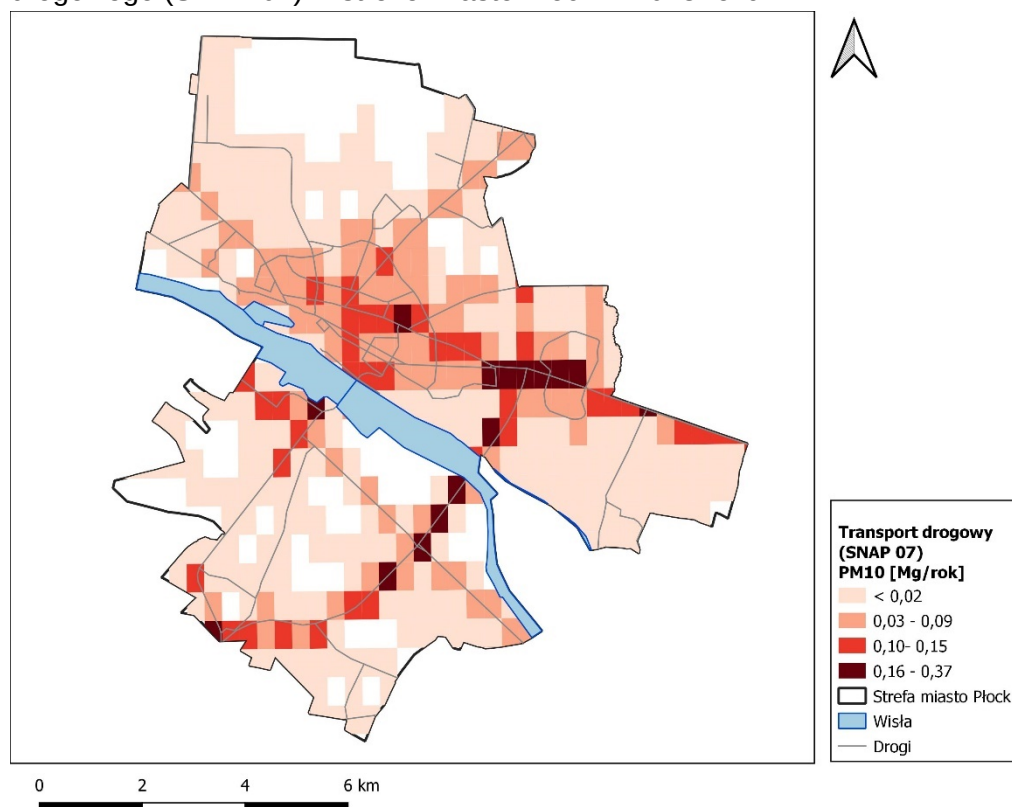
Rysunek 154 Rozmieszczenie oraz ładunki emisji pyłu zawieszonego PM10 z wydobycia i dystrybucji paliw kopalnych (SNAP 05) w strefie miasto Plock w 2018 roku



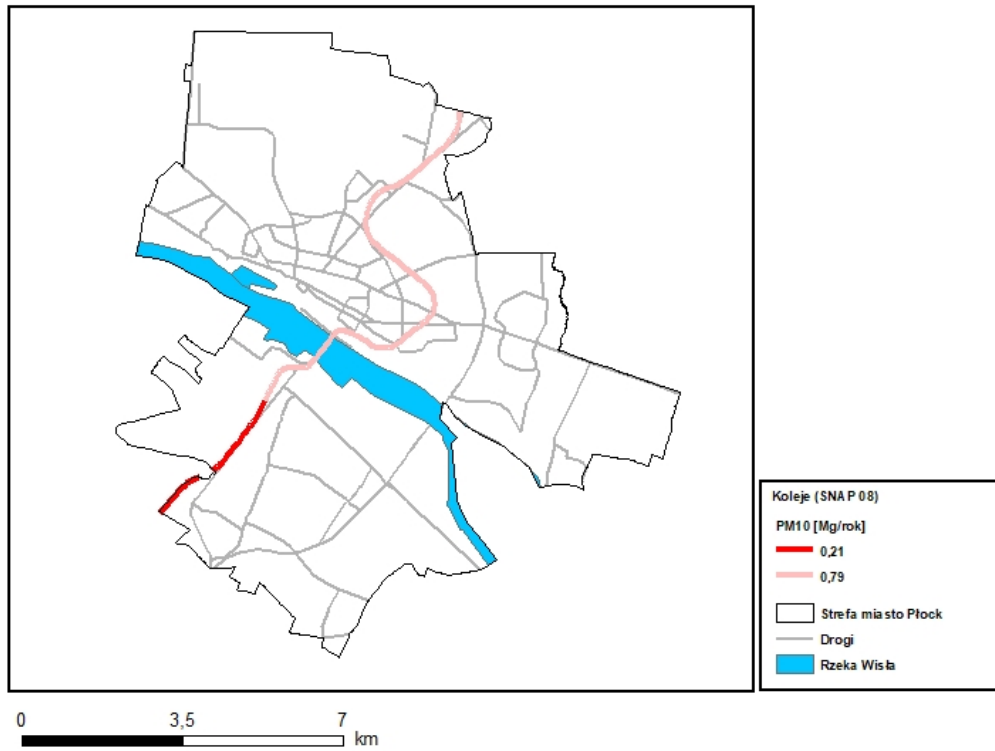
Rysunek 155 Rozmieszczenie oraz ładunki emisji pyłu zawieszzonego PM10 z wydobycia i dystrybucji paliw kopalnych (SNAP 05) w strefie miasto Płock w 2021 roku



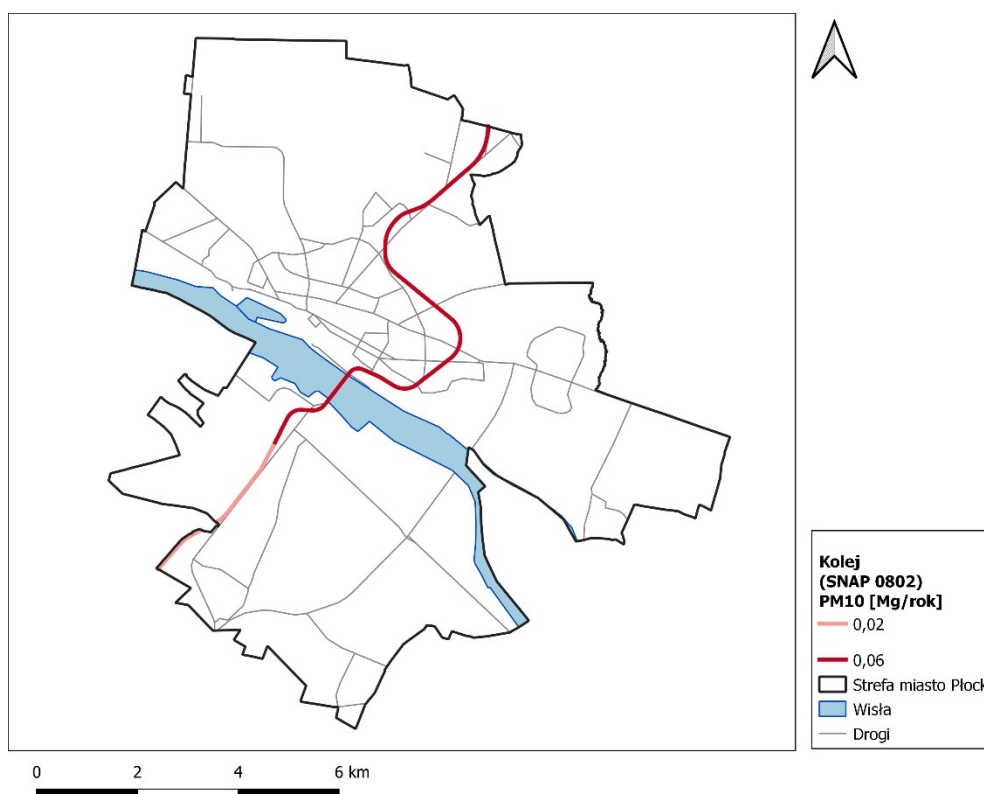
Rysunek 156 Rozmieszczenie oraz ładunki emisji pyłu zawieszonego PM10 z transportu drogowego (SNAP 07) w strefie miasto Płock w 2018 roku



Rysunek 157 Rozmieszczenie oraz ładunki emisji pyłu zawieszonego PM10 z transportu drogowego (SNAP 07) w strefie miasto Płock w 2021 roku



Rysunek 158 Rozmieszczenie oraz ładunki emisji pyłu zawieszzonego PM10 z transportu kolejowego (SNAP 0802) w strefie miasto Plock w 2018 roku



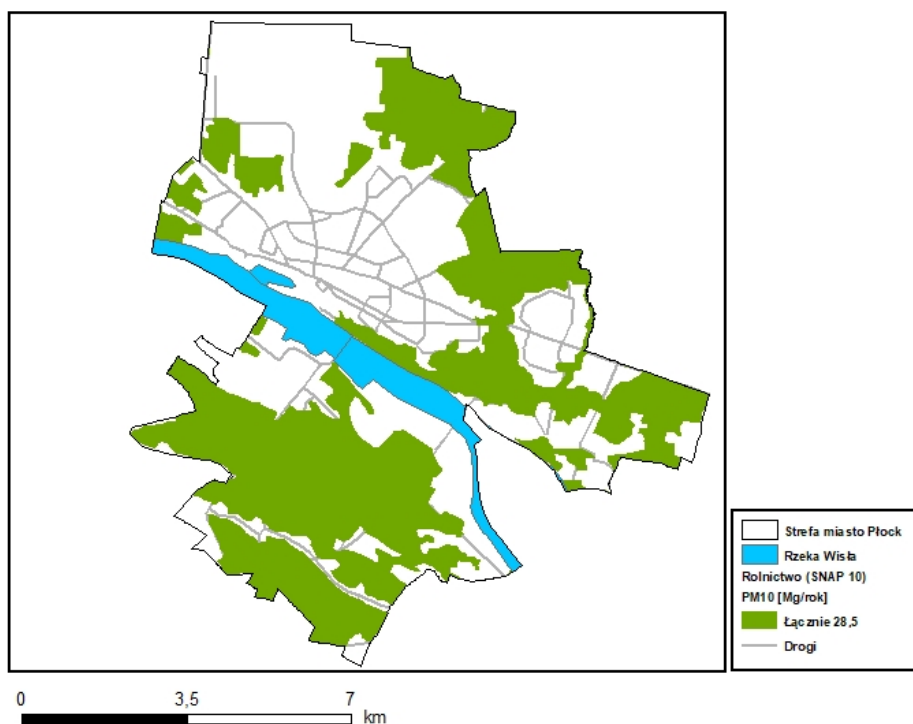
Rysunek 159 Rozmieszczenie oraz ładunki emisji pyłu zawieszzonego PM10 z transportu kolejowego (SNAP 0802) w strefie miasto Plock w 2021 roku



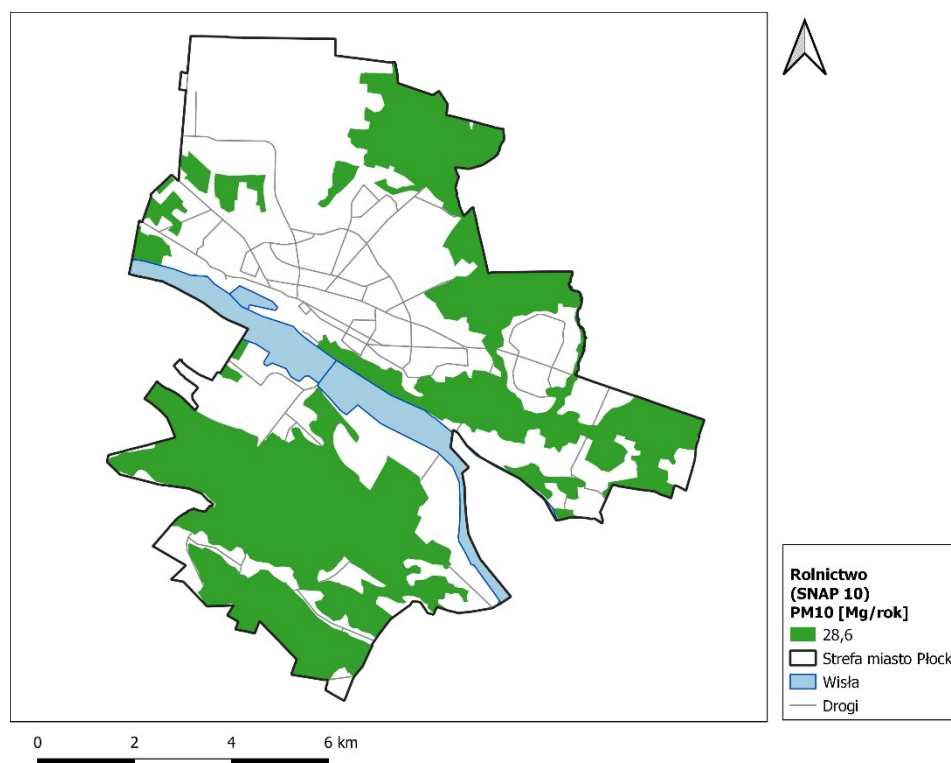
Rysunek 160 Rozmieszczenie oraz ładunki emisji pyłu zawieszonego PM10 z zagospodarowania odpadów (SNAP 09) w strefie miasto Plock w 2018 roku



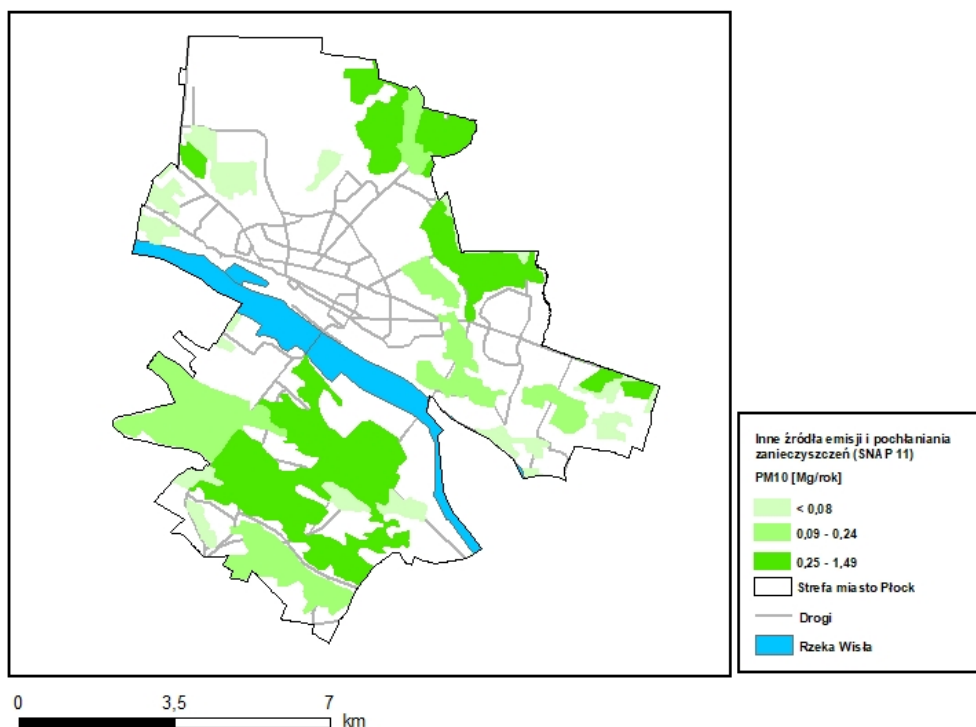
Rysunek 161 Rozmieszczenie oraz ładunki emisji pyłu zawieszonego PM10 z zagospodarowania odpadów (SNAP 09) w strefie miasto Plock w 2021 roku



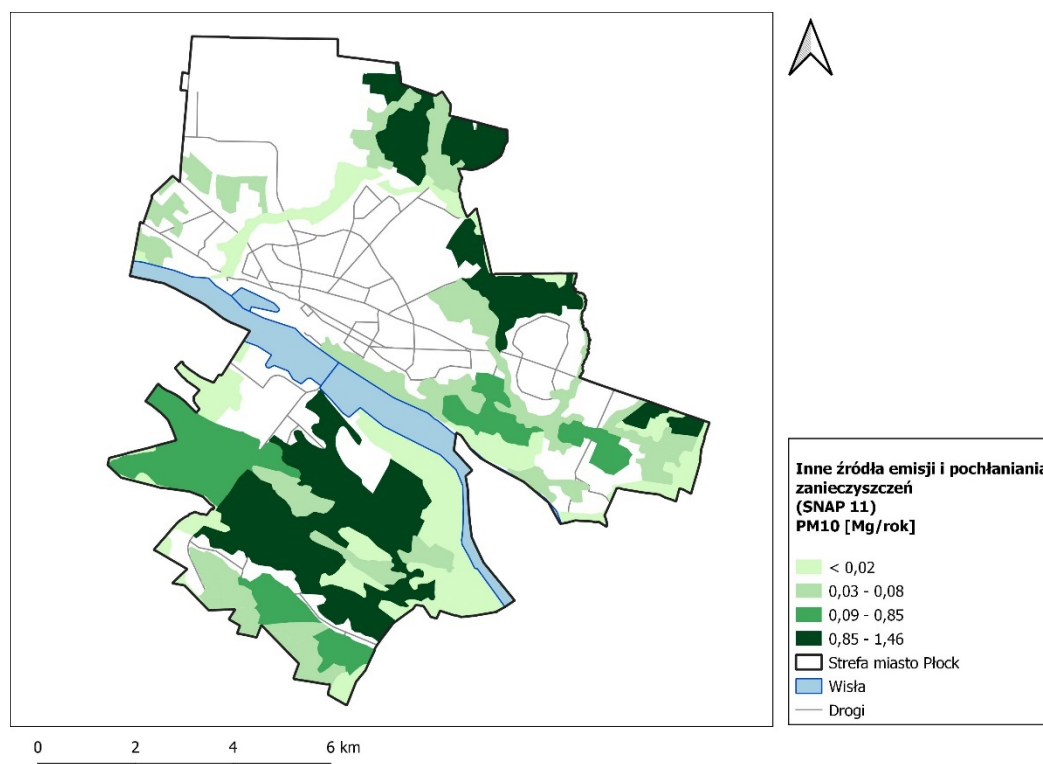
Rysunek 162 Rozmieszczenie oraz ładunki emisji pyłu zawieszonego PM10 z rolnictwa (SNAP 10) w strefie miasto Plock w 2018 roku



Rysunek 163 Rozmieszczenie oraz ładunki emisji pyłu zawieszonego PM10 z rolnictwa (SNAP 10) w strefie miasto Plock w 2021 roku

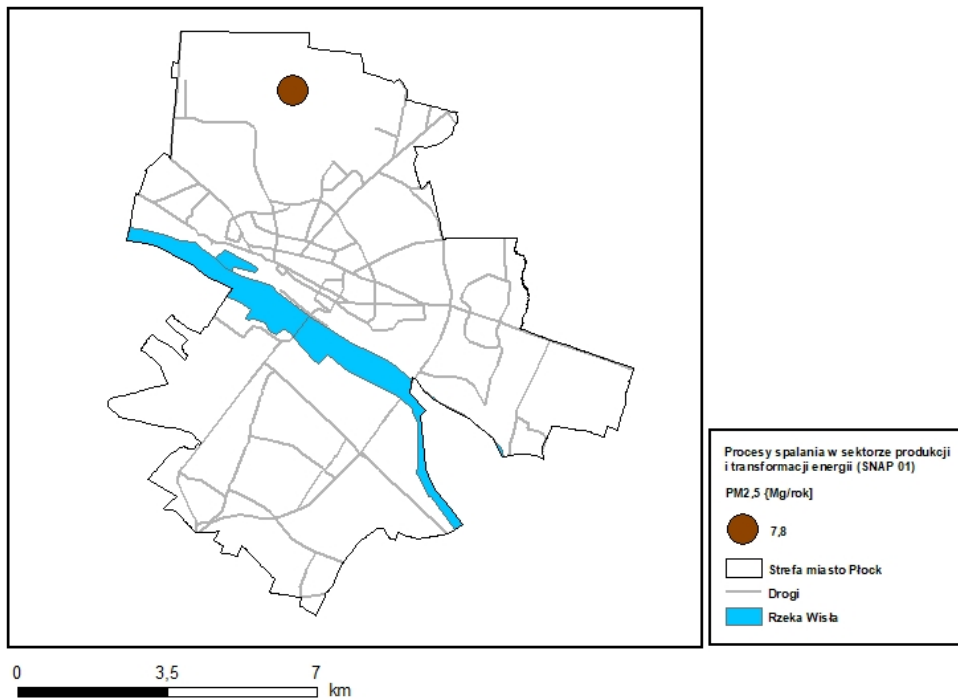


Rysunek 164 Rozmieszczenie oraz ładunki emisji pyłu zawieszonego PM10 z innych źródeł emisji i pochłaniania zanieczyszczeń (SNAP 11) w strefie miasto Płock w 2018 roku

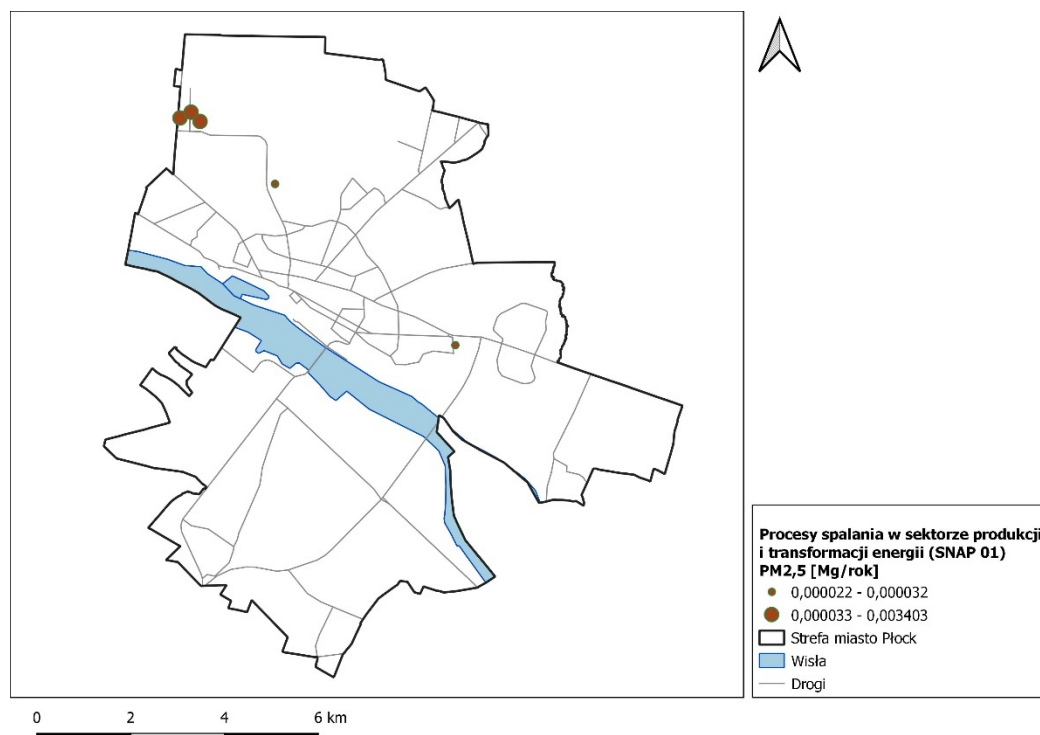


Rysunek 165 Rozmieszczenie oraz ładunki emisji pyłu zawieszonego PM10 z innych źródeł emisji i pochłaniania zanieczyszczeń (SNAP 11) w strefie miasto Płock w 2021 roku

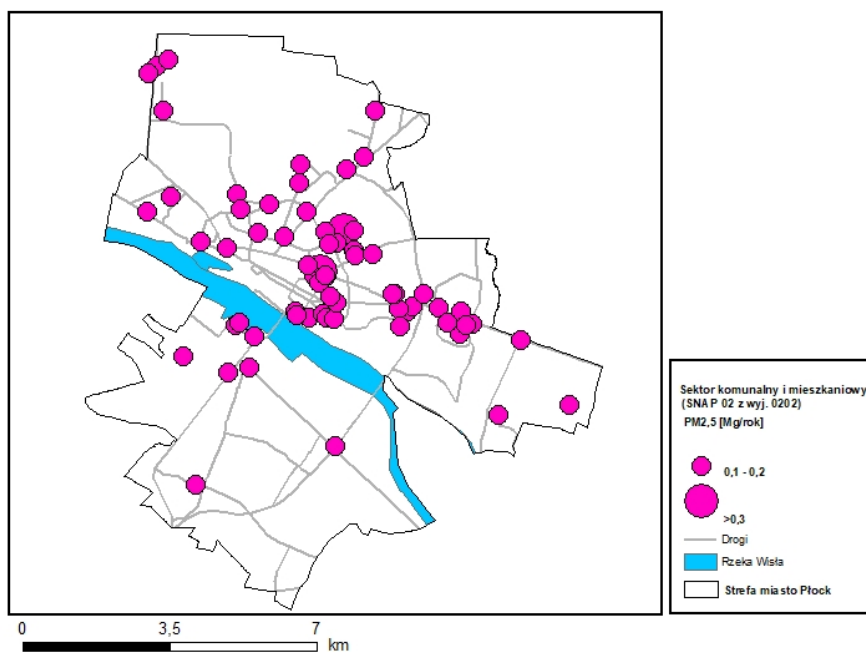
Emisja pyłu zawieszonego PM2,5



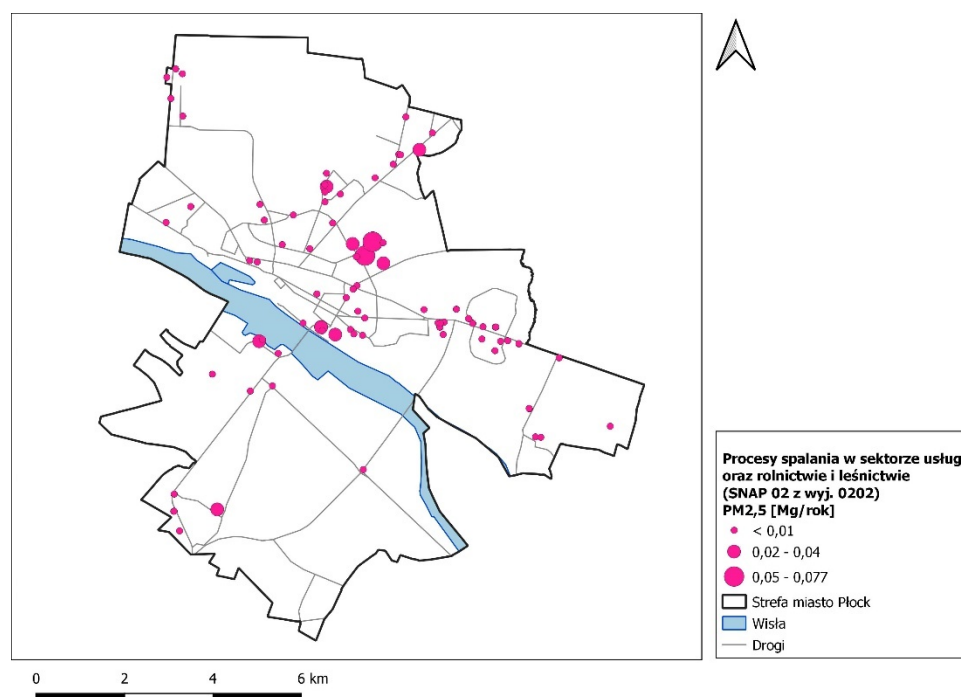
Rysunek 166 Rozmieszczenie oraz ładunki emisji pyłu zawieszonego PM2,5 z procesów spalania w sektorze produkcji i transformacji energii (SNAP 01) w strefie miasto Płock w 2018 roku



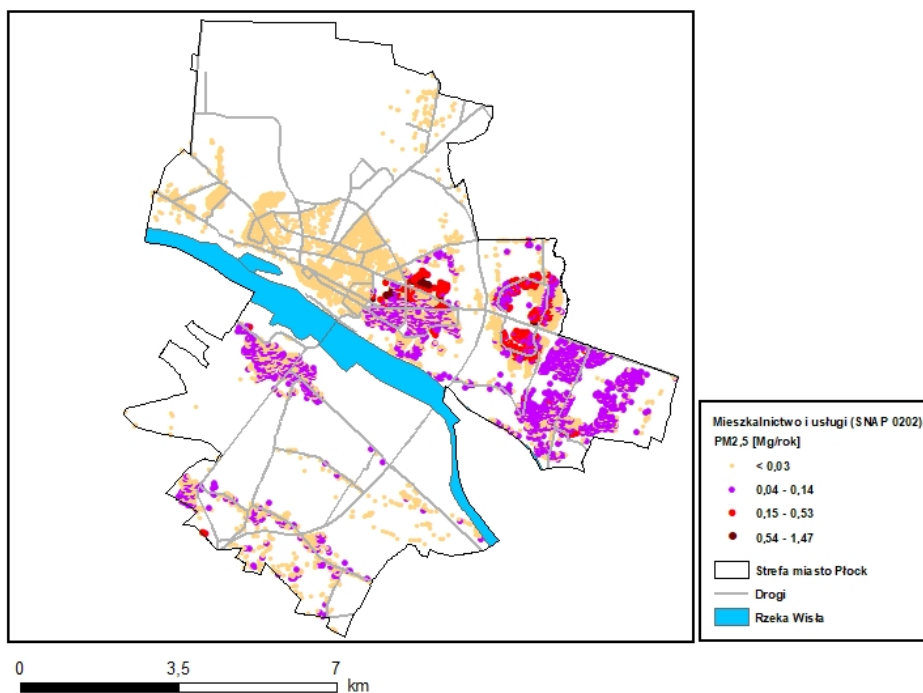
Rysunek 167 Rozmieszczenie oraz ładunki emisji pyłu zawieszonego PM2,5 z procesów spalania w sektorze produkcji i transformacji energii (SNAP 01) w strefie miasto Płock w 2021 roku



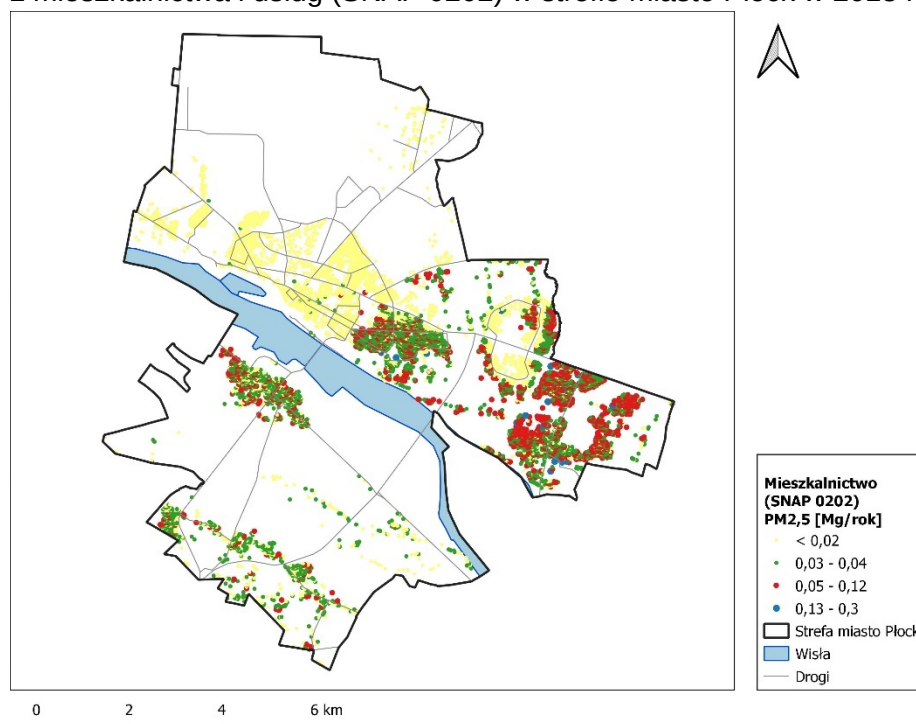
Rysunek 168 Rozmieszczenie oraz ładunki emisji pyłu zawieszonego PM2,5 z sektora komunalnego i mieszkaniowego (SNAP 02 z wyjątkiem 0202) w strefie miasto Płock w 2018 roku



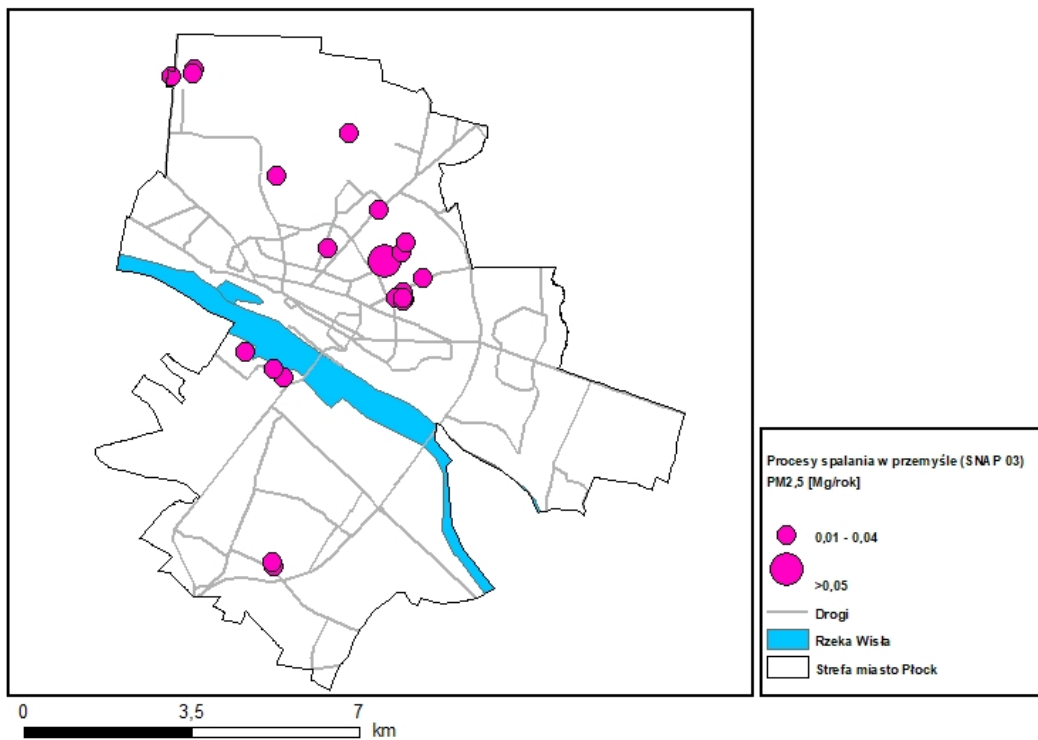
Rysunek 169 Rozmieszczenie oraz ładunki emisji pyłu zawieszonego PM2,5 z sektora usług oraz rolnictwie i leśnictwie (SNAP 02 z wyjątkiem 0202) w strefie miasto Płock w 2021 roku



Rysunek 170 Rozmieszczenie oraz ładunki emisji pyłu zawieszonego PM2,5 z mieszkalnictwa i usług (SNAP 0202) w strefie miasto Płock w 2018 roku



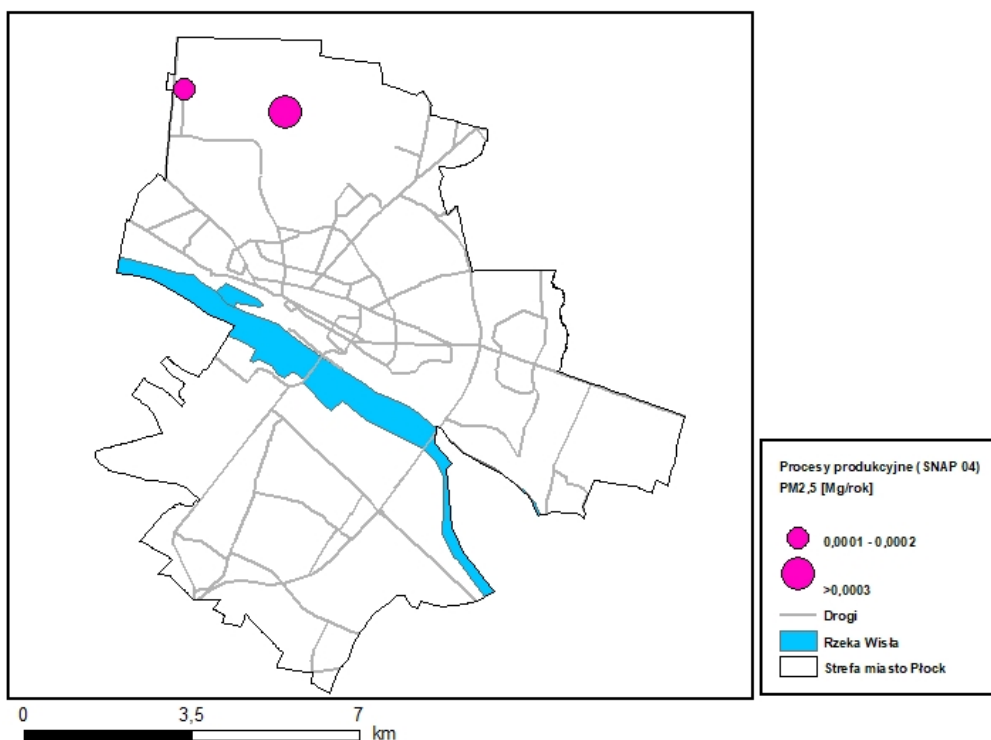
Rysunek 171 Rozmieszczenie oraz ładunki emisji pyłu zawieszonego PM2,5 z mieszkalnictwa (SNAP 0202) w strefie miasto Płock w 2021 roku



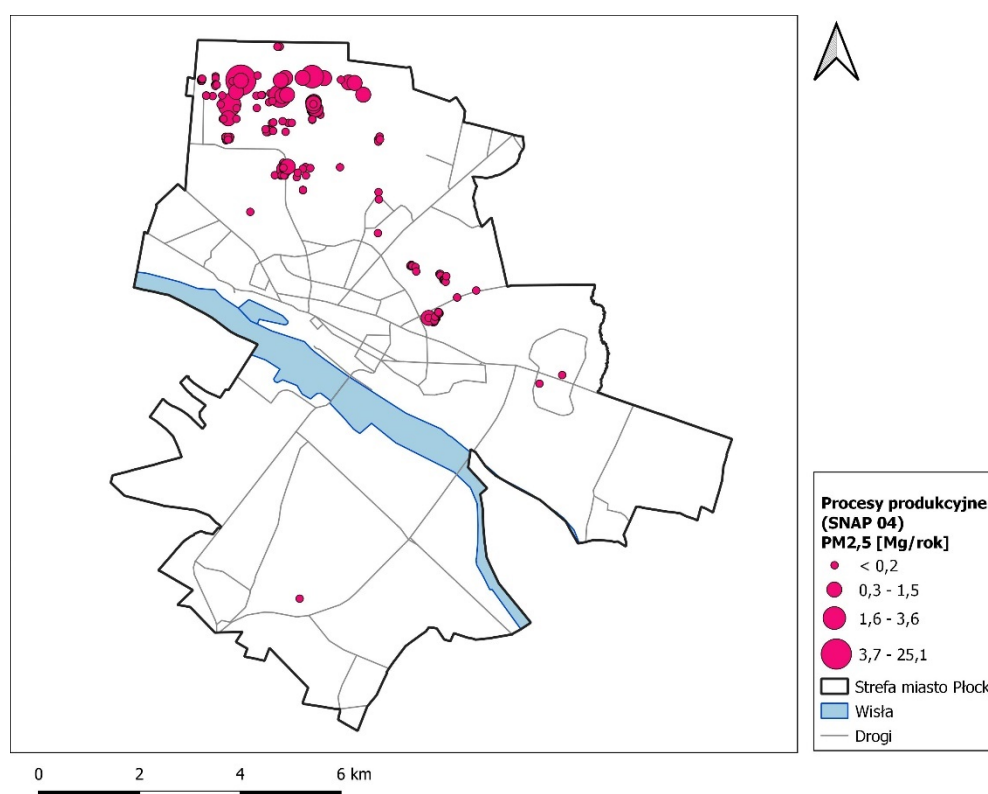
Rysunek 172 Rozmieszczenie oraz ładunki emisji pyłu zawieszonoego PM2,5 z procesów spalania w przemyśle (SNAP 03) w strefie miasto Płock w 2018 roku



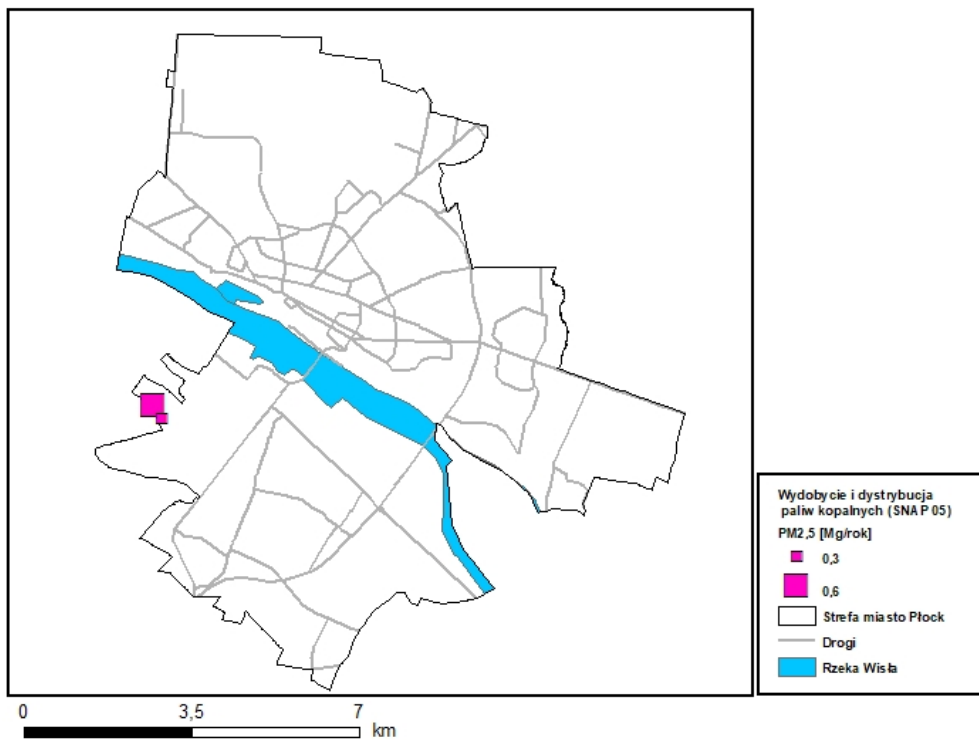
Rysunek 173 Rozmieszczenie oraz ładunki emisji pyłu zawieszonoego PM2,5 z procesów spalania w przemyśle (SNAP 03) w strefie miasto Płock w 2021 roku



Rysunek 174 Rozmieszczenie oraz ładunki emisji pyłu zawieszonoego PM2,5 z procesów produkcyjnych (SNAP 04) w strefie miasto Płock w 2018 roku



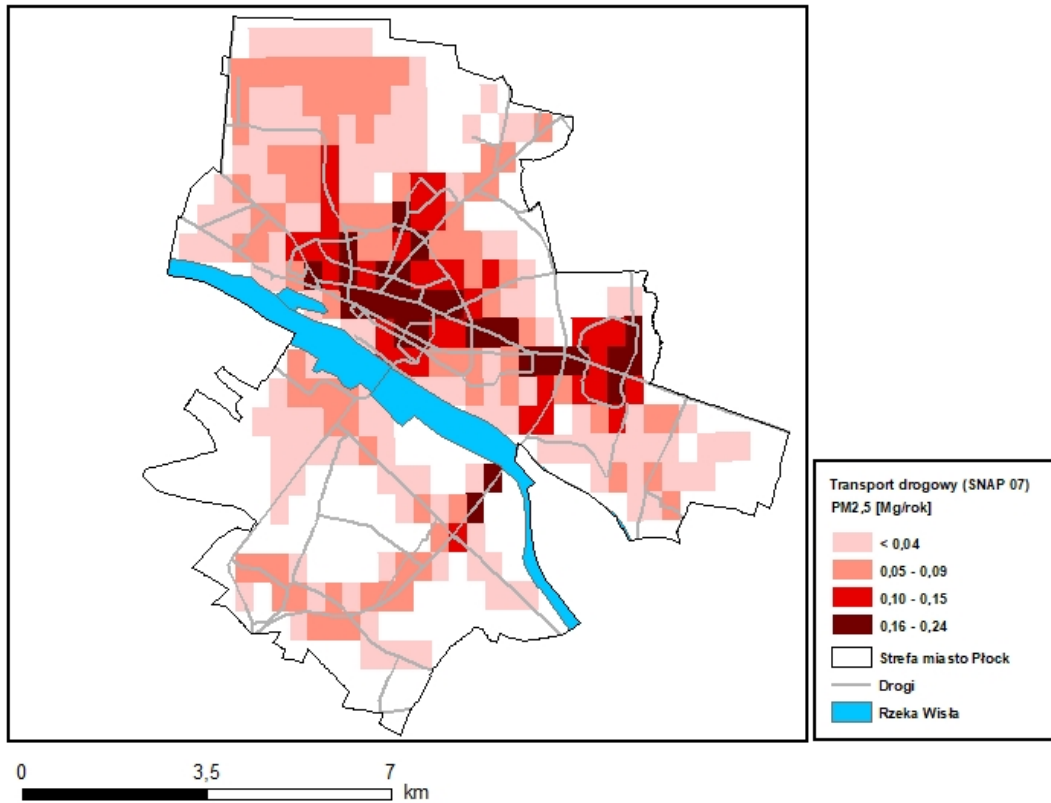
Rysunek 175 Rozmieszczenie oraz ładunki emisji pyłu zawieszonoego PM2,5 z procesów produkcyjnych (SNAP 04) w strefie miasto Płock w 2021 roku



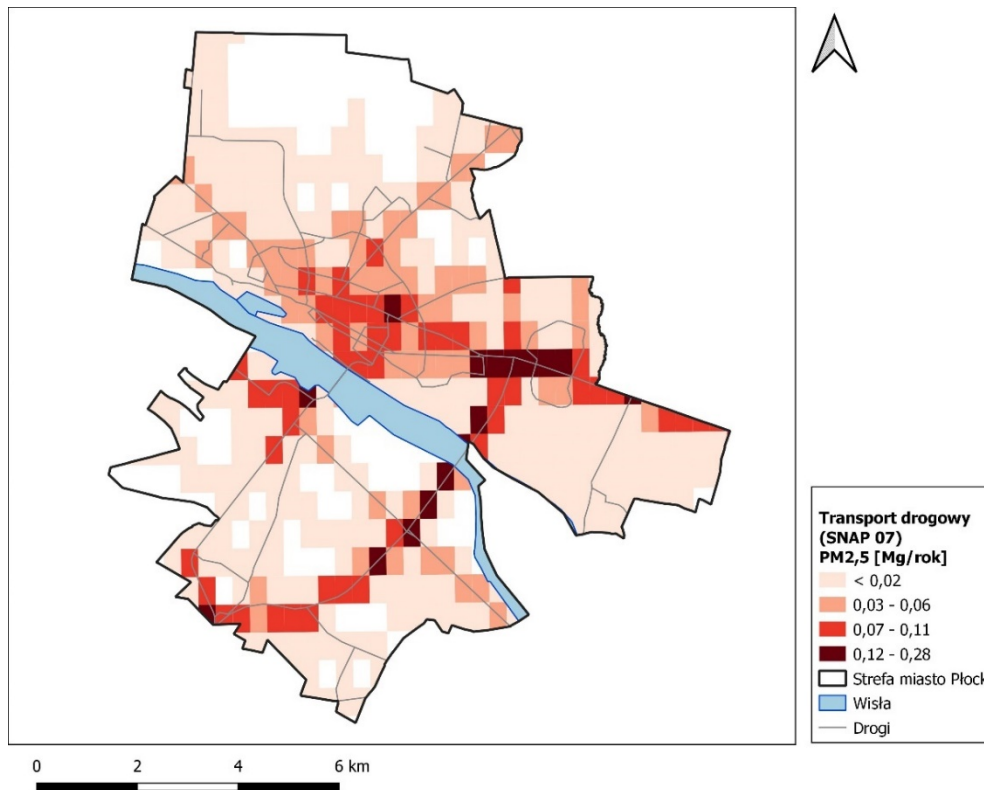
Rysunek 176 Rozmieszczenie oraz ładunki emisji pyłu zawieszonego PM_{2,5} z wydobycia i dystrybucji paliw kopalnych (SNAP 05) w strefie miasto Plock w 2018 roku



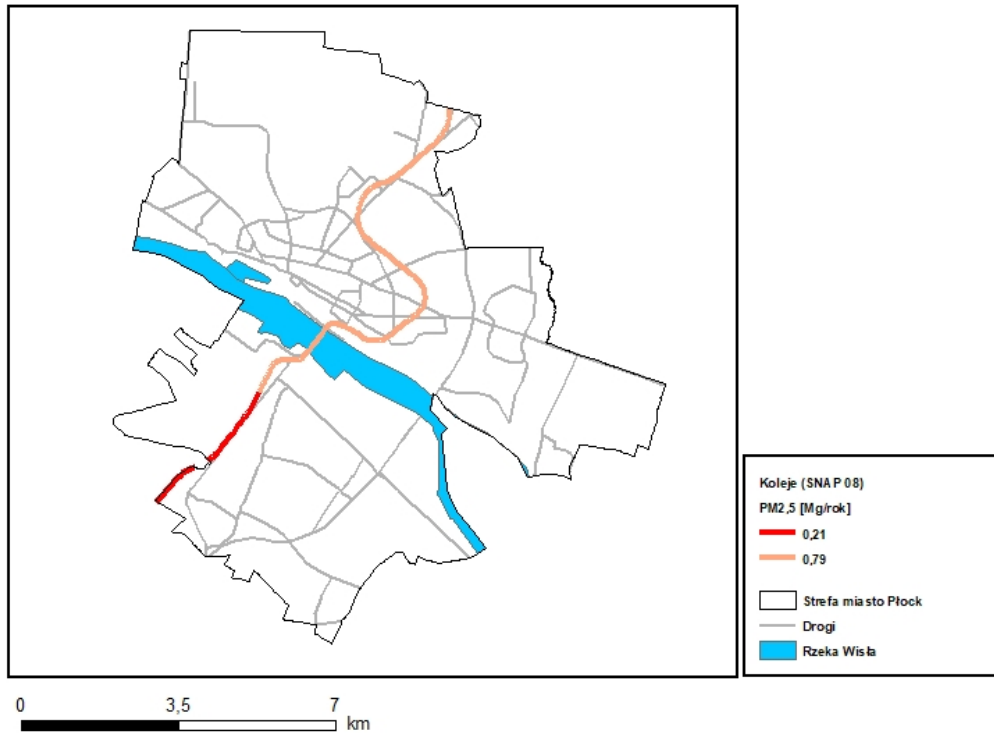
Rysunek 177 Rozmieszczenie oraz ładunki emisji pyłu zawieszonego PM_{2,5} z wydobycia i dystrybucji paliw kopalnych (SNAP 05) w strefie miasto Plock w 2021 roku



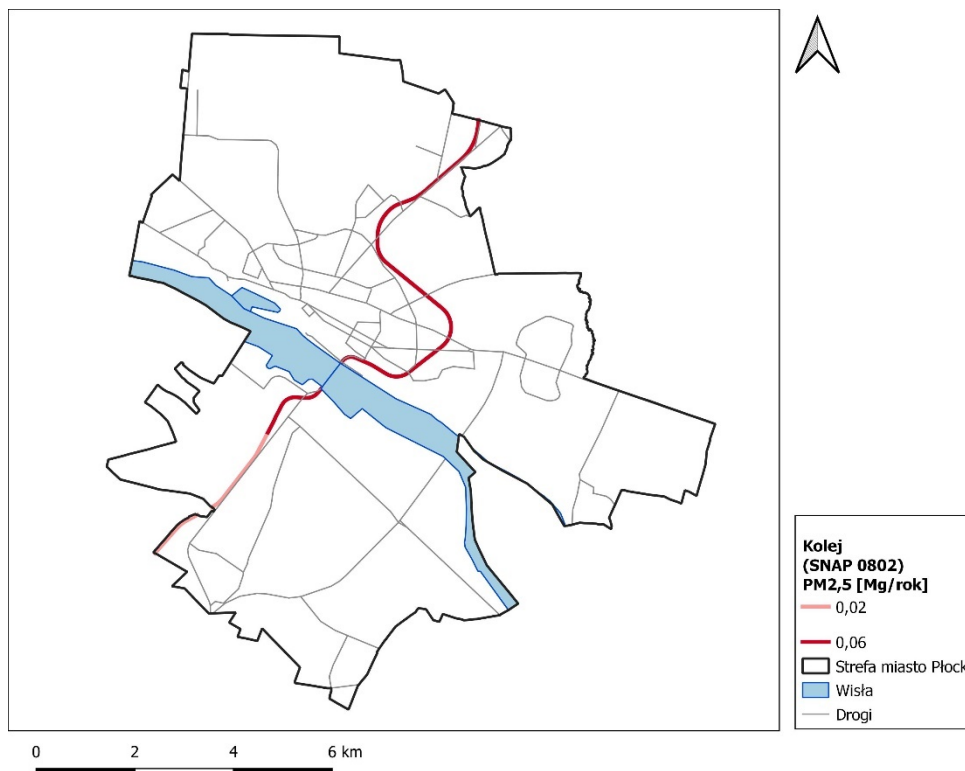
Rysunek 178 Rozmieszczenie oraz ładunki emisji pyłu zawieszonego PM2,5 z transportu drogowego (SNAP 07) w strefie miasto Płock w 2018 roku



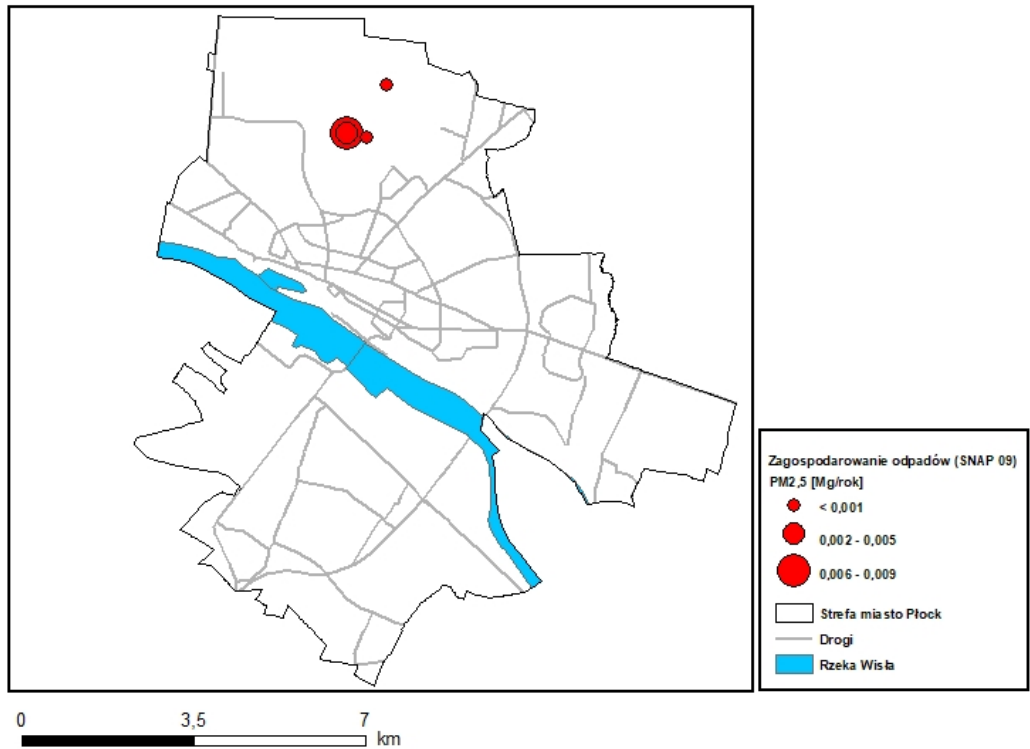
Rysunek 179 Rozmieszczenie oraz ładunki emisji pyłu zawieszonego PM2,5 z transportu drogowego (SNAP 07) w strefie miasto Płock w 2021 roku



Rysunek 180 Rozmieszczenie oraz ładunki emisji pyłu zawieszonego PM2,5 z transportu kolejowego (SNAP 0802) w strefie miasto Plock w 2018 roku



Rysunek 181 Rozmieszczenie oraz ładunki emisji pyłu zawieszonego PM2,5 z transportu kolejowego (SNAP 0802) w strefie miasto Plock w 2021 roku

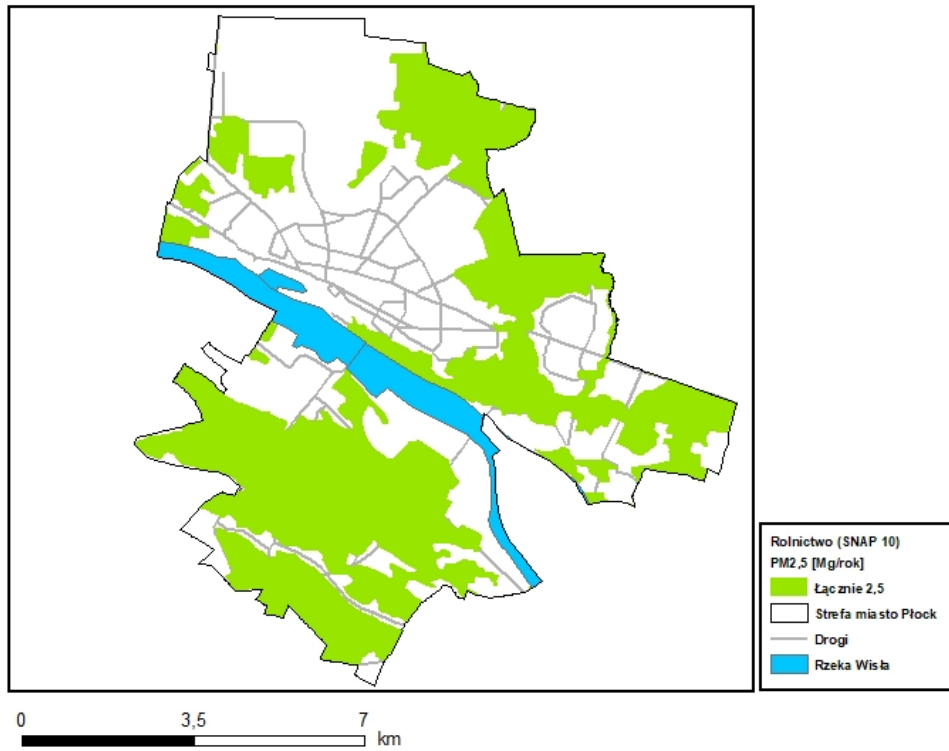


Rysu

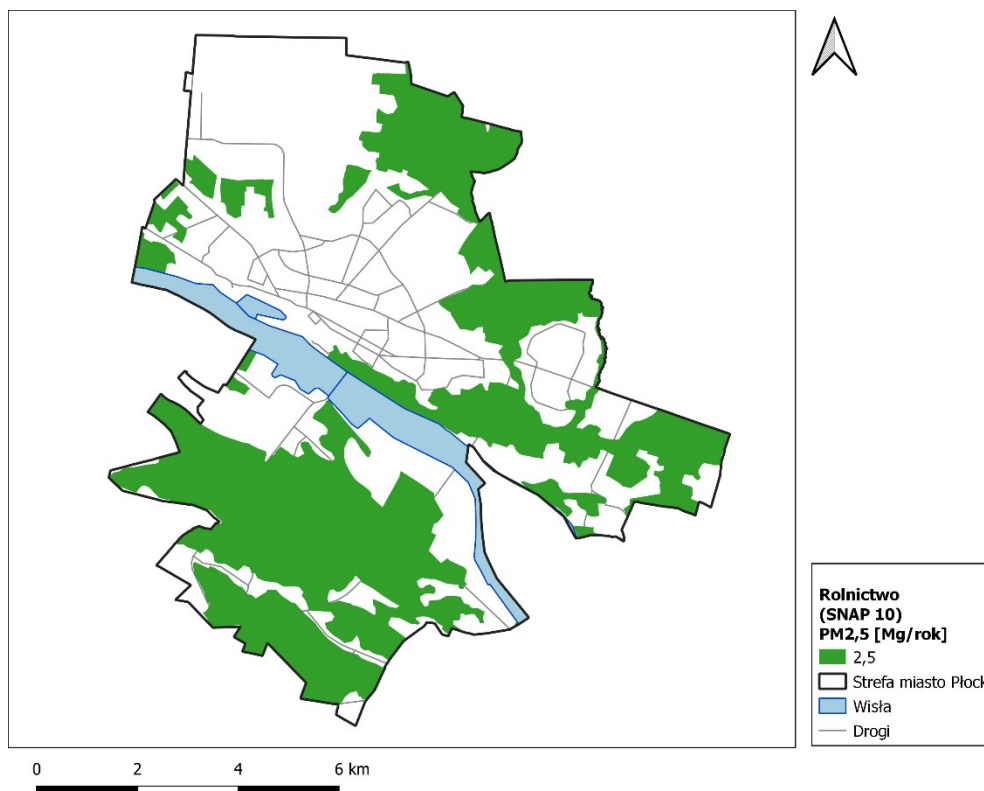
nek 182 Rozmieszczenie oraz ładunki emisji pyłu zawieszono PM2,5 z zagospodarowania odpadów (SNAP 09) w strefie miasto Płock w 2018 roku



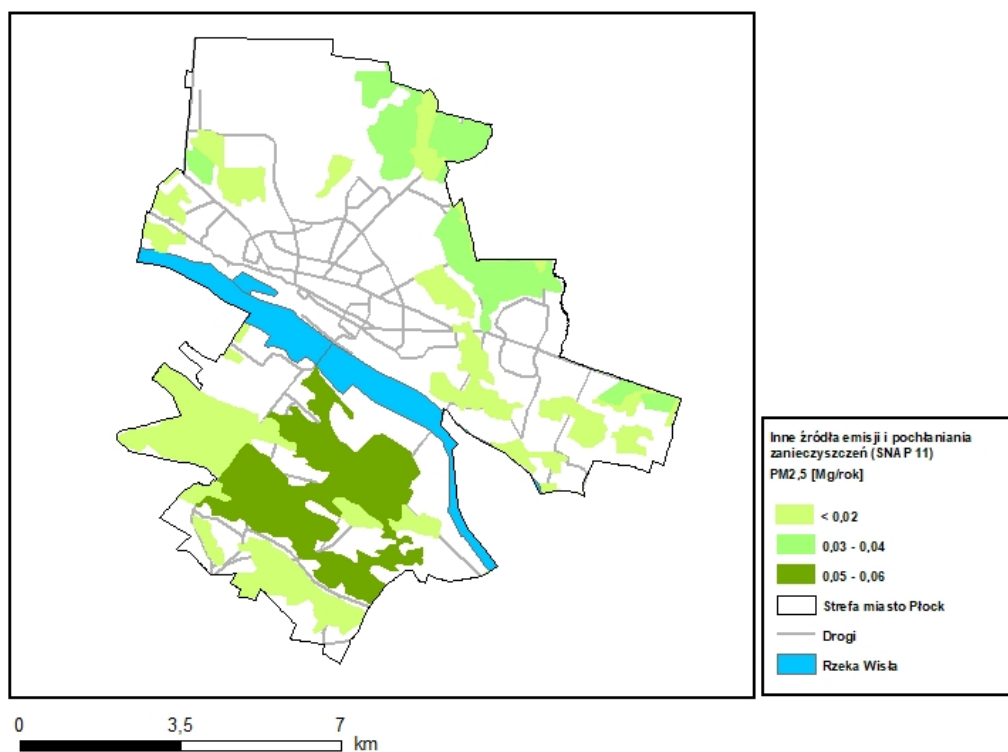
Rysunek 183 Rozmieszczenie oraz ładunki emisji pyłu zawieszono PM2,5 z zagospodarowania odpadów (SNAP 09) w strefie miasto Płock w 2021 roku



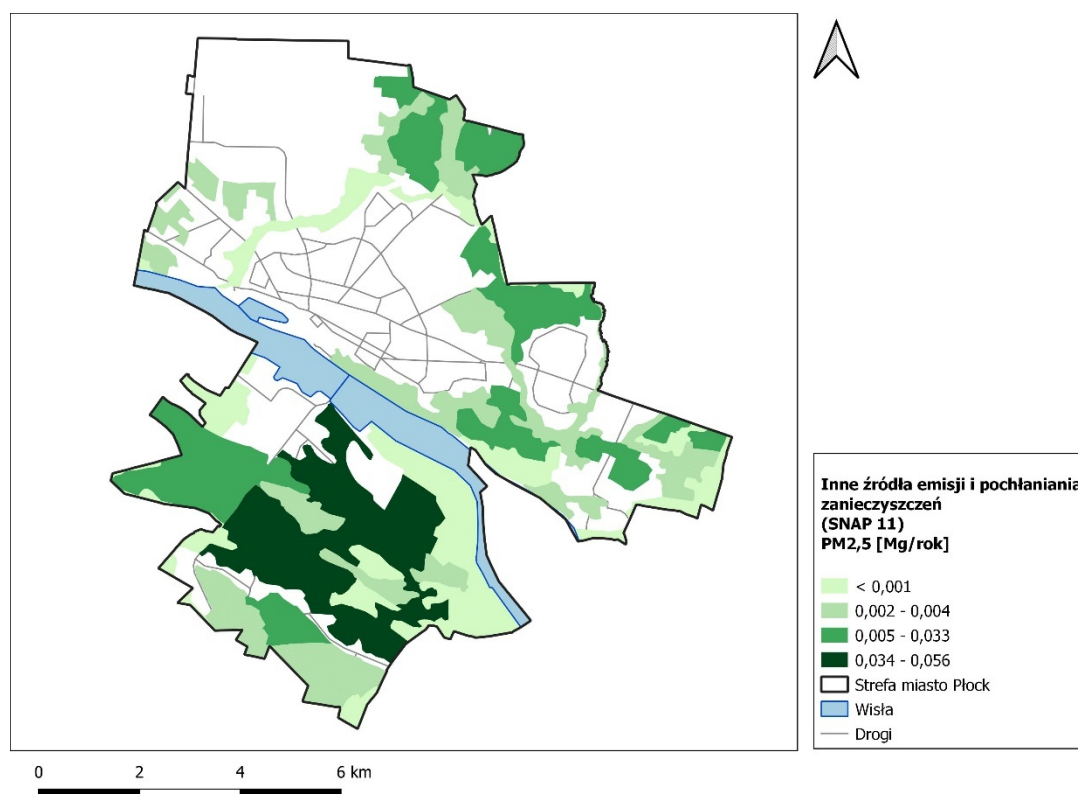
Rysunek 184 Rozmieszczenie oraz ładunki emisji pyłu zawieszonego PM_{2,5} z rolnictwa (SNAP 10) w strefie miasto Płock w 2018 roku



Rysunek 185 Rozmieszczenie oraz ładunki emisji pyłu zawieszonego PM_{2,5} z rolnictwa (SNAP 10) w strefie miasto Płock w 2021 roku

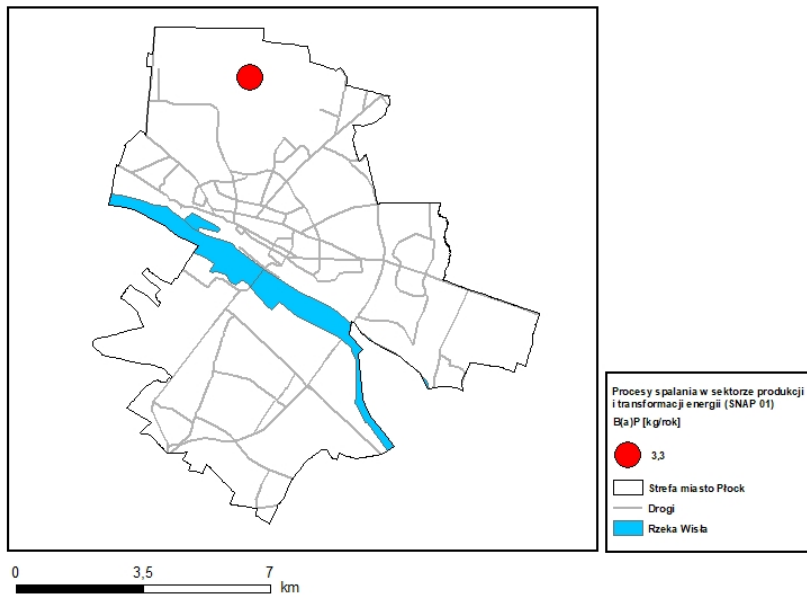


Rysunek 186 Rozmieszczenie oraz ładunki emisji pyłu zawieszonego PM2,5 z innych źródeł emisji i pochłaniania zanieczyszczeń (SNAP 11) w strefie miasto Płock w 2018 roku

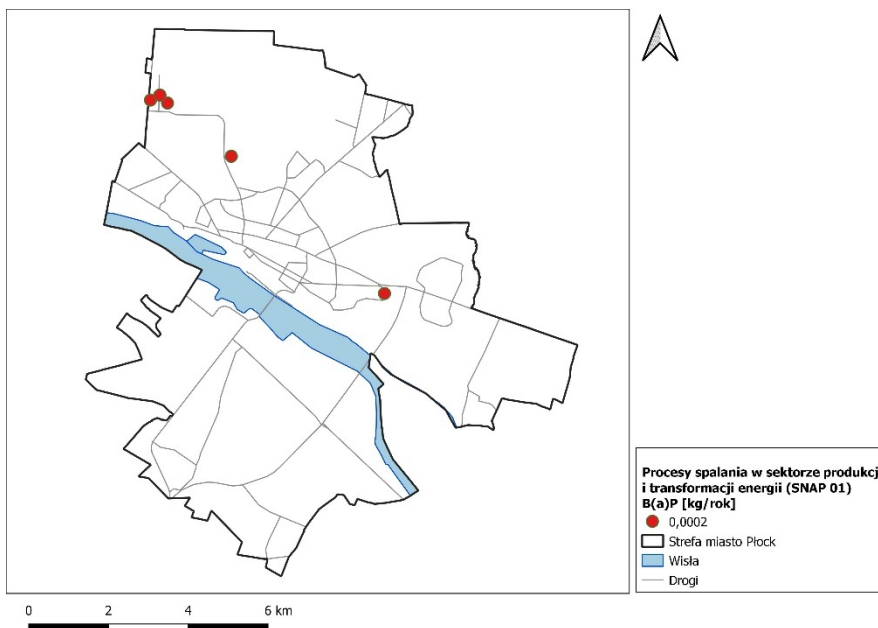


Rysunek 187 Rozmieszczenie oraz ładunki emisji pyłu zawieszonego PM2,5 z innych źródeł emisji i pochłaniania zanieczyszczeń (SNAP 11) w strefie miasto Płock w 2021 roku

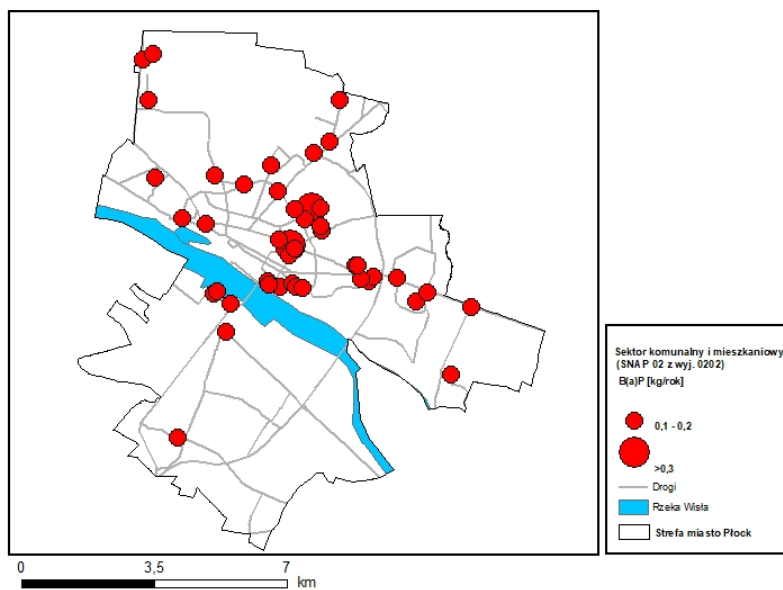
Emisja benzo(a)pirenu



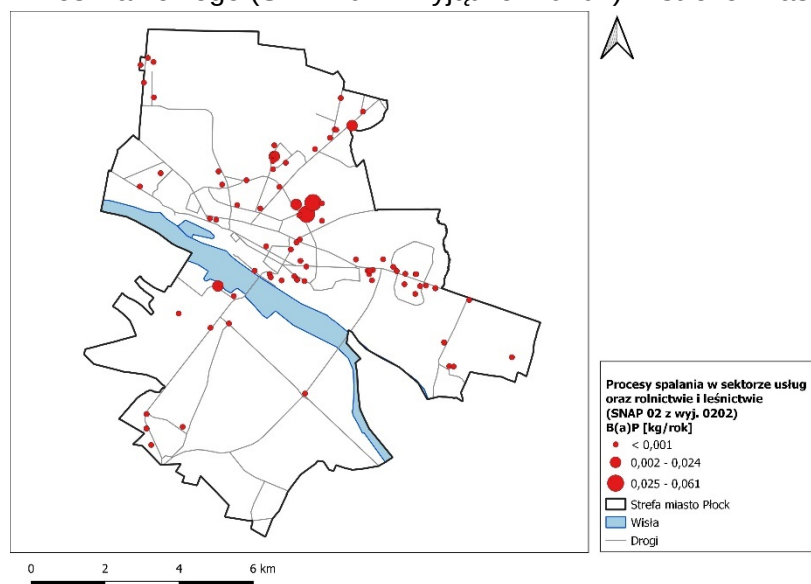
Rysunek 188 Rozmieszczenie oraz ładunki emisji benzo(a)pirenu z procesów spalania w sektorze produkcji i transformacji energii (SNAP 01) w strefie miasto Plock w 2018 roku



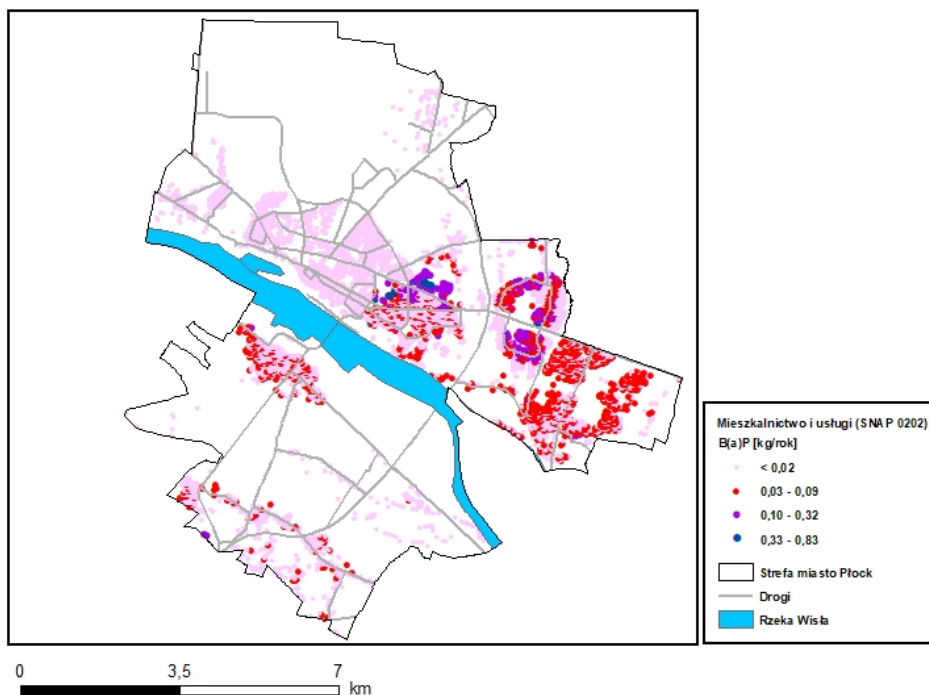
Rysunek 189 Rozmieszczenie oraz ładunki emisji benzo(a)pirenu z procesów spalania w sektorze produkcji i transformacji energii (SNAP 01) w strefie miasto Plock w 2021 roku



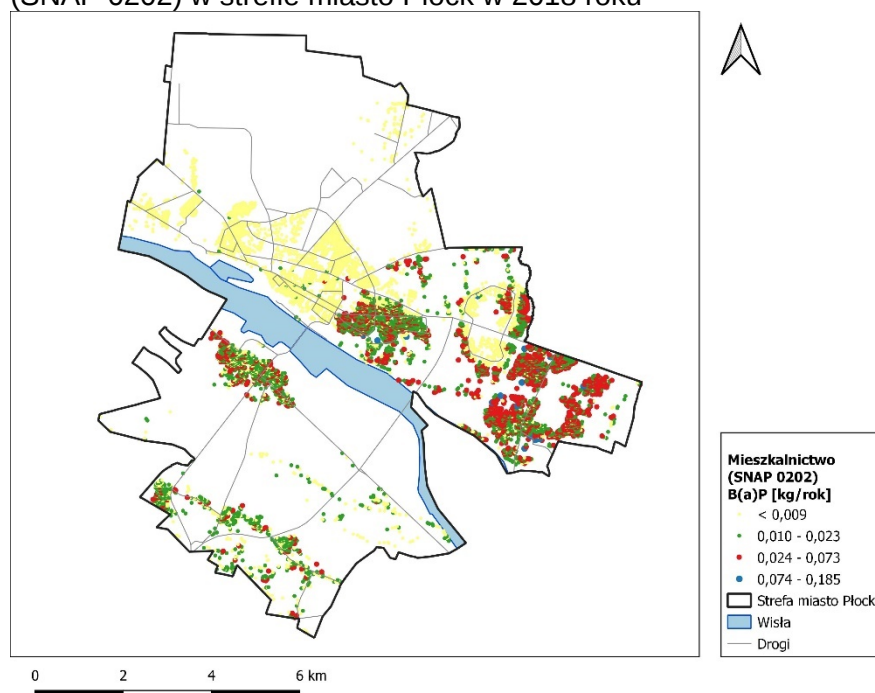
Rysunek 190 Rozmieszczenie oraz ładunki emisji benzo(a)pirenu z sektora komunalnego i mieszkaniowego (SNAP 02 z wyjątkiem 0202) w strefie miasto Płock w 2018 roku



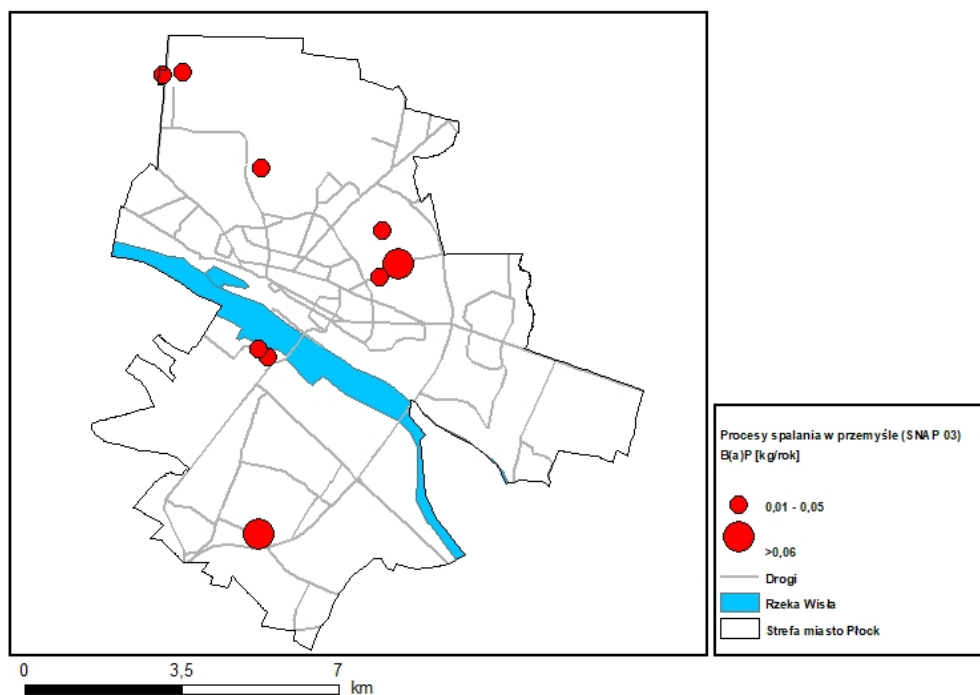
Rysunek 191 Rozmieszczenie oraz ładunki emisji benzo(a)pirenu z sektora usług oraz rolnictwie i leśnictwie (SNAP 02 z wyjątkiem 0202) w strefie miasto Płock w 2021 roku



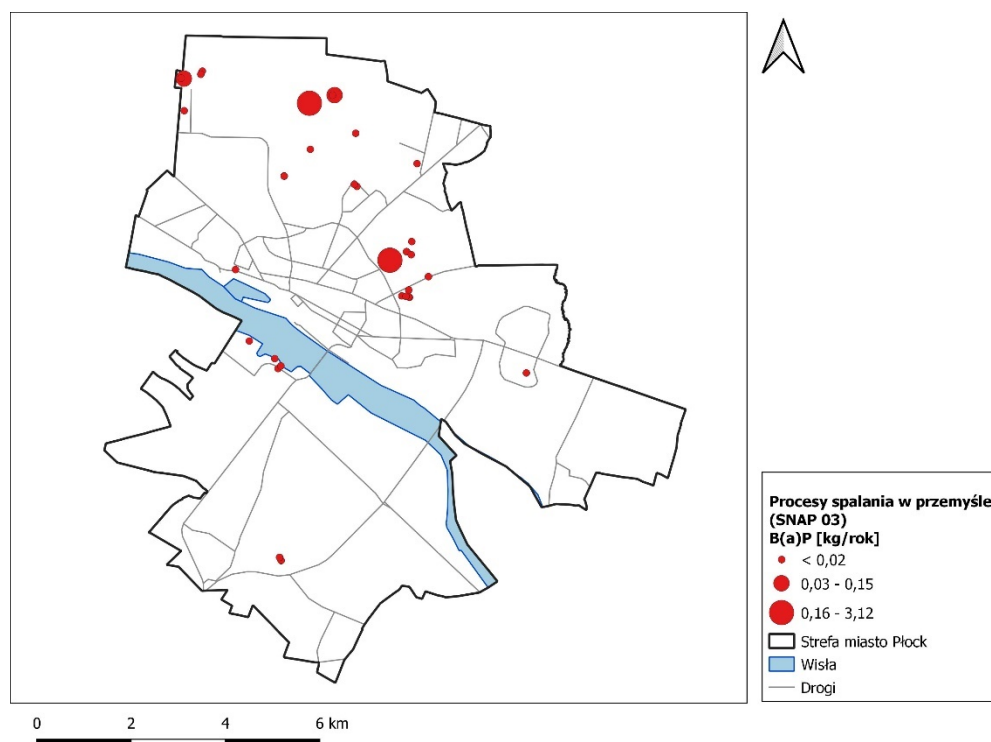
Rysunek 192 Rozmieszczenie oraz ładunki emisji benzo(a)pirenu z mieszkalnictwa i usług (SNAP 0202) w strefie miasto Plock w 2018 roku



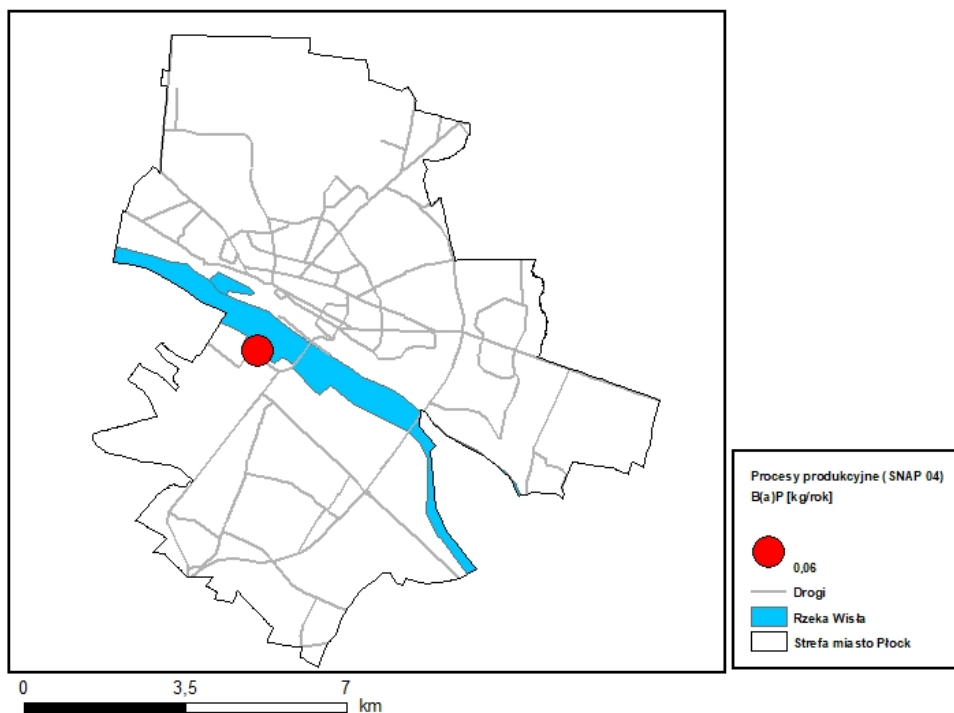
Rysunek 193 Rozmieszczenie oraz ładunki emisji benzo(a)pirenu z mieszkalnictwa (SNAP 0202) w strefie miasto Plock w 2021 roku



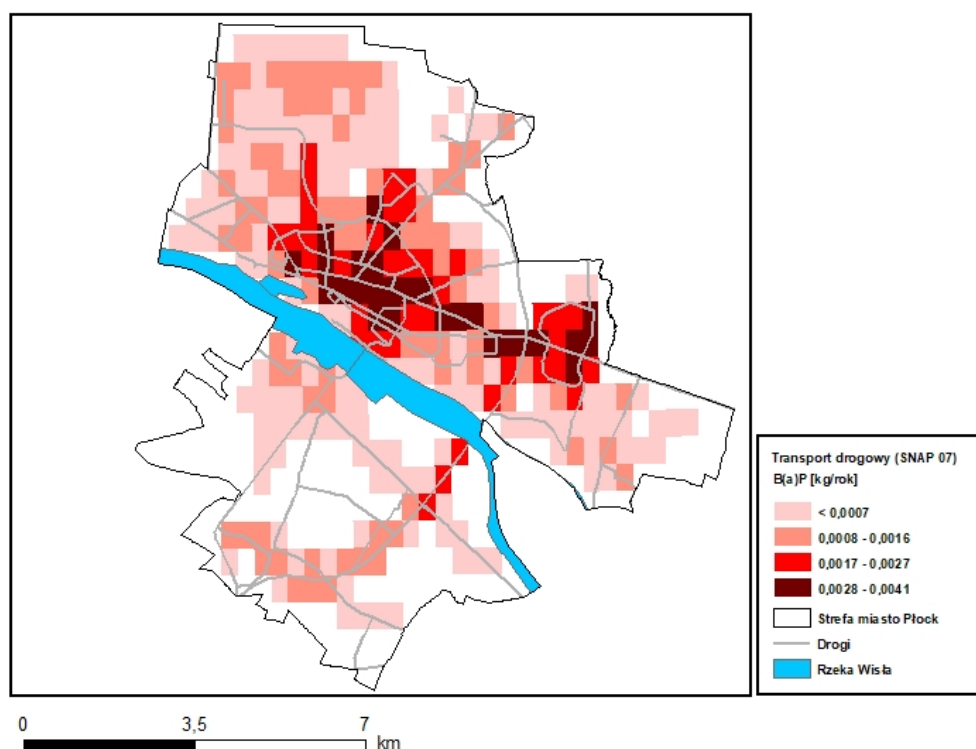
Rysunek 194 Rozmieszczenie oraz ładunki emisji benzo(a)pirenu z procesów spalania w przemyśle (SNAP 03) w strefie miasto Płock w 2018 roku



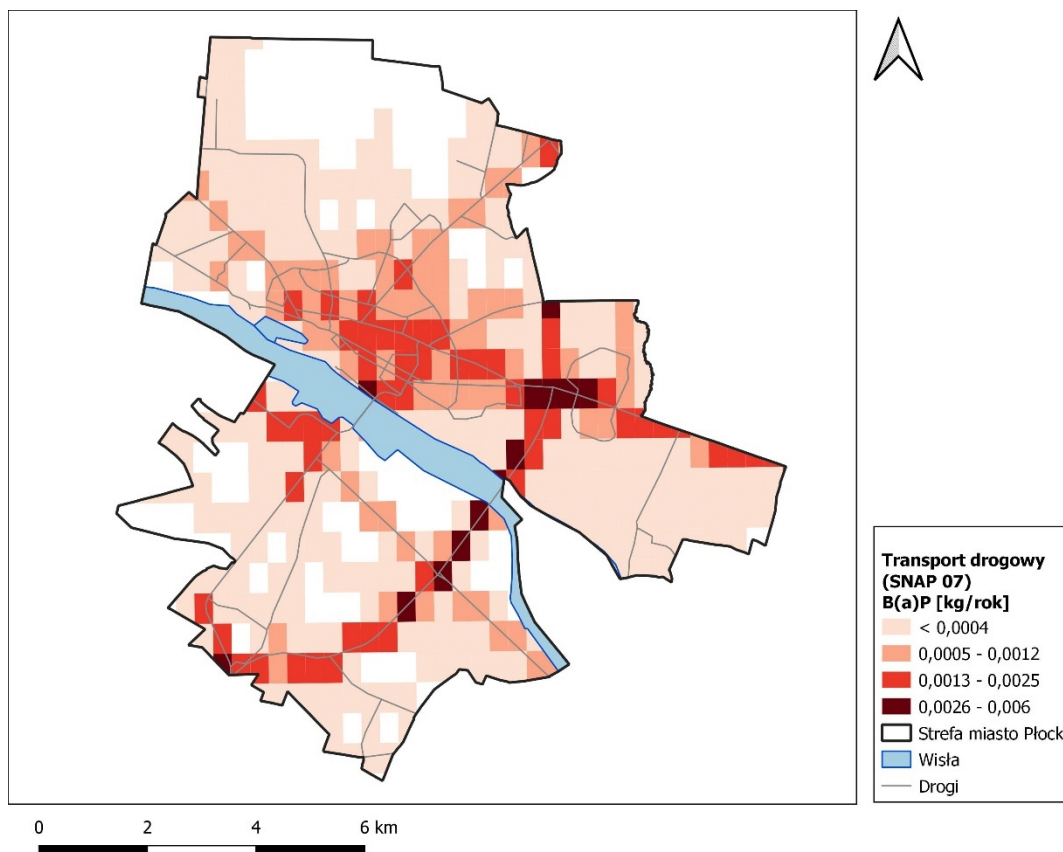
Rysunek 195 Rozmieszczenie oraz ładunki emisji benzo(a)pirenu z procesów spalania w przemyśle (SNAP 03) w strefie miasto Płock w 2021 roku



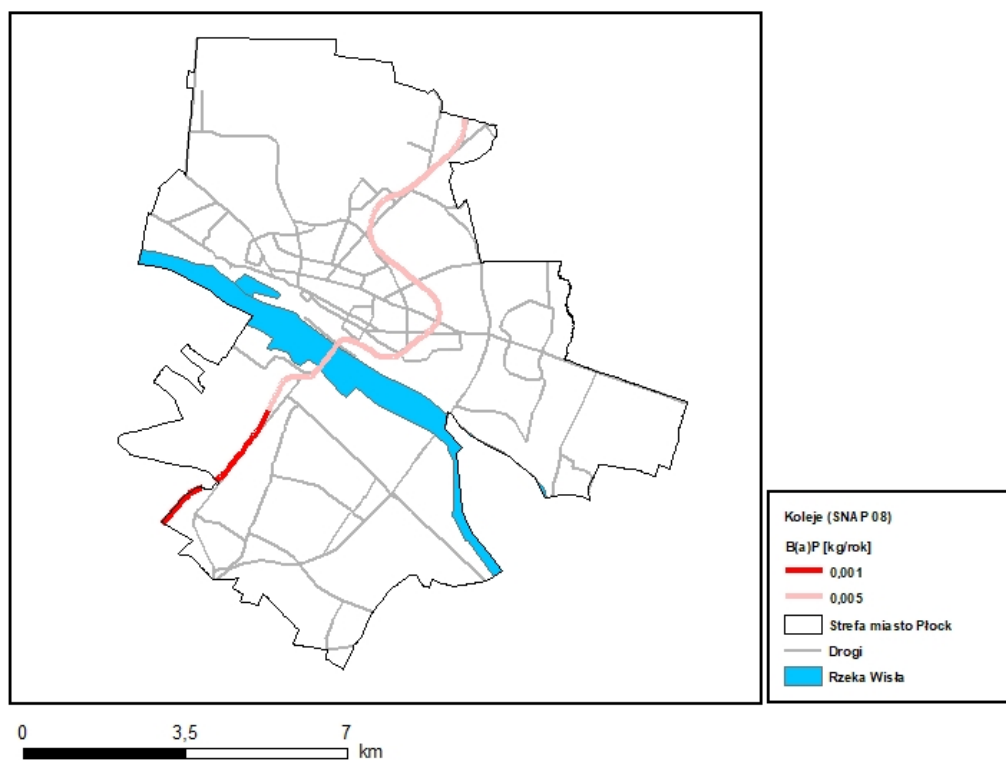
Rysunek 196 Rozmieszczenie oraz ładunki emisji benzo(a)pirenu z procesów produkcyjnych (SNAP 04) w strefie miasto Płock w 2018 roku



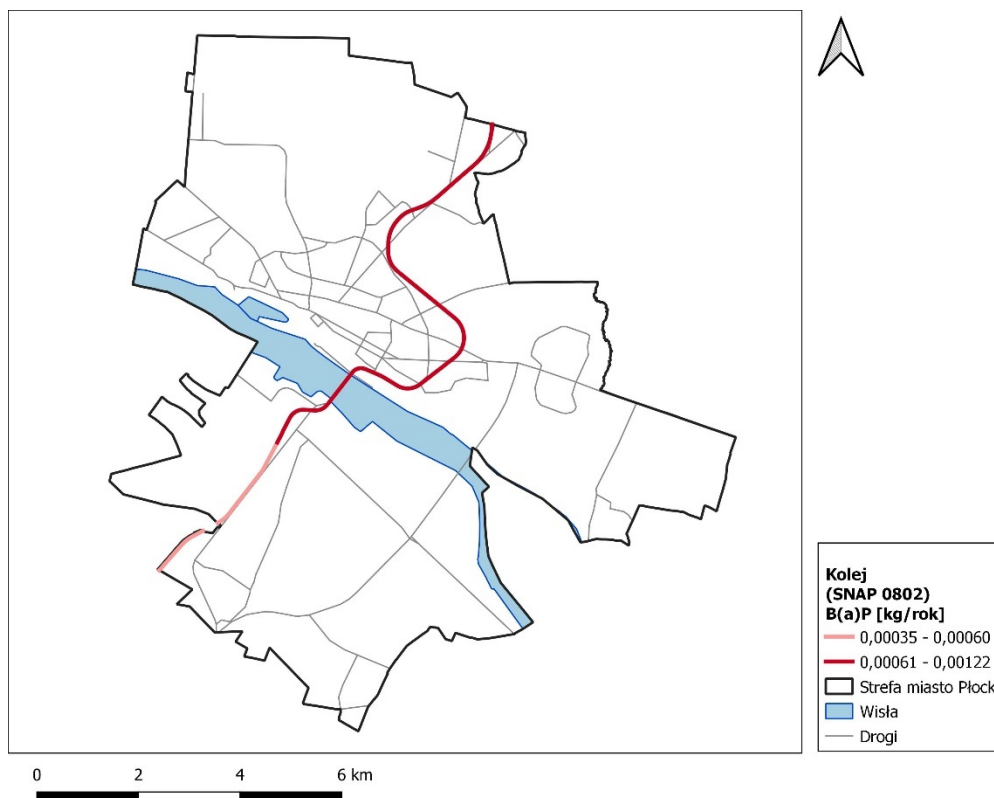
Rysunek 197 Rozmieszczenie oraz ładunki emisji benzo(a)pirenu z transportu drogowego (SNAP 07) w strefie miasto Płock w 2018 roku



Rysunek 198 Rozmieszczenie oraz ładunki emisji benzo(a)pirenu z transportu drogowego (SNAP 07) w strefie miasto Plock w 2021 roku



Rysunek 199 Rozmieszczenie oraz ładunki emisji benzo(a)pirenu z transportu kolejowego (SNAP 0802) w strefie miasto Plock w 2018 roku



Rysunek 200 Rozmieszczenie oraz ładunki emisji benzo(a)pirenu z transportu kolejowego (SNAP 0802) w strefie miasto Plock w 2021 roku

6.4. Strefa miasto Radom

Tabela 145 Emisja substancji w powietrzu w strefie miasto Radom w 2018 roku

Typ emisji	SNAP	Pył zawieszony PM10 [Mg/rok]	Udział [%] pyłu PM10 w łącznej emisji	Pył zawieszony PM2,5 [Mg/rok]	Udział [%] pyłu PM2,5 w łącznej emisji	B(a)P [kg/rok]	Udział [%] B(a)P w łącznej emisji
Procesy spalania w sektorze produkcji i transformacji energii	01	69,838	13,9	20,384	5,1	100,228	33,6
Sektor komunalny i bytowy z wyj. SNAP 0202	02	1,271519	0,3	1,122	0,3	0,7002	0,2
Mieszkalnictwo i usługi	0202	336,741	66,8	331,687	82,4	189,2	63,5
Procesy spalania w przemyśle	03	6,856	1,4	3,755	0,9	7,302	2,4
Procesy produkcyjne	04	9,794	1,9	0,781	0,2	0,060	0,0
Wydobycie i dystrybucja paliw kopalnych	05	14,94	3,0	3,965	1,0	Nie występuje	Nie występuje
Zastosowanie rozpuszczalników i innych produktów	06	0,03	0,0	0,0	0,0	Nie występuje	Nie występuje
Transport drogowy	07	49,508	9,8	38,285	9,5	0,6	0,2
Koleje	0802	0,2	0,0	0,164	0,0	0,010	0,0
Transport powietrzny	0805	0,022	0,0	0,022	0,0	Nie występuje	Nie występuje

Typ emisji	SNAP	Pył zawieszony PM10 [Mg/rok]	Udział [%] pyłu PM10 w łącznej emisji	Pył zawieszony PM2,5 [Mg/rok]	Udział [%] pyłu PM2,5 w łącznej emisji	B(a)P [kg/rok]	Udział [%] B(a)P w łącznej emisji
						e	e
Ciągniki rolnicze	0806	3,1	0,6	1,765	0,4	Nie występuje	Nie występuje
Zagospodarowanie odpadów	09	1,368	0,3	0,2546	0,1	Nie występuje	Nie występuje
Rolnictwo	10	5,21	1,0	0,31	0,1	Nie występuje	Nie występuje
Inne źródła emisji i pochłaniania zanieczyszczeń	11	5,0862	1,0	0,21	0,1	Nie występuje	Nie występuje
SUMA	Nie dotyczy	503,964	100	402,704	100	298,1	100

Tabela 146 Emisja substancji w powietrzu w strefie miasto Radom w 2021 roku

Typ emisji	SNAP	Pył zawieszony PM10 [Mg/rok]	Udział [%] pyłu PM10 w łącznej emisji	Pył zawieszony PM2,5 [Mg/rok]	Udział [%] pyłu PM2,5 w łącznej emisji	B(a)P [kg/rok]	Udział [%] B(a)P w łącznej emisji
Procesy spalania w sektorze produkcji i transformacji energii	01	46,697	8,5	12,914	2,7	1,5	0,6
Procesy spalania w sektorze usług oraz rolnictwie i leśnictwie z wyj. 0202	02 bez 0202	0,976	0,2	0,701	0,1	0,1	0,1
Mieszkalnictwo	0202	427,572	77,5	419,674	87,5	261,1	98,7
Procesy spalania w przemyśle	03	2,992	0,5	2,722	0,6	0,8	0,3
Procesy produkcyjne	04	11,924	2,2	6,099	1,3	0,2	0,1
Wydobycie i dystrybucja paliw kopalnych	05	3,639	0,7	0,873	0,2	Nie występuje	Nie występuje
Zastosowanie rozpuszczalników i innych produktów	06	Nie występuje	Nie występuje	Nie występuje	Nie występuje	Nie występuje	Nie występuje
Transport drogowy	07	46,420	8,4	34,603	7,2	0,8	0,3
Koleje	0802	0,114	0,0	0,126	0,0	0,0	0,0
Transport powietrzny	0805	Brak danych	Brak danych	Brak danych	Brak danych	Nie występuje	Nie występuje
Ciągniki rolnicze	0806	0,268	0,0	0,313	0,1	Nie występuje	Nie występuje
Zagospodarowanie odpadów	09	1,225	0,2	1,072	0,2	Nie występuje	Nie występuje
Rolnictwo	10	4,822	0,9	0,403	0,1	Nie występuje	Nie występuje

Typ emisji	SNAP	Pył zawieszony PM10 [Mg/rok]	Udział [%] pyłu PM10 w łącznej emisji	Pył zawieszony PM2,5 [Mg/rok]	Udział [%] pyłu PM2,5 w łącznej emisji	B(a)P [kg/rok]	Udział [%] B(a)P w łącznej emisji
Inne źródła emisji i pochłaniania zanieczyszczeń	11	5,169	0,9	0,238	0,0	Nie występuje	Nie występuje
SUMA		551,818	100	479,738	100	264,5	100

Tabela 147 Emisja substancji w powietrzu poza strefą miasto Radom (w odległości 30 km wokół strefy) w 2018 roku

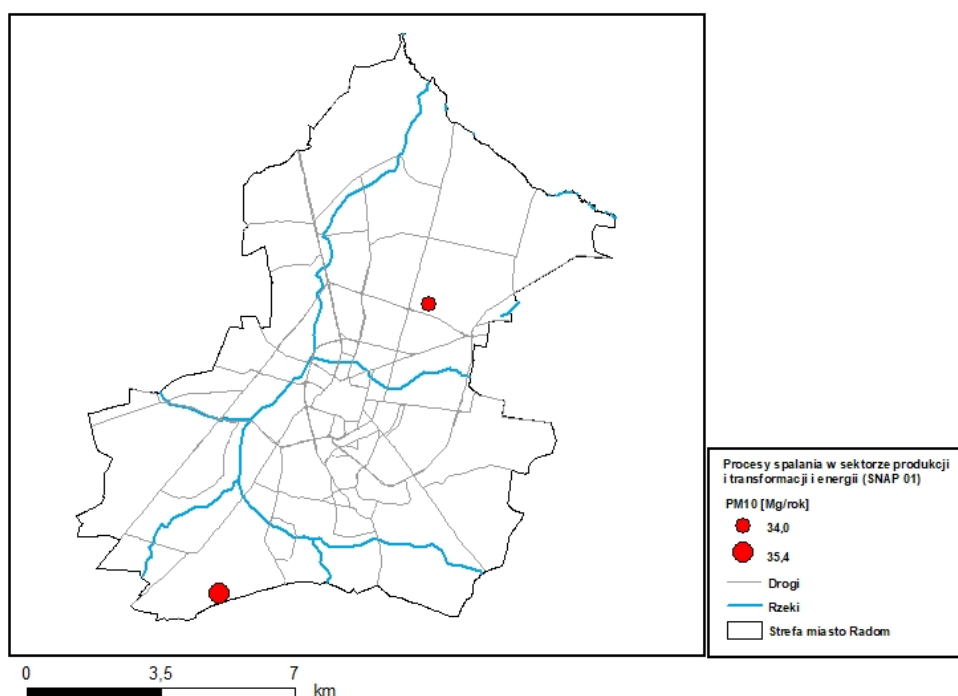
Typ emisji w promieniu 30 km wokół strefy miasto Radom	SNAP	Pył zawieszony PM10 [Mg/rok]	Pył zawieszony PM10 [%]	Pył zawieszony PM2,5 [Mg/rok]	Pył zawieszony PM2,5 [%]	B(a)P [kg/rok]	B(a)P [%]
Procesy spalania w sektorze produkcji i transformacji energii	01	173,7	4,0	103,1	3,1	68,5	4,2
Procesy spalania w sektorze komunalnym i mieszkaniowym z wyj. 0202	02	9,3	0,2	8,1	0,2	6,1	0,4
Mieszkalnictwo i usługi	0202	2710,7	62,8	2669,7	81,0	1518,3	93,0
Procesy spalania w przemyśle	03	8,4	0,2	4,9	0,1	35,9	2,2
Procesy produkcyjne	04	3,4	0,1	2,1	0,1	0,3	0,0
Wydobycie i dystrybucja paliw kopalnych	05	245,3	5,7	58,9	1,8	0,0	0,0
Zastosowanie rozpuszczalników i innych produktów	06	0,3	0,0	0,0	0,0	0,0	0,0
Transport drogowy	07	275,9	6,4	214,5	6,5	4,0	0,2
Koleje	0802	1,4	0,0	1,4	0,0	0,0	0,0
Ciągniki rolnicze	080600	178,4	4,1	178,4	5,4	0,0	0,0
Zagospodarowanie odpadów	09	0,0	0,0	0,0	0,0	0,0	0,0
Rolnictwo	10	398,5	9,2	43,3	1,3	0,0	0,0
Inne źródła emisji i pochłaniania zanieczyszczeń	11	313,0	7,2	12,3	0,4	0,0	0,0
SUMA	Nie dotyczy	4318,3	100	3296,7	100	1633,1	100

Tabela 148 Emisja substancji w powietrzu poza strefą miasto Radom (w odległości 30 km wokół strefy) w 2021 r.

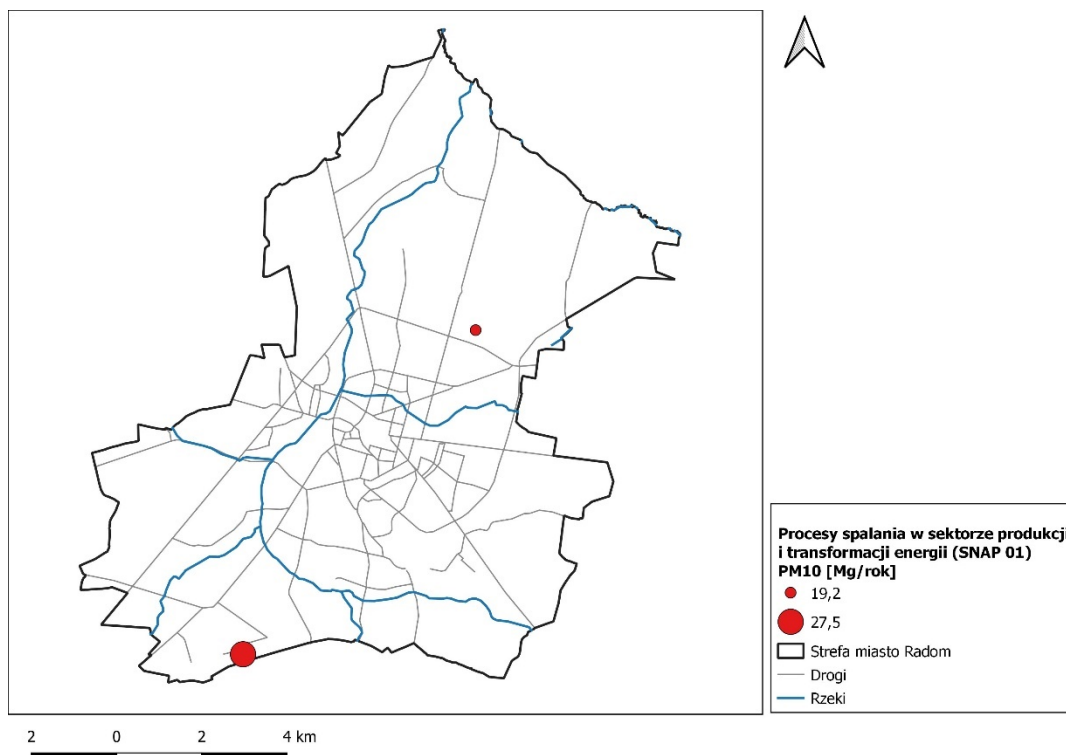
Typ emisji w promieniu 30 km wokół strefy miasto Radom	SNAP	Pył zawieszony PM10 [Mg/rok]	Pył zawieszony PM10 [%]	Pył zawieszony PM2,5 [Mg/rok]	Pył zawieszony PM2,5 [%]	B(a)P [kg/rok]	B(a)P [%]
Procesy spalania w sektorze produkcji i transformacji energii	01	356,0	7,3	173,0	4,7	107,2	5,2
Procesy spalania w sektorze usług oraz rolnictwie i leśnictwie z wyj. 0202	02 bez 0202	9,1	0,2	8,4	0,2	5,7	0,3
Mieszkalnictwo	0202	3 191,2	65,6	3 132,2	85,1	1 947,8	93,9
Procesy spalania w przemyśle	03	30,0	0,6	27,3	0,7	9,3	0,4
Procesy produkcyjne	04	37,4	0,8	18,9	0,5	0,5	0,0
Wydobycie i dystrybucja paliw kopalnych	05	94,8	1,9	22,8	0,6	0,0	0,0

Typ emisji w promieniu 30 km wokół strefy miasto Radom	SNAP	Pył zawieszony PM10 [Mg/rok]	Pył zawieszony PM10 [%]	Pył zawieszony PM2,5 [Mg/rok]	Pył zawieszony PM2,5 [%]	B(a)P [kg/rok]	B(a)P [%]
Zastosowanie rozpuszczalników i innych produktów	06	0,0	0,0	0,0	0,0	0,0	0,0
Transport drogowy	07	253,3	5,2	199,4	5,4	4,5	0,2
Koleje	0802	2,1	0,0	2,0	0,1	0,0	0,0
Ciągniki rolnicze	080600	28,3	0,6	28,3	0,8	0,0	0,0
Zagospodarowanie odpadów	09	1,2	0,0	1,1	0,0	0,0	0,0
Rolnictwo	10	469,8	9,7	52,0	1,4	0,0	0,0
Inne źródła emisji i pochłaniania zanieczyszczeń	11	3916	8,0	15,5	0,4	0,0	0,0
SUMA		4 865,0	100	3 680,9	100	2 075,1	100

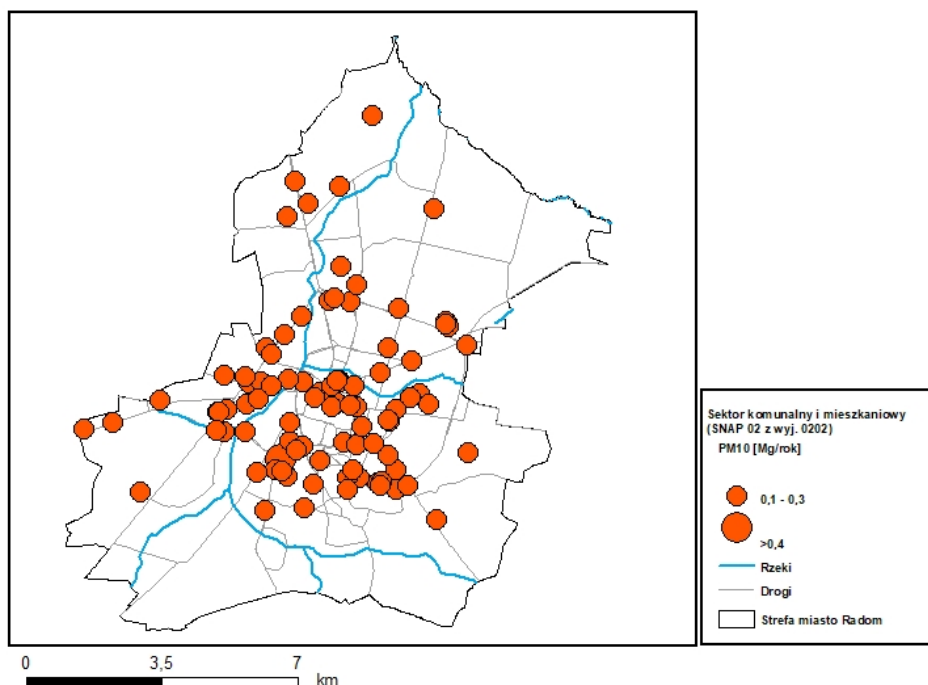
Emisja pyłu zawieszonego PM10



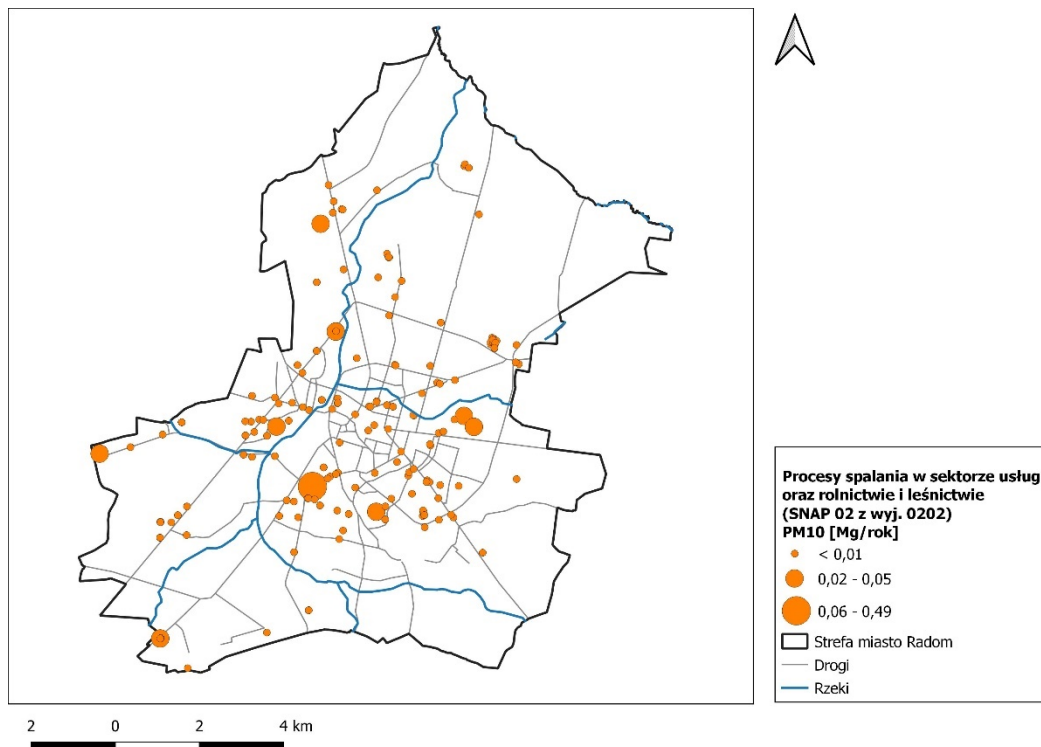
Rysunek 201 Rozmieszczenie oraz ładunki emisji pyłu zawieszonego PM10 z procesów spalania w sektorze produkcji i transformacji energii (SNAP 01) w strefie miasto Radom w 2018 roku



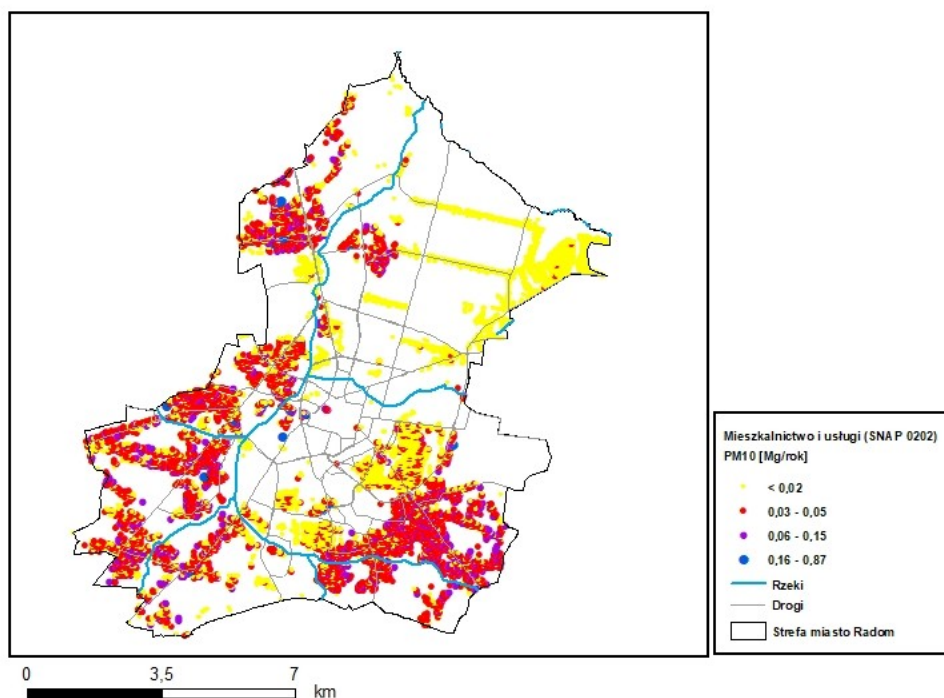
Rysunek 202 Rozmieszczenie oraz ładunki emisji pyłu zawieszonego PM10 z procesów spalania w sektorze produkcji i transformacji energii (SNAP 01) w strefie miasto Radom w 2021 roku



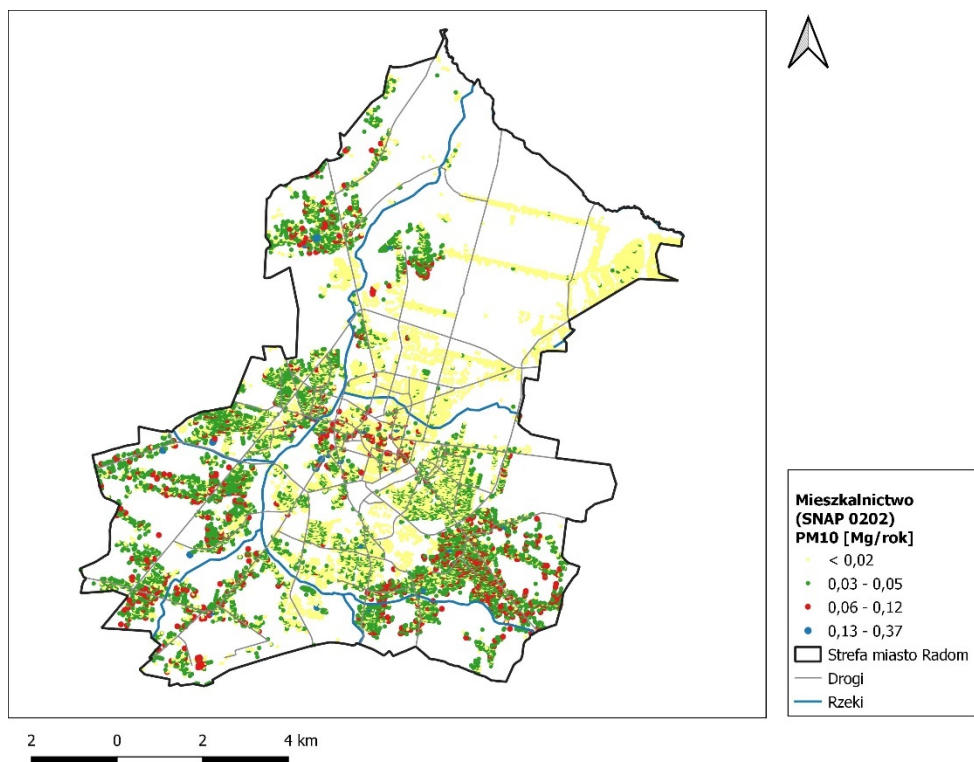
Rysunek 203 Rozmieszczenie oraz ładunki emisji pyłu zawieszonego PM10 z sektora komunalnego i mieszkaniowego (SNAP 02 z wyjątkiem 0202) w strefie miasto Radom w 2018 roku



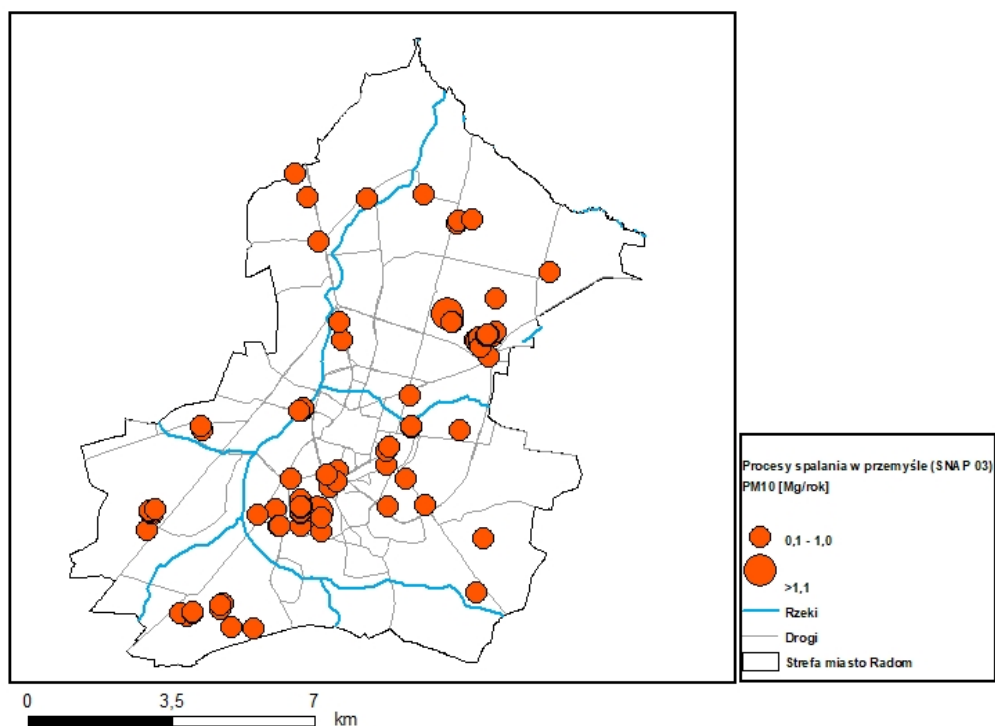
Rysunek 204 Rozmieszczenie oraz ładunki emisji pyłu zawieszonego PM10 z sektora usług oraz rolnictwie i leśnictwie (SNAP 02 z wyjątkiem 0202) w strefie miasto Radom w 2021 roku



Rysunek 205 Rozmieszczenie oraz ładunki emisji pyłu zawieszonego PM10 z mieszkalnictwa i usług (SNAP 0202) w strefie miasto Radom w 2018 roku



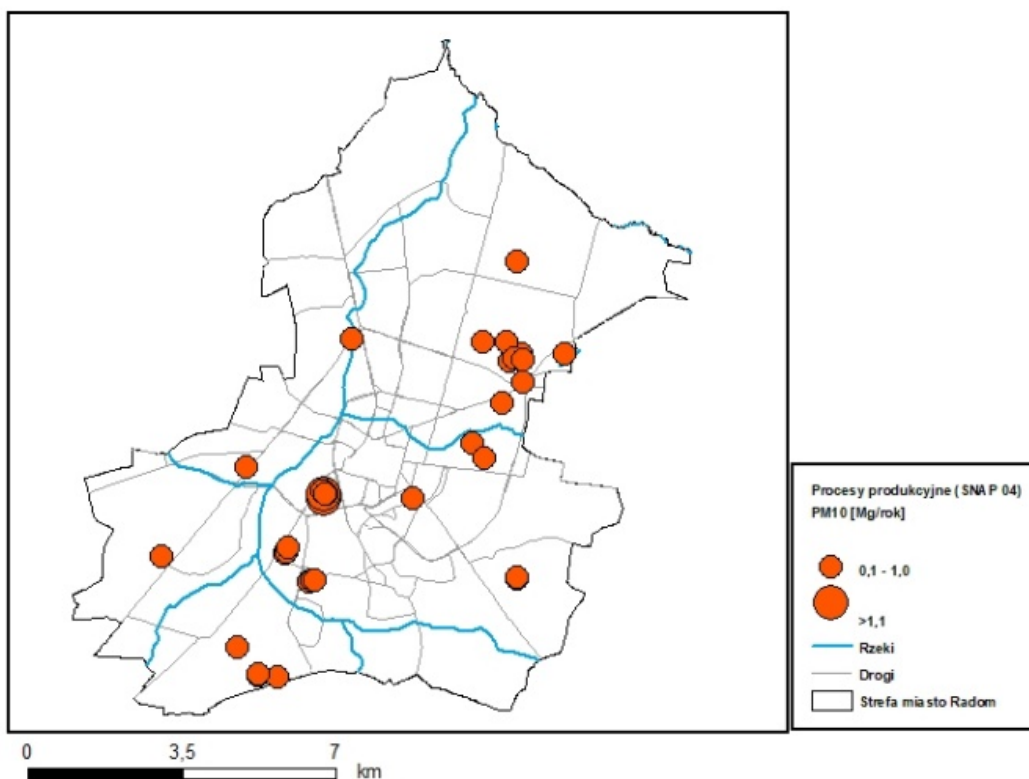
Rysunek 206 Rozmieszczenie oraz ładunki emisji pyłu zawieszonego PM10 z mieszkalnictwa (SNAP 0202) w strefie miasto Radom w 2021 roku



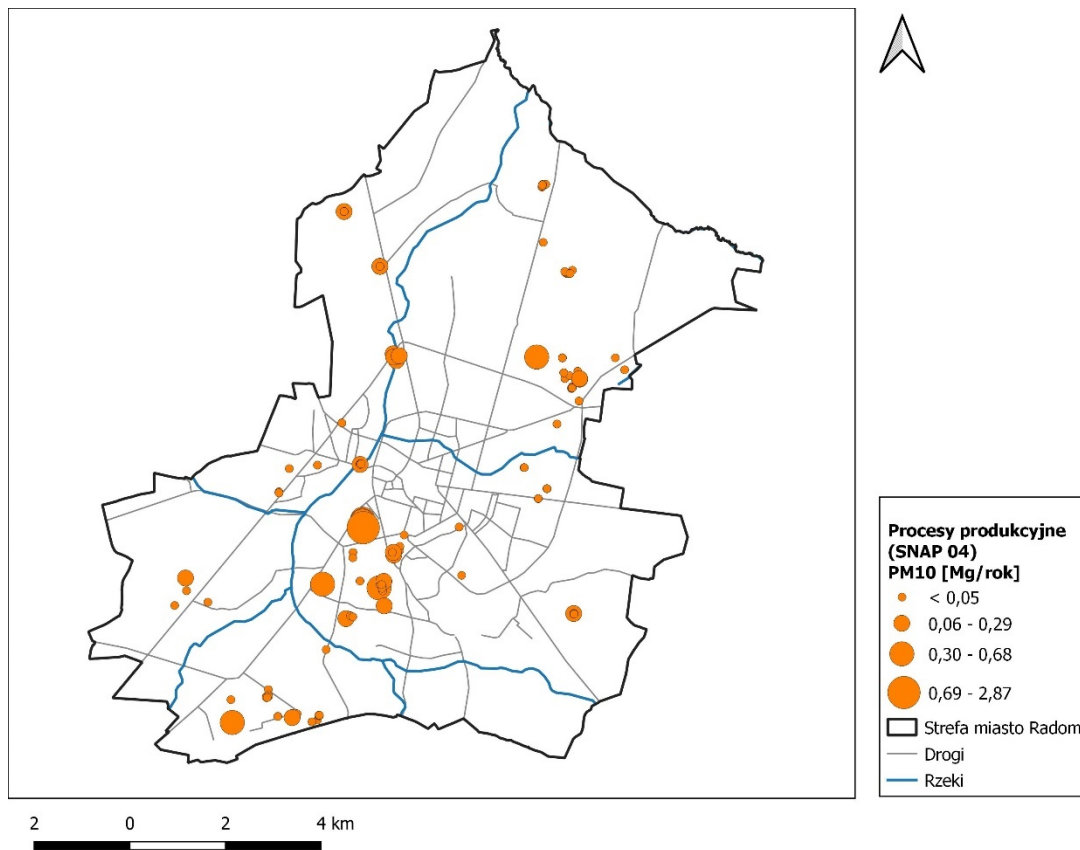
Rysunek 207 Rozmieszczenie oraz ładunki emisji pyłu zawieszonego PM10 z procesów spalania w przemyśle (SNAP 03) w strefie miasto Radom w 2018 roku



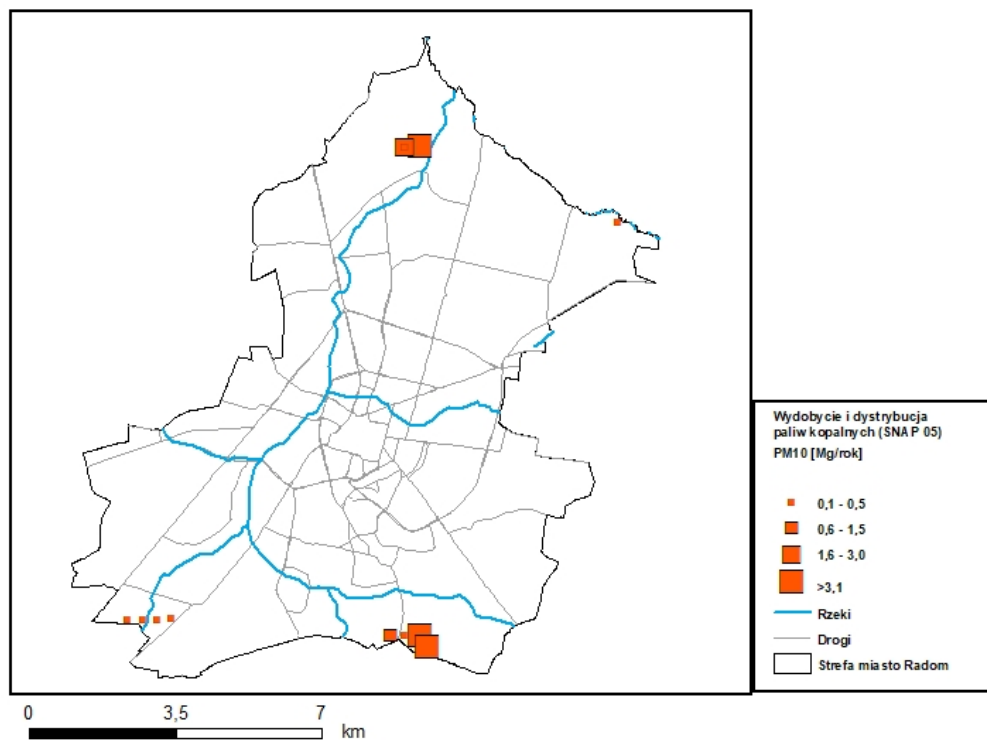
Rysunek 208 Rozmieszczenie oraz ładunki emisji pyłu zawieszonego PM10 z procesów spalania w przemyśle (SNAP 03) w strefie miasto Radom w 2021 roku



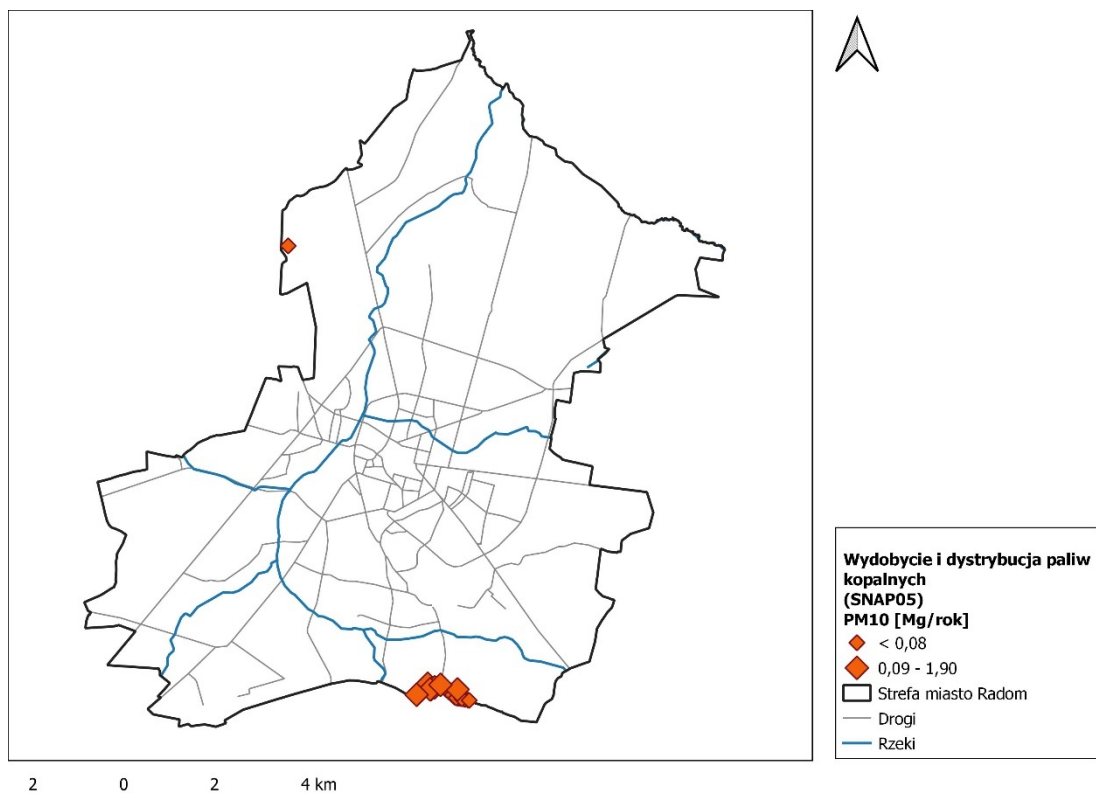
Rysunek 209 Rozmieszczenie oraz ładunki emisji pyłu zawieszonego PM10 z procesów produkcyjnych (SNAP 04) w strefie miasto Radom w 2018 roku



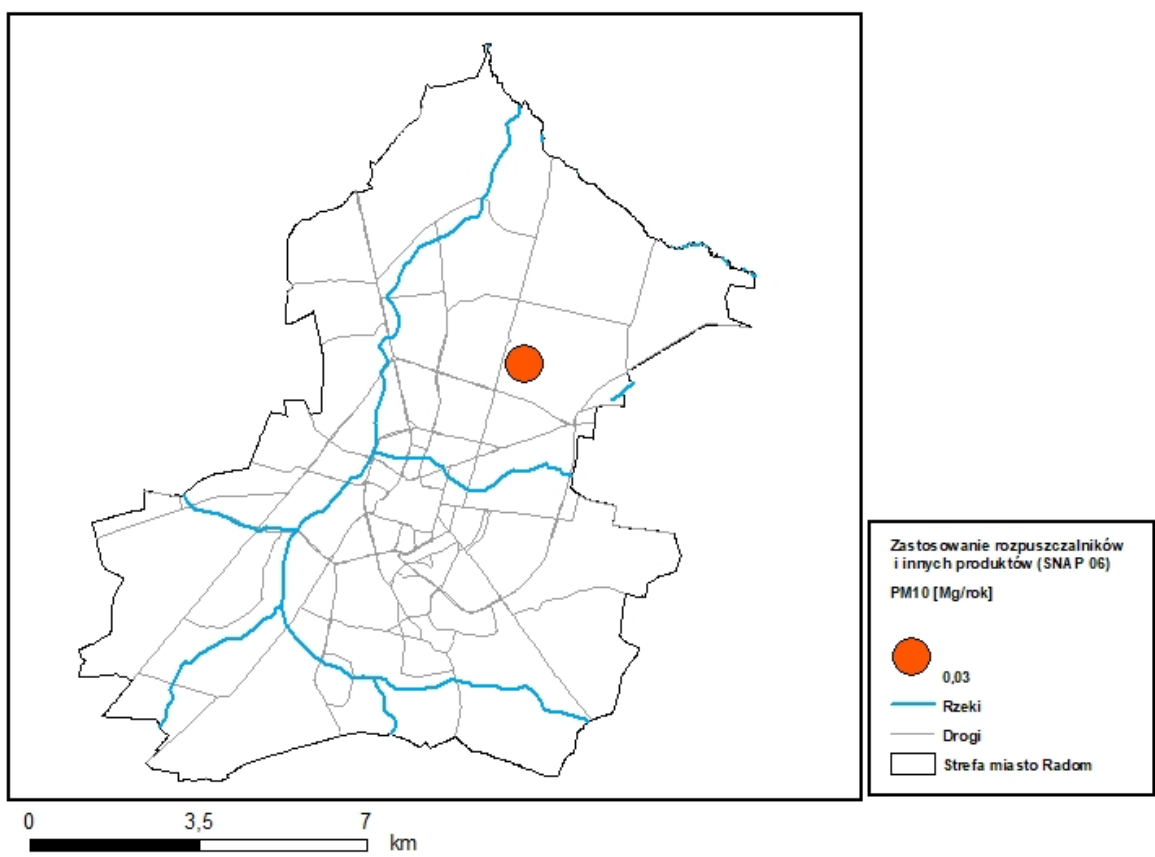
Rysunek 210 Rozmieszczenie oraz ładunki emisji pyłu zawieszonoego PM10 z procesów produkcyjnych (SNAP 04) w strefie miasto Radom w 2021 roku



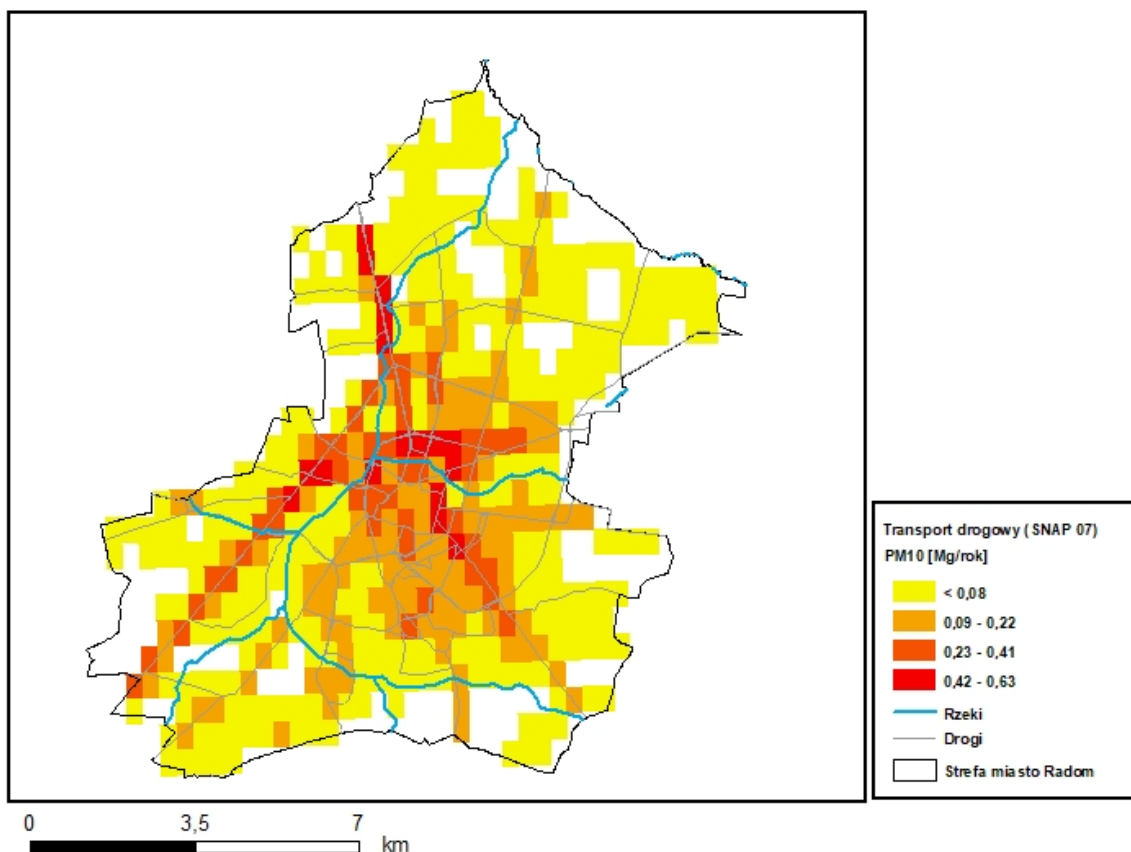
Rysunek 211 Rozmieszczenie oraz ładunki emisji pyłu zawieszonoego PM10 z wydobywania i dystrybucji paliw kopalnych (SNAP 05) w strefie miasto Radom w 2018 roku



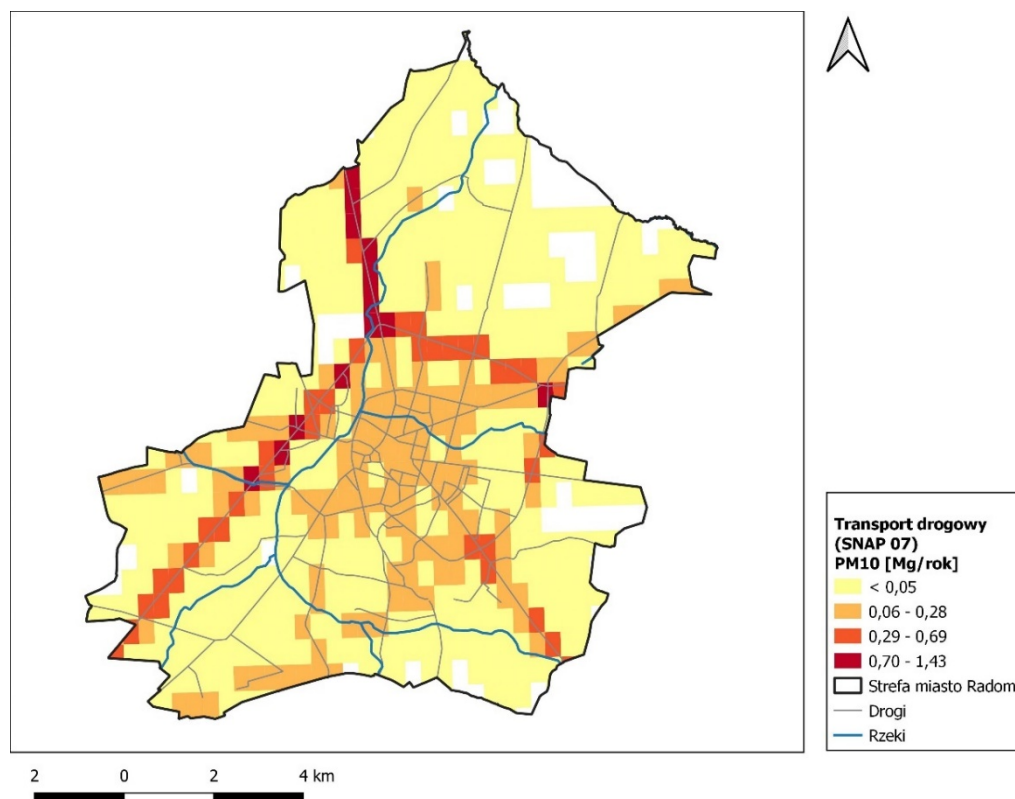
Rysunek 212 Rozmieszczenie oraz ładunki emisji pyłu zawieszonego PM10 z wydobycia i dystrybucji paliw kopalnych (SNAP 05) w strefie miasto Radom w 2021 roku



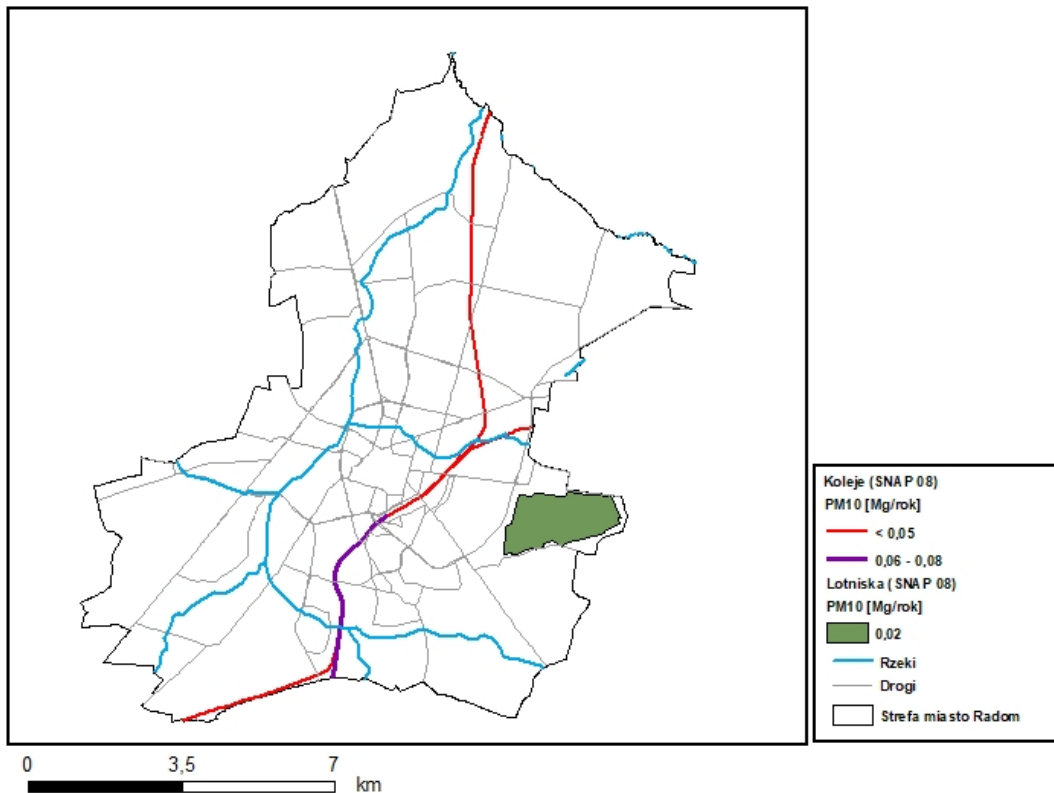
Rysunek 213 Rozmieszczenie oraz ładunki emisji pyłu zawieszonego PM10 z zastosowania rozpuszczalników i innych produktów (SNAP 06) w strefie miasto Radom w 2018 roku



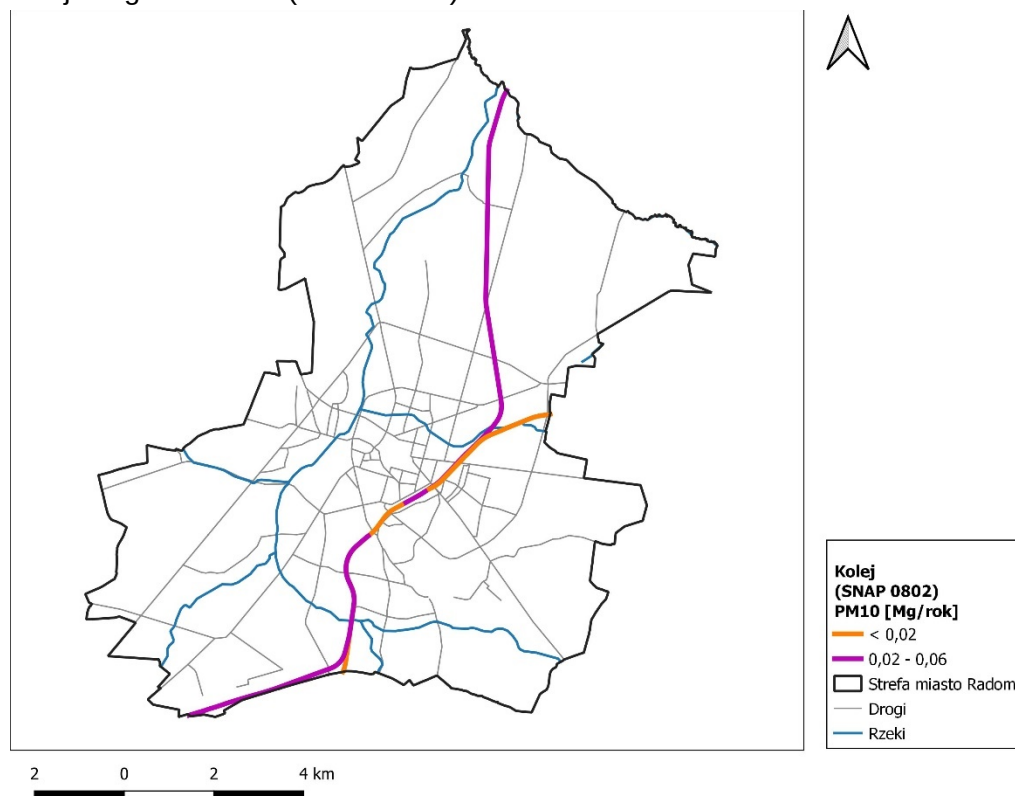
Rysunek 214 Rozmieszczenie oraz ładunki emisji pyłu zawieszonego PM10 z transportu drogowego (SNAP 07) w strefie miasto Radom w 2018 roku



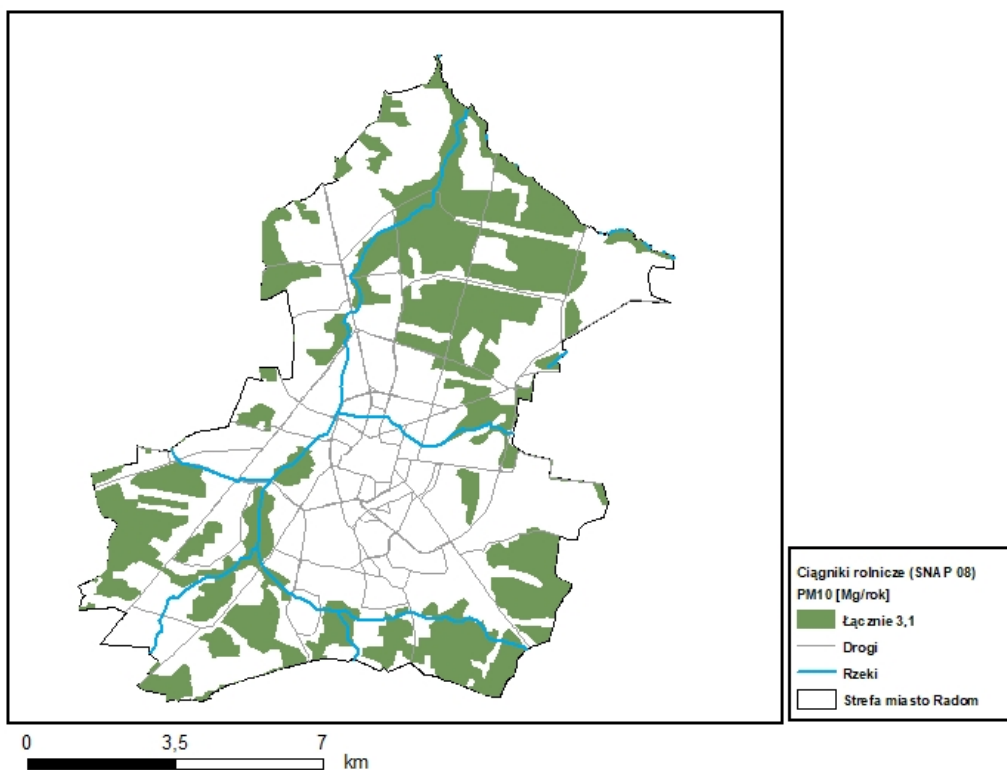
Rysunek 215 Rozmieszczenie oraz ładunki emisji pyłu zawieszonego PM10 z transportu drogowego (SNAP 07) w strefie miasto Radom w 2021 roku



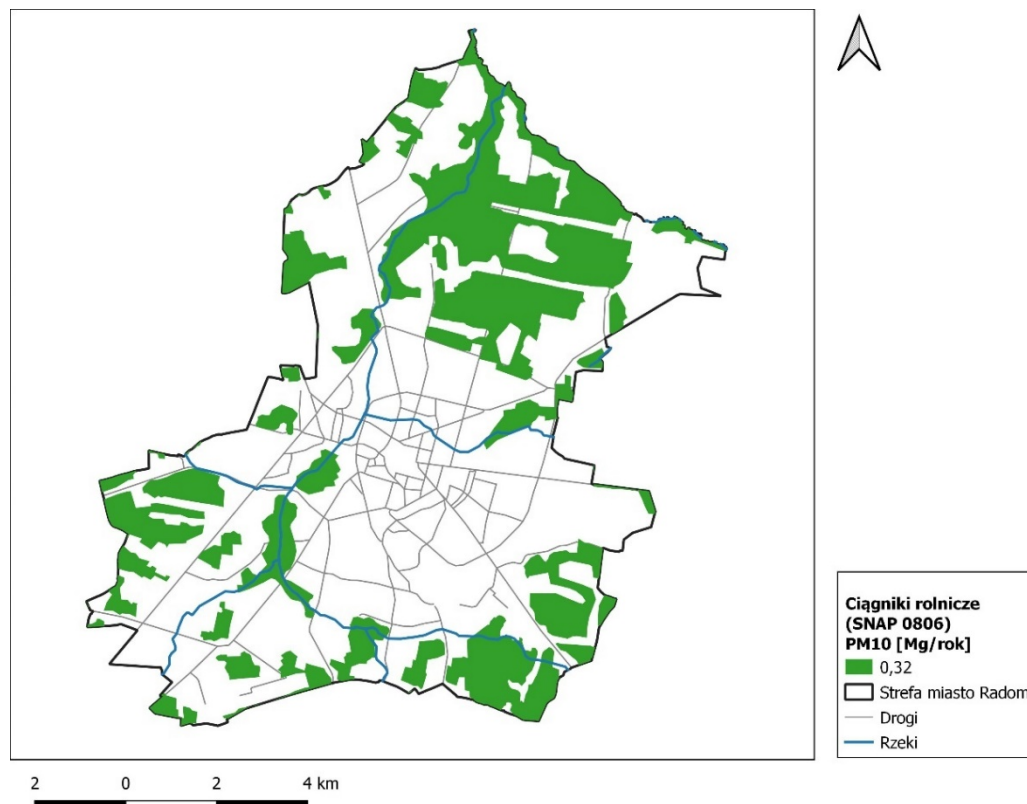
Rysunek 216 Rozmieszczenie oraz ładunki emisji pyłu zawieszonego PM10 z transportu kolejowego i lotniska (SNAP 0802) w strefie miasto Radom w 2018 roku



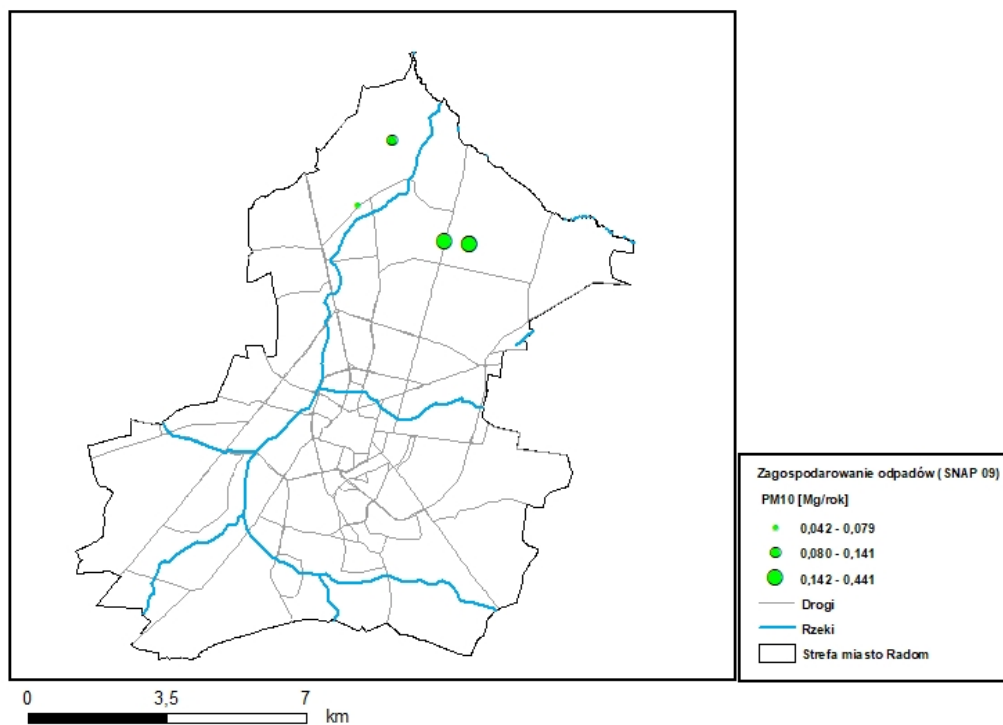
Rysunek 217 Rozmieszczenie oraz ładunki emisji pyłu zawieszonego PM10 z transportu kolejowego (SNAP 0802) w strefie miasto Radom w 2021 roku



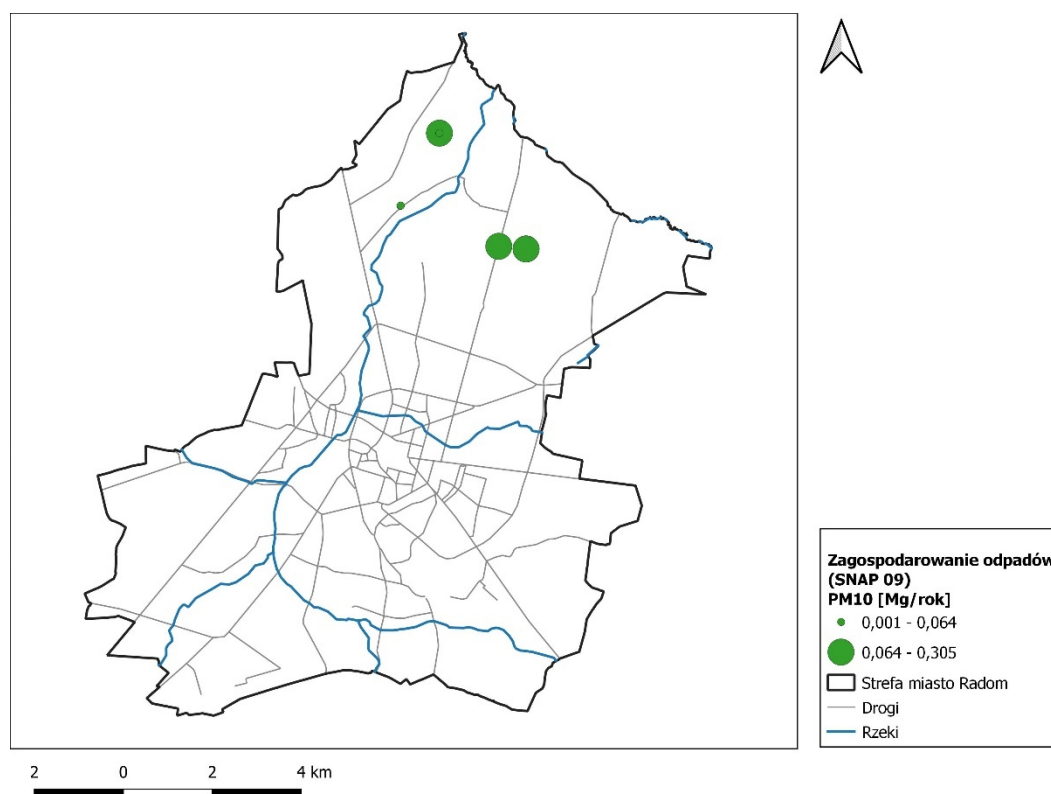
Rysunek 218 Rozmieszczenie oraz ładunki emisji pyłu zawieszonego PM10 z ciągników rolniczych (SNAP 0806) w strefie miasto Radom w 2018 roku



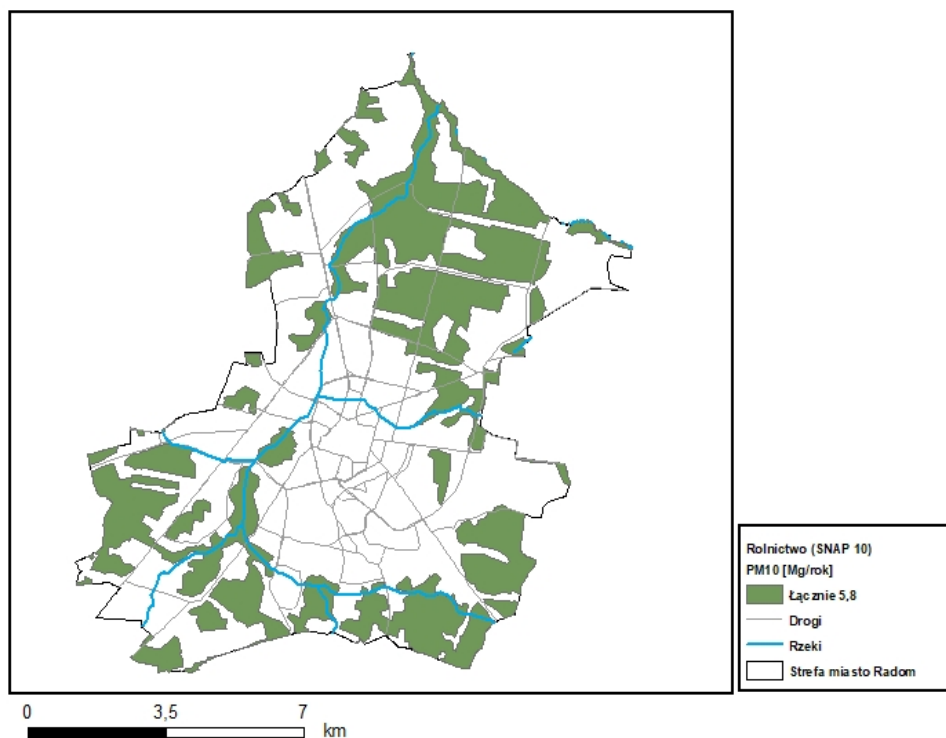
Rysunek 219 Rozmieszczenie oraz ładunki emisji pyłu zawieszonego PM10 z ciągników rolniczych (SNAP 0806) w strefie miasto Radom w 2021 roku



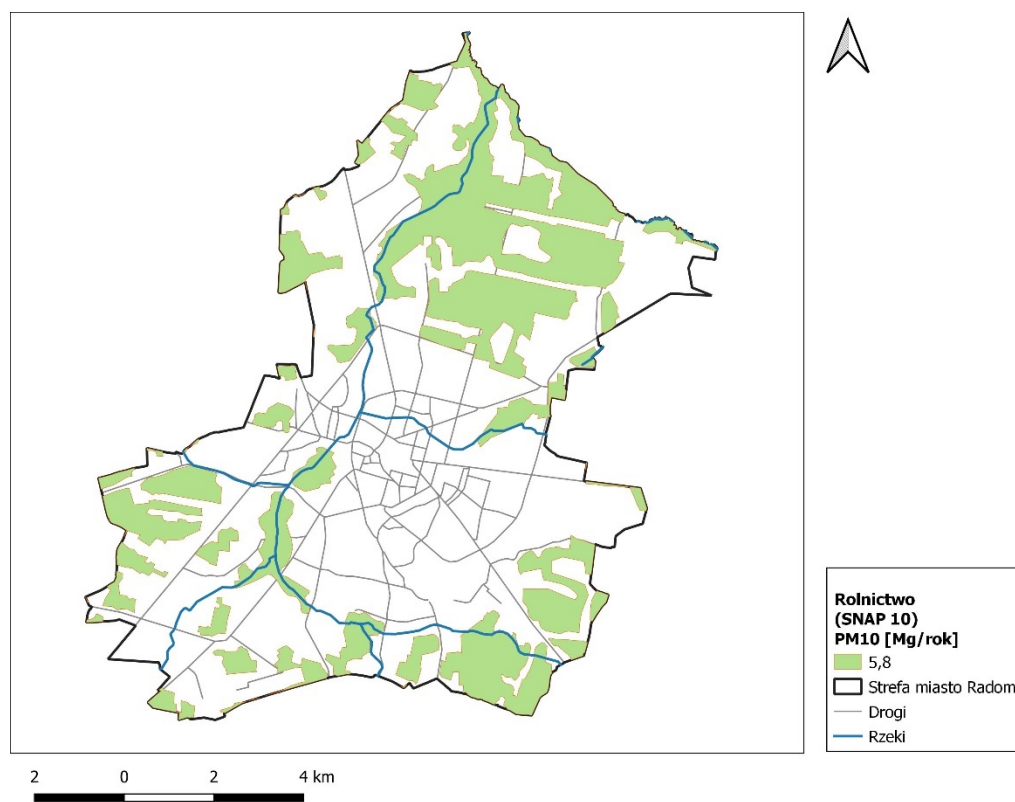
Rysunek 220 Rozmieszczenie oraz ładunki emisji pyłu zawieszonego PM10 z zagospodarowania odpadów (SNAP 09) w strefie miasto Radom w 2018 roku



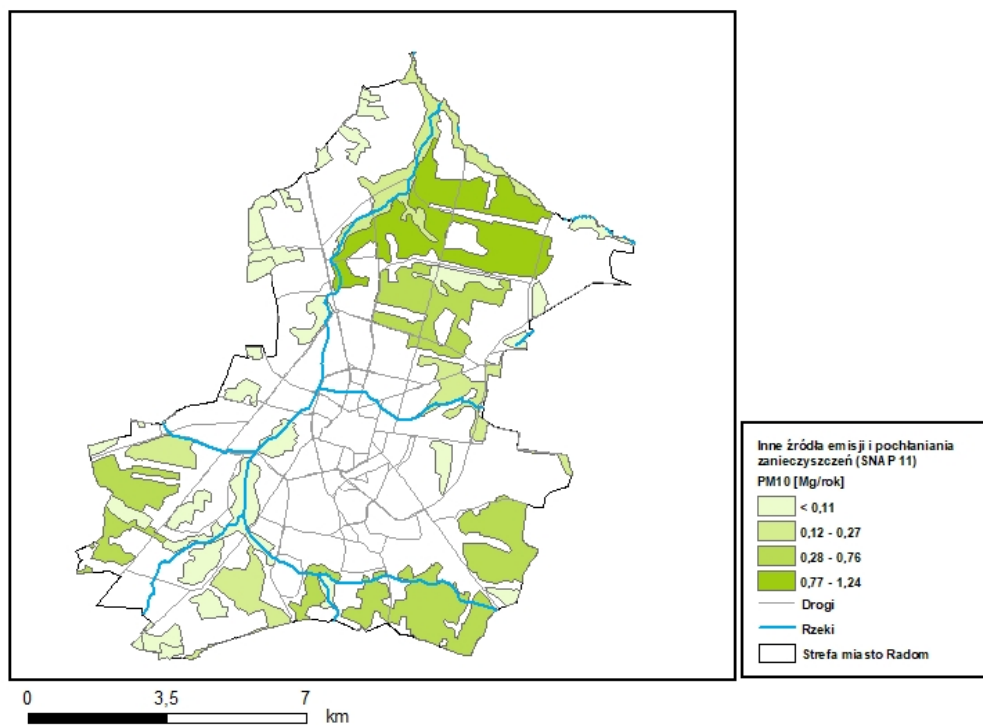
Rysunek 221 Rozmieszczenie oraz ładunki emisji pyłu zawieszonego PM10 z zagospodarowania odpadów (SNAP 09) w strefie miasto Radom w 2021 roku



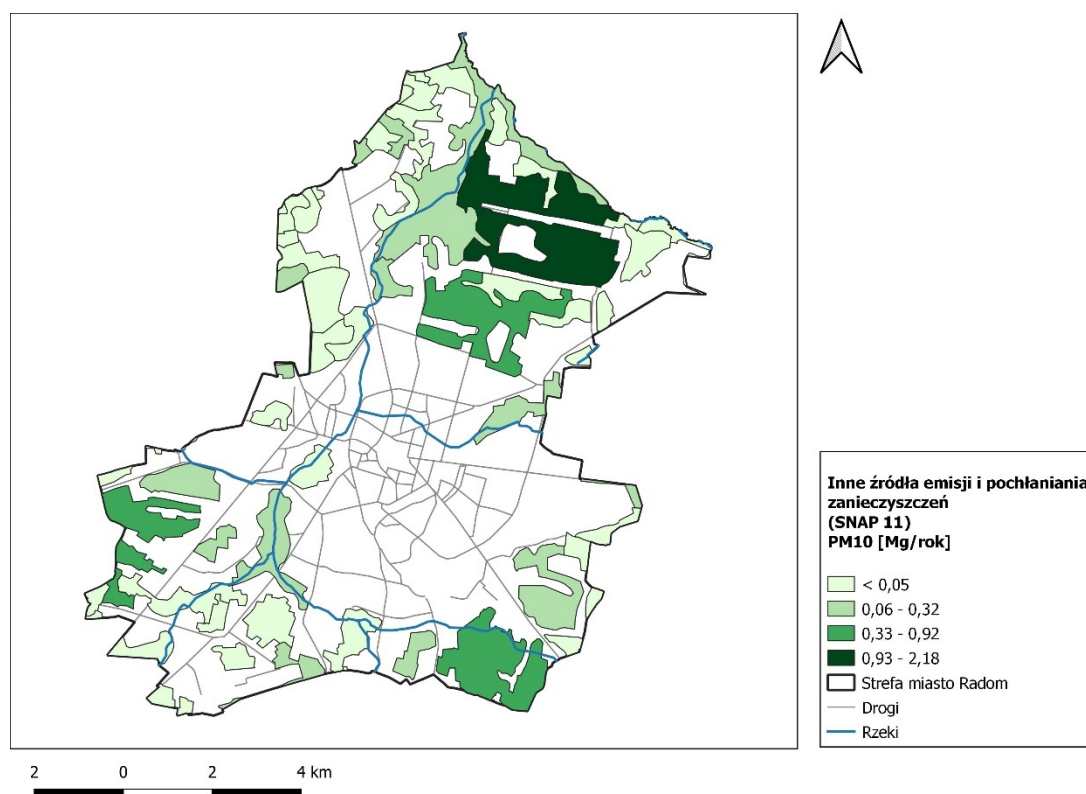
Rysunek 222 Rozmieszczenie oraz ładunki emisji pyłu zawieszonego PM10 z rolnictwa (SNAP 10) w strefie miasto Radom w 2018 roku



Rysunek 223 Rozmieszczenie oraz ładunki emisji pyłu zawieszonego PM10 z rolnictwa (SNAP 10) w strefie miasto Radom w 2021 roku

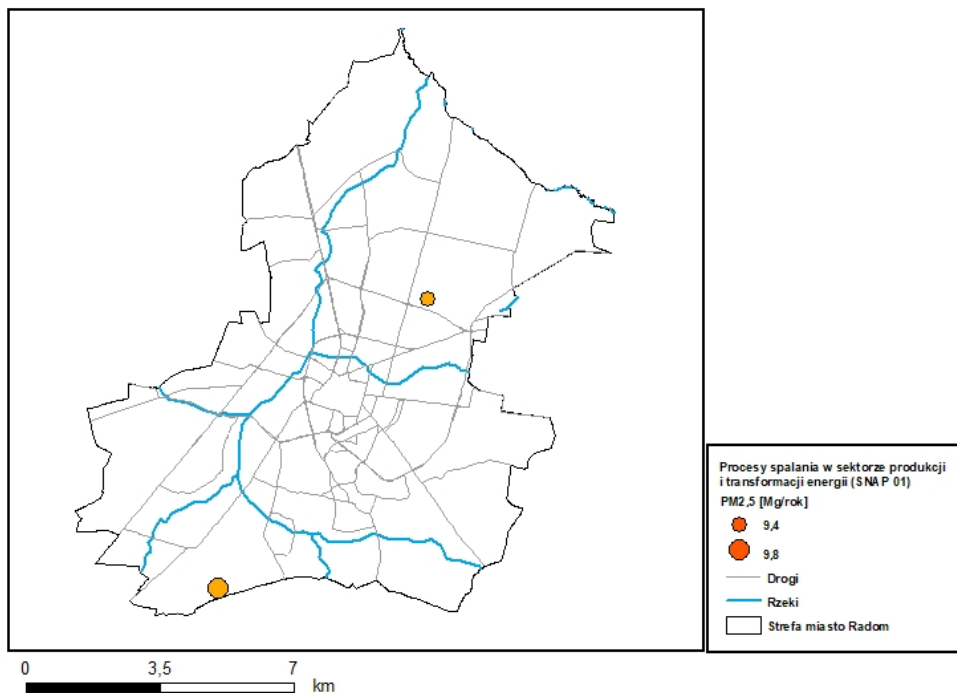


Rysunek 224 Rozmieszczenie oraz ładunki emisji pyłu zawieszonego PM10 z innych źródeł emisji i pochłaniania zanieczyszczeń (SNAP 11) w strefie miasto Radom w 2018 roku

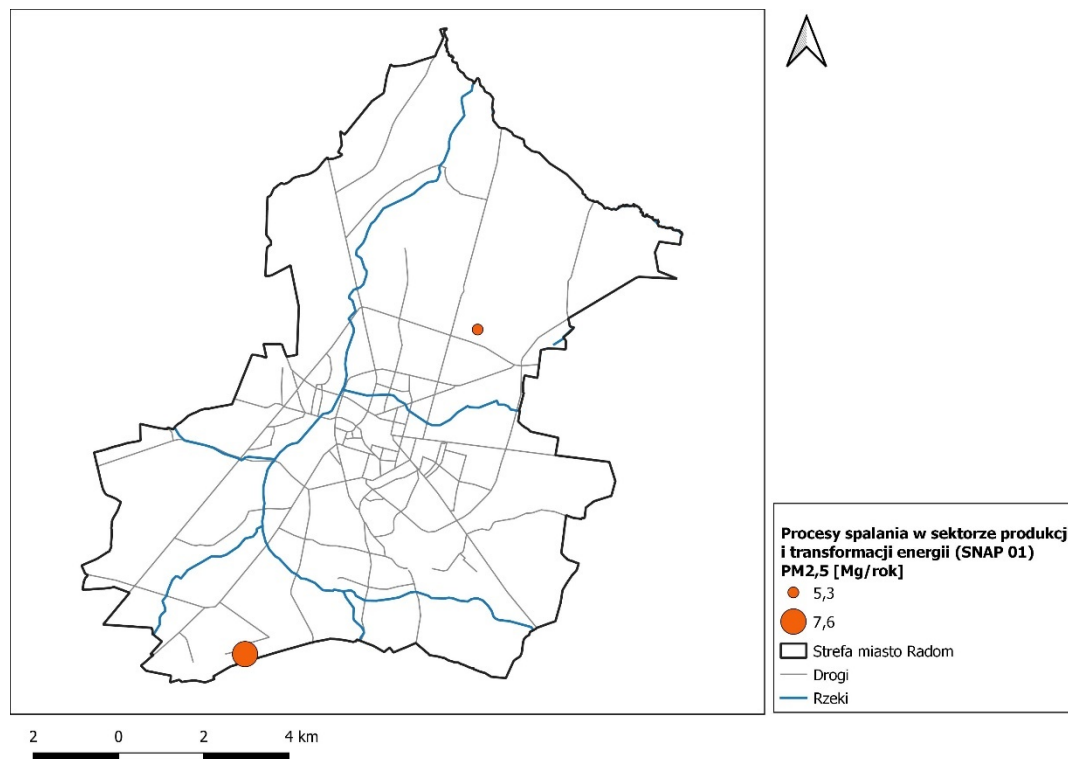


Rysunek 225 Rozmieszczenie oraz ładunki emisji pyłu zawieszonego PM10 z innych źródeł emisji i pochłaniania zanieczyszczeń (SNAP 11) w strefie miasto Radom w 2021 roku

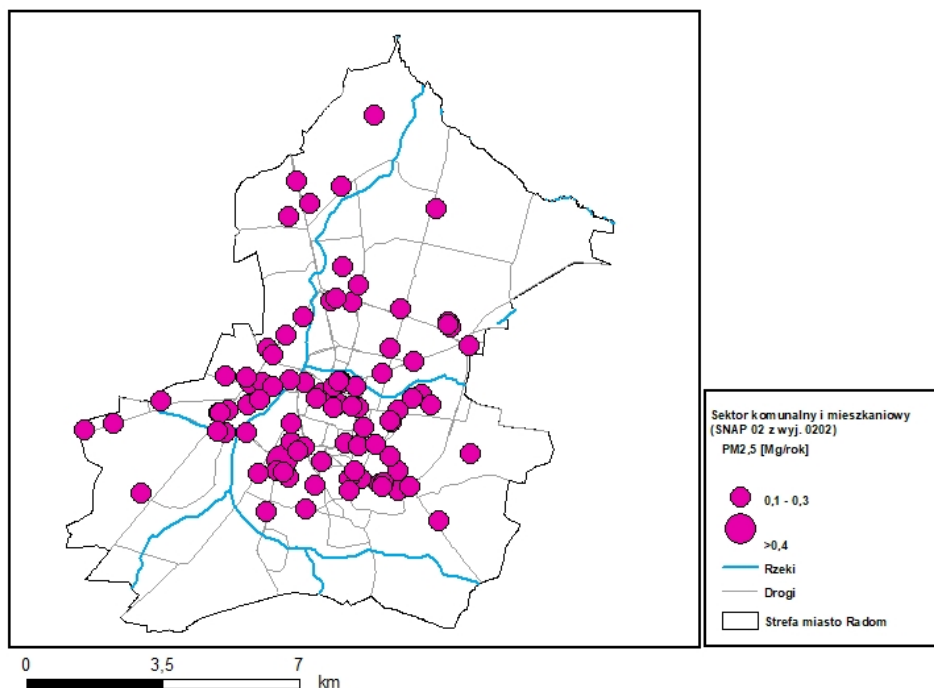
Emisja pyłu zawieszonego PM2,5



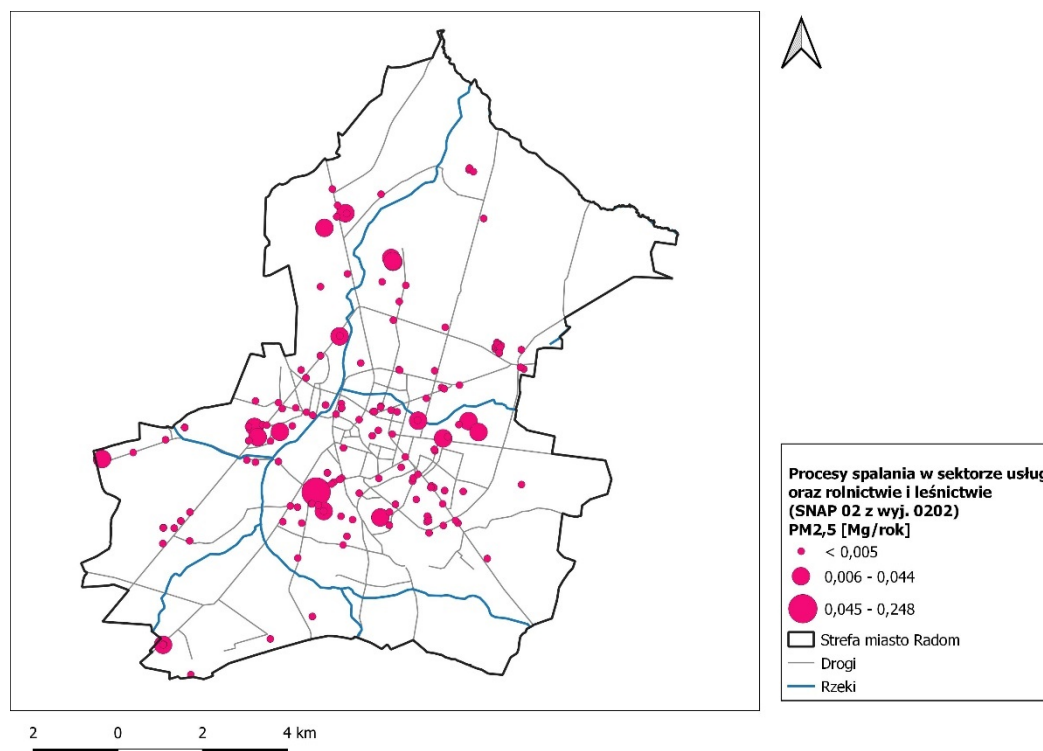
Rysunek 226 Rozmieszczenie oraz ładunki emisji pyłu zawieszonego PM2,5 z procesów spalania w sektorze produkcji i transformacji energii (SNAP 01) w strefie miasto Radom w 2018 roku



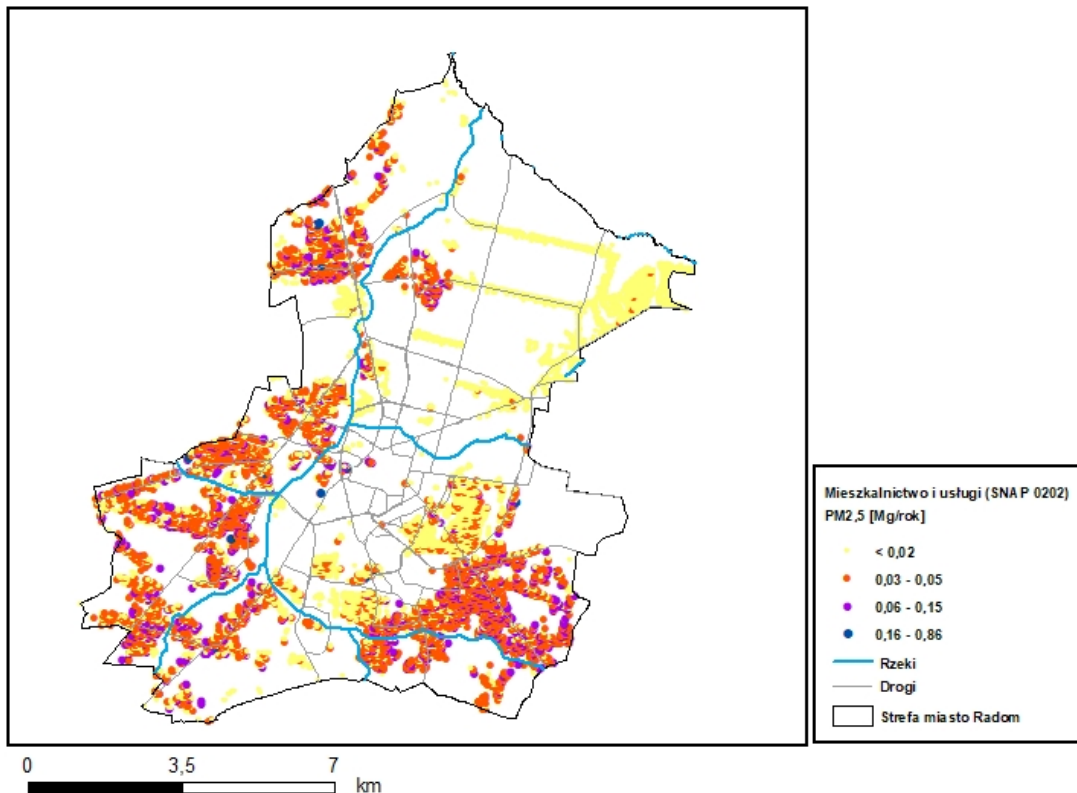
Rysunek 227 Rozmieszczenie oraz ładunki emisji pyłu zawieszonego PM2,5 z procesów spalania w sektorze produkcji i transformacji energii (SNAP 01) w strefie miasto Radom w 2021 roku



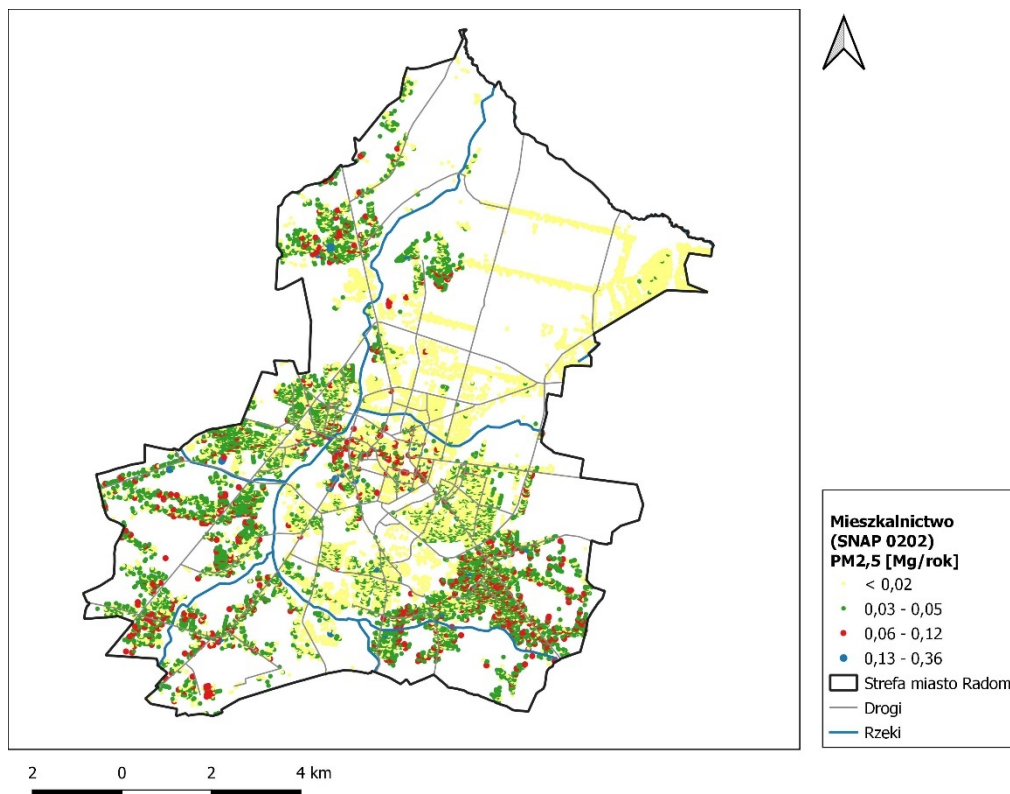
Rysunek 228 Rozmieszczenie oraz ładunki emisji pyłu zawieszonego PM2,5 z sektora komunalnego i mieszkaniowego (SNAP 02 z wyjątkiem 0202) w strefie miasto Radom w 2018 roku



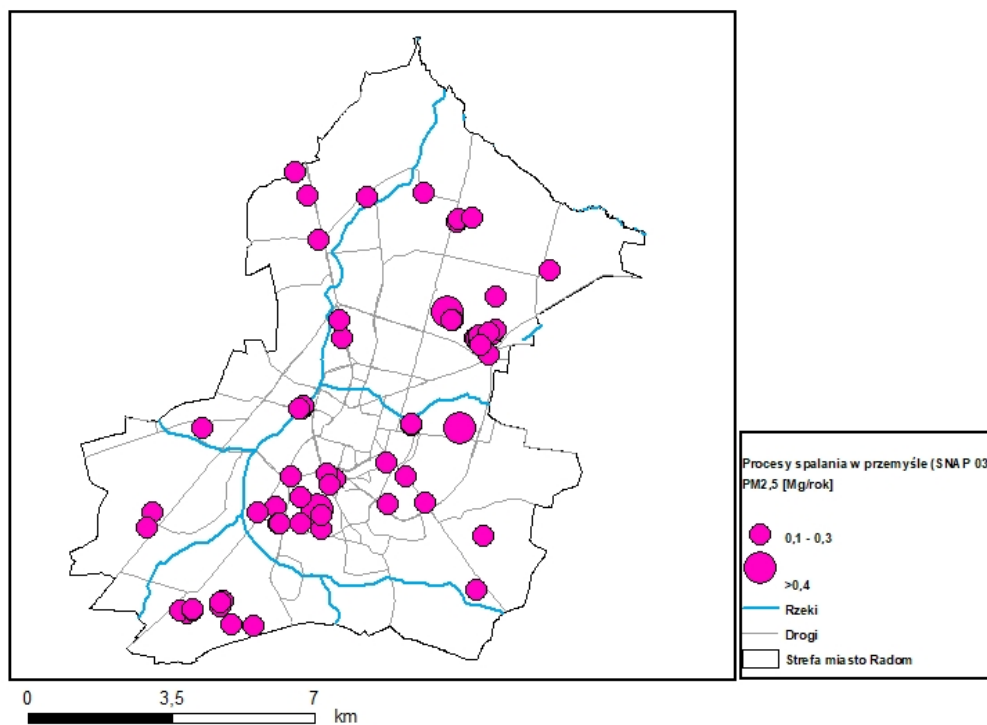
Rysunek 229 Rozmieszczenie oraz ładunki emisji pyłu zawieszonego PM2,5 z sektora usług oraz rolnictwie i leśnictwie (SNAP 02 z wyjątkiem 0202) w strefie miasto Radom w 2021 roku



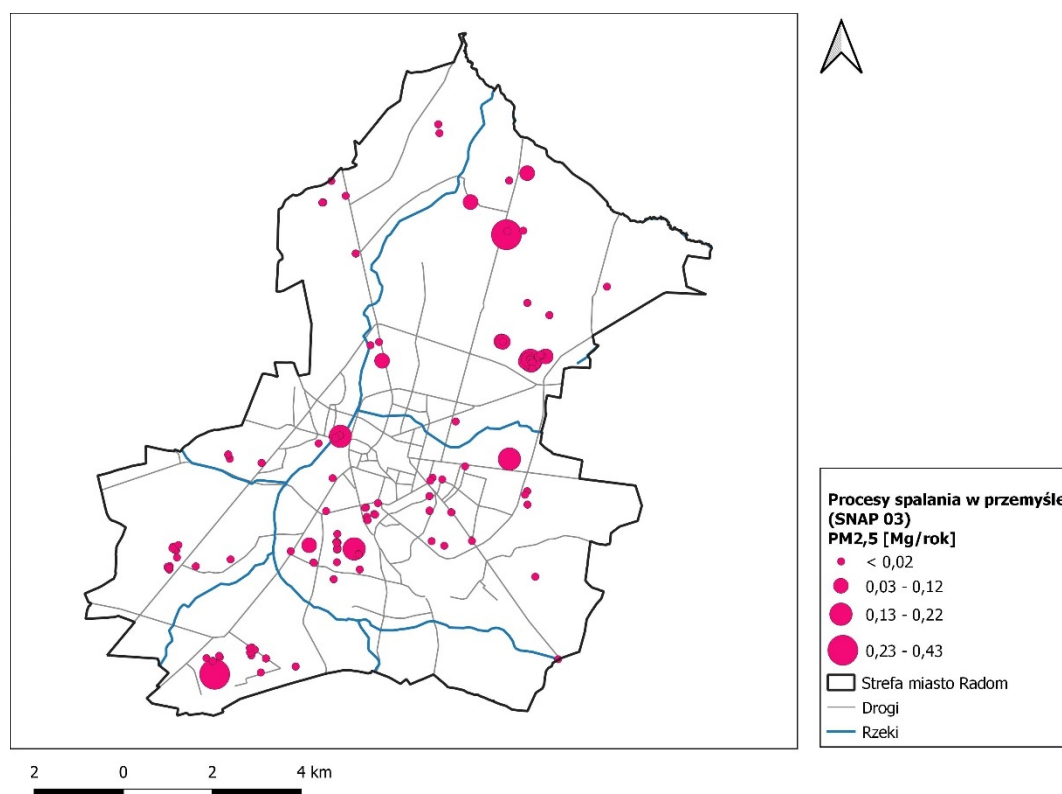
Rysunek 230 Rozmieszczenie oraz ładunki emisji pyłu zawieszonego PM2,5 z mieszkalnictwa i usług (SNAP 0202) w strefie miasto Radom w 2018 roku



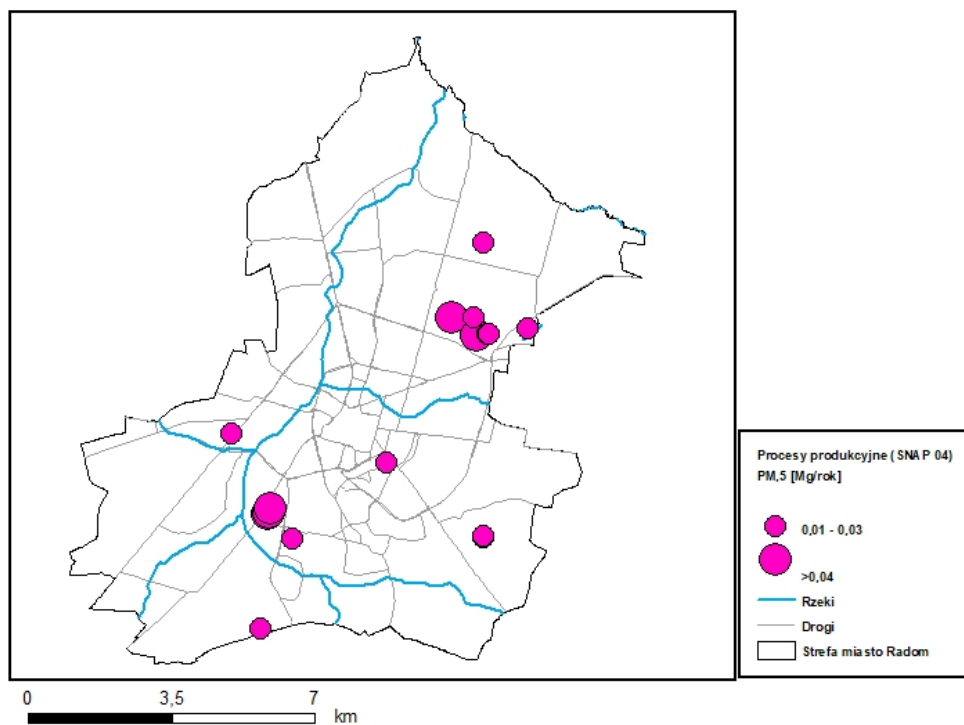
Rysunek 231 Rozmieszczenie oraz ładunki emisji pyłu zawieszonego PM2,5 z mieszkalnictwa (SNAP 0202) w strefie miasto Radom w 2021 roku



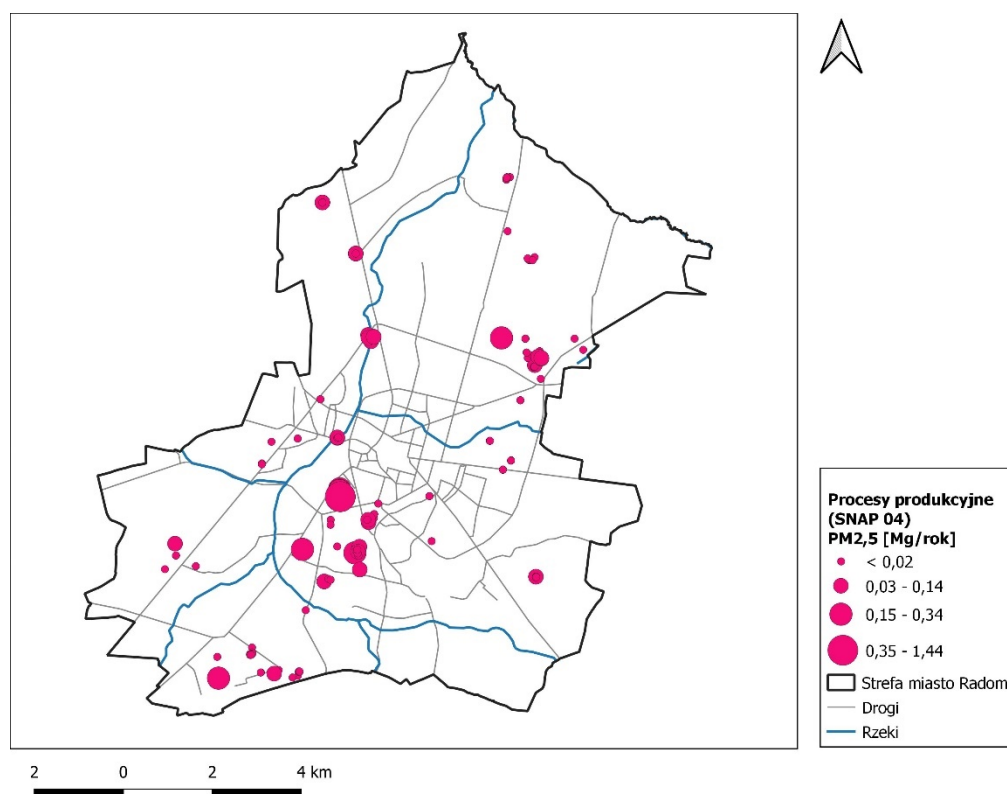
Rysunek 232 Rozmieszczenie oraz ładunki emisji pyłu zawieszonego PM2,5 z procesów spalania w przemyśle (SNAP 03) w strefie miasto Radom w 2018 roku



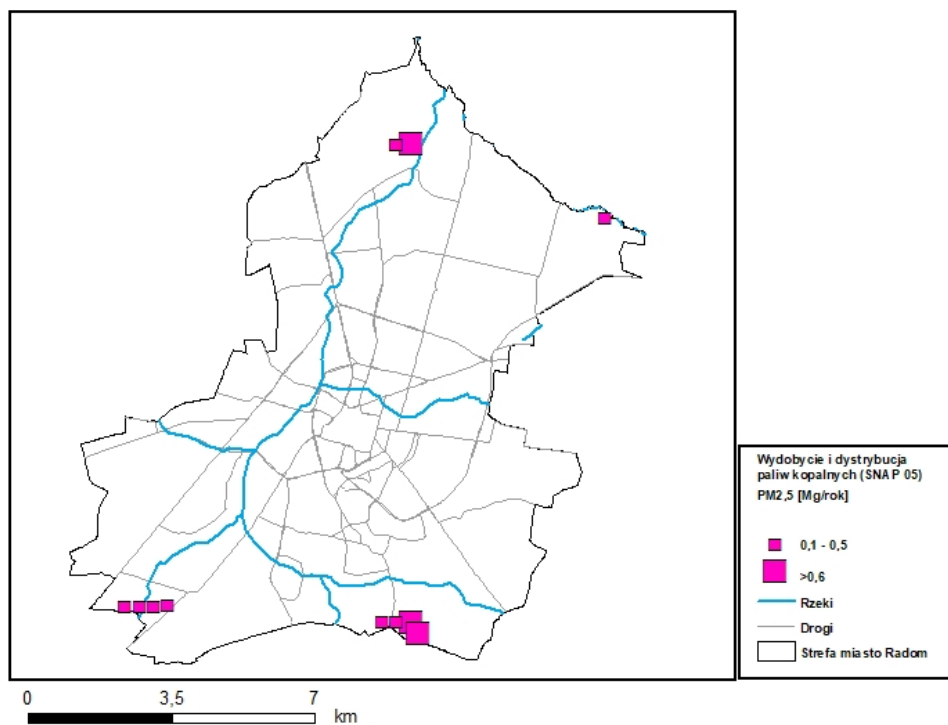
Rysunek 233 Rozmieszczenie oraz ładunki emisji pyłu zawieszonego PM2,5 z procesów spalania w przemyśle (SNAP 03) w strefie miasto Radom w 2021 roku



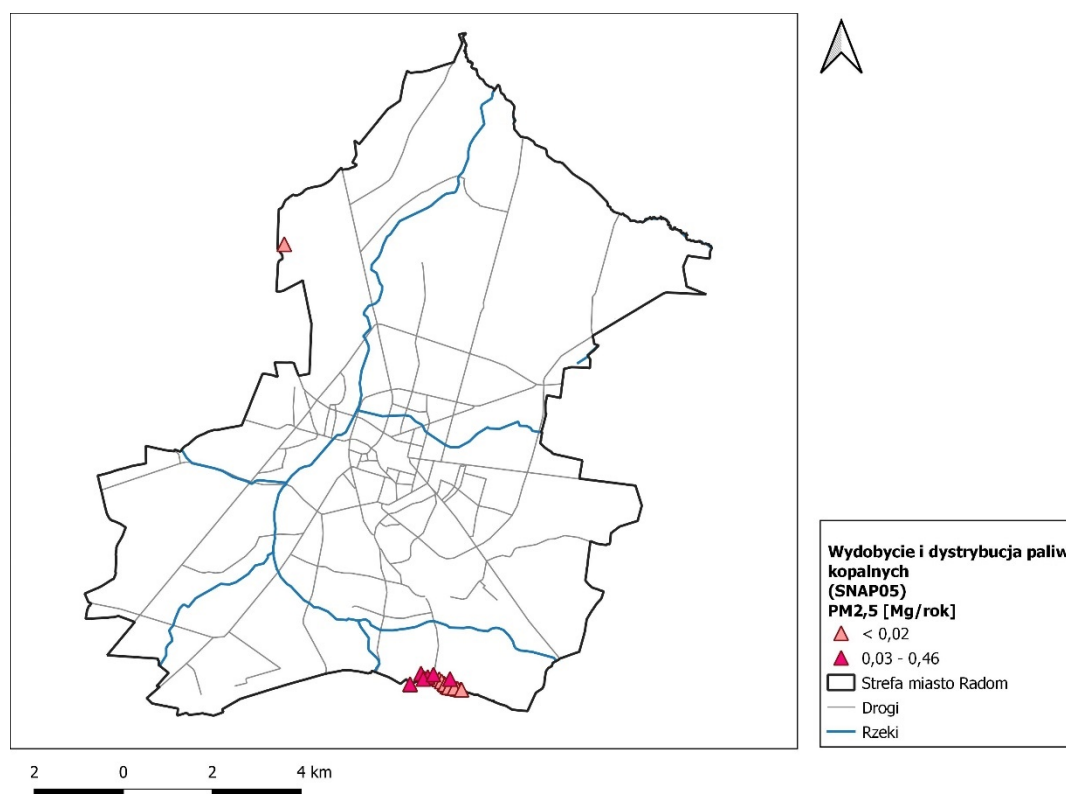
Rysunek 234 Rozmieszczenie oraz ładunki emisji pyłu zawieszonego PM_{2,5} z procesów produkcyjnych (SNAP 04) w strefie miasto Radom w 2018 roku



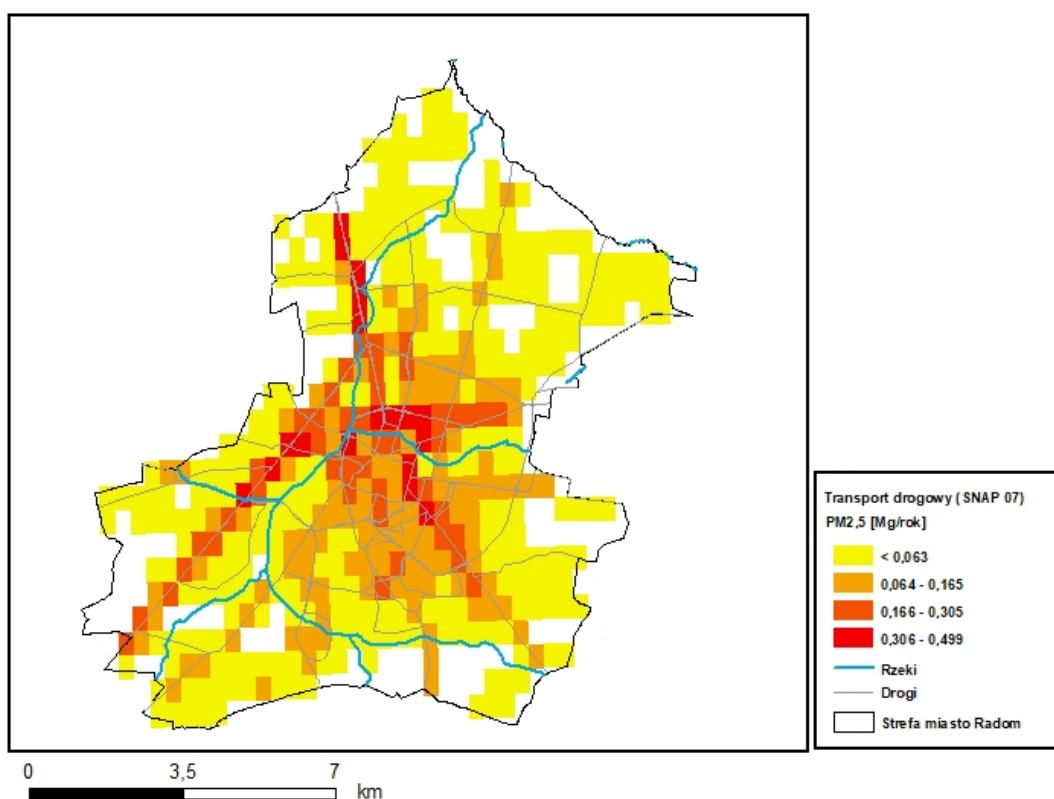
Rysunek 235 Rozmieszczenie oraz ładunki emisji pyłu zawieszonego PM_{2,5} z procesów produkcyjnych (SNAP 04) w strefie miasto Radom w 2021 roku



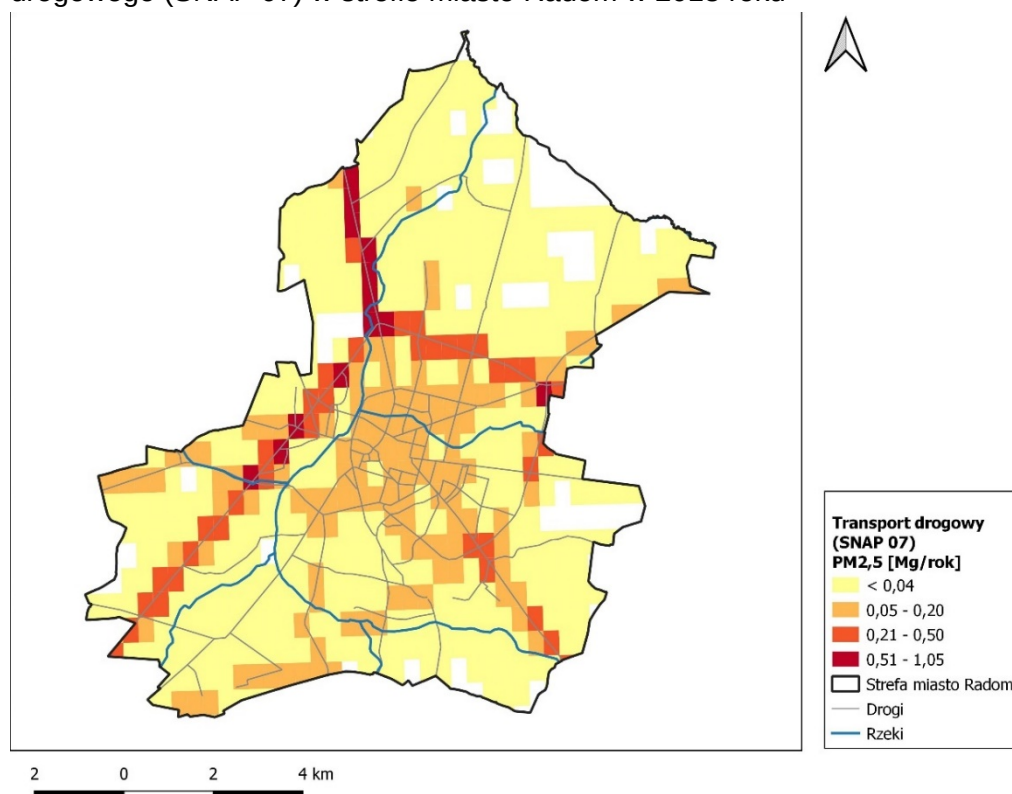
Rysunek 236 Rozmieszczenie oraz ładunki emisji pyłu zawieszonego PM2,5 z wydobycia i dystrybucji paliw kopalnych (SNAP 05) w strefie miasto Radom w 2018 roku



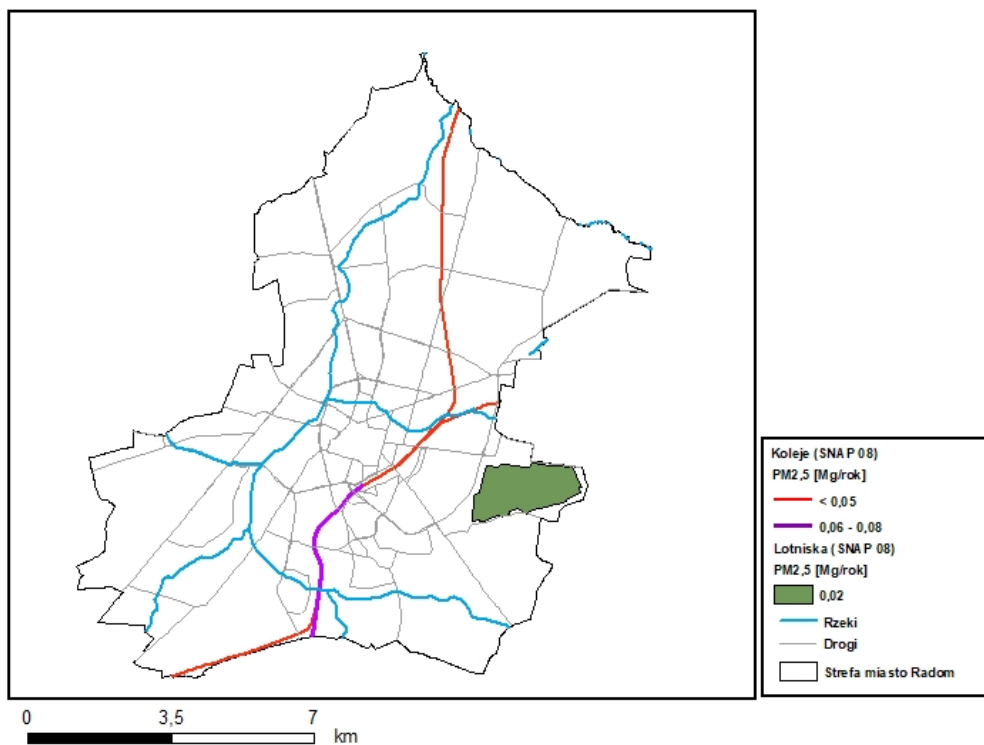
Rysunek 237 Rozmieszczenie oraz ładunki emisji pyłu zawieszonego PM2,5 z wydobycia i dystrybucji paliw kopalnych (SNAP 05) w strefie miasto Radom w 2021 roku



Rysunek 238 Rozmieszczenie oraz ładunki emisji pyłu zawieszonego PM2,5 z transportu drogowego (SNAP 07) w strefie miasto Radom w 2018 roku

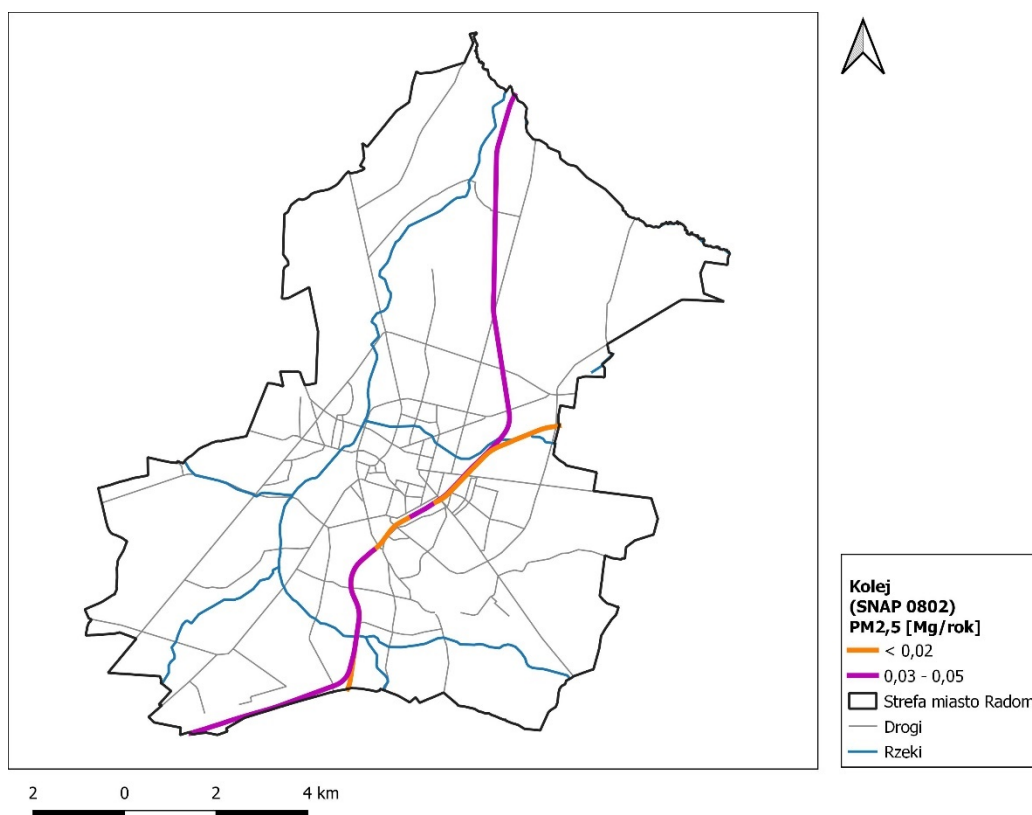


Rysunek 239 Rozmieszczenie oraz ładunki emisji pyłu zawieszonego PM2,5 z transportu drogowego (SNAP 07) w strefie miasto Radom w 2021 roku

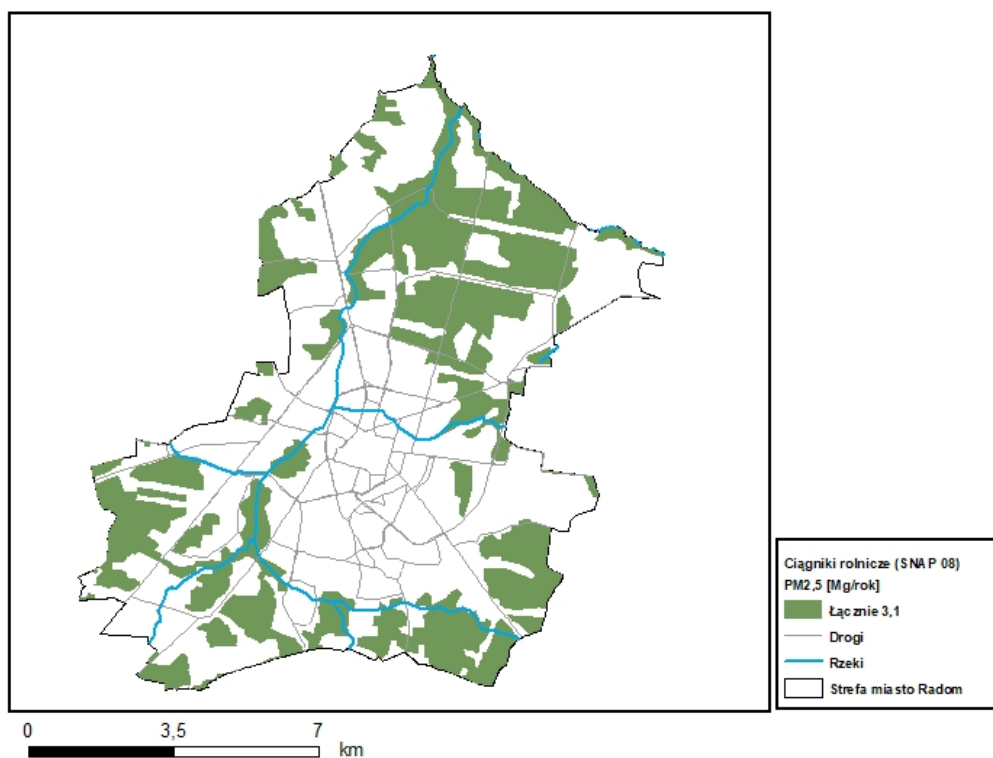


Rysu

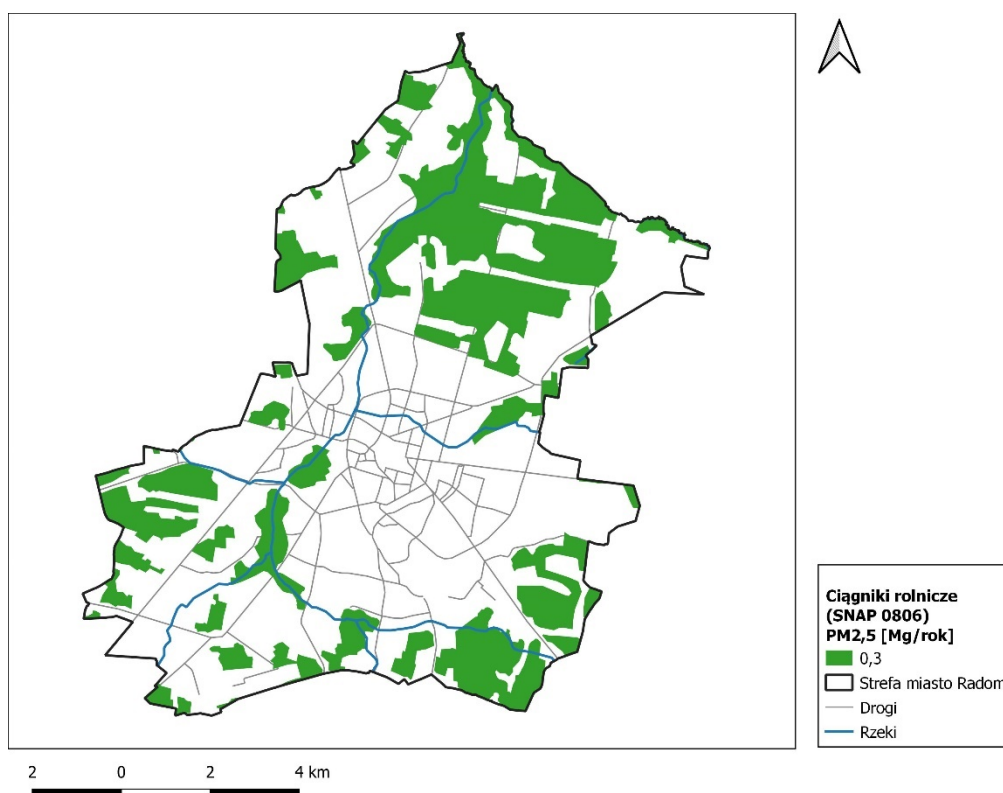
nek 240 Rozmieszczenie oraz ładunki emisji pyłu zawieszonego PM_{2,5} z transportu kolejowego i lotniska (SNAP 0802 i 0805) w strefie miasto Radom w 2018 roku



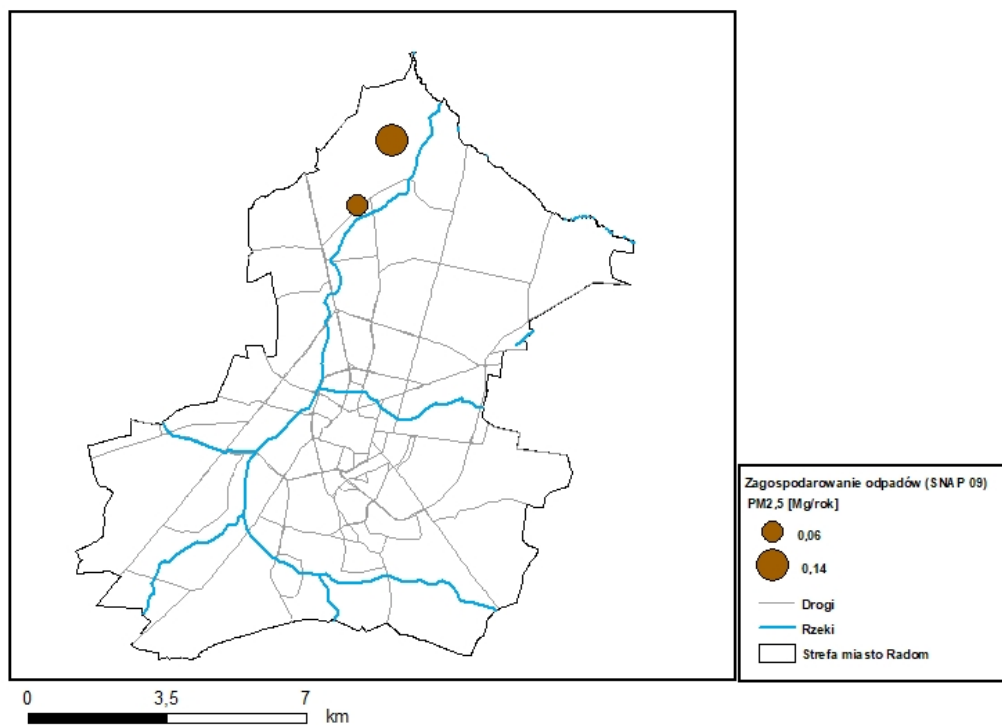
Rysunek 241 Rozmieszczenie oraz ładunki emisji pyłu zawieszonego PM_{2,5} z transportu kolejowego (SNAP 0802) w strefie miasto Radom w 2021 roku



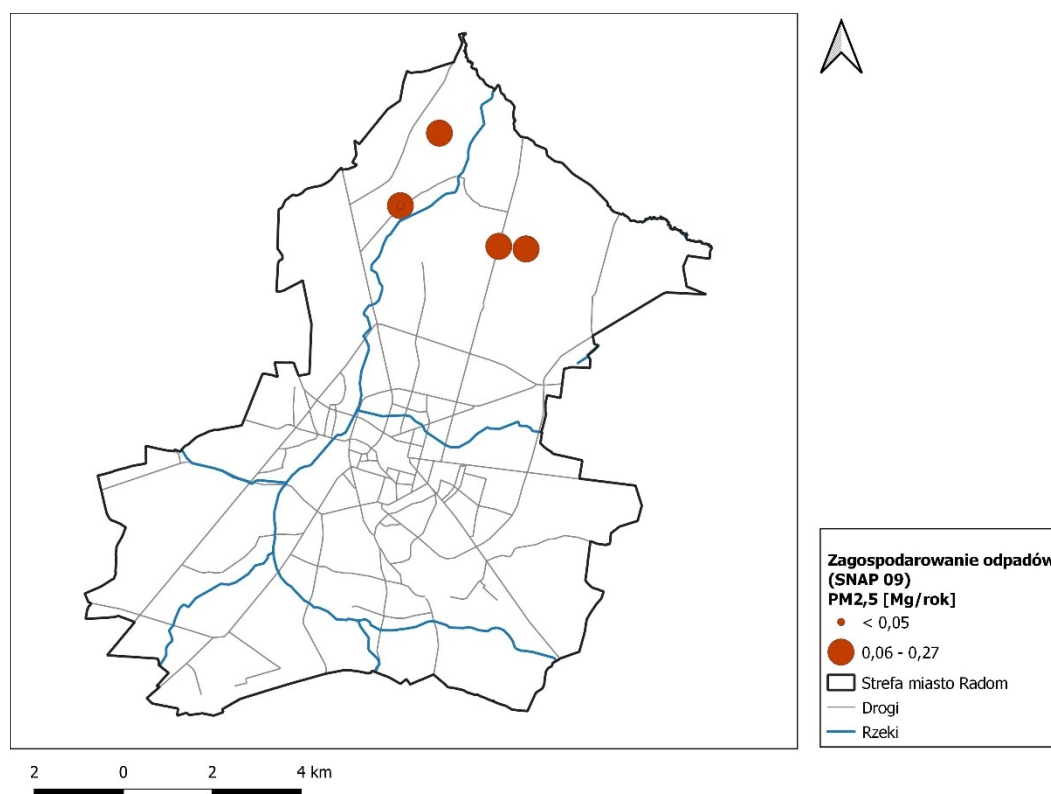
Rysunek 242 Rozmieszczenie oraz ładunki emisji pyłu zawieszonego PM2,5 z ciągników rolniczych (SNAP 0806) w strefie miasto Radom w 2018 roku



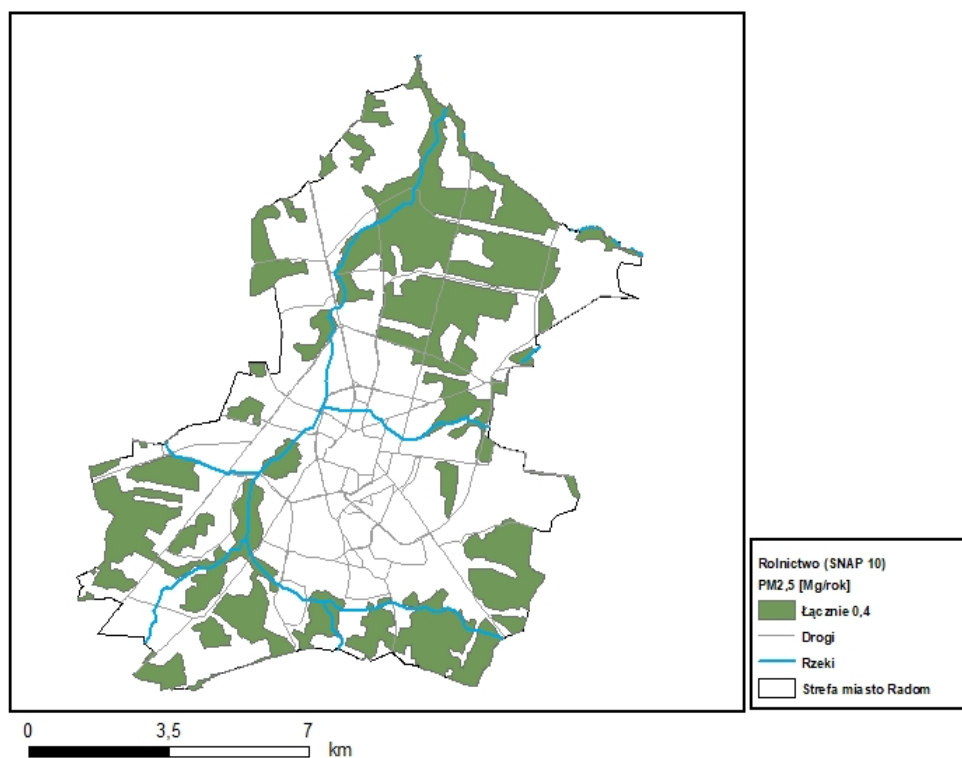
Rysunek 243 Rozmieszczenie oraz ładunki emisji pyłu zawieszonego PM2,5 z ciągników rolniczych (SNAP 0806) w strefie miasto Radom w 2021 roku



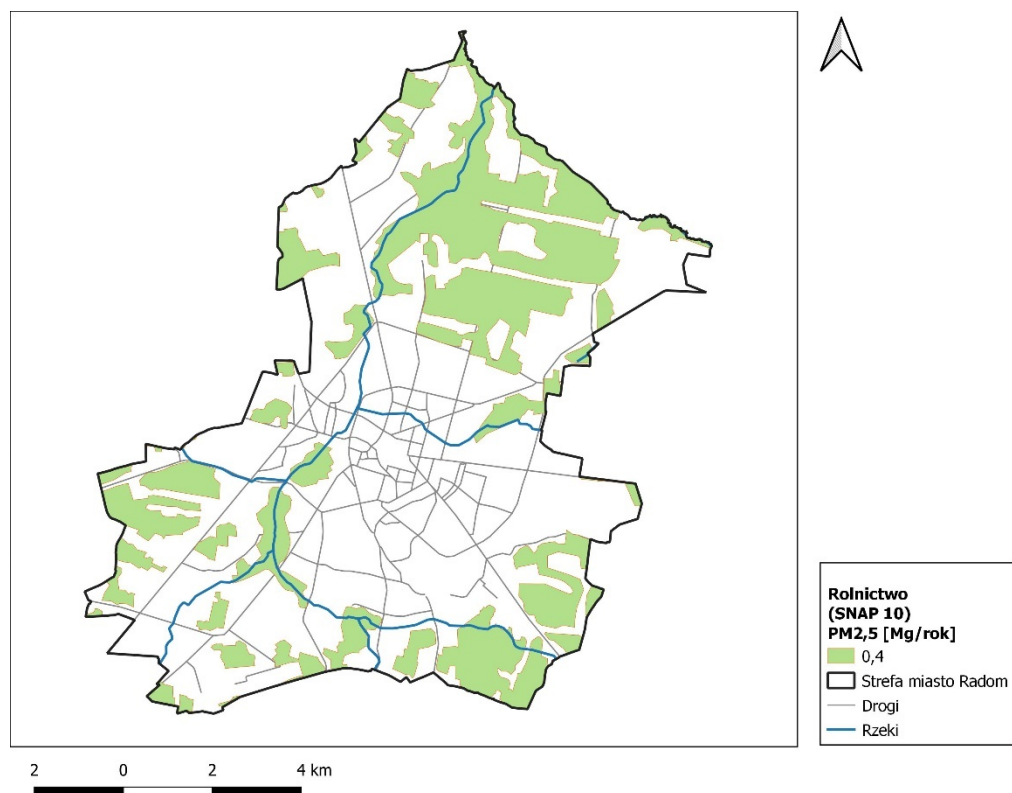
Rysunek 244 Rozmieszczenie oraz ładunki emisji pyłu zawieszonego PM2,5 z zagospodarowania odpadów (SNAP 09) w strefie miasto Radom w 2018 roku



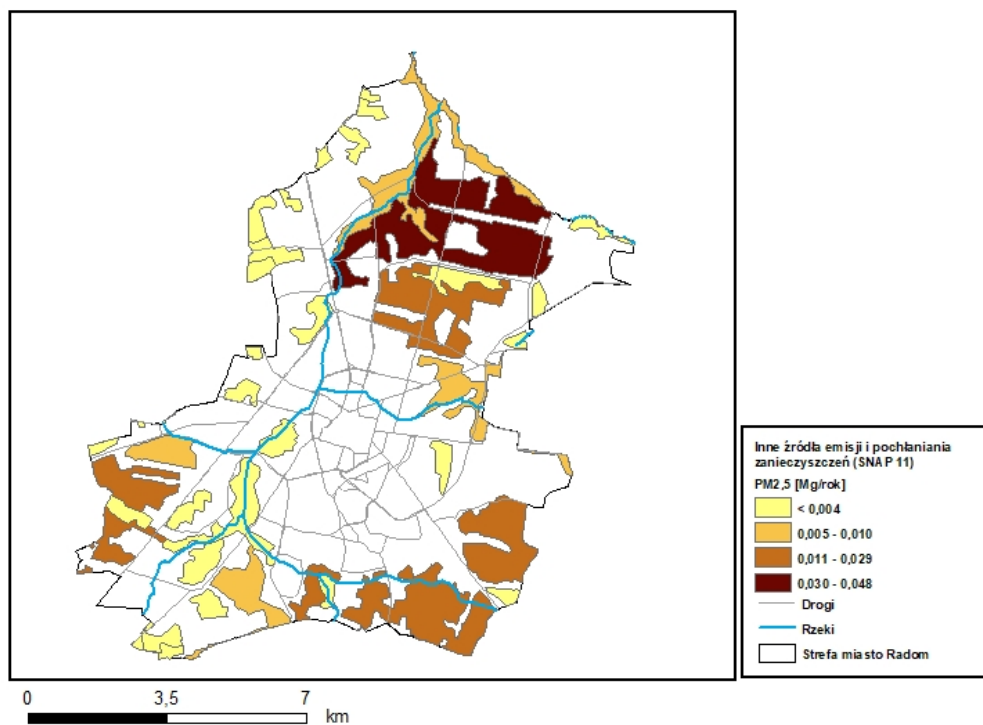
Rysunek 245 Rozmieszczenie oraz ładunki emisji pyłu zawieszonego PM2,5 z zagospodarowania odpadów (SNAP 09) w strefie miasto Radom w 2021 roku



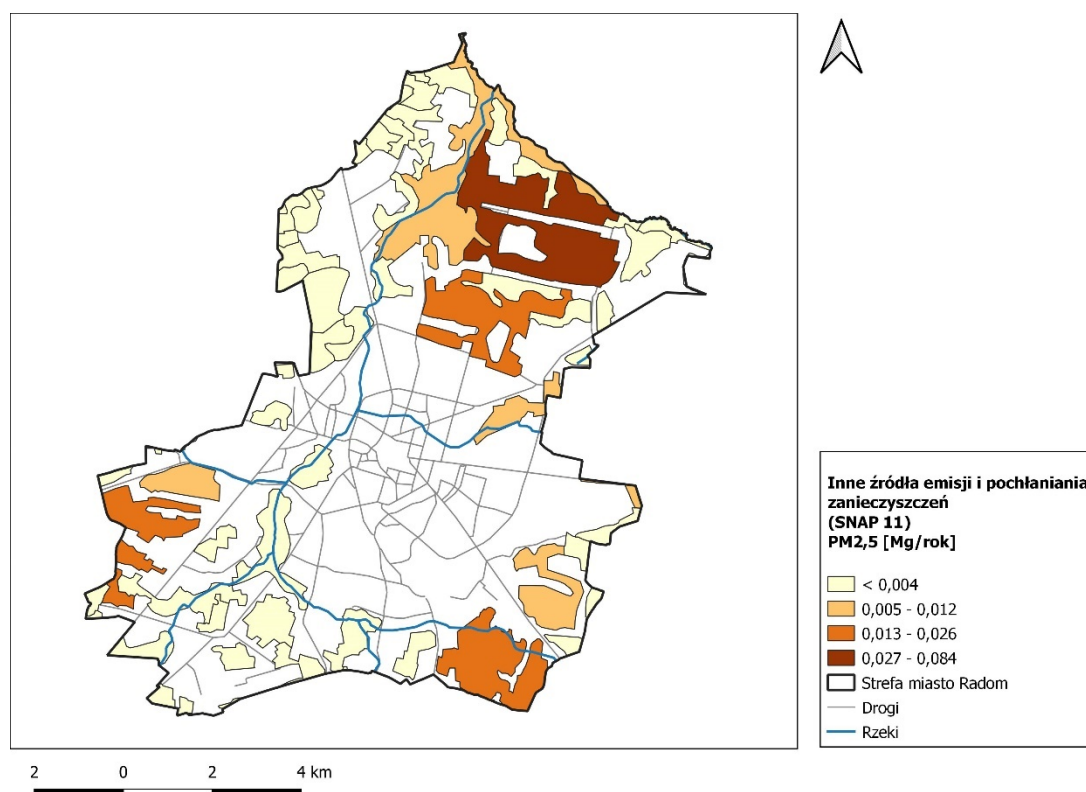
Rysunek 246 Rozmieszczenie oraz ładunki emisji pyłu zawieszzonego PM_{2,5} z rolnictwa (SNAP 10) w strefie miasto Radom w 2018 roku



Rysunek 247 Rozmieszczenie oraz ładunki emisji pyłu zawieszzonego PM_{2,5} z rolnictwa (SNAP 10) w strefie miasto Radom w 2021 roku

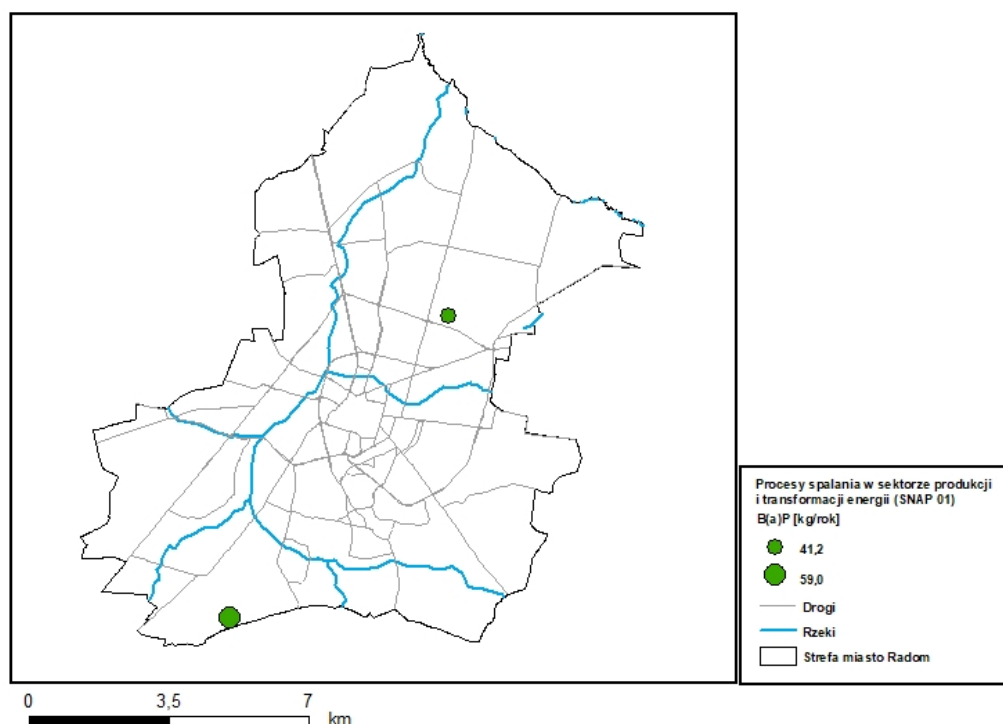


Rysunek 248 Rozmieszczenie oraz ładunki emisji pyłu zawieszonego PM2,5 z innych źródeł emisji i pochłaniania zanieczyszczeń (SNAP 11) w strefie miasto Radom w 2018 roku

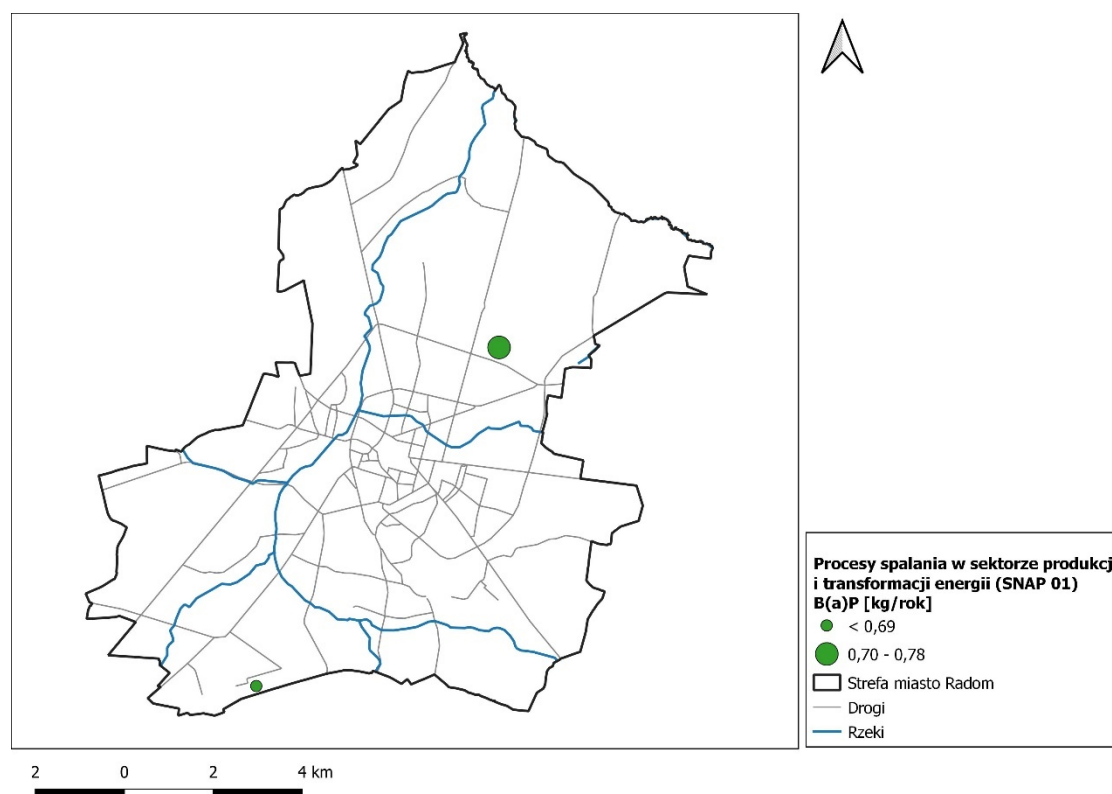


Rysunek 249 Rozmieszczenie oraz ładunki emisji pyłu zawieszonego PM2,5 z innych źródeł emisji i pochłaniania zanieczyszczeń (SNAP 11) w strefie miasto Radom w 2021 roku

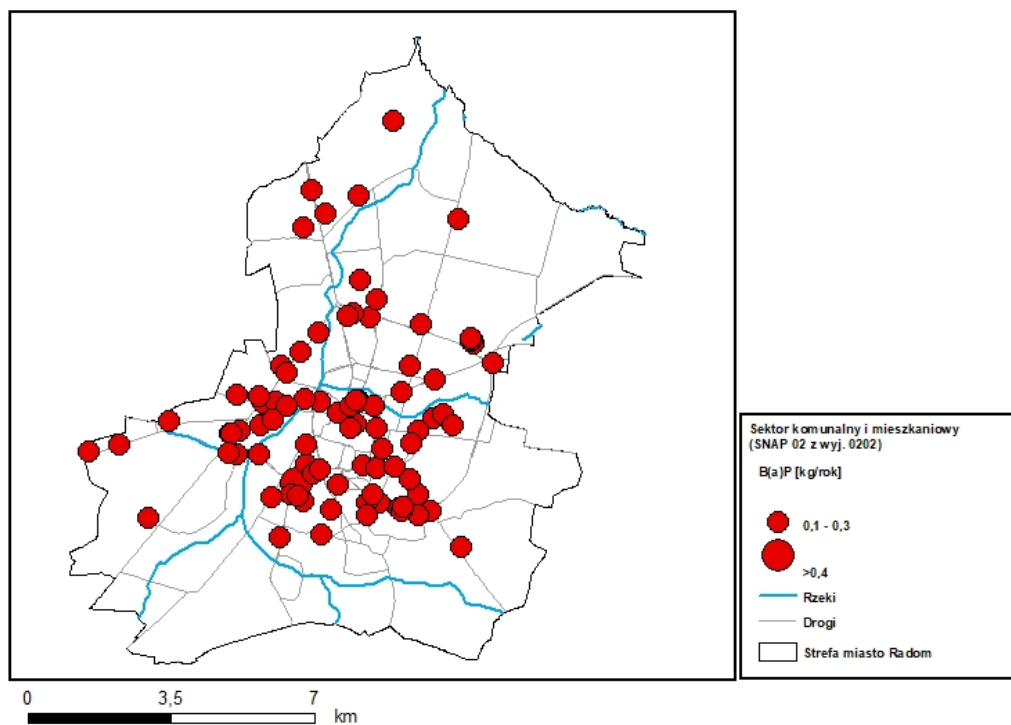
Emisja benzo(a)pirenu



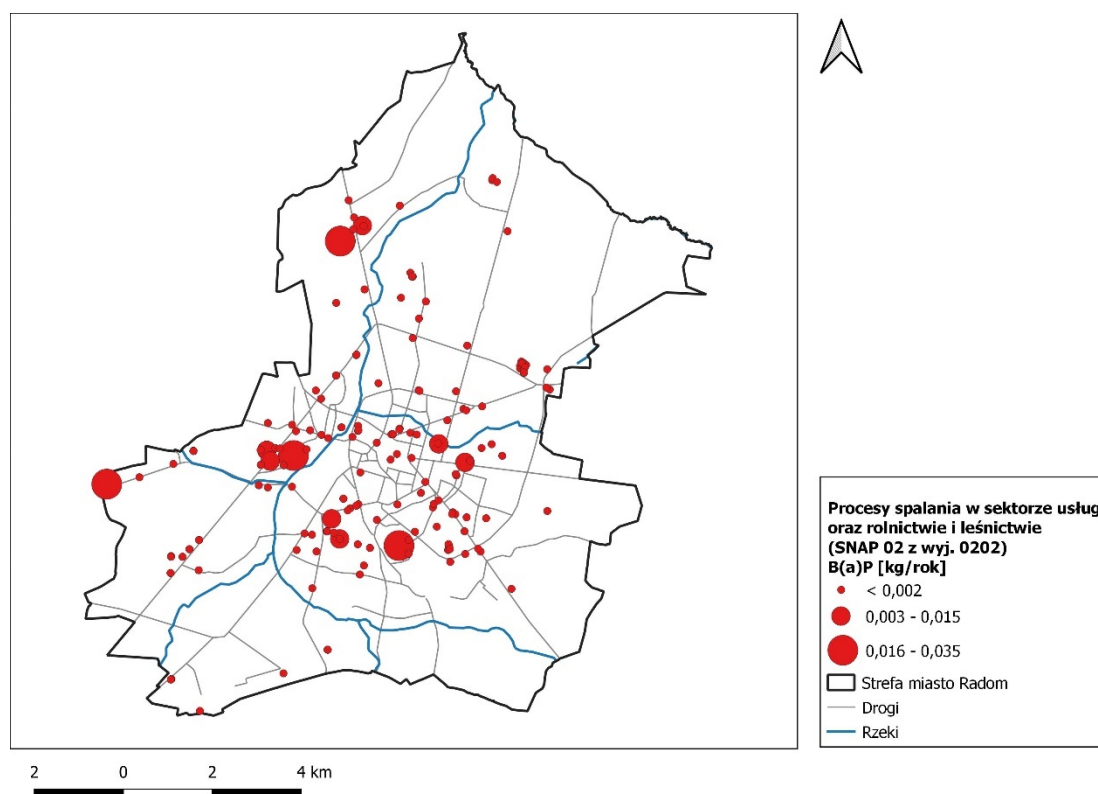
Rysunek 250 Rozmieszczenie oraz ładunki emisji benzo(a)pirenu z procesów spalania w sektorze produkcji i transformacji energii (SNAP 01) w strefie miasto Radom w 2018 roku



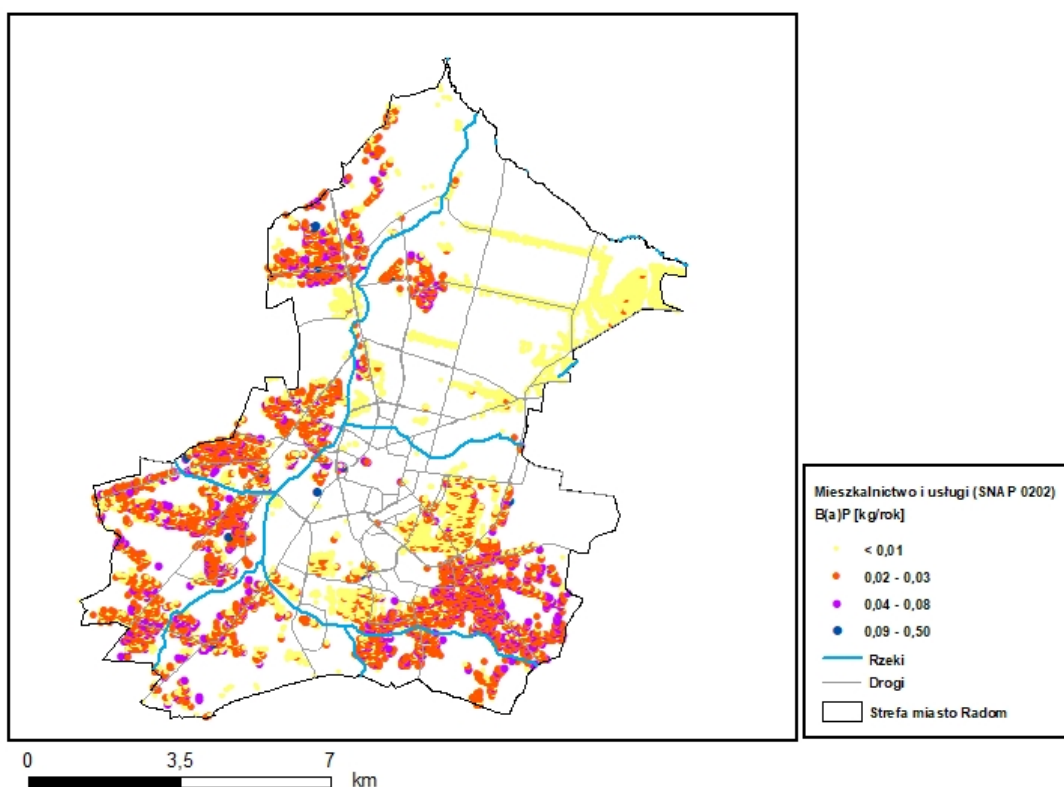
Rysunek 251 Rozmieszczenie oraz ładunki emisji benzo(a)pirenu z procesów spalania w sektorze produkcji i transformacji energii (SNAP 01) w strefie miasto Radom w 2021 roku



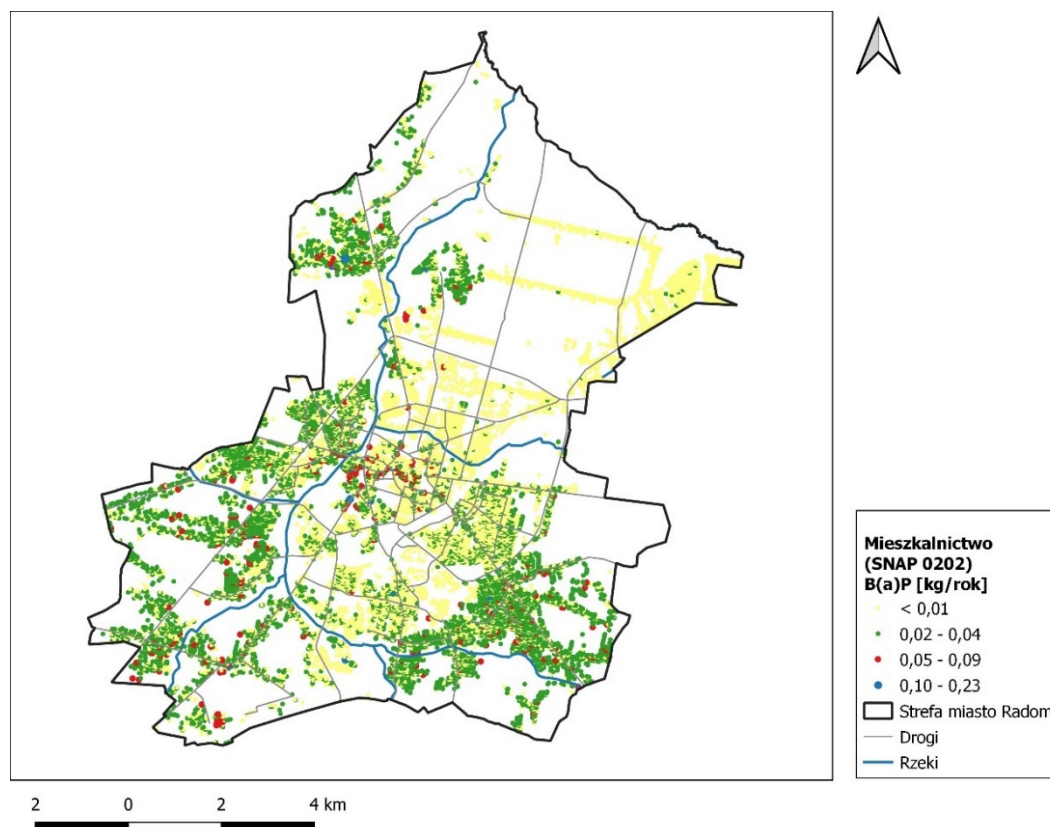
Rysunek 252 Rozmieszczenie oraz ładunki emisji benzo(a)pirenu z sektora komunalnego i mieszkaniowego (SNAP 02 z wyjątkiem 0202) w strefie miasto Radom w 2018 roku



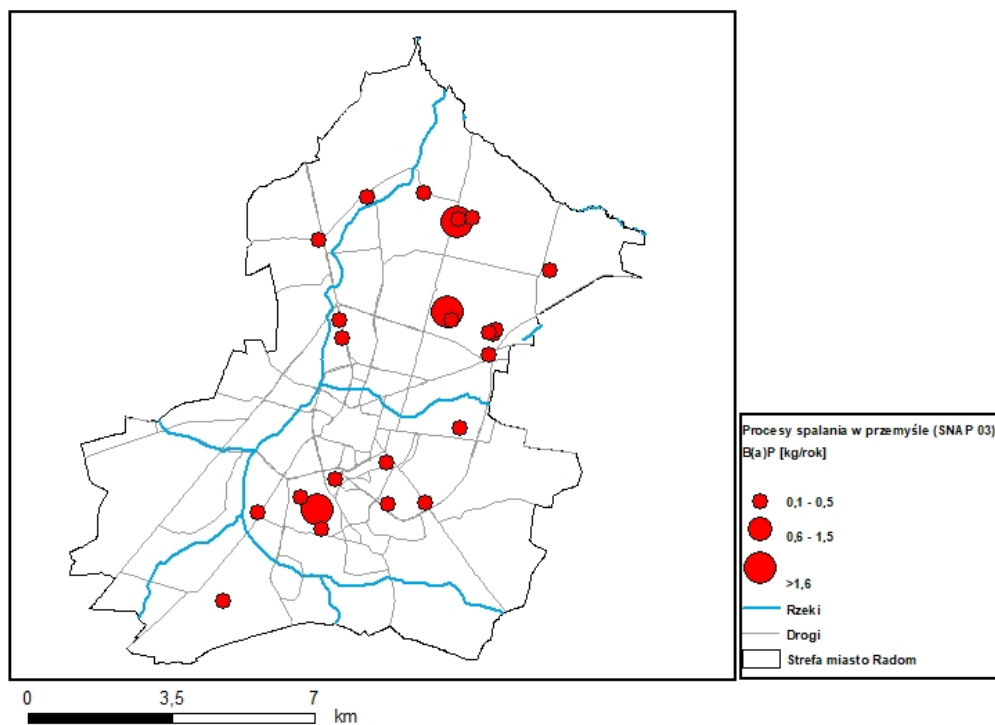
Rysunek 253 Rozmieszczenie oraz ładunki emisji benzo(a)pirenu z sektora usług oraz rolnictwie i leśnictwie (SNAP 02 z wyjątkiem 0202) w strefie miasto Radom w 2021 roku



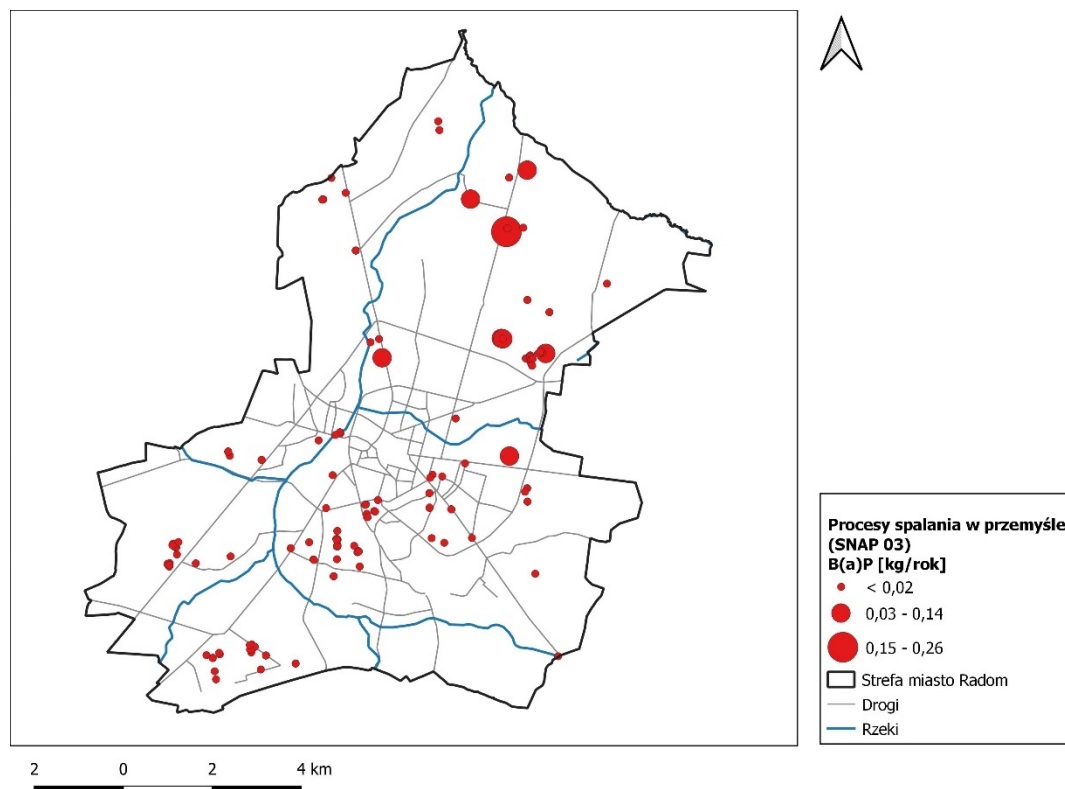
Rysunek 254 Rozmieszczenie oraz ładunki emisji benzo(a)pirenu z mieszkalnictwa i usług (SNAP 0202) w strefie miasto Radom w 2018 roku



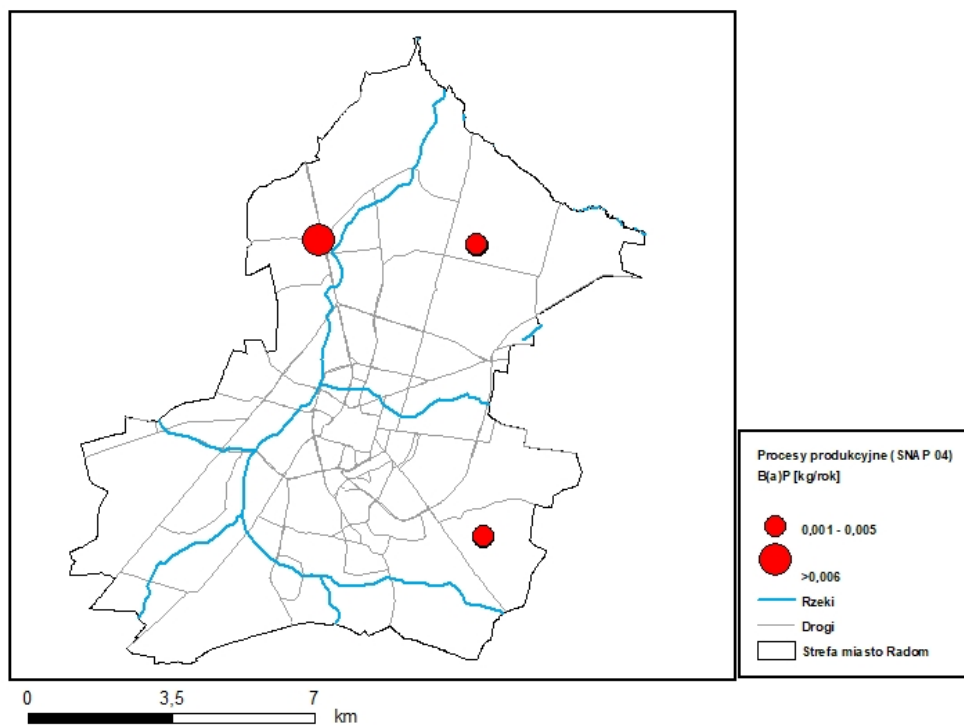
Rysunek 255 Rozmieszczenie oraz ładunki emisji benzo(a)pirenu z mieszkalnictwa (SNAP 0202) w strefie miasto Radom w 2021 roku



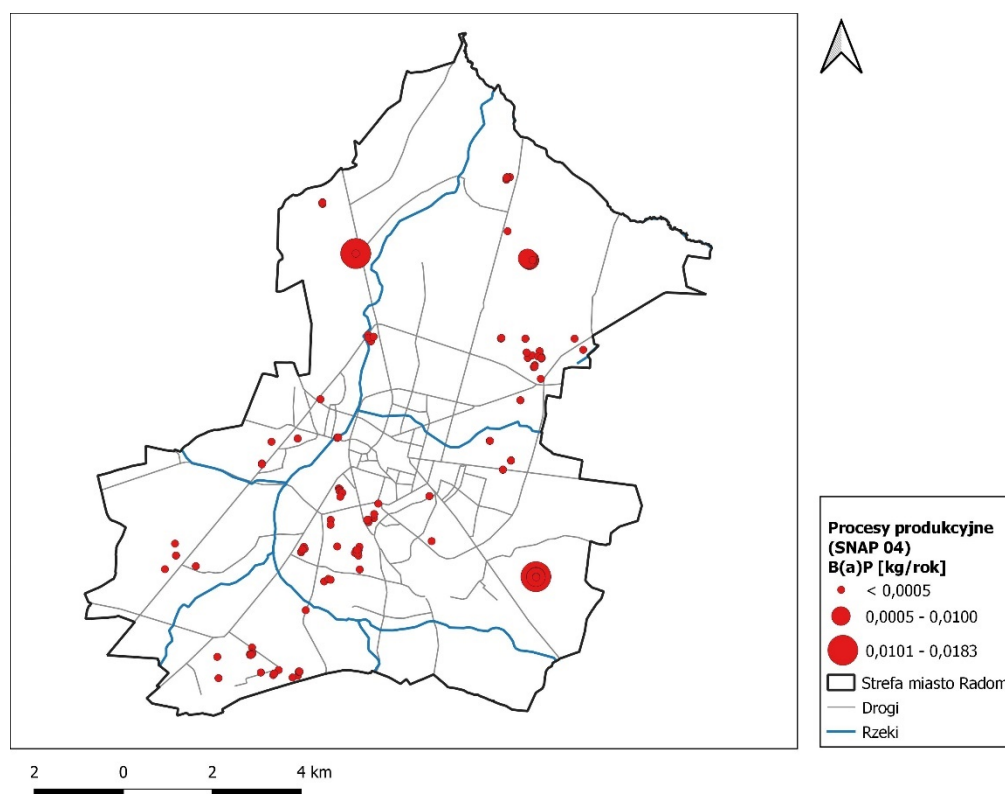
Rysunek 256 Rozmieszczenie oraz ładunki emisji benzo(a)pirenu z procesów spalania w przemyśle (SNAP 03) w strefie miasto Radom w 2018 roku



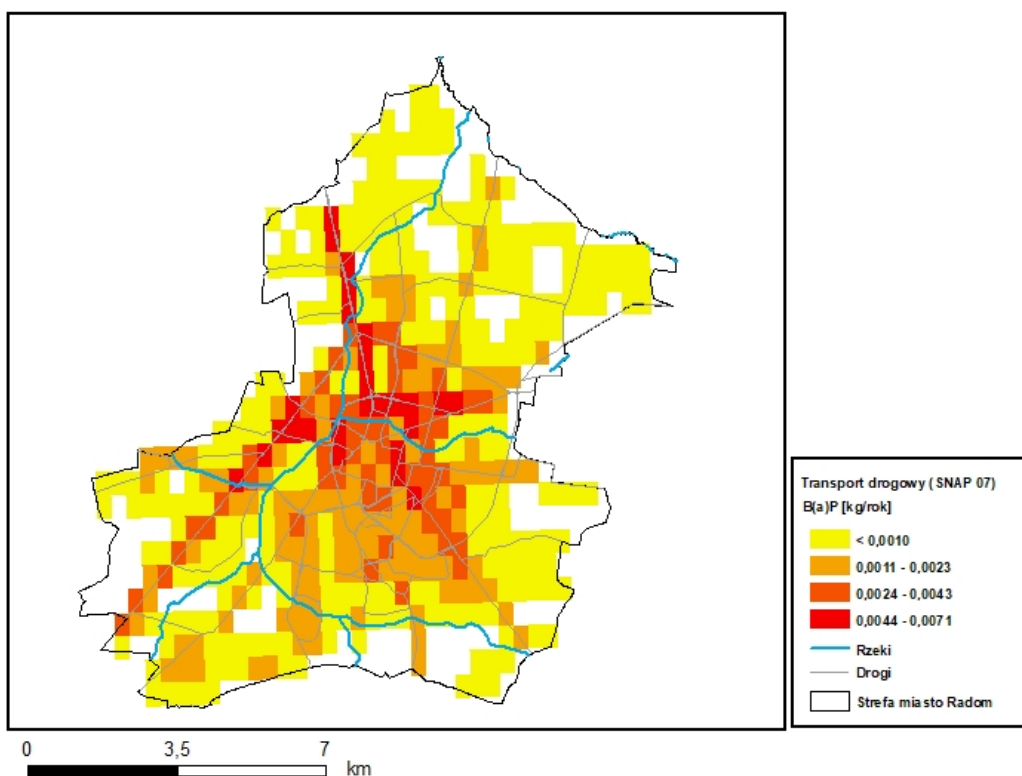
Rysunek 257 Rozmieszczenie oraz ładunki emisji benzo(a)pirenu z procesów spalania w przemyśle (SNAP 03) w strefie miasto Radom w 2021 roku



Rysunek 258 Rozmieszczenie oraz ładunki emisji benzo(a)pirenu z procesów produkcyjnych (SNAP 04) w strefie miasto Radom w 2018 roku

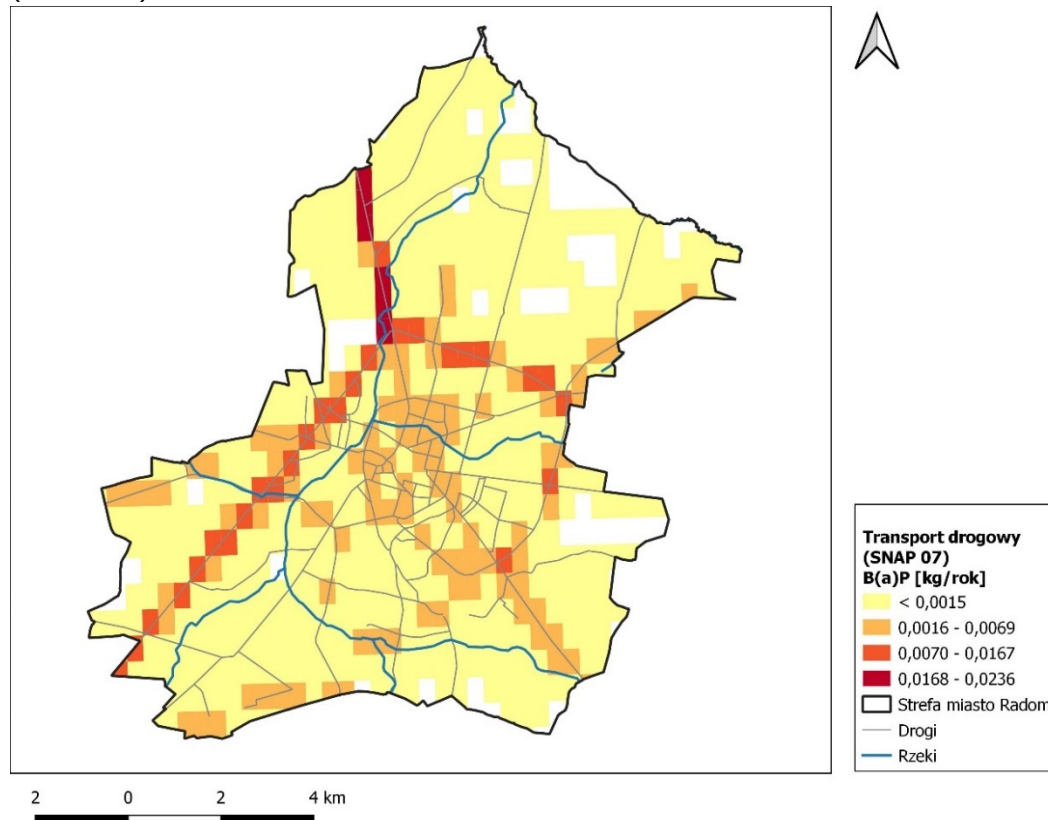


Rysunek 259 Rozmieszczenie oraz ładunki emisji benzo(a)pirenu z procesów produkcyjnych (SNAP 04) w strefie miasto Radom w 2021 roku



R

rysunek 260 Rozmieszczenie oraz ładunki emisji benzo(a)pirenu z transportu drogowego (SNAP 07) w strefie miasto Radom w 2018 roku



Rysunek 261 Rozmieszczenie oraz ładunki emisji benzo(a)pirenu z transportu drogowego (SNAP 07) w strefie miasto Radom w 2021 roku

7. Szacunkowy poziom tła regionalnego, przyrostu tła miejskiego oraz przyrostu lokalnego stężeń substancji w powietrzu w obszarach przekroczeń

Obszary przekroczeń poziomów dopuszczalnych i poziomu docelowego zostały scharakteryzowane i pokazane na rysunkach w załączniku nr 1 w rozdziale 3.2. Poniżej dla każdego obszaru przekroczeń wskazano w tabelach stężenia substancji zanieczyszczających, w podziale na:

- szacunkowy poziom tła regionalnego stężeń substancji w powietrzu ogółem, w podziale na źródła krajowe, transgraniczne, naturalne oraz inne (wielkość stężeń pochodzących ze źródeł naturalnych jest pomijalnie mała lub na analizowanym obszarze nie występuje emisja ze źródeł naturalnych);
- szacunkowy podział dla przyrostu tła miejskiego stężeń substancji w powietrzu ogółem, w podziale na transport drogowy, przemysł oraz produkcję ciepła i energii elektrycznej, usługi, rzemiosło, rolnictwo, sektor handlowy i mieszkaniowy, żeglugę, terenowe maszyny jezdne, źródła naturalne, transgraniczne oraz inne (wielkość stężeń pochodzących z usług, rzemiosła, rolnictwa, żeglugi, terenowych maszyn jezdnych, źródeł naturalnych, transgranicznych oraz innych jest pomijalnie mała lub na analizowanym obszarze nie występuje emisja z usług, rzemiosła, rolnictwa żeglugi, terenowych maszyn jezdnych, źródeł naturalnych, transgranicznych oraz innych);
- szacunkowy podział dla przyrostu lokalnego stężeń substancji w powietrzu ogółem, w podziale na transport drogowy, przemysł oraz produkcję ciepła i energii elektrycznej, usługi, rzemiosło, rolnictwo, sektor handlowy i mieszkaniowy, żeglugę, terenowe maszyny jezdne, źródła naturalne, transgraniczne oraz inne (wielkość stężeń pochodzących z usług, rzemiosła, rolnictwa żeglugi, terenowych maszyn jezdnych, źródeł naturalnych, transgranicznych oraz innych jest pomijalnie mała lub na analizowanym obszarze nie występuje emisja z usług, rzemiosła, rolnictwa żeglugi, terenowych maszyn jezdnych, źródeł naturalnych, transgranicznych oraz innych).

Jeżeli w danym obszarze brak jest np. żeglugi, rolnictwa lub wielkość stężeń z danego działu gospodarki jest pomijalnie mała, to w tabeli nie będzie odniesienia do tego typu emisji.

W obszarach przekroczeń poziomu docelowego benzo(a)pirenu nie pojawia się przyrost tła miejskiego, co jest związane z tym, że obszary te obejmują cały lub większość terenu miejskiego, a więc całość stężeń klasyfikowana jest jako przyrost tła lokalnego.

7.1. Strefa mazowiecka

Tabela 149 Wielkości stężeń średniodobowych pyłu zawieszonego PM10 [$\mu\text{g}/\text{m}^3$] z poszczególnych źródeł w maksymalnych stężeniach na obszarach przekroczeń średniodobowego poziomu dopuszczalnego w strefie mazowieckiej w 2018 roku

Kod obszaru przekroczeń	Stężenie całkowite PM10 24h (36max)	Szacunkowy poziom tła regionalnego ogółem	Szacunkowy poziom tła regionalnego źródła	Szacunkowy poziom tła regionalnego źródła krajowe	Szacunkowy poziom tła regionalnego źródła inne (napływ z terenu)	Przyrost tła miejskiego ogółem	Przyrost tła miejskiego transport drogowy	Przyrost tła miejskiego przemysł oraz produkcja	Przyrost tła miejskiego sektor handlowy i mieszkaniowy	Lokalny przyrost stężeń ogółem	Lokalny przyrost stężeń transport drogowy	Lokalny przyrost stężeń przemysł oraz produkcja ciepła i energii elektrycznej	Lokalny przyrost stężeń sektor handlowy i mieszkaniowy
	[$\mu\text{g}/\text{m}^3$]	[$\mu\text{g}/\text{m}^3$]	[$\mu\text{g}/\text{m}^3$]	[$\mu\text{g}/\text{m}^3$]	[$\mu\text{g}/\text{m}^3$]	[$\mu\text{g}/\text{m}^3$]	[$\mu\text{g}/\text{m}^3$]	[$\mu\text{g}/\text{m}^3$]	[$\mu\text{g}/\text{m}^3$]	[$\mu\text{g}/\text{m}^3$]	[$\mu\text{g}/\text{m}^3$]	[$\mu\text{g}/\text{m}^3$]	[$\mu\text{g}/\text{m}^3$]
Nie dotyczy													
Mz18sMaPM10d01	76,70	58,86	23,49	28,94	6,43	1,83	0,04	0,00	1,79	16,02	1,64	0,01	14,37
Mz18sMaPM10d02	61,80	47,2	13,50	27,57	6,13	0,64	0,07	0,00	0,57	13,96	3,85	0,01	10,10
Mz18sMaPM10d03	60,93	48,66	8,74	32,66	7,26	0,88	0,05	0,06	0,77	11,39	7,66	0,11	3,62
Mz18sMaPM10d04	62,71	52,85	9,86	35,17	7,82	0	0,00	0,00	0,00	9,87	5,03	0,01	4,83
Mz18sMaPM10d05	65,06	57,24	10,91	37,91	8,42	0	0,00	0,00	0,00	7,82	5,14	0,00	2,68
Mz18sMaPM10d06	71,08	53,71	8,51	36,98	8,22	1,05	0,00	0,00	1,05	16,32	8,61	0,00	7,71
Mz18sMaPM10d07	66,04	33,55	6,08	10,32	17,15	0,22	0,00	0,00	0,22	32,27	12,52	0,09	19,75
Mz18sMaPM10d08	59,44	46,53	13,32	27,17	6,04	2,07	0,27	0,00	1,80	10,85	1,70	0,01	9,14
Mz18sMaPM10d09	54,92	52,21	8,58	35,63	8,00	0	0,00	0,00	0,00	2,71	0,33	0,00	2,38
Mz18sMaPM10d10	54,18	43,08	16,44	21,80	4,84	0	0,00	0,00	0,00	11,1	1,27	0,00	9,83
Mz18sMaPM10d11	59,50	52,73	13,45	32,14	7,14	0,46	0,03	0,00	0,43	6,31	2,14	0,00	4,17
Mz18sMaPM10d12	64,83	25,71	13,68	9,84	2,19	1,87	0,01	0,00	1,86	37,25	2,11	0,02	35,12
Mz18sMaPM10d13	57,53	50,65	9,85	33,38	7,42	2,77	0,03	0,00	2,74	4,11	2,16	0,00	1,95
Mz18sMaPM10d14	59,12	47,37	12,05	28,58	6,74	0,9	0,09	0,01	0,80	10,84	8,07	0,01	2,76
Mz18sMaPM10d15	67,48	39,54	8,07	25,75	5,72	0	0,00	0,00	0,00	27,94	6,73	0,00	21,21
Mz18sMaPM10d16	54,13	48,9	12,45	29,82	6,63	0	0,00	0,00	0,00	5,24	2,43	0,00	2,81
Mz18sMaPM10d17	54,55	33,54	5,80	20,91	6,83	9,84	2,22	0,00	7,62	11,16	7,76	0,00	3,40

Kod obszaru przekroczeń	Stężenie całkowite PM10 24h (36max)	Szacunkowy poziom tła regionalnego ogółem	Szacunkowy poziom tła regionalnego źródła	Szacunkowy poziom tła regionalnego źródła krajowe	Szacunkowy poziom tła regionalnego źródła inne (napływ z terenu)	Przyrost tła miejskiego ogółem	Przyrost tła miejskiego transport drogowy	Przyrost tła miejskiego przemysł oraz produkcja	Przyrost tła miejskiego sektor handlowy i mieszkalniowy	Lokalny przyrost stężeń ogółem	Lokalny przyrost stężeń transport drogowy	Lokalny przyrost stężeń przemysł oraz produkcja ciepła i energii elektrycznej	Lokalny przyrost stężeń sektor handlowy i mieszkalniowy
	[µg/m ³]	[µg/m ³]	[µg/m ³]	[µg/m ³]	[µg/m ³]	[µg/m ³]	[µg/m ³]	[µg/m ³]	[µg/m ³]	[µg/m ³]	[µg/m ³]	[µg/m ³]	[µg/m ³]
Nie dotyczy													
Mz18sMaPM10d18	58,21	32,29	7,31	20,44	4,54	7,12	0,61	0,00	6,51	18,81	9,33	0,06	9,42
Mz18sMaPM10d19	58,13	43,96	8,66	28,88	6,42	0	0,00	0,00	0,00	14,17	1,61	0,91	11,65
Mz18sMaPM10d20	66,38	44,96	16,82	23,02	5,12	4,75	0,45	0,00	4,30	16,67	13,95	0,00	2,72
Mz18sMaPM10d21	64,13	35,61	14,92	16,93	3,76	0	0,00	0,00	0,00	28,52	1,96	0,00	26,56
Mz18sMaPM10d22	58,94	28,21	8,08	16,47	3,66	3,18	0,71	0,01	2,46	27,57	13,97	1,44	12,16
Mz18sMaPM10d23	50,11	30,6	6,06	19,53	5,01	3,89	0,78	0,00	3,11	15,63	7,21	0,00	8,42
Mz18sMaPM10d24	54,73	48,13	10,90	30,46	6,77	0	0,00	0,00	0,00	6,61	2,99	0,01	3,61
Mz18sMaPM10d25	60,09	47,83	6,51	33,39	7,93	2,18	0,28	0,00	1,90	10,09	1,29	0,00	8,80
Mz18sMaPM10d26	59,81	54,47	18,63	29,32	6,52	0	0,00	0,00	0,00	5,34	0,56	0,00	4,78
Mz18sMaPM10d27	51,55	48,65	6,83	8,02	33,80	0	0,00	0,00	0,00	2,9	0,12	0,00	2,78
Mz18sMaPM10d28	58,04	31,7	6,44	17,90	7,36	4,97	0,57	0,00	4,40	21,37	2,40	0,00	18,97
Mz18sMaPM10d29	52,46	42,19	10,78	25,70	5,71	0	0,00	0,00	0,00	10,27	0,44	0,00	9,83
Mz18sMaPM10d30	49,74	42,05	6,08	29,25	6,72	2,15	0,96	0,00	1,19	5,52	2,93	0,00	2,59
Mz18sMaPM10d31	51,49	47,27	12,43	28,51	6,33	0	0,00	0,00	0,00	4,22	0,86	0,00	3,36
Mz18sMaPM10d32	53,18	31,57	7,50	19,69	4,38	5,42	0,99	0,00	4,43	16,21	3,13	0,01	13,07
Mz18sMaPM10d33	52,08	39,34	8,51	25,22	5,61	4,33	0,16	0,00	4,17	8,41	3,52	0,00	4,89
Mz18sMaPM10d34	57,84	52,52	18,97	27,45	6,10	0	0,00	0,00	0,00	5,33	0,36	0,03	4,94
Mz18sMaPM10d35	64,52	34,29	6,11	18,94	9,24	0	0,00	0,00	0,00	30,23	6,54	0,08	23,61
Mz18sMaPM10d36	62,39	36,32	7,42	23,65	5,25	2,99	0,32	0,00	2,67	23,08	5,05	0,00	18,03
Mz18sMaPM10d37	44,79	39,32	14,80	20,06	4,46	0	0,00	0,00	0,00	5,48	0,38	0,00	5,10
Mz18sMaPM10d38	55,96	48,98	9,38	32,40	7,20	1,14	0,21	0,00	0,93	5,84	2,58	1,65	1,61
Mz18sMaPM10d39	42,83	37,75	7,72	24,57	5,46	0	0,00	0,00	0,00	5,07	2,08	0,00	2,99

Kod obszaru przekroczeń	Stężenie całkowite PM10 24h (36max)	Szacunkowy poziom tła regionalnego ogółem	Szacunkowy poziom tła regionalnego źródła	Szacunkowy poziom tła regionalnego źródła krajowe	Szacunkowy poziom tła regionalnego źródła inne (napływ z terenu)	Przyrost tła miejskiego ogółem	Przyrost tła miejskiego transport drogowy	Przyrost tła miejskiego przemysł oraz produkcja	Przyrost tła miejskiego sektor handlowy i mieszkalniowy	Lokalny przyrost stężeń ogółem	Lokalny przyrost stężeń transport drogowy	Lokalny przyrost stężeń przemysł oraz produkcja ciepła i energii elektrycznej	Lokalny przyrost stężeń sektor handlowy i mieszkalniowy
	[$\mu\text{g}/\text{m}^3$]	[$\mu\text{g}/\text{m}^3$]	[$\mu\text{g}/\text{m}^3$]	[$\mu\text{g}/\text{m}^3$]	[$\mu\text{g}/\text{m}^3$]	[$\mu\text{g}/\text{m}^3$]	[$\mu\text{g}/\text{m}^3$]	[$\mu\text{g}/\text{m}^3$]	[$\mu\text{g}/\text{m}^3$]	[$\mu\text{g}/\text{m}^3$]	[$\mu\text{g}/\text{m}^3$]	[$\mu\text{g}/\text{m}^3$]	[$\mu\text{g}/\text{m}^3$]
Nie dotyczy													
Mz18sMaPM10d40	52,00	50,35	6,86	35,58	7,91	0	0,00	0,00	0,00	1,66	0,02	0,00	1,64
Mz18sMaPM10d41	52,65	27,32	6,17	16,51	4,64	11,55	0,31	0,00	11,24	13,78	0,32	0,00	13,46
Mz18sMaPM10d42	46,65	40,8	12,64	23,02	5,14	0	0,00	0,00	0,00	5,85	0,40	0,00	5,45
Mz18sMaPM10d43	42,82	39,87	7,29	24,78	7,80	0	0,00	0,00	0,00	2,95	0,15	0,00	2,80
Mz18sMaPM10d44	49,25	41,1	8,64	26,56	5,90	0	0,00	0,00	0,00	8,15	0,12	0,00	8,03
Mz18sMaPM10d45	50,45	45,67	7,91	30,81	6,95	0	0,00	0,00	0,00	4,78	0,56	0,00	4,22
Mz18sMaPM10d46	58,60	16,9	6,51	7,70	2,69	23,14	2,22	0,04	20,88	18,57	2,71	0,02	15,84
Mz18sMaPM10d47	57,18	26,56	6,54	13,57	6,45	5,4	0,46	0,03	4,91	25,22	1,72	0,00	23,50
Mz18sMaPM10d48	57,94	35,63	5,87	24,35	5,41	2,24	0,11	0,00	2,13	20,06	0,80	0,00	19,26
Mz18sMaPM10d49	55,89	25,59	6,54	15,59	3,46	10,64	7,34	0,04	3,26	19,65	14,22	0,00	5,43
Mz18sMaPM10d50	56,61	51,32	6,07	36,84	8,41	0	0,00	0,00	0,00	5,28	0,86	0,00	4,42
Mz18sMaPM10d51	46,21	36,41	10,33	21,34	4,74	0	0,00	0,00	0,00	9,8	1,15	0,00	8,65
Mz18sMaPM10d52	51,88	48,39	7,14	33,75	7,50	0	0,00	0,00	0,00	3,49	0,25	0,00	3,24
Mz18sMaPM10d53	54,52	42,52	6,59	29,40	6,53	0	0,00	0,00	0,00	12	0,15	0,00	11,85
Mz18sMaPM10d54	38,13	35,07	6,29	22,33	6,45	0	0,00	0,00	0,00	3,06	0,27	0,00	2,79
Mz18sMaPM10d55	40,43	39,33	6,83	24,01	8,49	0	0,00	0,00	0,00	1,11	0,07	0,00	1,04
Mz18sMaPM10d56	42,03	40	14,86	20,57	4,57	0	0,00	0,00	0,00	2,03	0,35	0,00	1,68
Mz18sMaPM10d57	45,25	41,33	6,74	24,44	10,15	0	0,00	0,00	0,00	3,93	0,40	0,00	3,53
Mz18sMaPM10d58	46,98	41,58	6,76	28,13	6,69	0	0,00	0,00	0,00	5,4	0,26	0,00	5,14
Mz18sMaPM10d59	54,61	49,71	8,47	33,74	7,50	0	0,00	0,00	0,00	4,91	0,76	0,00	4,15
Mz18sMaPM10d60	58,99	55,85	7,66	39,43	8,76	0	0,00	0,00	0,00	3,14	0,16	0,00	2,98
Mz18sMaPM10d61	55,61	14,19	7,42	5,54	1,23	17,66	0,60	0,00	17,06	23,76	1,23	0,01	22,52

Kod obszaru przekroczeń	Stężenie całkowite PM10 24h (36max)	Szacunkowy poziom tła regionalnego ogółem	Szacunkowy poziom tła regionalnego źródła	Szacunkowy poziom tła regionalnego źródła krajowe	Szacunkowy poziom tła regionalnego źródła inne (napływ z terenu)	Przyrost tła miejskiego ogółem	Przyrost tła miejskiego transport drogowy	Przyrost tła miejskiego przemysł oraz produkcja	Przyrost tła miejskiego sektor handlowy i mieszkalniowy	Lokalny przyrost stężeń ogółem	Lokalny przyrost stężeń transport drogowy	Lokalny przyrost stężeń przemysł oraz produkcja ciepła i energii elektrycznej	Lokalny przyrost stężeń sektor handlowy i mieszkalniowy
	[$\mu\text{g}/\text{m}^3$]	[$\mu\text{g}/\text{m}^3$]	[$\mu\text{g}/\text{m}^3$]	[$\mu\text{g}/\text{m}^3$]	[$\mu\text{g}/\text{m}^3$]	[$\mu\text{g}/\text{m}^3$]	[$\mu\text{g}/\text{m}^3$]	[$\mu\text{g}/\text{m}^3$]	[$\mu\text{g}/\text{m}^3$]	[$\mu\text{g}/\text{m}^3$]	[$\mu\text{g}/\text{m}^3$]	[$\mu\text{g}/\text{m}^3$]	[$\mu\text{g}/\text{m}^3$]
Nie dotyczy													
Mz18sMaPM10d62	49,06	41,12	8,89	26,37	5,86	3,26	0,22	0,00	3,04	4,67	1,51	0,00	3,16
Mz18sMaPM10d63	53,44	44,63	10,81	27,67	6,15	0	0,00	0,00	0,00	8,8	0,12	0,00	8,68
Mz18sMaPM10d64	43,51	38,6	10,59	22,92	5,09	0	0,00	0,00	0,00	4,9	0,59	0,00	4,31
Mz18sMaPM10d65	42,15	39,31	9,71	24,22	5,38	0	0,00	0,00	0,00	2,84	0,10	0,03	2,71
Mz18sMaPM10d66	44,91	42,17	16,08	21,35	4,74	0	0,00	0,00	0,00	2,73	0,23	0,00	2,50
Mz18sMaPM10d67	53,35	50,38	6,22	16,89	27,27	0	0,00	0,00	0,00	2,96	0,07	0,00	2,89
Mz18sMaPM10d68	42,14	39,24	6,35	23,15	9,74	0	0,00	0,00	0,00	2,9	0,17	0,00	2,73
Mz18sMaPM10d69	43,96	38,62	8,24	24,86	5,52	0	0,00	0,00	0,00	5,33	1,26	0,00	4,07
Mz18sMaPM10d70	47,41	44,94	6,14	31,56	7,24	0	0,00	0,00	0,00	2,47	0,33	0,00	2,14

Tabela 150 Wielkości stężeń średniorocznych pyłu zawieszonego PM_{2,5} [µg/m³] z poszczególnych źródeł w maksymalnych stężeniach na obszarach przekroczeń średniorocznego poziomu dopuszczalnego w strefie mazowieckiej w 2018 roku

Kod obszaru przekroczeń	Stężenie całkowite PM _{2,5} rok	Szacunkowy poziom	Szacunkowy poziom tła regionalnego źródła transgraniczne	Szacunkowy poziom tła regionalnego	Szacunkowy poziom tła regionalnego źródła inne (napływ z	Przyrost tła miejskiego ogółem	Przyrost tła miejskiego transport drogowy	Przyrost tła miejskiego przemysł oraz produkcja ciepła	Przyrost tła o wymiarskiego sektor	Lokalny przyrost stężeń ogółem	Lokalny przyrost stężeń transport	Lokalny przyrost stężeń przemysł oraz produkcja ciepła i	Lokalny przyrost stężeń sektor handlowy
	[µg/m ³]	[µg/m ³]	[µg/m ³]	[µg/m ³]	[µg/m ³]	[µg/m ³]	[µg/m ³]	[µg/m ³]	[µg/m ³]	[µg/m ³]	[µg/m ³]	[µg/m ³]	[µg/m ³]
Nie dotyczy													
Mz18sMaPM2,5a01	26,65	23,3	8,13	12,35	2,82	0,1	0,00	0,00	0,10	3,25	0,36	0,03	2,86
Mz18sMaPM2,5a02	27,16	23,7	8,63	12,26	2,81	0	0,00	0,00	0,00	3,45	0,39	0,00	3,06
Mz18sMaPM2,5a03	27,87	21,49	7,65	11,26	2,58	0	0,00	0,00	0,00	6,37	0,23	0,00	6,14
Mz18sMaPM2,5a04	27,72	21,97	7,09	12,12	2,76	0,01	0,00	0,00	0,01	5,73	1,38	0,02	4,33
Mz18sMaPM2,5a05	26,92	18,0	5,85	9,90	2,25	0,02	0,00	0,00	0,02	8,89	1,36	0,19	7,34
Mz18sMaPM2,5a06	24,72	22,91	7,53	12,52	2,86	0	0,00	0,00	0,00	1,81	0,16	0,00	1,65
Mz18sMaPM2,5a07	24,86	14,82	5,32	7,73	1,77	0,15	0,02	0,02	0,11	9,9	1,53	0,01	8,36
Mz18sMaPM2,5a08	26,95	20,3	7,04	10,79	2,47	0	0,00	0,00	0,00	6,66	1,12	0,01	5,53
Mz18sMaPM2,5a09	27,86	23,41	6,66	13,65	3,10	0	0,00	0,00	0,00	4,45	2,36	0,00	2,09
Mz18sMaPM2,5a10	26,64	22,87	7,93	12,16	2,78	0,03	0,00	0,00	0,03	3,75	0,82	0,00	2,93
Mz18sMaPM2,5a11	28,51	24,97	10,93	11,41	2,63	0	0,00	0,00	0,00	3,55	0,18	0,00	3,37
Mz18sMaPM2,5a12	26,36	21,48	7,27	11,57	2,64	0,07	0,02	0,01	0,04	4,82	2,66	0,15	2,01
Mz18sMaPM2,5a13	22,70	19,46	6,85	10,26	2,35	0	0,00	0,00	0,00	3,24	0,33	0,00	2,91
Mz18sMaPM2,5a14	27,86	23,87	6,79	13,92	3,16	0	0,00	0,00	0,00	4	2,21	0,01	1,78
Mz18sMaPM2,5a15	23,61	20,84	6,82	11,42	2,60	0	0,00	0,00	0,00	2,77	0,25	0,00	2,52
Mz18sMaPM2,5a16	26,11	17,46	5,01	9,85	2,60	0,45	0,02	0,02	0,41	8,21	1,00	0,19	7,02
Mz18sMaPM2,5a17	32,40	19,37	6,71	10,30	2,36	0	0,00	0,00	0,00	13,03	1,98	0,00	11,05
Mz18sMaPM2,5a18	25,64	19,77	6,90	10,47	2,40	0,06	0,00	0,00	0,06	5,81	0,51	0,00	5,30
Mz18sMaPM2,5a19	23,36	13,88	4,91	7,29	1,68	0,04	0,00	0,00	0,04	9,43	0,48	0,00	8,95
Mz18sMaPM2,5a20	26,66	19,6	6,98	10,27	2,35	0,02	0,00	0,00	0,02	7,04	2,56	0,01	4,47
Mz18sMaPM2,5a21	24,98	20,86	6,78	11,47	2,61	0	0,00	0,00	0,00	4,14	0,16	0,00	3,98

Kod obszaru przekroczeń	Stężenie całkowite PM2,5 rok	Szacunkowy poziom	Szacunkowy poziom tła regionalnego źródła transgraniczne	Szacunkowy poziom tła regionalnego	Szacunkowy poziom tła regionalnego źródła inne (napływ z)	Przyrost tła miejskiego ogółem	Przyrost tła miejskiego transport drogowy	Przyrost tła miejskiego przemysł oraz produkcja ciepła	Przyrost tła o wymiarskiego sektora	Lokalny przyrost stężeń ogółem	Lokalny przyrost stężeń transport	Lokalny przyrost stężeń przemysł oraz produkcja ciepła i	Lokalny przyrost stężeń sektora handlowy
	[µg/m ³]	[µg/m ³]	[µg/m ³]	[µg/m ³]	[µg/m ³]	[µg/m ³]	[µg/m ³]	[µg/m ³]	[µg/m ³]	[µg/m ³]	[µg/m ³]	[µg/m ³]	[µg/m ³]
Nie dotyczy													
Mz18sMaPM2,5a22	26,19	23,23	8,99	11,58	2,66	0	0,00	0,00	0,00	2,95	0,15	0,00	2,80
Mz18sMaPM2,5a23	23,37	20,73	7,58	10,70	2,45	0	0,00	0,00	0,00	2,64	0,11	0,00	2,53
Mz18sMaPM2,5a24	25,55	13,78	5,33	6,87	1,58	0,1	0,00	0,00	0,10	11,67	1,01	0,03	10,63
Mz18sMaPM2,5a25	22,59	20,36	8,91	9,31	2,14	0	0,00	0,00	0,00	2,23	0,13	0,00	2,10
Mz18sMaPM2,5a26	24,37	21,06	6,90	11,53	2,63	0	0,00	0,00	0,00	3,32	1,64	0,02	1,66
Mz18sMaPM2,5a27	22,32	20,15	6,91	10,78	2,46	0	0,00	0,00	0,00	2,18	0,33	0,00	1,85
Mz18sMaPM2,5a28	23,55	21,01	9,20	9,60	2,21	0	0,00	0,00	0,00	2,55	0,24	0,00	2,31
Mz18sMaPM2,5a29	26,00	23,52	7,70	12,88	2,94	0	0,00	0,00	0,00	2,48	0,42	0,06	2,00
Mz18sMaPM2,5a30	30,56	22,24	8,10	11,50	2,64	0,01	0,00	0,00	0,01	8,3	3,11	0,02	5,17
Mz18sMaPM2,5a31	26,08	17,36	5,96	9,28	2,12	0,02	0,00	0,00	0,02	8,7	1,49	0,22	6,99
Mz18sMaPM2,5a32	22,82	19,09	6,80	10,00	2,29	0,14	0,02	0,01	0,11	3,58	1,15	0,01	2,42
Mz18sMaPM2,5a33	25,13	23,01	8,19	12,06	2,76	0	0,00	0,00	0,00	2,1	0,16	0,00	1,94
Mz18sMaPM2,5a34	28,08	16,59	5,92	8,68	1,99	0,35	0,03	0,00	0,32	11,14	1,79	0,05	9,30
Mz18sMaPM2,5a35	25,31	17,39	5,89	9,36	2,14	0,18	0,03	0,00	0,15	7,74	2,00	0,04	5,70
Mz18sMaPM2,5a36	23,33	19,31	6,54	10,40	2,37	0,06	0,01	0,00	0,05	3,96	1,42	0,00	2,54
Mz18sMaPM2,5a37	25,41	20,41	5,09	12,19	3,13	0,94	0,10	0,01	0,83	4,06	1,40	0,00	2,66
Mz18sMaPM2,5a38	26,36	16,32	5,00	9,23	2,09	0,3	0,03	0,01	0,26	9,75	0,61	0,01	9,13
Mz18sMaPM2,5a39	23,07	20,57	5,85	12,00	2,72	0	0,00	0,00	0,00	2,5	0,19	0,00	2,31
Mz18sMaPM2,5a40	30,61	19,94	6,91	10,60	2,43	0	0,00	0,00	0,00	10,66	2,48	0,00	8,18
Mz18sMaPM2,5a41	23,33	21,05	7,04	11,41	2,60	0	0,00	0,00	0,00	2,28	0,46	0,00	1,82
Mz18sMaPM2,5a42	26,39	17,7	5,86	9,64	2,20	0,53	0,02	0,00	0,51	8,15	0,92	0,03	7,20
Mz18sMaPM2,5a43	22,82	21,08	7,24	11,27	2,57	0	0,00	0,00	0,00	1,73	0,04	0,00	1,69
Mz18sMaPM2,5a44	27,41	20,18	7,04	10,69	2,45	0,02	0,00	0,00	0,02	7,2	0,45	0,04	6,71
Mz18sMaPM2,5a45	22,89	20,32	6,29	11,43	2,60	0	0,00	0,00	0,00	2,57	0,21	0,00	2,36

Kod obszaru przekroczeń	Stężenie całkowite PM2,5 rok	Szacunkowy poziom	Szacunkowy poziom tła regionalnego źródła transgraniczne	Szacunkowy poziom tła regionalnego	Szacunkowy poziom tła regionalnego źródła inne (napływ z)	Przyrost tła miejskiego ogółem	Przyrost tła miejskiego transport drogowy	Przyrost tła miejskiego przemysł oraz produkcja ciepła	Przyrost tła o wymiarskiego sektora	Lokalny przyrost stężeń ogółem	Lokalny przyrost stężeń transport	Lokalny przyrost stężeń przemysł oraz produkcja ciepła i	Lokalny przyrost stężeń sektora handlowy
	[µg/m ³]	[µg/m ³]	[µg/m ³]	[µg/m ³]	[µg/m ³]	[µg/m ³]	[µg/m ³]	[µg/m ³]	[µg/m ³]	[µg/m ³]	[µg/m ³]	[µg/m ³]	[µg/m ³]
Nie dotyczy													
Mz18sMaPM2,5a46	22,82	18,49	8,09	8,45	1,95	0	0,00	0,00	0,00	4,33	0,07	0,00	4,26
Mz18sMaPM2,5a47	21,98	18,61	6,80	9,61	2,20	0	0,00	0,00	0,00	3,37	0,18	0,00	3,19
Mz18sMaPM2,5a48	23,31	18,37	6,86	9,37	2,14	0,2	0,02	0,00	0,18	4,74	0,48	0,00	4,26
Mz18sMaPM2,5a49	24,59	21,57	6,58	12,21	2,78	0,06	0,00	0,00	0,06	2,96	0,92	0,29	1,75
Mz18sMaPM2,5a50	22,45	19,38	6,56	10,44	2,38	0,05	0,02	0,00	0,03	3,01	1,15	0,00	1,86
Mz18sMaPM2,5a51	22,61	20,25	6,85	10,91	2,49	0	0,00	0,00	0,00	2,35	0,02	0,00	2,33
Mz18sMaPM2,5a52	24,95	15,66	5,03	8,08	2,55	0,78	0,05	0,00	0,73	8,52	1,22	0,05	7,25
Mz18sMaPM2,5a53	24,29	14,88	5,01	7,49	2,38	0,6	0,04	0,00	0,56	8,82	1,27	0,04	7,51
Mz18sMaPM2,5a54	21,06	19,29	5,91	10,90	2,48	0,12	0,02	0,00	0,10	1,65	0,40	0,00	1,25
Mz18sMaPM2,5a55	25,86	20,89	7,60	10,81	2,48	0,13	0,04	0,00	0,09	4,84	1,88	0,01	2,95
Mz18sMaPM2,5a56	26,27	14,98	8,08	5,59	1,31	1,14	0,05	0,00	1,09	10,14	1,49	0,00	8,65
Mz18sMaPM2,5a57	23,06	20,6	7,36	10,77	2,47	0,07	0,01	0,00	0,06	2,4	0,86	0,00	1,54
Mz18sMaPM2,5a58	23,44	21,2	8,20	10,57	2,43	0	0,00	0,00	0,00	2,25	0,04	0,00	2,21
Mz18sMaPM2,5a59	23,73	17,42	5,07	9,99	2,36	0	0,00	0,00	0,00	6,31	1,31	0,01	4,99
Mz18sMaPM2,5a60	22,72	17,76	5,16	9,60	3,00	0,52	0,06	0,01	0,45	4,43	0,85	0,00	3,58
Mz18sMaPM2,5a61	24,23	15,75	5,07	8,48	2,20	0,85	0,06	0,01	0,78	7,62	1,27	0,04	6,31
Mz18sMaPM2,5a62	21,22	19,13	6,96	9,90	2,27	0	0,00	0,00	0,00	2,09	0,01	0,00	2,08
Mz18sMaPM2,5a63	23,74	19,24	6,08	10,72	2,44	0,88	0,14	0,04	0,70	3,61	0,82	0,06	2,73
Mz18sMaPM2,5a64	21,70	19,1	6,83	9,98	2,29	0	0,00	0,00	0,00	2,59	0,10	0,00	2,49
Mz18sMaPM2,5a65	20,5	16,64	5,31	9,23	2,10	0	0,00	0,00	0,00	3,85	1,01	0,00	2,84
Mz18sMaPM2,5a66	21,58	15,57	5,34	8,33	1,90	2,33	0,29	0,01	2,03	3,66	0,93	0,05	2,68
Mz18sMaPM2,5a67	24,13	18,36	6,43	9,71	2,22	0,54	0,03	0,00	0,51	5,21	0,45	0,00	4,76
Mz18sMaPM2,5a68	22,61	20,8	7,46	10,85	2,49	0	0,00	0,00	0,00	1,81	0,20	0,00	1,61
Mz18sMaPM2,5a69	23,86	22,35	5,23	13,93	3,19	0	0,00	0,00	0,00	1,52	0,03	0,00	1,49

Kod obszaru przekroczeń	Stężenie całkowite PM2,5 rok	Szacunkowy poziom	Szacunkowy poziom tła regionalnego źródła transgraniczne	Szacunkowy poziom tła regionalnego	Szacunkowy poziom tła regionalnego źródła inne (napływ z)	Przyrost tła miejskiego ogółem	Przyrost tła miejskiego transport drogowy	Przyrost tła miejskiego przemysł oraz produkcja ciepła	Przyrost tła o wymiarskiego sektora	Lokalny przyrost stężeń ogółem	Lokalny przyrost stężeń transport	Lokalny przyrost stężeń przemysł i produkcja ciepła i	Lokalny przyrost stężeń sektora handlowy
	[µg/m ³]	[µg/m ³]	[µg/m ³]	[µg/m ³]	[µg/m ³]	[µg/m ³]	[µg/m ³]	[µg/m ³]	[µg/m ³]	[µg/m ³]	[µg/m ³]	[µg/m ³]	[µg/m ³]
Nie dotyczy													
Mz18sMaPM2,5a70	20,50	17,75	5,44	10,03	2,28	0	0,00	0,00	0,00	2,76	0,26	0,00	2,50
Mz18sMaPM2,5a71	23,86	17,53	5,82	9,53	2,18	1,56	0,09	0,05	1,42	4,78	0,64	0,00	4,14
Mz18sMaPM2,5a72	22,71	21,03	7,12	11,32	2,59	0	0,00	0,00	0,00	1,67	0,09	0,00	1,58
Mz18sMaPM2,5a73	22,33	18,5	8,08	8,47	1,95	0	0,00	0,00	0,00	3,83	0,37	0,00	3,46
Mz18sMaPM2,5a74	21,17	19,46	7,94	9,37	2,15	0	0,00	0,00	0,00	1,7	0,09	0,00	1,61
Mz18sMaPM2,5a75	23,25	18,74	5,91	10,45	2,38	0,44	0,18	0,00	0,26	4,07	1,47	0,01	2,59
Mz18sMaPM2,5a76	21,26	18,3	7,41	8,86	2,03	0	0,00	0,00	0,00	2,95	0,07	0,00	2,88
Mz18sMaPM2,5a77	23,52	15,2	4,99	7,61	2,60	1,66	0,10	0,00	1,56	6,67	0,73	0,02	5,92
Mz18sMaPM2,5a78	24,63	19,19	5,05	11,53	2,61	0,57	0,04	0,04	0,49	4,88	0,33	0,00	4,55
Mz18sMaPM2,5a79	23,64	21,97	5,23	13,55	3,19	0	0,00	0,00	0,00	1,67	0,01	0,00	1,66
Mz18sMaPM2,5a80	21,70	19,55	6,62	10,53	2,40	0,07	0,01	0,00	0,06	2,06	0,44	0,00	1,62
Mz18sMaPM2,5a81	22,56	15,63	5,74	8,05	1,84	1,25	0,12	0,02	1,11	5,69	1,27	0,01	4,41
Mz18sMaPM2,5a82	22,79	17,1	7,09	8,13	1,88	1,06	0,45	0,00	0,61	4,64	2,01	0,11	2,52
Mz18sMaPM2,5a83	21,91	14,05	5,43	7,01	1,61	2,37	0,17	0,49	1,71	5,47	1,03	0,00	4,44
Mz18sMaPM2,5a84	21,79	20,27	7,37	10,49	2,41	0	0,00	0,00	0,00	1,53	0,01	0,00	1,52
Mz18sMaPM2,5a85	23,54	21,73	7,84	11,30	2,59	0	0,00	0,00	0,00	1,8	0,05	0,02	1,73
Mz18sMaPM2,5a86	20,08	17,08	5,47	7,23	4,38	0	0,00	0,00	0,00	3,01	0,21	0,00	2,80
Mz18sMaPM2,5a87	21,86	19,59	6,82	10,39	2,38	0	0,00	0,00	0,00	2,27	0,09	0,00	2,18
Mz18sMaPM2,5a88	22,06	20,4	6,25	11,53	2,62	0	0,00	0,00	0,00	1,65	0,05	0,00	1,60
Mz18sMaPM2,5a89	23,12	19,32	6,80	10,19	2,33	0,02	0,00	0,00	0,02	3,78	0,46	0,00	3,32
Mz18sMaPM2,5a90	22,21	18,96	6,17	10,42	2,37	0	0,00	0,00	0,00	3,26	0,52	0,03	2,71
Mz18sMaPM2,5a91	20,95	18,91	6,70	9,94	2,27	0	0,00	0,00	0,00	2,04	0,04	0,01	1,99
Mz18sMaPM2,5a92	22,09	16,82	6,66	8,26	1,90	2,32	0,41	0,00	1,91	2,95	0,83	0,03	2,09
Mz18sMaPM2,5a93	20,5	16,81	5,46	7,12	4,23	0	0,00	0,00	0,00	3,68	0,59	0,00	3,09

Kod obszaru przekroczeń	Stężenie całkowite PM2,5 rok	Szacunkowy poziom	Szacunkowy poziom tła regionalnego źródła transgraniczne	Szacunkowy poziom tła regionalnego	Szacunkowy poziom tła regionalnego źródła inne (napływ z)	Przyrost tła miejskiego ogółem	Przyrost tła miejskiego transport drogowy	Przyrost tła miejskiego przemysł oraz produkcja ciepła	Przyrost tła powymiejskiego sektor	Lokalny przyrost stężeń ogółem	Lokalny przyrost stężeń transport	Lokalny przyrost stężeń przemysł oraz produkcja ciepła i	Lokalny przyrost stężeń sektor handlowy
	[µg/m ³]	[µg/m ³]	[µg/m ³]	[µg/m ³]	[µg/m ³]	[µg/m ³]	[µg/m ³]	[µg/m ³]	[µg/m ³]	[µg/m ³]	[µg/m ³]	[µg/m ³]	[µg/m ³]
Nie dotyczy													
Mz18sMaPM2,5a94	22,31	19,74	7,36	10,07	2,31	0	0,00	0,00	0,00	2,57	0,25	0,00	2,32
Mz18sMaPM2,5a95	23,16	17,17	8,32	7,19	1,66	3,02	0,54	0,00	2,48	2,98	0,68	0,10	2,20
Mz18sMaPM2,5a96	23,79	14,51	4,93	7,26	2,32	2,82	0,29	0,01	2,52	6,47	0,78	0,10	5,59
Mz18sMaPM2,5a97	21,36	19,82	7,40	10,11	2,31	0	0,00	0,00	0,00	1,55	0,05	0,00	1,50
Mz18sMaPM2,5a98	20,5	17,04	5,77	9,18	2,09	0	0,00	0,00	0,00	3,45	0,59	0,00	2,86
Mz18sMaPM2,5a99	20,5	16,72	6,82	8,05	1,85	0	0,00	0,00	0,00	3,79	0,60	0,01	3,18
Mz18sMaPM2,5aA0	23,25	21,9	5,75	13,17	2,98	0	0,00	0,00	0,00	1,36	0,01	0,00	1,35
Mz18sMaPM2,5aA1	21,65	19,97	6,49	10,98	2,50	0	0,00	0,00	0,00	1,68	0,03	0,00	1,65
Mz18sMaPM2,5aA2	21,38	13,91	5,18	7,10	1,63	5,49	0,45	0,05	4,99	1,97	0,10	0,00	1,87
Mz18sMaPM2,5aA3	20,5	15,38	6,53	7,20	1,65	1,02	0,18	0,00	0,84	4,09	0,33	0,00	3,76
Mz18sMaPM2,5aA4	20,84	19,18	5,16	11,02	3,00	0	0,00	0,00	0,00	1,67	0,01	0,00	1,66

Tabela 151 Wielkości stężeń benzo(a)pirenu [ng/m³] z poszczególnych źródeł w maksymalnych stężeniach na obszarach średniorocznych przekroczeń poziomu docelowego w strefie mazowieckiej w 2018 roku

Kod obszaru przekroczeń	Stężenie całkowite B(a)P	Szacunkowy poziom tła	Szacunkowy poziom tła regionalnego źródła	Szacunkowy poziom tła	Szacunkowy poziom tła regionalnego źródła inne (napływ z terenu województwa)	Lokalny przyrost stężeń	Lokalny przyrost stężeń transport drogowy	Lokalny przyrost stężeń przemysł oraz produkcja ciepła i energii elektrycznej	Lokalny przyrost stężeń sektor handlowy i
	[ng/m ³]	[ng/m ³]	[ng/m ³]	[ng/m ³]	[ng/m ³]	[ng/m ³]	[ng/m ³]	[ng/m ³]	[ng/m ³]
Nie dotyczy									
Mz18sMaB(a)Pa01	4,065	1,153	0,009	0,038	1,106	2,912	0,006	0,010	2,896
Mz18sMaB(a)Pa02	2,529	0,712	0,006	0,023	0,683	1,817	0,002	0,009	1,806
Mz18sMaB(a)Pa03	2,361	0,72	0,006	0,022	0,692	1,642	0,003	0,013	1,626
Mz18sMaB(a)Pa04	3,182	1,041	0,008	0,032	1,001	2,141	0,005	0,023	2,113
Mz18sMaB(a)Pa05	1,977	0,684	0,005	0,021	0,658	1,292	0,001	0,008	1,283
Mz18sMaB(a)Pa06	2,742	1,263	0,009	0,038	1,216	1,478	0,001	0,009	1,468
Mz18sMaB(a)Pa07	2,524	0,844	0,006	0,025	0,813	1,679	0,002	0,011	1,666
Mz18sMaB(a)Pa08	2,688	1,192	0,014	0,055	1,123	1,497	0,001	0,011	1,485
Mz18sMaB(a)Pa09	2,457	1,187	0,009	0,036	1,142	1,27	0,001	0,009	1,260
Mz18sMaB(a)Pa10	3,501	1,469	0,012	0,046	1,411	2,032	0,002	0,023	2,007
Mz18sMaB(a)Pa11	3,398	0,778	0,006	0,024	0,748	2,62	0,005	0,016	2,599
Mz18sMaB(a)Pa12	2,209	1,029	0,008	0,032	0,989	1,18	0,002	0,022	1,156
Mz18sMaB(a)Pa13	2,366	1,156	0,009	0,035	1,112	1,21	0,001	0,007	1,202
Mz18sMaB(a)Pa14	2,785	0,964	0,008	0,031	0,925	1,821	0,002	0,008	1,811
Mz18sMaB(a)Pa15	2,283	0,723	0,007	0,027	0,689	1,56	0,005	0,006	1,549
Mz18sMaB(a)Pa16	3,578	1,205	0,009	0,037	1,159	2,371	0,004	0,031	2,336
Mz18sMaB(a)Pa17	2,441	0,528	0,006	0,025	0,497	1,914	0,003	0,007	1,904
Mz18sMaB(a)Pa18	2,628	0,77	0,006	0,024	0,740	1,857	0,004	0,008	1,845
Mz18sMaB(a)Pa19	2,553	0,902	0,007	0,029	0,866	1,65	0,003	0,012	1,635
Mz18sMaB(a)Pa20	2,169	0,761	0,009	0,036	0,716	1,409	0,002	0,005	1,402
Mz18sMaB(a)Pa21	3,361	0,606	0,007	0,027	0,572	2,754	0,007	0,006	2,741
Mz18sMaB(a)Pa22	2,161	0,545	0,006	0,023	0,516	1,616	0,002	0,005	1,609
Mz18sMaB(a)Pa23	3,158	0,946	0,008	0,031	0,907	2,212	0,002	0,010	2,200
Mz18sMaB(a)Pa24	2,467	0,833	0,010	0,041	0,782	1,634	0,004	0,004	1,626
Mz18sMaB(a)Pa25	2,626	0,659	0,005	0,021	0,633	1,967	0,002	0,007	1,958
Mz18sMaB(a)Pa26	2,865	0,88	0,007	0,027	0,846	1,985	0,005	0,020	1,960
Mz18sMaB(a)Pa27	3,197	1,397	0,011	0,044	1,342	1,8	0,003	0,007	1,790
Mz18sMaB(a)Pa28	1,708	0,83	0,006	0,025	0,799	0,878	0,001	0,007	0,870
Mz18sMaB(a)Pa29	3,545	0,925	0,007	0,029	0,889	2,619	0,012	0,024	2,583
Mz18sMaB(a)Pa30	3,156	1,072	0,009	0,034	1,029	2,085	0,002	0,010	2,073
Mz18sMaB(a)Pa31	2,355	0,503	0,006	0,023	0,474	1,853	0,003	0,005	1,845
Mz18sMaB(a)Pa32	2,664	0,815	0,006	0,026	0,783	1,848	0,005	0,009	1,834
Mz18sMaB(a)Pa33	1,873	0,944	0,007	0,029	0,908	0,929	0,001	0,006	0,922
Mz18sMaB(a)Pa34	2,266	0,897	0,007	0,028	0,862	1,369	0,002	0,012	1,355
Mz18sMaB(a)Pa35	2,282	0,492	0,005	0,022	0,465	1,791	0,002	0,005	1,784
Mz18sMaB(a)Pa36	2,688	0,642	0,007	0,029	0,606	2,045	0,003	0,006	2,036

Kod obszaru przekroczeń	Stężenie całkowite B(a)P	Szacunkowy poziom tła	Szacunkowy poziom tła regionalnego źródła	Szacunkowy poziom tła	Szacunkowy poziom tła regionalnego źródła inne (napływ z terenu województwa)	Lokalny przyrost stężeń	Lokalny przyrost stężeń transport drogowy	Lokalny przyrost stężeń przemysł oraz produkcja ciepła i energii elektrycznej	Lokalny przyrost stężeń sektor handlowy i
	[ng/m ³]	[ng/m ³]	[ng/m ³]	[ng/m ³]	[ng/m ³]	[ng/m ³]	[ng/m ³]	[ng/m ³]	[ng/m ³]
Nie dotyczy									
Mz18sMaB(a)Pa37	3,867	1,299	0,010	0,041	1,248	2,568	0,004	0,011	2,553
Mz18sMaB(a)Pa38	2,774	1,124	0,009	0,035	1,080	1,65	0,003	0,012	1,635
Mz18sMaB(a)Pa39	1,966	0,783	0,010	0,039	0,734	1,184	0,002	0,004	1,178
Mz18sMaB(a)Pa40	2,159	1,119	0,009	0,035	1,075	1,04	0,001	0,006	1,033
Mz18sMaB(a)Pa41	1,845	0,897	0,007	0,027	0,863	0,948	0,001	0,007	0,940
Mz18sMaB(a)Pa42	2,034	0,718	0,008	0,031	0,679	1,315	0,001	0,006	1,308
Mz18sMaB(a)Pa43	1,918	0,901	0,008	0,031	0,862	1,018	0,001	0,008	1,009
Mz18sMaB(a)Pa44	1,884	0,639	0,005	0,020	0,614	1,244	0,001	0,009	1,234
Mz18sMaB(a)Pa45	2,465	1,066	0,009	0,035	1,022	1,4	0,003	0,012	1,385
Mz18sMaB(a)Pa46	4,426	1,159	0,009	0,038	1,112	3,266	0,004	0,017	3,245
Mz18sMaB(a)Pa47	1,935	0,805	0,007	0,026	0,772	1,13	0,001	0,007	1,122
Mz18sMaB(a)Pa48	2,242	1,293	0,011	0,043	1,239	0,948	0,001	0,006	0,941
Mz18sMaB(a)Pa49	4,098	1,1	0,009	0,034	1,057	2,998	0,005	0,014	2,979
Mz18sMaB(a)Pa50	2,294	0,819	0,007	0,027	0,785	1,475	0,002	0,013	1,460
Mz18sMaB(a)Pa51	1,888	0,744	0,007	0,027	0,710	1,144	0,001	0,007	1,136
Mz18sMaB(a)Pa52	2,105	0,809	0,006	0,025	0,778	1,296	0,003	0,006	1,287
Mz18sMaB(a)Pa53	1,832	0,71	0,008	0,033	0,669	1,121	0,001	0,005	1,115
Mz18sMaB(a)Pa54	2,601	0,748	0,008	0,034	0,706	1,853	0,002	0,008	1,843
Mz18sMaB(a)Pa55	1,950	1,108	0,008	0,034	1,066	0,842	0,001	0,006	0,835
Mz18sMaB(a)Pa56	2,316	0,65	0,005	0,021	0,624	1,667	0,006	0,016	1,645
Mz18sMaB(a)Pa57	1,862	0,82	0,010	0,041	0,769	1,043	0,001	0,004	1,038
Mz18sMaB(a)Pa58	2,116	0,79	0,006	0,025	0,759	1,325	0,002	0,007	1,316
Mz18sMaB(a)Pa59	2,527	1,083	0,008	0,034	1,041	1,443	0,002	0,022	1,419
Mz18sMaB(a)Pa60	2,028	0,874	0,007	0,026	0,841	1,154	0,002	0,006	1,146
Mz18sMaB(a)Pa61	2,487	0,987	0,011	0,044	0,932	1,5	0,002	0,027	1,471
Mz18sMaB(a)Pa62	1,996	0,803	0,007	0,027	0,769	1,193	0,001	0,006	1,186
Mz18sMaB(a)Pa63	2,063	0,91	0,008	0,032	0,870	1,152	0,001	0,007	1,144
Mz18sMaB(a)Pa64	1,800	0,893	0,012	0,046	0,835	0,908	0,001	0,004	0,903
Mz18sMaB(a)Pa65	1,827	1,01	0,008	0,030	0,972	0,817	0,001	0,006	0,810
Mz18sMaB(a)Pa66	1,952	1,093	0,009	0,034	1,050	0,859	0,001	0,006	0,852
Mz18sMaB(a)Pa67	4,542	1,798	0,015	0,058	1,725	2,743	0,006	0,125	2,612
Mz18sMaB(a)Pa68	3,065	0,831	0,008	0,031	0,792	2,234	0,005	0,007	2,222
Mz18sMaB(a)Pa69	1,779	0,614	0,005	0,018	0,591	1,164	0,002	0,007	1,155
Mz18sMaB(a)Pa70	3,394	0,98	0,008	0,031	0,941	2,415	0,009	0,018	2,388
Mz18sMaB(a)Pa71	2,514	1,124	0,010	0,040	1,074	1,39	0,001	0,020	1,369
Mz18sMaB(a)Pa72	3,087	1,499	0,013	0,052	1,434	1,588	0,002	0,013	1,573
Mz18sMaB(a)Pa73	2,696	0,958	0,008	0,030	0,920	1,739	0,002	0,007	1,730
Mz18sMaB(a)Pa74	1,955	0,783	0,007	0,029	0,747	1,172	0,001	0,007	1,164
Mz18sMaB(a)Pa75	3,152	1,29	0,010	0,039	1,241	1,862	0,005	0,012	1,845
Mz18sMaB(a)Pa76	3,984	1,559	0,015	0,059	1,485	2,426	0,002	0,015	2,409

Kod obszaru przekroczeń	Stężenie całkowite B(a)P	Szacunkowy poziom tła	Szacunkowy poziom tła regionalnego źródła	Szacunkowy poziom tła	Szacunkowy poziom tła regionalnego źródła inne (napływ z terenu województwa)	Lokalny przyrost stężeń	Lokalny przyrost stężeń transport drogowy	Lokalny przyrost stężeń przemysł oraz produkcja ciepła i energii elektrycznej	Lokalny przyrost stężeń sektor handlowy i
	[ng/m ³]	[ng/m ³]	[ng/m ³]	[ng/m ³]	[ng/m ³]	[ng/m ³]	[ng/m ³]	[ng/m ³]	[ng/m ³]
Nie dotyczy									
Mz18sMaB(a)Pa77	4,082	1,455	0,011	0,046	1,398	2,628	0,004	0,021	2,603
Mz18sMaB(a)Pa78	3,658	0,927	0,007	0,029	0,891	2,731	0,010	0,020	2,701
Mz18sMaB(a)Pa79	2,437	1,04	0,008	0,032	1,000	1,396	0,004	0,018	1,374
Mz18sMaB(a)Pa80	2,254	0,923	0,007	0,029	0,887	1,33	0,002	0,011	1,317
Mz18sMaB(a)Pa81	3,703	1,228	0,010	0,039	1,179	2,475	0,003	0,027	2,445
Mz18sMaB(a)Pa82	1,853	0,769	0,006	0,025	0,738	1,083	0,001	0,006	1,076
Mz18sMaB(a)Pa83	1,953	0,684	0,007	0,028	0,649	1,27	0,002	0,003	1,265
Mz18sMaB(a)Pa84	1,859	0,784	0,006	0,024	0,754	1,075	0,002	0,008	1,065
Mz18sMaB(a)Pa85	3,082	0,798	0,006	0,026	0,766	2,284	0,003	0,011	2,270
Mz18sMaB(a)Pa86	2,175	0,77	0,006	0,023	0,741	1,404	0,003	0,010	1,391
Mz18sMaB(a)Pa87	3,258	1,256	0,009	0,037	1,210	2,002	0,003	0,009	1,990
Mz18sMaB(a)Pa88	3,163	1,238	0,010	0,040	1,188	1,924	0,003	0,086	1,835
Mz18sMaB(a)Pa89	1,928	0,667	0,005	0,021	0,641	1,261	0,002	0,010	1,249
Mz18sMaB(a)Pa90	4,377	1,562	0,012	0,049	1,501	2,814	0,006	0,007	2,801
Mz18sMaB(a)Pa91	2,658	1,02	0,008	0,031	0,981	1,639	0,004	0,010	1,625
Mz18sMaB(a)Pa92	2,665	1,136	0,010	0,042	1,084	1,528	0,002	0,009	1,517
Mz18sMaB(a)Pa93	2,303	0,994	0,007	0,029	0,958	1,308	0,002	0,007	1,299
Mz18sMaB(a)Pa94	3,428	1,433	0,011	0,043	1,379	1,995	0,003	0,010	1,982
Mz18sMaB(a)Pa95	1,969	0,823	0,006	0,026	0,791	1,145	0,002	0,008	1,135
Mz18sMaB(a)Pa96	3,057	1,283	0,011	0,043	1,229	1,773	0,003	0,013	1,757
Mz18sMaB(a)Pa97	3,596	0,904	0,007	0,028	0,869	2,693	0,005	0,016	2,672
Mz18sMaB(a)Pa98	1,716	0,708	0,006	0,024	0,678	1,008	0,002	0,005	1,001
Mz18sMaB(a)Pa99	2,713	0,654	0,005	0,021	0,628	2,059	0,003	0,008	2,048
Mz18sMaB(a)PaA0	4,208	1,301	0,010	0,041	1,250	2,907	0,007	0,017	2,883
Mz18sMaB(a)PaA1	3,283	1,612	0,014	0,056	1,542	1,672	0,002	0,117	1,553
Mz18sMaB(a)PaA2	4,125	1,528	0,019	0,076	1,433	2,597	0,006	0,007	2,584
Mz18sMaB(a)PaA3	2,265	1,013	0,008	0,031	0,974	1,252	0,002	0,012	1,238
Mz18sMaB(a)PaA4	2,525	1,005	0,009	0,036	0,960	1,52	0,002	0,009	1,509
Mz18sMaB(a)PaA5	2,953	1,281	0,010	0,041	1,230	1,672	0,002	0,097	1,573
Mz18sMaB(a)PaA6	3,230	1,413	0,016	0,065	1,332	1,817	0,001	0,014	1,802
Mz18sMaB(a)PaA7	1,861	0,723	0,009	0,035	0,679	1,139	0,002	0,005	1,132
Mz18sMaB(a)PaA8	1,709	0,988	0,008	0,030	0,950	0,721	0,001	0,005	0,715
Mz18sMaB(a)PaA9	2,156	0,571	0,005	0,019	0,547	1,586	0,002	0,008	1,576
Mz18sMaB(a)PaB0	3,090	0,995	0,008	0,033	0,954	2,095	0,004	0,007	2,084
Mz18sMaB(a)PaB1	1,674	0,736	0,005	0,022	0,709	0,937	0,001	0,006	0,930
Mz18sMaB(a)PaB2	3,958	1,467	0,013	0,052	1,402	2,491	0,004	0,050	2,437
Mz18sMaB(a)PaB3	3,233	1,086	0,010	0,041	1,035	2,146	0,003	0,006	2,137
Mz18sMaB(a)PaB4	2,058	0,63	0,005	0,020	0,605	1,426	0,003	0,010	1,413
Mz18sMaB(a)PaB5	5,214	1,361	0,010	0,042	1,309	3,853	0,005	0,021	3,827
Mz18sMaB(a)PaB6	3,440	0,932	0,008	0,031	0,893	2,508	0,004	0,011	2,493

Kod obszaru przekroczeń	Stężenie całkowite B(a)P	Szacunkowy poziom tła	Szacunkowy poziom tła regionalnego źródła	Szacunkowy poziom tła	Szacunkowy poziom tła regionalnego źródła inne (napływ z terenu województwa)	Lokalny przyrost stężeń	Lokalny przyrost stężeń transport drogowy	Lokalny przyrost stężeń przemysł oraz produkcja ciepła i energii elektrycznej	Lokalny przyrost stężeń sektor handlowy i
	[ng/m ³]	[ng/m ³]	[ng/m ³]	[ng/m ³]	[ng/m ³]	[ng/m ³]	[ng/m ³]	[ng/m ³]	[ng/m ³]
Nie dotyczy									
Mz18sMaB(a)PaB7	2,398	1,095	0,011	0,044	1,040	1,305	0,002	0,020	1,283
Mz18sMaB(a)PaB8	2,259	0,7	0,006	0,022	0,672	1,56	0,003	0,014	1,543
Mz18sMaB(a)PaB9	1,840	0,796	0,007	0,030	0,759	1,043	0,001	0,005	1,037
Mz18sMaB(a)PaC0	1,968	0,918	0,009	0,035	0,874	1,051	0,001	0,012	1,038
Mz18sMaB(a)PaC1	2,015	0,958	0,007	0,028	0,923	1,056	0,001	0,007	1,048
Mz18sMaB(a)PaC2	2,098	0,969	0,008	0,033	0,928	1,129	0,001	0,007	1,121
Mz18sMaB(a)PaC3	2,480	0,638	0,005	0,021	0,612	1,842	0,005	0,007	1,830
Mz18sMaB(a)PaC4	2,628	0,987	0,012	0,048	0,927	1,64	0,002	0,006	1,632
Mz18sMaB(a)PaC5	2,443	1,246	0,010	0,038	1,198	1,197	0,001	0,022	1,174
Mz18sMaB(a)PaC6	4,777	1,633	0,013	0,052	1,568	3,143	0,004	0,015	3,124
Mz18sMaB(a)PaC7	2,373	1,177	0,015	0,061	1,101	1,196	0,001	0,005	1,190
Mz18sMaB(a)PaC8	3,020	0,999	0,008	0,033	0,958	2,021	0,004	0,007	2,010
Mz18sMaB(a)PaC9	2,799	1,282	0,010	0,039	1,233	1,517	0,002	0,019	1,496
Mz18sMaB(a)PaD0	1,925	0,811	0,007	0,027	0,777	1,114	0,002	0,008	1,104
Mz18sMaB(a)PaD1	3,551	1,265	0,010	0,041	1,214	2,285	0,003	0,017	2,265
Mz18sMaB(a)PaD2	3,934	1,301	0,010	0,040	1,251	2,632	0,006	0,033	2,593
Mz18sMaB(a)PaD3	2,765	0,816	0,006	0,026	0,784	1,948	0,003	0,008	1,937
Mz18sMaB(a)PaD4	3,195	1,568	0,012	0,048	1,508	1,627	0,001	0,009	1,617
Mz18sMaB(a)PaD5	5,150	1,57	0,013	0,051	1,506	3,58	0,008	0,013	3,559
Mz18sMaB(a)PaD6	3,355	0,996	0,008	0,031	0,957	2,359	0,004	0,013	2,342
Mz18sMaB(a)PaD7	2,561	1,555	0,015	0,059	1,481	1,007	0,001	0,009	0,997
Mz18sMaB(a)PaD8	2,115	0,977	0,009	0,037	0,931	1,137	0,002	0,005	1,130
Mz18sMaB(a)PaD9	2,279	1,068	0,008	0,032	1,028	1,212	0,002	0,010	1,200
Mz18sMaB(a)PaE0	2,397	1,228	0,012	0,047	1,169	1,169	0,001	0,005	1,163
Mz18sMaB(a)PaE1	2,192	0,878	0,007	0,029	0,842	1,314	0,004	0,006	1,304
Mz18sMaB(a)PaE2	2,074	0,961	0,008	0,030	0,923	1,113	0,004	0,007	1,102
Mz18sMaB(a)PaE3	2,316	1,028	0,008	0,032	0,988	1,289	0,002	0,016	1,271
Mz18sMaB(a)PaE4	1,834	0,802	0,010	0,039	0,753	1,032	0,001	0,004	1,027
Mz18sMaB(a)PaE5	2,229	1,175	0,009	0,036	1,130	1,053	0,001	0,017	1,035
Mz18sMaB(a)PaE6	3,057	1,517	0,020	0,080	1,417	1,54	0,002	0,017	1,521
Mz18sMaB(a)PaE7	1,783	0,772	0,006	0,025	0,741	1,011	0,001	0,006	1,004
Mz18sMaB(a)PaE8	2,664	1,174	0,009	0,036	1,129	1,49	0,003	0,013	1,474
Mz18sMaB(a)PaE9	1,784	0,871	0,006	0,026	0,839	0,913	0,001	0,008	0,904
Mz18sMaB(a)PaF0	4,467	1,211	0,009	0,037	1,165	3,255	0,012	0,031	3,212
Mz18sMaB(a)PaF1	1,885	0,642	0,005	0,019	0,618	1,242	0,002	0,007	1,233
Mz18sMaB(a)PaF2	2,146	1,199	0,010	0,040	1,149	0,946	0,001	0,010	0,935
Mz18sMaB(a)PaF3	2,644	1,07	0,008	0,033	1,029	1,575	0,005	0,009	1,561
Mz18sMaB(a)PaF4	2,908	1,036	0,011	0,046	0,979	1,87	0,003	0,025	1,842
Mz18sMaB(a)PaF5	4,064	1,961	0,019	0,077	1,865	2,103	0,002	0,009	2,092
Mz18sMaB(a)PaF6	2,500	0,809	0,006	0,026	0,777	1,691	0,005	0,008	1,678

Kod obszaru przekroczeń	Stężenie całkowite B(a)P	Szacunkowy poziom tła	Szacunkowy poziom tła regionalnego źródła	Szacunkowy poziom tła	Szacunkowy poziom tła regionalnego źródła inne (napływ z terenu województwa)	Lokalny przyrost stężeń	Lokalny przyrost stężeń transport drogowy	Lokalny przyrost stężeń przemysł oraz produkcja ciepła i energii elektrycznej	Lokalny przyrost stężeń sektor handlowy i
	[ng/m ³]	[ng/m ³]	[ng/m ³]	[ng/m ³]	[ng/m ³]	[ng/m ³]	[ng/m ³]	[ng/m ³]	[ng/m ³]
Nie dotyczy									
Mz18sMaB(a)PaF7	1,948	0,532	0,006	0,024	0,502	1,415	0,002	0,004	1,409
Mz18sMaB(a)PaF8	2,352	1,167	0,010	0,040	1,117	1,185	0,002	0,008	1,175
Mz18sMaB(a)PaF9	3,549	1,746	0,013	0,054	1,679	1,802	0,002	0,033	1,767
Mz18sMaB(a)PaG0	2,294	1,072	0,009	0,036	1,027	1,222	0,002	0,008	1,212
Mz18sMaB(a)PaG1	2,393	1,095	0,011	0,044	1,040	1,298	0,001	0,017	1,280
Mz18sMaB(a)PaG2	1,852	0,938	0,007	0,028	0,903	0,913	0,002	0,006	0,905
Mz18sMaB(a)PaG3	2,091	0,707	0,006	0,024	0,677	1,384	0,002	0,015	1,367
Mz18sMaB(a)PaG4	1,934	0,726	0,006	0,026	0,694	1,208	0,002	0,008	1,198
Mz18sMaB(a)PaG5	2,949	1,107	0,009	0,034	1,064	1,843	0,004	0,016	1,823
Mz18sMaB(a)PaG6	2,196	0,874	0,008	0,032	0,834	1,322	0,003	0,007	1,312
Mz18sMaB(a)PaG7	1,746	0,872	0,007	0,028	0,837	0,874	0,001	0,008	0,865
Mz18sMaB(a)PaG8	1,755	0,691	0,006	0,022	0,663	1,063	0,001	0,006	1,056
Mz18sMaB(a)PaG9	2,138	1,04	0,010	0,038	0,992	1,098	0,002	0,048	1,048
Mz18sMaB(a)PaH0	2,809	1,363	0,011	0,043	1,309	1,445	0,007	0,009	1,429
Mz18sMaB(a)PaH1	2,646	1,023	0,008	0,034	0,981	1,623	0,006	0,007	1,610
Mz18sMaB(a)PaH2	1,821	0,536	0,004	0,017	0,515	1,286	0,005	0,014	1,267
Mz18sMaB(a)PaH3	3,149	1,789	0,015	0,060	1,714	1,358	0,001	0,014	1,343
Mz18sMaB(a)PaH4	3,069	0,948	0,007	0,029	0,912	2,12	0,008	0,015	2,097
Mz18sMaB(a)PaH5	1,796	0,861	0,007	0,027	0,827	0,934	0,001	0,006	0,927
Mz18sMaB(a)PaH6	2,766	1,266	0,010	0,039	1,217	1,5	0,002	0,011	1,487
Mz18sMaB(a)PaH7	1,904	0,946	0,008	0,032	0,906	0,96	0,001	0,012	0,947
Mz18sMaB(a)PaH8	2,373	1,092	0,009	0,037	1,046	1,281	0,001	0,008	1,272
Mz18sMaB(a)PaH9	2,290	0,687	0,005	0,022	0,660	1,603	0,003	0,007	1,593
Mz18sMaB(a)PaI0	1,773	0,685	0,006	0,025	0,654	1,088	0,001	0,006	1,081
Mz18sMaB(a)PaI1	1,872	1,052	0,010	0,040	1,002	0,821	0,001	0,008	0,812
Mz18sMaB(a)PaI2	3,041	1,441	0,013	0,053	1,375	1,598	0,003	0,010	1,585
Mz18sMaB(a)PaI3	2,083	1,281	0,013	0,052	1,216	0,802	0,001	0,005	0,796
Mz18sMaB(a)PaI4	1,833	0,841	0,006	0,026	0,809	0,992	0,001	0,007	0,984
Mz18sMaB(a)PaI5	1,775	0,742	0,006	0,024	0,712	1,032	0,002	0,006	1,024
Mz18sMaB(a)PaI6	2,404	1,228	0,013	0,051	1,164	1,176	0,001	0,005	1,170
Mz18sMaB(a)PaI7	2,145	0,852	0,008	0,030	0,814	1,293	0,002	0,007	1,284
Mz18sMaB(a)PaI8	1,808	0,845	0,008	0,031	0,806	0,962	0,001	0,006	0,955
Mz18sMaB(a)PaI9	2,422	0,786	0,007	0,030	0,749	1,636	0,004	0,007	1,625
Mz18sMaB(a)PaJ0	1,845	0,836	0,007	0,028	0,801	1,009	0,002	0,008	0,999
Mz18sMaB(a)PaJ1	2,128	1,192	0,010	0,038	1,144	0,936	0,001	0,009	0,926
Mz18sMaB(a)PaJ2	1,842	0,883	0,009	0,035	0,839	0,959	0,001	0,005	0,953
Mz18sMaB(a)PaJ3	1,838	0,959	0,010	0,039	0,910	0,878	0,001	0,007	0,870
Mz18sMaB(a)PaJ4	2,436	1,268	0,010	0,038	1,220	1,168	0,002	0,008	1,158
Mz18sMaB(a)PaJ5	3,854	1,056	0,008	0,033	1,015	2,798	0,009	0,016	2,773
Mz18sMaB(a)PaJ6	2,457	1,461	0,012	0,048	1,401	0,996	0,002	0,008	0,986

Kod obszaru przekroczeń	Stężenie całkowite B(a)P	Szacunkowy poziom tła	Szacunkowy poziom tła regionalnego źródła	Szacunkowy poziom tła	Szacunkowy poziom tła regionalnego źródła inne (napływ z terenu województwa)	Lokalny przyrost stężeń	Lokalny przyrost stężeń transport drogowy	Lokalny przyrost stężeń przemysł oraz produkcja ciepła i energii elektrycznej	Lokalny przyrost stężeń sektor handlowy i
	[ng/m ³]	[ng/m ³]	[ng/m ³]	[ng/m ³]	[ng/m ³]	[ng/m ³]	[ng/m ³]	[ng/m ³]	[ng/m ³]
Nie dotyczy									
Mz18sMaB(a)PaJ7	1,826	1,014	0,008	0,032	0,974	0,811	0,001	0,007	0,803
Mz18sMaB(a)PaJ8	2,112	0,976	0,008	0,031	0,937	1,136	0,002	0,008	1,126
Mz18sMaB(a)PaJ9	1,687	0,891	0,009	0,035	0,847	0,797	0,001	0,018	0,778
Mz18sMaB(a)PaK0	1,659	0,524	0,004	0,017	0,503	1,136	0,003	0,005	1,128
Mz18sMaB(a)PaK1	1,732	0,871	0,008	0,033	0,830	0,861	0,001	0,004	0,856
Mz18sMaB(a)PaK2	2,175	1,114	0,009	0,037	1,068	1,06	0,001	0,008	1,051
Mz18sMaB(a)PaK3	1,829	0,912	0,009	0,035	0,868	0,918	0,001	0,025	0,892
Mz18sMaB(a)PaK4	1,989	1,008	0,013	0,053	0,942	0,98	0,001	0,005	0,974
Mz18sMaB(a)PaK5	1,947	1,019	0,009	0,035	0,975	0,929	0,001	0,008	0,920
Mz18sMaB(a)PaK6	1,930	0,826	0,007	0,027	0,792	1,104	0,002	0,007	1,095
Mz18sMaB(a)PaK7	1,717	0,773	0,008	0,031	0,734	0,945	0,001	0,007	0,937
Mz18sMaB(a)PaK8	1,756	0,706	0,008	0,034	0,664	1,05	0,001	0,008	1,041
Mz18sMaB(a)PaK9	1,879	0,912	0,008	0,032	0,872	0,967	0,002	0,004	0,961
Mz18sMaB(a)PaL0	1,906	1,131	0,010	0,039	1,082	0,777	0,001	0,007	0,769
Mz18sMaB(a)PaL1	2,135	1,174	0,009	0,037	1,128	0,961	0,002	0,015	0,944
Mz18sMaB(a)PaL2	1,669	0,979	0,011	0,044	0,924	0,69	0,001	0,009	0,680
Mz18sMaB(a)PaL3	1,816	0,788	0,010	0,038	0,740	1,029	0,002	0,005	1,022
Mz18sMaB(a)PaL4	1,641	0,732	0,006	0,023	0,703	0,909	0,001	0,012	0,896
Mz18sMaB(a)PaL5	1,964	0,896	0,008	0,032	0,856	1,068	0,001	0,007	1,060
Mz18sMaB(a)PaL6	1,826	1,22	0,010	0,040	1,170	0,606	0,001	0,006	0,599
Mz18sMaB(a)PaL7	2,209	0,803	0,008	0,031	0,764	1,406	0,001	0,008	1,397
Mz18sMaB(a)PaL8	1,639	0,788	0,006	0,025	0,757	0,851	0,002	0,010	0,839
Mz18sMaB(a)PaL9	1,640	0,886	0,009	0,036	0,841	0,754	0,001	0,006	0,747
Mz18sMaB(a)PaM0	1,820	1,039	0,008	0,032	0,999	0,781	0,001	0,027	0,753
Mz18sMaB(a)PaM1	2,071	1,18	0,010	0,038	1,132	0,891	0,003	0,013	0,875
Mz18sMaB(a)PaM2	2,754	0,588	0,005	0,018	0,565	2,167	0,002	0,007	2,158
Mz18sMaB(a)PaM3	2,060	0,988	0,009	0,036	0,943	1,071	0,001	0,007	1,063
Mz18sMaB(a)PaM4	1,852	0,942	0,010	0,039	0,893	0,911	0,001	0,004	0,906
Mz18sMaB(a)PaM5	1,664	0,932	0,007	0,029	0,896	0,731	0,001	0,005	0,725
Mz18sMaB(a)PaM6	1,544	0,743	0,007	0,030	0,706	0,801	0,001	0,003	0,797
Mz18sMaB(a)PaM7	1,570	0,887	0,007	0,028	0,852	0,683	0,001	0,005	0,677
Mz18sMaB(a)PaM8	2,108	0,774	0,007	0,028	0,739	1,335	0,002	0,008	1,325
Mz18sMaB(a)PaM9	1,711	0,836	0,007	0,030	0,799	0,876	0,001	0,011	0,864
Mz18sMaB(a)PaN0	1,754	0,814	0,007	0,029	0,778	0,94	0,001	0,008	0,931
Mz18sMaB(a)PaN1	1,806	0,979	0,008	0,032	0,939	0,827	0,001	0,006	0,820
Mz18sMaB(a)PaN2	2,125	1,489	0,013	0,054	1,422	0,636	0,001	0,007	0,628
Mz18sMaB(a)PaN3	2,073	1,318	0,012	0,048	1,258	0,755	0,001	0,006	0,748
Mz18sMaB(a)PaN4	1,586	0,723	0,006	0,025	0,692	0,863	0,001	0,005	0,857
Mz18sMaB(a)PaN5	2,143	1,157	0,010	0,038	1,109	0,986	0,002	0,008	0,976
Mz18sMaB(a)PaN6	1,780	0,942	0,007	0,030	0,905	0,837	0,001	0,008	0,828

Kod obszaru przekroczeń	Stężenie całkowite B(a)P	Szacunkowy poziom tła	Szacunkowy poziom tła regionalnego źródła	Szacunkowy poziom tła	Szacunkowy poziom tła regionalnego źródła inne (napływ z terenu województwa)	Lokalny przyrost stężeń	Lokalny przyrost stężeń transport drogowy	Lokalny przyrost stężeń przemysł oraz produkcja ciepła i energii elektrycznej	Lokalny przyrost stężeń sektor handlowy i
	[ng/m ³]	[ng/m ³]	[ng/m ³]	[ng/m ³]	[ng/m ³]	[ng/m ³]	[ng/m ³]	[ng/m ³]	[ng/m ³]
Nie dotyczy									
Mz18sMaB(a)PaN7	1,604	0,771	0,007	0,029	0,735	0,832	0,001	0,006	0,825
Mz18sMaB(a)PaN8	1,581	0,948	0,008	0,032	0,908	0,633	0,001	0,006	0,626
Mz18sMaB(a)PaN9	1,930	1,028	0,011	0,042	0,975	0,901	0,001	0,012	0,888
Mz18sMaB(a)PaO0	1,626	0,882	0,007	0,028	0,847	0,744	0,001	0,006	0,737
Mz18sMaB(a)PaO1	1,909	1,106	0,009	0,035	1,062	0,803	0,001	0,005	0,797
Mz18sMaB(a)PaO2	1,578	0,647	0,005	0,021	0,621	0,931	0,001	0,034	0,896
Mz18sMaB(a)PaO3	1,687	0,918	0,007	0,029	0,882	0,769	0,001	0,007	0,761
Mz18sMaB(a)PaO4	1,817	1,009	0,008	0,032	0,969	0,808	0,001	0,009	0,798
Mz18sMaB(a)PaO5	1,640	0,783	0,006	0,023	0,754	0,856	0,001	0,006	0,849
Mz18sMaB(a)PaO6	1,813	0,811	0,007	0,029	0,775	1,001	0,001	0,007	0,993
Mz18sMaB(a)PaO7	1,672	0,757	0,006	0,025	0,726	0,913	0,001	0,005	0,907
Mz18sMaB(a)PaO8	2,034	1,171	0,009	0,036	1,126	0,864	0,001	0,015	0,848
Mz18sMaB(a)PaO9	1,588	0,84	0,007	0,027	0,806	0,748	0,001	0,004	0,743
Mz18sMaB(a)PaP0	1,571	0,777	0,007	0,029	0,741	0,793	0,001	0,006	0,786
Mz18sMaB(a)PaP1	1,647	0,977	0,008	0,030	0,939	0,67	0,001	0,005	0,664

7.2. Strefa aglomeracja warszawska

Tabela 152 Wielkości stężeń zanieczyszczeń: pyłu zawieszonego PM10 i PM2,5 oraz ditlenku azotu [$\mu\text{g}/\text{m}^3$] z poszczególnych źródeł w maksymalnych stężeniach na obszarach przekroczeń poziomów dopuszczalnych w strefie aglomeracja warszawska w 2018 roku

Kod obszaru przekroczeń	Zanieczyszczenie i uśrednienie	Stężenie całkowite	Szacunkowy poziom tła	Szacunkowy poziom tła	Szacunkowy poziom tła	Szacunkowy poziom tła regionalnego źródła inne (napływ z terenu)	Przyrost tła miejskiego	Przyrost tła miejskiego	Przyrost tła miejskiego przemysł oraz produkcja ciepła i energii	Przyrost tła miejskiego sektor handlowy i mieszkaniowy	Lokalny przyrost stężeń	Lokalny przyrost stężeń	Lokalny przyrost stężeń przemysł oraz produkcja ciepła i energii	Lokalny przyrost stężeń sektor handlowy i mieszkaniowy
Nie dotyczy	Nie dotyczy	[$\mu\text{g}/\text{m}^3$]	[$\mu\text{g}/\text{m}^3$]	[$\mu\text{g}/\text{m}^3$]	[$\mu\text{g}/\text{m}^3$]	[$\mu\text{g}/\text{m}^3$]	[$\mu\text{g}/\text{m}^3$]	[$\mu\text{g}/\text{m}^3$]	[$\mu\text{g}/\text{m}^3$]	[$\mu\text{g}/\text{m}^3$]	[$\mu\text{g}/\text{m}^3$]	[$\mu\text{g}/\text{m}^3$]	[$\mu\text{g}/\text{m}^3$]	[$\mu\text{g}/\text{m}^3$]
Mz18aWaNO2a01	NO ₂ średnia roczna	43,49	10,09	3,80	3,69	2,60	21,24	16,51	1,60	3,13	12,15	11,32	0,12	0,71
Mz18aWaNO2a01	NO ₂ średnia 1 godzinna, 19 wartość maksymalna	127,92	25,46	4,07	6,11	15,28	50,0	37,83	4,31	7,86	52,45	50,44	0,23	1,78
Mz18aWaPM10a01	PM10 średnia roczna	43,85	25,23	6,42	15,35	3,46	11,9	5,88	0,60	5,42	6,71	5,10	0,21	1,40
Mz18aWaPM10d01	PM10 średnia dobowo, 36 wartość maksymalna	78,97	57,95	11,10	38,33	8,52	0,68	0,28	0,01	0,39	20,34	17,03	0,40	2,91
Mz18aWaPM10d02	PM10 średnia dobowo, 36 wartość maksymalna	49,53	20,24	4,91	7,07	8,26	25,62	17,08	0,66	7,88	3,67	1,07	0,00	2,60
Mz18aWaPM10d03	PM10 średnia dobowo, 36 wartość maksymalna	53,57	21,43	5,42	8,91	7,10	20,95	3,05	0,50	17,40	11,2	3,12	0,00	8,08

Kod obszaru przekroczeń	Zanieczyszczenie i uśrednienie	Stężenie całkowite	Szacunkowy poziom tła	Szacunkowy poziom tła	Szacunkowy poziom tła	Szacunkowy poziom tła regionalnego źródła inne (napływ z terenu)	Przyrost tła miejskiego	Przyrost tła miejskiego	Przyrost tła miejskiego przemysł oraz produkcja ciepła i energii	Przyrost tła miejskiego sektor handlowy i mieszkaniowy	Lokalny przyrost stężeń	Lokalny przyrost stężeń	Lokalny przyrost stężeń przemysł oraz produkcja ciepła i energii	Lokalny przyrost stężeń sektor handlowy i mieszkaniowy
Nie dotyczy	Nie dotyczy	[$\mu\text{g}/\text{m}^3$]	[$\mu\text{g}/\text{m}^3$]	[$\mu\text{g}/\text{m}^3$]	[$\mu\text{g}/\text{m}^3$]	[$\mu\text{g}/\text{m}^3$]	[$\mu\text{g}/\text{m}^3$]	[$\mu\text{g}/\text{m}^3$]	[$\mu\text{g}/\text{m}^3$]	[$\mu\text{g}/\text{m}^3$]	[$\mu\text{g}/\text{m}^3$]	[$\mu\text{g}/\text{m}^3$]	[$\mu\text{g}/\text{m}^3$]	[$\mu\text{g}/\text{m}^3$]
Mz18aWaPM10d04	PM10 średnia dobową, 36 wartość maksymalna	50,74	16,18	4,61	6,08	5,49	28,8	1,88	0,09	26,83	5,75	2,70	0,00	3,05
Mz18aWaPM2,5a01	PM2,5 średnia roczna	24,69	15,54	5,02	8,29	2,23	0,44	0,10	0,02	0,32	8,7	3,47	0,33	4,90
Mz18aWaPM2,5a02	PM2,5 średnia roczna	23,13	14,35	4,96	7,64	1,75	4,33	0,33	0,09	3,91	4,45	1,09	0,01	3,35
Mz18aWaPM2,5a03	PM2,5 średnia roczna	22,45	15,14	5,01	8,06	2,07	5,36	0,78	0,11	4,47	1,95	0,91	0,00	1,04

Tabela 153 Wielkości stężeń benzo(a)pirenu [ng/m^3] z poszczególnych źródeł w maksymalnych stężeniach na obszarach średniorocznych przekroczeń poziomu docelowego w strefie aglomeracja warszawska w 2018 roku

Kod obszaru przekroczeń	Stężenie całkowite	Szacunkowy poziom tła regionalnego ogółem	Szacunkowy poziom tła regionalnego źródła transgraniczne	Szacunkowy poziom tła regionalnego źródła krajowe	Szacunkowy poziom tła regionalnego źródła inne (napływ z terenu województwa)	Lokalny przyrost stężeń ogółem	Lokalny przyrost stężeń transport drogowy	Lokalny przyrost stężeń przemysł oraz produkcja ciepła i energii elektrycznej	Lokalny przyrost stężeń sektor handlowy i mieszkaniowy
Nie dotyczy	[ng/m^3]	[ng/m^3]	[ng/m^3]	[ng/m^3]	[ng/m^3]	[ng/m^3]	[ng/m^3]	[ng/m^3]	[ng/m^3]
Mz18aWaB(a)Pa01	4,999	1 493	0,012	0,047	1,434	3,507	0,024	0,032	3,451

7.3. Strefa miasto Płock

Tabela 154 Wielkości stężeń zanieczyszczeń: pyłu zawieszonego PM10 i PM2,5 [$\mu\text{g}/\text{m}^3$] z poszczególnych źródeł w maksymalnych stężeniach na obszarach przekroczeń poziomów dopuszczalnych w strefie miasto Płock w 2018 roku

Kod obszaru przekroczeń	Zanieczyszczenie i uśrednienie	Stężenie całkowite	Szacunkowy poziom tła regionalnego ogółem	Szacunkowy poziom tła regionalnego źródła transgraniczne	Szacunkowy poziom tła regionalnego źródła krajowe	Szacunkowy poziom tła regionalnego źródła inne (napływ z terenu)	Przyrost tła miejskiego ogółem	Przyrost tła miejskiego transport drogowy	Przyrost tła miejskiego przemysł oraz produkcja ciepła	Przyrost tła miejskiego sektor handlowy i mieszkaniowy	Lokalny przyrost stężeń ogółem	Lokalny przyrost stężeń transport drogowy	Lokalny przyrost stężeń przemysł oraz produkcja ciepła	Lokalny przyrost stężeń sektor handlowy i mieszkaniowy
Nie dotyczy	Nie dotyczy	[$\mu\text{g}/\text{m}^3$]	[$\mu\text{g}/\text{m}^3$]	[$\mu\text{g}/\text{m}^3$]	[$\mu\text{g}/\text{m}^3$]	[$\mu\text{g}/\text{m}^3$]	[$\mu\text{g}/\text{m}^3$]	[$\mu\text{g}/\text{m}^3$]	[$\mu\text{g}/\text{m}^3$]	[$\mu\text{g}/\text{m}^3$]	[$\mu\text{g}/\text{m}^3$]	[$\mu\text{g}/\text{m}^3$]	[$\mu\text{g}/\text{m}^3$]	[$\mu\text{g}/\text{m}^3$]
Mz18mPIPM10d01	PM10 średnia dobową, 36 wartość maksymalna	64,44	34,71	4,64	21,99	8,08	3,16	0,70	0,98	1,48	26,59	3,71	0,02	22,86
Mz18mPIPM10d02	PM10 średnia dobową, 36 wartość maksymalna	51,24	33,67	4,34	19,59	9,74	5,74	0,78	0,00	4,96	11,83	1,30	0,00	10,53
Mz18mPIPM2,5a01	PM2,5 średnia roczna	24,03	18,56	5,46	8,87	4,23	1,11	0,10	0,10	0,91	4,37	0,77	0,05	3,55
Mz18mPIPM2,5a02	PM2,5 średnia roczna	22,47	17,65	5,46	7,96	4,23	1,45	0,17	0,06	1,22	3,37	0,37	0,00	3,00

Tabela 155 Wielkości stężeń benzo(a)pirenu [ng/m^3] z poszczególnych źródeł w maksymalnych stężeniach na obszarach średniorocznych przekroczeń poziomu docelowego w strefie miasto Płock w 2018 roku

Kod obszaru przekroczeń	Stężenie całkowite B(a)P	Szacunkowy poziom tła regionalnego ogółem	Szacunkowy poziom tła regionalnego źródła transgraniczne	Szacunkowy poziom tła regionalnego źródła krajowe	Szacunkowy poziom tła regionalnego źródła inne (napływ z terenu województwa)	Lokalny przyrost stężeń ogółem	Lokalny przyrost stężeń transport drogowy	Lokalny przyrost stężeń przemysł oraz produkcja ciepła i energii elektrycznej	Lokalny przyrost stężeń sektor handlowy i mieszkaniowy
Nie dotyczy	[ng/m^3]	[ng/m^3]	[ng/m^3]	[ng/m^3]	[ng/m^3]	[ng/m^3]	[ng/m^3]	[ng/m^3]	[ng/m^3]
Mz18mPIB(a)Pa01	4,427	1,406	0,012	0,049	1,345	3,022	0,006	0,011	3,005

7.4. Strefa miasto Radom

Tabela 156 Wielkości stężeń zanieczyszczeń: pyłu zawieszonego PM10 i PM2,5 [$\mu\text{g}/\text{m}^3$] z poszczególnych źródeł w maksymalnych stężeniach na obszarach przekroczeń poziomów dopuszczalnych w strefie miasto Radom w 2018 roku

Kod obszaru przekroczeń	Zanieczyszczenie i uśrednienie	Stężenie całkowite	Szacunkowy poziom tła regionalnego ogółem	Szacunkowy poziom tła regionalnego źródła transgraniczne	Szacunkowy poziom tła regionalnego źródła krajowe	Szacunkowy poziom tła regionalnego źródła inne (napływ z terenu)	Przyrost tła miejskiego ogółem	Przyrost tła miejskiego transport drogowy	Przyrost tła miejskiego przemysł oraz produkcja	Przyrost tła miejskiego sektor handlowy i mieszkaniowy	Lokalny przyrost stężeń ogółem	Lokalny przyrost stężeń transport drogowy	Lokalny przyrost stężeń przemysł oraz produkcja	Lokalny przyrost stężeń sektor handlowy i mieszkaniowy
Nie dotyczy	Nie dotyczy	[$\mu\text{g}/\text{m}^3$]	[$\mu\text{g}/\text{m}^3$]	[$\mu\text{g}/\text{m}^3$]	[$\mu\text{g}/\text{m}^3$]	[$\mu\text{g}/\text{m}^3$]	[$\mu\text{g}/\text{m}^3$]	[$\mu\text{g}/\text{m}^3$]	[$\mu\text{g}/\text{m}^3$]	[$\mu\text{g}/\text{m}^3$]	[$\mu\text{g}/\text{m}^3$]	[$\mu\text{g}/\text{m}^3$]	[$\mu\text{g}/\text{m}^3$]	[$\mu\text{g}/\text{m}^3$]
Mz18mRaPM10d01	PM10 średnia dobowo,36 wartość maksymalna	72,43	20,9	7,44	11,38	2,08	1,64	0,17	0,01	1,46	49,9	7,64	0,06	42,20
Mz18mRaPM10d02	PM10 średnia dobowo,36 wartość maksymalna	51,38	23,5	7,84	12,81	2,85	25,13	4,40	0,44	20,29	2,74	0,00	0,00	2,74
Mz18mRaPM10d03	PM10 średnia dobowo,36 wartość maksymalna	46,69	22,27	7,43	12,14	2,70	19,68	2,89	0,38	16,41	4,75	0,74	0,00	4,01
Mz18mRaPM2,5a01	PM2,5 średnia roczna	24,41	14,07	6,16	6,43	1,48	0,16	0,02	0,01	0,13	10,19	2,70	0,04	7,45

Tabela 157 Wielkości stężeń benzo(a)pirenu [ng/m^3] z poszczególnych źródeł w maksymalnych stężeniach na obszarze przekroczeń średniorocznego poziomu docelowego w strefie miasto Radom w 2018 roku

Kod obszaru przekroczeń	Stężenie całkowite	Szacunkowy poziom tła regionalnego ogółem	Szacunkowy poziom tła regionalnego źródła transgraniczne	Szacunkowy poziom tła regionalnego źródła krajowe	Szacunkowy poziom tła regionalnego źródła inne (napływ z terenu województwa)	Lokalny przyrost stężeń ogółem	Lokalny przyrost stężeń transport drogowy	Lokalny przyrost stężeń przemysł oraz produkcja ciepła i energii elektrycznej	Lokalny przyrost stężeń sektor handlowy i mieszkaniowy
Nie dotyczy	[ng/m^3]	[ng/m^3]	[ng/m^3]	[ng/m^3]	[ng/m^3]	[ng/m^3]	[ng/m^3]	[ng/m^3]	[ng/m^3]
Mz18mRaB(a)Pa01	4,020	0,685	0,008	0,031	0,646	3,335	0,008	0,008	3,319

8. Procentowy udział substancji w powietrzu wprowadzanych w strefach objętych programem, w ramach powszechnego i zwykłego korzystania ze środowiska

8.1. Strefa mazowiecka

Tabela 158 Procentowy udział substancji w powietrzu wprowadzanych w strefie mazowieckiej objętych programem, w ramach powszechnego i zwykłego korzystania ze środowiska w 2018 roku w stosunku do łącznej emisji ze strefy

Typ emisji	SNAP	Pył zawieszony PM10 [Mg/rok]	Pył zawieszony PM10 [%]	Pył zawieszony PM2,5 [Mg/rok]	Pył zawieszony PM2,5 [%]	B(a)P [kg/rok]	B(a)P [%]
Sektor komunalny i mieszkaniowy z wyj. 0202	02	693,2	1,8	275,8	1,0	159,3	1,2
Mieszkalnictwo i usługi	0202	23278,027	61,6	22925,339	80,9	12973,6	94,0
Transport drogowy	07	2325,7	6,2	1810,7	6,4	34,1	0,2
Ciągniki rolnicze	0806	1557,7	4,1	1540,4	5,4	Nie występuje	Nie występuje
Rolnictwo	10	4437,4	11,7	564,2	2,0	Nie występuje	Nie występuje

Tabela 159 Procentowy udział substancji w powietrzu wprowadzanych w strefie mazowieckiej objętych Aktualizacją programu, w ramach powszechnego i zwykłego korzystania ze środowiska w 2021 roku w stosunku do łącznej emisji ze strefy

Typ emisji	SNAP	Pył zawieszony PM10 [Mg/rok]	Pył zawieszony PM10 [%]	Pył zawieszony PM2,5 [Mg/rok]	Pył zawieszony PM2,5 [%]	B(a)P [kg/rok]	B(a)P [%]
Procesy spalania w sektorze usług oraz rolnictwie i leśnictwie z wyj. 0202	02 bez 0202	114,7	0,3	91,3	0,3	38,7	0,3
Mieszkalnictwo	0202	25 010,9	69,4	24 547,4	88,8	15 230,8	98,5
Transport drogowy	07	1 645,3	4,6	1 298,6	4,7	29,2	0,2
Ciągniki rolnicze	0806	158,6	0,4	160,4	0,6	Nie występuje	Nie występuje
Rolnictwo	10	4 350,0	12,1	574,2	2,1	Nie występuje	Nie występuje

8.2. Strefa aglomeracja warszawska

Tabela 160 Procentowy udział substancji w powietrzu wprowadzanych w strefie aglomeracja warszawska objętych programem, w ramach powszechnego i zwykłego korzystania ze środowiska w 2018 roku w stosunku do łącznej emisji ze strefy

Typ emisji	SNAP	Pył zawieszony PM10	Pył zawieszony PM10	Pył zawieszony PM2,5 [Mg/rok]	Pył zawieszony PM2,5	[kg/rok] B(a)P	B(a)P [%]	[Mg/rok] NO ₂	[%] NO ₂
Procesy spalania w sektorze komunalnym i mieszkaniowym z wyj. SNAP 0202	02	28,1	1,8	26,6	2,1	18,4	3,7	136,8	1,2
Mieszkalnictwo i usługi	0202	813,1	52,1	800,9	62,3	450,4	91,4	570,0	4,9
Transport drogowy	07	339,3	21,7	263,1	20,5	4,9	1,0	4922,1	42,5
Ciągniki rolnicze	0806	7,18	0,5	7,286	0,6	Nie dotyczy	0,0	46,399	0,4
Rolnictwo	10	14,5	0,9	0,812	0,1	Nie dotyczy	0,0	25,199	0,2

Tabela 161 Procentowy udział substancji w powietrzu wprowadzanych w strefie aglomeracja warszawska objętych Aktualizacją programu, w ramach powszechnego i zwykłego korzystania ze środowiska w 2021 roku w stosunku do łącznej emisji ze strefy

Typ emisji	SNAP	Pył zawieszony PM10	Pył zawieszony PM10	Pył zawieszony PM2,5	Pył zawieszony PM2,5	[kg/rok] B(a)P	B(a)P [%]	[Mg/rok] NO ₂	[%] NO ₂
Procesy spalania w sektorze usług oraz rolnictwie i leśnictwie z wyj. 0202	02 bez 0202	3,391	0,2	3,065	0,2	0,5	0,1	95,6	0,8
Mieszkalnictwo	0202	1275,509	65,2	1251,932	73,0	774,0	94,0	723,521	6,3
Transport drogowy	07	358,386	18,3	271,142	15,8	6,5	0,8	5616,423	48,8
Ciągniki rolnicze	0806	0,761	0,0	0,780	0,0	Nie występuje	Nie występuje	18,2	0,2
Rolnictwo	10	13,327	0,7	0,779	0,0	Nie występuje	Nie występuje	23,7	0,2

8.3. Strefa miasto Płock

Tabela 162 Procentowy udział substancji w powietrzu wprowadzanych w strefie miasto Płock objętych programem, w ramach powszechnego i zwykłego korzystania ze środowiska w 2018 roku w stosunku do łącznej emisji ze strefy

Typ emisji	SNAP	Pył zawieszony PM10 [Mg/rok]	Pył zawieszony PM10 [%]	Pył zawieszony PM2,5 [Mg/rok]	Pył zawieszony PM2,5 [%]	B(a)P [kg/rok]	B(a)P [%]
Sektor komunalny i mieszkaniowy z wyj. 0202	02	2,2	0,3	1,7	0,6	1,4	1,0
Mieszkalnictwo i usługi	0202	233,6	34,4	230,1	87,3	131,0	95,9
Transport drogowy	07	21,9	3,2	16,8	6,4	0,3	0,2
Ciągniki rolnicze	0806	2,0	0,3	1,7	0,6	nie dotyczy	0,0
Rolnictwo	10	26,7	3,9	1,1	0,4	nie dotyczy	0,0

Tabela 163 Procentowy udział substancji w powietrzu wprowadzanych w strefie miasto Płock objętych Aktualizacją programu, w ramach powszechnego i zwykłego korzystania ze środowiska w 2021 roku w stosunku do łącznej emisji ze strefy

Typ emisji	SNAP	Pył zawieszony PM10 [Mg/rok]	Pył zawieszony PM10 [%]	Pył zawieszony PM2,5 [Mg/rok]	Pył zawieszony PM2,5 [%]	B(a)P [kg/rok]	B(a)P [%]
Procesy spalania w sektorze usług oraz rolnictwie i leśnictwie z wyj. 0202	02 bez 0202	0,5	0,1	0,5	0,2	0,2	0,2
Mieszkalnictwo	0202	197,7	47,9	194,0	64,5	120,5	97,0
Transport drogowy	07	11,6	2,8	8,7	2,9	0,2	0,2
Ciągniki rolnicze	0806	0,2	0,1	0,2	0,1	Nie dotyczy	0,0
Rolnictwo	10	28,7	6,9	2,6	0,9	Nie dotyczy	0,0

8.4. Strefa miasto Radom.

Tabela 164 Procentowy udział substancji w powietrzu wprowadzanych w strefie miasto Radom objętych programem, w ramach powszechnego i zwykłego korzystania ze środowiska w 2018 roku w stosunku do łącznej emisji ze strefy

Typ emisji	SNAP	Pył zawieszony PM10 [Mg/rok]	Pył zawieszony PM10 [%]	Pył zawieszony PM2,5 [Mg/rok]	Pył zawieszony PM2,5 [%]	B(a)P [kg/rok]	B(a)P [%]
Sektor komunalny i bytowy z wyj. SNAP 0202	02	1,3	0,3	1,1	0,3	0,7	0,2
Mieszkalnictwo i usługi	0202	336,7	66,8	331,7	82,4	189,2	63,5
Transport drogowy	07	49,5	9,8	38,3	9,5	0,6	0,2
Ciągniki rolnicze	0806	3,1	0,6	1,8	0,4	Nie dotyczy	0,0
Rolnictwo	10	5,2	1,0	0,3	0,1	Nie	0,0

Typ emisji	SNAP	Pył zawieszony y PM10 [Mg/rok]	Pył zawieszony y PM10 [%]	Pył zawieszony y PM2,5 [Mg/rok]	Pył zawieszony y PM2,5 [%]	B(a)P [kg/rok]	B(a)P [%]
						dotyczy	

Tabela 165 Procentowy udział substancji w powietrzu wprowadzanych w strefie miasto Radom objętych Aktualizacją programu, w ramach powszechnego i zwykłego korzystania ze środowiska w 2021 roku w stosunku do łącznej emisji ze strefy

Typ emisji	SNAP	Pył zawieszony y PM10 [Mg/rok]	Pył zawieszony y PM10 [%]	Pył zawieszony y PM2,5 [Mg/rok]	Pył zawieszony y PM2,5 [%]	B(a)P [kg/rok]	B(a)P [%]
Procesy spalania w sektorze usług oraz rolnictwie i leśnictwie z wyj. 0202	02 bez 0202	1,0	0,2	0,7	0,1	0,1	0,1
Mieszkalnictwo	0202	427,6	77,5	419,7	87,5	261,1	98,7
Transport drogowy	07	46,4	8,4	34,6	7,2	0,8	0,3
Ciągniki rolnicze	0806	0,3	0,0	0,3	0,1	Nie dotyczy	0,0
Rolnictwo	10	4,8	0,9	0,4	0,1	Nie dotyczy	0,0

9. Informacja o napływie substancji w powietrzu z innych obszarów spoza stref w województwie mazowieckim

Informacja o napływie substancji w powietrzu z innych obszarów spoza stref w województwie mazowieckim zawarta jest jako szacunkowy poziom tła regionalnego definiowany jako stężenie zanieczyszczeń w skali przestrzennej przekraczającej 50 km, w podziale na „szacunkowy poziom tła regionalnego źródła transgraniczne” oraz „szacunkowy poziom tła regionalnego źródła krajowe” w następujących tabelach: dla strefy mazowieckiej:

- Tabela 149 Wielkości stężeń średniodobowych pyłu zawieszonego PM10 [$\mu\text{g}/\text{m}^3$] z poszczególnych źródeł w maksymalnych stężeniach na obszarach przekroczeń średniodobowego poziomu dopuszczalnego w strefie mazowieckiej w 2018 roku,
- Tabela 151 Wielkości stężeń benzo(a)pirenu [ng/m^3] z poszczególnych źródeł w maksymalnych stężeniach na obszarach średniorocznych przekroczeń poziomu docelowego w strefie mazowieckiej w 2018 roku;

dla strefy aglomeracja warszawska:

- Tabela 152 Wielkości stężeń zanieczyszczeń: pyłu zawieszonego PM10 i PM2,5 oraz ditlenku azotu [$\mu\text{g}/\text{m}^3$] z poszczególnych źródeł w maksymalnych stężeniach na obszarach przekroczeń poziomów dopuszczalnych w strefie aglomeracja warszawska w 2018 roku,
- Tabela 153 Wielkości stężeń benzo(a)pirenu [ng/m^3] z poszczególnych źródeł w maksymalnych stężeniach na obszarach średniorocznych przekroczeń poziomu docelowego w strefie aglomeracja warszawska w 2018 roku;

dla strefy miasto Płock:

- Tabela 154 Wielkości stężeń zanieczyszczeń: pyłu zawieszonego PM10 i PM2,5 [$\mu\text{g}/\text{m}^3$] z poszczególnych źródeł w maksymalnych stężeniach na obszarach przekroczeń poziomów dopuszczalnych w strefie miasto Płock w 2018 roku,
- Tabela 155 Wielkości stężeń benzo(a)pirenu [ng/m^3] z poszczególnych źródeł w maksymalnych stężeniach na obszarach średniorocznych przekroczeń poziomu docelowego w strefie miasto Płock w 2018 roku;

dla strefy miasto Radom:

- Tabela 156 Wielkości stężeń zanieczyszczeń: pyłu zawieszonego PM10 i PM2,5 [$\mu\text{g}/\text{m}^3$] z poszczególnych źródeł w maksymalnych stężeniach na obszarach przekroczeń poziomów dopuszczalnych w strefie miasto Radom w 2018 roku,
- Tabela 157 Wielkości stężeń benzo(a)pirenu [ng/m^3] z poszczególnych źródeł w maksymalnych stężeniach na obszarze przekroczeń średniorocznego poziomu docelowego w strefie miasto Radom w 2018 roku

10. Informacje dotyczące możliwych do podjęcia działań na obszarach przekroczeń substancji w powietrzu lub poza tymi obszarami, które będą skutkować redukcją poziomów substancji w powietrzu, do poziomów nieprzekraczających poziomów dopuszczalnych i docelowych substancji

Informacje dotyczące możliwych do podjęcia działań znajdują się w strategicznych dokumentach krajowych: Aktualizacji Krajowego Programu Ochrony Powietrza do 2025

roku(z perspektywą do 2030 r. oraz do 2040 r.) (aKPOP), który został ogłoszony Komunikatem Ministra Klimatu i Środowiska z dnia 30 grudnia 2021 r. (M.P. dnia 31 grudnia 2021 r., poz. 1200) oraz Krajowym programie ograniczania zanieczyszczenia powietrza przyjętym uchwałą Nr 34 Rady Ministrów z dnia 29 kwietnia 2019 r. (M.P. z 2019 r., poz. 572).

Kierunkami interwencji prowadzącymi do osiągnięcia celów szczegółowych przedstawionymi w AKAPOP, tj. osiągnięcia i dotrzymania co najmniej standardów jakości powietrza określonych w prawodawstwie unijnym oraz krajowym, będą:

- utrzymanie priorytetu poprawy jakości powietrza oraz rozwój systemu oceny jakości powietrza poprzez zwiększenie liczby stacji pomiarowych uwzględnionych w pomiarach jakości powietrza w ramach PMS,
- ograniczenie wielkości emisji zanieczyszczeń powietrza z sektora bytowo-komunalnego,
- ograniczenie wielkości emisji zanieczyszczeń powietrza z sektora transportu drogowego,
- poprawa jakości środowiska i warunków życia w mieście poprzez udoskonalenie infrastruktury,
- zwiększenie udziału czystej energii, ciepła, rozwój odnawialnych źródeł energii,
- edukacja ekologiczna,
- zapewnienie finansowania przedsięwzięć ukierunkowanych na poprawę jakości powietrza.

Działania wskazane w Aktualizacji Krajowego Programu Ochrony Powietrza skutkujące redukcją substancji do powietrza na poziomie krajowym i lokalnym są m.in.:

- utrzymanie najwyższego priorytetu w POP i w uchwałach antysmogowych obowiązku wymiany pozaklasowych kotłów na paliwa stałe na urządzenia grzewcze spełniające wymagania środowiskowe w połączeniu z równoczesnym przeprowadzeniem termomodernizacji budynków mieszkalnych i użyteczności publicznej,
- wprowadzenie do POP w trakcie ich aktualizacji lub w przypadku opracowywania nowych, obowiązku określania w ramach działań zadania polegającego na przeprowadzaniu kontroli indywidualnych urządzeń grzewczych w budynkach,
- mieszkalnych przez właściwe służby wraz z określeniem minimalnej liczby kontroli do przeprowadzenia w każdym roku obowiązywania POP,
- wdrożenie obowiązujących uchwał antysmogowych, poprzez likwidację pozaklasowych źródeł ogrzewania na paliwa stałe, nie później niż do dnia 1 stycznia 2027 r.,
- przeprowadzenie reformy planowania energetycznego w gminach, a następnie w wyniku analizy skuteczności jej stosowania, podjęcie dalszych działań mających na celu zapewnienie lokalnego bezpieczeństwa energetycznego,
- wymiana floty autobusów i pojazdów miejskich na niskoemisyjne,
- rozbudowa istniejących miejskich linii tramwajowych i budowa linii trolejbusowych,
- zwiększenie długości ścieżek rowerowych i pieszych zielonych ciągów komunikacyjnych poprzez ich rozbudowę lub budowę,
- zwiększenie powierzchni parków, zieleńców i terenów zieleni osiedlowej w powierzchni ogółem,
- czyszczenie dróg krajowych, wojewódzkich i powiatowych oraz ulic na mokro w okresie wiosennym, letnim i jesiennym, w okresach bezdeszczowych,
- określenie warunków optymalnego przewietrzania miasta dla potrzeb odpowiedniego planowania przestrzennego i zapewnienia odpowiedniej jakości powietrza,
- w ramach przeprowadzanych planowo remontów budynków miejskich przekształcenie ich w energooszczędne, inteligentne i budowa nowych tylko inteligentnych budynków w miastach,

- budowa/rozbudowa inteligentnego zarządzania całą infrastrukturą miejską, przynajmniej w miastach powyżej 100 tysięcy,
- kontynuacja prowadzenia programów informacyjnych i edukacyjnych dotyczących wpływu zanieczyszczenia powietrza na zdrowie i komfort życia obywateli,
- współpraca w zakresie wymiany informacji pomiędzy resortami i podmiotami publicznymi, a samorządami, w tym również w zakresie tworzenia programów finansowych,
- zwiększenie dostępności narzędzi finansowych dla obywateli, w tym uproszczenia procedury ubiegania się o dofinansowanie,
- niezwłoczne wprowadzenie zakazu dofinansowania do zakupu kotłów węglowych z pozostałych, realizowanych na obszarze kraju, programów finansowych, dedykowanych realizacji przedsięwzięć proekologicznych.